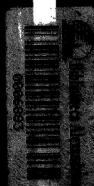


الطبعة  
الثانية

# الدوائر الكهربائية

تأليف  
جوزيف أ. آدمس

يحتوي الكتاب على أكثر من ٣٤٥  
مسألة محلولة حلاً كاملاً





$$Q = VI \sin \theta = 2000 \sin 53.1^\circ = 1600 \text{ var (لاحت)}$$

$$\text{p.f.} = \cos \theta = \cos 53.1^\circ = 0.6 \text{ (لاحت)}$$

### الطريقة الثالثة :

$$S = VI^* = (100 \angle 30^\circ)(20 \angle 23.1^\circ) = 2000 \angle 53.1^\circ = 1200 + j1600 \text{ VA}$$

$$\text{p.f.} = \cos 53.1^\circ = 0.6 \text{ (لاحت)} , S = 2000 \text{ VA} , P = 1200 \text{ W}, Q = 1600 \text{ var (لاحت)}$$

### الطريقة الرابعة :

$$V_R = IR = 20 \angle 23.1^\circ (3) = 60 \angle 23.1^\circ \text{ V}, V_X = (20 \angle 23.1^\circ)(4 \angle 90^\circ) = 80 \angle 66.9^\circ \text{ V}$$

$$P = V_R^2/R = 60^2/3 = 1200 \text{ W}$$

$$Q = V_X^2/X = 80^2/4 = 1600 \text{ var (لاحت)}$$

$$S = V^2/Z = 100^2/5 = 2000 \text{ VA}$$

$$\text{p.f.} = P/S = 0.6$$

يجب الاحتياط عند التمييز في المعادلة  $P = V_R^2/R$  . ونلاحظ الشائع هو استبدال  $V_R$  (الجهد عبر المقاومة فقط) بالجهود الككل  $V$  عبر المقاومة  $Z$  .

### تصحيح عامل القدرة :

في التطبيقات المنزلية والصناعية يكون الحمل حثيا والتيار لاحقا للجهد المؤثر وتقاس القدرة المتوسطة  $P$  المحملة بمقدار الشغل المستفاد به في وحدة الزمن . وترسل القدرة عادة من خلال محولات وخطوط توزيع .

وحيث أن المحول الذي يقدر بـ  $kVA$  عادة ما يكون ثابتا عند جهد معين فإن معدل  $kVA$  يدل غالباً على مقدار أكبر تيار مسموح به . وإذا وصلت سعة نفية أوحش تقي فإن المحول يكون عملاً تماماً وتكون القدرة المتوسطة المحملة تساوى سعة نظرية

بالإشارة إلى مثلث القدرة ، يمثل وتر المثلث  $S$  قياس الحمل في نظام التوزيع ويمثل الضلع  $P$  قياس القدرة المفيدة المحملة . وعلى ذلك فإنه من المستحسن جعل  $S$  أقرب ما يمكن من  $P$  أى جعل الزاوية  $\theta$  تقترب من الصفر . وحيث أن  $\text{p.f.} = \cos \theta$  فإن عامل القدرة يقترب من الوحدة . وفي الحالة العادية التي يكون فيها حمل حثيا يمكن تحسين عامل القدرة وذلك بتوصيل سعة على التوازي مع الحمل . وبما أن الجهد على الحمل يظل ثابتاً فإننا نلاحظ القدرة المفيدة  $P$  لا تتغير أيضاً . وبما أن عامل القدرة يزداد فإن التيار والقدرة الفاعلة يقلان وبذلك نحصل على نظام توزيع ذي كفاءة عالية .

مثال ٢ :

في دائرة المثال (١) مصحح عامل القدرة إلى 0.9 (لاحق)  
وذلك بإضافة سعة على التوازي . أوجد  $S'$  بعد إدخال  
التصحيح وكذلك القدرة المفاعلية للسعة اللازمة لتصحيح .

إعادة رسم مثلث القوى في المثال (١) ، مع مراعاة أن  
 $\cos \theta' = 0.9$  و  $\theta' = 26^\circ$  إذن

$$S' = P / \cos \theta = 1200 / \cos 26 = 1333 \text{ VA}$$

وبما أن (لاحق)  $Q' = S' \sin \theta' = 1333 \sin 26 = 585 \text{ var}$  شكل ٧ - ١

والقدرة المفاعلية للسعة تساوي  $Q - Q' = 1600 - 585 = 1015$  (سابق) .

وبحيث أن القدرة تظل ثابتة فإن الشغل المبذول يظل ثابتا بعد تصحيح عامل القدرة . وعلى ذلك فإن قيمة  
تقل من 2000 VA إلى 1333 VA .

مسائل محلولة

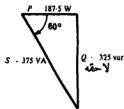
١ - ٧ إذا أعطيت دائرة يؤثر عليها جهد  $v = 150 \sin(\omega t + 10^\circ)$  volts وكان التيار الناتج  
 $i = 5 \sin(\omega t - 50^\circ)$  amperes ، فممن مثلث القدرة .

$$V = (150/\sqrt{2}) \angle 10^\circ = 106 \angle 10^\circ \text{ V .}$$

$$I = (5\sqrt{2}) \angle -50^\circ = 3.54 \angle -50^\circ \text{ A .}$$

إذن

$$S = VI^* = (106 \angle 10^\circ)(3.54 \angle 50^\circ) = 375 \angle 60^\circ = 187.5 + j325 \text{ VA}$$



$$P = \text{Re } VI^* = 187.5 \text{ W}$$

$$Q = \text{Im } VI^* = 325 \text{ var}$$

(لاحقة)

$$S = |VI^*| = 375 \text{ VA}$$

شكل ٧ - ١

$$\text{p.f.} = \cos 60^\circ = 0.5 \quad (\text{لاحق})$$

٢ - ٧ دائرة توالى تتكون من عنصرين لها قدرة 940 W وعامل قدرة 0.707 سابق . فإذا كان الجهد المؤثر  
هو  $v = 99 \sin(6000t + 30^\circ)$  volts فممن ثوابت الدائرة .



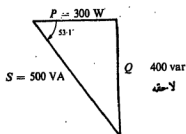
إن القيمة المطارة للجهود هي  $V = (99/\sqrt{2}) \angle 30^\circ = 70 \angle 30^\circ$  V. والقدرة هي  $P = VI \cos \theta$  أي  $940 = 70I (0.707)$  ، إذن  $I = 19$  . وبما أن عامل القدرة هو 0.707 سابق ، إذن يجب أن يسبق التيار المطاور الجهد بزاوية  $45^\circ$  ،  $\cos^{-1} 0.707 = 45^\circ$  ، إذن  $I = 19/\sqrt{75}^\circ$  A ومعاوقة الدائرة هي  $Z = R - jX_C$  . وبما أن  $Z = V/I = (70 \angle 30^\circ)/(19 \angle 75^\circ) = 3.68 \angle -45^\circ = 2.6 - j2.6 \Omega$  ، إذن  $X_C = 1/\omega C$  و

$$R = 2.6 \text{ ohms and } C = \frac{1}{6000(2.6)} = 64.1 \mu\text{F}$$

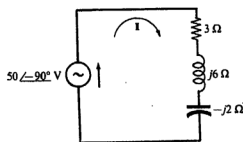
## طريقة أخرى :

بوضع  $I = 19$  في المعادلة  $P = I^2 R$  نحصل على  $940 = (19)^2 R$  ومنها  $R = 2.6 \Omega$  ، إذن  $Z = Z \angle 45^\circ = 2.6 - jX_C$  و  $X_C = 2.6 \Omega$  ومنها ينتج أن  $C = 1/\omega X_C = 64.1 \mu\text{F}$  .

٧-٣ عن مثلث القدرة لدائرة التوالي الموضحة في الشكل ٧-١١ .



شكل ٧ - ١٢



شكل ٧ - ١١

من الشكل ٧-١١ نجد أن  $Z = 3 + j6 - j2 = 5 \angle 53.1^\circ \Omega$

$$I = V/Z = (50 \angle 90^\circ)/(5 \angle 53.1^\circ) = 10 \angle 143.1^\circ \text{ A}$$

إذن

$$S = VI^* = (50 \angle 90^\circ)(10 \angle 143.1^\circ) = 500 \angle 53.1^\circ = 300 + j400 \text{ VA}$$

وأصلا مثلث القدرة الموضح في الشكل ٧-١٢ هي

$P = 300 \text{ W}$  و (لاحظ)  $Q = 400 \text{ var}$  و  $S = 500 \text{ VA}$  ، أما عامل القدرة فهو

$$pf = \cos 53.1 = 0.6 \quad (\text{لاحظ})$$

## طريقة أخرى :

بالتمويه عن  $I = 10$  في معادلة القدرة لكل عنصر نجد أن

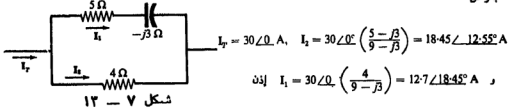
$$P = I^2 R = 10^2(3) = 300 \text{ W} \quad \text{و} \quad Q_{j6} = 10^2(6) = 600 \text{ var} \quad (\text{لاحظ}) \quad \text{و} \quad Q_{-j2} = 10^2(2) = 200 \text{ var}$$

$$Q = Q_{j6} + Q_{-j2} = 600 - 200 = 400 \text{ var} \quad (\text{لاحظ})$$

٤ - ٧ إذا كانت القيمة المعطاة لتيار الكل المار في الدائرة الموضحة

في الشكل ١٢ - ٧ هي 30 A فبين علاقات القدرة .

يفرض



$$P = P_1 R_1 + P_2 R_2 = (18.45)^2 (4) + (12.7)^2 (5) = 2165 \text{ W}$$

$$Q = P_X = (12.7)^2 (3) = 483 \text{ var (سابقة)}$$

$$S = P - jQ = 2165 - j483 = 2210 \angle -12.5^\circ, S = 2210 \text{ VA}$$

$$\text{p.f.} = P/S = 2165/2210 = 0.98 \text{ (سابق)}$$

ويمكن أيضا الحصول على النتائج السابقة وذلك بحساب المماثلة

$$Z_{eq} = \frac{(5-j3)4}{9-j3} = 2.4 - j0.533 \Omega$$

إذن

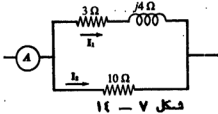
$$Q = 30^2 (0.533) = 479.7 \text{ var (سابقة)} \quad P = I^2 R = 30^2 (2.4) = 2160 \text{ W}$$

٥ - ٧ إذا كانت القدرة الكلية لعائرة التوازي الموضحة في الشكل

١٤ - ٧ هي 1100 W فأوجد القدرة لكل مقاومة وكذلك

قراءة الأميتر .

من الشكل ١٤ - ٧ نحصل على



$$I_1 = \frac{V}{Z_1} = \frac{V}{3+j4} = \frac{V}{5 \angle 53.1^\circ} \quad I_2 = \frac{V}{Z_2} = \frac{V}{10}$$

والنسبة بين قيم التيارين هي  $\frac{I_1}{I_2} = \frac{1/5}{1/10} = 2$  . وباستخدام العلاقة  $P = I^2 R$  نجد أن النسبة بين القدرةين للمقاومتين 10 ohm, 3 ohm هي

$$\frac{P_3}{P_{10}} = \frac{I_1^2 R_1}{I_2^2 R_2} = \left(\frac{2}{1}\right)^2 \frac{3}{10} = \frac{6}{5}$$

وعا أن  $P_T = P_3 + P_{10}$  . إذن بقسمة طرفي المعادلة على  $P_{10}$  نجد أن  $P_T/P_{10} = P_3/P_{10} + 1$

$$P_{10} = 1100(5/11) = 500 \text{ W}, P_3 = 1100 - 500 = 600 \text{ W}$$

وبما أن  $P = I^2 R$  أي أن  $I_1^2(3) = 600$  إذن  $I_1 = 14.14 \text{ A}$  ، إذا كان  $V = V / 0^\circ$

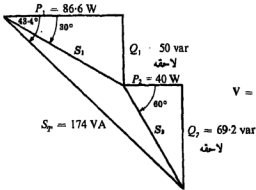
$$I_1 = 14.14 \angle -53.1^\circ = 8.48 - j11.31 \text{ A} \quad \text{إذن}$$

$$I_2 = 7.07 \angle 0^\circ = 7.07 \text{ A}$$

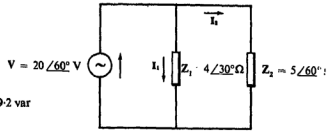
$$I_T = I_1 + I_2 = 15.55 - j11.31 = 19.25 \angle -36^\circ \text{ A} \quad \text{وبهذا نجد أن}$$

وقراءة الأميتر هي  $19.25 \text{ A}$ .

٧-٦ من مثلث القدرة لكل فرع من أفرع دائرة التوازي الموضحة في الشكل ٧-١٥ ثم اجمعهما لتحصل على مثلث القدرة للدائرة كلها .



شكل ٧ - ١٦



شكل ٧ - ١٥

الفرع ٢ :

$$I_2 = V/Z_2 = (20 \angle 60^\circ) / (5 \angle 60^\circ) = 4 \angle 0^\circ \text{ A}$$

$$S_2 = VI_2^* = (20 \angle 60^\circ)(4 \angle 0^\circ) = 80 \angle 60^\circ \text{ VA} \\ = 40 + j69.2 \text{ VA}$$

إذن

$$P_2 = 40 \text{ W}$$

$$Q_2 = 69.2 \text{ var (لاحقة)}$$

$$S_2 = 80 \text{ VA}$$

$$p.f._2 = 0.5 \quad (\text{لاحق})$$

الفرع ١ :

$$I_1 = V/Z_1 = (20 \angle 60^\circ) / (4 \angle 30^\circ) = 5 \angle 30^\circ \text{ A}$$

$$S_1 = VI_1^* = (20 \angle 60^\circ)(5 \angle -30^\circ) = 100 \angle 30^\circ \text{ VA} \\ = 86.6 + j50 \text{ VA}$$

إذن

$$P_1 = \text{Re } VI_1^* = 86.6 \text{ W}$$

$$Q_1 = \text{Im } VI_1^* = 50 \text{ var (لاحقة)}$$

$$S_1 = |VI_1| = 100 \text{ VA}$$

$$p.f._1 = P_1/S_1 = 0.866 \quad (\text{لاحق})$$

من النتيجة السابقة والشكل ١٦-٧ يمكن الحصول على مثلث القدرة كما يلي

$$Q_T = Q_1 + Q_2 = 50 + 69.2 = 119.2 \text{ var} \quad \text{و (لاحق)} \quad P_T = P_1 + P_2 = 86.6 + 40 = 126.6 \text{ W}$$

$$S_T = P_T + jQ_T = 126.6 + j119.2 = 174 \angle 43.4^\circ \text{ VA} \quad \text{وبما أن}$$

$$\text{p.f.}_T = P_T/S_T = 126.6/174 = 0.727 \quad \text{و (لاحق)} \quad S_T = |S_T| = 174 \text{ VA} \quad \text{إذن}$$

٧-٧ محرك حتى يعطي قدرة 2 hp وكفاءته 85% ، فإذا كان عامل القدرة يساوى 0.8 لاحق ، فحين المادلات الكاملة للقدرة الداخلة .

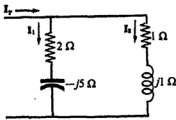
$$P_{in} = 2(746)/0.85 = 1755 \text{ W} \quad \text{إذن} \quad 1 \text{ hp} = 746 \text{ W}$$

$$\theta = \cos^{-1}(0.8) = 36.9^\circ \quad \text{ولكن} \quad S = 1755/0.8 = 2190 \text{ VA} \quad \text{و}$$

$$Q = 2190 \sin 36.9^\circ = 1315 \text{ var} \quad \text{إذن (لاحق)}$$

٧-٨ من مثلث القدرة لدائرة التوازي الموضحة في الشكل ١٧-٧

علما بأن القدرة في المقاومة 2 Ω هي 20 W



شكل ١٧-٧

$$\text{من} \quad P = I^2 R \quad \text{نجد أن} \quad I_1^2 (20) = 20 \text{ W} \quad \text{إذن}$$

$$I_1 = 3.16 \text{ A} \quad \text{وبما أن} \quad Z_1 = 2 - j5 = 5.38 \angle -68.2^\circ \Omega$$

$$\text{إذن} \quad V = I_1 Z_1 = 3.16(5.38) = 17 \text{ volts} \quad \text{وإذا كان}$$

$$V = 17 \angle 0^\circ \text{ V}$$

$$\text{إذن} \quad I_1 = 3.16 \angle -68.2^\circ \text{ A}, \quad I_2 = V/Z_2 = (17 \angle 0^\circ)/(j1 \angle 90^\circ) = 17 \angle -90^\circ \text{ A}$$

$$I_T = I_1 + I_2 = 11.1 \angle -29.8^\circ \text{ A} \quad \text{و}$$

ولحساب مثلث القدرة فإنه يلزمنا معرفة  $S_T$

$$S_T = VI_T^* = 17 \angle 0^\circ (11.1 \angle 29.8^\circ) = 189 \angle 29.8^\circ = 164 + j94 \text{ VA}$$

ونها نحدد أن

$$\text{p.f.} = 164/189 = 0.868 \quad \text{(لاحق)} \quad S_T = 189 \text{ VA}, \quad P_T = 164 \text{ W}, \quad Q_T = 94 \text{ var} \quad \text{(لاحق)}$$

٧-٩ عين مركبات القدرة لمجموعة ثلاثة أحمال بالمواصفات الآتية : الحمل ١. 250 VA و 0.5 p.f. لاحق ،

حمل ٢ 180 W و 0.8 p.f. سابق ، حمل ٣ 300 VA ، 100 var (لاحق)

يلزمنا حساب القدرة المتوسطة والقدرة المعافية لكل حمل أى أن

حمل ١ : سعة  $S = 250 \text{ VA}$  و  $p.f. = 0.5$  لاحق ، إذن

$$(لاحقة) \quad \theta = \cos^{-1} 0.5 = 60^\circ, \quad P = S \cos \theta = 250(0.5) = 125 \text{ W}$$

$$Q = S \sin \theta = 250 \sin 60^\circ = 216 \text{ var}$$

حمل ٢ : سعة  $P = 180 \text{ W}$  و  $p.f. = 0.8$  سابق . إذن

$$\theta = \cos^{-1} 0.8 = 36.9^\circ, \quad S = P / p.f. = 180 / 0.8 = 225 \text{ VA}$$

$$Q = 225 \sin 36.9^\circ = 135 \text{ var (سابقة)}$$

حمل ٣ : سعة  $S = 300 \text{ VA}$  و  $Q = 100 \text{ var}$  (لاحقة)

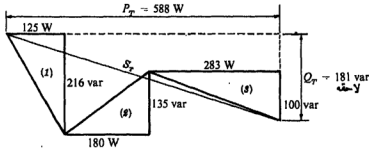
$$P = S \cos \theta = 300 \cos 19.5^\circ = 283 \text{ W} \quad \text{و} \quad \theta = \sin^{-1} (Q/S) = \sin^{-1} (100/300) = 19.5^\circ$$

$$\text{إذن} \quad P_T = 125 + 180 + 283 = 588 \text{ W} \quad (لاحقة) \quad Q_T = 216 - 135 + 100 = 181 \text{ var}$$

$$\text{وبما أن} \quad S_T = P_T + jQ_T = 588 + j181 = 616 \angle 17.1^\circ \text{ VA} \quad \text{أي أن}$$

$$p.f. = P/S = 588/616 = 0.955 \quad (لاحق) \quad S_T = 616 \text{ VA}$$

ويوضح الشكل ٧-١٨ مثلثات القوى للأحمال الثلاثة كل على حدة وكذلك لمجموعة الأحمال



شكل ٧-١٨

٧-١٠ محول  $25 \text{ kVA}$  يمد حمل بقدرة  $12 \text{ kW}$  ، فإذا كان عامل القدرة  $0.6$  لاحقاً ، فأوجد النسبة المئوية لأقصى حمل يمكن أن يتغذيه المحول . وإذا أضيف حمل بعامل قدرة يساوي للوحدة إلى نفس المحول فأوجد الـ  $\text{kW}$  التي يمكن إضافتها قبل أن يصبح المحول محمل تماماً .

في حالة حمل  $12 \text{ kW}$  نجد أن  $S = P / p.f. = 12 / 0.6 = 20 \text{ kVA}$  إذن النسبة المئوية لأقصى حمل

$$\text{تساوي} \quad (20/25)100 = 80\%$$

$$\text{وبما أن} \quad \theta = \cos^{-1} 0.6 = 53.1^\circ, \quad O = S \sin \theta = 20 \sin 53.1^\circ = 16 \text{ kvar}$$

وبما أن عامل القدرة لعمل الإضافي يساوى الوحدة ،  
إذن القدرة المخازنية تظل دون تغيير . إذن عند التجميع  
بأقصى سعة تكون الزاوية  
والقدرة الكلية

$$P_T = S' \cos \theta' = 25 \cos 39.8^\circ = 19.2 \text{ kW}$$

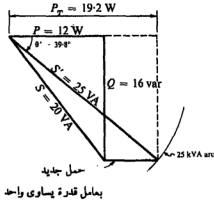
وعلى ذلك فإن الحمل الإضافي يساوى

$$P_T - P = 19.2 - 12 \\ = 7.2 \text{ kW}$$

ويمكن الوصول إلى النتيجة السابقة بيانيا كما هو  
موضح في الشكل ١٩-٧ .

لاحظ أن إضافة حمل بعامل قدرة يساوى الوحدة

$$P.f. = \cos 39.8^\circ = 0.768 \text{ (لاحظ) أي أن :}$$



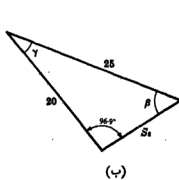
شكل ٧ - ١٩

١٩-٧ في الماسة ١٠-٧ ، إذا كان الحمل المضاف له عامل قدرة يساوى 0.866 سابق فأوجد عدد الك VA التي  
يمكن إضافتها بهذه الأحوال حتى يصبح المحول محملاً بسعته الكاملة .

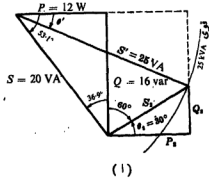
لنينا من الماسة ٧-١٠ أن  $S = 20 \text{ kVA}$  و  $\theta = 53.1^\circ$  (لاحقة) ،  $Q = 16 \text{ kvar}$  نرسم مثلث  
القدرة كما في الشكل ٧-٢٠ (١) ، وإضافة حمل جديد له  $S_2$  وزاوية  $\theta_2 = \cos^{-1} 0.866 = 30^\circ$  فإنه  
يلزمنا تحديد  $\theta'$  ، ومن الشكل ٧-١٠ لدينا .

$$25/\sin 96.9^\circ = 20/\sin \beta, \sin \beta = 0.795, \beta = 52.6^\circ$$

$$\theta' = 53.1^\circ - 30.5^\circ = 22.6^\circ \quad \text{و} \quad \gamma = 180^\circ - (96.9^\circ + 52.6^\circ) = 30.5^\circ$$



(ب)



(١)

شكل ٧ - ٢٠

والقدرة والقدرة المفاعلية تحمل الكل هما  $P_T = 25 \cos 22.6^\circ = 23.1 \text{ kW}$  و (لاحقة )

$$P_3 = 23.1 - 12 = 11.1 \text{ kW} \text{ على الترتيب . إذن لدينا الحمل الإضافي } Q_T = 25 \sin 22.6^\circ = 9.6 \text{ kvar}$$

و (سابقة )  $Q_2 = 16 - 9.6 = 6.4 \text{ kvar}$  ، وبما أن  $Q_2 = 16 - 9.6 = 6.4 \text{ kvar}$  ،  $S_2 = P_2 + jQ_2 = 11.1 - j6.4 = 12.8 \angle -30^\circ \text{ VA}$

$$S_2 = 12.8 \text{ kVA} \quad \text{إذن}$$

وعلى ذلك فإنه يمكن إضافة حمل جديد له  $12.8 \text{ kVA}$  بعامل قدرة  $0.866$  سابق إلى الحمل الأصل  $12 \text{ kW}$  الذي عامل القدرة له يساوى  $0.6$  لاحق حتى يصبح المحول بكامل سعة .

### طريقة أخرى :

من الشكل ٢٠-٧ (أ) ولزاوية  $\theta_2 = 30^\circ$  ، لدينا

$$P_2 = S_2 \cos 30^\circ = (\sqrt{3}/2)S_2, \quad Q_2 = S_2 \sin 30^\circ = \frac{1}{2}S_2,$$

$$(S')^2 = (P + P_2)^2 + (Q - Q_2)^2$$

وبما أن

$$S_2 = 12.8 \text{ kVA} \quad , \quad (25)^2 = (12 + \sqrt{3}/2 S_2)^2 + (16 - \frac{1}{2} S_2)^2$$

١٢-٧ المحول  $500 \text{ kVA}$  يعمل بكامل سعة بعامل قدرة كل يساوى  $0.6$

لاحق . فإذا أريد تحسين عامل القدرة بإضافة مجموعة مكثفات حتى يصبح عامل القدرة الكلى يساوى  $0.9$  لاحق ، فحين عدد الـ  $\text{kvar}$  للمكثفات المطلوبة . ثم أحسب النسبة المئوية لتحميل المحول بعد تصحيح عامل القدرة .

عندما يكون المحول بكامل سعة (أنظر الشكل ٢١-٧) فإن

$$P = VI \cos \theta = 500(0.6) = 300 \text{ kW}$$

$$\theta = \cos^{-1} 0.6 = 53.1^\circ$$

$$Q = VI \sin \theta = 500 \sin 53.1^\circ = 400 \text{ kvar} \quad (\text{لاحقة})$$

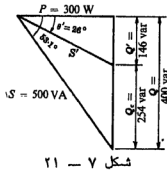
وعندما يكون  $\text{p.f.} = 0.9$  لاحق ، فإن

$$Q' = 333 \sin 26^\circ = 146 \text{ kvar} \quad (\text{لاحقة}) , \quad S' = 300/0.9 = 333 \text{ kVA} \quad , \quad \theta' = \cos^{-1} 0.9 = 26^\circ$$

إذن عدد المكثفات اللازمة هي

$$Q - Q' = 400 - 146 = 254 \quad (\text{سابقة})$$

والنسبة المئوية لتحميل المحول هي  $66.7\% = (333/500)100$



شكل ٢١ - ٧

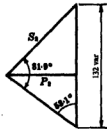
٧-١٣ مجموعة من المحركات الحثية متوسط قدرتها الكلية 500 kW وعامل القدرة لها 0.8 لاحق ، يراد إعادة تشغيلها جزئياً بمجموعة محركات تزامنية لها نفس الكفاءة ولكن عامل القدرة لها 0.707 سابق . ومع استمرار برنامج التشغيل يتحسن عامل القدرة باستمرار . أوجد النسبة المئوية لثمن الحمل الذي يمكن توصيله عندما يصل عامل القدرة لمجموعة 0.9 لاحق .

بما أن المحركات التزامنية لها نفس كفاءة المحركات الحثية فإن متوسط القدرة الكلية يبقى ثابتاً عند 500 kW ، ولدينا قبل إعادة تشغيل المحركات .

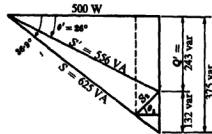
$$Q = 625 \sin 36.9^\circ = 375 \text{ kvar} \quad \text{لاحقة} \quad \theta = \cos^{-1} 0.8 = 36.9^\circ \quad S = 500/0.8 = 625 \text{ kVA}$$

وعندما يصحح عامل القدرة 0.9 لاحقاً يكون

$$Q' = 556 \sin 26^\circ = 243 \text{ kvar} \quad \text{لاحقة} \quad S' = 500/0.9 = 556 \text{ kVA} \quad \theta' = \cos^{-1} 0.9 = 26^\circ$$



(ب)



(أ)

شكل ٧ - ٢٢

وبما أن عامل القدرة للمحركات التزامنية 0.707 سابق ، أي أن  $\theta_2 = \cos^{-1} 0.707 = 45^\circ$  ، إذن من الشكل ٧-٢٢ (ب) وتطبيق قانون الجيب نحصل على

$$S_2/\sin 53.1^\circ = 132/\sin 81.9^\circ, S_2 = 106.5 \text{ kVA}$$

$$P_2 = 106.5 \cos 45^\circ = 75.3 \text{ kW} \quad \text{إذن}$$

والنسبة المئوية للتحميل هي  $150\% = (75.3/500) 100$



مسائل إضافية

١٤ -  $v$  بين الكابل مثلث القدرة لدائرة ، إذا علمت أن الجهد المؤثر هو  $v = 200 \sin(\omega t + 110^\circ)$  volts والتيار الناتج هو  $i = 5 \sin(\omega t + 20^\circ)$  amperes : لاحت  $Q = 500$  var و  $P = 0$

١٥ -  $v$  بين الكابل مثلث القدرة لدائرة ، إذا علمت أن الجهد المؤثر هو  $v = 14.14 \cos \omega t$  volts والتيار الناتج هو  $i = 17.1 \cos(\omega t - 14.05)$  milli-amperes

الجواب :  $p.f. = 0.97$  لاحق ،  $Q = 29.6$  mvar ،  $P = 117.5$  milliwatts

١٦ -  $v$  بين الكابل مثلث القدرة لدائرة ، إذا علمت أن الجهد المؤثر هو  $v = 340 \sin(\omega t - 60^\circ)$  volts والتيار الناتج هو  $i = 13.3 \sin(\omega t - 48.7)$  amperes

الجواب :  $Q = 442$  var سابقة ،  $P = 2215$  W ،  $p.f. = 0.98$  سابق

١٧ -  $v$  بين مثلث القدرة لدائرة توالى تتكون من عنصرين  $R = 10 \Omega$  ،  $X_C = 5 \Omega$  إذا علمت أن القيمة الفعالة للجهد المؤثر هي  $120$  V

الجواب :  $S = 1154 - j577$  VA ،  $p.f. = 0.894$  لاحق

١٨ -  $v$  بين مثلث القدرة لدائرة توالى تتكون من عنصرين  $R = 5 \Omega$  ،  $X_L = 15 \Omega$  إذا علمت أن القيمة الفعالة للجهد عبر المقاومة هي  $31.6$  V

الجواب :  $S = 200 + j600$  VA ،  $p.f. = 0.316$  لاحق

١٩ -  $v$  بين المعلومات الكاملة عن قدرة دائرة توالى تتكون من عنصرين  $R = 8 \Omega$  و  $X_C = 6 \Omega$  إذا علمت أن الجهد المؤثر هو  $V = 50 \angle -90^\circ$  V

الجواب :  $S = 200 - j150$  VA ،  $p.f. = 0.8$  سابق

٢٠ -  $v$  بين معاوقة الدائرة التي تأخذ  $5040$  VA بعامل القدرة  $0.894$  سابق إذا كان الجهد المطاوع المؤثر هو

$V = 150 \angle 45^\circ$  V الجواب :  $4 - j2 \Omega$

٢١ -  $v$  معاوقة تأخذ  $3500$  VA بعامل قدرة  $0.76$  لاحق ، فإذا كانت القيمة الفعالة للتيار المار في المعاوقة هي  $18$  A فممن هذه المعاوقة .

الجواب :  $9.21 + j7.0 \Omega$

٢٢ -  $v$  دائرة توالى تتكون من عنصرين ، فإذا كانت معادلة التيار المار بها هي  $i = 4.24 \sin(5000t + 45^\circ)$  amperes وقدرة الدائرة  $180$  W وعامل القدرة  $0.8$  لاحق ، فممن ثوابت الدائرة .

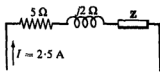
الجواب :  $R = 20$  ohms و  $L = 3$  mH

٧ - ٢٣ معاومتان  $Z_1 = 5.83 \angle -59^\circ \Omega$  ،  $Z_2 = 8.95 \angle 63.4^\circ \Omega$  متصلتان على التوالي ، فإذا كانت القيمة الفعلية لتيار المار بها هي 5A . فحين المعلومات الكاملة عن القدرة .

الجواب :  $S_p = 175 + j75 \text{ VA}$  ،  $\text{p.f.} = 0.918$  لاحق

٧ - ٢٤ معاومتان  $Z_1 = 5 \angle 45^\circ \Omega$  ،  $Z_2 = 10 \angle 30^\circ \Omega$  متصلتان على التوالي فإذا كانت  $Q$  الكلية لهما لاحقة وتساوى 1920 var فأوجد متوسط القدرة  $P$  والقدرة الظاهرية  $S$  .

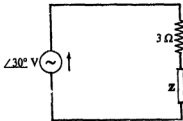
الجواب :  $S = 3350 \text{ VA}$  ،  $P = 2745 \text{ W}$



شكل ٧ - ٢٣

٧ - ٢٥ تأخذ دائرة التوالي الموضحة في الشكل ٢٣ - ٧  $36.4 \text{ VA}$  بمعدل قدرة 0.856 لاحق ، عين  $Z$  في هذه الدائرة .

الجواب :  $Z = 1 \angle 90^\circ \Omega$



شكل ٧ - ٢٤

٧ - ٢٦ إذا كانت قدرة دائرة التوالي الموضحة في الشكل ٢٤ - ٧ هي 300W وعامل القدرة لها 0.6 لاحق ، فحين بالكامل مثلث القدرة وكذلك المعاوقة المجهولة .

الجواب :  $S = 300 + j400 \text{ VA}$  ،  $Z = 4 \angle 90^\circ \Omega$

٧ - ٢٧ معاومتان  $Z_1 = 4 \angle -30^\circ \Omega$  ،  $Z_2 = 5 \angle 60^\circ \Omega$  متصلتان على التوازي ويؤثر عليهما جهد مطاوع  $V = 20 \angle 0^\circ \text{ V}$  . أوجد مثلث القدرة لكل فرع ثم اجمعهما للحصول على مثلث القدرة الكلي .

الجواب :  $Q = 19.3 \text{ var}$  لاحق ،  $P = 126.6 \text{ W}$  ،  $\text{p.f.} = 0.99$  لاحق

٧ - ٢٨ دائرة تتكون من  $R = 10 \Omega$  متصلة على التوازي مع  $Z = 8 \angle -30^\circ \Omega$  . فإذا كانت القيمة الفعلية لتيار الكلي تساوي 5A ، فأوجد بالكامل مثلث القدرة .

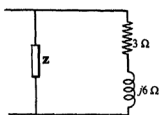
الجواب :  $P = 110 \text{ W}$  ،  $Q = 33 \text{ var}$  سابقة ،  $\text{p.f.} = 0.957$  سابق .

٧ - ٢٩ إذا كان الفرع 1 في دائرة التوازي الموضحة في الشكل ٢٥ - ٧ يحتوي على 8 kvar ، فأوجد القدرة والعامل للقدرة لكليهما .

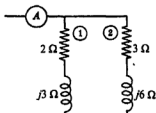
الجواب : 8 kw ،  $\text{p.f.} = 0.555$  لاحق .

٧ - ٣٠ إذا كان الفرع 2 في دائرة التوازي الموضحة في الشكل ٢٦ - ٧ يحتوي على 1490 volt amperes ، فأوجد قراءة الأميتر ، عين المعلومات الكاملة عن القدرة .

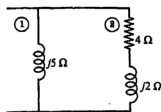
الجواب : 42.4 A ،  $S = 2210 + j3630 \text{ VA}$  ،  $\text{p.f.} = 0.521$  لاحق



شكل ٢٥ - ٧



شكل ٢٦ - ٧



شكل ٢٧ - ٧

٢٥ - ٧ في دائرة التوازي الموضحة في الشكل ٢٥-٧ ، كانت قدرة المقاومة  $3 \Omega$  هي  $666 \text{ W}$  فإذا كانت الدائرة كلها تأخذ  $3370 \text{ VA}$  بعامل قدرة  $0.937$  سابق ، فأوجد  $Z$  .

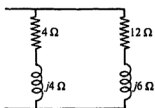
الجواب :  $Z = 2 - j2 \Omega$

٢٦ - ٧ إذا كانت دائرة التوازي الموضحة في الشكل ٢٦-٧ لها قدرة كلية  $1500 \text{ W}$  ، فمبن بالكامل مثلث القدرة .

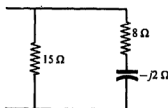
الجواب :  $S = 1500 + j2480 \text{ VA}$  ،  $\text{p.f.} = 0.518$  لاحق

٢٧ - ٧ إذا كانت القدرة الكلية للدائرة الموضحة في الشكل ٢٧-٧ هي  $2000 \text{ W}$  ، فأوجد القدرة في كل مقاومة .

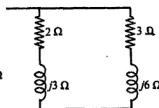
الجواب :  $P_1 = 724 \text{ W}$  ،  $P_2 = 1276 \text{ W}$



شكل ٢٨ - ٧



شكل ٢٩ - ٧



شكل ٣٠ - ٧

٢٨ - ٧ إذا كانت  $Q$  الكلية لدائرة التوازي الموضحة في الشكل ٢٨-٧ لاحقة وتساوي  $2500 \text{ var}$  ، فمبن بالكامل مثلث القدرة .

الجواب :  $S = 3920 \text{ VA}$  ،  $P = 3020 \text{ W}$  و  $\text{p.f.} = 0.771$  لاحق

٢٩ - ٧ أوجد حامل القدرة لدائرة التوازي الموضحة في الشكل ٢٩-٧ . إذا غيرت المقاومة  $6 \Omega$  ليصبح حامل القدرة  $0.9$  لاحق فأوجد قيمة المقاومة الجديدة .

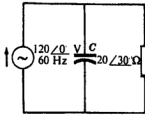
الجواب :  $R = 3.22 \Omega$  ،  $\text{p.f.} = 0.8$  لاحق

٧ - ٣٩ إذا كان الحمل الأساسي الدائرة الموضحة في الشكل ٦-٣٢ هو  $Z_L = 5 + j8.66 \Omega$  ، فإذا أضيف له مكثف  $20 \mu F$  على التوازي وذلك لتحسين عامل القدرة ، فأوجد النسبة المئوية للنقص في التيار الكلي .

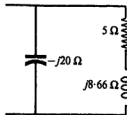
الجواب : 38 %

٧ - ٣٧ في دائرة التوازي الموضحة في الشكل ٧-٣٣ ، أوجد سعة المكثف  $C$  اللازمة لتصحيح عامل القدرة ليصبح 0.95 لاحق .

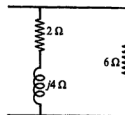
الجواب :  $C = 28.9 \mu F$



شكل ٧ - ٣٣



شكل ٧ - ٣٢



شكل ٧ - ٣١

٧ - ٣٨ مصدر جهد تردده 60 Hz وقيمته الفعالة 240V ، يغذي حملا بـ 4500VA بهامل قدرة 0.75 لاحق . أوجد سعة المكثف اللازم توصيله على التوازي مع الحمل لتحسين عامل القدرة إلى (أ) 0.9 لاحق ، (ب) 0.9 سابق .

الجواب : (أ)  $61.3 \mu F$  ، (ب)  $212 \mu F$

٧ - ٣٩ في المسألة ٧-٣٨ أوجد النسبة المئوية للنقص في تيار الخط الناتج في الجزء (أ) . هل يوجد أي نقص آخر في تيار الجزء (ب) ؟

الجواب : 16.7% ، لا ، التيارات تظل كما هي .

٧ - ٤٠ ثلاث معاومات  $Z_1 = 20 \angle 30^\circ \Omega$  ،  $Z_2 = 15 \angle 45^\circ \Omega$  ،  $Z_3 = 10 \angle 0^\circ \Omega$  متصلة على التوازي ويؤثر عليهم مصدر جهد  $V = 100 \angle 45^\circ V$  . أوجد مثلث القدرة لكل فرع ثم اجمعهما لتحصل على مثلث القدرة الكلي . الجواب :  $P = 1904 W$  ،  $Q = 221 var$  ،  $S = 1920 VA$  ،  $p.f. = 0.993$  سابق .

٧ - ٤١ في المسألة ٧-٤٠ إذا كان مصدر الجهد 100 V يغذي الأفرع الثلاثة في دائرة التوازي بـ 1920 VA بهامل قدرة 0.993 سابق ، فاحسب التيار الكلي الذي تأخذها الدائرة .

الجواب : 19.2 A سابق للجهد 19.2 A بزاوية  $6.62^\circ$

٢ - ٤ مصدر  $V = 240 \angle -30^\circ$  يؤثر على ثلاث معاوقات  $Z_1 = 25 \angle 15^\circ \Omega$  ،  $Z_2 = 15 \angle 60^\circ \Omega$  ،  $Z_3 = 15 \angle 90^\circ \Omega$  .  
 أوجد مثلث القدرة لكل فرع ثم اجمعهما للحصول على  
 مثلث القوى الكلي .

الجواب :  $P = 4140 \text{ W}$  ،  $Q = 1115 \text{ var}$  ،  $S = 4290 \text{ VA}$  ،  $\text{p.f.} = 0.967$  لاحق .

٣ - ٤ أوجد مثلث القدرة الكلي للأحمال الثلاثة التالية : حمل ١ ، kW بمعامل قدرة ٠.٨ لاحق ، حمل ٢ ، ٤ kVA له تساوى 2kvar سابقة ، حمل ٣ ، 6 KVA بمعامل قدرة ٠.٩ لاحق .

الجواب :  $P = 13.86 \text{ kW}$  ،  $Q = 4.38 \text{ kvar}$  لاحق ،  $S = 14.55 \text{ kVA}$  ،  $\text{p.f.} = 0.965$  لاحق .

٤ - ٤ أوجد مثلث القدرة الكلي للأحمال الثلاثة التالية : حمل ١ ، 200 VA بمعامل قدرة ٠.٧ لاحق ، حمل ٢ ، 350 VA بمعامل قدرة ٠.٥ لاحق ، حمل ٣ ، 275 VA بمعامل قدرة يساوى الوحدة .

الجواب :  $P = 590 \text{ W}$  ،  $Q = 446 \text{ var}$  لاحق ،  $S = 740 \text{ VA}$  ،  $\text{p.f.} = 0.798$  لاحق .

٥ - ٤ حمل 300 kW بمعامل قدرة ٠.٦٥ لاحق يراد تحسين عامل القدرة له إلى ٠.٩٠ لاحق وذلك بإضافة مكثف على التوازي . احسب عدد الكVA المكثف المطلوب وكذلك النسبة المئوية في النقص في KVA الناتج .

الجواب : 28% ، 204 kvar .

٦ - ٤ حمل صناعي 25 kVA عامل القدرة الكلي له ٠.٨ لاحق . وصل به مجموعة مقاومات وحدات تسخين ( p.f. يساوى الوحدة ) ، فوجد أن عامل القدرة للحقل الصناعي كله ٠.٨٥ لاحق احسب عدد kW التي تأخذها مقاومات التسخين .

الجواب : 4.3 kW .

٧ - ٤ حمل عبارة عن محرك حتى 1500 W بمعامل قدرة ٠.٧٥ لاحق . وصل مع محركات متزامنة 500VA بمعامل قدرة ٠.٦٥ سابق . احسب Kvat المكثفات اللازمة لتحسين عامل القدرة الكلي لمجموعة المحركات إلى ٠.٩٥ لاحق . احسب كذلك النسبة المئوية للنقص في VA الناتج .

الجواب : 347 var ، 6.3% .

٨ - ٤ صحح عامل القدرة لحمل إلى ٠.٩ لاحق وذلك بإضافة مكثفات 20 kvar ، فإذا كان kVA النهائي هو 185 ، فأوجد مثلث القدرة للعمل قبل التصحيح .

الجواب :  $P = 166.5 \text{ kW}$  ،  $Q = 101.0 \text{ kvar}$  لاحق ،  $\text{p.f.} = 0.856$  لاحق

٩ - ٤ وصل محرك حتى 2000VA بمعامل قدرة ٠.٨ لاحق مع محركات تزامنية 500 VA ، فإذا كان عامل القدرة الكلي لاحقاً ، فأوجد عامل القدرة للمحركات التزامنية .

الجواب : ٠.٩٢ سابق .

٧ - ٥٠ وصل حمل 65 kVA بـ عامل قدرة لاحق مع 25 kVA محركات تزامنية بـ عامل قدرة 0.6 سابق . فإذا كان عامل القدرة الكلي 0.85 لاحقاً ، فأوجد عامل القدرة للحمل 65 kVA .  
الجواب : 0.585

٧ - ٥١ محول 100 kVA حمل إلى 80% من تحميله الكلي وكان عامل القدرة 0.85 لاحقاً . فإذا وصل به حمل عامل القدرة له 0.6 لاحق ، فأوجد عدد الـ kVA لهذا الحمل بشرط عدم زيادة معدل التحميل الكلي للمحول .  
الجواب : 21.3 kVA

٧ - ٥٢ محول 250 kVA محمل تحميلاً كلياً وعامل القدرة له 0.8 لاحق . فإذا أردنا تصحيح عامل القدرة إلى 0.9 لاحق وذلك بإضافة مكثفات على التوازي ، فاحسب (أ) عدد kvar للمكثفات المطلوبة ، (ب) عدد kw لحمل جديد عامل القدرة له يساوى الوحدة يمكن إضافته بشرط عدم زيادة معدل التحميل الكلي للمحول .  
الجواب : 52.5 kvar ، 30.0 kW

٧ - ٥٣ ن المسألة ٧-٥٢ إذا وصلنا حملاً جديداً عامل القدرة له 0.5 لاحق إلى المجموعة بعد توصيل المكثفات فاحسب عدد kVA لهذا الحمل الذى يمكن إضافتها مع عدم زيادة معدل kVA للمحول .  
الجواب : 32kVA

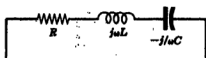
## الفصل الثامن

### رنين التوالى والتوازى

مقدمة :

يقال عن دائرة إنها في حالة رنين إذا كان الجهد المؤثر  $V$  والتيار الناتج  $I$  في طور واحد . وعلى ذلك فإنه في حالة الرنين تتكون المعاوقة المكافئة للدائرة من المقاومة  $R$  فقط .  
وحيث أن  $V$  و  $I$  في طور واحد فإن عامل القدرة للدائرة رنين يساوى الوحدة .

رنين التوالى :

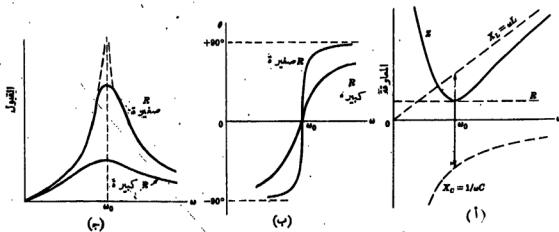


شكل ٨-١

معاوقة الدائرة التي تتكون من  $RLC$  حل التوالى والموصمة في الشكل ٨-١ هي  $Z = R + j(\omega L - 1/\omega C) = R + jX$  وعلى ذلك فإن الدائرة تكون في حالة رنين إذا كانت  $X = 0$  ، أى عندما  $\omega L = 1/\omega C$  أو  $\omega = 1/\sqrt{LC} = \omega_0$  . وبما أن  $\omega = 2\pi f$  فإن ذبذبة الرنين تعطى بالمعادلة .

$$f_0 = \frac{1}{2\pi\sqrt{LC}} \text{ Hz}$$

يوضح الشكل ٨-٢ (١) تغير القيمة المطلقة لـ  $Z$  وكذلك مركباتها الثلاثة  $R$  و  $X_L$  و  $X_C$  كدوال في  $\omega$  . ونلاحظ أنه عندما  $\omega = \omega_0$  فإن الممانعة الخلية تساوى الممانعة السعوية ، وبما أن  $|Z| = \sqrt{R^2 + X^2}$  فإن  $Z = R$  . وعلى ذلك فإن المعاوقة  $Z$  تكون أصغر ما يمكن عند الرنين ، بما أن  $I = V/Z$  فإن التيار يكون نهاية كبرى .



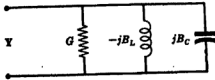
شكل ٨-٢ . دائرة توالى  $Z$  و  $\theta$  و  $P$  كدوال في  $\omega$

وعند ذبذبات أقل من  $\omega_0$  فإن المسامنة السعوية تكون أكبر من المسامنة الحثية ، ولهذا تكون زاوية المعاوقة سالبة . إذا كانت قيمة المقاومة صغيرة فإن الزاوية تتغير بسرعة أكبر مع الذبذبة كما هو موضح في الشكل ٨ - ٢ (ب) . وعندما تقترب  $\omega$  من الصفر فإن زاوية المعاوقة تقترب من  $90^\circ$  - .

وعند ذبذبات أكبر من  $\omega_0$  فإن المسامنة الحثية تكون أكبر من المسامنة السعوية ، ولهذا تكون زاوية المعاوقة موجبة وتقترب من  $90^\circ +$  عندما  $\omega \gg \omega_0$  .

يوضح الشكل ٨ - ٢ (ج) تغير مسامنة دائرة التوازي  $Y = 1/Z$  كدالة في  $\omega$  . وبما أن  $Y = YY$  فإن هذا الرسم يعطى أيضا دلالة على تغير التيار مع  $\omega$  . وعلى ذلك فإن الشكل ٨ - ٢ (ج) يوضح أن التيار يصل إلى نهايته العظمى عند  $\omega_0$  ، وعندما تكون قيمة المقاومة صغيرة فإن قيمة التيار تكون كبيرة . ويوضح المنحنى النقطي الحالة النهائية عندما  $R = 0$  . وزاوية المسامنة (غير موصدة هنا) تساوي سالب زاوية المعاوقة الموصدة في الشكل ٨ - ٢ (ب) .

### رنين التوازي ، دائرة RLC نغية



شكل ٨ - ٢

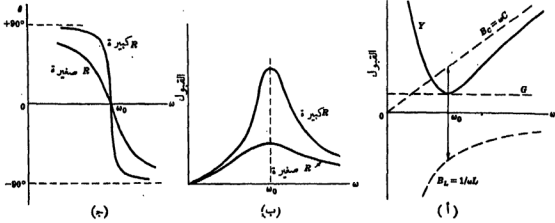
تعرف دائرة التوازي الموصدة في الشكل ٨ - ٢ والتي تتكون من أفرع في كل منها عنصر من العناصر  $R$  ،  $L$  ،  $C$  بأنها دائرة مثالية . وعلى ذلك فإن عمل هذه الدائرة من الأهمية في موضوع الرنين عموما . ويمكن مقارنة دائرة التوازي المثالية هذه بدائرة التوازي السابق دراستها بما يوضح أزدواجية مشتركة بين الدائرتين .

إن مسامنة العناصر الثلاثة هي  $B_C = \omega C$  ،  $B_L = 1/\omega L$  حيث  $Y = G + j(\omega C - 1/\omega L) = G + jB$  . والدائرة في حالة رنين عندما  $B = 0$  . أي عندما  $\omega C = 1/\omega L$  أو  $\omega = 1/\sqrt{LC}$  . وكما في دائرة التوازي RLC فإن ذبذبة الرنين هي

$$f_0 = \frac{1}{2\pi\sqrt{LC}} \text{ Hz}$$

ويوضح الشكل ٨ - ٤ (أ) تغير كل من القيمة المطلقة لمسامنة  $Y$  ومركباتها الثلاثة  $B_C$  ،  $B_L$  ،  $G$  كدوال في الذبذبة  $\omega$  وعند  $\omega = \omega_0$  فإن التنبؤية السعوية والحثية تكونان متساويتين  $Y = G$  . وعلى ذلك فقد الرنين تكون المسامنة نهاية صفري ، وبما أن  $I = VY$  فإن التيار يكون نهاية صفري أيضا .

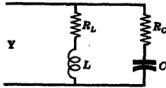




شكل ٨ - دوائر توازي Y ، Z و θ دوال في ω

عند ذبذبة أقل من  $\omega_0$  تزيد التغطية الحثية عن التغطية السعوية وتكون زاوية Y سالبة . وعلى ذلك فإن زاوية المعاودة تكون موجبة وتقترب من  $+90^\circ$  عندما تقترب  $\omega$  من الصفر . انظر الشكل ٨ - (ج) .

وعند ذبذبة أكبر من  $\omega_0$  فإن زاوية Z تكون سالبة ويكون تغيرها كدالة في  $\omega$  أسرع عندما تكون قيمة R كبيرة .



### دوائر التوازي ، دائرة من فرعين

تكون المساحة Y لدائرة التوازي المكونة من فرعين الموضوعة في الشكل ٨ - هـ من مجموع مساحة كل فرع على حدة .

$$\begin{aligned} \text{شكل ٨ - هـ} \quad Y &= Y_L + Y_C = \frac{1}{R_L + jX_L} + \frac{1}{R_C - jX_C} \\ &= \left( \frac{R_L}{R_L^2 + X_L^2} + \frac{R_C}{R_C^2 + X_C^2} \right) + j \left( \frac{X_C}{R_C^2 + X_C^2} - \frac{X_L}{R_L^2 + X_L^2} \right) \end{aligned}$$

والدائرة تكون في حالة رنين إذا كانت المساحة المركبة عددا حقيقيا ، إذن  $X_C/(R_C^2 + X_C^2) = X_L/(R_L^2 + X_L^2)$

$$(1) \quad \frac{1}{\omega_0 C} (R_L^2 + \omega_0^2 L^2) = \omega_0 L (R_C^2 + 1/\omega_0^2 C^2)$$

ويمكن تغيير أى من الكميات الخمس الموجودة في المعادلة (1) للحصول على الرنين .

وبحل المعادلة (1) للحصول على  $\omega_0$  نجد أن

$$(2) \quad \omega_0 = \frac{1}{\sqrt{LC}} \sqrt{\frac{R_L^2 - L/C}{R_C^2 - L/C}}$$

وعلى ذلك فإن ذبذبة الرنين  $\omega_0$  للدائرة توازي تتكون من فرعين تختلف عن حيلتها في دائرة التوازي التي تتكون من العناصر  $R$  ،  $L$  ، و  $C$  على التوازي بالعامل .

$$\sqrt{\frac{R_L^2 - L/C}{R_C^2 - L/C}}$$

وحيث أن الذبذبة لا بد وأن تكون عددا حقيقيا موجبا فإن يكون للدائرة ذبذبة دليق  $\omega_0$  عندما  $R_L^2 > L/C$  و  $R_C^2 > L/C$  أو  $R_L^2 < L/C$  و  $R_C^2 < L/C$  . وعندما  $R_L^2 = R_C^2 = L/C$  فإن الدائرة تكون في حالة رنين عند جميع التذبذبات ، وهذه الحالة الخاصة أنظر المسألة ٨ - ١٢ .

وبحل المعادلة (١) للحصول على  $L$  ، نجد أن

$$L = \frac{1}{4}C \left[ (R_C^2 + X_C^2) \pm \sqrt{(R_C^2 + X_C^2)^2 - 4R_L^2 X_C^2} \right]$$

أو ، بما أن  $Z_C = \sqrt{R_C^2 + X_C^2}$

$$L = \frac{1}{4}C \left[ Z_C^2 \pm \sqrt{Z_C^4 - 4R_L^2 X_C^2} \right] \quad (٢)$$

والآن إذا كان في المعادلة (٢)  $Z_C^4 > 4R_L^2 X_C^2$  فإننا نحصل على قيمتين لـ  $L$  تكون الدائرة عندها في حالة رنين . وإذا كان  $Z_C^4 = 4R_L^2 X_C^2$  فإن الدائرة تكون في حالة رنين عند  $L = \frac{1}{4}CZ_C^2$  . وعندما  $Z_C^4 < 4R_L^2 X_C^2$  فإنه لا توجد قيمة لـ  $L$  تجعل الدائرة في حالة رنين .

وبحل المعادلة (١) للحصول على  $C$  ، نجد أن

$$C = \frac{2L}{\left[ Z_L^2 \pm \sqrt{Z_L^4 - 4R_C^2 X_L^2} \right]} \quad (٤)$$

وهنا إذا كان  $Z_L^4 > 4R_C^2 X_L^2$  فإننا نحصل على قيمتين لـ  $C$  تكون الدائرة عندها في حالة رنين .

وبحل المعادلة (١) للحصول على  $R_L$  ، نجد أن

$$R_L = \sqrt{\omega^2 L C R_C^2 - \omega^2 L^2 + L/C} \quad (٥)$$

وبالحل للحصول على  $R_C$  ، نجد أن

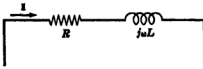
$$R_C = \sqrt{R_L^2 / (\omega^2 L C) - 1 / \omega^2 C^2 + L/C} \quad (٦)$$

وإذا كان الجذر في كل من المعادلتين (٥) ، (٦) موجبا فإننا نحصل على قيمة لكل من  $R_L$  ،  $R_C$  تكون عندها دائرة التوازي المكونة من فرعين في حالة رنين .

### عامل الجودة $Q$

يعرف عامل الجودة للملفات والمكثفات والدوائر بأنه

$$\text{عامل الجودة } Q = \frac{\text{أكبر طاقة مخزنة}}{\text{الطاقة المستنفذة في كل دورة}} \times 2\pi$$



شكل ٨ - ٦

تمثل الطاقة المستنفذة في الدورة للدائرة الموضحة في الشكل ٨ - ٦ والشكل ٨ - ٧ بحاصل ضرب متوسط الطاقة في المقاومة  $(I_{\max}/\sqrt{2})^2 R$  وزمن الدورة  $T$  أو  $1/f$ .

وتمثل أكبر طاقة مخزنة في دائرة التوالي  $RL$  الموضحة في الشكل ٨ - ٦ بالقيمة  $\frac{1}{2}LI_{\max}^2$  . إذن

$$Q = 2\pi \frac{\frac{1}{2}LI_{\max}^2}{(I_{\max}^2/2)R(1/f)} = \frac{2\pi fL}{R} = \frac{\omega L}{R}$$

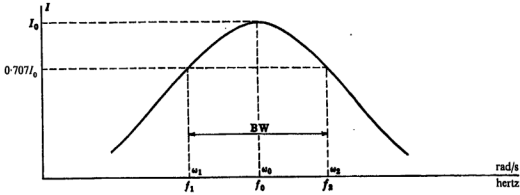
وتمثل أكبر طاقة في دائرة التوالي  $RC$  الموضحة في الشكل ٨ - ٧ بالقيمة  $\frac{1}{2}CV_{\max}^2$  أو  $\frac{1}{2}I_{\max}^2/\omega^2 C$  . إذن

$$Q = 2\pi \frac{\frac{1}{2}I_{\max}^2/\omega^2 C}{(I_{\max}^2/2)R(1/f)} = \frac{1}{\omega CR}$$

والطاقة المخزنة في دائرة  $RLC$  على التوالي عند الرنين ثابتة . وذلك لأنه عندما يكون جهد المكثف أكبر ما يمكن يكون تيار الملف مساوياً للصفر والعكس بالعكس ،  $\frac{1}{2}CV_{\max}^2 = \frac{1}{2}LI_{\max}^2$  . إذن

$$Q_0 = \frac{\omega_0 L}{R} = \frac{1}{\omega_0 CR}$$

في دائرة التوالي  $RLC$  نجد أن تيار دالة في اللابندية مشابه لمنحنى المساحة في الشكل ٨ - ٢ ( ج ) . وفي الشكل ٨ - ٨ رسم تيار دائرة  $RLC$  كدالة في  $\omega$  أو كدالة في  $f$  وذلك مع تغيير مناسب في المحور الأفقي . وعند  $\omega_0$  يصل التيار  $I_0$  إلى قيمته العظمى . وقد وضع في الرسم النقطة التي يكون عندها التيار مساوياً 0.707 من قيمته العظمى ، والذبذبات المقابلة هي  $\omega_1$  و  $\omega_2$  .



شكل ٨ - ٨

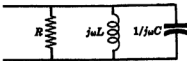
وبما أن القدرة الممتصة للدائرة هي  $I^2 R$  ، فمنه  $I = 0.707 I_0$  تكون القدرة نصف قيمتها العظمى الناتجة عند  $\omega_0$  وتسمى التعتبان المقابلتان لـ  $\omega_1$  و  $\omega_2$  بنقطتي نصف القدرة وتسمى المسافة بين هاتين النقطتين مقدرة بوحدة hertz باتساع الفريط BW .

والآن يمكن التعبير عن عامل الجودة بالنسبة بين ذبذبة الرنين إلى اتساع الفريط ، إذن (أنظر المسألة ٨ - ١٣) .

$$Q_0 = \frac{\omega_0}{\omega_2 - \omega_1} = \frac{f_0}{f_2 - f_1} = \frac{f_0}{BW}$$

وذبذبة الرنين  $\omega_0$  هي المتوسط الهندسي للذبذبتين ،  $\omega_1$  و  $\omega_2$  (أنظر المسألة ٨ - ٦)

$$f_0 = \sqrt{f_1 f_2} , \quad \omega_0 = \sqrt{\omega_1 \omega_2}$$



شكل ٩ - ٨

تتميز دائرة التوازي المكونة من الأفرع الثلاثة والموضحة في الشكل ٨ - ٩ عند الرنين كمية ثابتة من الطاقة . وذلك لأنه إذا كان تيار الملف نهاية عظمى يكون جهد المكثف مساوياً للصفر والعكس بالعكس

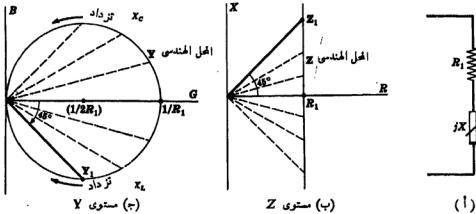
$$\frac{1}{2} L i_{\max}^2 = \frac{1}{2} C V_{\max}^2 \quad \text{أي أن}$$

$$Q_0 = \frac{R}{\omega_0 L} = \omega_0 C R \quad \text{إذن}$$

### الشكل المحل الهندسي :

يمكن تحليل الدوائر ذات العنصر الواحد باستخدام أشكال المحل الهندسي لمساحة الدائرة ، وحيث أن  $V = I \cdot Z$  ، ثابت ، فإن المحل الهندسي للكمية  $Y$  يمثل تغير  $I$  مع تغير العنصر المتغير .

تتكون دائرة التوالي الموضحة في الشكل ٨ - ١٠ ( أ ) من مقاومة ثابتة وعازمة متغيرة يمكن أن تأخذ قيمًا موجبة أو سالبة . وإذا اعتبرنا أن مستوى  $Z$  يتكون من مجموعة الأعداديات الكسرية  $R$  ،  $X$  ، فإن المحل الهندسي للمعاوقة  $Z$  للدائرة المحطة هو خط مستقيم يوازي المحور  $X$  ويقطع المحور  $R$  عند  $R_1$  ، كما هو موضح في الشكل ٨ - ١٠ ( ب )



شكل ٨ - ١٠

ويمكننا تعيين المحل الهندسي لمساحة الدائرة المحطة  $Y$  في مستوى  $Y$  المتكون من مجموعة الأعداديات الكسرية  $B$  ،  $G$  .

$$Z = 1/Y$$

$$(1) \quad R_1 + jX = \frac{1}{G + jB}$$

ويتجزء المعادلة ( ١ ) على شكل كمور وسواء الأجزاء الحقيقية نجد أن

$$R_1 = \frac{G}{G^2 + B^2}$$

$$(2) \quad G^2 - G/R_1 + B^2 = 0 \quad \text{أو}$$

وبإضافة  $1/4R_1^2$  لكلا طرفي المعادلة ( ٢ ) ثم تبسيطها نجد أن

$$(3) \quad \left(G - \frac{1}{2R_1}\right)^2 + B^2 = \left(\frac{1}{2R_1}\right)^2$$

وبمقارنة الصيغة القياسية لمعادلة دائرة في الهندسة التحليلية  $(x - h)^2 + (y - k)^2 = r^2$  بالمعادلة ( ٣ ) ، نلاحظ

أن المحل الهندسي للمستوى الكمية  $Y$  هو عبارة عن دائرة مركزها عند  $(1/2R_1, 0)$  ، ونصف قطرها  $1/2R_1$  .

كما هو موضح في الشكل ٨ - ١٠ ( ج ) .

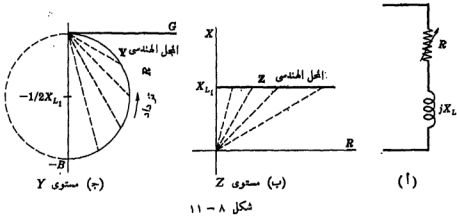
ويتقابل كل نقطة في المحل الهندسى للمقاومة  $Z$  نقطة في المحل الهندسى للمساحة  $Y$  . ويتقابل كل نقطة في المحل الهندسى لـ  $Z$  فوق المحور  $R$  نقطة على نصف الدائرة تحت المحور  $G$  في مستوى  $Y$  . وأيضا  $\infty$  على المحل الهندسى لـ  $Z$  تتقابل نقطة الأصل في مستوى  $Y$  . وبالمثل فإن أى نقطة تحت المحور  $R$  في المحل الهندسى لـ  $Z$  يتقابلها نقطة على النصف دائرة فوق المحور  $G$  في مستوى  $Y$  . و  $\infty$  على المحل الهندسى لـ  $Z$  تتقابل نقطة الأصل في المستوى  $Y$  . وبملاحظة المواقف النسبية لـ  $Z_1$  و  $Y_1$  فإن معنى  $Z_1$  و  $Y_1$  عن نقطة الأصل المتقابلة مختلفان بينما تتساوى الزوايا على المحور الأتى ولكن بإشارة مختلفة .

بتثبيت الممانعة الحثية وتغيير المقاومة كما هو في الشكل ٨ - ١١ ( أ ) يكون المحل الهندسى للمقاومة  $Z$  عبارة عن خط مستقيم في الربع الأول لمستوى  $Z$  . عند تساوى  $X_{L1}$  . وباستخدام نفس الطريقة السابقة تكون معادلة المحل الهندسى لـ  $Y$  هي

$$(4) \quad G^2 + (B - 1/2X_{L1})^2 = (1/2X_{L1})^2$$

وبمقارنة المعادلة (٤) بالصيغة القياسية لمعادلة دائرة ، نجد أن المحل الهندسى لـ  $Y$  هو دائرة مركزها عند  $(0, -1/2X_{L1})$  ونصف قطرها  $1/2X_{L1}$  في مستوى  $Y$  . أنظر الشكل ٨ - ١١ ( ج ) .

وبحيث أن المحل الهندسى لـ  $Z$  في الشكل ٨ - ١١ (ب) يتكون من خط مستقيم في الربع الأول في المستوى  $Z$  فإن نصف الدائرة الواقعة في الربع الرابع في مستوى  $Y$  هو فقط تحويل المحل الهندسى لـ  $Z$  لهذه الدائرة .

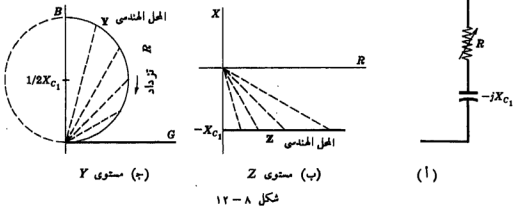


شكل ٨ - ١١

عند توصيل ممانعة سعوية على التوالى مع مقاومة متغيرة كما في الشكل ٨ - ١٢ ( أ ) فإن المحل الهندسى لـ  $Z$  يكون خطا أفقيا في الربع الرابع في مستوى  $Z$  عند  $X = -X_{C1}$  . أنظر الشكل ٨ - ١٢ ( ب ) . وباستخدام نفس الطريقة السابقة تكون معادلة المحل الهندسى لـ  $Y$  هي .

$$(5) \quad G^2 + (B + 1/2X_{L1})^2 = (1/2X_{L1})^2$$

وبمقارنة المعادلة (٥) بالصيغة القياسية لمعادلة دائرة ، نرى أن المحل الهندسي لـ  $Y$  عبارة عن نصف دائرة مركزها عند  $(0 \text{ و } 1/2X_{C1})$  ونصف قطرها  $1/2X_{C1}$  في الربع الرابع لمستوى  $Y$ . أنظر الشكل ٨-١٢ (ج).

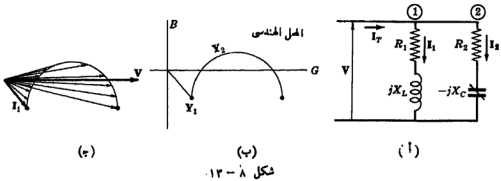


### اشكال المحل الهندسي للتيار :

أعتبر دائرة التوازي الموضحة في الشكل ٨-١٣ (أ) والتي تتكون من مقاومة ثابتة  $R_1$  متصلة على التوالي مع ممانعة ثابتة  $jX_L$  في الفرع الأول ومقاومة ثابتة  $R_2$  متصلة على التوالي مع ممانعة متغيرة  $-jX_C$  في الفرع الثاني . وتكون المساحة الكلية للفرعين المتصلين على التوازي هي

$$Y_T = Y_1 + Y_2$$

في الشكل ٨-١٣ (ب) بإضافة المحل الهندسي للفرع الثاني  $Y_2$  إلى النقطة الثابتة  $Y_1$  نحصل على المحل الهندسي  $Y_T$  .



وحيث أن التيار يعطى بـ  $I = VY$  فإن الشكل ٨-١٣ (ج) يبين أنه بإضافة التيار الثابت  $I_1$  إلى القيم المختلفة لتيار  $I_2$  ينتج لدينا المحل الهندسي لتيار الكلي. ويوضح الشكل أيضا كيف أنه توجد قيمتان لـ  $C$  يكون عندهما التيار الكلي في نفس اتجاه  $V$ .

وبإعادة اختيار الشكل ٨-١٣ (ج) يتضح أنه تحت ظروف معينة فإنه من المحتمل ألا نجد قيمة لـ  $C$  يحدث عندها الرنين. فإذا نقص نصف قطر دائرة المحل الهندسي بطريقة ما بحيث لا يتقاطع المنحنى مع المحور  $V$  فإنه لا توجد قيمة لـ  $C$  يحدث عندها رنين. وفي المسائل التالية اختبارات لتطبيقات لأشكال المحل الهندسي.

### مسائل محلولة

٨-١ في دائرة  $RLC$  على التوالي  $L = 5 \text{ mH}$  ،  $C = 12.5 \mu\text{F}$  ،  $R = 10 \Omega$  ادرس قيمة زواوية المعاوقة كدالة في  $\omega$  مع تغير  $\omega$  من  $0.8\omega_0$  إلى  $1.2\omega_0$ .

نجد عند الرنين

$$\omega = \omega_0 = 1/\sqrt{LC} = 1/\sqrt{(5 \times 10^{-3})(12.5 \times 10^{-6})} = 4000 \text{ rad/s}$$

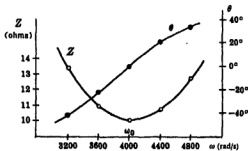
$$X_{L0} = \omega_0 L = 4000(5 \times 10^{-3}) = 20 \text{ ohms}$$

$$X_{C0} = 1/\omega_0 C = 1/(4000 \times 12.5 \times 10^{-6}) = 20 \text{ ohms}$$

$$Z_0 = R + j(X_{L0} - X_{C0}) = 10 + j(20 - 20) = 10 \angle 0^\circ \text{ ohms} \quad \text{إذن}$$

وبما أن  $X_C = 1/\omega C$  ،  $X_L = \omega L$  ، إذن  $X_L/X_{L0} = \omega/\omega_0$  و  $X_C/X_{C0} = \omega_0/\omega$  . وعلى ذلك فإنه يمكن حساب قيم  $Z$  و  $X_C$  و  $X_L$  عند ذهنيات أخرى .

وفي الشكل ٨-١٤ (أ) دوفت قيم الممانعات والمعاوقات ، ويوضح الشكل ٨-١٤ (ب) الرسم المطلوب .



(ب)

$\omega$ (rad/s)	$X_L$ ( $\Omega$ )	$X_C$ ( $\Omega$ )	$Z$ ( $\Omega$ )
3200	16	25	$10 - j9$ $13.4 / -42^\circ$
3600	18	22.2	$10 - j4.2$ $10.8 / -22.8^\circ$
4000	20	20	10 $10 / 0^\circ$
4400	22	18.2	$10 + j3.8$ $10.7 / 20.8^\circ$
4800	24	16.7	$10 + j7.3$ $12.4 / 36.2^\circ$

(أ)



٢-٨ إذا أثر جهد  $V = 100 \angle 0^\circ$  V على دائرة التوالي الموضحة في المسألة ٨-١. فأوجد الجهد عبر كل عنصر عندما  $\omega$  تساوي 3600 و 4000 و 4400 rad/s. ارسم شكل الجهد المطاوع عند كل ذبذبة.

عند  $\omega = 3600$  rad/s فإن  $I = V/Z = (100 \angle 0^\circ) / (10 \angle -22.8^\circ) = 9.26 \angle 22.8^\circ$  A  
 $V_R = 9.26 \angle 22.8^\circ (10) = 92.6 \angle 22.8^\circ$  V,  $V_L = 9.26 \angle 22.8^\circ (18 \angle 90^\circ) = 167 \angle 112.8^\circ$  V,  $V_C = 206 \angle -67.2^\circ$  V

عند  $\omega = 4000$  rad/s فإن  $I = (100 \angle 0^\circ) / (10 \angle 0^\circ) = 10 \angle 0^\circ$  A

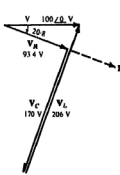
$V_R = 100 \angle 0^\circ$  V,  $V_L = 10 \angle 0^\circ (20 \angle 90^\circ) = 200 \angle 90^\circ$  V,  $V_C = 200 \angle -90^\circ$  V

وعند  $\omega = 4400$  rad/s فإن  $I = (100 \angle 0^\circ) / (10.7 \angle 20.8^\circ) = 9.34 \angle -20.8^\circ$  A

$V_R = 9.34 \angle -20.8^\circ (10) = 93.4 \angle -20.8^\circ$  V,  $V_L = 9.34 \angle -20.8^\circ (22 \angle 90^\circ) = 206 \angle 69.2^\circ$  V,

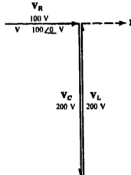
$V_C = 170 \angle -110.8^\circ$  V

ويوضح الشكل ٨-١ أشكال الجهود الثلاثة المطاوعة. لاحظ أنه بالقرب من الترتين فإن قيمة الجهد عبر كل عنصر يمانع في دائرة التوالي تزيد من قيمة الجهد المطاوع.



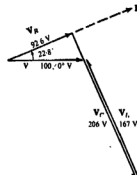
(أ)  $\omega = 4400$  rad/s

(ب)



(ب)  $\omega = 4000$  rad/s

(ج)



(ج)  $\omega = 3600$  rad/s

(١)

شكل ٨-١

٢-٨ دائرة توالى تتكون من  $L = 20$  mH و  $R = 5 \Omega$  و سعة متغيرة  $C$ ، فإذا أثرنا عليها بجهد ذبذبة  $f = 1000$  Hz. فأوجد قيمة  $C$  عند الترتين.

بما أنه عند الترتين تكون الممانعات متساوية أى أن  $2\pi fL = 1/2\pi fC$  إذن

$$C = \frac{1}{L(2\pi f)^2} = \frac{1}{(20 \times 10^{-3})(2\pi \times 1000)^2} = 1.27 \mu\text{F}$$

٤ - أ دائرة توالى تتكون من  $C = 20 \mu F$  و  $R = 5 \text{ ohms}$  وحث متغير  $L$  ، يؤثر عليها جهد  $V = 10 \angle 0^\circ \text{ V}$  ببلدية قدرها  $1000 \text{ rad/s}$  فإذا ضبطت قيمة  $L$  بحيث يصل الجهد عبر المقاومة إلى قيمته العظمى فأوجد الجهد عبر كل عنصر .

بما أن  $V_R = IR_V$  فإن الجهد عبر المقاومة يصل إلى قيمته العظمى عند الرنين أى عندما يصل التيار إلى قيمته العظمى . وحيث أنه تتساوى الممانعات عند الرنين إذن .

$$X_C = \frac{1}{\omega C} = \frac{1}{1000(20 \times 10^{-6})} = 50 \text{ ohms}, X_L = 50 \text{ ohms}$$

$$\text{إذن } I = V/Z = (10 \angle 0^\circ)/(5 \angle 0^\circ) = 2 \angle 0^\circ \text{ A} \quad \text{وحيث أن } Z = R = 5 \angle 0^\circ \Omega$$

$$V_C = 100 \angle -90^\circ \text{ V} \quad \text{و } V_R = 2 \angle 0^\circ (5) = 10 \angle 0^\circ \text{ V}, V_L = (2 \angle 0^\circ)(50 \angle 90^\circ) = 100 \angle 90^\circ \text{ V}$$

٥ - أ إذا أعطيت دائرة  $RLC$  على التوالى فيها  $C = 40 \mu F$  و  $L = 0.5 \text{ H}$  و  $R = 100 \Omega$  ، فاحسب ذبذبة الرنين وكذلك ذبذبتى إلتصاع الشريط  $\omega_1$  و  $\omega_2$  (ذبذبتى منتصف القدرة)

$$f_0 = \omega_0/2\pi = 35.7 \text{ Hz} \quad \text{و } \omega_0 = 1/\sqrt{LC} = 1/\sqrt{0.5(40 \times 10^{-6})} = 224 \text{ rad/s}$$

عند ذبذبة منتصف القدرة الصبرى  $\omega_1$  ، تزداد الممانعة السعوية عن الممانعة الحثية ويكون التيار مساوياً لـ  $0.707$  من قيمته العظمى . وبما أن  $I = V/Z$  إذن  $|Z|$  يساوى  $1.414$  مرة من قيمته عند  $\omega_0$  .

$$\text{وبما أن } Z = 100 \Omega \text{ عند } \omega_0 \text{ إذن } |Z| = 141.4 \text{ ohms} \text{ عند } \omega_1 \text{ . وحيث أن}$$

$$\text{إذن } \theta = -45^\circ \quad \text{و } \cos \theta = R/Z = 100/141.4 = 0.707 \quad \text{و } Z = 100 - j(X_C - X_L) = 141.4/\theta$$

$$(١) \quad 1/\omega_1 C - \omega_1 L = R \quad \text{أو} \quad X_C - X_L = R$$

وبالتعويض فى المعادلة (١) بالقيم المعطاة وحلها للحصول على  $\omega_1$  نجد أن  $\omega_1 = 145 \text{ rad/s}$

$$f_1 = 145/2\pi = 23.1 \text{ Hz}$$

عند ذبذبة منتصف القدرة  $\omega_2$  ، تزداد الممانعة الحثية عن الممانعة السعوية وتكون  $|Z|$  تساوى أيضاً  $141.4 \Omega$  و  $\theta = +45^\circ$  إذن

$$(٢) \quad \omega_2 L - 1/\omega_2 C = R \quad \text{أو} \quad X_L - X_C = R$$

وبالتعويض فى المعادلة (٢) وحلها للحصول على  $\omega_2$  نجد أن  $\omega_2 = 345 \text{ rad/s}$  و  $f_2 = 55 \text{ Hz}$  .

وحيث أن  $\omega_0$  هو المتوسط الهندسى للقيمتين  $\omega_1$  و  $\omega_2$  إذن

$$\omega_0 = \sqrt{\omega_1 \omega_2} = \sqrt{145 \times 345} = 224 \text{ rad/s}$$

٨- بين أن ذبذبة الرنين  $\omega_0$  لدائرة  $RLC$  على التوالي هي المتوسط الهندسي لـ  $\omega_1$  و  $\omega_2$  أي المتوسط الهندسي للذبذبة الأدنى والأعلى للذبذبة منتصف القدرة على الترتيب .

من المسألة ٨- نجد أنه عند  $\omega_1, \omega_2$   $R$  at  $\omega_1, \omega_2$   $1/\omega_1 C - \omega_1 L = R$  وعند  $\omega_2$   $1/\omega_2 C - \omega_2 L = R$  إذن

$$(1) \quad \begin{aligned} 1/\omega_1 C - \omega_1 L &= \omega_2 L - 1/\omega_2 C \\ \text{بضرب المعادلة (١) في } C \text{ والتعويض عن } C &= 1/\omega_0^2 L \text{ نجد أن} \\ 1/\omega_1 + 1/\omega_2 &= (\omega_1 + \omega_2)/\omega_0^2 \quad \text{أو} \quad 1/\omega_1 - \omega_1 \omega_0^2 = \omega_2 - \omega_2 \omega_0^2 \\ \text{ومنها نجد أن} \quad \omega_0 &= \sqrt{\omega_1 \omega_2} \end{aligned}$$

٨- دائرة توالي فيها  $C = 20 \mu F$  و  $L = 0.05 H$  و  $R = 50 \Omega$  ، يؤثر عليها جهد  $V = 100 \angle 0^\circ V$  بلذبذبة متغيرة . أوجد أقصى جهد على الملف مع تغير اللذبذبة .

إن قيمة المعاوقة كدالة في  $\omega$  هي  $Z = \sqrt{R^2 + (\omega L - 1/\omega C)^2}$  ، إذن قيمة التيار هي  $I = V/\sqrt{R^2 + (\omega L - 1/\omega C)^2}$  . قيمة الجهد عبر  $L$  هي

$$(1) \quad V_L = \omega L I = \omega L V / \sqrt{R^2 + (\omega L - 1/\omega C)^2}$$

وبوضع المشتقة  $dV_L/d\omega$  في المعادلة (١) مساوية للصفر ثم بإخايل الحصول على  $\omega$  ، نحصل على قيمة  $\omega$  عندما يصل  $V_L$  إلى نهايته العظمى .

$$(2) \quad \frac{dV_L}{d\omega} = \frac{d}{d\omega} \omega L V (R^2 + \omega^2 L^2 - 2L/C + 1/\omega^2 C^2)^{-1/2} = \frac{\omega L V \frac{1}{2} (R^2 + \omega^2 L^2 - 2L/C + 1/\omega^2 C^2)^{-1/2} (2\omega L^2 - 2/\omega^3 C)}{R^2 + \omega^2 L^2 - 2L/C + 1/\omega^2 C^2}$$

وبتجزئ ،  $L^2 (2\omega L^2 - 2/\omega^3 C) = 0$  في المعادلة (٢) مع وضع البسط مساوياً للصفر نجد أن

$$(3) \quad \omega = \sqrt{\frac{2}{2LC - R^2 C^2}} = 1/\sqrt{LC} \sqrt{\frac{2}{2 - R^2 C/L}} \quad \text{ومنها نجد أن}$$

وحيث أن  $Q_0 = L/\omega_0 R$  ،  $Q_0^2 = L/R^2 C$  ، بالتعويض عنها في المعادلة (٣) نجد أن

$$(4) \quad \omega = \frac{1}{\sqrt{LC}} \sqrt{\frac{2Q_0^2}{2Q_0^2 - 1}}$$

وبالتعويض في المعادلة (٣) بالقيم المعطاة نجد أن

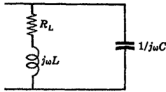
$$\omega = \sqrt{\frac{2}{2(0.05)(20 \times 10^{-6}) - (50 \times 20 \times 10^{-6})^2}} = 1414 \text{ rad/s}$$

وبما أن  $X_L = \omega L = 1414(0.05) = 70.7 \text{ ohms}$  و  $X_C = 1/(\omega C) = 1/(1414 \times 20 \times 10^{-6}) = 35.4 \text{ ohms}$

و  $Z = 1/1/Z = 1/(1/100 + j35.4 - j35.4) = 100 \angle 0^\circ \Omega$  ، إذن  $I = V/Z = 100/100 = 1 \text{ A}$  ،  $V_L = I X_L = 1 \times 70.7 = 70.7 \text{ V}$  ،  $V_C = I X_C = 1 \times 35.4 = 35.4 \text{ V}$  ،  $V_{L(\max)} = 1.635(70.7) = 115.5 \text{ V}$  و

توضح المعادلة (٤) أنه عندما تكون قيمة  $Q$  كبيرة فإن أكبر قيمة للجهد عبر  $L$  تكون عند  $\omega_0 \approx 1/\sqrt{LC}$  . وإذا كانت  $Q$  كبيرة فإننا نحصل أيضاً على أكبر قيمة للجهد عبر كل من  $R$  و  $C$  عند  $\omega_0$  . وعندما تكون  $Q$  صغيرة فإن أكبر قيمة لـ  $V_C$  تحدث عند  $\omega$  أقل من  $\omega_0$  بينما أكبر قيمة لـ  $V_L$  تحدث عند  $\omega$  أكبر من  $\omega_0$  .  
أنظر المسألة ٨ - ٢٨ .

٨ - الشكل ١٦ - ٨ يوضح دائرة قوازي يتصل فيها مكثف مع ملف بحيث  $R_L$  هي مقاومة الملف . أوجد ذبذبة الرنين لهذه الدائرة .



شكل ١٦ - ٨

مساحة الدائرة الكلية هي

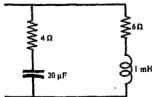
$$Y_T = \frac{1}{R_L + j\omega L} + j\omega C$$

$$= \frac{R_L}{R_L^2 + \omega^2 L^2} + j\left(\omega C - \frac{\omega L}{R_L^2 + \omega^2 L^2}\right)$$

وعند الرنين يكون الجزء التخيلي مساوياً للصفر أو

$$\omega_0 = \frac{1}{\sqrt{LC}} \sqrt{1 - \frac{R_L^2 C}{L}} \quad \text{ومنها} \quad \frac{\omega_0 L}{R_L^2 + \omega_0^2 L^2} = \omega_0 C$$

وإذا كانت مقاومة الملف صغيرة بالمقارنة بـ  $\omega_0 L$  فإن ذبذبة الرنين تعطى بـ  $1/\sqrt{LC}$  .



شكل ١٧ - ٨

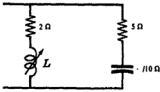
٩ - أوجد ذبذبة الرنين  $\omega_0$  لدائرة القوازي المكونة من فرعين والموضحة في الشكل ٨ - ١٧ . إذا زادت قيمة المقاومة في الفرع  $RC$  فما هي أكبر قيمة لها نجد عندها ذبذبة رنين ؟

$$\begin{aligned}\omega_0 &= \frac{1}{\sqrt{LC}} \sqrt{\frac{R_L^2 - L/C}{R_C^2 - L/C}} \\ &= \frac{1}{\sqrt{10^{-8} \times 20 \times 10^{-6}}} \sqrt{\frac{6^2 - 10^{-9}/(20 \times 10^{-6})}{4^2 - 10^{-9}/(20 \times 10^{-6})}} \\ &= 4540 \text{ rad/s}\end{aligned}$$

إن قيمة بسط المقدار الجذرى هي  $14 = 50 - 36$  . إذن يكون المقدار الجذرى جبراً حقيقياً إذا كان المقام سالباً أى أنه إذا كان  $R_C^2 < L/C$  أو  $R_C < 7.07 \Omega$  . وعندما تقترب قيمة  $R_C$  من  $7.07 \Omega$  فإن اللبدة  $\omega_0$  تقترب من ما لا نهاية .

إذا زادت قيمة  $R_L$  فإن  $\omega_0$  تقترب من الصفر عندما تقترب  $R_L$  من  $7.07 \Omega$  .

١٠-٨ أوجد قيمة  $L$  التى تكون منها الدائرة الموضحة فى الشكل ٨-١٨ فى حالة رنين عند ذبذبة  $\omega = 5000 \text{ rad/s}$



شكل ٨-١٨

المساحة الكلية للدائرة هي

$$\begin{aligned}Y &= \frac{1}{2 + jX_L} + \frac{1}{5 - j10} \text{ siemens} \\ &= \left( \frac{2}{4 + X_L^2} + \frac{5}{125} \right) + j \left( \frac{10}{125} - \frac{X_L}{4 + X_L^2} \right)\end{aligned}$$

ويوضع الجزء التخيل مساوياً للصفر نجد أن

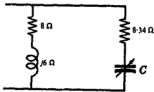
$$10/125 = X_L/(4 + X_L^2) \text{ أو } X_L^2 - 12.5X_L + 4 = 0 \quad (1)$$

وجذرا المعادلة (١) هما  $X_L = 0.33 \Omega$  و  $X_L = 12.17 \Omega$

وبالتعويض بهذه القيم فى المعادلة  $X_L = \omega L$  نجد أن شرط رنين الدائرة هو  $L = 2.43 \text{ mH}$  أو  $0.066 \text{ mH}$  .

١١-١ أوجد قيمة  $C$  التى يحدث عندها رنين فى الدائرة الموضحة فى

الشكل ٨-١٩ عندما  $\omega = 5000 \text{ rad/s}$



شكل ٨-١٩

$$\begin{aligned}Y &= \frac{1}{8 + j5} + \frac{1}{8.34 - jX_C} \text{ siemens} \\ &= \left( \frac{8}{100} + \frac{8.34}{69.5 + X_C^2} \right) + j \left( \frac{X_C}{69.5 + X_C^2} - \frac{6}{100} \right)\end{aligned}$$

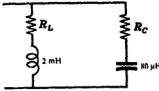
عند الرنين تكون المساحمة المركبة عدداً حقيقياً . إذن

$$X_C/(69.5 + X_C^2) = 6/100 \quad \text{و} \quad X_C^2 - 16.7X_C + 69.5 = 0$$

ومنها نجد أن  $X_C = 8.35 \Omega$  وبالتعويض عن هذه القيمة في  $X_C = 1/\omega C$  وحلها ، نجد أن  $C = 24 \mu F$  .

١٢-٨ عين قيم  $R_L$  و  $R_C$  التي تجعل الدائرة الموضحة في الشكل ٨-٢٠ في حالة رنين عند كل الترددات

الدائرة في حالة رنين عند ذبذبة



شكل ٨-٢٠

$$\omega_0 = \frac{1}{\sqrt{LC}} \sqrt{\frac{R_L^2 - L/C}{R_C^2 - L/C}}$$

إذن  $\omega_0$  تأخذ أى قيمة إذا كان  $R_L^2 \gg R_C^2 \cdot L/C$  . إذا كان  $L/C \rightarrow (2 \times 10^{-3})/(80 \times 10^{-6})$  فإن

$$R_L \gg R_C \cdot \sqrt{25} = 5 \text{ ohms}$$

يترك الطالب اختبار هذه النتيجة عند قيم  $\omega = 2500 \text{ rad/s}$  و  $\omega = 5000 \text{ rad/s}$

١٢-٨ بين أن  $Q_0 = \omega_0 L/R = f_0/BW$  لدائرة  $RLC$  على التوالي .

عند ذبذبات منتصف القدرة تكون محصلة الممانعة مساوية للمقاومة .

وعند ذبذبة منتصف القدرة الصغرى تكون الممانعة السوية أكبر من الممانعة الخفية . إذن

$$f_1 = \frac{-R + \sqrt{R^2 + 4L/C}}{4\pi L} \quad \text{ومنها نجد أن} \quad 1/2\pi f_1 C - 2\pi f_1 L = R$$

وعند ذبذبة منتصف القدرة الكبرى تكون الممانعة الخفية أكبر من الممانعة السوية إذن

$$f_2 = \frac{R + \sqrt{R^2 + 4L/C}}{4\pi L} \quad \text{ومنها نجد أن} \quad 2\pi f_2 L - 1/2\pi f_2 C = R$$

وبما أن  $BW = f_2 - f_1$  ،  $BW = R/2\pi L$  إذن

$$Q_0 = f_0/BW = \omega_0 L/R$$

٨-١٤ احسب  $Q_0$  لدائرة التوالي التي فيها  $R = 20 \Omega$  و  $L = 0.05 \text{ H}$  و  $C = 1 \mu\text{F}$  وذلك باستخدام الصيغ الثلاثة المكافئة لـ  $Q_0$  :  $\omega_0 L/R$  و  $1/\omega_0 CR$  و  $f_0/BW$ .

ذيلية الرنين هي  $\omega_0 = 1/\sqrt{LC} = 1/\sqrt{0.05 \times 10^{-6}} = 4470 \text{ rad/s}$  و  $f_0 = \omega_0/2\pi = 712 \text{ Hz}$  إذن

$$Q_0 = \omega_0 L/R = 4470(0.05)/20 = 11.2$$

$$Q_0 = 1/\omega_0 CR = 1/(4470 \times 10^{-6} \times 20) = 11.2 \quad \text{أو}$$

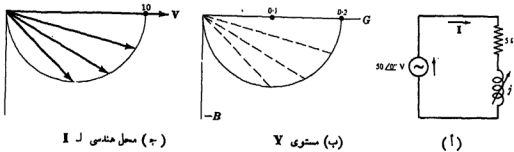
من المسألة ٨-١٣ نجد عند الذيلية الصغرى لمتوسط القدرة أن  $1/2\pi f_1 C - 2\pi f_1 L = R$  وبالتعويض

$$f_1 = 681 \text{ Hz} \quad \text{و} \quad 1/(2\pi f_1 \times 10^{-6}) - 2\pi f_1(0.05) = 20$$

وعند الذيلية الكبرى لمتوسط القدرة نجد أن  $2\pi f_2 L - 1/2\pi f_2 C = R$  وبالتعويض نجد أن  $f_2 = 745 \text{ Hz}$

$$\text{إذن} \quad BW = (745 - 681) \text{ Hz} \quad \text{و} \quad Q_0 = f_0/BW = 712/(745 - 681) = 11.1$$

٨-١٥ أوجد المحل الهندسي للتيار في الدائرة المبينة في الشكل ٨-٢١ (أ) والتي فيها ممانعة حثية متغيرة  $X_L$ .  
المحل الهندسي لـ  $Y$  هو نصف دائرة نصف قطرها  $r = 1/2R = 0.1$  كما هو موضح في الشكل ٨-٢١ (ب)

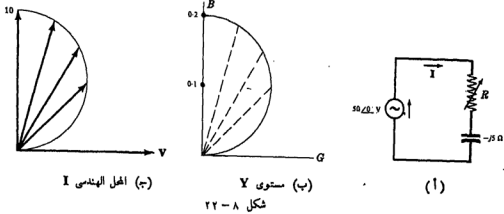


شكل ٨-٢١

وحيث أن المحل الهندسي للتيار يوجد من العلاقة  $I = VY$  حيث  $V = 50/0^\circ \text{ V}$  إذن المحل الهندسي للتيار مشابه للمحل الهندسي لـ  $Y$  وله قيمة عظمى تساوي  $10 \text{ A}$  عندما  $X_L = 0$ . أنظر الشكل ٨-٢١ (ج)

١٦-٨ أوجد المحل الممتنسي للتيار في الدائرة الموضحة في الشكل ٢٢-٨ (١) والتي فيها مقاومة متغيرة  $R$  وممانعة سعوية ثابتة.

المحل الممتنسي لـ  $Y$  هو نصف دائرة قطرها  $r = 1/2X_C = 0.1$  كما هو موضح في الشكل ٢٢-٨ (ب).



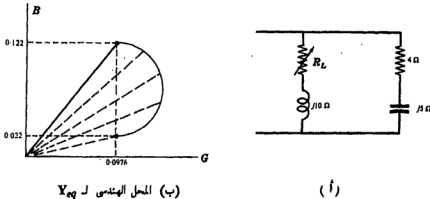
وحيث أن المحل الممتنسي للتيار  $I$  يوجد من المعادلة  $I = VY$  حيث  $V = 50 \angle 0^\circ$  إذن يصل التيار إلى قيمته الظنمية  $10 \text{ A}$  عندما  $R = 0$ . أنظر الشكل ٢٢-٨ (ج).

١٧-٨ أوجد قيمة  $R_L$  التي تجعل الدائرة الموضحة في الشكل ٢٢-٨ (١) في حالة رنين. ارسم المحل الممتنسي لـ  $Y$ . ثم فسر النتائج التي تحصل عليها.

المسامحة الكلية للدائرة هي

$$Y_T = \frac{1}{R_L + j10} + \frac{1}{4 - j6} = \left( \frac{R_L}{R_L^2 + 100} + \frac{4}{41} \right) + j \left( \frac{5}{41} - \frac{10}{R_L^2 + 100} \right) \text{ siemens}$$

وحيث أنه عند الرنين يكون الجزء التخيلي لـ  $Y$  مساوياً للصفر أي أن  $5/41 - 10/(R_L^2 + 100) = 0$  ومنها نجد أن  $R_L^2 = 18$ . أي أنه لا توجد قيمة لـ  $R_L$  تجعل الدائرة في حالة رنين.

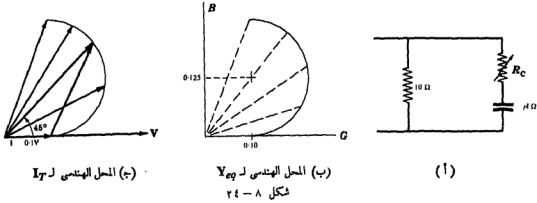




إن المسامحة للفرع ذى العناصر الثابتة هى  $1/0.122 S = 0.0976 + j/5$  ، المحل الهندسى لمسامحة الفرع ذى العناصر المتغيرة هو نصف دائرة نصف قطرها  $r = 1/20 = 0.05$  أى أن القطر يماوى  $0.10$  . وحيث أن الموصلة السوية للفرع ذى العناصر الثابتة تساوى  $0.122 S$  فإن المحل الهندسى للفرع ذى العناصر المتغيرة لا يقطع المحور الحقيقى . وبذلك لا يمكن أن يحدث رنين .

١٨ - أوجد المحل الهندسى لتيار الدائرة الموضحة فى الشكل ٨-٢٤ ثم أوجد قيمة  $R_C$  التى تجعل زاوية الطور بين  $V$  و  $I$  تساوى  $45^\circ$  .

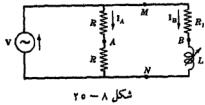
إن مسامحة الفرع ذى العناصر الثابتة هى  $1/R = 0.1 S$  . والمحل الهندسى النصف دائرة للفرع  $RC$  نصف قطره  $r = 1/2 X_C = 1/8 = 0.125$  . أنظر الشكل ٨-٢٤ (ب) .



من الشكل ٨-٢٤ (ج) نجد أن التيار سابق للجهد بزاوية  $45^\circ$  عند النقطة الموضحة . ومن هذا ينتج أن الجزء الحقيقى والجزء التخيل لـ  $Y_T$  متساويان . وإذا كان

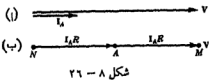
$$R_C = 2 \text{ ohms} \text{ و } 0.1 \cdot \frac{R_C}{R_C^2 + 16} = \frac{4}{R_C^2 + 16} \text{ إذن } Y_T = \left( 0.1 + \frac{R_C}{R_C^2 + 16} \right) + j \left( \frac{4}{R_C^2 + 16} \right) \text{ siemens}$$

١٩ - اختبرت الدائرة الموضحة فى الشكل ٨-٢٥ فى المسألة ١٨ - ٦ . ووجد أن القيمة المطلقة  $V_{AB}$  ثابتة . أى أن  $V_{AB} = 1/2 V$  . والجهد المطاوع  $V_{AB}$  لاقى للجهد المطاوع  $V$  بزاوية  $2\theta$  حيث  $\theta = \tan^{-1} \omega L/R$  . وضع هذه النتائج بيانياً .

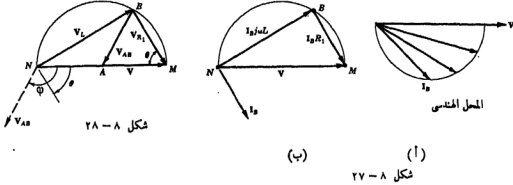


فى الفرع الأول نجد أن  $Z = 2R$  و  $Y = 1/2R$  و  $I_A = V/2R$  و  $I_0 = V/2R$  . إذن الجهد عبر المقاومة هو  $V_R = IR = V/2$

الشكل ٢٦-٨ يوضح الشكل المطاوع للجهدين  $V_{MA}$  و  $V_{AN}$  حيث  $A$  منتصف  $V$  .



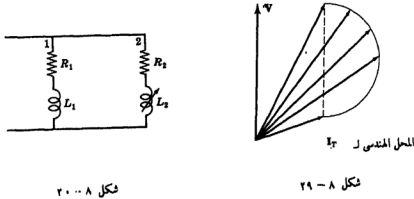
حيث أن المحل الهندسي لمساحة الفرع الثاني  $Y$  نصف دائرة ، إذن المحل الهندسي للتيار هو أيضا نصف دائرة كما هو موضح في الشكل ٢٧-٨ (أ) . ويتكون شكل الجهد المطاوع من الجهد عبر الحث ،  $V_{BN}$  والجهد عبر  $V_{MB}$  ، وبإضافة الجهدين ينتج الجهد  $V$  . لاحظ أن  $I_B$  لاحق لـ  $V_{BN}$  بزاوية  $90^\circ$  .



الجهدان  $V_{MB}$  و  $V_{BN}$  متماثلان لجميع قيم  $L$  . وعندما تتغير  $L$  من صفر إلى  $\infty$  تتحرك  $B$  من  $M$  إلى  $N$  على المحل الهندسي النصف دائري .

والآن بتركيب الجهدين المطاوعين في الشكلين ٢٦-٨ (ب) ، ٢٧-٨ (ب) كما في الشكل ٢٨-٨ نرى أن  $V_{AB}$  هو نصف قطر النصف دائرة ويساوي  $\frac{1}{2}V$  أي أنه ثابت القيمة . وعلاوة على ذلك فإن  $V_{AB}$  لاحق للجهد بزاوية  $\phi$  تساوي  $2\theta$  حيث  $\theta = \tan^{-1} \omega L/R$

٢٨-٨ الشكل ٢٩-٨ يوضح المحل الهندسي للتيار الكلي لدائرة توازي مكونة من فرعين ، عين عناصر كل فرع ووضح أي العناصر يمكن تغييره .



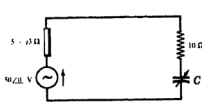
النقطة في قاع النصف دائرة تقابل الشرط الذي عنده يكون تيار الفرع ذي العناصر المتغيرة مساويا للصفر. وعلى ذلك فإن التيار الكلي عند نفس النقطة ينتج من تيار الفرع 1 ذي العناصر الثابتة. وبما أن هذا التيار لاحق للجهد إذن الفرع الثابت لابد أن يحتوي على  $R_1$  و  $L_1$ .

المحل الهندسي النصف دائري لتيار الفرع 2 يبين أن التيار في اتجاه الجهد عند قيمته المظلمة. وعند جميع النقاط الأخرى في المحل الهندسي يكون  $I_2$  لاحق لـ  $V$ . إذن الفرع 2 يتكون من  $R_2$  و  $L_2$  بحث متغير كما هو موضح في الشكل ٨-٣٠.

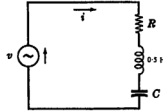
### مسائل إضافية

٨-٣١ في دائرة التوالي  $RLC$  الموضحة في الشكل ٨-٣١ إذا كانا الجهد والتيار المعطيان بالمعادلتين  
 $v = 70.7 \sin(500t + 30^\circ)$  volts و  $i = 2.83 \sin(500t + 30^\circ)$  amperes ، فأوجد  $R$  و  $C$ .

الجواب :  $R = 25 \Omega$  و  $C = 8 \mu F$



شكل ٨-٣٢



شكل ٨-٣١

٨-٣٢ في دائرة التوالي الموضحة في الشكل ٨-٣٢ إذا كانت المقاومة للمصدر هي  $3 \Omega + j5$  وذبلية المصدر هي  $2000 \text{ Hz}$  ، فمتى أي قيمة لـ  $C$  تصل القدرة في المقاومة  $10 \Omega$  إلى قيمتها المظلمة ؟

الجواب :  $C = 26.6 \mu F, P = 111 \text{ W}$

٨-٣٣ في دائرة توالى  $RLC$  فيها  $L = 25 \text{ mH}$  و  $C = 75 \mu F$  كانت زاوية الطور لها لاحقة وتساوى  $25^\circ$  عند  $\omega = 2000 \text{ rad/s}$  . عند أي ذبذبة تكون زاوية الطور سابقة وتساوى  $25^\circ$  ؟ أوجد أيضا  $\omega$ .

الجواب :  $\omega_0 = 730 \text{ rad/s}, \omega = 267 \text{ rad/s}$

٨-٣٤ إذا كان الجهد المعطى لدائرة التوالي  $RLC$  والتي فيها  $L = 0.5 \text{ H}$  هو  $v = 70.7 \sin(500 + 30^\circ)$  volts ، والتيار المعطى هو  $i = 1.5 \sin(500t)$  amperes ، فأوجد قيمة  $R$  و  $C$  . عند أي ذبذبة  $\omega$  تكون

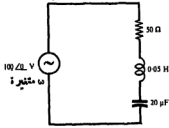
الدائرة في حالة رنين ؟  
 الجواب :  $\omega_0 = 476 \text{ rad/s}, C = 8.83 \mu F, R = 40.8 \text{ ohms}$

٢٥-٨ دائرة توالى فيها  $R = 10 \Omega$  و  $L = 0.2 H$  و  $C = 40 \mu F$  يؤثر عليها جهد ذبذبة متغيرة ، أوجد الذبذبات  $f_1$  و  $f_0$  و  $f_2$  التى يكون عندها التيار : سابق لمهد بزاوية  $30^\circ$  ، فى اتجاه المهد ، لاحق لمهد بزاوية  $30^\circ$  على الترتيب .  
الجواب :  $f_1 = 54.0 \text{ Hz}$ ,  $f_0 = 56.3 \text{ Hz}$ ,  $f_2 = 58.6 \text{ Hz}$

٢٦-٨ دائرة  $RLC$  على التوالي فيها  $R = 25 \Omega$  و  $L = 0.6 H$  زاوية الطور لمساوية وتساوى  $60^\circ$  عند ذبذبة تساوى  $40 \text{ Hz}$  . أوجد الذبذبة التى تكون عندها الدائرة فى حالة رنين .

الجواب :  $f_0 = 45.4 \text{ Hz}$

٢٧-٨ فى دائرة التوالى الموضحة فى الشكل ٢٣-٨ غيرت الذبذبة حتى وصل الجهد عبر المكثف إلى قيمته العظمى ، فإذا كانت القيمة الفعلية لمهد المؤثر  $100 \text{ volts}$  ، فأوجد أكبر قيمة لمهد على المكثف والذبذبة التى تحدث عندها .



شكل ٢٣-٨

الجواب :  $\omega = 707 \text{ rad/s}$ ,  $V_C = 115.5 \text{ V}$

٢٨-٨ إذا كان عامل الجودة لدائرة التوالى الموضحة فى المسألة ٢٧-٨ هو  $Q_0$  ، فإذا كانت  $Q_0$  تساوى 5 عندما  $R = 10 \Omega$  ، فأوجد الذبذبة التى يصل عندها الجهد عبر المكثف إلى قيمته العظمى .

كرر نفس الشيء عندما  $R = 5 \Omega$

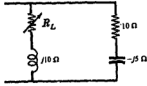
الجواب :  $\omega = 990 \text{ rad/s}$  و  $998 \text{ rad/s}$

ملحوظة : عندما  $Q_0 > 10$  فإنه يمكن الفرض بأن الجهود عبر  $R$  و  $L$  و  $C$  تصل إلى قيمتها العظمى عند ذبذبة الرنين  $\omega_0$  أو  $f_0$  .

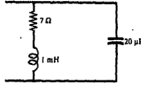
٢٩-٨ لتوضيح تأثير  $Q$  على قيمة التيار بالقرب من ذبذبة الرنين ، ارسم القيمة المطلقة لـ  $Y$  مع  $\omega$  لدائرتين بالتوازي الثانية . الدائرة الأولى  $R = 5 \Omega$  و  $L = 0.05 H$  و  $C = 20 \mu F$  . الدائرة الثانية :  $R = 10 \Omega$  و  $L = 0.05 H$  و  $C = 20 \mu F$  .

٣٠-٨ فى دائرة التوازي الموضحة فى الشكل ٣٤-٨ ، إذا كانت  $L = 0.2 H$  و  $C = 30 \mu F$  . فبين ذبذبة الرنين عندما  $R_L = 0$  ثم قارنها بذبذبة الرنين عندما  $R = 50 \Omega$  .

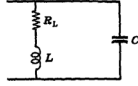
الجواب :  $\omega_0 = 408 \text{ rad/s}$ ,  $\omega_0 = 323 \text{ rad/s}$



شكل ٣٦ - ٨



شكل ٣٥ - ٨



شكل ٣٤ - ٨

٣١ - ٨ أوجد ذبذبة الرنين  $f_0$  لدائرة التوازي الموضحة في الشكل ٣٥ - ٨ .

الجواب :  $f_0 = 159 \text{ Hz}$  .

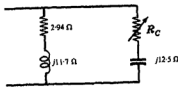
٣٧ - ٨ في المسألة ٣١ - ٨ ، أوجد قيمة المقاومة التي يجب توصيلها على التوالي مع المكثف حتى تصبح ذبذبة الرنين  $300 \text{ Hz}$  .

الجواب :  $R_C = 6 \Omega$  .

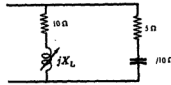
٣٣ - ٨ أوجد قيمة  $R_L$  التي تجعل دائرة التوازي الموضحة في الشكل ٣٦ - ٨ في حالة رنين .

الجواب :  $R_L = 12.25 \Omega$  .

٣٤ - ٨ عند أية قيمة لـ  $X_L$  تكون دائرة التوازي الموضحة في الشكل ٣٧ - ٨ في حالة رنين ؟ بين المحل المنتمي لـ  $Y$  لتوضيح النتائج .



شكل ٣٨ - ٨

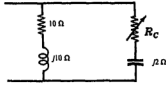


شكل ٣٧ - ٨

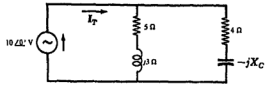
٣٥ - ٨ أوجد قيمة  $R_C$  التي تجعل دائرة التوازي الموضحة في الشكل ٣٨ - ٨ في حالة رنين . بين المحل المنتمي لـ  $Y$  لتوضيح هذه النتيجة .  
الجواب :  $R_C = 0$  .

٣٦ - ٨ تكون دائرة التوازي الموضحة في الشكل ٣٩ - ٨ في حالة رنين عندما  $X_C = 9.68 \Omega$  وعندما  $X_C = 1.65 \Omega$  . أوجد التيار المداور لكل قيمة من قيم المعاوقة السمية .

الجواب :  $1.83 / 0^\circ \text{ A}$  ,  $3.61 / 0^\circ \text{ A}$  .



شكل ٤٠ - ٨



شكل ٣٩ - ٨

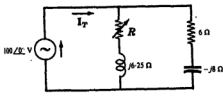
٨-٣٧ عند أية قيمة لـ  $R_C$  تكون دائرة التوازي الموضحة في الشكل ٨-٤٠ في حالة رنين ؟

الجواب :  $R_C = 6 \Omega$  .

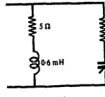
٨-٣٨ يؤثر جهد  $V = 50 \angle 0^\circ$  على دائرة توالى تتكون من عازلة حثية ثابتة  $X_L = 5 \Omega$  ومقاومة متغيرة . ارسم المحل الهندسى لمساحة وتيار هذه الدائرة .

٨-٣٩ يؤثر جهد  $V = 50 \angle 0^\circ$  على دائرة توالى تتكون من مقاومة ثابتة  $R = 5 \Omega$  وسعة متغيرة  $C$  . ارسم المحل الهندسى لمساحة وتيار هذه الدائرة .

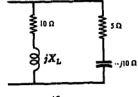
٨-٤٠ دائرة التوازي الموضحة في الشكل ٨-٤١ المحث بدون حدود . ارسم المحل الهندسى لمساحة الدائرة لتبين أنه لا يمكن الحصول على رنين في هذه الدائرة .



شكل ٤٣ - ٨



شكل ٤٢ - ٨



شكل ٤١ - ٨

٨-٤١ الدائرة الموضحة في الشكل ٨-٤٢ تكون في حالة رنين عند قيمتين لسعة  $C$  عندما  $\omega = 5000 \text{ rad/s}$  . أوجد قيمتي  $C$  ثم ارسم المحل الهندسى للمساحة .

الجواب :  $20.6 \mu\text{F}$  ،  $121 \mu\text{F}$  .

٨-٤٢ في دائرة التوازي الموضحة في الشكل ٨-٤٣ كان التيار  $I_T$  لاحقاً للجهد بزاوية  $53.1^\circ$  عندما  $R = 0$  وإذا كانت  $R = \infty$  (دائرة مفتوحة) فإن  $I_T$  يكون سابقاً للجهد بنفس الزاوية . ارسم المحل الهندسى للمساحة لتوضيح هذه النتيجة - عند أية قيمة لـ  $R$  تكون الدائرة في حالة رنين ؟

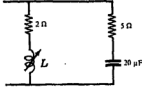
الجواب :  $R = 6.25 \Omega$  .

٨-٤٣ أوجد قيمة  $R$  التي تجعل دائرة التوازي الموضحة في الشكل ٨-٤٤ في حالة رنين ثم ارسم المحل الهندسى للمساحة لتوضيح النتيجة .

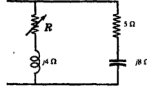
٨-٤٤ في المسألة ٨-٣٨ ، ما هو التغير الذي يجب ادخاله على المعاملة الحثية حتى نحصل على رنين عند قيمة ما للمقاومة المتغيرة  $R$  ؟ الجواب :  $X_L \leq 8.2 \Omega$  .

٨-٤٥ أوجد قيمة  $R$  التي تجعل دائرة التوازي الموضحة في الشكل ٨-٤٥ في حالة رنين ثم ارسم المحل الهندسى .

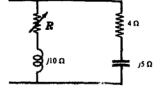
الجواب :  $R = 5.34 \Omega$  .



شكل ٤٦ - ٨



شكل ٤٥ - ٨



شكل ٤٤ - ٨

٤٦-٨ في المسألة ١١-٨ ، حصلنا على دوائر في الدائرة بتغيير السعة  $C$  . استخدم المثل الهندسي للمساعدة لتبين أنه توجد قيمة واحدة للسعة  $C$  تجعل الدائرة في حالة رنين بدلا من القيمتين المتعاقبتين .

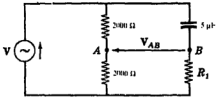
٤٧-٨ دائرة التوازي الموضحة في الشكل ٤٦-٨ تصبح في حالة رنين بتغيير  $L$  . ارسم المثل الهندسي للمساعدة وعين قيمة  $L$  عند الرنين إذا كانت  $\omega = 5000 \text{ rad/s}$  . الجواب :  $L = 2.43 \text{ mH}, 0.066 \text{ mH}$  .

٤٨-٨ باستخدام المثل الهندسي للمساعدة في المسألة ٤٧-٨ ، أوجد قيمة  $L$  التي تجعل التيار الكلي أقل ما يمكن . ثم أوجد قيمة التيار إذا كانت القيمة الفعالة لجهد المؤثر هي  $100 \text{ volts}$  .

الجواب :  $L = 2.95 \text{ mH}$  و  $I_T = 5.1 \text{ A}$

٤٩-٨ في المسألة ٤٧-٨ إذا كان الجهد المؤثر هو  $V = 150 \angle 75^\circ \text{ V}$  فاحسب قيمة  $I_T$  عند كل قيمة لـ  $L$  تجعل الدائرة في حالة رنين .

الجواب :  $I_T = 7.98 \angle 75^\circ \text{ A}, 78.9 \angle 75^\circ \text{ A}$

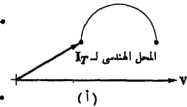
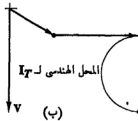
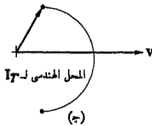


شكل ٤٧ - ٨

٥٠-٨ دائرة تغيير الطور الموضحة في الشكل ٤٧-٨ يراد تغيير طور  $V_{AB}$  في المدى من  $10^\circ$  لاحق إلى  $170^\circ$  لاحق بالنسبة لجهد المؤثر  $V$  . فإذا كانت الذبذبة هي  $60 \text{ Hz}$  فأوجد مدى  $R_1$  الذي يحقق هذا التغيير .

الجواب :  $46.4 \rightarrow 6080 \Omega$

٥١-٨ توضح الأشكال ٤٨-٨ (أ) ، (ب) ، (ج) المثل الهندسي لتيار الكلي المار في دائرة تحتوي على عنصر متغير واحد . وضح الدائرة المقابلة لكل مثل هندسي .



شكل ٤٨ - ٨

الجواب (١) - دائرة توازي من فرعين الأول به  $R$  و  $X_C$  ثابتان والثاني به  $R$  ثابتة و  $X_C$  متغيرة .

(ب) - دائرة توازي من ثلاثة أفرع : الأول به  $R$  و  $X_C$  ثابتان والثاني به  $X_C$  ثابتة والثالث به  $R$  ثابتة و  $X_L$  متغيرة .

(ج) - دائرة توازي من فرعين : الأول به  $R$  و  $X_C$  ثابتان والثاني به  $X_L$  ثابتة و  $R$  متغيرة .



٨-٢٧ أوجد ثوابت الدائرة وطريقة توصيلها التي تقابل الحمل الهندسي لتيار الموضع في الشكل ٨-٤٩ ، علماً بأن  $\omega = 2000 \text{ rad/s}$  .

الجواب : الفرع الأول :

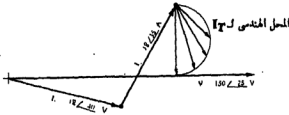
$$R = 7.07 \Omega , L = 3.54 \text{ mH}$$

الفرع الثاني :  $C$  متغيرة ،  $R = 7.07 \Omega$

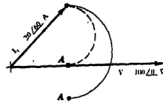
شكل ٨-٤٩

٨-٢٨ يوضح الشكل ٨-٥٠ الحمل الهندسي لتيار دائرة توازي تتكون من فرعين . ما هو التغيير اللازم في الفرع  $RL$  الذي يحمل النقطة  $A$  تقع على الجهد المطاوع ؟

الجواب : وضع  $X_L = 5.78 \Omega$



شكل ٨-٥١



شكل ٨-٥٠

٨-٤١ إذا كان الشكل ٨-٥١ يوضح الحمل الهندسي لتيار دائرة توازي تتكون من ثلاثة أفرع فبين جيداً ثوابت الدائرة علماً بأن  $\omega = 5000 \text{ rad/s}$  .

الجواب : الفرع الأول :  $R = 8.05 \Omega , L = 0.423 \text{ mH}$  .

الفرع الثاني :  $R = 4.16 \Omega , C = 27.7 \mu\text{F}$  .

الفرع الثالث :  $R$  متغيرة و  $L = 2.74 \text{ mH}$  .



## الفصل التاسع

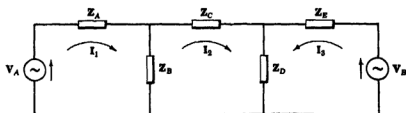
### تحليل الشبكات الكهربائية بطريقة تيار الشبكة

#### مقدمة :

إن وجود مصادر الجهد في الدوائر الكهربائية أو الشبكات ينتج عنه مرور تيار في كل فرع وفرو في جهد عبر عناصر الدائرة .  
وحل الشبكة الكهربائية عبارة عن إيجاد التيارات في الأفرع المختلفة أو الجهود عبر العناصر .

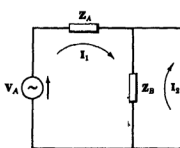
#### تيارات الشبكة :

لتطبيق « طريقة تيار الشبكة » نختار مساراً مغلقاً للتيار يسمى تيارات الشبكة أو تيارات المسار المغلق ، كما هو موضح في الشكل ٩ - ١ ثم نكتب ثلاث معادلات في المجاهيل الثلاثة  $I_1$  و  $I_2$  و  $I_3$  ونحلها . والآن فإن تيار أي فرع يمكن الحصول عليه إما مباشرة كواحد من تيارات الشبكة أو بالتجميع فيها بينهم .



شكل ٩ - ١ تيارات الشبكة أو المسار المغلق في الشبكة الكهربائية

ولما كان التيار في  $Z_A$  هو  $I_1$  فإن التيار في  $Z_B$  هو  $I_1 - I_2$  . وذلك بفرض أن اتجاه التيار الموجب هو لأسفل خلال المقاومة . وحل ذلك فإن تيار أي فرع في الشبكة يمكن الحصول عليه بطريقة مماثلة . والجهد عبر أي عنصر من عناصر الدائرة هو حاصل ضرب التيار المار في العنصر في المقاومة المركبة .



شكل ٩ - ٢

والحصول على المعادلات الثلاث نطبق قانون كيرشوف للجهد على كل مسار مغلق للتيار . وفي الشكل ٩ - ٢ أعيد رسم مسار  $I_1$  المغلق ، وفي بمساواة مجموع المربوط في الجهد حول المسار المغلق بمجموع الارتفاع في الجهد نجد أن :

$$I_1 Z_A - (I_1 - I_2) Z_B = V_A \quad (1)$$

وبما أن المسار المغلق الثاني لا يحتوي على مصدر جهد ، إذن مجموع المربوط في الجهد يساوي صفراً .

$$I_2 Z_B + (I_2 + I_3) Z_B + (I_2 - I_1) Z_B = 0 \quad (2)$$

ويعطى قانون كيرشوف على المسار المثلث الثالث نجد أن :

$$(٢) \quad I_3 Z_B + (I_3 + I_2) Z_D = V_B$$

وبإعادة الترتيب نحصل على :

$$(١) \quad (Z_A + Z_B) I_1 - Z_B I_2 = V_A$$

$$(٢) \quad -Z_B I_1 + (Z_B + Z_C + Z_D) I_2 + Z_D I_3 = 0$$

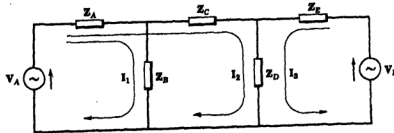
$$(٣) \quad Z_D I_2 + (Z_D + Z_E) I_3 = V_B$$

ويمكننا الحصول على المعادلات السابقة مباشرة ، فإذا اعتبرنا المسار المثلث الموضح في الشكل ٩ - ٢ وأخذنا اتجاه التيار  $I_1$  في اتجاه عقارب الساعة فإن جميع المربوط في الجهد في هذا المسار والنتيجة عن  $I_1$  تكون موجبة . وبمر أيضاً تيار الشبكة  $I_2$  في  $Z_B$  ولكن في اتجاه مخالف لاتجاه  $I_1$  . ولذلك فإن المربوط في الجهد على  $Z_B$  والنتائج عن  $I_2$  يكون  $-Z_B I_2$  . ونلاحظ أن الجهد  $V_A$  يكون موجباً لأنه في نفس اتجاه  $I_1$  . والآن إذا طبقنا قانون كيرشوف مع كل هذه الاعتبارات على المسار المثلث نحصل على المعادلة (١) . ويمكن الحصول على المعادلتين (٢) و (٣) بطريقة مماثلة .

لقد استمرنا هنا تعميرى الارتفاع في الجهد و المربوط في الجهد من دوائر التيار المستمر حيث معناه هناك أكثر وضوحاً عنه في الدوائر الجيبية التي فيها التيار والجهد اللحظيان لها فترات موجبة وسالبة . وفي الحالة الجيبية المستمرة ، فإن تطبيق قانون كيرشوف على مسار مغلقة يعنى مساواة طورية يتساوى فيها مجموع الجهود المطاوعة عبر الماوقات بمجموع الجهود المطاوعة للمصادر المؤثرة على نفس المسار المثلث .

### اختيار تيارات الشبكة :

في حالة تطبيق طريقة تيارات الشبكة ، يمكن تبسيط حل المسألة المعطاة عن طريق الاختيار المناسب للمسار المثلث للشبكة الكهربائية . فإذا أردنا تعيين التيار المار في الفرع الذي يحوى على  $Z_B$  فقط في الشكل ٩ - ١ ، فإنه من الأسهل اختيار مسار مغلقة واحد فقط يمر بـ  $Z_B$  ، حيث أننا نريد الحصول على تيار الشبكة  $I_1$  فقط . ويوضح الشكل ٩ - ٣ الممارات الجيبية المختارة .



شكل ٩ - ٣

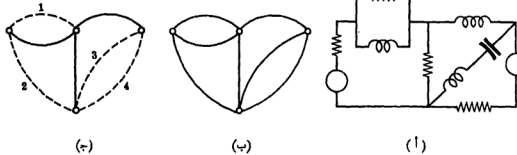
ومعادلات تيار الشبكة المقابلة لهذا الاختيار هي :

$$\begin{aligned}(Z_A + Z_D)I_1 + Z_A I_2 &= V_A \\ Z_A I_1 + (Z_A + Z_C + Z_D)I_2 + Z_D I_3 &= V_A \\ Z_D I_2 + (Z_D + Z_B)I_3 &= V_B\end{aligned}$$

وعموماً فإنه في أي اختيار لتيار الشبكة الكهربائية لابد أن يكون لكل عنصر من عناصر الدائرة تيار واحد فقط هل الأقل ، وألا نفرّض وجود فرعين لما نفس التيار أو نفس مجموعة تيارات . ونورد في الفقرة التالية قواعد اختيار عدد تيارات الشبكة اللازمة لحل الشبكة الكهربائية ، علماً بأن مجموعة التيارات الصحيحة هي ليست أقل عدد من تيارات الشبكة .

### إيجاد العدد اللازم من تيارات الشبكة :

من السهل تحديد العدد اللازم من تيارات الشبكة لحل شبكة كهربائية بسيطة . أما في حالة وجود عديد من الشبكات فإذا يلزمنا طريقة لتحديد عدد المعادلات اللازمة .



شكل ٩ - ٤ شبكة كهربائية . بيانها وهيكلها

يوضح الشكل ٩ - ٤ (ب) بيان الشبكة الكهربائية وفيه مثلت نقط الاتصال بدوائر صغيرة وأفرع الشبكة بخطوط . والشكل ٩ - ٤ (ج) يوضح لنا هيكل الشبكة الكهربائية والتي حصلنا عليه باعتبار الأفرع التي لا تمثل مسارات مغلقة فقط . وهيكل الشبكة الكهربائية ليس وحيداً . وتسمى الخطوط المتصلة في الشكل ٩ - ٤ (ج) بهيكل الأفرع أما الخطوط المتقطعة تسمى أفرع اتصال ، وكل فرع اتصال ينتج عنه مسار مغلق . إن عدد تيارات الشبكة اللازمة في هذه الشبكة الكهربائية هو عدد أفرع الاتصال ( أربعة ) . نفس النتيجة يمكن الحصول عليها بقطع أفرع الشبكة الأصلية بحيث أن كل قطع يفتح لنا مساراً مغلقاً . وعندما لا يفتح عندنا مسارات مغلقة فإن عدد الأفرع المقطوعة يمثل عدد تيارات الشبكة اللازمة .

وهناك طريقة ثالثة تتكون من عدد الأفرع ونقط الاتصال في الشبكة الكهربائية ، ويعمل عدد تيارات الشبكة اللازمة بالمعادلة الآتية :

عدد المعادلات = عدد الأفرع - ( عدد نقط الاتصال - ١ ) .

وفي الشبكة الكهربائية الموضحة في الشكل ٩ - ٤ (أ) لدينا سبعة أفرع وأربع نقط اتصال ، وعلى ذلك فإن عدد تيارات الشبكة اللازمة هو  $7 - (4 - 1) = 4$

### معادلات الشبكة عن طريق الفحص :

الصورة العامة لمعادلات الشبكة الكهربائية التي بها ثلاث شبكات فرعية هي .

$$Z_{11}I_1 \pm Z_{12}I_2 \pm Z_{13}I_3 = V_1$$

$$\pm Z_{21}I_1 + Z_{22}I_2 \pm Z_{23}I_3 = V_2$$

$$\pm Z_{31}I_1 \pm Z_{32}I_2 + Z_{33}I_3 = V_3$$

تسمى  $Z_{11}$  المقاومة الذاتية لمسار الملق الأول وتعطى بمجموع جميع المقاومات التي يمر فيها التيار  $I_1$  .  $Z_{22}$  و  $Z_{33}$  هما المقاومتان الذاتيتان لمسارين الملقين الثانى والثالث ، ويعطيان بمجموع المقاومات في المسار الملقى لكل منهما .

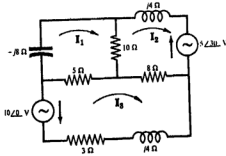
$Z_{12}$  هي مجموع كل المقاومات المشتركة بين تيارى الشبكة  $I_1$  و  $I_2$  . من هذا ينتج أن  $Z_{12} = Z_{21}$  . والمقاومات  $Z_{13}$  و  $Z_{21}$  و  $Z_{23}$  و  $Z_{32}$  هي مجموع المقاومات المشتركة بين التيارات المارة في المسارات المغلقة الخاصة بها . وتستخدم الإشارة الموجبة إذا كان كل من التيارات التي تمر في المقاومة المشتركة في نفس الاتجاه ، وتستخدم الإشارة السالبة في عكس ذلك .

تمثل  $V_1$  مجموع الجهود التي تعمل في المسار الأول . وتستخدم الإشارة الموجبة إذا كان المصدر يعمل في اتجاه تيار الشبكة والإشارة السالبة إذا كان يعمل في عكس اتجاه تيار الشبكة .  $V_2$  و  $V_3$  هما مجموع المصادر التي تعمل في المسار الملقى لكل منهما .

### مثال ١ :

اكتب معادلات تيارات الشبكة الكهربائية الموضحة في

الشكل ٩ - ٥ .



شكل ٩ - ٥

إن تيارات الشبكة موضحة في رسم الدائرة ، وبما أنه لا يوجد مصدر للجهد في المسار الملقى الأول فإن مجموع المربوط في الجهد يساوى صفراً .

$$I_1(-j8) + (I_1 - I_2)10 + (I_1 - I_3)5 = 0$$

وبما أن مصدر الجهد  $5\angle30^\circ$  والتي تعمل في المسار الملقى الثاني اتجاهاه في عكس اتجاه التيار إذن فإشارته سالبة .

$$I_2(j4) + (I_2 - I_3)8 + (I_2 - I_1)10 = -(5\angle30^\circ)$$

وبتطبيق قانون كيرشوف للجهد على المسار الثالث نحصل على

$$I_3(3 + j4) - (I_3 - I_1)5 + (I_3 - I_2)8 = -(10\angle0^\circ)$$

وبإعادة ترتيب الحدود في المعادلات الثلاث نحصل على

$$(15 - j8)I_1 - 10I_2 - 5I_3 = 0$$

$$-10I_1 + (18 + j4)I_2 - 8I_3 = -(5\angle30^\circ)$$

$$-5I_1 - 8I_2 + (16 + j4)I_3 = -(10\angle0^\circ)$$

ومقارنة مجموعة المعادلات هذه بالصورة العامة للمعادلات الثلاث الخاصة بالشبكة الكهربائية ذات ثلاث شبكات فرعية ، نجد أن المعاداة الذاتية للمسار الأول هي  $Z_{11} = 15 - j8 \Omega$  ، والمعاداة المشتركة بين المسارين المفلتين الأول والثاني هي  $Z_{12} = 10 \Omega$  ، وعلى ذلك فإن  $I_2$  في عكس اتجاه التيار  $I_1$  ، أي أن  $Z_{12}$  لها إشارة سالبة . وبالمثل نجد أن المعاداة المشتركة بين المسارين المفلتين الأول والثالث هي  $Z_{13} = -5 \Omega$  . ولاحظ أن :  $Z_{12} = Z_{21}$  ،  $Z_{13} = Z_{31}$  ،  $Z_{23} = Z_{32}$  .

الجهد الذي يعمل في المسار الثاني هو  $5/30^\circ V$  ولكنه يعمل في عكس اتجاه تيارا الشبكة وعلى ذلك فإن إشارته سالبة . ويمكن اختيار كل حد في مجموعة المعادلات السابقة بالصيغة العامة .

### مصفوفات :

المصفوفة هي ترتيب تعاملى لأعداد أو دوال موضوعة بين قوسين وتخضع لقواعد خاصة في العمليات . فن المصفوفة ،

$$A = \begin{bmatrix} a_{11} & a_{12} & a_{13} & \dots & a_{1n} \\ a_{21} & a_{22} & a_{23} & \dots & a_{2n} \\ \dots & \dots & \dots & \dots & \dots \\ a_{m1} & a_{m2} & a_{m3} & \dots & a_{mn} \end{bmatrix}$$

تسمى الأعداد أو الدوال  $a_{ij}$  بعناصر المصفوفة ، فالعنصر  $a_{ij}$  يقع في الصف  $i$  والعمود  $j$  ورتبة هذه المصفوفة ذات  $m$  سفا و  $n$  عموداً " $m \times n$ " وتسمى « المصفوفة  $A$  » أو «  $m \times n$  مصفوفة  $A$  » أو «  $m \times n$  مصفوفة  $[a_{ij}]$  .

يقال عن مصفوفتين أنهما متساويتان إذا - وإذا فقط - كانت احدهما مطابقة تماماً للثانية .

### جمع المصفوفات :

يمكن جمع أو طرح مصفوفتين إذا كانتا من نفس الرتبة وإذا اختلفتا مصفوفتين في الرتبة فإنه لا يمكن جمعها أو طرحها .

إن مجموع ( فرق ) مصفوفتين من الرتبة  $m \times n$  مثل  $A = [a_{ij}]$  و  $B = [b_{ij}]$  دو مصفوفة  $C$  من الرتبة  $m \times n$  بحيث كل عنصر في  $C$  هو مجموع ( فرق ) العنصرين المتقابلين في  $A$  و  $B$  . أى  $A \pm B = [a_{ij} \pm b_{ij}]$

### مثال ٢ :

$$\text{إذا كان } A = \begin{bmatrix} 1 & 4 & 0 \\ 2 & 7 & 3 \end{bmatrix} \quad B = \begin{bmatrix} 5 & 2 & 6 \\ 0 & 1 & 1 \end{bmatrix} \quad \text{فإن :}$$

$$A - B = \begin{bmatrix} -4 & 2 & -6 \\ 2 & 6 & 2 \end{bmatrix} , \quad A + B = \begin{bmatrix} 1+5 & 4+2 & 0+6 \\ 2+0 & 7+1 & 3+1 \end{bmatrix} = \begin{bmatrix} 6 & 6 & 6 \\ 2 & 8 & 4 \end{bmatrix}$$

### ضرب المصفوفات :

إن حاصل الضرب  $AB$  (بنفس الترتيب) المصفوفتين :  $A = [a_{11} \ a_{12} \ \dots \ a_{1m}]$  مصفوفة  $1 \times m$  .

$$B = \begin{bmatrix} b_{11} \\ b_{21} \\ b_{31} \\ \dots \\ b_{m1} \end{bmatrix} \quad \text{مصفوفة } m \times 1$$

هو  $1 \times 1$  مصفوفة حيث

$$C = [a_{11} \ a_{12} \ \dots \ a_{1m}] \cdot \begin{bmatrix} b_{11} \\ b_{21} \\ \dots \\ b_{m1} \end{bmatrix} = [a_{11}b_{11} + a_{12}b_{21} + \dots + a_{1m}b_{m1}] = \left[ \sum_{k=1}^m a_{1k} b_{k1} \right]$$

لاحظ أن كل عنصر في الصف قد ضرب في العنصر المقابل له في العمود ثم جمع حاصل الضرب .

$$\text{مثال ٣ :} \quad [1 \ 3 \ 5] \begin{bmatrix} 2 \\ 4 \\ -2 \end{bmatrix} = [1(2) + 3(4) + 5(-2)] = [4]$$

إن حاصل الضرب  $AB$  (بنفس الترتيب)  $A = [a_{ij}]$  مصفوفة  $n \times s$  ،  $B = [b_{ij}]$  مصفوفة  $s \times n$  هو  $C = [c_{ij}]$  مصفوفة  $n \times n$  حيث

$$c_{ij} = \sum_{k=1}^s a_{ik} b_{kj}, \quad i = 1, 2, \dots, n, \quad j = 1, 2, \dots, n$$

$$\begin{bmatrix} a_{11} & a_{12} \\ a_{21} & a_{22} \\ a_{31} & a_{32} \end{bmatrix} \begin{bmatrix} b_{11} & b_{12} \\ b_{21} & b_{22} \end{bmatrix} = \begin{bmatrix} a_{11}b_{11} + a_{12}b_{21} & a_{11}b_{12} + a_{12}b_{22} \\ a_{21}b_{11} + a_{22}b_{21} & a_{21}b_{12} + a_{22}b_{22} \\ a_{31}b_{11} + a_{32}b_{21} & a_{31}b_{12} + a_{32}b_{22} \end{bmatrix} \quad \text{مثال ٤ :}$$

$$\begin{bmatrix} 3 & 5 & -8 \\ 2 & 1 & 6 \\ 4 & -6 & 7 \end{bmatrix} \begin{bmatrix} I_1 \\ I_2 \\ I_3 \end{bmatrix} = \begin{bmatrix} 3I_1 + 5I_2 - 8I_3 \\ 2I_1 + I_2 + 6I_3 \\ 4I_1 - 6I_2 + 7I_3 \end{bmatrix} \quad \text{مثال ٥ :}$$

$$\begin{bmatrix} 5 & -8 \\ 4 & 2 \end{bmatrix} \begin{bmatrix} 8 & -2 & 6 \\ 7 & 0 & 9 \end{bmatrix} = \begin{bmatrix} 5(8) + (-8)(7) & 5(-2) + (-8)(0) & 5(6) + (-8)(9) \\ 4(8) + 2(7) & 4(-2) + 2(0) & 4(6) + 2(9) \end{bmatrix} \\ = \begin{bmatrix} 19 & -10 & 8 \\ 46 & -8 & 42 \end{bmatrix} \quad \text{مثال ٦ :}$$

ويقال إن مصفوفة  $A$  مناسبة للضرب في مصفوفة  $B$  ، أي أن حاصل الضرب  $AB$  يمكن تعريفه ، إذا كان عدد الأعمدة في  $A$  يساوى عدد الصفوف في  $B$  . وعلى ذلك إذا كانت  $A$  هي المصفوفة  $3 \times 2$  و  $B$  هي المصفوفة  $2 \times 5$  فإن حاصل الضرب  $AB$  يكون معرفاً أما حاصل الضرب  $BA$  فهو غير معرف . وإذا كانت  $D$  هي المصفوفة  $3 \times 3$  و  $E$  هي المصفوفة  $3 \times 3$  فإن كلا من حاصل الضرب  $DE$  و  $ED$  يكون معرفاً .

## التعاكس :

يقال إن التعاكس موجود في ترتيب معين لأعداد موجبة صحيحة إذا كان العدد الصحيح الأكبر سابقاً للعدد الصحيح الأصغر في هذا الترتيب .

فتلاحظ في 132 أن 3 تسبق 2 وعلى ذلك فإنه يوجد تعاكس واحد . وفي 4213 نجد أن 4 تسبق كلا من 3 ، 1 ، 2 ، وأن 2 تسبق 1 وعلى ذلك فإنه توجد أربعة تماكسات . وفي 3421 نجد أن 3 تسبق كلا من 1 ، 2 ، كما أن 4 تسبق كلا من 1 ، 2 ، كما أن 2 تسبق 1 . على ذلك فإنه توجد خمسة تماكسات .

## محددة المصفوفة المربعة :

عد  $n$  عنصراً من المصفوفة المربعة  $n \times n$

$$A = \begin{bmatrix} a_{11} & a_{12} & a_{13} & \dots & a_{1n} \\ a_{21} & a_{22} & a_{23} & \dots & a_{2n} \\ \dots & \dots & \dots & \dots & \dots \\ a_{n1} & a_{n2} & a_{n3} & \dots & a_{nn} \end{bmatrix}$$

ثم شكل حاصل الضرب  $a_{1j_1} a_{2j_2} \dots a_{nj_n}$  بحيث يتلقى عنصر وعنصر واحد فقط لكل صف وبحيث يتلقى عنصر وعنصر واحد فقط لكل عمود . لاحظ أن متتابعة الدلائل الأولى هي من الرتبة  $n$  و  $1$  و  $2$  و  $\dots$  وأن متتابعة الدلائل الثانية  $j_1$  و  $j_2$  و  $\dots$  هي تبديله من الـ  $n!$  تبديلات للأعداد الصحيحة  $1$  و  $2$  و  $\dots$  . الإشارة الموجبة أو السالبة لحاصل الضرب تتبع عدد التماكسات في الدليل الثاني إذا كان زوجياً أو فردياً .

إن محددة المصفوفة المربعة  $A$  من رتبة  $n$  وتكتب  $|A|$  هي مجموعة كل  $n!$  .

تسمى محددة المصفوفة المربعة من رتبة  $n$  محددة من الرتبة  $n$  .

$$\begin{vmatrix} a_{11} & a_{12} \\ a_{21} & a_{22} \end{vmatrix} = a_{11}a_{22} - a_{12}a_{21} \quad \text{مثال ٧ :}$$

$$\begin{vmatrix} a_{11} & a_{12} & a_{13} \\ a_{21} & a_{22} & a_{23} \\ a_{31} & a_{32} & a_{33} \end{vmatrix} = a_{11}a_{22}a_{33} - a_{11}a_{23}a_{32} - a_{12}a_{21}a_{33} + a_{12}a_{23}a_{31} + a_{13}a_{21}a_{32} - a_{13}a_{22}a_{31} \quad \text{مثال ٨ :}$$

## المحددات والعوامل المشتركة :

إن محددة العنصر  $a_{ij}$  محددة من الرتبة  $n$  هو محددة من الرتبة  $(n-1)$  والتي تحصل عليها بحذف الصف والعمود المحتويين للعنصر المعطى . ويرمز لمحددة العنصر  $a_{ij}$  بالرمز  $|M_{ij}|$  .

وتسمى المحددة  $|M_{ij}|^{n-1}$  بالعامل المشترك لـ  $a_{ij}$  ويرمز لها بالرمز  $\Delta_{ij}$  .

مثال ٩ :

$$|A| = \begin{vmatrix} a_{11} & a_{12} & a_{13} \\ a_{21} & a_{22} & a_{23} \\ a_{31} & a_{32} & a_{33} \end{vmatrix} \quad \text{المحددة من الرتبة الثالثة}$$

يجد أن :

$$\Delta_{23} = (-1)^{2+3} \begin{vmatrix} a_{11} & a_{12} \\ a_{31} & a_{32} \end{vmatrix} = - \begin{vmatrix} a_{11} & a_{12} \\ a_{31} & a_{32} \end{vmatrix} , \quad |M_{23}| = \begin{vmatrix} a_{11} & a_{12} \\ a_{31} & a_{32} \end{vmatrix}$$

قيمة المحددة :

إن قيمة المحددة  $|A|$  من الرتبة  $n$  هي مجموع الـ  $n$  حاصل ضرب و الذي نحصل عليه بفرب كل عنصر في أى صف (عمود) تختاره في  $|A|$  بمعاملة المشترك. أى أن :

$$|A| = \begin{vmatrix} a_{11} & a_{12} & a_{13} \\ a_{21} & a_{22} & a_{23} \\ a_{31} & a_{32} & a_{33} \end{vmatrix} = a_{12}\Delta_{12} + a_{22}\Delta_{22} + a_{32}\Delta_{32}$$

$$= -a_{13} \begin{vmatrix} a_{21} & a_{22} \\ a_{31} & a_{32} \end{vmatrix} + a_{22} \begin{vmatrix} a_{11} & a_{12} \\ a_{31} & a_{32} \end{vmatrix} - a_{32} \begin{vmatrix} a_{11} & a_{12} \\ a_{21} & a_{22} \end{vmatrix}$$

دو التعبير عن  $|A|$  من خلال العمود الثاني .

مثال ١٠ :

$$\begin{vmatrix} 1 & 4 & 7 \\ 2 & 1 & -6 \\ 3 & 5 & 0 \end{vmatrix} = 3 \begin{vmatrix} 4 & 7 \\ 1 & -6 \end{vmatrix} - 5 \begin{vmatrix} 1 & 7 \\ 2 & -6 \end{vmatrix} + 0 \begin{vmatrix} 1 & 4 \\ 2 & 1 \end{vmatrix}$$

$$= 3\{4(-6) - 7(1)\} - 5\{1(-6) - 7(2)\} + 0 = 7$$

مثال ١١ :

$$\begin{vmatrix} 3 & 5 & 8 \\ 1 & 0 & 2 \\ 4 & 0 & 3 \end{vmatrix} = -5 \begin{vmatrix} 1 & 2 \\ 4 & 3 \end{vmatrix} = -5\{1(3) - 2(4)\} = 25$$

مثال ١٢ :

$$\begin{vmatrix} 4 & 7 & -2 \\ 0 & 5 & 0 \\ 8 & 2 & -3 \end{vmatrix} = 5 \begin{vmatrix} 4 & -2 \\ 8 & -3 \end{vmatrix} = 5\{4(-3) - (-2)(8)\} = 20$$

خواص المحددات :

١. - إذا تطابق صفان (عمودان) في محددة فإن قيمة المحددة تساوى صفرًا . فمثلا :

$$\begin{vmatrix} 1 & 8 & 1 \\ -4 & 2 & -4 \\ 6 & 1 & 6 \end{vmatrix} = 0$$



٢ - إذا ضرب كل عنصر في صف ما ( عمود ) في المحددة بأى عدد  $k$  فإن المحددة تكون مضروبة في  $k$  . فثلا

$$2 \begin{vmatrix} 3 & -4 & 2 \\ -1 & 5 & 0 \\ 2 & 6 & 7 \end{vmatrix} = \begin{vmatrix} 6 & -8 & 4 \\ -1 & 5 & 0 \\ 2 & 6 & 7 \end{vmatrix} = \begin{vmatrix} 3 & -4 & 4 \\ -1 & 5 & 0 \\ 2 & 6 & 14 \end{vmatrix}$$

٣ - إذا تبادلا أى صفين ( عمودين ) في محددة فإن إشارة المحددة تتغير . فثلا .

$$\begin{vmatrix} 1 & 4 & 7 \\ -2 & 5 & 8 \\ 3 & -6 & 9 \end{vmatrix} = - \begin{vmatrix} 4 & 1 & 7 \\ 5 & -2 & 8 \\ -6 & 3 & 9 \end{vmatrix} = - \begin{vmatrix} 3 & -6 & 9 \\ -2 & 5 & 8 \\ 1 & 4 & 7 \end{vmatrix}$$

٤ - إذا عوضنا عن كل عنصر من عناصر صف ( عمود ) في محددة بمجموع عددين أو أكبر ، فإنه يمكن كتابة المحددة على صورة مجموع محددين أو أكثر . فثلا .

$$\begin{vmatrix} 3 & -7 & 5 \\ 2 & 4 & -5 \\ 1 & 6 & 8 \end{vmatrix} = \begin{vmatrix} 3 & -9+2 & 5 \\ 2 & 4+0 & -5 \\ 1 & 8-2 & 8 \end{vmatrix} = \begin{vmatrix} 3 & -9 & 5 \\ 2 & 4 & -5 \\ 1 & 8 & 8 \end{vmatrix} + \begin{vmatrix} 3 & 2 & 5 \\ 2 & 0 & -5 \\ 1 & -2 & 8 \end{vmatrix}$$

٥ - إذا أضفنا إلى عناصر أى صف ( عمود ) في محددة  $k$  مرة من العنصر المقابل لأى صف ( عمود ) آخر فإن قيمة المحددة لا تتغير .

$$\begin{vmatrix} 1 & 9 & -3 \\ 4 & 6 & -2 \\ -3 & 1 & 5 \end{vmatrix} = \begin{vmatrix} 1 & 9+3(-3) & -3 \\ 4 & 6+3(-2) & -2 \\ -3 & 1+3(5) & 5 \end{vmatrix} = \begin{vmatrix} 1 & 0 & -3 \\ 4 & 0 & -2 \\ -3 & 16 & 5 \end{vmatrix}$$

هل المعادلات الخطية باستخدام المحددات . قاعدة كرامر :

يمكن كتابة مجموعة المعادلات الثلاث الخطية في المجهول الثلاثة  $x_1$  و  $x_2$  و  $x_3$

$$a_{11}x_1 + a_{12}x_2 + a_{13}x_3 = k_1$$

$$a_{21}x_1 + a_{22}x_2 + a_{23}x_3 = k_2$$

$$a_{31}x_1 + a_{32}x_2 + a_{33}x_3 = k_3$$

على صورة مصفوفة مثل :

$$\begin{bmatrix} a_{11} & a_{12} & a_{13} \\ a_{21} & a_{22} & a_{23} \\ a_{31} & a_{32} & a_{33} \end{bmatrix} \begin{bmatrix} x_1 \\ x_2 \\ x_3 \end{bmatrix} = \begin{bmatrix} k_1 \\ k_2 \\ k_3 \end{bmatrix}$$

تكون القيمة العددية لعامل المهددة  $\Delta_a$  مضروبة بـ  $v$  إذا ضربنا كل عنصر من عناصر العمود الأول في  $x_1$  (خاصية ٢).

$$x_1 \Delta_a = \begin{vmatrix} a_{11}x_1 & a_{12} & a_{13} \\ a_{21}x_1 & a_{22} & a_{23} \\ a_{31}x_1 & a_{32} & a_{33} \end{vmatrix}, \quad \Delta_a = \begin{vmatrix} a_{11} & a_{12} & a_{13} \\ a_{21} & a_{22} & a_{23} \\ a_{31} & a_{32} & a_{33} \end{vmatrix}$$

والآن إذا أضفنا إلى كل عنصر من عناصر العمود الأول في المهددة الأخيرة  $x_2$  مرة من العنصر المقابل في العمود الثاني و  $x_3$  مرة من العنصر المقابل في العمود الثالث . (خاصية ٣) فإننا نحصل على :

$$x_1 \Delta_a = \begin{vmatrix} (a_{11}x_1 + a_{12}x_2 + a_{13}x_3) & a_{12} & a_{13} \\ (a_{21}x_1 + a_{22}x_2 + a_{23}x_3) & a_{22} & a_{23} \\ (a_{31}x_1 + a_{32}x_2 + a_{33}x_3) & a_{32} & a_{33} \end{vmatrix} = \begin{vmatrix} k_1 & a_{12} & a_{13} \\ k_2 & a_{22} & a_{23} \\ k_3 & a_{32} & a_{33} \end{vmatrix}$$

$$x_1 = \frac{\begin{vmatrix} k_1 & a_{12} & a_{13} \\ k_2 & a_{22} & a_{23} \\ k_3 & a_{32} & a_{33} \end{vmatrix}}{\Delta_a}$$

أو

مطلبا أن  $\Delta_a \neq 0$  وبالمثل :

$$x_2 = \frac{\begin{vmatrix} a_{11} & k_1 & a_{13} \\ a_{21} & k_2 & a_{23} \\ a_{31} & k_3 & a_{33} \end{vmatrix}}{\Delta_a}, \quad x_3 = \frac{\begin{vmatrix} a_{11} & a_{12} & k_1 \\ a_{21} & a_{22} & k_2 \\ a_{31} & a_{32} & k_3 \end{vmatrix}}{\Delta_a}$$

وتسمى هذه الطريقة في الحل بقاعدة كرامر . ويمكن تطبيقها على أي مجموعة تحتوي على  $n$  من المعادلات الخطية في  $n$  مجهول طالما أن عوامل المهددة لا تساوى صفراً .

### طريقة المصفوفة في تحليل الدوائر :

إن معادلات تيار الشبكة الثلاث :

$$\begin{aligned} Z_{11}I_1 \pm Z_{12}I_2 \pm Z_{13}I_3 &= V_1 \\ \pm Z_{21}I_1 + Z_{22}I_2 \pm Z_{23}I_3 &= V_2 \\ \pm Z_{31}I_1 \pm Z_{32}I_2 + Z_{33}I_3 &= V_3 \end{aligned}$$

يمكن كتابتها الآن على صيغة مصفوفة :

$$\begin{bmatrix} Z_{11} & \pm Z_{12} & \pm Z_{13} \\ \pm Z_{21} & Z_{22} & \pm Z_{23} \\ \pm Z_{31} & \pm Z_{32} & Z_{33} \end{bmatrix} \begin{bmatrix} I_1 \\ I_2 \\ I_3 \end{bmatrix} = \begin{bmatrix} V_1 \\ V_2 \\ V_3 \end{bmatrix}$$

[Z][I] = [V]

أو

وهي الصيغة المصفوفية لقانون أوم حيث  $[Z]$  هي مصفوفة المعاوقة ،  $[I]$  هي مصفوفة التيار ،  $[V]$  هي مصفوفة الجهد .

ويمكن الحصول على تيارات الشبكة  $I_1$  و  $I_2$  و  $I_3$  كمناسبة بين محددتين .

$$I_1 = \frac{\begin{vmatrix} V_1 & \pm Z_{12} & \pm Z_{13} \\ V_2 & Z_{22} & \pm Z_{23} \\ V_3 & \pm Z_{32} & Z_{33} \end{vmatrix}}{\Delta_z} \quad I_2 = \frac{\begin{vmatrix} Z_{11} & V_1 & \pm Z_{13} \\ \pm Z_{21} & V_2 & \pm Z_{23} \\ \pm Z_{31} & V_3 & Z_{33} \end{vmatrix}}{\Delta_z} \quad I_3 = \frac{\begin{vmatrix} Z_{11} & \pm Z_{12} & V_1 \\ \pm Z_{21} & Z_{22} & V_2 \\ \pm Z_{31} & \pm Z_{32} & V_3 \end{vmatrix}}{\Delta_z}$$

وعند فك محددة البسط بواسطة المود المحدوى على الجهود فإننا نحصل على معادلات تيارات الشبكة التالية .

$$(١) \quad I_1 = V_1 \left( \frac{\Delta_{11}}{\Delta_z} \right) + V_2 \left( \frac{\Delta_{21}}{\Delta_z} \right) + V_3 \left( \frac{\Delta_{31}}{\Delta_z} \right)$$

$$(٢) \quad I_2 = V_1 \left( \frac{\Delta_{12}}{\Delta_z} \right) + V_2 \left( \frac{\Delta_{22}}{\Delta_z} \right) + V_3 \left( \frac{\Delta_{32}}{\Delta_z} \right)$$

$$(٣) \quad I_3 = V_1 \left( \frac{\Delta_{13}}{\Delta_z} \right) + V_2 \left( \frac{\Delta_{23}}{\Delta_z} \right) + V_3 \left( \frac{\Delta_{33}}{\Delta_z} \right)$$

إن الحدود التي في الطرف الأيمن للمعادلات (١) و (٢) و (٣) هي المركبات الطورية الناتجة عن مصادر الجهد المختلفة . وعلى ذلك فإن تيار الشبكة  $I_1$  في المعادلة (١) يتكون من ثلاثة أجزاء :  $V_1(\Delta_{11}/\Delta_z)$  نتيجة مصدر الجهد  $V_1$  و  $V_2(\Delta_{21}/\Delta_z)$  نتيجة مصدر الجهد  $V_2$  و  $V_3(\Delta_{31}/\Delta_z)$  نتيجة مصدر الجهد  $V_3$  .

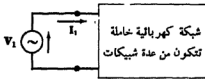
### نقطة المعاوقة الحرة :

اعتبر الشبكة الخاملة أو الخالية من المصادر الموضحة في الشكل ٩ - ٦ والتي لها نقطتا اتصال خارجيتان ، فإذا أثر عليها مصدر جهد  $V_1$  وكان تيار الشبكة هو  $I_1$  ، وسيت أنه لا توجد مصادر أخرى في الشبكة الكهربائية ، فإن معادلة تيار الشبكة تكون

$$I_1 = V_1 \left( \frac{\Delta_{11}}{\Delta_z} \right) + (0) \left( \frac{\Delta_{21}}{\Delta_z} \right) + (0) \left( \frac{\Delta_{31}}{\Delta_z} \right) + \dots = V_1 \left( \frac{\Delta_{11}}{\Delta_z} \right)$$

وتعرف المعاوقة الداخلة أو نقطة المعاوقة الحرة بأنها النسبة بين الجهد المؤثر  $V_1$  والتيار الناتج  $I_1$  . أي أن

$$Z_{input 1} = V_1 / I_1 = \Delta_z / \Delta_{11}$$

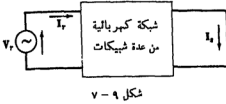


شكل ٩ - ٦

وتعرف المعاوقة الداخلة لشبكة كهربائية نشطة بأنها معاوقة الشبكة الكهربائية بين نهايتين محددتين وذلك مع رفع جميع المصادر الداخلية ووضع معاوقاتها الداخلية بدلاً منها . وعلى ذلك فإن النسبة  $\Delta_z / \Delta_{11}$  هي نقطة المعاوقة الحرة المسار المغلق الأول . بغض النظر عن الشبكة الكهربائية سواء كانت خاملة أو نشطة .

### معاوقة الانتقال :

إن وجود مصدر محرك للجهد في أى شبكة فرعية ينتج عنه تيار في الشبكات الفرعية الأخرى للشبكة الكهربائية الكلية . وتعرف معاوقة الانتقال بأنها النسبة بين الجهد المحرك في شبكة فرعية والتيار الناتج في شبكة فرعية أخرى مع وضع جميع المصادر مساوية للصفر .



وباعتبار الشبكة الموضحة في الشكل ٩ - ٧ والتي فيها  $V_r$  هو الجهد المحرك في الشبكة  $r$  والتيار الناتج  $I_s$  في الشبكة  $s$  فإن

$$I_s = (0) \left( \frac{\Delta_{is}}{\Delta_r} \right) + \dots + V_r \left( \frac{\Delta_{rs}}{\Delta_r} \right) + \dots + (0) \left( \frac{\Delta_{ss}}{\Delta_r} \right) = V_r \left( \frac{\Delta_{rs}}{\Delta_r} \right)$$

$$Z_{transfer\ rs} = V_r / I_s = \Delta_r / \Delta_{rs}$$

والدليل المزدوج ،  $rs$  لمعاوقة الانتقال بين اتجاه الفعل ، أى أن المصدر في الشبكة  $r$  والتيار الناتج في الشبكة  $s$  . وعن ذلك فإن محددة المقام هي العامل المشترك للموضع ،  $sr$  ،  $\Delta_{rs}$  ، وب نفس دليل معاوقة الانتقال .

### مسائل محلولة

٩ - ١ إذا أعطيت الاختيار الموضح في الشكل ٩ - ٨ لتيارات الشبكة فاكتب معادلات تيارات الشبكة ثم ضمنهما في المعينة المصفوفية .

بتطبيق قانون كيرشوف للجهد على كل من الشبكات الثلاث الفرعية :

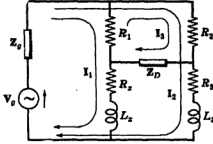
$$\begin{aligned} I_1(2-j2) + (I_1-I_2)(j5) + (I_1-I_3)5 &= 10/0^\circ \\ I_2(10) + (I_2-I_3)(2-j2) + (I_2-I_1)(j5) &= -(5/80^\circ) \\ I_3(10) + (I_3-I_1)(5) + (I_3-I_2)(2-j2) &= -(10/90^\circ) \end{aligned}$$

وبإعادة ترتيب الحدود نحصل على :

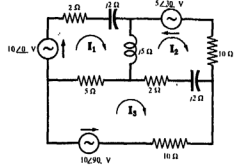
$$\begin{aligned} (7+j8)I_1 - (j5)I_2 - (5)I_3 &= 10/0^\circ \\ -(j5)I_1 + (12+j8)I_2 - (2-j2)I_3 &= -(5/80^\circ) \\ -(5)I_1 - (2-j2)I_2 + (17-j2)I_3 &= -(10/90^\circ) \end{aligned}$$

والتي يمكن التعبير عنها بالصورة المصفوفية على الشكل :

$$\begin{bmatrix} 7+j8 & -j5 & -5 \\ -j5 & 12+j8 & -(2-j2) \\ -5 & -(2-j2) & 17-j2 \end{bmatrix} \begin{bmatrix} I_1 \\ I_2 \\ I_3 \end{bmatrix} = \begin{bmatrix} 10/0^\circ \\ -(5/80^\circ) \\ -(10/90^\circ) \end{bmatrix}$$



شكل ٩ - ٩

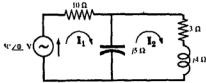


شكل ٨ - ٩

٩-٢ أكتب معادلات تيار الشبكة على الصيغة المصفوفية بالفحص وذلك للشبكة الكهربائية الموضحة في الشكل ٩-٩ .

تحدد الحدود في مصفوفة المعاوقة بتعريفاتهم .  $Z_{11}$  المعاوقة الذاتية للمسار المغلق الأول وهي مجموع جميع ،  
المعاوقات في المسار المغلق ،  $(R_1 + R_2 + j\omega L_2 + Z_p)$  .  $Z_{12}$  المعاوقة المشتركة لتيارى الشبكة الأول والثاني  
و  $Z_{21}$  بإشارة موجبة وذلك لأن التيارين يمران في اتجاه واحد . إن مصفوفة التيار تتكون ببساطة من  $I_1$  و  $I_2$  و  $I_3$   
ومصفوفة الجهد تتكون من الجهود المحركة في المسارات المغلقة . وعلى ذلك فالمعادلة المصفوفية هي

$$\begin{bmatrix} (R_1 + R_2 + j\omega L_2 + Z_p) & Z_p & -R_1 \\ Z_p & (R_2 + R_3 + j\omega L_3 + Z_p) & R_2 \\ -R_1 & R_2 & (R_1 + R_2 + Z_D) \end{bmatrix} \begin{bmatrix} I_1 \\ I_2 \\ I_3 \end{bmatrix} = \begin{bmatrix} V_g \\ V_g \\ 0 \end{bmatrix}$$



شكل ١٠ - ٩

٩-٣ أوجد القدرة الداخلة لمصدر الجهد الدائرة الموضحة في الشكل ٩-١٠ .

ثم عين أيضاً قدرة مقاومات الدائرة .

نختار تيارات الشبكة كما هو موضح في شكل الدائرة وعلى

ذلك فإن المصدر يحتوي على تيار واحد . إذن

$$\begin{bmatrix} 10 - j5 & j5 \\ j5 & 3 - j1 \end{bmatrix} \begin{bmatrix} I_1 \\ I_2 \end{bmatrix} = \begin{bmatrix} 50/0^\circ \\ 0 \end{bmatrix}$$

$$I_1 = \frac{\begin{vmatrix} 50/0^\circ & j5 \\ 0 & 3 - j1 \end{vmatrix}}{\begin{vmatrix} 10 - j5 & j5 \\ j5 & 3 - j1 \end{vmatrix}} = \frac{150 - j50}{50 - j25} = 2.83/8.14^\circ \text{ A}$$

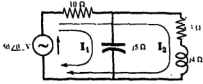
$$I_2 = \frac{\begin{vmatrix} 10 - j5 & 50/0^\circ \\ j5 & 0 \end{vmatrix}}{\Delta_z} = \frac{-j250}{50 - j25} = 4.47/-63.4^\circ \text{ A}$$

ومصدر القدرة .  $P = V I \cos \theta = 50(2.83) \cos(8.14^\circ) = 140 \text{ W}$  .

والقدرة في المقاومة  $10 \Omega$  هي  $P_{10} = (I_1)^2 10 = (2.83)^2 10 = 80 \text{ W}$

والمقاومة  $3 \Omega$  هي  $P_3 = (I_2)^2 3 = 60 \text{ W}$  وبمجموعهما

هو  $140 \text{ W}$  وهو يساوى القدرة الداخلة للمصدر .



شكل ٩ - ١١

٤ إذا اختيرت تيارات الشبيكة لنفس دائرة المسألة ٩ - ٣ بالطريقة الموضحة في الشكل ٩ - ١١ ، فأوجد القدرة الخارجة للمصدر .

$$\begin{bmatrix} 10 - j5 & 10 \\ 10 & 13 + j4 \end{bmatrix} \begin{bmatrix} I_1 \\ I_2 \end{bmatrix} = \begin{bmatrix} 50/0^\circ \\ 50/0^\circ \end{bmatrix}$$

ونبدأ نجد أن

$$I_1 = \frac{\begin{vmatrix} 50/0^\circ & 10 \\ 50/0^\circ & 13 + j4 \end{vmatrix}}{\begin{vmatrix} 10 - j5 & 10 \\ 10 & 13 + j4 \end{vmatrix}} = \frac{150 + j200}{50 - j25} = 4.47/79.7^\circ \text{ A}$$

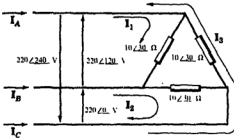
$$I_2 = \frac{\begin{vmatrix} 10 - j5 & 50/0^\circ \\ 10 & 50/0^\circ \end{vmatrix}}{\Delta_x} = \frac{-j250}{50 - j25} = 4.47/-63.4^\circ \text{ A}$$

وبما أن الفرع الذي يحتوي على المصدر يمر به تياران إذن

$$I_1 + I_2 = \left( \frac{150}{50} \cdot \frac{j200}{j25} \right) + \left( \frac{-j250}{50} \cdot \frac{j25}{j25} \right) = 2.83 \angle 8.14^\circ \text{ A}$$

$$P = 17 \cos \theta = 50(2.83) \cos 8.14 = 140 \text{ W}$$

وقدرة المصدر هي



شكل ٩ - ١٢

٥ - ٩ إذا كان للدائرة الموضحة في الشكل ٩ - ١٢ جهود بين كل زوجين من الخطوط الثلاثة . فأوجد التيارات  $I_A$  و  $I_B$  و  $I_C$  .

وباعتبار التيارات كما هو موضح بالرسم نجد أن التيارات مستقلة عن بعضها . ويتضح هذا عند كتابة المصفوفة بالصورة :

$$\begin{bmatrix} 10/30^\circ & 0 & 0 \\ 0 & 10/30^\circ & 0 \\ 0 & 0 & 10/30^\circ \end{bmatrix} \begin{bmatrix} I_1 \\ I_2 \\ I_3 \end{bmatrix} = \begin{bmatrix} 220/120^\circ \\ 220/0^\circ \\ 220/240^\circ \end{bmatrix}$$

ونبدأ ينتج التيارات الثلاثة :

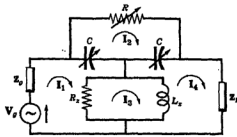
$$I_1 = \frac{220/120^\circ}{10/30^\circ} = 22/90^\circ \text{ A}, \quad I_2 = \frac{220/0^\circ}{10/30^\circ} = 22/-30^\circ \text{ A}, \quad I_3 = \frac{220/240^\circ}{10/30^\circ} = 22/210^\circ \text{ A}$$

$$I_A = I_1 - I_3 = (22/90^\circ - 22/210^\circ) = 38.1/60^\circ \text{ A}$$

$$I_B = I_2 - I_1 = (22/-30^\circ - 22/90^\circ) = 38.1/-60^\circ \text{ A}$$

$$I_C = I_3 - I_2 = (22/210^\circ - 22/-30^\circ) = 38.1/180^\circ \text{ A}$$

إذن :



شكل ٩-١٣

٩-١٣ إذا اخترت تيارات الشبكة للشبكة الكهربائية التي تحتوي على أربع شبكات فرعية كما هو موضح في الشكل ٩-١٣ ، وإذا اخترت قيم  $R$  وسعة المكثفين المتساويين في السعة  $C$  farads بحيث كان التيار المار في  $Z_D$  يساوي صفراً . فغير عن المجهولين  $R_x$  و  $L_x$  بدلالة كل من  $R$  و  $C$  وذنبية المصدر  $\omega$  rad/s .

إن معادلات التيار في الصيغة المصفوفية هي :

$$\begin{bmatrix} \left(R_x + \frac{1}{j\omega C} + Z_g\right) & -\left(\frac{1}{j\omega C}\right) & -R_x & 0 \\ -\left(\frac{1}{j\omega C}\right) & \left(R + \frac{1}{j\omega C} + \frac{1}{j\omega C}\right) & 0 & -\left(\frac{1}{j\omega C}\right) \\ -R_x & 0 & (R_x + j\omega L_x) & -(j\omega L_x) \\ 0 & -\left(\frac{1}{j\omega C}\right) & -(j\omega L_x) & \left(\frac{1}{j\omega C} + j\omega L_x + Z_D\right) \end{bmatrix} \begin{bmatrix} I_1 \\ I_2 \\ I_3 \\ I_4 \end{bmatrix} = \begin{bmatrix} V_g \\ 0 \\ 0 \\ 0 \end{bmatrix}$$

وبالتعويض عن  $I_4$  ، التيار المار في  $Z_D$  ، في صيغة محددة ومساوئها بالصفر .

$$I_4 = \frac{\begin{vmatrix} \left(R_x + \frac{1}{j\omega C} + Z_g\right) & -\left(\frac{1}{j\omega C}\right) & -R_x & V_g \\ -\left(\frac{1}{j\omega C}\right) & \left(R + \frac{1}{j\omega C} + \frac{1}{j\omega C}\right) & 0 & 0 \\ -R_x & 0 & (R_x + j\omega L_x) & 0 \\ 0 & -\left(\frac{1}{j\omega C}\right) & -(j\omega L_x) & 0 \end{vmatrix}}{\Delta_x} = 0$$

وبذلك البسط بواسطة عناصر العمود الرابع نحصل على

$$-V_g \begin{vmatrix} -\left(\frac{1}{j\omega C}\right) & \left(R + \frac{1}{j\omega C} + \frac{1}{j\omega C}\right) & 0 \\ -R_x & 0 & (R_x + j\omega L_x) \\ 0 & -\left(\frac{1}{j\omega C}\right) & -(j\omega L_x) \end{vmatrix} = 0$$

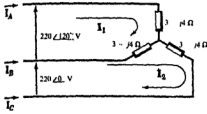
وحيث أن هذه المحددة مساوية للصفر إذن :

$$-(-R_x)(R + 1/j\omega C + 1/j\omega C)(-j\omega L_x) - (-1/j\omega C)(-1/j\omega C)(R_x + j\omega L_x) = 0$$

$$L_x = 1/2\omega^2 C \quad \text{و} \quad R_x = 1/\omega^2 C^2 R$$

ومن هنا نحصل على

٩-١٤ في الدائرة الموضحة في الشكل ٩-١٤ عين التيارات  $I_A$  و  $I_B$  و  $I_C$ .



إذا اخترت تيارى الشبكة كما هو موضح في الشكل فإن مصدبهما في الصيغة المصفوية هي :

$$\begin{bmatrix} 6-j8 & -(3-j4) \\ -(3-j4) & 6-j8 \end{bmatrix} \begin{bmatrix} I_1 \\ I_2 \end{bmatrix} = \begin{bmatrix} 220/120^\circ \\ 220/0^\circ \end{bmatrix}$$

وسبباً نجد أن :

$$I_1 = \frac{\begin{vmatrix} 220/120^\circ & -(3-j4) \\ 220/0^\circ & 6-j8 \end{vmatrix}}{\begin{vmatrix} 6-j8 & -(3-j4) \\ -(3-j4) & 6-j8 \end{vmatrix}} = \frac{2200/66.9^\circ + 1100/-53.1^\circ}{100/-106.2^\circ - 25/-106.2^\circ} = \frac{1905/36.9^\circ}{75/-106.2^\circ} = 25.4/143.1^\circ \text{ A}$$

$$I_2 = \frac{\begin{vmatrix} 6-j8 & 220/120^\circ \\ -(3-j4) & 220/0^\circ \end{vmatrix}}{\Delta_z} = \frac{2200/-53.1^\circ + 1100/86.9^\circ}{75/-106.2^\circ} = \frac{1905/-23.2^\circ}{75/-106.2^\circ} = 25.4/88^\circ \text{ A}$$

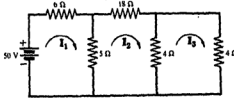
والتيارات المطلوبة هي

$$I_1 = I_1 = 25.4/143.1^\circ \text{ A}, I_B = I_2 = I_1 = 25.4/83^\circ - 25.4/143.1^\circ = 25.4/23.1^\circ \text{ A}$$

$$I_C = I_2 = 25.4/97^\circ \text{ A}$$

٨ - باستخدام طرق المصفوفات عين المعاوقة الداخلة للمصدر 50 V

الدائرة الموضحة في الشكل ٩-١٥ ، ثم احسب  $I_1$  باستخدام هذه المعاوقة .



إن المعاوقة الداخلة لِمَصدر المثلث الأول هي :

$$Z_{\text{input } 1} = \frac{\Delta_z}{\Delta_{11}} = \frac{\begin{vmatrix} 11 & -5 & 0 \\ -5 & 27 & -4 \\ 0 & -4 & 8 \end{vmatrix}}{\begin{vmatrix} 27 & -4 \\ -4 & 8 \end{vmatrix}} = \frac{2000}{200} = 10 \Omega$$

وسبباً

$$I_1 = V_1/Z_{\text{input } 1} = 50/10 = 5 \text{ A.}$$

٩ - الدائرة الموضحة في الشكل ٩-١٥ أوجد تيار الشبكة  $I_3$  وذلك باستخدام معاوقة الانتقال .

بما أن المصدر في المسار المثلثي الأول والتيار المطلوب في المسار المثلثي الثالث ، إذن معاوقة الانتقال المطلوبة هي

$$Z_{\text{transfer } 13} = \frac{\Delta_z}{\Delta_{13}} = \frac{2000}{\begin{vmatrix} -5 & 27 \\ 0 & -4 \end{vmatrix}} = \frac{2000}{20} = 100 \Omega$$

$$I_3 = V_1/Z_{\text{transfer } 13} = 50/100 = 0.5 \text{ A} \quad \text{وتيار الشبكة المطلوب هو :}$$



٩-١٠ الدائرة الموضحة بالشكل ٩-١٥ أوجد تيار الشبكة  $I_2$  وذلك باستخدام معاوقة الانتقال .

بما أن المصدر في المسار المغلق الأول والتيار المطلوب في المسار المغلق الثاني ، إذن معاوقة الانتقال المطلوبة هي

$$Z_{\text{transfer } 12} = \frac{\Delta_2}{\Delta_{12}} = \frac{2000}{(-1) \begin{vmatrix} -5 & -4 \\ 0 & 8 \end{vmatrix}} = \frac{2000}{40} = 50 \Omega$$

$$I_2 = V_1 / Z_{\text{transfer } 12} = 50 / 50 = 1 \text{ A.}$$

والتيار المطلوب هو :

٩-١١ في الشبكة الكهربائية الموضحة في الشكل ٩-١٦ أوجد ،

المجهود  $V_{BC}$  و  $V_{AB}$  .

معادلات تيارات الشبكة بالصيغة المصفوفية هي :

$$\begin{bmatrix} 3 + j14 & -j10 \\ -j10 & 0 \end{bmatrix} \begin{bmatrix} I_1 \\ I_2 \end{bmatrix} = \begin{bmatrix} 100/45^\circ \\ 0 \end{bmatrix}$$

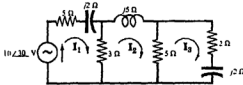
وسنجد أن :

$$I_1 = \frac{\begin{vmatrix} 100/45^\circ & -j10 \\ 0 & 0 \end{vmatrix}}{\begin{vmatrix} 3 + j14 & -j10 \\ -j10 & 0 \end{vmatrix}} = \frac{0}{100} = 0,$$

$$I_2 = \frac{\begin{vmatrix} 3 + j14 & 100/45^\circ \\ -j10 & 0 \end{vmatrix}}{\Delta_2} = \frac{100 \angle 135^\circ}{100} = 10 \angle 135^\circ \text{ A}$$

$$V_{BC} = I_2 (j10) = 10 \angle 135^\circ (10 \angle 90^\circ) = 100 \angle 45^\circ \text{ V} \quad \text{و} \quad V_{AB} = I_1 (3 + j4) = 0$$

والمجموع هو  $100/45^\circ \text{ V}$  وهو الجهد المطاوع المطلوب .



شكل ٩-١٧

$$Z_{\text{input } 1} = \frac{\Delta_2}{\Delta_{11}} = \frac{\begin{vmatrix} 8 - j2 & -8 & 0 \\ -3 & 8 + j5 & -5 \\ 0 & -5 & 7 - j2 \end{vmatrix}}{\begin{vmatrix} 8 + j5 & -5 \\ -5 & 7 - j2 \end{vmatrix}} = \frac{315 \angle 16.2^\circ}{45.1 \angle 24.9^\circ} = 6.98 \angle -8.7^\circ \Omega$$

$$I_1 = V_1 / Z_{\text{input } 1} = (10 \angle 30^\circ) / (6.98 \angle -8.7^\circ) = 1.43 \angle 38.7^\circ \text{ A}$$

٩-١٧ للشبكة الكهربائية الموضحة في الشكل ٩-١٧ أوجد

المركبات الثلاثة لمثلث القدرة وذلك للمصدر  $10/30^\circ$  .

نختار تيارات الشبكة كما هو موضح . فيكون هناك

تيار واحد فقط  $I_1$  في الفرع الذي يحتوي على المصدر .

وبما أنه لا يوجد غير مصدر واحد في الشبكة الكهربائية

فإنه يمكن استخدام نقطة المعاوقة المحركة لحساب  $I_1$  .

وقدرة المصدر الداخلة هي  $14.1 \text{ W} := 10(1.43) \cos 8.7^\circ$  و  $P = V_1 I_1 \cos \theta$  والقدرة المأخوذة سابقة وتساوي

$$S = V_1 I_1 = 14.3 \text{ VA} \quad \text{والقدرة الظاهرة هي} \quad Q = V_1 I_1 \sin 8.7^\circ = 2.16 \text{ var},$$

١٣-٩ الشبكة الكهربائية الموضحة في الشكل ٩-١٧ أوجد تيارات الشبكة  $I_1$  و  $I_2$  وذلك باستخدام معادتي الانتقال بما أن المصدر في المسار المغلق الأول والتيار المطلوب في المسار الثاني. إذن معاوقة الانتقال اللازمة هي

$$Z_{\text{transfer } 12} = \frac{\Delta_2}{\Delta_{12}} = \frac{815/16.2^\circ}{(-1) \begin{vmatrix} -3 & -5 \\ 0 & 7-j2 \end{vmatrix}} = \frac{815/16.2^\circ}{21.6/-16^\circ} = 14.45/32.2^\circ \Omega$$

والتيار المطلوب هو

$$I_2 = V_1 / Z_{\text{transfer } 12} = (10/30^\circ) / (14.45/32.2^\circ) = 0.693/-2.2^\circ \text{ A} \quad \text{وبالتل}$$

$$Z_{\text{transfer } 13} = \frac{\Delta_3}{\Delta_{13}} = \frac{815/16.2^\circ}{\begin{vmatrix} -3 & 8+j5 \\ 0 & -5 \end{vmatrix}} = \frac{815/16.2^\circ}{15} = 21/16.2^\circ \Omega$$

$$I_3 = V_1 / Z_{\text{transfer } 13} = (10/30^\circ) / (21/16.2^\circ) = 0.476/13.8^\circ \text{ A} \quad ,$$

١٤-٩ الشكل ٩-١٧ أوجد القدرة في مقاومات الشبكة الكهربائية ثم قارنها بقدرة المصدر

$$\text{لنبتان المسألتين ٩-١٢ ، ٩-١٣} \quad I_1 = 0.476/13.8^\circ \text{ A}, \quad I_2 = 0.693/-2.2^\circ \text{ A}, \quad I_3 = 1.43/38.7^\circ \text{ A}.$$

والقدرة في المقاومة  $5 \Omega$  هي  $P = (I_1)^2 5 = (1.43)^2 5 = 10.2 \text{ W}$  . ويمر في المقاومة  $3 \Omega$  تياران من تيارات الشبكة وعلى ذلك فإن تيار الفرع هو

$$(I_1 - I_2) = (1.115 + j0.895) - (0.693 - j0.027) = 0.422 + j0.922 = 1.01/65.4^\circ \text{ A}:$$

$$P = (1.01)^2 3 = 3.06 \text{ W} \quad \text{إذن}$$

وبالتل فإن التيار المسار في الفرع الذي يحتوي على المقاومة  $5 \Omega$  هو

$$(I_1 - I_2) = (0.693 - j0.027) - (0.462 + j0.113) = (0.231 - j0.140) = 0.271/31.2^\circ \text{ A}$$

والقدرة هي  $P = (I_2)^2 2 = (0.476)^2 2 = 0.453 \text{ W}$  هي  $2 \Omega$  المقاومة ، والقدرة في المقاومة  $2 \Omega$  هي  $P = (0.271)^2 2 = 0.367 \text{ W}$  .

والقدرة الكلية للشبكة الكهربائية هي  $14.1 \text{ W} = 10.2 + 3.06 + 0.367 + 0.453$  وهي تساوي القدرة الداخلة في المسألة ٩-١٢ .

١٥-٩ في الشبكة الكهربائية الموضحة في الشكل ٩-١٨ ينتج جهد  $V_0$  عبر المعاوقة  $2 - j2 \Omega$  نتيجة لمصدر الجهد  $V_1$  .

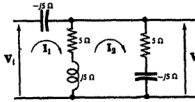
أوجد الجهد  $V_1$  الذي يقابل  $V_0 = 5/0^\circ \text{ V}$  .

لمصدر الجهد  $V_0$  يكون تيار الشبكة هو  $I_0 = \frac{V_0}{2-j2} = \frac{5/0^\circ}{2\sqrt{2}/-45^\circ} = 1.76/45^\circ \text{ A}$  . وبالتعبير عنه

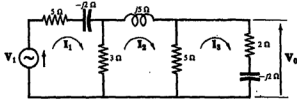
بصيغة محددة:

$$I_3 = \begin{bmatrix} 8-j2 & -3 & V_1 \\ -3 & 8+j5 & 0 \\ 0 & -5 & 0 \\ 8-j2 & -3 & 0 \\ -3 & 8+j5 & -5 \\ 0 & -5 & 7-j2 \end{bmatrix} = V_1 \begin{bmatrix} -3 & 8+j5 \\ 0 & -5 \\ 315/16.2^\circ \end{bmatrix} = V_1 (0.0476 \angle -16.2^\circ) \text{ A}$$

$$V_1 = \frac{I_3}{0.0476 \angle -16.2^\circ} = \frac{1.76 \angle 45^\circ}{0.0476 \angle -16.2^\circ} = 36.9 \angle 61.2^\circ \text{ V. إذن}$$



شكل ٩ - ١٩



شكل ٩ - ١٨

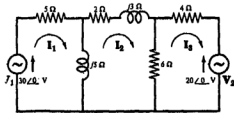
٩ - ١٦ عند توصيل الشبكة الكهربائية الموضحة في الشكل ٩ - ١٩ بحمل معاوقته كبيرة فإن الجهد يعطى بالمربوط في الجهد على المعاوقه  $5 \angle 5^\circ$  حين دالة انتقال الجهد  $V_0/V_1$  الشبكة الكهربائية. إن معادلي تيارى الشبكة الموضحين في الشكل على الصيغة المصفوفية هما

$$\begin{bmatrix} 5 & -(5+j5) \\ -(5+j5) & 10 \end{bmatrix} \begin{bmatrix} I_1 \\ I_2 \end{bmatrix} = \begin{bmatrix} V_1 \\ 0 \end{bmatrix}$$

والجهد الخارج  $V_0$  هو

$$V_0 = I_2(5-j5) = (5-j5) \begin{bmatrix} 5 & V_1 \\ -(5+j5) & 0 \\ 5 & -(5+j5) \\ -(5+j5) & 10 \end{bmatrix} = \frac{(5-j5)(5+j5)V_1}{(50-j50)} = \frac{50V_1}{50\sqrt{2} \angle -45^\circ}$$

$$\frac{V_0}{V_1} = \frac{50}{50\sqrt{2} \angle -45^\circ} = 0.707 \angle 45^\circ \text{ ومنه نجد}$$



شكل ٩ - ٢٠

٩ - ٢١ تحتوي الشبكة الكهربائية الموضحة في الشكل ٩ - ٢٠

على مصدرين للجهد - أوجد التيار المار في المعاوقه  $2+j3 \Omega$  نتيجة وجود كل من المصدرين.

نختار تيارات الشبكة بحيث يعطى التيار المطلوب المار في المعاوقه بتيار الشبكة  $I_2$  مباشرة. وتكون معادلة تيارات الشبكة المختارة في الصيغة المصفوفية هي

$$\begin{bmatrix} 5+j5 & -j5 & 0 \\ -j5 & 8+j8 & -6 \\ 0 & -6 & 10 \end{bmatrix} \begin{bmatrix} I_1 \\ I_2 \\ I_3 \end{bmatrix} = \begin{bmatrix} 30/0^\circ \\ 0 \\ -20/0^\circ \end{bmatrix}$$

$$\Delta_z = \begin{vmatrix} 5 + j5 & -j5 & 0 \\ -j5 & 8 + j8 & -6 \\ 0 & -6 & 10 \end{vmatrix} = 70 + j620 = \underline{624/83.55^\circ}$$

معددة المعاوقة هي

بقك معددة البسط لتيار  $I_2$  من خلال عناصر العمود الثاني نجد أن

$$I_2 = \frac{\begin{vmatrix} 5 + j5 & 30/0^\circ & 0 \\ -j5 & 0 & -6 \\ 0 & -20/0^\circ & 10 \end{vmatrix}}{\Delta_z} = \frac{\begin{vmatrix} -j5 & -6 \\ 0 & 10 \end{vmatrix}}{\Delta_z} + 0 + \frac{\begin{vmatrix} 5 + j5 & 0 \\ -j5 & -6 \end{vmatrix}}{\Delta_z} (-20/0^\circ)$$

$$= -30/0^\circ \left( \frac{50/-90^\circ}{624/83.55^\circ} \right) + 20/0^\circ \left( \frac{42.4/-135^\circ}{624/83.55^\circ} \right) = 2.41/8.45^\circ + 1.36/141.45^\circ \text{ A}$$

وعلى ذلك فإنه ينتج عن المصدر  $V_1$  تيار  $2.41/6.45^\circ \text{ A}$  في المعاوقة  $2 + j3 \Omega$  ، وينتج عن المصدر  $V_2$

تيار  $1.36/141.45^\circ \text{ A}$  في نفس المعاوقة . وينتج من ذلك أن هذين التيارين هما مركبتا  $I_2$

$$I_2 = 2.41/6.45^\circ + 1.36/141.45^\circ = 1.74/40.1^\circ \text{ A}$$

٩ - ١٨ في الشبكة الكهربائية الموضحة في الشكل ٩ - ٢٠ عين (أ) القدرة الممتصة بكل مصدر بمجهد .  
(ب) القدرة في مقاومات الشبكة .

(أ) التيار المار في الفرع الذي يحتوي على  $V_1$  هو

$$I_1 = \frac{\begin{vmatrix} 30/0^\circ & -j5 & 0 \\ 0 & 8 + j8 & -6 \\ -20/0^\circ & -6 & 10 \end{vmatrix}}{\Delta_z} = \frac{2240/58.8^\circ}{624/83.55^\circ} = 3.59/-29.75^\circ \text{ A}$$

والقدرة الممتصة لهذا المصدر هي  $P_1 = V_1 I_1 \cos \theta = 30(3.59) \cos 29.75^\circ = 93.5 \text{ W}$

التيار المار في الفرع الذي يحتوي على  $V_2$  هو

$$I_3 = \frac{\begin{vmatrix} 5 + j5 & -j5 & 30/0^\circ \\ -j5 & 8 + j8 & 0 \\ 0 & -6 & -20/0^\circ \end{vmatrix}}{\Delta_z} = \frac{860/-125.6^\circ}{624/83.55^\circ} = 1.38/-209.15^\circ \text{ A}$$

لاحظ أن  $V_2$  و  $I_3$  ليس في اتجاه واحد . وعلى هذا فإن القدرة الممتصة بهذا المصدر هي

$$P_2 = V_2(I_3) \cos \theta = (-)(20)(1.38) \cos -209.15^\circ = 24.1 \text{ W}$$

والقدرة الكلية هي  $P_T = P_1 + P_2 = 93.5 + 24.1 = 117.6 \text{ W}$

(ب) - القدرة في المقاومة  $5 \Omega$  هي  $P_3 = (I_1)^2 5 = (3.59)^2 5 = 64.5 \text{ W}$  و في المقاومة  $2 \Omega$  هي

$$6 \Omega \text{ هي } P_2 = (I_2)^2 2 = (1.74)^2 2 = 6.05 \text{ W}$$

و  $(I_2 - I_3) = (1.33 + j1.12) - (-1.205 + j0.672) = 2.535 + j0.45 = 2.57/10.1^\circ \text{ A}$

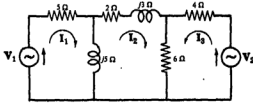
إذن  $P_4 = (I_2)^2 4 = (1.38)^2 4 = 7.61 \text{ W}$  ، والقدرة في المقاومة  $4 \Omega$  هي  $P_6 = (2.57)^2 4 = 39.6 \text{ W}$

إذن القدرة الكلية هي  $P_T = 64.5 + 6.05 + 39.6 + 7.61 = 117.76 \text{ W}$

٩- ١٩ تحتوي الشبكة الكهربائية الموضحة في الشكل ٩- ٢١ على مصدرين للجهد  $V_1$  و  $V_2$  فإذا كان  $V_1 = 30 \angle 0^\circ V$  فبين  $V_2$  بحيث يكون التيار المار في المقاومة  $2 + j3 \Omega$  مساوياً للصفر .

نختار تيارات الشبكة كما هو موضح وبحيث يمر في المقاومة  $2 + j3 \Omega$  تيار واحد فقط . وبذلك فإن المعادلات الناتجة في الصيغة المصفوفية هي :

$$\begin{bmatrix} 5 + j5 & -j5 & 0 \\ -j5 & 8 + j8 & 6 \\ 0 & 6 & 10 \end{bmatrix} \begin{bmatrix} I_1 \\ I_2 \\ I_3 \end{bmatrix} = \begin{bmatrix} 30 \angle 0^\circ \\ 0 \\ V_2 \end{bmatrix}$$



شكل ٩- ٢١

ومنها نجد أن :

$$I_2 = \frac{\begin{vmatrix} 5 + j5 & 30 \angle 0^\circ & 0 \\ -j5 & 0 & 6 \\ 0 & V_2 & 10 \end{vmatrix}}{\Delta_z} = 0$$

وبالفعل نحصل على :

$$-30 \angle 0^\circ \begin{vmatrix} -j5 & 6 \\ 0 & 10 \end{vmatrix} - V_2 \begin{vmatrix} 5 + j5 & 0 \\ -j5 & 6 \end{vmatrix} = 0$$

$$-30 \angle 0^\circ (50 \angle -90^\circ) - V_2 (6)(5\sqrt{2} \angle 45^\circ) = 0$$

$$V_2 = \frac{-30 \angle 0^\circ (50 \angle -90^\circ)}{6(5\sqrt{2} \angle 45^\circ)} = 35.4 \angle 45^\circ V$$

حسب آخر : إذا كان لا يمر تيار في الفرع  $2 + j3 \Omega$  أي أن  $I_2$  يساوى صفراً فإن المربوط في الجهد على الممانعة  $5\Omega$  يساوى المربوط في الجهد على المقاومة  $6 \Omega$  ، أي أن

$$I_1(j5) = I_2(6)$$

$$I_3 = V_2/10, \quad I_1 = 30 \angle 0^\circ / (5 + j5)$$

$$V_2 = \frac{30 \angle 90^\circ}{\sqrt{2} \angle 45^\circ} \left( \frac{10}{6} \right) = 35.4 \angle 45^\circ V \quad \text{ومنها نجد :} \quad \frac{30 \angle 0^\circ}{5 + j5} (j5) = \frac{V_2}{10} (6)$$

٩- ٢٠ إذا كان في الشكل ٩- ٢١  $V_2 = 20 \angle 0^\circ V$  ، عين مصدر الجهد  $V_1$  الذي ينتج عنه عدم مرور تيار في الفرع المختص على  $V_2$  .

باعتبار تيارات الشبكة الموضحة في الشكل ٩- ١٩ وبمساواة محددة  $I_3$  بالصفر فإن :

$$I_3 = \frac{\begin{bmatrix} 5 + j5 & -j5 & V_1 \\ -j5 & 8 + j8 & 0 \\ 0 & 6 & 20 \angle 0^\circ \end{bmatrix}}{\Delta_z} = 0$$

وبالفعل نحصل على :

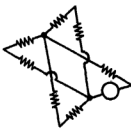
$$V_1 \begin{vmatrix} -j5 & 8 + j8 \\ 0 & 6 \end{vmatrix} + 20 \angle 0^\circ \begin{vmatrix} 5 + j5 & -j5 \\ -j5 & 8 + j8 \end{vmatrix} = 0$$

$$V_1 (80 \angle -90^\circ) + 20 \angle 0^\circ (25 + j80) = 0$$

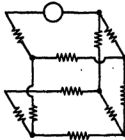
$$V_1 = \frac{-20 \angle 0^\circ (25 + j80)}{80 \angle -90^\circ} = 55.8 \angle -17.4^\circ \text{ V}$$

### مسائل إضافية

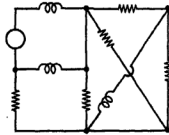
٩ - ٢١ من عدد تيارات الشبكة اللازمة لحل الشبكات الكهربائية الموضحة في الشكل ٩-٢٢ (أ - و) وذلك بتطبيق طريقتين مختلفتين .  
الجواب : (أ) 5 ، (ب) 4 ، (ج) 3 ، (د) 4 ، (هـ) 4 ، (و) 5



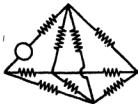
(أ)



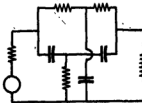
(ب)



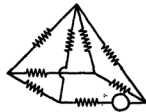
(ج)



(د)



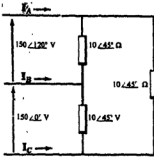
(هـ)



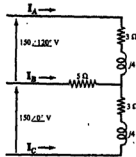
(و)

شكل ٩-٢٢

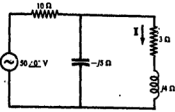
٢٢-٩ أوجد التيار المار في المقاومة  $3\Omega$  في الشبكة الكهربائية الموضحة في الشكل ٢٣-٩ علماً بأن الاتجاه الموجب كما هو موضح في الشكل .  
الجواب :  $4.47/-63.4^\circ \text{ A}$



شكل ٢٥-٩



شكل ٢٤-٩



شكل ٢٣-٩

٢٣-٩ في الدائرة الموضحة في الشكل ٢٤-٩ أوجد التيارات  $I_A$  و  $I_B$  و  $I_C$

الجواب :  $I_A = 12.1 \angle -46.4^\circ \text{ A}$ ,  $I_B = 19.1 \angle -47.1^\circ \text{ A}$ ,  $I_C = 22.1 \angle -66.4^\circ \text{ A}$

٢٤-٩ في الشكل ٢٥-٩ أوجد التيارات الثلاث  $I_A$  و  $I_B$  و  $I_C$

الجواب :  $26 \angle 45^\circ \text{ A}$ ,  $26 \angle -75^\circ \text{ A}$ ,  $26 \angle -195^\circ \text{ A}$

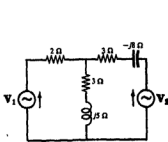
٢٥-٩ باستخدام طرق تيار الشبكة - أوجد الجهد  $V_{AB}$  في الدائرة الموضحة في الشكل ٢٦-٩ .

الجواب :  $V_{AB} = 75.4 \angle 35.2^\circ \text{ V}$

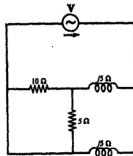
٢٦-٩ في الشكل ٢٧-٩ أوجد القيمة الفعلية لمصدر الجهد  $V$  التي يعطى قدرة  $100 \text{ W}$  في المقاومة  $5\Omega$  .

الجواب :  $40.3 \text{ V}$

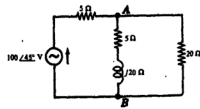
٢٧-٩ في الشبكة الكهربائية الموضحة في الشكل ٢٨-٩ احسب  $\Delta z$  وذلك بفرض اختيار مالتيارات الشبكة . اعتبر اختياراً آخر لتيارات الشبكة - ثم احسب مرة أخرى  $\Delta z$  .  
الجواب :  $61 - j15 \Omega^2$



شكل ٢٨-٩



شكل ٢٧-٩



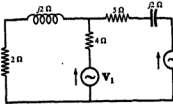
شكل ٢٦-٩

٢٨-٩ إذا كان كل من  $V_2$  و  $V_1$  في الشبكة الكهربائية الموضحة في الشكل ٩-٢٨ يساوي  $50/0^\circ$  V ، فما القدرة التي يعطيها كل منها للشبكة ؟ كرر نفس الشيء مع عكس اتجاه مصدر  $V_2$  .

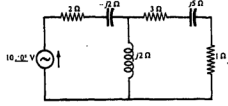
الجواب :  $P_1 = 191$  W,  $P_2 = 77.1$  W ;  $P_1 = 327$  W,  $P_2 = 214$  W

٢٩-٩ في الشبكتين الفرعيتين للشبكة الموضحة في الشكل ٩-٢٩ أوجد القدرة التي يعطيها المصدر وكذلك قدرة كل مقاومة في الشبكة .

الجواب :  $P = 36.7$  W,  $P_1 = 2.22$  W,  $P_2 = 27.8$  W,  $P_3 = 6.66$  W



شكل ٩-٣٠



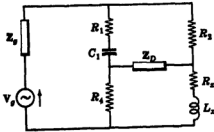
شكل ٩-٢٩

٣٠-٩ في الشكل ٩-٣٠ إذا كان  $V_2$  و  $V_1$  مصدرين متماثلين قيمة كل منهما  $10/90^\circ$  volts ، وموجهين كما هو موضح في رسم الدائرة - أوجد القدرة التي يعطيها كل مصدر للدائرة .

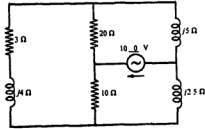
الجواب :  $P_1 = 11.0$  W,  $P_2 = 9.34$  W

٣١-٩ في الدائرة الموضحة في الشكل ٩-٣١ - أوجد التيار المار في المعاوقة  $3 + j4 \Omega$  .

الجواب : صفر



شكل ٩-٣٢



شكل ٩-٣١

٣٢-٩ تسمى الدائرة الموضحة في الشكل ٩-٣٢ بقنطرة هاي - اكتب معادلات تيارات الشبكة في الصيغة المصفوفية بحيث تختار تيارا واحدا فقط يمر في  $Z_D$  ، ثم عبر عن التيار المار في  $Z_D$  على صيغة محددة مساويا بالصفر .

أوجد  $R_x$  و  $L_x$  بدلالة الثوابت الأخرى للقنطرة .

$$R_x = \frac{\omega^2 C_1^2 R_1 R_2 R_3 R_4}{1 + (\omega R_1 C_1)^2}, \quad L_x = \frac{C_1 R_2 R_4}{1 + (\omega R_1 C_1)^2} \quad \text{الجواب}$$

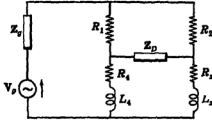
٣٣-٩ تسمى الدائرة الموضحة في الشكل ٩-٣٣ بقنطرة اون . أوجد  $R_x$  و  $L_x$  بدلالة الثوابت الأخرى للقنطرة ، وذلك عندما يكون التيار في  $Z_D$  مساويا للصفر .

$$R_x = \frac{C_1}{C_4} R_2, \quad L_x = C_1 R_2 R_4 \quad \text{الجواب}$$

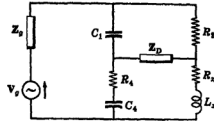


٣٤ - الدائرة الموضحة في الشكل ٣٤-٩ هي قنطرة للمقارنة بين حث الملفات المختلفة . اختر تيارات الشبكة ثم اكتب معادلاتها في الصيغة المصفوفية . أوجد  $R_x$  و  $L_x$  عندما يكون التيار في  $Z_D$  مساويا للصفر .

$$R_x = \frac{R_3}{R_1} R_4, \quad L_x = \frac{R_3}{R_1} L_4 \quad \text{الجواب}$$

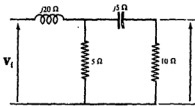


شكل ٩ - ٣٤

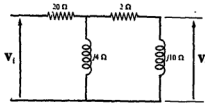


شكل ٩ - ٣٣

٣٥ - أوجد دالة انتقال الجهد  $V_o/V_i$  عبر الشبكة الموضحة في الشكل ٣٥-٩ . الجواب :  $0.139/90^\circ$



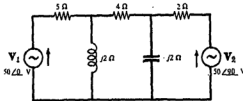
شكل ٩ - ٣٦



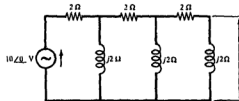
شكل ٩ - ٣٥

٣٦ - أوجد دالة انتقال الجهد  $V_o/V_i$  عبر الشبكة الموضحة في الشكل ٣٦-٩ . الجواب :  $0.159/-61.4^\circ$

٣٧ - في الشبكة الموضحة في الشكل ٣٧-٩ ، أوجد  $V_o$  بالقطبية الموضحة . الجواب :  $1.56/128.7^\circ V$



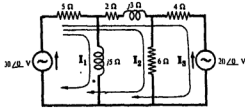
شكل ٩ - ٣٨



شكل ٩ - ٣٧

٣ - أوجد القدرة في كل من المقارنات الثلاث في الشبكة الموضحة في الشكل ٣٨-٩ .

$$\text{الجواب : } 471 W, 47.1 W, 471 W$$



شكل ٣٩ - ٩

٣٨ - ٩ في الشبكة الكهربائية الموضحة في الشكل ٣٨ - ٩ أوجد القدرة الممتصة بكل مصدر جهد .

الجواب :  $P_1 \approx 422 \text{ W}, P_2 = 565 \text{ W}$

٤٠ - ٩ في الشبكة الموضحة في الشكل ٣٩ - ٩ أوجد تيار الشبكة الفرعية  $I_3$  وذلك لاختيار تيارات الشبكة المطى .

الجواب :  $1.38 / -209.15^\circ \text{ A}$

الجواب :  $11.6 / 113.2^\circ \text{ A}$

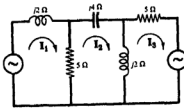
٤١ - ٩ أوجد التيار  $I_3$  في الشبكة الموضحة في الشكل ٤٠ - ٩ .

الجواب :  $3.3 / -$

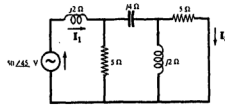
٤٢ - ٩ في الدائرة الموضحة في الشكل ٤٠ - ٩ أوجد نسبة التيار  $I_1 / I_3$  .

٤٣ - ٩ في الشبكة المطاة بالشكل ٤١ - ٩ ، موضع بها تيارات الشبكة الثلاثة في المسارات المثلثة الأولى . احس معاوقة الانتقال  $Z_{21}$  و  $Z_{13}$

الجواب :  $4.3 / -68.2^\circ \Omega$



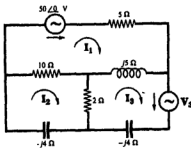
شكل ٤١ - ٩



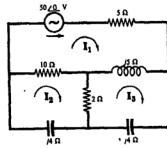
شكل ٤٠ - ٩

٤٤ - ٩ لتيارات الشبكات الفرعية الثلاث للشبكة الكهربائية الموضحة في الشكل ٤٢ - ٩ أوجد المعاوقات  $Z_{12}$  و  $Z_{13}$  و  $Z_{input}$

الجواب :  $20.2 / -36.1^\circ \Omega, 17.4 / -71.6^\circ \Omega, 6.82 / -82.9^\circ \Omega$



شكل ٤٣ - ٩

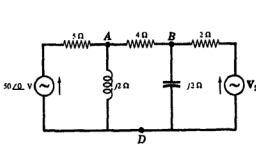


شكل ٤٢ - ٩

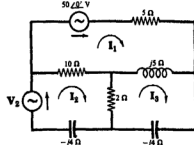
٤٥ - ٩ الشكل ٤٣ - ٩ هو الشكل ٤٢ - ٩ بمد إضافة مصدر الجهد  $V_3$  . أوجد قيمة  $V_3$  التي تجعل التيار  $I_1$  مساوياً للصفر .

الجواب :  $16.8 / 133.2^\circ \text{ V}$

٤٩-٩ الشكل ٤٤-٩ هو الشكل ٤٧-٩ بعد إضافة مصدر الجهد  $V_2$ . أوجد قيمة  $V_2$  التي تجعل التيار  $I_1$  مساويا للصفر. الجواب :  $42.9/144.5^\circ V$



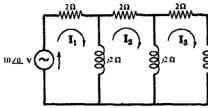
شكل ٩-٤٥



شكل ٩-٤٤

٤٧-٩ في الشبكة الموضحة في الشكل ٤٥-٩ أوجد قيمة  $V_2$  التي تجعل التيار المار خلال المقاومة  $4\Omega$  مساويا للصفر.

الجواب :  $26.3/113.2^\circ V$



شكل ٩-٤٦

٤٨-٩ في الشبكة الموضحة في الشكل ٤٥-٩ أوجد قيمتي  $V_{BD}$  و  $V_{AD}$  عندما تكون قيمة  $V_2 = 26.3/113.2^\circ$  volts.

الجواب :  $V_{AD} = V_{BD} = 18.5/68.1^\circ V$

٤٩-٩ في الشبكة الموضحة في الشكل ٤٦-٩ ولاختيار تيارات الشبكة الموضح - أوجد معاوقة الانتقال  $Z_{13}$  ثم أوجد  $I_3$  باستخدام معاوقة الانتقال هذه.

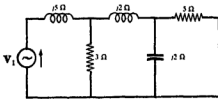
الجواب :  $12.8/38.7^\circ \Omega, 0.782/38.7^\circ \Omega$

٥٠-٩ في الشبكة الموضحة في الشكل ٤٧-٩ أوجد قيمة  $V_2$  التي تجعل تيار المصدر  $V_2$  مساويا للصفر.

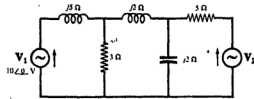
الجواب :  $V_2 = 4/180^\circ V$

٥١-٩ في الشبكة الموضحة في الشكل ٤٨-٩ أوجد مقدار مصدر الجهد  $V_1$  الذي ينتج عنه قيمة فعالة للجهد عبر المقاومة  $5\Omega$  مساوية 20 volts.

الجواب : 69.1 V



شكل ٩-٤٨



شكل ٩-٤٧

## الفصل العاشر

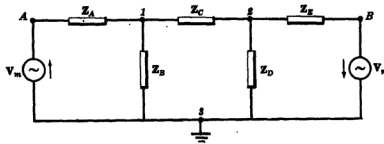
### تحليل الشبكات بطريقة جهد العقدة

#### مقدمة :

استعرضنا في الفصل التاسع طريقة اختيار مسارات التيار المخلقة وتطبيق قانون كيرشوف للجهد ، وذلك لحل الشبكات الكهربائية بطريقة تيارات الشبكات الفرعية . وفي هذا الفصل سنحصل على نفس الحل عن طريقة مجموعة المعادلات الناتجة من تطبيق قانون كيرشوف للتيار . وتسمى هذه بطريقة جهد العقدة .

#### جهود العقدة :

العقدة هي نقطة مشتركة في الشبكة الكهربائية لمتصلين أو أكثر من عناصر الدائرة . وإذا اتصل ثلاثة عناصر أو أكثر عند عقدة ما ، فإن هذه العقدة ، تسمى بالعقدة الأساسية أو بنقطة اتصال . ويرمز لكل عقدة في الدائرة بعدد أو بحرف . وفي الشكل ١-١٠ نجد أن 1, 2, 3 و A, B ترمز إلى عقدة ويرمز 1, 2, 3 إلى عقدة أساسية أو نقط اتصال . وجه العقدة هو جهد عقدة مفروضة بالنسبة لعقدة معينة تسمى عقدة الإسناد . وفي الشكل ١-١٠ إذا اخترنا العقدة 3 كمعقدة اسناد ، فإن  $V_{13}$  يمثل الجهد بين العقدتين 1 و 3 ،  $V_{23}$  يمثل الجهد بين العقدتين 2 و 3 . وبما أن جهد العقدة يحدد دائماً بالنسبة لعقدة الإسناد فإننا نستخدم الرموز  $V_1$  و  $V_2$  بدلاً من  $V_{13}$  و  $V_{23}$  على الترتيب .

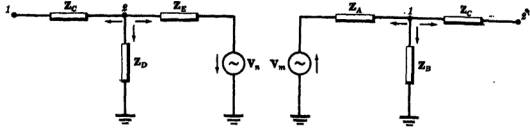


شكل ١-١٠ عقد الشبكة الكهربائية

وتعتمد طريقة جهد العقدة على إيجاد كل جهود العقد الأساسية بالنسبة لعقدة الإسناد . وبتطبيق قانون كيرشوف للتيار على نقطتي الاتصال 1 و 2 فإننا نحصل على معادلتين في المجهولين  $V_1$  و  $V_2$  . وفي الشكل ١-١٠ أعيد رسم العقدة 1 مع توضيح جميع الأفرع المتصلة بها ، ونفرض أن كل تيارات الأفرع خارجة من العقدة ، وبما أن مجموع التيارات الخارجة من نقطة اتصال يساوي صفراً فإن :

$$(١) \quad \frac{V_1 - V_m}{Z_A} + \frac{V_1}{Z_B} + \frac{V_1 - V_2}{Z_C} = 0$$

واتجاه التيارات في المعادلة (١) اتجاه اختياري. أنظر المسألة ١٠-١.



شكل ١٠ - ٢

شكل ١٠ - ٣

وبتكرار نفس الطريقة للعقدة 2 تكون المعادلة الناتجة هي :

$$(٢) \quad \frac{V_2 - V_1}{Z_C} + \frac{V_2}{Z_D} + \frac{V_2 + V_n}{Z_E} = 0$$

وبترتيب الحدود في المعادلتين (١) ، (٢) فإن مجموعة المعادلتين تكون

$$(٣) \quad \begin{aligned} \left(\frac{1}{Z_A} + \frac{1}{Z_B} + \frac{1}{Z_C}\right)V_1 - \left(\frac{1}{Z_C}\right)V_2 &= \left(\frac{1}{Z_A}\right)V_n \\ -\left(\frac{1}{Z_C}\right)V_1 + \left(\frac{1}{Z_C} + \frac{1}{Z_D} + \frac{1}{Z_E}\right)V_2 &= -\left(\frac{1}{Z_E}\right)V_n \end{aligned}$$

وبما أن  $1/Z = Y$  ، فإن مجموعة المعادلات (٣) يمكن إعادة كتابتها بالنسبة للمساومات كالآتي :

$$(٤) \quad \begin{aligned} (Y_A + Y_B + Y_C)V_1 - Y_C V_2 &= Y_A V_n \\ -Y_C V_1 + (Y_C + Y_D + Y_E)V_2 &= -Y_E V_n \end{aligned}$$

### عدد معادلات جهد العقدة :

باستثناء عقدة الإسناد فإنه يمكننا كتابة المعادلات عند كل عقدة أساسية في الشبكة الكهربائية . وعل ذلك فإن عدد المعادلات المطلوبة يكون أقل من عدد العقد الأساسية بواحد . ويعتمد اختيار الطريقة الأنسب من بين طريقتي تيار الشبكة وجهد العقدة لحل شبكة كهربائية معطاة على تركيب الشبكة نفسها . وإذا كانت الشبكة الكهربائية تتحدى على عدة أفرع متصلة على التوازي فيسكون لها عدد من المسارات الملققة أكثر من عدد العقد ، ولذلك فهي تحتاج عددا أقل من معادلات العقدة لحلها . أنظر المسألة ٩-٦ في الفصل التاسع والمسألة ١٠-٤ . وفي حالات أخرى يكون عدد المسارات الملققة مساويا لعدد العقد أو يكون عدد العقد أكبر من عدد المسارات الملققة وعل ذلك فإنه يجب حل كل شبكة كهربائية بالطريقة التي تعطينا أقل عدد من المعادلات .

### معادلات العقد عن طريق الفحص :

تحتاج الشبكة الكهربائية التي بها أربع عقد أساسية إلى ثلاث معادلات عقد لحلها وهذه المعادلات تكتب عموما بالصيغة :

$$(٥) \quad \begin{aligned} Y_{11}V_1 + Y_{12}V_2 + Y_{13}V_3 &= I_1 \\ Y_{21}V_1 + Y_{22}V_2 + Y_{23}V_3 &= I_2 \\ Y_{31}V_1 + Y_{32}V_2 + Y_{33}V_3 &= I_3 \end{aligned}$$

وتسمى  $Y_{11}$  بالمساحة الذاتية للعقدة 1 ، وتعطى بمجموع جميع المساحات المتصلة بالعقدة 1. وبالمثل تسمى  $Y_{22}$  و  $Y_{33}$  بالمساحتين الذاتيتين للعقدتين 2 و 3 ، وتعطيان بمجموع جميع المساحات المتصلة بالعقدة المقابلة لكل منهما .

تسمى  $Y_{12}$  بالمساحة التبادلية بين العقدتين 1 و 2 وتعطى بمجموع كل المساحات المتصلة بالعقدتين 1 و 2 .  $Y_{13}$  لها إشارة سالبة كما هو واضح من المعادلة الأولى من (4) . وبالمثل فإن  $Y_{23}$  و  $Y_{32}$  هما المساحتان التبادليتان للعناصر المتصلة بالعقدتين (2 و 3) ، (1 و 3) على الترتيب . وكل المساحات التبادلية لها إشارات سالبة . لاحظ أن

$$Y_{13} = Y_{31}, Y_{23} = Y_{32}$$

$I_1$  هو مجموع كل تيارات المصدر عند العقدة 1 . وإشارة التيار الداخلى إلى العقدة موجبة بينما إشارة التيار الخارج من العقدة سالبة .  $I_2$  و  $I_3$  هما مجموعا التيارات عند العقدتين 2 و 3 على الترتيب .

وكا في الصيغة المصفوفية لمعادلات تيار الشبكة ( الفصل التاسع ) فإن معادلات العقد الثلاث في ( ٥ ) تكتب بالصيغة المصفوفية .

$$(6) \quad \begin{bmatrix} Y_{11} & Y_{12} & Y_{13} \\ Y_{21} & Y_{22} & Y_{23} \\ Y_{31} & Y_{32} & Y_{33} \end{bmatrix} \begin{bmatrix} V_1 \\ V_2 \\ V_3 \end{bmatrix} = \begin{bmatrix} I_1 \\ I_2 \\ I_3 \end{bmatrix}$$

وتعطى جهود العقد  $V_1$  ،  $V_2$  ،  $V_3$  بالمعادلات :

$$V_3 = \frac{\begin{bmatrix} Y_{11} & Y_{12} & I_1 \\ Y_{21} & Y_{22} & I_2 \\ Y_{31} & Y_{32} & I_3 \end{bmatrix}}{\Delta Y}, \quad V_2 = \frac{\begin{bmatrix} Y_{11} & I_1 & Y_{13} \\ Y_{21} & I_2 & Y_{23} \\ Y_{31} & I_3 & Y_{33} \end{bmatrix}}{\Delta Y}, \quad V_1 = \frac{\begin{bmatrix} I_1 & Y_{12} & Y_{13} \\ I_2 & Y_{22} & Y_{23} \\ I_3 & Y_{32} & Y_{33} \end{bmatrix}}{\Delta Y}$$

وعند ذلك محددة كل بسط بالنسبة لعناصر العمود المحتوى على التيار فإننا نحصل على معادلات جهود العقد الآتية :

$$(7) \quad V_1 = I_1 \left( \frac{\Delta_{11}}{\Delta Y} \right) + I_2 \left( \frac{\Delta_{21}}{\Delta Y} \right) + I_3 \left( \frac{\Delta_{31}}{\Delta Y} \right)$$

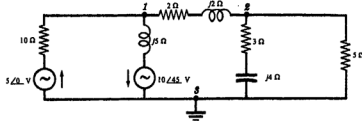
$$(8) \quad V_2 = I_1 \left( \frac{\Delta_{12}}{\Delta Y} \right) + I_2 \left( \frac{\Delta_{22}}{\Delta Y} \right) + I_3 \left( \frac{\Delta_{32}}{\Delta Y} \right)$$

$$(9) \quad V_3 = I_1 \left( \frac{\Delta_{13}}{\Delta Y} \right) + I_2 \left( \frac{\Delta_{23}}{\Delta Y} \right) + I_3 \left( \frac{\Delta_{33}}{\Delta Y} \right)$$

وحود الأطراف اليمنى في المعادلات (7) ، (8) ، (9) هي المركبات المطاوعة الناتجة من التيارات المختلفة .  
وعلى ذلك ففي المعادلة (7) نجد أن  $V_1$  هو مجموع  $I_1(\Delta_{11}/\Delta Y)$  الناتج عن التيار  $I_1$  و  $I_2(\Delta_{21}/\Delta Y)$  الناتج عن التيار  $I_2$  و  $I_3(\Delta_{31}/\Delta Y)$  الناتج عن التيار  $I_3$

### مثال :

اكتب معادلات جهد العقدة للشبكة الكهربائية الموضحة في الشكل ١٠-٤ ثم عبر عنها بالصيغة المصفوية .



شكل ١٠ - ٤

نختار العقدة 3 عقدة اسناد والمعدتين 1 و 2 كما هو موضح في شكل الدائرة ونفرض أن تيارات كل الأفرع خارجة من المعدتين 1 و 2 . وبتطبيق كيرشوف للتيار عند كل عقدة نحصل على :

$$(١٠) \quad \text{عند العقدة 1 :} \quad \frac{V_1 - 5\angle 0^\circ}{10} + \frac{V_1 + 10\angle 45^\circ}{j5} + \frac{V_1 - V_2}{2 + j2} = 0$$

$$(١١) \quad \text{عند العقدة 2 :} \quad \frac{V_2 - V_1}{2 + j2} + \frac{V_2}{8 - j4} + \frac{V_2}{5} = 0$$

وبإعادة ترتيب الحدود نجد أن

$$(١٢) \quad \left( \frac{1}{10} + \frac{1}{j5} + \frac{1}{2 + j2} \right) V_1 - \left( \frac{1}{2 + j2} \right) V_2 = \frac{5\angle 0^\circ}{10} - \frac{10\angle 45^\circ}{j5}$$

$$(١٣) \quad -\left( \frac{1}{2 + j2} \right) V_1 + \left( \frac{1}{2 + j2} + \frac{1}{8 - j4} + \frac{1}{5} \right) V_2 = 0$$

بمقارنة المصفوفة المربعة التي تحتوي على المساحة  $Y_{11}$  بالمعادلة (١٢) نجد أن  $Y_{11} = 1/10 + 1/j5 + 1/(2 + j2)$  siemens وهذا يؤكد تعريف  $Y_{11}$  كساعة ذاتية للعقدة . ونجد أيضاً أن  $Y_{12} = Y_{21} = -1/(2 + j2)$  siemens . تتفق مع تعريف المساحة التبادلية .

يعرف  $I_1$  عموماً بأنه مجموع جميع التيارات عند العقدة 1 . وعلى حسب اختيار الإشارات فإن التيار الناتج عن مصدر الفرع الأيسر يتجه إلى العقدة 1 وعلى ذلك فإن إشارته موجبة ، بينما يخرج التيار الناتج عن مصدر الفرع الثاني من العقدة 1 وعلى ذلك فإن إشارته سالبة . إذن  $I_1 = (5\angle 0^\circ)/10 - (10\angle 45^\circ)/j5$  amperes . والتيار  $I_2$  عند العقدة 2 يساوى صفر لمدم وجود أي مصدر في الأفرع المتصلة بالعقد 2

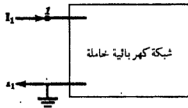
### المساحة المحركة :

أعتبر الشبكة الكهربائية الخاملة ذات الباهيتين الخارجيتين والموضحة في الشكل ١٠-٥ . افرض أن تيار المصدر يتجه إلى العقدة 1 وأن أي مساعة متصلة بالمصدر هي داخل الشبكة الكهربائية .

بما أنه لا يوجد أي مصدر آخر للتيار داخل الشبكة الكهربائية فإن

$$(١٤) \quad V_1 = I_1 \left( \frac{\Delta_{11}}{\Delta_V} \right)$$

معادلة



شكل ١٠ - ٥

وتعرف المساحة المحركة أو  $Y_{input}$  بأنها النسبة بين التيار الخارج من مصدر التيار الوحيد الموجود بين عقدتين والمهرب في الجهد الناتج بين العقدتين . إذن من المعادلة (١٤) نجد أن

$$Y_{input 1} = \frac{I_1}{V_1} = \frac{\Delta Y}{\Delta_{11}}$$

وتعرف مساحة الدخول لشبكة كهربائية حية بأنها المساحة التي تعطى لنا الشبكة الكهربائية من خلال نهايتين محددتين وذلك مع وضع جميع المصادر الداخلية مساوية للصفر . إذن :

$$V_1 = I_1 \left( \frac{\Delta_{11}}{\Delta Y} \right) + (0) \left( \frac{\Delta_{21}}{\Delta Y} \right) + (0) \left( \frac{\Delta_{31}}{\Delta Y} \right) + \dots = I_1 \left( \frac{\Delta_{11}}{\Delta Y} \right)$$

$$Y_{input 1} = I_1 / V_1 = \Delta Y / \Delta_{11} \quad \text{أر}$$

وعلى ذلك فإن تعريف  $Y_{input}$  يطبق للشبكات الكهربائية المتشعبة والمتصلة .

### مساحة الانتقال :

تنتج عن التيار المسار عند عقدة ما في الشبكة الكهربائية جهود عند كل العقد بالنسبة لمقعدة الإسناد . وعلى ذلك فإن مساحة الانتقال هي النسبة بين التيار المسار عند عقدة ما والجهد الناتج عند عقدة أخرى مع فرض أن جميع المصادر الأخرى مساوية للصفر .

في الشبكة الكهربائية الموسعة في الشكل ١٠-٦ ، يعطى التيار  $I_r$  عند العقدة  $r$  والجهد الناتج عند المقعدة  $s$  بالمعادلة .

$$\begin{aligned} V_s &= (0) \left( \frac{\Delta_{1s}}{\Delta Y} \right) + \dots + I_r \left( \frac{\Delta_{rs}}{\Delta Y} \right) + \dots + (0) \left( \frac{\Delta_{ns}}{\Delta Y} \right) \\ &= I_r \left( \frac{\Delta_{rs}}{\Delta Y} \right) \end{aligned}$$

شكل ١٠ - ٦

$$Y_{transfer rs} = I_r / V_s = \Delta Y / \Delta_{rs} \quad \text{إذن}$$

لاحظ أننا اخترنا نقطة رجوع التيار كمقعدة إسناد . وهذا الاختيار ضروري وإلا فإن التيار سيظهر في أكثر من حد في معادلة  $V_s$  وبذلك يكون تعريف  $Y_{transfer}$  غير صحيح .

باستخدام المساحة المحركة ومساحة الانتقال نحصل على مجموعة المعادلات الآتية للجهود  $V_1$  و  $V_2$  و  $V_3$  لشبكة كهربائية ذات أربع نقاط اتصال .

$$V_1 = \frac{I_1}{Y_{input 1}} + \frac{I_2}{Y_{transfer 21}} + \frac{I_3}{Y_{transfer 31}}$$

$$V_2 = \frac{I_1}{Y_{transfer 12}} + \frac{I_2}{Y_{input 2}} + \frac{I_3}{Y_{transfer 32}}$$

$$V_3 = \frac{I_1}{Y_{transfer 13}} + \frac{I_2}{Y_{transfer 23}} + \frac{I_3}{Y_{input 3}}$$

ويظهر بوضوح تعاريف المساحة الداخلة ومساحة الانتقال عندما يؤثر مصدر واحد للتيار في الشبكة الكهربائية مع وضع المصادر الأخرى مساوية للصفر .



## مسائل محولة

١٠-١ اكتب معادلة العقدة 2 الموضحة في الشكلين ١٠-١ (أ) ، ١٠-١ (ب) .  
 بما أن كل التيارات في الشكل ١٠-١ (أ) خارجة من العقدة 2 ، فبمسواة مجموع التيارات الخارجة من العقدة بالصفر نجد أن

$$(V_2 - V_1)/2 + V_2/10 + (V_2 + 10\angle 0^\circ)/5 = 0$$

$$-(1/2)V_1 + (1/2 + 1/10 + 1/5)V_2 = -10\angle 0^\circ/5$$

في الشكل ١٠-١ (ب) نجد أن تيار فرع واحد فقط يدخل إلى العقدة 2 بينما يخرج منها تياران وبوضع التيار الداخل إلى العقدة مساويا لمجموع التيارين الخارجين منها نجد أن :

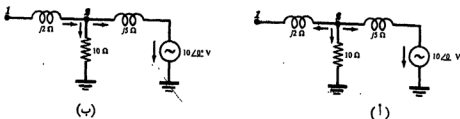
$$(V_1 - V_2)/2 = V_2/10 + (V_2 + 10\angle 0^\circ)/5$$

$$V_2/10 + (V_2 + 10\angle 0^\circ)/5 + (V_2 - V_1)/2 = 0$$

$$-(1/2)V_1 + (1/2 + 1/10 + 1/5)V_2 = -10\angle 0^\circ/5$$

أو

وعل ذلك فإنه يمكننا اختيار أى اتجاه لتيارات الأفرع عند كتابة معادلات العقدة . وفى كل حالة ستكون المعادلات الناتجة متطابقة .



شكل ١٠ - ٧

١٠-٢ اكتب معادلات العقدة للشبكة الكهربائية الموضحة في الشكل ١٠-٨ . ثم عبر عنها بالصيغة المصفوية .

لدينا ثلاث عقد مرققة وكذلك عقدة الإسناد كما هو موضح في الشكل . بفرض أن تيارات جميع الأفرع خارجة من العقد فإنه يمكننا كتابة المعادلات التالية عند العقد 1 و 2 و 3 .

$$(V_1 - V_2)/(-j8) + V_1/5 + (V_1 - V_3 + 10\angle 0^\circ)/(3 + j4) = 0$$

$$(V_2 - V_1)/(-j8) + V_2/10 + (V_2 - V_3 - 5\angle 0^\circ)/(j4) = 0$$

$$V_3/8 + (V_3 - V_1 - 10\angle 0^\circ)/(3 + j4) + (V_3 - V_2 + 5\angle 0^\circ)/(j4) = 0$$

وبإعادة ترتيب الحدود نحصل على

$$\left(\frac{1}{-j8} + \frac{1}{5} + \frac{1}{3 + j4}\right)V_1 - \left(\frac{1}{-j8}\right)V_2 - \left(\frac{1}{3 + j4}\right)V_3 = (-10\angle 0^\circ)/(3 + j4)$$

$$-\left(\frac{1}{-j8}\right)V_1 + \left(\frac{1}{-j8} + \frac{1}{10} + \frac{1}{j4}\right)V_2 - \left(\frac{1}{j4}\right)V_3 = (5\angle 0^\circ)/(j4)$$

$$-\left(\frac{1}{3 + j4}\right)V_1 - \left(\frac{1}{j4}\right)V_2 + \left(\frac{1}{8} + \frac{1}{j4} + \frac{1}{3 + j4}\right)V_3 = \left(\frac{10\angle 0^\circ}{3 + j4}\right) - \left(\frac{5\angle 0^\circ}{j4}\right)$$



$$\begin{bmatrix} \left(\frac{1}{Z_g} + j\omega C + \frac{1}{R}\right) & -(j\omega C) & -\left(\frac{1}{R}\right) \\ -(j\omega C) & \left(j2\omega C + \frac{1}{R_z} + \frac{1}{j\omega L_z}\right) & -(j\omega C) \\ -\left(\frac{1}{R}\right) & -(j\omega C) & \left(j\omega C + \frac{1}{R} + \frac{1}{Z_D}\right) \end{bmatrix} \begin{bmatrix} V_1 \\ V_2 \\ V_3 \end{bmatrix} = \begin{bmatrix} V_g/Z_g \\ 0 \\ 0 \end{bmatrix}$$

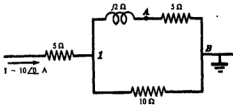
و بالتعبير عن  $V_3$  بصيغة محددة ومساوئها بالصفر :

$$V_3 = \frac{\begin{vmatrix} \left(\frac{1}{Z_g} + j\omega C + \frac{1}{R}\right) & -(j\omega C) & V_g/Z_g \\ -(j\omega C) & \left(j2\omega C + \frac{1}{R_z} + \frac{1}{j\omega L_z}\right) & 0 \\ -\left(\frac{1}{R}\right) & -(j\omega C) & 0 \end{vmatrix}}{\Delta_Y} = 0$$

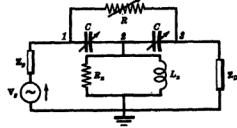
إذن محدد البسط يساوى صفراً وبفلكه بالنسبة لعناصر العمود الثالث نحصل على :

$$\begin{aligned} (V_g/Z_g) \begin{vmatrix} -j\omega C & (j2\omega C + 1/R_z + 1/j\omega L_z) \\ -1/R & -j\omega C \end{vmatrix} &= 0 \\ -\omega^2 C^2 + j2\omega C/R + 1/(RR_z) + 1/(j\omega L_z R) &= 0 \quad \text{إذن} \\ L_z = 1/(2\omega^2 C) & \quad R_z = 1/(\omega^2 C^2 R) \quad \text{ومنها نجد أن} \end{aligned}$$

وهذه هي نفس النتيجة التي حصلنا عليها باستخدام طريقة تيار الشبكة في المسألة ٩-٦ . لاحظ أن عدد المعادلات اللازمة لحل قد اختصر من أربع إلى ثلاث باستخدام طريقة جهد العقدة .



شكل ١١ - ١٠



شكل ١٠ - ١٠

١٠-٩ باستخدام طريقة العقدة عين الجهد  $V_{AB}$  في الشبكة الكهربية في الشكل ١٠-١١ .

في وجود عقدتين أساسيتين أو نقطتي اتصال فإننا نحتاج إلى معادلة عقدة واحدة فقط . نختار  $B$  كمقدمة إرسناد ونكتب المعادلة عند العقدة ١ . وبتطبيق قانون كير شوف للتيار نجد أن التيار  $10\angle 0^\circ A$  يساوى التيارات الخارجة . إذن .

$$V_1 = 10\angle 0^\circ / (0.281 \angle -14.2^\circ) = 35.6 \angle 14.2^\circ V \quad \text{و} \quad 10\angle 0^\circ = V_1/10 + V_1/(5 - j2)$$

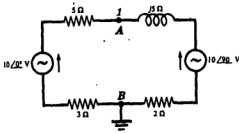
بما أن التيار المار في الفرع  $5 + j2 \Omega$  هو  $I = V_1/(5 + j2) A$  فإن الجهد المطلوب عبر المقادير

5  $\Omega$  هو :

$$V_{AB} = I(5) = \frac{V_1}{(5 + j2)}(5) = \frac{35.6 \angle 14.2^\circ}{(5 + j2)}(5) = 33 \angle -7.6^\circ V$$

١٠-٦ عين الجهد  $V_{AB}$  في الشبكة الكهربائية الموضحة في الشكل ١٠-١٢ .

بما أنه لا يوجد في الدائرة عقدة أساسية ، فإنه إذا اخترنا B كمقعدة إسناد والنقطة A كمقعدة 1 ، فإنه يمكننا كتابة معادلة ذلك بفرض أن التيار خارج من A في كلا الفرعين .



$$\frac{V_1 - 10/0^\circ}{(5 + 8)} + \frac{V_1 - 10/90^\circ}{(8 + j6)} = 0$$

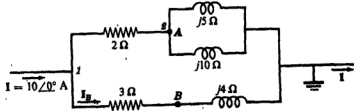
بترتيب الحدود نحصل على

$$V_1 \left( \frac{1}{8} + \frac{1}{2 + j6} \right) = \left( \frac{10/0^\circ}{8} + \frac{10/90^\circ}{2 + j6} \right)$$

$$V_{AB} = V_1 = 11.8 \angle 55.05^\circ V$$

شكل ١٠ - ١٢

١٠-٧ أوجد الجهد  $V_{AB}$  في الشبكة الكهربائية الموضحة في الشكل ١٠-١٣ .



شكل ١٠ - ١٣

إن معادلات المقعد هي :

$$10 \angle 0^\circ = (V_1 - V_2)/2 + V_1/(3 + j4) \quad \text{عند المقعدة 1}$$

$$(V_2 - V_1)/2 + V_2/j5 + V_2/j10 = 0 \quad \text{عند المقعدة 2}$$

وبإعادة ترتيب الحدود نجد أن

$$\left( \frac{1}{2} + \frac{1}{3 + j4} \right) V_1 - \frac{1}{2} V_2 = 10 \angle 0^\circ$$

$$-\frac{1}{2} V_1 + \left( \frac{1}{2} + \frac{1}{j6} + \frac{1}{j10} \right) V_2 = 0$$

$$V_1 = \frac{\begin{vmatrix} 10\angle 0 & -0.5 \\ 0 & (0.5 - j0.3) \end{vmatrix}}{\begin{vmatrix} (0.62 - j0.16) & -0.5 \\ -0.5 & (0.5 - j0.3) \end{vmatrix}} = \frac{5.83\angle -31^\circ}{0.267\angle -87.42^\circ} = 21.8\angle 56.42^\circ \text{ V}$$

$$V_2 = \frac{\begin{vmatrix} (0.62 - j0.16) & 10\angle 0 \\ -0.5 & 0 \end{vmatrix}}{\Delta_Y} = \frac{5\angle 0^\circ}{0.267\angle -87.42^\circ} = 18.7\angle 87.42^\circ \text{ V}$$

جهد العقدة  $V_2$  هو جهد  $A$  بالنسبة لعقدة الإسناد . وبما أن  $I_B = V_1/(3 + j4)$  ، فإن الجهد  $V_B$  بالنسبة لعقدة الإسناد هو

$$V_B = \frac{V_1}{(3 + j4)}(4) = \frac{21.8\angle 56.42^\circ}{(3 + j4)}(4) = 17.45\angle 93.32^\circ \text{ V}$$

إذن الجهد المطلوب  $V_{AB}$  هو

$$V_{AB} = V_A - V_B = (18.7\angle 87.42^\circ) - (17.45\angle 93.32^\circ) = 2.23\angle 34.1^\circ \text{ V}$$

١٠ - أوجد  $I_A$  ،  $I_B$  و  $I_C$  في الشبكة الكهربائية الموضحة في الشكل ١٠-١٤ .

نختار العقدة ١ ونقطة الإسناد كما هو موضح في الشكل . نحل معادلة العقدة .

$$\frac{V_1 + 100\angle 120^\circ}{20} + \frac{V_1}{10} + \frac{V_1 - 100\angle 0^\circ}{10} = 0$$

نتحصل على

$$V_1 = \frac{200\angle 0^\circ - 100\angle 120^\circ}{5} = 50 - j17.32 = 53\angle -19.1^\circ \text{ V}$$

إذن تيارات الأفرع المختلفة هي

$$I_A = (V_1 + 100\angle 120^\circ)/20 = (50 - j17.32 - 50 + j86.6)/20 = 3.46\angle 90^\circ \text{ A}$$

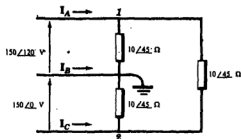
$$I_B = V_1/10 = 5.3\angle -19.1^\circ \text{ A}$$

$$I_C = (V_1 - 100\angle 0^\circ)/10 = (50 - j17.32 - 100)/10 = 5.3\angle -160.9^\circ \text{ A}$$

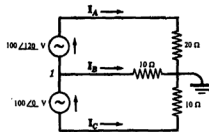
لاحظ أن مجموع التيارات الثلاثة الداخلة إلى عقدة الإسناد يساوي صفراً .

$$I_A + I_B + I_C = 3.46\angle 90^\circ + 5.3\angle -19.1^\circ + 5.3\angle -160.9^\circ$$

$$= j3.46 + 5.0 - j1.732 - 5 - j1.732 = 0$$



شكل ١٠ - ١٥



شكل ١٠ - ١٤

١٠-٩ أوجد الدائرة الموضحة في الشكل ١٠-١٠ تيارات الأفرع  $I_A$  و  $I_B$  و  $I_C$ .

المقدتان 1 و 2 وعقدة الإسناد جميعها موضحة في الشكل ١٠-١٠. إن جهدي العقدة  $V_1$  و  $V_2$  التي يمكن قراءتهما من الرسم مباشرة مساويان للجهود الثابتين المعطيين. إذن

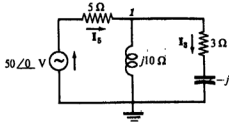
$$V_2 = -150 \angle 0^\circ = 150 \angle 180^\circ \text{ V} \quad \text{و} \quad V_1 = 150 \angle 120^\circ \text{ V}$$

ويطبق قانون كيرشوف للتيار عند كل عقدة من العقد الثلاث يمكننا حساب التيارات المطلوبة.

$$I_A = \frac{V_1}{10 \angle 45^\circ} + \frac{V_1 - V_2}{10 \angle 45^\circ} = \frac{300 \angle 120^\circ - 150 \angle 180^\circ}{10 \angle 45^\circ} = 26 \angle 45^\circ \text{ A} \quad \text{عند العقدة 1}$$

$$I_B = \frac{-V_1}{10 \angle 45^\circ} - \frac{V_2}{10 \angle 45^\circ} = \frac{150 \angle -60^\circ + 150 \angle 0^\circ}{10 \angle 45^\circ} = 26 \angle 75^\circ \text{ A} \quad \text{عند عقدة الإسناد}$$

$$I_C = \frac{V_2}{10 \angle 45^\circ} + \frac{V_2 - V_1}{10 \angle 45^\circ} = \frac{300 \angle 180^\circ - 150 \angle 120^\circ}{10 \angle 45^\circ} = 26 \angle -195^\circ \text{ A} \quad \text{عند العقدة 2}$$



١٠-١٠ عين لدائرة الموضحة في الشكل ١٠-١٦ القدرة الخارجة من المصدر والقدرة في كل مقاومة في الشبكة الكهربائية.

نختار عقدة الإسناد والعقدة 1 كما هو موضح في الشكل : إذن معادلة العقدة هي

شكل ١٠ - ١٦

$$(V_1 - 50 \angle 0^\circ)/5 + V_1/10 + V_1/(3 - j4) = 0$$

ومن هنا نجد أن

$$V_1 = (10 \angle 0^\circ)/(0.326 \angle 10.6^\circ) = 30.7 \angle -10.6^\circ \text{ V}$$

وبالخل الحصول على تيارات الأفرع التالية بفرع أن اتجاهها كما هو موضح في الشكل نحصل على :

$$I_5 = (50 \angle 0^\circ - V_1)/5 = (50 \angle 0^\circ - 30.7 \angle -10.6^\circ)/5 = 4.12 \angle 15.9^\circ \text{ A}$$

$$I_3 = V_1/(3 - j4) = (30.7 \angle -10.6^\circ)/(5 \angle -53.1^\circ) = 6.14 \angle 42.5^\circ \text{ A}$$

والقدرة الخارجة من المصدر .

$$P = VI_5 \cos \theta = (50)(4.12) \cos 15.9^\circ = 198 \text{ W}$$

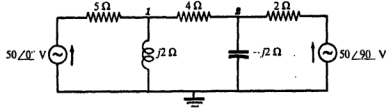
من المعادلة  $P = I^2 R$  يمكننا حساب القدرة المستنفذة في كل مقاومة .

$$P_3 = (I_3)^2 3 = (6.14)^2 3 = 113 \text{ W} \quad \text{و} \quad P_5 = (I_5)^2 5 = (4.12)^2 5 = 85 \text{ W}$$

لاحظ أن القدرة الكلية المعطاة من المصدر تساوي مجموع القدرات المستنفذة بمقاومات الدائرة ، أي

$$P_T = 85 + 113 = 198 \text{ W}.$$

١١ - ١ في الدائرة الموضحة في الشكل ١٠ - ١٧ من جهدي المقدمتين 1 و 2 . بالنسبة لنقطة الإسناد المختارة .



شكل ١٠ - ١٧

بالفحص يمكننا كتابة معادلي العقدة في الصيغة المصفوفية :

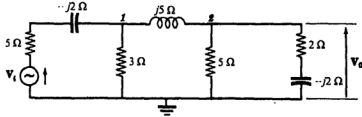
$$\begin{bmatrix} \left(\frac{1}{5} + \frac{1}{j2} + \frac{1}{4}\right) & -\left(\frac{1}{4}\right) \\ -\left(\frac{1}{4}\right) & \left(\frac{1}{4} + \frac{1}{-j2} + \frac{1}{2}\right) \end{bmatrix} \begin{bmatrix} V_1 \\ V_2 \end{bmatrix} = \begin{bmatrix} \left(\frac{50/0^\circ}{5}\right) \\ \left(\frac{50/90^\circ}{2}\right) \end{bmatrix}$$

$$V_1 = \frac{\begin{vmatrix} 10 & -0.25 \\ j25 & (0.75 - j0.5) \end{vmatrix}}{\begin{vmatrix} (0.45 - j0.5) & -0.25 \\ -0.25 & (0.75 + j0.5) \end{vmatrix}} = \frac{13.5 \angle 56.3^\circ}{0.546 \angle -15.95^\circ} = 24.7 \angle 72.25^\circ \text{ V}$$

ومنها نجد أن :

$$V_2 = \frac{\begin{vmatrix} (0.45 - j0.5) & 10 \\ -0.25 & j25 \end{vmatrix}}{\Delta y} = \frac{18.35 \angle 37.8^\circ}{0.546 \angle -15.95^\circ} = 33.6 \angle 53.75^\circ \text{ V}$$

١٢- في الشبكة الكهربائية الموضحة في الشكل ١٠ - ١٨ أوجد النسبة  $V_0/V_1$  وذلك بفرض أن  $V_0$  هو المربوط في الجهد على المقاومة  $2\Omega - j2\Omega$  الناتج عن المصدر  $V_1$  .



شكل ١٠ - ١٨

نختار المقدمتين 1 و 2 وعقدة الإسناد كما هو موضح في رسم الدائرة . بهذا الاختيار يكون  $V_0$  هو جهد العقدة 1 بالنسبة لنقطة الإسناد .

نكتب معادلات العقدة عن طريق الفحص في الصيغة المصفوفية :

$$\begin{bmatrix} \left(\frac{1}{5-j2} + \frac{1}{3} + \frac{1}{j5}\right) & -\left(\frac{1}{j5}\right) \\ -\left(\frac{1}{j5}\right) & \left(\frac{1}{j5} + \frac{1}{5} + \frac{1}{2-j2}\right) \end{bmatrix} \begin{bmatrix} V_1 \\ V_2 \end{bmatrix} = \begin{bmatrix} \frac{V_1}{5-j2} \\ 0 \end{bmatrix}$$

وبالحل الحصول على  $V_o$  نجد :

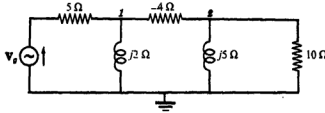
$$V_o = V_2 = \frac{\begin{vmatrix} (0.506 - j0.131) & V_s/(5 - j2) \\ j0.2 & 0 \end{vmatrix}}{\begin{vmatrix} (0.506 - j0.131) & j0.2 \\ j0.2 & (0.45 + j0.05) \end{vmatrix}} = \frac{(0.2 \angle 90^\circ) V_s / (5 - j2)}{(0.276 \angle 7^\circ)}$$

$$\frac{V_o}{V_s} = \frac{0.2 \angle -90^\circ}{(5 - j2)(0.276 \angle 7^\circ)} = 0.1345 \angle -61.2^\circ \quad \text{إذن :}$$

تسمى هذه النتيجة بدالة انتقال الجهد وهي يمكننا من حساب الجهد الخارج للفرع المعطى وذلك لأى جهته داخل

مباشرة. أى أن  $V_o = V_s (0.1345 \angle -61.2^\circ)$ .

١٠ - ١٣ إذا أعطيت المقتتان 1 و 2 فى الشبكة الكهربائية ١٠ - ١٩ . فأوجد النسبة  $V_1/V_2$ .



شكل ١٠ - ١٩

بكتابة معادلات المقتدة فى الصيغة المصفوفية عن طريق الفحص نجد أن :

$$\begin{bmatrix} \left(\frac{1}{5} + \frac{1}{j2} + \frac{1}{4}\right) & -\left(\frac{1}{4}\right) \\ -\left(\frac{1}{4}\right) & \left(\frac{1}{4} + \frac{1}{j5} + \frac{1}{10}\right) \end{bmatrix} \begin{bmatrix} V_1 \\ V_2 \end{bmatrix} = \begin{bmatrix} (V_s/5) \\ 0 \end{bmatrix}$$

$$V_1 = \frac{\begin{vmatrix} (V_s/5) & -0.25 \\ 0 & (0.35 - j0.2) \end{vmatrix}}{\Delta_Y} = \frac{(V_s/5)(0.403 \angle -29.8^\circ)}{\Delta_Y}$$

$$V_2 = \frac{\begin{vmatrix} (0.45 - j0.5) & (V_s/5) \\ -0.25 & 0 \end{vmatrix}}{\Delta_Y} = \frac{(V_s/5)(0.25)}{\Delta_Y}$$

$$\frac{V_1}{V_2} = \frac{(V_s/5)(0.403 \angle -29.8^\circ)/\Delta_Y}{(V_s/5)(0.25)/\Delta_Y} = 1.61 \angle -29.8^\circ$$

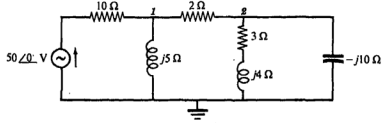
حسب آخر : بالتعبير عن جهد كل عقدة بدلالة العوامل المشتركة . وبما أنه يوجد مصدر واحد بتيار  $I_1$

يؤثر فى الدائرة فإن  $V_1 \sim I_1(\Delta_{11} \Delta_{12})$  و  $V_2 \sim I_1(\Delta_{12} \Delta_{11})$  إذن

$$\frac{V_1}{V_2} = \frac{I_1(\Delta_{11} \Delta_{12})}{I_1(\Delta_{12} \Delta_{11})} = \frac{\Delta_{11}}{\Delta_{12}} = \frac{0.35 \angle -90^\circ}{0.25} = 1.61 \angle -29.8^\circ$$



١٠-١٤ عين جهدي العقدين 1 و 2 لشبكة الكهربائية الموضحة في الشكل ١٠ - ٢٠ باستخدام المساحة الداخلية ومساحة الانتقال.



شكل ١٠ - ٢٠

تمثل مصفوفة المساحة [Y] عن طريق الفحص بالصورة

$$[Y] = \begin{bmatrix} \left(\frac{1}{10} + \frac{1}{j5} + \frac{1}{2}\right) & -\left(\frac{1}{2}\right) \\ -\left(\frac{1}{2}\right) & \left(\frac{1}{2} + \frac{1}{3+j4} + \frac{1}{-j10}\right) \end{bmatrix} = \begin{bmatrix} (0.6 - j0.2) & -0.5 \\ -0.5 & (0.62 - j0.06) \end{bmatrix}$$

دعنا

$$Y_{\text{input 1}} = \frac{\Delta Y}{\Delta_{11}} = \frac{\begin{vmatrix} (0.6 - j0.2) & -0.5 \\ -0.5 & (0.62 - j0.06) \end{vmatrix}}{(0.62 - j0.06)} = \frac{0.194 \angle -55.5^\circ}{0.62 \angle -5.56^\circ} = 0.313 \angle -49.94^\circ \text{ S}$$

$$Y_{\text{transfer 21}} = \frac{\Delta Y}{\Delta_{12}} = \frac{0.194 \angle -55.5^\circ}{(-1)(-0.5)} = 0.388 \angle -55.5^\circ \text{ S}$$

$$V_1 = \frac{I_1}{Y_{\text{input 1}}} + \frac{I_2}{Y_{\text{transfer 21}}}$$

عند العقدة 1 :

بما أنه لا يوجد تيار عند العقدة 2 ، أي أن  $I_2 = 0$  فإننا نحصل عل

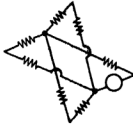
$$V_1 = \frac{I_1}{Y_{\text{input 1}}} = \frac{(50 \angle 0^\circ)/10}{0.313 \angle -49.94^\circ} = 15.95 \angle 49.94^\circ \text{ V}$$

$$V_2 = \frac{I_1}{Y_{\text{transfer 12}}} + \frac{I_2}{Y_{\text{input 2}}} = \frac{(50 \angle 0^\circ)/10}{0.388 \angle -55.5^\circ} = 12.9 \angle 55.5^\circ \text{ V}$$

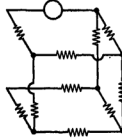
وبالتالي :

مسائل اضافية

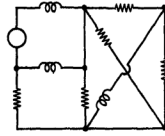
١٠- ١٥ عين عدد معادلات جهد العقدة اللازمة لحل كل شبكة من الشبكات الكهربائية الموضحة في الشكل ١٠ - ٢١ .  
(١-٥) .



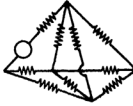
(أ)



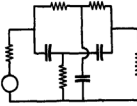
(ب)



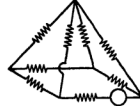
(ج)



(د)



(هـ)

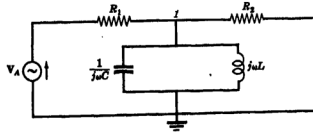


(ف)

شكل ١٠ - ٢١

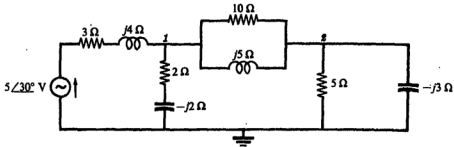
الجواب : (أ) 3 ، (ب) 5 ، (ج) 1 ، (د) 4 ، (هـ) 4 ، (و) 4

١٠- ١٩ أكتب معادلة العقدة المعطاة في الشبكة الكهربائية الموضحة في الشكل ١٠ - ٢٢ .



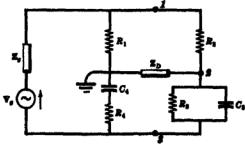
شكل ١٠ - ٢٢

١٠- ١٧ أكتب معادلات المعقدة للشبكة الكهربائية الموضحة في الشكل ١٠ - ٢٣ ثم عبر عنها بالصيغة المصفوية . ثم أكتب [ Y ] بطريقة الفحص وقارنها بتلك التي تحصل عليها من المعادلات .

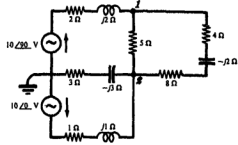


شكل ١٠ - ٢٣

١٠-١٨ أكتب معادلات العقدة المقعدة المطاة في الشبكة الكهربائية الموضحة في الشكل ١٠-٢٤ ثم عبر عنها بالصيغة المصفوفية. ثم أكتب [Y] بطريقة الفحص وقارنها بتلك التي تحصل عليها من المعادلات.

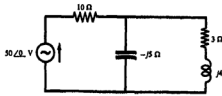


شكل ١٠ - ٢٥



شكل ١٠ - ٢٤

١٠-١٩ الدائرة الموضحة في الشكل ١٠-٢٥ قنطرة أين أكتب معادلات المقعدة الثلاثة لهذه الدائرة ثم ضمنها في الصيغة المصفوفية، ثم أكتب [Y] بطريقة الفحص وقارنها بتلك التي تحصل عليها من المعادلات.



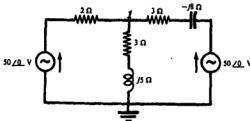
شكل ١٠ - ٢٦

١٠-٢٥ استخدم طريقة المقعدة في الدائرة الموضحة في الشكل ١٠-٢٦ لتحصل على القدرة المطاة بالمصدر 50 volt والقدرة في المقاومين.

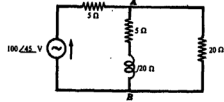
الجواب : 140 W, 80 W, 60 W

١٠-٢٧ باستخدام طريقة المقعدة. أوجد الجهد  $V_{AB}$  في الدائرة الموضحة في الشكل ١٠-٢٧.

الجواب :  $75.4 \angle 55.2^\circ V$



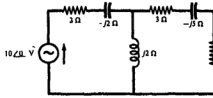
شكل ١٠ - ٢٨



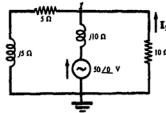
شكل ١٠ - ٢٧

٢٢-١٠ أوجد جهد العقدة  $V_1$  في الدائرة الموضحة في الشكل ١٠-٢٨ . الجواب :  $43.9 \angle 14.9^\circ V$

٢٣-١٠ أوجد الجهد عند العقدة  $I$  والتيار  $I_1$  في الدائرة الموضحة في الشكل ١٠-٢٩ وذلك بفرض اتجاه  $I_1$  كما هو موضح في الرسم . الجواب :  $17.7 \angle 45^\circ V, 1.77 \angle 135^\circ A$



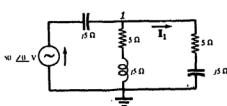
شكل ١٠ - ٣٠



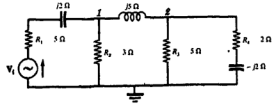
شكل ١٠ - ٢٩

٢٤-١٠ باستخدام طريقة العقدة أوجد القدرة الممتصة بالمصدر 10 volts وكذلك القدرة في كل مقاومة في الدائرة الموضحة في الشكل ١٠-٣٠ . الجواب :  $36.7 W$  و  $27.8 W$  و  $6.66 W$  و  $2.22 W$

٢٥-١٠ أوجد القدرة الممتصة بالدائرة الموضحة في الشكل ١٠-٣١ بالمصدر  $V_1$  50∠0 V . عين أيضا القدرة المستنفذة في كل مقاومة في الدائرة . الجواب :  $P = 354 W, P_1 = 256 W, P_2 = 77.1 W, P_3 = 9.12 W, P_4 = 11.3 W$



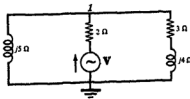
شكل ١٠ - ٣٢



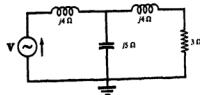
شكل ١٠ - ٣١

٢٦-١٠ باستخدام طريقة العقدة - أوجد  $I_1$  في الدائرة الموضحة في الشكل ١٠-٣٢ . الجواب :  $5/90^\circ A$

٢٧-١٠ أوجد في الدائرة الموضحة في الشكل ١٠-٣٣ القيمة الفعلية لجهد المصدر  $V$  التي ينتج عنها قدرة 75 W في المقاومة 3 Ω . الجواب : 24.2 V



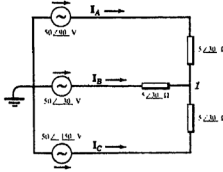
شكل ١٠ - ٣٤



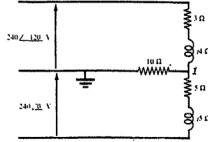
شكل ١٠ - ٣٣

١٠-٢٨ في الدائرة الموضحة في الشكل ١٠-٣٤. أوجد جهد المصدر  $V$  الذي ينتج جهداً عند العقدة ١ مساوياً  $50 \angle 0^\circ V$ .  
الجواب :  $71.6 \angle 30.2^\circ V$

٢٠-٢٩ أوجد الجهد عند العقدة ١ للدائرة الموضحة في الشكل ١٠-٣٥. الجواب :  $179 \angle 204.8^\circ V$



شكل ١٠ - ٣٦

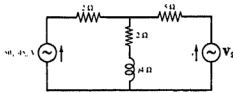


شكل ١٠ - ٣٥

١٠-٣٠ أوجد تيارات الأفرع الثلاثة  $I_A$  و  $I_B$  و  $I_C$  وذلك في الدائرة الموضحة في الشكل ١٠-٣٦.  
الجواب :  $10 \angle 180^\circ A$  و  $10 \angle -60^\circ A$  و  $10 \angle 60^\circ A$

٢-٣١ في الدائرة الموضحة في الشكل ١٠-٣٧ أوجد جهد المصدر  $V_2$  الذي ينتج عنه تيار مساو للصفر في المأوقة  $2 + j4 \Omega$ .

الجواب :  $125 \angle -135^\circ V$



شكل ١٠ - ٣٧

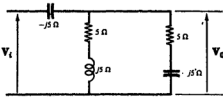
١-٣٢ بالإشارة إلى الدائرة الموضحة في الشكل ١٠-٣٧ إذا كان المصدر  $V_2$  هو  $100 \angle 30^\circ V$  فأوجد التيار في المأوقة  $2 + j4 \Omega$ .

الجواب :  $12.1 \angle -11^\circ A$

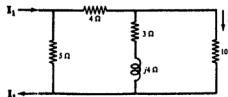
١-٣٣ في المسألة ١٠-٣٢ أوجد القدرة المعطاة للشبكة الكهربائية بكل مصدر.

الجواب :  $P_1 = -90.6 W$ ,  $P_2 = 1000 W$

١-٣٤ أوجد النسبة  $I_2/I_1$  للشبكة الكهربائية الموضحة في الشكل ١٠-٣٨ والتي لها تيار  $I_1$ . علماً بأن التيار المسار في المقاومة  $10 \Omega$  هو  $I_2$ . الجواب :  $0.151 \angle 25.8^\circ$



شكل ١٠ - ٣٩



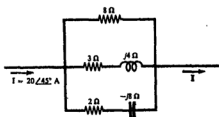
شكل ١٠ - ٣٨

١٠-٣٥ باستخدام طريقة العقدة أوجد دالة انتقال الجهد  $V_0/V_i$  وذلك للدائرة الموضحة في الشكل ١٠-٣٩ .

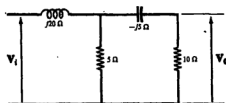
الجواب :  $0.707 \angle 45^\circ$

١٠-٣٩ أوجد دالة انتقال الجهد  $V_0/V_i$  للدائرة الموضحة في الشكل ١٠-٤٠ .

الجواب :  $0.159 \angle -61.4^\circ$



شكل ١٠ - ٤١



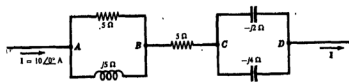
شكل ١٠ - ٤٠

١٠-٣٧ استخدم طريقة العقدة للحصول على الجهد عبر الدائرة المتصلة على التوازي والموضحة في الشكل ١٠-٤١ .

الجواب :  $72.2 \angle 53.8^\circ V$

١٠-٣٨ باستخدام طريقة العقدة أوجد الجهود  $V_{AB}$  و  $V_{BC}$  و  $V_{CD}$  وذلك في الدائرة الموضحة في الشكل ١٠-٣٧ .

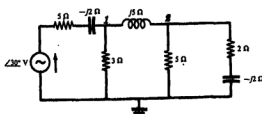
الجواب :  $35.4 \angle 45^\circ V, 50 \angle 0^\circ V, 13.3 \angle -90^\circ V$



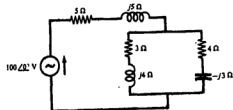
شكل ١٠ - ٤٢

١٠-٣٩ باستخدام طريقة العقدة أوجد الجهد عبر المقاومات المتصلة على التوازي وذلك في الدائرة الموضحة في الشكل ١٠-٣٧ .

الجواب :  $35 \angle -24.8^\circ V$



شكل ١٠ - ٤٤

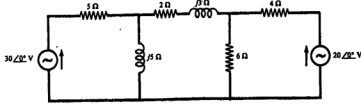


شكل ١٠ - ٤٣

١٠-٤٠ في الشبكة الكهربائية الموضحة في الشكل ١٠-٤٤ ، أوجد جهتي العقدة  $V_1$  و  $V_2$  وكذلك تيار المصدر

الجواب :  $10 \angle 30^\circ V, 3.02 \angle 65.2^\circ V, 1.34 \angle -31.3^\circ V, 1.44 \angle 38.8^\circ A$

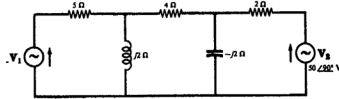
٤١-١٠ باستخدام طريقة العقدة أوجد القدرة في المقاومة  $6\ \Omega$  وذلك في الدائرة الموضحة في الشكل ٤١-١٠ .  
الجواب :  $39.6\ W$



شكل ١٠ - ٤٥

٤٧-١٠ بالإشارة إلى الدائرة الموضحة في الشكل ٤٥-١٠ ، أوجد التيار المار في المقاومة  $2 + j3\ \Omega$  وذلك مع اعتبار الاتجاه إلى اليمين موجبا .  
الجواب :  $1.73 / 40^\circ\ A$

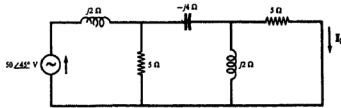
٤٧-١٠ في الدائرة الموضحة في الشكل ٤٦-١٠ ، أوجد الجهد  $V_1$  الذي يحمل التيار المار في المقاومة  $4\ \Omega$  مساويا للصفر . اختر احدى نهايتي المقاومة كمقعدة أسناد .  
الجواب :  $95.4 / -23.2^\circ\ V$



شكل ١٠ - ٤٦

٤٤-١٠ بالإشارة إلى الدائرة الموضحة في الشكل ٤٦-١٠ إذا كان المصدر  $V_1 = 50\angle0^\circ\ V$  و  $V_2$  غير معلوم ، فأوجد  $V_2$  بحيث يكون التيار المار في المقاومة  $4\ \Omega$  مساويا للصفر .  
الجواب :  $26.2 / 113.2^\circ\ V$

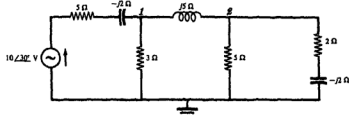
٤٥-١٠ في الدائرة الموضحة في الشكل ٤٧-١٠ أوجد التيار  $I_x$  وذلك مع اعتبار الاتجاه الموضح في الشكل .  
الجواب :  $11.7 / 112.9^\circ\ A$



شكل ١٠ - ٤٧

١٠ - ٤٩ في الشبكة الكهربائية الموضحة في الشكل ١٠-٤٨ أوجد النسبة بين جهدي العقدين  $V_1/V_2$ .

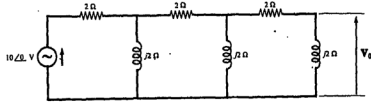
الجواب :  $2.26/96.35^\circ$



شكل ١٠ - ٤٨

١٠ - ٤٧ باستخدام طريقة العقدة أوجد الجهد  $V_0$  وذلك في الدائرة الموضحة في الشكل ١٠-٤٩.

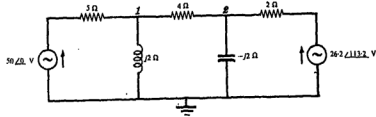
الجواب :  $1.56/128.7^\circ V$



شكل ١٠ - ٤٩

١٠ - ٤٨ أوجد جهدي العقدين  $V_1$  و  $V_2$  وذلك في الدائرة الموضحة في الشكل ١٠-٥٠.

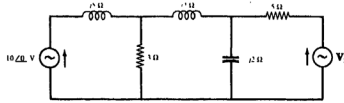
الجواب :  $18.6/68.2^\circ V$



شكل ١٠ - ٥٠

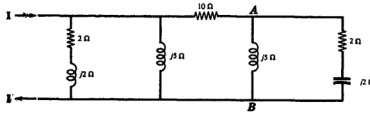


١٠ - ٤٩ في الدائرة الموضحة في الشكل ١٠ - ٥١ أوجد مصدر الجهد  $V_2$  بحيث يكون تياره مساويا للصفر .  
الجواب :  $4 \angle 180^\circ V$



شكل ١٠ - ٥١

١٠ - ٥٠ في الدائرة الموضحة في الشكل ١٠ - ٥٢ - أوجد التيار المسار  $I$  الذي ينتج عنه جهد  $V_{AB}$  مساويا  $5/30^\circ V$   
الجواب :  $9.72 \angle -16^\circ A$



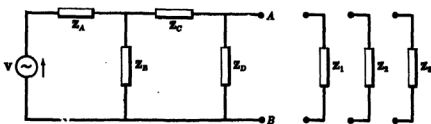
شكل ١٠ - ٥٢

## الفصل الحادى عشر

### نظريتا ثقتين ونورتن

بمقدمة :

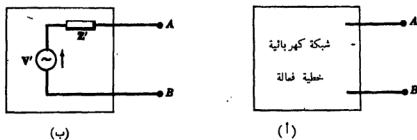
يمكن حل الشبكات الكهربائية التي فيها جميع المعاوقات ثابتة باستخدام إما طريقة تيار الشبكة أو طريقة جهد العقدة. لنعتبر الآن الشبكة الكهربائية الموضحة في الشكل ١-١١ وإذا أردنا توصيل المعاوقات  $Z_1$  ،  $Z_2$  ،  $Z_3$  على التتابع في الدائرة ، فإنه بإدخال كل معاوقة في الدائرة ينتج لدينا مصفوفة مختلفة لـ  $Z$  أو  $Y$  حسب الطريقة المستخدمة ، وبالتالي فإننا نحتاج إلى ثلاثة حلول مختلفة . ويمكن التخلص من هذا العمل الشاق إذا استطعنا إبدال الشبكة الكهربائية الفعالة بدائرة بسيطة مكافئة وهذا هو هدف نظريتي ثقتين ونورتن .



شكل ١ - ١١

نظرية ثقتين :

تنص نظرية ثقتين على أن أى شبكة كهربائية خطية فعالة (active) لها نهايتان خارجيتان  $AB$  مثل تلك الموضحة في الشكل ١-١٢ (١) يمكن إبدالها بمصدر واحد للجهد  $V'$  متصل معه على التوالي معاوقة  $Z'$  كما هو موضح في الشكل ١-١٢ (ب)

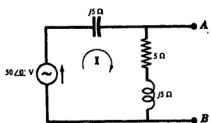


شكل ١ - ١٢ دائرة ثقتين المكافئة

ومصدر ثنين المكافئ  $V'$  هو جهد الدائرة المفتوحة المقاس بين الطرفين  $AB$  . والمقاومة المكافئة هي المقاومة المحركة للشبكة الكهربائية بين الطرفين  $AB$  وذلك مع وضع جميع المصادر الداخلية مساوية للصفر .  
أما جهد ثنين المكافئ  $V'$  فيجب أن يختار بحيث يكون التيار المسار في المقاومة الموصلة له نفس اتجاه التيار الذي ينتج عند توصيل هذه المقاومة في الشبكة الأصلية للتمالة .

## مثال ١ :

إذا أعطيت الدائرة الموضحة في الشكل ١١-٣ ، عين دائرة ثنين المكافئة بالنسبة لطرفين  $AB$  . استخدم النتيجة التي تحصل عليها في إيجاد التيارين المسارين في المقاومتين  $Z_1 = 5 - j5 \Omega$  ،  $Z_2 = 10 \angle 0^\circ \Omega$  ، وذلك عند توصيلهما على التوالي بالطرفين  $AB$  ثم عين القدرة المخطئة لهما .



شكل ١١ - ٣

بالإشارة إلى الشكل ١١-٣ ، فإن التيار هو

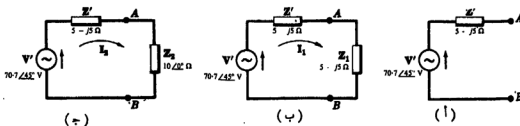
$$I = 50 \angle 0^\circ / (5 + j5 - j5) = 10 \angle 0^\circ \text{ A}$$

إذن جهد ثنين المكافئ  $V'$  هو المهيوط في الجهد على المقاومة  $5 + j5 \Omega$  . إذن

$$V' = V_{AB} = 70.7 \angle 45^\circ \text{ V}$$

والمقاومة المحركة عند الطرفين  $AB$  هي :  $Z' = \frac{(5 + j5)(-j5)}{5 + j5 - j5} = 5 - j5 \Omega$

وبوضع الشكل ١١-٤ (١) دائرة ثنين المكافئة، ونلاحظ أن المصدر  $V'$  متجه إلى الطرف  $A$  .



شكل ١١ - ٤

وتوصيل المقاومة  $Z_1$  بين طرفي دائرة ثنين المكافئة كما هو في الشكل ١١-٤ (ب) ، فإننا نجد في هذه الدائرة أن :

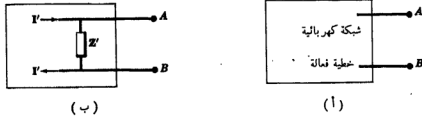
$$P_1 = (I_1)^2 5 = 125 \text{ W} \quad \text{و} \quad I_1 = (70.7 \angle 45^\circ) / (5 - j5 + 5 - j5) = 5 \angle 90^\circ \text{ A}$$

وعند توصيل المعاوقة  $Z_2$  بين الطرفين  $AB$  كما في الشكل ١١ - (ج) ، فإننا نحصل على :

$$P_3 = (I_2)^2 10 = 200 \text{ W} \quad \text{و} \quad I_2 = (70.7 \angle 45^\circ) / (5 - j5 + 10) = 4.47 \angle 63.43^\circ \text{ A}$$

### نظرية نورتن

تنص نظرية نورتن على أن أي شبكة كهربائية خطية فعالة لها طرفان  $AB$  كما موضحة في الشكل ١١ - (أ) يمكن إبدالها بمصدر واحد للتيار  $I'$  متصل معه على التوازي معاوقة واحدة كما في الشكل ١١ - (ب)



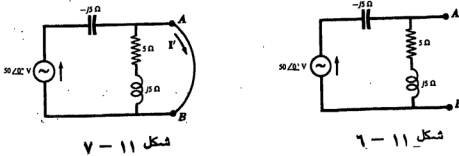
شكل ١١ - دائرة نورتن المكافئة

ومصدر نورتن المكافئ هو تيار الدائرة المغلقة بين طرفي الشبكة الفعالة . والمعاوقة  $Z'$  المتصلة بمصدر التيار هي المعاوقة المحركة للشبكة الكهربائية بين الطرفين  $AB$  وذلك عند وضع جميع المصادر الداخلية مساوية للصفر . وعلى ذلك فإن المعاوقتين  $Z'$  لدائرتي نورتن وتلّين المكافئتين متساويتان وذلك لأي شبكة خطية فعالة .

وإتجاه التيار المسار في المعاوقة المتصلة بين طرفي دائرة نورتن المكافئة يجب أن يكون هو نفس إتجاه التيار المسار في نفس المعاوقة عند توصيلها بالشبكة الفعالة الأصلية .

### مثال ٢ :

إذا أُصلّيت الدائرة الموضحة في الشكل ١١ - ٦ ، فمِن دائرة نورتن المكافئة بالنسبة للطرفين  $AB$  . ثم استخدم النتيجة التي نحصل عليها في إيجاد التيار المسار في المعاوقتين  $Z_1 = 5 - j5 \Omega$  ،  $Z_2 = 10 \angle 0^\circ \Omega$  ، وذلك عند توصيلهما بالترتيب بين الطرفين  $AB$  ، وعين كذلك القدرة الممتصة لهما .



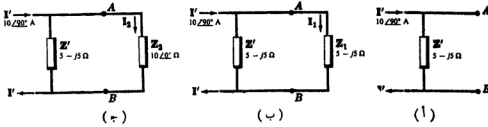
شكل ١١ - ٧

شكل ١١ - ٦

بالإشارة إلى الشكل ١١-٧ ، عند عمل دائرة مغلقة بين الطرفين  $AB$  ، نأى :  $I' = 50 \angle 0^\circ (-j5) = 10 \angle 90^\circ \text{ A}$

وعند وضع المصدر مساويا للصفر فإن :  $Z' = \frac{-j5(5+j5)}{5+j5} = 5 - j5 \Omega$

وبوضف الشكل ١١-٨ (١) دائرة نورتن المكافئة . لاحظ أن التيار متجه ناحية الطرف  $A$  .



شكل ١١ - ٨

وعند توصيل المعاوقة  $Z_1$  بين طرفى دائرة نورتن المكافئة كما فى الشكل ١١-٨ (ب) ، فإن التيار المار فى  $Z_1$  يكون

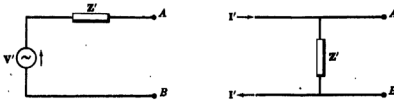
$$P_1 = (I_1)^2 5 = 125 \text{ W} \quad \text{والقدرة الممتصة لـ } Z_1 \text{ هى } I_1 = I' \left( \frac{Z'}{Z' + Z_1} \right) = 10 \angle 90^\circ \left( \frac{5 - j5}{10 - j10} \right) = 5 \angle 90^\circ \text{ A}$$

وعند توصيل المعاوقة  $Z_2$  بين الطرفين  $AB$  كما فى الشكل ١١-٨ (ج) ، فإننا نحصل على :

$$P_2 = (I_2)^2 10 = 200 \text{ W} \quad \text{و} \quad I_2 = I'(5 - j5)/(15 - j5) = 4.47 \angle 63.43^\circ \text{ A}$$

### دائرة ثنيتين ونورتن المكافئتان :

لتدقيقنا نظرية ثنيتين ونورتن على دائرتين متماثلتين فى المثالين (١) ، (٢) على الترتيب وحصلنا على نتائج متطابقة . ومن هذا ينتج أن دائرتى ثنيتين ونورتن يكافئ كل منهما الآخر .



شكل ١١ - ٩ دائرتى ثنيتين ونورتن

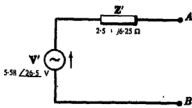
فى الشكل ١١-٩ نجد أن نفس المعاوقة  $Z'$  متصلة على يسار النهايتين  $AB$  . فى كلا الدائرتين . وعند غلق الدائرتين فإن التيار المار فى دائرة ثنيتين المغلقة يعطى بالعلاقة  $V'/Z'$  ، بينما يعطى التيار المار فى دائرة نورتن المغلقة بـ  $I'$  . وبما أن التيارين متساويان إذن هناك علاقة بين تيار نورتن المكافئ وجهد ثنيتين المكافئ\* ، أى أن  $I' = V'/Z'$  .

نفس النتيجة السابقة يمكن الحصول عليها إذا اعتبرنا جهد الدائرة المفتوحة في كلتا الدائرتين . في دائرة ثقيين نجد أن الجهد هو  $V'$  أما في دائرة نورتن فإن هذا الجهد هو  $I'Z'$  . وبمساواة الجهدين  $V' = I'Z'$  أو  $I' = V'/Z'$  وهي نفس النتيجة السابقة .

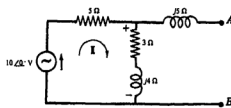
إن دوائر ثقيين ونورتن متكافئتان عند ذبذبة واحدة فقط . وينتج هذا من أن المعاوقات المركبة للشبكة الكهربائية الفعالة استبدلت بالمعاوقة المكافئة  $Z'$  وأن الجهد المكافئ  $V'$  والتيار المكافئ  $I'$  قد حصل عليها باستخدام المعاوقات المركبة للشبكة الكهربائية الفعالة ، وبما أن كل ممانعة في الشبكة الكهربائية الفعالة تعتمد على اللابذبة ، فينتج من ذلك أن دوائر ثقيين ونورتن متكافئتان فقط عند الذبذبة التي نحسب عندها .

### مسائل محلولة

١-١١ أوجد دائرة ثقيين المكافئة للشبكة الكهربائية الفعالة الموضحة في الشكل ١١-١٠ .



شكل ١١ - ١١



شكل ١٠ - ١١

نحسب المعاوقة المكافئة لدائرة بوضع المصدر مساويا للصفر . إذن

$$Z' = j5 + \frac{5(3 + j4)}{5 + 3 + j4} = 2.5 + j6.25 \Omega$$

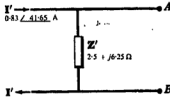
أن تيار الدائرة المفتوحة  $I$  الموضحة في الشكل ١٠-١١ هو :  $I = (10 \angle 0^\circ) / (5 + 3 + j4) = 1.117 \angle -26.6^\circ \text{ A}$  . إذن جهد الدائرة المفتوحة هو المربوط في الجهد على المعاوقة  $3 + j4 \Omega$  .

$$V' = I(3 + j4) = (1.117 \angle -26.6^\circ)(5 \angle 53.1^\circ) = 5.58 \angle 26.5^\circ \text{ V}$$

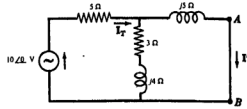
وتعطي قطبية  $V'$  باتجاه التيار الداخل إلى المعاوقة  $3 + j4 \Omega$  . وعلى ذلك فإن اتجاه استجابة  $V'$  تكون في اتجاه الطرف  $A$  في الدائرة المكافئة الموضحة في الشكل ١١-١١ .

٢-١١ أوجد دائرة نورتن المكافئة للشبكة الكهربائية الموضحة في الشكل ١٠-١١ .

كما في المسألة ١-١١ ، فإن المعاوقة المكافئة هي :  $Z' = 2.5 + j6.25 \Omega$  .



شكل ١١ - ١٣



شكل ١١ - ١٢

نعمل دائرة مغلقة بين الطرفين  $AB$  كما هو موضح فى الشكل ١١-١٢ ، ثم نعين المعاوقة الكلية المتصلة بالمصدر  $10 \angle 0^\circ V$

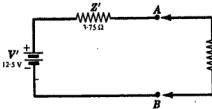
$$Z_T = 5 + \frac{(3 + j4)5}{(3 + j4) + j5} = 5.83 + j2.5 = 6.35 \angle 23.2^\circ \Omega$$

$$I_T = 10 \angle 0^\circ / Z_T = (10 \angle 0^\circ) / (6.35 \angle 23.2^\circ) = 1.575 \angle -23.2^\circ A.$$

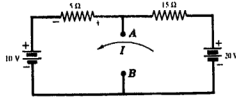
$$I' = I_T \left( \frac{3}{3 + j4 + j5} \right) = 1.575 \angle -23.2^\circ \left( \frac{5 \angle -53.1^\circ}{3 + j9} \right) = 0.83 \angle -41.65^\circ A$$

ويوضح الشكل ١١-١٣ دائرة نورتن المكافئة . لاحظ أن التيار  $I'$  يتجه ناحية  $A$  وذلك لأن تيار الدائرة المغلقة يدخل الدائرة المغلقة عند الطرف  $A$  .

٣-١ فى دائرة التيار المستمر الموضحة فى الشكل ١١-١٤ ، وصل ثلاث مقاومات  $R_1 = 1 \Omega$  و  $R_2 = 5 \Omega$  و  $R_3 = 10 \Omega$  تباعا بين الطرفين  $AB$  . عين القدرة الممتصة لكل مقاومة .



شكل ١١ - ١٥



شكل ١١ - ١٤

نحصل أولا على دائرة ثقتين المكافئة . فى الشكل ١١-١٤ نجد أن التيار هو  $0.5 A$  إذن  $I = (20 - 10)/(5 + 15) = 0.5 A$  وذلك بالقطبية الموضحة .

نمرن جهد  $A$  بالنسبة لنقطة  $B$  بالمعادلة

$$V'_{in} = 10 + V_3 = 12.5 V$$

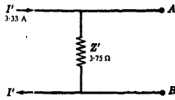
عند وضع مصدر التيار المستمر مساويا للصفر ، فإن المعاوقة  $Z'$  تصبح محصلة المقاومتين  $5 \Omega$  و  $15 \Omega$  المتصلتين على التوازى ، أى أن :

$$Z' = \frac{5(15)}{20} = 3.75 \Omega$$

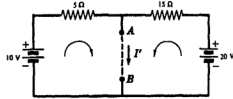
يوضح الشكل ١١-٥ دائرة ثنئين المكافئة . والآن توصيل كل من المقاومات الثلاث بالطرفين  $AB$  فإنه يمكن حساب القدرة المطاعة لكل منهما :

$$\begin{aligned} \text{للمقاومة } R_1 = 1 \Omega : I_1 &= 12.5 / (3.75 + 1) = 2.63 \text{ A} \quad \text{والقدرة هى : } (I_1)^2(1) = (2.63)^2(1) = 6.91 \text{ W} \\ \text{للمقاومة } R_2 = 5 \Omega : I_2 &= 12.5 / (3.75 + 5) = 1.43 \text{ A} \quad \text{والقدرة هى : } (I_2)^2(5) = (1.43)^2(5) = 10.2 \text{ W} \\ \text{للمقاومة } R_3 = 10 \Omega : I_3 &= 12.5 / (3.75 + 10) = 0.91 \text{ A} \quad \text{والقدرة هى : } (I_3)^2(10) = (0.91)^2(10) = 8.28 \text{ W} \end{aligned}$$

١١-٤ أوجد دائرة نورتن المكافئة للشبكة الكهربائية الموضحة فى الشكل ١١-٦ وذلك بالنسبة للطرفين  $AB$ .



شكل ١١ - ١٧



شكل ١١ - ١٦

نصل دائرة مغلقة بين الطرفين  $AB$  كما هو موضح ، ثم نحسب التيار  $I'$  .

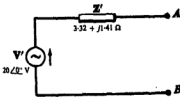
$$I' = 10/5 + 20/15 = 3.33 \text{ A}$$

المعاوقة المكافئة بين الطرفين  $AB$  مع وضع المصدر مساويا للصفر هى :

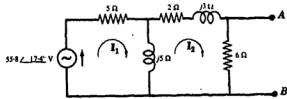
$$Z' = 5(15)/(5 + 15) = 3.75 \Omega$$

ويوضح الشكل ١١-٧ دائرة نورتن المكافئة .

١١-٥ أوجد دائرة ثنئين المكافئة للشبكة الكهربائية الموضحة فى الشكل ١١-١٨ .



شكل ١١ - ١٩



شكل ١١ - ١٨



عند فتح الدائرة فإنه يوجد تياران للشبكتين الفرعيتين كما هو موضح . ويسمى تيار الشبكة الفرعية بالمادة .

$$I_2 = \frac{\begin{vmatrix} 5 + j5 & 55.8 \angle -17.4^\circ \\ -j5 & 0 \end{vmatrix}}{\begin{vmatrix} 5 + j5 & -j5 \\ -j5 & 8 + j8 \end{vmatrix}} = \frac{279 \angle 72.6^\circ}{83.7 \angle 72.6^\circ} = 3.33 \angle 0^\circ \text{ A}$$

إذن جهد الدائرة المفتوحة هو  $V_{AB} = I_2(6) = 3.33 \angle 0^\circ (6) = 20 \angle 0^\circ \text{ V}$  . والمؤلفة المكافئة للشبكة الكهربائية هي

$$Z' = \frac{6 \left[ \frac{5(j5)}{5 + j5} + (2 + j8) \right]}{6 + \left[ \frac{5(j5)}{5 + j5} + (2 + j8) \right]} = 3.32 + j1.41 \Omega$$

ويوضح الشكل ١٩-١١ دائرة ثلثين المكافئة واتجاه  $V'$  إلى الطرف  $A$  .

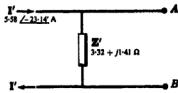
١٩-١١ أوجد دائرة ثورتين المكافئة للشبكة الكهربائية الموضحة في الشكل ١١-١٨ .

بمعل دائرة مغلقة بين الطرفين  $AB$  ، يكون التيار  $I_2$  المار في الدائرة المغلقة هو

$$I_2 = I' = \frac{\begin{vmatrix} 5 + j5 & 55.8 \angle -17.4^\circ \\ -j5 & 0 \end{vmatrix}}{\begin{vmatrix} 5 + j5 & -j5 \\ -j5 & 2 + j8 \end{vmatrix}} = \frac{279 \angle 72.6^\circ}{(-5 + j50)} = 5.58 \angle -23.14^\circ \text{ A}$$

وكما في المسألة ١١ - ه فإن المعاوقة هي

$$Z' = 3.32 + j1.41 \Omega$$



شكل ١١ - ٢٠

وللتحقيق فإنه يمكن مقارنة جهد الدائرة المفتوحة في

دائرة ثورتين المكافئة الموضحة في الشكل ١١-٢٠ بجهد ثلثين  $V'$  في المسألة ١١ - ه .

$$V_{oc} = I'Z' = 5.58 \angle -23.14^\circ (3.32 + j1.41) = 20.1 \angle -0.14^\circ \text{ V}$$

وفي المسألة ١١ - ه  $V' = 20 \angle 0^\circ \text{ V}$

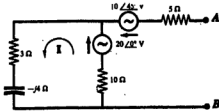
١١-٢١ ابدل الشبكة الكهربائية الفعالة الموضحة في الشكل ١١-٢١

بدائرة ثلثين المكافئة وذلك عند الطرفين  $AB$

عند فتح الدائرة يكون التيار هو :

$$I = 20 \angle 0^\circ / (10 + 3 - j4) = 1.47 \angle 17.1^\circ \text{ A}$$

إذن المهيوط في الجهد على المقاومة  $10 \Omega$  هو :



شكل ١١ - ٢١

$$V_{10} = I(10) = 14.7 \angle 17.1^\circ \text{ V.}$$

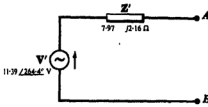
والآن نجد أن الجهد  $V_{AB}$  هو مجموع جهدي المصدرين والمربوط في الجهد على المقاومة  $10 \Omega$  ، وذلك بالقليبة الموضحة في الشكل ١١-٢٢ . إذن

$$V' = V_{AB} = 20 \angle 0^\circ - 10 \angle 45^\circ - 14.7 \angle 17.1^\circ = 11.39 \angle 264.4^\circ \text{ V}$$

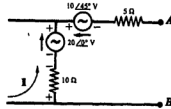
$$Z' = 5 + \frac{10(3 - j4)}{10 + 3 - j4} = 7.97 - j2.16 \Omega.$$

والمقاومة هي :

ويوضح الشكل ١١-٢٣ دائرة ثنيتين المكافئة .



شكل ١١ - ٢٣



شكل ١١ - ٢٢

١١-٨ أوجد دائرة نورتن المكافئة للشبكة الكهربائية المطاة في الشكل ١١-٢١.

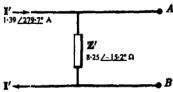
كأى المسألة ١١-٧ فإن المقاومة :  $Z' = 7.97 - j2.16 \Omega$

وبعمل دائرة منغلقة بين الطرفين  $AB$  واختيار اتجاه عقارب الساعة لتيارات الشبكة في المسارات المغلقة الأرية ، نجد أن

$$I' = I_2 = \frac{\begin{vmatrix} 18 - j4 & -20 \\ -10 & (20 - 10 \angle 45^\circ) \end{vmatrix}}{\begin{vmatrix} 18 - j4 & -10 \\ -10 & 15 \end{vmatrix}} = \frac{156 \angle 247.4^\circ}{112.3 \angle -32.3^\circ} = 1.39 \angle 279.7^\circ \text{ A}$$

ويتمتع تيار مصدر نورتن  $I'$  إلى الطرف  $A$  كما هو موضح

في الشكل ١١ - ٢٤ .



شكل ١١ - ٢٤

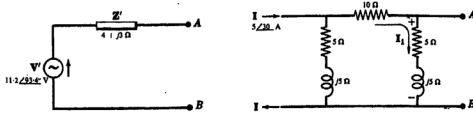
بمقارنة جهد الدائرة المفتوحة  $V_{oc}$  لهذه الدائرة بجهد مصدر ثنيتين المكافئ في المسألة ١١-٧ ، نجد أن :

$$V_{oc} = I'Z' = (1.39 \angle 279.7^\circ)(8.25 \angle -15.2^\circ) = 11.45 \angle 264.5^\circ \text{ V}$$

$$V' = 11.39 \angle 264.4^\circ \text{ V}$$

و

٩-١١ أوجد دائرة ثقتين المكافئة بين الطرفين  $AB$  وذلك الشبكة الكهربائية الموضحة في الشكل ١١-٢٥ والتي تحتوي على مصدر التيار  $I = 5/30^\circ \text{ A}$ .



شكل ١١ - ٢٥

شكل ١١ - ٢٦

تتكون المعاوقة المكافئة  $Z'$  بين الطرفين  $AB$  مع وضع المصدر مساوياً للصفر من فرعين متصلين على التوازي . إذن

$$Z' = \frac{(5 + j5)(15 + j5)}{(5 + j5 + 15 + j5)} = 4 + j3 \Omega$$

ويفتح الدائرة ينقسم التيار  $I_1$  بين الفرعين . وبالحل الحصول على  $I_1$  الموضح بالرسم ، نجد أن

$$I_1 = 5/30^\circ \left( \frac{5 + j5}{20 + j10} \right) = 1.585 \angle 48.4^\circ \text{ A}$$

وبما أن الجهد  $V_{AB} = V$  هو المحبوط على الجهد على المعاوقة  $5 + j5$  ، إذن

$$V' = I_1(5 + j5) = (1.585 \angle 48.4^\circ)(7.07 \angle 45^\circ) = 11.2 \angle 93.4^\circ \text{ V}$$

ويوضح الشكل ١١-٢٦ دائرة ثقتين المكافئة .

١٠-١١ أوجد دائرة نورتن المكافئة لشبكة الكهربائية الموضحة في الشكل ١١-٢٥ .

المعاوقة المكافئة لشبكة والمحصوية في المسألة ٩-١١ هي  $Z' = 4 + j3 = 5 \angle 36.9^\circ \Omega$  بمثل دائرة مغلقة بين الطرفين  $AB$  في الشكل ١١-٢٥ ، يكون التيار المار في الدائرة المغلقة هو

$$I' = 5 \angle 30^\circ \left( \frac{5 + j5}{5 + j5 + 10} \right) = 2.24 \angle 56.6^\circ \text{ A}$$

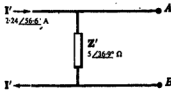
ويوضح الشكل ١١-٢٧ دائرة نورتن المكافئة . عندئذ

دائرة مفتوحة . فإن جهد دائرة نورتن المكافئة يكون

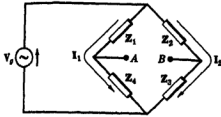
$$V_{oo} = (2.24 \angle 56.6^\circ)(5 \angle 36.9^\circ) = 11.2 \angle 93.5^\circ \text{ V}$$

وفي المسألة ٩-١١ نجد أن جهد ثقتين المكافئ هو

$$V' = 11.2 \angle 93.4^\circ \text{ V}$$



شكل ١١ - ٢٧



شكل ٢٨ - ١١

١١-١١ أوجد دائرة ثنين المكافئة لدائرة القنطرة المعطاة بالشكل

١١-٢٨ . تحت أى شرط يصبح جهد الدائرة المفتوحة

بين الطرفين  $AB$  مساوياً للصفر ؟

عند وضع المصدر مساوياً للصفر ، فإن المداوة المكافئة

بين الطرفين  $AB$  تتكون من مجموعة التوازي  $Z_4$  و  $Z_1$

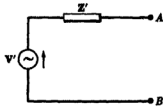
المتصلة على التوالي مع مجموعة التوازي  $Z_3$  و  $Z_2$  . إذن

$$Z' = \frac{Z_1 Z_4}{Z_1 + Z_4} + \frac{Z_2 Z_3}{Z_2 + Z_3}$$

عند فتح الدائرة فإنه ينتج عن المصدر  $V_g$  التيارين  $I_1$  و  $I_2$  كما في الرسم

$$I_2 = V_g / (Z_2 + Z_3) \quad I_1 = V_g / (Z_1 + Z_4)$$

وبفرض أن جهد  $A$  أعلى من جهد  $B$  ، فإننا نحصل على



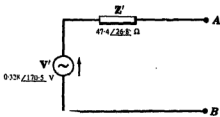
شكل ٢٩ - ١١

$$\begin{aligned} V' = V_{AB} &= I_1 Z_4 - I_2 Z_3 \\ &= \frac{V_g Z_4}{Z_1 + Z_4} - \frac{V_g Z_3}{Z_2 + Z_3} \\ &= V_g \left[ \frac{Z_2 Z_4 - Z_1 Z_3}{(Z_1 + Z_4)(Z_2 + Z_3)} \right] \end{aligned}$$

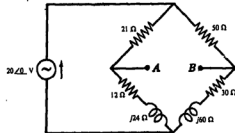
بما سبق يتضح أن جهد ثنين المكافئ يتناسب مع الفرق  $Z_2 Z_4 - Z_1 Z_3$  . وعندما  $Z_2 Z_4 = Z_1 Z_3$

فإن الجهد  $V' = 0$ .

١٢-١١ أوجد دائرة ثنين المكافئة لدائرة القنطرة الموضحة في الشكل ١١-٣٠ .



شكل ٣١ - ١١



شكل ٣٠ - ١١

عند وضع المصدر مساوياً للصفر فإن المداوة المكافئة بين الطرفين  $AB$  تصبح

$$Z' = \frac{21(12 + j24)}{33 + j24} + \frac{50(30 + j60)}{80 + j60} = 47.4 \angle 26.8^\circ \Omega$$

وعند فتح الدائرة فإن التيار المار في الجهة اليسرى في القطعة يكون  $I_1 = (20 \angle 0^\circ) / (33 + j24) \text{ A}$  . والتيار المار

$$I_2 = (20 \angle 0^\circ) / (80 + j60) \text{ A}$$

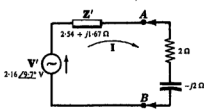
بفرض أن جهد التفتة  $A$  أعلى من جهد التفتة  $B$  ، نحصل على

$$\begin{aligned} V' = V_{AB} &= \frac{(20 \angle 0^\circ)(12 + j24)}{33 + j24} - \frac{(20 \angle 0^\circ)(30 + j60)}{80 + j60} \\ &= (20 \angle 0^\circ)(1 + j2) \left[ \frac{12}{33 + j24} - \frac{30}{80 + j60} \right] = 0.328 \angle 170.5^\circ \text{ V} \end{aligned}$$

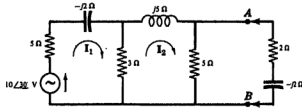
١٣-١١ أبداً الشبكة الكهربائية الموضحة في الشكل ١١-٣٢ والتي على يسار الطرفين  $AB$  بدائرة ثقتين المكافئة . ثم عين التيار المار في المقاومة  $2 - j2 \Omega$  عند توصيلها بالدائرة المكافئة .

باختصار الشبكة الكهربائية يمكن إيجاد المقاومة المكافئة  $Z'$  . ونلاحظ أن المقاومة  $5 - j2 \Omega$  متصلة على التوازي مع المقاومة  $3 \Omega$  . إذن المقاومة المكافئة لها هي

$$Z_1 = \frac{(5 - j2)3}{8 - j2} = 1.94 - j0.265 \Omega$$



شكل ١١ - ٣٣



شكل ١١ - ٣٢

الآن نجد أن المقاومة  $Z_1$  متصلة على التوازي مع المقاومة  $5 \Omega$  ، وجميعها نحصل على :

$$Z_2 = 1.94 - j0.265 + j5 = 1.94 + j4.735 \Omega$$

ويمكن الحصول على المقاومة المكافئة  $Z'$  من محصلة  $Z_2$  والمقاومة  $5 \Omega$  . إذن

$$Z' = \frac{(1.94 + j4.735)5}{6.94 + j4.735} = 3.04 \angle 38.4^\circ = 2.54 + j1.67 \Omega$$

وباعتبار الدائرة المفتوحة واستخدام طريقة تيار الشبكة للحصول على  $I_2$  نجد أن :

$$I_1 = \frac{\begin{vmatrix} 8 - j2 & 10/30^\circ \\ -8 & 0 \end{vmatrix}}{\begin{vmatrix} 8 - j2 & -8 \\ -8 & 8 + j5 \end{vmatrix}} = \frac{80/30^\circ}{60-26/20-3^\circ} = 0.433 \angle 9.7^\circ \Omega$$

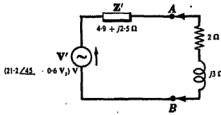
إن جهد الدائرة المفتوحة هو المربوط في الجهد على المقاومة  $5 \Omega$  ، أي أن

$$V' = I_1(5) = (0.433 \angle 9.7^\circ)5 = 2.16 \angle 9.7^\circ V$$

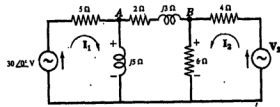
وبتوصيل المقاومة  $2\Omega - j2\Omega$  بدائرة ثنيتين المكافئة الموضحة في الشكل ١١-٣٣ ، يكون التيار المطلوب هو :

$$I = V'/(Z' + 2 - j2) = (2.16 \angle 9.7^\circ)/(4.54 - j0.33) = 0.476 \angle 13.87^\circ A$$

١٤-١١ في الشبكة الكهربائية الموضحة في الشكل ١١-٣٤ ، أوجد  $V_2$  بحيث يصبح التيار المار في المقاومة  $1 + j3\Omega$  مساوياً للصفر .



شكل ١١ - ٣٥



شكل ١١ - ٣٤

نطبق نظرية ثنيتين على الدائرة المخططة للحصول على الجهد المكافئ المقاس بين الطرفين  $AB$  . وبعمل دائرة مفتوحة فإن تيارى المسارين المغلقين هما

$$I_2 = V_2/10 \text{ amperes} \quad \text{و} \quad I_1 = (30/0.)/(5 + j5) A$$

وبفرض أن جهد النقطة  $A$  أعلى من جهد النقطة  $B$  نحصل على :

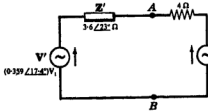
$$V' = V_{AB} = I_1(5) - I_2(6) = 30 \angle 0^\circ(5)/(5 + j5) - V_2(6)/10 = 21.2 \angle 45^\circ - 0.6V_2 \text{ volts}$$

ويكون التيار المار في دائرة ثنيتين المكافئة الموضحة في الشكل ١١-٣٥ مساوياً للصفر إذا كان  $V' = 0$  . إذن

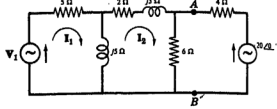
$$V_2 = 35.4 \angle 45^\circ V \quad \text{و} \quad 0 = 21.2 \angle 45^\circ - 0.6V_2$$

ملحوظة : لاحتياج في هذه المسألة إلى قيمة المقاومة  $Z'$  الموضحة في الشكل ١١-٣٥ ولكن يتترك حساب قيمتها كتمرين للقارئ .

١٥-١١ في الدائرة الموضحة في الشكل ١١-٣٦ ، أوجد قيمة جهد المصدر  $V_1$  التي تجعل تيار المصدر  $20/0^\circ V$  مساوياً للصفر



شكل ١١ - ٣٧



شكل ١١ - ٣٦

توجد دائرة ثلثين المكافئة للشبكة الكهربائية الفعالة التي على يسار الطرفين  $AB$  . وبمثل دائرة مفتوحة فإنه يوجد تياران للشبكتين الفرعيتين  $I_1$  و  $I_2$  كما هو موضح . وبالحل للحصول على  $I_2$  نجد أن

$$I_2 = \frac{\begin{vmatrix} 5 + j5 & V_1 \\ -j5 & 0 \end{vmatrix}}{\begin{vmatrix} 5 + j5 & -j5 \\ -j5 & 8 + j8 \end{vmatrix}} = \frac{V_1 5/90^\circ}{83.6/72.6^\circ} \text{ amperes}$$

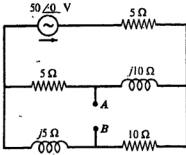
والآن نلاحظ أن جهد الدائرة المفتوحة هو المحوّل على الجهد على المقاومة  $6 \Omega$  وهو يساوي  $I_2(6)$  .

$$V' = \frac{V_1 5/90^\circ}{83.6/72.6^\circ} (6) = (0.359 \angle 17.4^\circ) V_1 \text{ volts}$$

وعند توصيل دائرة ثلثين المكافئة بالطرفين  $AB$  كما هو موضح في الشكل ١١-٣٧ ، يتضح أنه لكي يصبح التيار مساوياً للصفر فإن  $V' = 20/0^\circ V$  لابد وأن يساوي المصدر الآخر ، أي أن  $V' = 20/0^\circ V$  . إذن

$$V_1 = 55.7 \angle -17.4^\circ V \text{ ومنها نجد أن } (0.359 \angle 17.4^\circ) V_1 = 20/0^\circ V$$

وتنطبق أيضاً الملاحظة الموجودة في المسألة ١١-١٤ على هذه المسألة



شكل ١١ - ٣٨

١١-١٦ إذا وصلت المعوقات  $Z_1 = 10/30^\circ \Omega$  و  $Z_2 = 20/0^\circ \Omega$

و  $Z_3 = 5 - j5 \Omega$  تبعاً بين النقطتين  $AB$  في الشبكة

الكهربائية الفعالة الموضحة في الشكل ١١-٣٨ ، فأحسب القدرة في كل معاوقة .

لتستبدل الشبكة الكهربائية بين النقطتين  $AB$  بدائرة ثلثين

المكافئة . ثم نحصل المعاوقات تبعاً بالدائرة المكافئة .

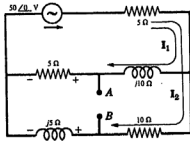
لحساب المعاوقة الداخلة تختار ثلاثة تيارات شبكية كما لو كان المصدر المحرك بين  $AB$  كما هو مبين في الشكل ٣٩ - ١١ . في هذه الحالة تكون المعاوقة الداخلة  $Z_{input}$  هي  $Z'$  لدائرة ثقلين . ومن تعريف  $Z_{input}$  لدينا  $Z_{input} = \Delta_z / \Delta_{11}$  ، حيث

$$\Delta_z = \begin{vmatrix} (5 + j5) & -5 & (5 + j5) \\ -5 & (10 + j10) & (-5 - j10) \\ (5 + j5) & (-5 - j10) & (15 + j15) \end{vmatrix} = 1455/121^\circ$$

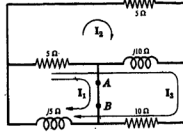
$$\Delta_{11} = \begin{vmatrix} (10 + j10) & (-5 - j10) \\ (-5 - j10) & (15 + j15) \end{vmatrix} = 213.5/89.4^\circ$$

$$Z' = Z_{input} = \Delta_z / \Delta_{11} = 1455/121^\circ / 213.5/89.4^\circ = 6.82/51.6^\circ = 4.23 + j5.34 \Omega$$

وبالتعويض



شكل ١١ - ٤٠



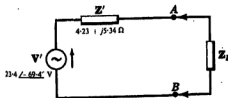
شكل ١١ - ٣٩

وبعمل دائرة مفتوحة يوجد لدينا تياران للشبكة  $I_1$  و  $I_2$  كما في الشكل ٤٠ - ١١ ، وهذا التياران هما

$$I_1 = \frac{\begin{vmatrix} 50 & 5 \\ 50 & 15 + j5 \end{vmatrix}}{\begin{vmatrix} 10 + j10 & 5 \\ 5 & 15 + j5 \end{vmatrix}} = \frac{558/26.6^\circ}{213.5/89.4^\circ} = 2.62/-42.8^\circ \text{ A}$$

$$I_2 = \frac{\begin{vmatrix} 10 + j10 & 50 \\ 5 & 50 \end{vmatrix}}{\Delta_z} = \frac{558/88.4^\circ}{213.5/89.4^\circ} = 2.62/-6^\circ \text{ A}$$

والآن فإن جهد ثقلين المكافئ  $V'$  هو جهد الدائرة المفتوحة وذلك مع فرض أن جهد  $A$  أعلى من جهد  $B$  . ونجد في الشكل ٤٠ - ١١ ، القطبية المحلية للهبوط في الجهد على المقاومة  $5 \Omega$  المتصلة في الفرع الأوسط والمربوط في الجهد على المقاومة  $5 \Omega$  المتصلة في الفرع السفلي إذن :



شكل ١١ - ٤١

$$\begin{aligned} V' &= V_{AB} = I_1(5) - I_2(5) \\ &= (2.62 \angle -42.8^\circ)(5) - (2.62 \angle -6^\circ)(5 \angle 90^\circ) \\ &= 23.4 \angle -69.4^\circ \text{ V} \end{aligned}$$



ويوضح الشكل ١١ - ٤١ دائرة ثنين المكافئة والمتصلة بها معاودة الحمل  $Z_L$  . بين الطرفين  $AB$  .

وبالتعويض عن قيمة  $Z_L$  المعطاة في  $I = V / (Z' + Z_L)$  . يمكننا الحصول على التيارات والقدرات المطلوبة .  
إذن عندما  $Z_L = Z_1 = 10 \angle 30^\circ = 8.66 + j5 \Omega$

$$P_1 = (I_1)^2 \operatorname{Re} Z_1 = (1.414)^2 (8.66) = 17.32 \text{ W} \quad , \quad I_1 = \frac{23.4 \angle -69.4^\circ}{(4.23 + j5.34 + 8.66 + j5)} = 1.414 \angle -108.2^\circ \text{ A}$$

$$Z_L = Z_2 = 20 \angle 0^\circ \Omega \quad \text{وعندها!}$$

$$P_2 = (0.940)^2 (20) = 17.65 \text{ W} \quad , \quad I_2 = \frac{23.4 \angle -69.4^\circ}{4.23 + j5.34 + 20} = 0.940 \angle -81.8^\circ \text{ A}$$

$$Z_L = Z_3 = 5 - j5 \Omega \quad \text{وعندها.}$$

$$P_3 = (2.54)^2 (5) = 32.3 \text{ W} \quad , \quad I_3 = \frac{23.4 \angle -69.4^\circ}{(4.23 + j5.34 + 5 - j5)} = 2.54 \angle -71.5^\circ \text{ A}$$

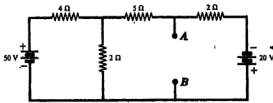
### مسائل إضافية

١٧ - ١ أوجد دائرة ثنين المكافئة بين الطرفين  $AB$  للشبكة الكهربائية الفعالة المعطاة في الشكل ١١ - ٤٢ .

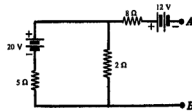
$$\text{الجواب : } Z' = 9.43 \text{ ohms}, V' = 6.29 \text{ V (B+)}$$

١٨ - ١ أوجد دائرة نورتن المكافئة للشبكة الكهربائية الموضحة في الشكل ١١ - ٤٢

$$\text{الجواب : } Z' = 9.43 \text{ ohms}, I' = 0.667 \text{ A}$$



شكل ١١ - ٤٣



شكل ١١ - ٤٢

١٩ - ١ أوجد دائرة ثنين المكافئة بين الطرفين  $AB$  للشبكة الكهربائية النشطة الفعالة المعطاة في الشكل ١١ - ٤٣ .

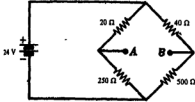
$$\text{الجواب : } Z' = 1.52 \text{ ohms}, V' = 11.18 \text{ V (B+)}$$

٢٠ - ١ أوجد دائرة نورتن المكافئة للشبكة الكهربائية الموضحة في الشكل ١١ - ٤٣ .

$$\text{الجواب : } Z' = 1.52 \text{ ohms}, I' = 7.35 \text{ A}$$

٢١-١١ أوجد ثقتين المكافئة بين الطرفين  $AB$  لدائرة القنطرة الموضوعة في الشكل ١١-٤٤ .

الجواب :  $Z' = 55.5 \text{ ohms}$ ,  $V' = 0$



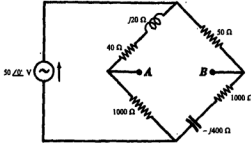
شكل ١١ - ٤٤

٢٢-١١ إذا استبدلنا المقاومة  $500\Omega$  بمقاومة  $475\Omega$  في دائرة القنطرة الموضوعة في الشكل ١١-٤٤ ، فأوجد دائرة ثقتين المكافئة في هذه الحالة

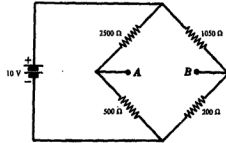
الجواب :  $Z' = 55.4 \text{ ohms}$ ,  $V' = 0.0863 \text{ V (A+)}$

٢٣-١١ طبق نظرية ثقتين على دائرة القنطرة الموضوعة في الشكل ١١-٤٥ لتحصل على الانحراف في الجلفانومتر المتصل بين  $AB$  علماً بأن مقاومته  $100\Omega$  وحساسه  $0.5 \mu\text{A/mm}$ .

الجواب :  $D = 0.195 \text{ m}$



شكل ١١ - ٤٦



شكل ١١ - ٤٥

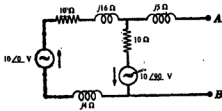
٢٤-١١ أوجد دائرة ثقتين المكافئة بين الطرفين  $AB$  لقنطرة التيار المتردد الموضوعة في الشكل ١١-٤٦ .

الجواب :  $Z' = 88.7 \angle 11.55^\circ \Omega$ ,  $V' = 0.192 \angle -43.4^\circ \text{ V}$

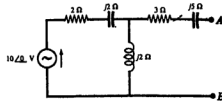
٢٥-١١ استخدم نظرية ثقتين لإيجاد القدرة في المقاومة  $1\Omega$  المتصلة بين الطرفين  $AB$  في الشبكة الكهربائية الموضوعة في الشكل ١١-٤٧ .

الجواب :  $2.22 \text{ W}$

٢٦-١١ كرر المسألة ٢٥-١١ باستخدام دائرة نورتن المكافئة .



شكل ١١ - ٤٨



شكل ١١ - ٤٧

١١-٢٧ أوجد دائرة ثغرين المكافئة بين الطرفين  $AB$  لشبكة الكهربائية الموصلة في الشكل ١١-٤٨ .

الجواب :  $Z' = 10.6 \angle 45^\circ \Omega$ ,  $V' = 11.17 \angle -63.4^\circ V$

١١-٢٨ أوجد دائرة نورتن المكافئة بين الطرفين  $AB$  لشبكة الكهربائية الموصلة في الشكل ١١-٤٨ .

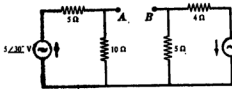
الجواب :  $Z' = 10.6 \angle 45^\circ \Omega$ ,  $I' = 1.05 \angle 251.6^\circ A$

١١-٢٩ استخدم نظرية ثغرين لتحصل على القدرة في المقاومة  $2 + j4 \Omega$  المتصلة بين الطرفين  $AB$  في الشبكة الكهربائية

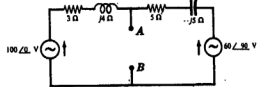
الموصلة في الشكل ١١-٤٩ .

الجواب :  $475 W$

١١-٣٠ كرر المسألة ١١-٢٩ باستخدام نظرية نورتن .



شكل ١١ - ٥٠



شكل ١١ - ٤٩

١١-٣١ أوجد دائرة ثغرين المكافئة بين الطرفين  $AB$  لشبكة الكهربائية الموصلة في الشكل ١١-٥٠ .

الجواب :  $Z' = 5.55 \angle 0^\circ \Omega$ ,  $V' = 5.9 \angle 16.4^\circ V$

١١-٣٢ أوجد دائرة نورتن المكافئة لشبكة الكهربائية الموصلة في الشكل ١١-٥٠ .

الجواب :  $Z' = 5.55 \angle 0^\circ \Omega$ ,  $I' = 1.06 \angle 16.4^\circ A$

١١-٣٣ أوجد دائرة ثغرين المكافئة بين الطرفين  $AB$  لشبكة الكهربائية الموصلة في الشكل ١١-٥١ .

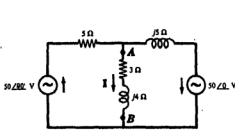
الجواب :  $Z' = 2.5 + j12.5 \Omega$ ,  $V' = 25\sqrt{2} \angle 45^\circ V$

١١-٣٤ أوجد دائرة نورتن المكافئة لشبكة الكهربائية الموصلة في الشكل ١١-٥١

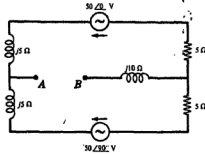
الجواب :  $Z' = 2.5 + j12.5 \Omega$ ,  $I' = 2.77 \angle -33.7^\circ A$

٣٥-١١ في الدائرة الموضحة في الشكل ١١-٥٢ أوجد التيار  $I$  المار في المقاومة  $3 + j4 \Omega$  وذلك باستبدال الشبكة الكهربائية بين الطرفين  $AB$  بدائرة ثنيتين المكافئة .

الجواب :  $Z' = 3.53 \angle 45^\circ \Omega$ ,  $V' = 70.7 \angle 135^\circ V$ ,  $I = 8.3 \angle 85.2^\circ A$



شكل ١١ - ٥٢



شكل ١١ - ٥١

٣٦-١١ كرر المسألة ٣٥-١١ باستخدام دائرة نورتن المكافئة بين الطرفين  $AB$  .

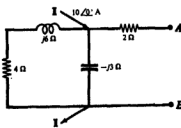
الجواب :  $Z' = 3.53 \angle 45^\circ \Omega$ ,  $I' = 20 \angle 90^\circ A$ ,  $I = 8.3 \angle 85.2^\circ A$

٣٧-١١ في الشبكة الكهربائية الموضحة في الشكل ١١-٥٣ ، وصل تيار محرك  $15 \angle 45^\circ A$  بين التابيتين الموصحتين في الرسم . ابدل الشبكة الكهربائية بين  $AB$  بدائرة ثنيتين المكافئة .

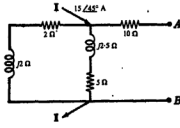
الجواب :  $Z' = 11.48 + j1.19 \Omega$ ,  $V' = 28.6 \angle 83.8^\circ V$

٣٨-١١ أوجد دائرة نورتن المكافئة بين الطرفين  $AB$  للشبكة الكهربائية الموضحة في الشكل ١١-٥٣ .

الجواب :  $Z' = 11.48 + j1.19 \Omega$ ,  $I' = 2.47 \angle 77.9^\circ A$



شكل ١١ - ٥٤



شكل ١١ - ٥٣

٣٩-١١ أوجد دائرة ثنيتين المكافئة بين الطرفين  $AB$  للشبكة الكهربائية الموضحة في الشكل ١١-٥٤ .

الجواب :  $Z' = 5.34 \angle 49.8^\circ \Omega$ ,  $V' = 43.3 \angle 70.6^\circ V$

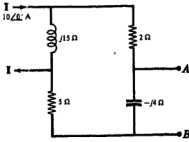
٤٠-١١ أوجد دائرة نورتن المكافئة للشبكة الكهربائية الموضحة في الشكل ١١-٥٤ .

الجواب :  $Z' = 5.34 \angle 49.8^\circ \Omega$ ,  $I' = 8.1 \angle 20.8^\circ A$

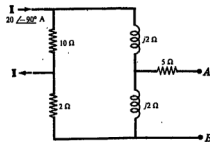
١١-٤١ استخدام نظرية ثنيتين لحصل على القدرة في المعاونة  $Z = 10 \angle 60^\circ \Omega$  المتصلة بين الطرفين  $AB$  في الشبكة الكهربائية الموضحة في الشكل ١١-٥٥ .

الجواب : 23 W

١١-٤٢ كرر المسألة ١١-٤١ باستخدام دائرة نورتن المكافئة .



شكل ١١-٥٦



شكل ١١-٥٥

١١-٤٣ أوجد دائرة ثنيتين المكافئة للشبكة الكهربائية الفعالة الموضحة في الشكل ١١-٥٦ .

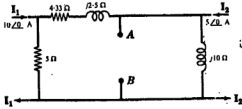
الجواب :

$$Z' = 5.09 \angle -82.5^\circ \Omega, V' = 46.2 \angle -57.5^\circ V$$

١١-٤٤ أوجد دائرة نورتن المكافئة للشبكة الكهربائية الموضحة في الشكل ١١-٥٦ .

الجواب :

$$Z' = 5.09 \angle -82.5^\circ \Omega, I' = 9.05 \angle 25^\circ A$$



شكل ١١-٥٧

١١-٤٥ أوجد دائرة ثنيتين المكافئة بين الطرفين  $AB$  للشبكة الكهربائية الفعالة الموضحة في الشكل ١١-٥٧ .

الجواب :  $Z' = 6.2 \angle 51.8^\circ \Omega, V' = 62.6 \angle 44.17^\circ V$

١١-٤٦ أوجد دائرة نورتن المكافئة للشبكة الكهربائية الموضحة في الشكل ١١-٥٧ .

الجواب :  $Z' = 6.2 \angle 51.8^\circ \Omega, I' = 10.1 \angle -7.63^\circ A$

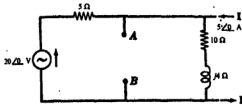
١١-٤٧ أوجد دائرة ثنيتين المكافئة بين الطرفين  $AB$  للشبكة الكهربائية الموضحة في الشكل ١١-٥٨ والتي تحتوي على مصدر

لتيار  $4 \angle 45^\circ A$  ومصدر للجهد  $25 \angle 90^\circ V$ .

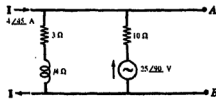
الجواب :  $Z' = 3.68 \angle 36^\circ \Omega, V' = 22.2 \angle 98^\circ V$

١١-٤٨ أوجد دائرة نورتن المكافئة للشبكة الكهربائية الموضحة في الشكل ١١-٥٨ .

الجواب :  $Z' = 3.68 \angle 36^\circ \Omega, I' = 6.03 \angle 62^\circ A$



شكل ١١ - ٥٩



شكل ١١ - ٥٨

١١ - ٥٩ أوجد دائرة ثنتين المكافئة بين الطرفين  $AB$  للشبكة الكهربائية الفعالة الموضحة في الشكل ١١ - ٥٩ .

الجواب :  $Z' = 3.47 \angle 6.85^\circ \Omega, V' = 31.2 \angle 6.89^\circ V$

١١ - ٥٨ أوجد دائرة نورتن المكافئة للشبكة الموضحة في الشكل ١١ - ٥٨ .

الجواب :  $Z' = 3.47 \angle 6.85^\circ \Omega, I' = 9.0 \angle 0^\circ A$

## الفصل الثاني عشر

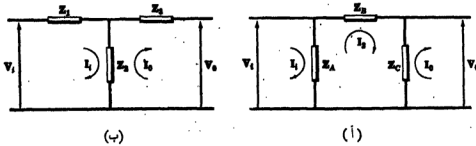
### نظريات الشبكات الكهربائية

#### مقدمة :

باستخدام طريقتي تيار الشبكة وجهد المتقدمة يمكننا حل معظم مسائل الدوائر الكهربائية . ولقد ثبت فاعلية نظريتي ثفنين ونورتن الواردتين في الفصل الحادى عشر في اختصارات العمليات الحسابية وذلك عنه وجود عديد من المعاوقات متصلة على انفراد من نهايتها وبالمثل فإن النظريات الواردة في هذا الفصل تصل بنا إلى نفس الغرض وهو تبسيط حل بعض الأنواع الخاصة للدوائر الكهربائية . ولهذا فإنه يمكن اعتبار هذا الفصل امتدادا للفصل الحادى عشر .

#### تحويلات نجمة - دلتا ( $\Delta - T$ )

يقال عن الشبكة الخاملة ( غير الفعالة ) ذات النهايات الثلاث والتي تتكون من ثلاث معاوقات  $Z_A$  و  $Z_B$  و  $Z_C$  والموضحة في الشكل ١٢ - ١ (أ) بأنها تكون توصيلة على هيئة دلتا ( $\Delta$ ) أو  $\pi$  . ويقال عن الشبكة الخاملة ( غير الفعالة ) ذات النهايات الثلاث والتي تتكون من ثلاث معاوقات  $Z_1$  و  $Z_2$  و  $Z_3$  والموضحة في الشكل ١٢ - ١ (ب) بأنها تكون توصيلة على هيئة ( ستار ) نجمة أو شكل حرف  $T$  . والدائرتان متكافئتان إذا تساوت معاوقات الدخول والخروج وكذلك معاوقة الانتقال في الدائرتين .



شكل ١٢ - ١

نفرض أن  $V_1$  هو الجهد الداخلى وأن  $V_0$  هو الجهد الخارج المقابل وذلك لكل دائرة . ونختار التيار الداخلى  $I_1$  والتيار الخارج  $I_0$  وذلك في نفس اتجاه عقارب الساعة لكل دائرة . وأن تيار الشبكة المتوسطة في دائرة توصيل دلتا هو  $I_2$  بالاتجاه الموضح .

وبذلك تكون معادلات تيار الشبكة في الصيغة المصفوفية لدائرة توصيل دلتا هي

$$\begin{bmatrix} Z_A & -Z_A & 0 \\ -Z_A & Z_A + Z_B + Z_C & -Z_C \\ 0 & -Z_C & Z_C \end{bmatrix} \begin{bmatrix} I_1 \\ I_2 \\ I_0 \end{bmatrix} = \begin{bmatrix} V_1 \\ 0 \\ -V_0 \end{bmatrix}$$

وبذلك تكون معاوقات الدخول والخروج ومعاوقة الانتقال هي

$$Z_{input} = \frac{\Delta_2}{\Delta_{11}} = \frac{Z_A Z_B}{Z_A + Z_B}$$

$$Z_{output} = \frac{\Delta_2}{\Delta_{33}} = \frac{Z_B Z_C}{Z_B + Z_C}$$

$$Z_{transfer\ 10} = \frac{\Delta_2}{\Delta_{13}} = Z_B$$

ومعادلات تيار الشبكة لدائرة اتصال نجمة الموضحة في الشكل ١٢ - ١ (ب) هي :

$$\begin{bmatrix} Z_1 + Z_2 & -Z_2 \\ -Z_2 & Z_2 + Z_3 \end{bmatrix} \begin{bmatrix} I_1 \\ I_0 \end{bmatrix} = \begin{bmatrix} V_1 \\ -V_0 \end{bmatrix}$$

وبذلك تكون معاوقات الدخول والخروج ومعاوقة الانتقال هي

$$Z_{input} = \frac{\Delta_2}{\Delta_{11}} = \frac{Z_1 Z_2 + Z_1 Z_3 + Z_2 Z_3}{Z_2 + Z_3}$$

$$Z_{output} = \frac{\Delta_2}{\Delta_{33}} = \frac{Z_1 Z_2 + Z_1 Z_3 + Z_2 Z_3}{Z_1 + Z_2}$$

$$Z_{transfer\ 10} = \frac{\Delta_2}{\Delta_{12}} = \frac{Z_1 Z_2 + Z_1 Z_3 + Z_2 Z_3}{Z_2}$$

والآن بمساواة معاوقات دلتا بالمعاوقات النجمية نحصل عل :

$$(١) \quad \frac{Z_A Z_B}{Z_A + Z_B} = \frac{Z_1 Z_2 + Z_1 Z_3 + Z_2 Z_3}{Z_2 + Z_3}$$

$$(٢) \quad \frac{Z_B Z_C}{Z_B + Z_C} = \frac{Z_1 Z_2 + Z_1 Z_3 + Z_2 Z_3}{Z_1 + Z_2}$$

$$(٣) \quad Z_B = \frac{Z_1 Z_2 + Z_1 Z_3 + Z_2 Z_3}{Z_2}$$



وبالتعويض عن  $Z_B$  من المعادلة (٣) في المعادلتين (١) ، (٢) ثم مجملها للحصول على  $Z_A$  و  $Z_C$  نحصل على

$$(٤) \quad Z_A = \frac{Z_1 Z_2 + Z_1 Z_3 + Z_2 Z_3}{Z_3}$$

$$(٥) \quad Z_C = \frac{Z_1 Z_2 + Z_1 Z_3 + Z_2 Z_3}{Z_1} \quad \text{و}$$

وعلى ذلك فإنه يمكن إبدال دائرة توصيل نجمة معاوقاتها  $Z_1$  و  $Z_2$  و  $Z_3$  بدائرة توصيل على هيئة دلتا معاوقاتها كما في المعادلات (٣) ، (٤) ، (٥)

والحصول على تحويل دلتا إلى نجمة لجميع المعادلات (٣) ، (٤) ، (٥) ثم لعكس المجموع فنجد أن :

$$(٦) \quad \frac{1}{Z_A + Z_B + Z_C} = \frac{Z_1 Z_2 Z_3}{(Z_1 Z_2 + Z_1 Z_3 + Z_2 Z_3)^2}$$

والآن بفرض الطرف الأيسر في المعادلة (٦)  $Z_A$  و  $Z_B$  والطرف الأيمن في المعادلة (٦) بما يساوي  $Z_A$  من المعادلة (٤) و  $Z_B$  من المعادلة (٣) ، فنحصل على

$$\left( \frac{1}{Z_A + Z_B + Z_C} \right) Z_A Z_B = \frac{Z_1 Z_2 Z_3}{(Z_1 Z_2 + Z_1 Z_3 + Z_2 Z_3)^2} \left( \frac{Z_1 Z_2 + Z_1 Z_3 + Z_2 Z_3}{Z_3} \right) \left( \frac{Z_1 Z_2 + Z_1 Z_3 + Z_2 Z_3}{Z_1} \right)$$

$$Z_1 = \frac{Z_A Z_B}{Z_A + Z_B + Z_C} \quad \text{وسنجد أن}$$

وباستخدام طريقة مشابهة يمكن الحصول على  $Z_2$  و  $Z_3$  بدلالة  $Z_A$  و  $Z_B$  و  $Z_C$  . وللسهولة نجد فيما يلي النتيجة النهائية لتحويلات النجمة إلى دلتا .

التحويل من دلتا إلى النجمة

$$Z_1 = \frac{Z_A Z_B}{Z_A + Z_B + Z_C}$$

$$Z_2 = \frac{Z_A Z_C}{Z_A + Z_B + Z_C}$$

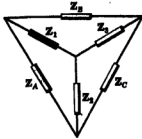
$$Z_3 = \frac{Z_B Z_C}{Z_A + Z_B + Z_C}$$

التحويلات من النجمة إلى دلتا

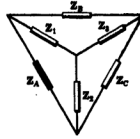
$$Z_A = \frac{Z_1 Z_2 + Z_1 Z_3 + Z_2 Z_3}{Z_3}$$

$$Z_B = \frac{Z_1 Z_2 + Z_1 Z_3 + Z_2 Z_3}{Z_1}$$

$$Z_C = \frac{Z_1 Z_2 + Z_1 Z_3 + Z_2 Z_3}{Z_2}$$



شكل ١٢ - ٣



شكل ١٢ - ٢

وفيما يلي قاعدتان للتذكير في تعيين العلاقات السابقة :

١ - التحويل من النجمة إلى دلتا .

أي معاوقة في دائرة دلتا تساوي مجموع كل احتمالات حاصل ضرب الزوجي لمعاوقات النجمة مقسوماً على المعاوقة المقابلة في دائرة النجمة .

وبالإشارة إلى الشكل ١٢ - ٢ ، فإن  $Z_R$  تغطي بمجموع ثلاثة حواصل ضرب مقسوماً على  $Z_3$  ، وهي المعاوقة المقابلة في دائرة النجمة .

٢ - التحويل من دلتا إلى نجمة .

أي معاوقة في دائرة النجمة تساوي حاصل ضرب المعاوقتين المجاورتين لها في دائرة دلتا مقسوماً على مجموع الثلاث معاوقات للشكل دلتا .

وبالإشارة إلى الشكل ١٢ - ٣ ، فإن  $Z_1$  تغطي بحاصل ضرب  $Z_B Z_C$  ، وهما المعاوقتان المجاورتان من معاوقات دائرة دلتا ، مقسوماً على مجموع معاوقات دلتا الثلاث .

### نظرية التراكب

تنص نظرية التراكب على أن الاستجابة في أي عنصر في شبكة كهربائية خطية ذات جهاتين وتحتوي على مصدرين أو أكثر تساوي مجموع الاستجابات التي تحصل عليها من كل عنصر عندما يؤثر بمفرده في الدائرة وذلك مع وضع جميع العناصر الباقية مساوية للصفر

ومبدأ التراكب موجود غنياً في طريقتي تيار الشبكة وجهه المقدمة لتحليل الشبكات . ولقد وجدنا أن تيارات الشبكة وجهه المقد ، عبارة عن نسب بين محددين ( انظر الفصلين التاسع والعاشر ) . وفك محددات البسط بدلالة عناصر الممود المحدوي على المصادر يطينا معادلات من الشكل :

$$(٧) \quad I_1 = V_1 \frac{\Delta_{11}}{\Delta_x} + V_2 \frac{\Delta_{21}}{\Delta_x} + V_3 \frac{\Delta_{31}}{\Delta_x} + \dots$$

$$(٨) \quad V_1 = I_1 \frac{\Delta_{11}}{\Delta_y} + I_2 \frac{\Delta_{21}}{\Delta_y} + I_3 \frac{\Delta_{31}}{\Delta_y} + \dots$$

والحدود في المعادلة (٧) هي مركبة التيارات لتيار الشبكة  $I_1$  الناتجة عن الجهود  $V_1$  و  $V_2$  . . الخ أما الحدود في المعادلة (٨) فهي مركبات جهد المقدة  $V_1$  الناتج عن التيارات  $I_1$  و  $I_2$  . . الخ .

وإذا اخترنا تيارات الشبكة بحيث تكون المصادر في أفرع ذات تيارات غير مركبة . فإن الحدود في المعادلة (٧) تكون مطابقة للتيارات الناتجة عن تأثير المصادر كل على حدة . وبالمثل إذا كانت تيارات مصادر الشبكة الكهربائية التي نحلها بطريقة جهد المقدة لها جميعاً نفس نقطة الرجوع ، فإذا اخترنا هذه النقطة كنقطة إسناد فإننا نجد أن الحدود في المعادلة (٨) تكون مطابقة لجهود المقدة الناتجة عن تأثير المصادر كل على حدة .

ويطبق مبدأ التراكب في تعيين التيارات وجهود المقدة المتعلقة خطياً بالمصادر التي تؤثر في الشبكة الكهربائية . أما القدرة فلا يمكن تعيينها بالتراكب وذلك لأن العلاقة بين القدرة والتيار أو الجهد علاقة تربيعية .

### نظرية التبادل

تنص نظرية التبادل على أنه في أي شبكة خطية ذات جانبيين بها مصدر واحد تكون النسبة بين الإثارة والاستجابة ثابتة وذلك عند تغيير موضع الإثارة والاستجابة .

ويمكن إثبات هذه النظرية على أساس تيار الشبكة في حالة تأثير مصدر واحد في الشبكة الكهربائية وذلك باعتبار المعادلة الآتية لتيار الشبكة  $I_r$  .

$$I_r = V_1 \frac{\Delta_{1r}}{\Delta_x} + V_2 \frac{\Delta_{2r}}{\Delta_x} + \dots + V_r \frac{\Delta_{rr}}{\Delta_x} + V_s \frac{\Delta_{sr}}{\Delta_x} + \dots$$

وإذا فرضنا أن المصدر الوحيد في الشبكة الكهربائية هو  $V_s$  . إذن

$$I_r = V_s \frac{\Delta_{sr}}{\Delta_x}$$

والنسبة بين الإثارة والاستجابة هي :

$$(٩) \quad \frac{V_r}{I_r} = \frac{\Delta_x}{\Delta_{sr}} = Z_{transfer sr}$$

والآن عند تغيير موضع الإثارة والاستجابة فإن المصدر يصبح  $V_r$  والتيار  $I_s$ .

$$I_s = V_r \frac{\Delta_{rs}}{\Delta_s}$$

والنسبة بين الإثارة والاستجابة هي

$$(١٠) \quad \frac{V_r}{I_s} = \frac{\Delta_s}{\Delta_{rs}} = Z_{transfer}$$

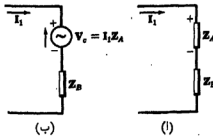
ولأى شبكة كهربائية عتية ذات جانبين تكون معاوق الانتقال في المادلتين (٩) و (١٠) متساويتين ، ذلك لأنه في ظل هذه الشبكات الكهربائية تكون مصفوفة المعاوق  $[Z]$  متماثلة بالنسبة المحور الأساسى ، وتكون العوامل المشتركة  $\Delta_{rs}$  و  $\Delta_{sr}$  متساوية ولذلك فإن التيار في الشبكة الفرعية  $r$  الناتج عن مصدر الجهد في الشبكة الفرعية  $s$  يكون هو نفسه التيسار في الشبكة الفرعية  $s$  عندما ننقل مصدر الجهد إلى الشبكة الفرعية  $r$ . يجب ملاحظة أن التيارات في الأجزاء الأخرى من الشبكة الكهربائية لا تتأثر كما هي .

تطبق نظرية التبادل أيضاً على الشبكات الكهربائية التى تحتوى على مصدر واحد للتيار . وفى هذه الحالة فإن النظرية تنص على أن الجهد الناتج بين طرفين  $mn$  نتيجة لمصدر تيار يؤثر بين طرفين  $a, b$  يساوى الجهد بين الطرفين  $a, b$  عندما ننقل مصدر التيار ليؤثر بين الطرفين  $mn$ . ويجب ملاحظة أن الجهد في الأجزاء الأخرى من الشبكة الكهربائية لا يظل كما هو . انظر المسألة ١٢-٩.

### نظرية المعادلة :

يحدث على الشبكة الكهربائية التى تحتوى على معاوقة  $Z$  ويمر بها تيار  $I$  هبوط في الجهد مقداره  $IZ$ . وعلى حسب نظرية المعادلة فإن هذه المعاوقة يمكن استبدالها بقوة دافعة كهربائية معادلة ويكون مقدار وطور هذا المصدر مساوياً لـ  $IZ$ . وبالمثل إذا كان الجهد  $V$  على عنصر أو فرع في شبكة كهربائية تحتوى على معاوقة  $Z$  ، فإن هذا العنصر أو الفرع يمكن إبداله بمصدر تيار  $I = V/Z$ . وبعدم التعويض بالمصدر المعادل فإن التيارات أو الجهود في الأجزاء الأخرى في الشبكة الكهربائية تظل كما هي . وتسمى أيضاً نظرية التعادل أو المعادلة بنظرية التعويض .

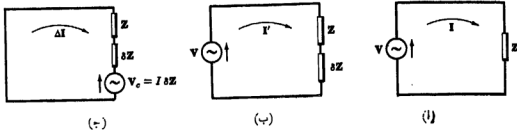
يوضح الشكل ١٢-٤ (أ) فرعاً من شبكة كهربائية يحتوى على معاوتين  $Z_A$  و  $Z_B$ . فإذا كان التيار المار في هذا الفرع هو  $I_1$  يكون المهيوط في الجهد على  $Z_A$  هو  $I_1 Z_A$  وبالقطبية الموضحة . يوضح الشكل ١٢-٤ (ب) المصدر المعادل  $V_c = I_1 Z_A$  الذى يوضع بدلاً من  $Z_A$  والمصدر  $V_c$  يجب أن يكون مستقيماً كما هو موضح في الشكل وذلك لأن رؤوس الأسهم تتجه إلى النهاية الموجبة .



شكل ١٢-٤

إذا حدث أى تغيير في الشبكة الكهربائية بحيث تتأثر قيمة  $I_1$  فإن المصدر المعادل يجب بالتالى أن تتغير قيمته . ولهذا السبب فإن المصدر المعادل  $V_c$  يسمى مصدراً غير مستقل .

ويستفاد بنظرية المعادلة في تعيين التغير الذى يحدث في تيار وجهه عنصر ما في الدائرة وذلك عندما تتغير قيمة معاوقته . ويحدث هذا في دوائر القنطرة ومقياس الجهد حيث يحدث تغير بسيط في معاوقة ما ينتج عنه انحراف عن شرط الاتزان :

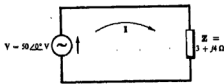


شكل ١٢ - ٥

في الشكل ١٢ - ٥ (أ) يؤثر المصدر  $V$  على الدائرة وينتج عنه تيار  $I = V/Z$  . في الشكل ١٢ - ٥ (ب) تغيرت قيمة معاوقة الدائرة الكلية إلى  $(Z + \delta Z)$  إذن يصبح تيار الدائرة  $I' = V/(Z + \delta Z)$  . والآن يوجد عندنا المصدر المعادل  $V_c = I \delta Z$  يؤثر في الدائرة التي تحتوي على  $Z$  و  $\delta Z$  ، وذلك مع وضع المصدر الأصل مساويا للصفره وينتج عنه تيار  $\Delta I$  كما هو موضح في الشكل ١٢ - ٥ (ج) .  $\Delta I$  هو التغير في التيار الذي ينتج عن التغير  $\delta Z$  في معاوقة الدائرة - ونجد من نظرية التراكب أن  $I + \Delta I = I'$  أو  $\Delta I = I' - I$

مثال :

في الدائرة الموضحة في الشكل ١٢ - ٦ تتغير قيمة المعاوقة  $Q$  إلى  $3 + j4 \Omega$  ، أى أن  $Q = 5 + j5 \Omega$  . أوجد التغير الحادث في التيار وذلك باستخدام الحسابات المباشرة ثم حقق النتيجة بتطبيق نظرية المعادلة .



شكل ١٢ - ٦

لدينا قبل التغير

$$I = V/Z = (50\angle 0^\circ)/(5\angle 53.1^\circ) = 10\angle -53.1^\circ \text{ A}$$

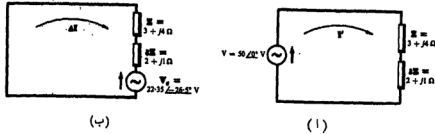
وعند إضافة  $\delta Z$  إلى الدائرة كما هو موضح في الشكل

١٢ - ٦ (أ) يكون لدينا .

$$I' = V/(Z + \delta Z) = (50\angle 0^\circ)/(5 + j5) = 7.07\angle -45^\circ \text{ A}$$

ويكون التغير الناتج في التيار هو

$$\Delta I = I' - I = (5 - j5) - (6 - j8) = -1 + j3 = 3.16\angle 108.43^\circ \text{ A}$$



شكل ١٢ - ٧

بتطبيق نظرية المصادلة يكون المصدر المبادل هو  $V_s = 18Z = (10\angle-26.5^\circ)(2 + j1) = 22.35\angle-26.5^\circ V$ . وبإدخال هذا المصدر في الدائرة التي تحتوي على  $Z$  و  $8Z$  ووضع المصدر  $50\angle0^\circ$  مساويا للصفر كما هو موضح في الشكل ١٢ - ٧ (ب) ، فإن التغير في التيار يكون

$$\Delta I = -\frac{V_s}{Z + 8Z} = -\frac{22.35\angle-26.5^\circ}{8 + j8} = 2.16\angle109.45^\circ A$$

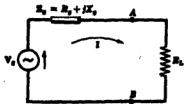
وعلى ذلك عندما نريد حساب التغير في التيار  $\Delta I$  المقابل للتغير الحادث في معاوقة دائرة فإن  $\Delta I$  تعين بمعدل المصدر المبادل  $V_s$  يؤثر في الشبكة الكهربائية ونفص جميع المصادر الأخرى مساوية للصفر.

### نظريات انتقال أكبر قدرة :

تحدد نظريات انتقال أكبر قدرة التالية قيم معاوقات الحمل التي ينتج أكبر قدرة عبر نهايات شبكة كهربائية فعالة .  
نعتبر مجموعة مصادر متصلة على التوالي متصل معها معاوقة مركبة ثابتة تعطي قدرة إلى حمل يتكون من مقاومة متغيرة أو معاوقة مركبة متغيرة .

**الحالة الأولى :** الحمل يتكون من مقاومة متغيرة  $R_L$  (شكل ١٢ - ٨)

التيار المسار في الدائرة هو



شكل ١٢ - ٨

$$I = \frac{V_s}{(R_s + R_L) + jX_s}$$

$$I = |I| = \frac{V_s}{\sqrt{(R_s + R_L)^2 + X_s^2}}$$

إذن القدرة الممتصة للمقاومة  $R_L$  هي

$$P = I^2 R_L = \frac{V_g^2 R_L}{(R_g + R_L)^2 + X_g^2}$$

لتعريف قيمة  $R_L$  التي يكون انتقال القدرة عندها إلى الحمل أكبر ما يمكن نضع المشتقة التفاضلية الأولى  $dP/dR_L$  مساوية للصفر .

$$\frac{dP}{dR_L} = \frac{d}{dR_L} \left[ \frac{V_g^2 R_L}{(R_g + R_L)^2 + X_g^2} \right] = V_g^2 \left\{ \frac{[(R_g + R_L)^2 + X_g^2] - R_L(2)(R_g + R_L)}{[(R_g + R_L)^2 + X_g^2]^2} \right\} = 0$$

$$R_g^2 + 2R_g R_L + R_L^2 + X_g^2 - 2R_L R_g - 2R_L^2 = 0 \quad ,$$

$$R_g^2 + X_g^2 = R_L^2 \quad ,$$

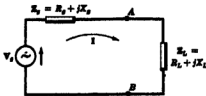
$$R_L = \sqrt{R_g^2 + X_g^2} = |Z_g| \quad \text{إذن}$$

وعلى ذلك فعندما يكون الحمل مقاومة نقية متغيرة فإننا نحصل على أكبر قدرة من نهاية شبكة كهربائية فعالة عندما تكون قيمة مقاومة الحمل مساوية للقيمة المطلقة لمعاوقة الشبكة الكهربائية الفعالة .

وإذا كانت المركبة الممانعة للمعاوقة المتصلة على التوالى مع المصدر مساوية للصفر ، أى أن  $X_g = 0$  فإن أكبر قدرة تنتقل إلى الحمل عندما تتساوى قيمتا الحمل ومقاومة المصدر ، أى أن  $R_L = R_g$  .

**الحالة الثانية :** الحمل يتكون من معاوقة  $Z_L$  مقاومتها وممانعتها متغيرتان (شكل ١٢-٩) .

تيار الدائرة هو .



شكل ١٢ - ٩

$$I = \frac{V_g}{(R_g + R_L) + j(X_g + X_L)}$$

$$I = |I| = \frac{V_g}{\sqrt{(R_g + R_L)^2 + (X_g + X_L)^2}}$$

والقدرة الممتصة بالمصدر هي

$$P = I^2 R_L = \frac{V_g^2 R_L}{(R_g + R_L)^2 + (X_g + X_L)^2} \quad (11)$$

إذا ثبتنا قيمة  $R_L$  في (١١) فإن قيمة  $P$  تكون أكبر ما يمكن عندما  $X_g = -X_L$ . إذن المعادلة (١١) تصبح

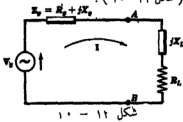
$$P = \frac{V_g^2 R_L}{(R_g + R_L)^2}$$

نعتبر الآن قيمة  $R_L$  متغيرة ، وكأى الحالة الأولى فإن أكبر قدرة تعطى للحمل عندما  $R_L = R_g$  وإذا كانت  $R_L = R_g$

$$Z_L = Z_g^* \quad \text{فإن} \quad X_L = -X_g$$

كما سبق يتضح أنه إذا كانت معاوقة الحمل تتكون من مقاومة متغيرة وممانعة متغيرة ، فإننا نحصل على أكبر قدرة من طرفي شبكة كهربائية فعالة عندما تكون معاوقة الحمل  $Z_L$  مساوية لمرافق المعاوقة المركبة  $Z_g$  للشبكة الكهربائية .

**الحالة الثالثة :** الحمل يتكون معاوقة  $Z_L$  مقاومتها متغيرة وممانعتها ثابتة (شكل ١٢-١٠) .



شكل ١٢ - ١٠

نحصل في هذه الحالة على نفس معادلات التيار  $I$  والقدرة  $P$  كما في الحالة الثانية عندما تكون  $X_L$  ثابتة .

عند مساواة المشتقة التفاضلية الأولى للقدرة  $P$  بالنسبة إلى  $R_L$  بالصفر فإننا نجد أن

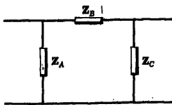
$$R_L^2 = R_g^2 + (X_g + X_L)^2$$

$$R_L = |Z_g + jX_L|$$

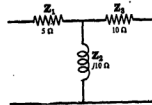
بما أن قيمة كل من  $Z_g$  و  $X_L$  ثابتة فإنه يمكن جمعها في معاوقة واحدة . وعندما تكون  $R_L$  متغيرة فإن الحالة الثالثة تحول إلى الحالة الأولى ، وتنتج أكبر قدرة عندما تكون  $R_L$  مساوية للقيمة المطلقة لمعاوقة الشبكة الكهربائية

### مسائل محلولة

١٢ - ١ عين دائرة لدينا المكافئة للمعاوقات المتصلة على شكل النجمة الموضحة في الشكل ١٢-١١ .



شكل ١٢ - ١٢



شكل ١٢ - ١١



تجدى دائرة دلتا المكافئة على  $Z_A$  و  $Z_B$  و  $Z_C$  كما في الشكل ١٢-١٢ .

$$Z_A = \frac{Z_1 Z_2 + Z_1 Z_3 + Z_2 Z_3}{Z_3} = \frac{5(j10) + 5(10) + 10(j10)}{10} = \frac{50 + j150}{10} = 5 + j15 \Omega$$

$$Z_B = \frac{Z_1 Z_2 + Z_1 Z_3 + Z_2 Z_3}{Z_2} = \frac{50 + j150}{j10} = 15 - j5 \Omega$$

$$Z_C = \frac{Z_1 Z_2 + Z_1 Z_3 + Z_2 Z_3}{Z_1} = \frac{50 + j150}{5} = 10 + j30 \Omega$$

وكاختبار للنتيجة نحول معاوقات دائرة دلتا الموضحة في الشكل ١٢-١٢ مرة أخرى إلى دائرة النجمة - إذن

$$Z_1 = \frac{Z_A Z_B}{Z_A + Z_B + Z_C} = \frac{(5 + j15)(15 - j5)}{5 + j15 + 15 - j5 + 10 + j30} = \frac{150 + j200}{30 + j40} = 5 \Omega$$

$$Z_2 = \frac{Z_A Z_C}{Z_A + Z_B + Z_C} = \frac{(5 + j15)(10 + j30)}{30 + j40} = j10 \Omega$$

$$Z_3 = \frac{Z_B Z_C}{Z_A + Z_B + Z_C} = \frac{(15 - j5)(10 + j30)}{30 + j40} = 10 \Omega$$

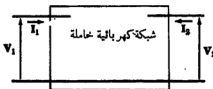
١٢ - ٢ مجموعة متصلة على شكل دلتا تتكون من ثلاث معاوقات متساوية  $Z_\Delta = 15/30^\circ \Omega$ . أوجد المعاوقات المكافئة المتصلة على شكل النجمة .

$$Z_A = Z_B = Z_C = Z_\Delta \quad \text{حيث} \quad Z_1 = \frac{Z_A Z_B}{Z_A + Z_B + Z_C}$$

$$Z_1 = Z_2 = Z_3 = Z_\Delta/3 = 5/30^\circ \Omega \quad \text{وبالمثل} \quad Z_2 = Z_3 = Z_\Delta/3 = 5/30^\circ \Omega$$

وعلى ذلك فإن أي دائرة على شكل دلتا بثلاث معاوقات متطابقة لها دائرة نجمة مكافئة معاقتها تساوي ثلث معاوقات دائرة دلتا .

وبالعكس فعندما تتساوى معاوقات دائرة على شكل النجمة فإن معاوقات دائرة دلتا المكافئة لها تكون أيضاً متساوية وتساوي ثلاث أضعاف معاوقات دائرة النجمة .



شكل ١٢ - ١٢

١٢ - ٣ بين أنه يمكن إبدال الشبكة الكهربائية المتعددة الخاملة ذات الأطراف الثلاثة بثلاث معاوقات متصلة على شكل دلتا .

نحيل مصدر جهد  $V_2$  يؤثر على طرفي الجهة اليسرى في الشبكة الكهربائية . ونزمر أيضاً  $V_2$  ، عند طرفي الجهة اليمنى كما هو موضح .  
بما أن الشبكة الكهربائية خاملة فإن جميع المصادر المحركة الأخرى تساوى صفراً .

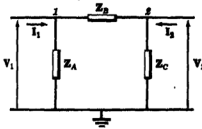
أن معادلات تيار الشبكة في الصيغة المصفوفية هي

$$\begin{bmatrix} Z_{11} & Z_{12} & \dots & Z_{1n} \\ Z_{21} & Z_{22} & \dots & \dots \\ \dots & \dots & \dots & \dots \\ Z_{n1} & \dots & \dots & Z_{nn} \end{bmatrix} \begin{bmatrix} I_1 \\ I_2 \\ \vdots \\ I_n \end{bmatrix} = \begin{bmatrix} V_1 \\ V_2 \\ 0 \\ 0 \\ 0 \end{bmatrix}$$

$$I_g = V_1 \frac{\Delta_{1g}}{\Delta_g} + V_2 \frac{\Delta_{2g}}{\Delta_g} \quad \text{و} \quad I_1 = V_1 \frac{\Delta_{11}}{\Delta_g} + V_2 \frac{\Delta_{21}}{\Delta_g}$$

و الآن بالتعير من هاتين المعادلتين الآتيتين بالصيغة المصفوفية نجد أن :

$$\begin{bmatrix} \frac{\Delta_{11}}{\Delta_g} & \frac{\Delta_{21}}{\Delta_g} \\ \frac{\Delta_{12}}{\Delta_g} & \frac{\Delta_{22}}{\Delta_g} \end{bmatrix} \begin{bmatrix} V_1 \\ V_2 \end{bmatrix} = \begin{bmatrix} I_1 \\ I_2 \end{bmatrix}$$



شكل ١٢ - ١٤

وهذه المعادلة المصفوفية مشابهة للمعادلة الناتجة

من شبكة كهربائية ذات عقد ثلاث وذلك مع

اختيار واحدة منها كمقدمة إسناد . الشكل ١٢-١٤

يوضح مثل هذه الشبكة التي فيها  $Z_C$  و  $Z_B$  و  $Z_A$

متصلة على شكل دلتا . بادخال  $V_1$  و  $I_1$  و  $V_2$  و  $I_2$

بنفس الاتجاه الموضح في الشكل ١٢-١٤ وكتابة

المعادلات المقابلة في الصيغة المصفوفية عن طريق

تطبيق طريقة جهد العقدة نحصل على

$$\begin{bmatrix} \left( \frac{1}{Z_A} + \frac{1}{Z_B} \right) & -\frac{1}{Z_B} \\ -\frac{1}{Z_B} & \left( \frac{1}{Z_B} + \frac{1}{Z_C} \right) \end{bmatrix} \begin{bmatrix} V_1 \\ V_2 \end{bmatrix} = \begin{bmatrix} I_1 \\ I_2 \end{bmatrix}$$

بمساواة معاملات العناصر في المصفوفتين ، نجد أن

$$\left( \frac{1}{Z_B} + \frac{1}{Z_C} \right) = \frac{\Delta_{22}}{\Delta_g} \quad (٢)$$

$$\left( \frac{1}{Z_A} + \frac{1}{Z_B} \right) = \frac{\Delta_{11}}{\Delta_g} \quad (١)$$

$$-\frac{1}{Z_B} = \frac{\Delta_{21}}{\Delta_g} \quad (٣)$$

وبالتعويض في (١) و (٢) و (٣) نحصل على

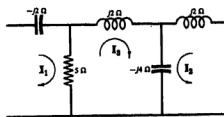
$$Z_A = \frac{\Delta_Z}{\Delta_{11} + \Delta_{21}}, \quad Z_B = -\frac{\Delta_Z}{\Delta_{21}}, \quad Z_C = \frac{\Delta_Z}{\Delta_{22} + \Delta_{21}}$$

كما سبق يتضح أنه يمكن رياضيًا تحويل أي شبكة كهربائية ذات ثلاثة أطراف إلى دائرة مكافئة على شكل دلتا أو النجمة . ولكن عناصر كل دائرة مكافئة ربما لا يكون لها معنى فيزيائي . انظر المسألة ١٢-٤ .

١٢ - ٤ طبق نتيجة المسألة ١٢ - ٣ على الشبكة الكهربائية

الموضحة في الشكل ١٢ - ١٥ لتحصل على دائرة

دلتا المكافئة .



شكل ١٢ - ١٥

نختار تيارات الشبكة كما هو موضح في الرسم  
فتحصل على

$$\Delta_Z = \begin{vmatrix} 5 - j2 & 0 & -5 \\ 0 & -j2 & -j4 \\ -5 & -j4 & 5 - j2 \end{vmatrix}$$

$$= 40 - j24 = 46.6 / -31^\circ$$

$$\Delta_{11} = \begin{vmatrix} -j2 & -j4 \\ -j4 & 5 - j2 \end{vmatrix} = 12 - j10, \quad \Delta_{22} = \begin{vmatrix} 5 - j2 & -5 \\ -5 & 5 - j2 \end{vmatrix} = -4 - j20,$$

$$\Delta_{21} = (-) \begin{vmatrix} 0 & -5 \\ -j4 & 5 - j2 \end{vmatrix} = j20$$

باستخدام تعبيرات المسألة ١٢-٣ نجد أن

$$Z_A = \frac{\Delta_Z}{\Delta_{11} + \Delta_{21}} = \frac{46.6 / -31^\circ}{12 - j10 + j20} = 2.98 / -70.8^\circ \Omega$$

$$Z_B = -\frac{\Delta_Z}{\Delta_{21}} = -\frac{46.6 / -31^\circ}{j20} = 2.33 / 59^\circ \Omega$$

$$Z_C = \frac{\Delta_Z}{\Delta_{22} + \Delta_{21}} = \frac{46.6 / -31^\circ}{-4 - j20 + j20} = 11.65 / 149^\circ \Omega$$

لاحظ أن المعاوقة  $Z_A$  يمكن تحقيقها بمقاومة ومكثف متصلين على التوالي و  $Z_B$  بمقاومة وحث متصلين على التوالي . أما تحقيق المعاوقة  $Z_C$  يلزمه مقاومة سالبة . وعلى ذلك فإن الدائرة ذات الثلاث مقاومات المحسوبة لا يمكن تحقيقها .

١٢ - ٥ باستخدام نظرية التراكب أوجد التيار المار في المقاومة  $2\Omega$  في الدائرة الموضحة في الشكل ١٢-١٦ .

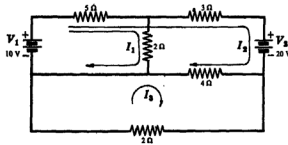
نفرغ أن  $I'$  هو التيار المار في المقاومة  $2\Omega$  نتيجة للمصدر  $V_1$  وذلك مع وضع المصدر  $V_2$  مساوياً للصفر . وأن  $I''$  هو التيار المار في نفس الفرع نتيجة للمصدر  $V_2$  مع وضع  $V_1$  مساوياً للصفر . باعتبار تيارات الشبكة كما هو موضح في الشكل ١٢ - ١٦ وحل المعادلات للحصول على  $I'$  و  $I''$  نجد أن

$$I' = \frac{\begin{vmatrix} V_1 & 5 & 0 \\ V_1 & 12 & -4 \\ 0 & -4 & 6 \end{vmatrix}}{\begin{vmatrix} 7 & 5 & 0 \\ 5 & 12 & -4 \\ 0 & -4 & 6 \end{vmatrix}} = \frac{10 \begin{vmatrix} 12 & -4 \\ -4 & 6 \end{vmatrix} - 10 \begin{vmatrix} 5 & 0 \\ -4 & 6 \end{vmatrix}}{242} = 1.075 \text{ A}$$

$$I'' = \frac{\begin{vmatrix} 0 & 5 & 0 \\ -V_2 & 12 & -4 \\ 0 & -4 & 6 \end{vmatrix}}{242} = \frac{-(-20) \begin{vmatrix} 5 & 0 \\ -4 & 6 \end{vmatrix}}{242} = 2.48 \text{ A}$$

بتطبيق نظرية التراكب يكون التيار  $I_1$  الناتج عن وجود المصدرين في آن واحد هو

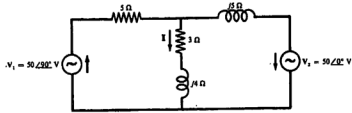
$$I_1 = I' + I'' = 1.075 + 2.48 = 3.555 \text{ A}$$



شكل ١٢ - ١٦

١٢ - ٦ طبق نظرية التراكب على الشبكة الكهربائية الموضحة في الشكل ١٢ - ١٧ لتحصل على التيار المار في المقاومة

$$3 + j4 \Omega$$



شكل ١٢ - ١٧

نضع  $V_2 = 0$  وبذلك يكون  $V_1$  هو المصدر الوحيد الموجود في الدائرة . إذن

$$Z_{T1} = 5 + \frac{(3 + j4)j5}{3 + j9} = 5.88 + j2.5 = 6.35/23.2^\circ \Omega$$

$$I_{T1} = \frac{V_1}{Z_{T1}} = \frac{50/90^\circ}{6.35/23.2^\circ} = 7.87/66.8^\circ \text{ A}$$

والتيار المار في الفرع  $3 + j4 \Omega$  نتيجة للمصدر  $V_1$  فقط هو

$$I_1 = I_{T1} \left( \frac{j5}{3 + j9} \right) = 7.87/66.8^\circ \left( \frac{j5}{3 + j9} \right) = 4.15/85.3^\circ \text{ A}$$

بوضع  $V_1 = 0$  وبذلك يكون  $V_2$  هو المصدر الوحيد في الدائرة . إذن

$$Z_{T2} = j5 + \frac{5(3 + j4)}{3 + j4} = 2.5 + j6.25 = 6.74/68.2^\circ \Omega$$

$$I_{T2} = \frac{V_2}{Z_{T2}} = \frac{50/0^\circ}{6.74/68.2^\circ} = 7.42/-68.2^\circ \text{ A}$$

والتيار المار في الفرع  $3 + j4 \Omega$  نتيجة للمصدر  $V_2$  فقط هو

$$I_2 = -(7.42/-68.2^\circ) \left( \frac{5}{3 + j4} \right) = 4.15/85.3^\circ \text{ A}$$

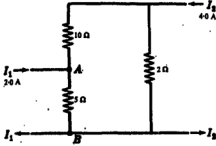
وبذلك يكون التيار الكلي المار في الفرع  $3 + j4 \Omega$  هو

$$I = I_1 + I_2 = 4.15/85.3^\circ + 4.15/85.3^\circ = 8.30/85.3^\circ \text{ A}$$

١٧ - طبق نظرية التراكب على الشبكة الكهربائية

الموضحة في الشكل ١٢ - ١٨ وذلك لإيجاد

الجهد  $V_{AB}$ .



شكل ١٢ - ١٨

نفرض أن المصدر  $I_1 = 2A$  يؤثر في

الشبكة الكهربائية ونضع المصدر  $I_2 = 0$

$$V'_{AB} = 2 \frac{5(12)}{17} = 7.06V. \quad \text{إذن}$$

نضع الآن  $I_1 = 0$  وبذلك يكون  $I_2 = 4A$

هو الذي يؤثر في الشبكة الكهربائية وبذلك يكون

التيار المار في المقاومة  $5\Omega$  هو

$$I_1 = 4(2/17) = 8/17A$$

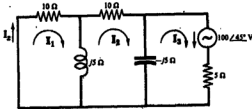
$$V''_{AB} = (8/17)5 = 2.35 \text{ volts.} \quad \text{إذن}$$

وعلى هذا فإن الجهد  $V_{AB}$  في حالة وجود المصدرين معاً هو

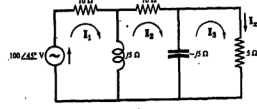
$$V_{AB} = V'_{AB} + V''_{AB} = 7.06 + 2.35 = 9.41V$$

١٧ - ١٨ إذا كان التيار  $I_x$  هو التيار المار في الفرع  $5\Omega$  في الشبكة الكهربائية وحده المصدر في الشكل ١٢ - ١٩

(١) والناتج من مصدر الجهد  $100 \angle 45^\circ V$ ، فأوجد  $I_x$  ثم حقق نظرية التبادل لهذه الدائرة.



(ب)



(١)

شكل ١٢ - ١٩

يوضح الشكل ١٢ - ١٩ (١) تيارات الشبكة  $I_1$  و  $I_2$  و  $I_3$ . التيار المطلوب  $I_x$  هو تيار الشبكة  $I_3$ .

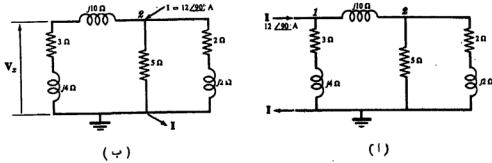
$$(1) \quad I_x = I_3 = \begin{vmatrix} 10 + j5 & -j5 & 100/45^\circ \\ -j5 & 10 & 0 \\ 0 & j5 & 0 \end{vmatrix} = 100/45^\circ \left( \frac{25}{1155 \angle -12.5^\circ} \right) = 2.16/57.5^\circ A$$

والآن نطبق نظرية التبادل بتغيير موضعى الإثارة والاستجابة كما هو موضح فى الشكل ١٢-١٩ (ب) .  
ومرة أخرى باستخدام تيارات المسار المطلق الأول فى اتجاه عقارب الساعة كما هو موضح وبملاحظة أن  $I_x = I_1$  ، إذن

$$(٢) \quad I_x = I_1 = \frac{\begin{vmatrix} 0 & -j5 & 0 \\ 0 & 10 & j5 \\ 100/45^\circ & j5 & 5 - j5 \end{vmatrix}}{\Delta_x} = 100/45^\circ \left( \frac{25}{1155/-12.6^\circ} \right) = 2.16/57.6^\circ \text{ A}$$

وبمقارنة نتيجتى (١) و (٢) نجد أن قيمتى  $I_x$  فى المادلتين مساويتان وهذا يحقق نظرية التبادل .

١٢ - ٩ يتحدى الشبكة الكهربائية الموضحة فى الشكل ١٢-٢٠ (١) على مصدر واحد التيار هو  $I = 12/90^\circ \text{ A}$  .  
عين الجهد  $V_2$  عند المقعدة 2 . طبق نظرية التبادل ثم قارن النتيجةين .



شكل ١٢ - ٢٠

إن معادلتى المقعدة فى الشبكة الكهربائية الموضحة فى الشكل ١٢-٢٠ (١) بالصيغة المصفوفية هى :

$$\begin{bmatrix} \left( \frac{1}{8+j4} + \frac{1}{j10} \right) & -\frac{1}{j10} \\ -\frac{1}{j10} & \left( \frac{1}{j10} + \frac{1}{8} + \frac{1}{2+j2} \right) \end{bmatrix} \begin{bmatrix} V_1 \\ V_2 \end{bmatrix} = \begin{bmatrix} 12/90^\circ \\ 0 \end{bmatrix}$$

ونما نجد أن

$$V_2 = \frac{\begin{vmatrix} 0.12 - j0.26 & 12/90^\circ \\ j0.1 & 0 \end{vmatrix}}{\begin{vmatrix} 0.12 - j0.26 & j0.1 \\ j0.1 & 0.45 - j0.35 \end{vmatrix}} = 12/90^\circ \left( \frac{-j0.1}{0.161/260.35^\circ} \right) = 7.45/99.65^\circ \text{ V}$$

نستخدم نظرية التبادل مع اعتبار أن التيار  $I$  بين العقدة 2 وعقدة الإسناد في الدائرة الموضحة في الشكل ١٢-٢٠ (ب). ثم نحسب الجهد بين التابئين نتيجة للمصدر المحرك السابق . بما أنه يوجد عقدتان فقط في الشبكة الكهربائية فإن المطلوب معادلة عقدة واحدة .

$$\left( \frac{1}{3+j14} + \frac{1}{5} + \frac{1}{2+j2} \right) V_2 = 12 \angle 90^\circ \quad \text{إذن}$$

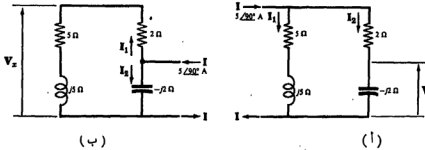
$$V_2 = \frac{12 \angle 90^\circ}{0.563 \angle -34.4^\circ} = 21.3 \angle 124.4^\circ \text{ V}$$

وبالتالي فإن الجهد  $V_x$  يكون

$$V_x = V_2 \left( \frac{3+j4}{3+j4+j10} \right) = 21.3 \angle 124.4^\circ \left( \frac{3+j4}{3+j14} \right) = 7.45 \angle 99.6^\circ \text{ V}$$

بمقارنة القيمة المحسوبة للجهد  $V_2$  للشبكة الكهربائية الموضحة في الشكل ١٢-٢٠ (أ) بالجهد  $V_x$  للشبكة الكهربائية الموضحة في الشكل ١٢-٢٠ (ب) نجد أنهما متساويان ، وهذا يحقق نظرية التبادل . لاحظ أيضا أن  $V_2$  لا يظل كما هو بعد تغيير موضع الإثارة والاستجابة .

١٢-٢١ أريد الجهد  $V_x$  في الدائرة الموضحة في الشكل ١٢-٢١ (أ) والتي تحتوي على مصدر واحد التيار . غير موضع مصدر التيار والجهد الناتج  $V_x$  . هل تتحقق نظرية التبادل ؟



شكل ١٢ - ٢١

في الشكل ١٢-٢١ (أ) نجد أن التيار  $I_1 = I \left( \frac{5+j5}{7+j3} \right) = 4.64 \angle 111.8^\circ \text{ A}$

$$V_x = I_2(-j2) = 4.64 \angle 111.8^\circ (2 \angle -90^\circ) = 9.28 \angle 21.8^\circ \text{ V}$$

إذا بدلنا موضع مصدر التيار  $I$  والجهد  $V_x$  المقاس بين التابئين كما في الشكل ١٢-٢١ (ب) ،

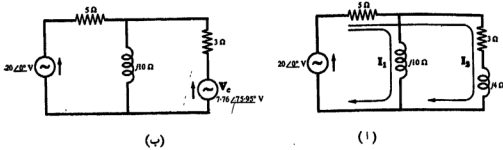
يكون التيار في هذه الحالة هو  $I_1 = I \left( \frac{-j2}{7+j3} \right) = 1.31 \angle -23.2^\circ \text{ A}$  . وبما أن

$$V_x = 1.31 \angle -23.2^\circ (5+j5) = 9.27 \angle 21.8^\circ \text{ V}$$

كما في الحالة السابقة . إذن فهذا يحقق نظرية التبادل .



١١ - ١٢ : في الشبكة الكهربائية الموضحة في الشكل ١٢-٢٢ (أ) إبدل الممانعة  $4\Omega$  بقوة دافعة كهربائية معادلة .



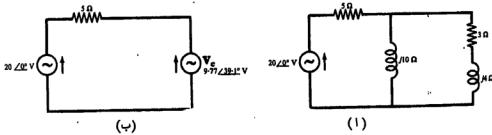
شكل ١٢ - ٢٢

نختار تيارات الشبكة  $I_1$  ،  $I_2$  كما هو موضح في الرسم ثم نحل المعادلات للحصول على التيار  $I_2$  الصادر في الممانعة  $4\Omega$  فنجد أن

$$I_2 = \frac{\begin{vmatrix} 5 + j10 & 20 \\ 5 & 20 \end{vmatrix}}{\begin{vmatrix} 5 + j10 & 5 \\ 5 & 8 + j4 \end{vmatrix}} = \frac{20(j10)}{\frac{108}{104.05^\circ}} = 1.94 / -14.05^\circ \text{ A}$$

والمصدر المعادل هو  $V_e = I_2(4) \angle -14.05^\circ (4) = 7.76 \angle 75.92^\circ \text{ V}$  . يوضح الشكل ١٢-٢٢ (ب) الدائرة بعد وضع المصدر المعادل بدلا من الممانعة  $4\Omega$  . لإثبات أن الدائرتين متكافئتان أوجد تيار أحد الأفرع في الدائرتين وقارن النتيجة .

١٢ - ١٢ : في الشبكة الكهربائية الموضحة في الشكل ١٢-٢٣ (أ) إبدل المجموعة المتصلة على التوازي والمكونة من  $10\Omega$  بمصدر معادل  $3 + j4\Omega$  .



شكل ١٢ - ٢٣

المعاوقة المكافئة لمجموعة المتصلة على التوازي هي

$$Z_{eq} = \frac{j10(3 + j4)}{3 + j14} = 1.46 + j3.17 = 3.50 \angle 65.3^\circ \Omega$$

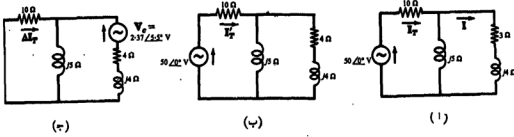
$$I_T = \frac{V}{Z_T} = \frac{20 \angle 0^\circ}{7.18 \angle 26.2^\circ} = 2.79 \angle -26.2^\circ \text{ A} \quad , \quad Z_T = 5 + 1.46 + j3.17 = 7.18 \angle 26.2^\circ \Omega \quad \text{إذن}$$

والمصدر المعادل هو :

$$V_e = I_T Z_{eq} = 2.79 \angle -26.2^\circ (3.50 \angle 65.3^\circ) = 9.77 \angle 39.1^\circ \text{ V}$$

ويوضح الشكل ١٢ - ٢٣ (ب) الدائرة بعد وضع مصدر الجهد المعادل بالقطبية الفعلية .

١٣-١٢ إذا تغيرت المعاوقة  $3 + j4 \Omega$  في الشبكة الكهربائية الموضحة في الشكل ١٢-٢٤ (أ) إلى المعاوقة  $4 + j4 \Omega$  كما في الشكل ١٢ - ٢٤ (ب) . فأوجد التيار المسار في المقاومة  $10 \Omega$  قبل وبعد التغير . ثم طبق نظرية التبادل أو المعادلة لتحين الفرق في تيار المقاومة  $10 \Omega$ .



شكل ١٢ - ٢٤

قبل التغير في المعاوقة  $3 + j4 \Omega$  (شكل ١٢ - ٢٤ (أ)) لدينا

$$I_T = \frac{V}{Z_T} = \frac{50 \angle 0^\circ}{11.1 \angle 13^\circ} = 4.50 \angle -13^\circ \text{ A} \quad , \quad Z_T = 10 + \frac{j5(3 + j4)}{3 + j9} = 11.1 \angle 13^\circ \Omega$$

بعد التغير (شكل ١٢ - ٢٤ (ب)) لدينا

$$I_T' = \frac{V}{Z_T'} = 4.41 \angle -13.65^\circ \text{ A} \quad , \quad Z_T' = 10 + \frac{j5(4 + j4)}{4 + j9} = 11.03 + j2.68 = 11.35 \angle 13.65^\circ \Omega$$

وبمصدر التبادل الجهدى  $V_e = 8 \text{ V}$  حيث  $I$  التيار الابتدائي في الفرع  $3 + j4 \Omega$  هو

$$I = I_T \left( \frac{j5}{3 + j9} \right) = 4.5 \angle -13^\circ \left( \frac{j5}{3 + j9} \right) = 2.37 \angle 5.5^\circ \text{ A}$$

و  $\delta Z = (4 + j4) - (3 + j4) = 1 \Omega$  إذن  $V_e = 2.37 \angle 5.5^\circ (1) = 2.37 \angle 5.5^\circ \Omega$  واتجاهه في عكس اتجاه  $I$ .

ونحصل على التغير  $\Delta I_T$  في التيار بوضع مصدر الجهد الأساسي مساوياً للصفر مع ترك  $V_e$  يؤثر بمفرده في الدائرة كما في الشكل ٢٤-١٢ (ج). إذن لهذه الدائرة يكون لدينا  $Z_T'' = 4 + j4 + \frac{j5(10)}{10 + j5} = 10 \angle 53.1^\circ \Omega$

$$\Delta I_T = - \left( \frac{V_e}{Z_T} \right) \left( \frac{j5}{10 + j5} \right) = - \left( \frac{2.37 \angle 5.5^\circ}{10 \angle 53.1^\circ} \right) \left( \frac{j5}{10 + j5} \right) = 0.1055 \angle 195.8^\circ A$$

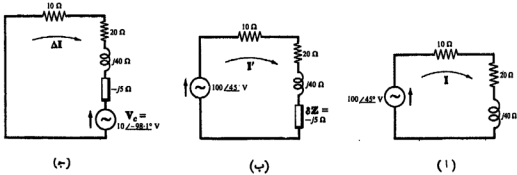
نقارن  $\Delta I_T$  بالفرق بين  $I_T$  و  $I_T'$

$$I' - I_T = (4.41 \angle -13.65^\circ) - (4.50 \angle -13^\circ) = -0.10 - j0.03 = 0.1045 \angle 196.7^\circ A$$

لاحظ أن قيمتي  $\Delta I_T$  غير متساويتين تماماً. إن قيمة  $\Delta I_T$  المحسوبة باستخدام جهد التعادل  $V_e$  أكثر دقة من قيمة  $\Delta I_T$  التي حصلنا عليها من طرح التيارين الأساسيين  $I_T$  و  $I_T'$ . وهذه النتيجة صحيحة تماماً عندما يكون التغير في الماوقة صغير. والنتيجة السابقة الحالة التي يكون فيها تغير التيار صغير تقتضي اعتبار وجود خطأ عند حساب الفرق بين كيتين متقاربتين في القيمة.

١٤-١٧ احسب التغير في تيار الدائرة المتصلة على التوالي والموضحة في الشكل ٢٥-١٢ (أ) وذلك عندما تقل قيمة الممانعة إلى  $35 \Omega$ .

نفرض أن  $I$  و  $I'$  هما تيارا الدائرة قبل وبعد التغير الحادث في الممانعة كما هو موضح في الشكل ٢٥-٢٢ (أ) ، (ب). إذن



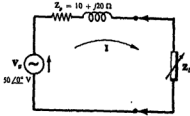
شكل ١٢ - ٢٥

$$I = \frac{V}{Z} = \frac{100 \angle 45^\circ}{50 \angle 53.1^\circ} = 2.0 \angle -8.1^\circ A; I' = \frac{V}{Z + \delta Z} = \frac{100 \angle 45^\circ}{30 + j35} = 2.17 \angle -4.4^\circ A$$

$$\Delta I = I' - I = 2.17 \angle -4.4^\circ - 2.0 \angle -8.1^\circ = 0.223 \angle 31.6^\circ A$$

إذا حسبنا  $\Delta I$  بتطبيق نظرية التعادل نحصل على  $V_s = I(8Z) = 2.0 \angle -8.1^\circ (-j5) = 10 \angle -98.1^\circ \text{ V}$   
 واتجاهه كما في الشكل ١٢-٢٥ (ج) . والتعبير في التيار هو

$$\Delta I = -V_s / (Z + 8Z) = -(10 \angle -98.1^\circ) / (30 + j35) = (10 \angle 81.9^\circ) / (46.1 \angle 49.4^\circ) = 0.217 \angle 32.5^\circ \text{ A}$$



شكل ١٢ - ٢٦

١٢-١٥ إذا كان الحمل المتصل بالدائرة الموضحة في الشكل

١٢-٢٦ يتكون من مقاومة نقية  $R_L$  .

فأوجد قيمة  $R_L$  التي تكون عندها القدرة الممتصة

بالمصدر الحمل أكبر ما يمكن . عين قيمة أكبر قدرة .

تنتقل أكبر قدرة لحمل عندما

$$R_L = |Z_g| = |10 + j20| = 22.4 \text{ ohms}$$

$$I = V / (Z_g + R) = (50 \angle 0^\circ) / (10 + j20 + 22.4) = 1.31 \angle -31.7^\circ \text{ A}$$

وأكبر قدرة تعطي لحمل هي

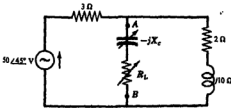
$$P = I^2 R_L = (1.31)^2 22.4 = 38.5 \text{ watts.}$$

١٢-١٦ إذا كان الحمل المتصل بالدائرة الموضحة في الشكل ١٢-٢٦ يتكون من معاوقة مركبة  $Z_L$  التي لها كل من  $R_L$  و  $X_L$  متغيرة ، فعين قيمة  $Z_L$  التي ينتج عنها انتقال أكبر قدرة . احسب قيمة أكبر قدرة .

تنتقل أكبر قدرة عندما يكون  $Z_L = Z_g^*$  . وبما أن  $Z_g = 10 + j20 \Omega$  و  $Z_L = 10 - j20 \Omega$

إذن المعاوقة الكلية للدائرة هي  $Z_{eq} = (10 + j20) + (10 - j20) = 20 \Omega$

$$P = I^2 R_L = (2.5)^2 10 = 62.5 \text{ watts} \quad \text{و} \quad I = V / Z_{eq} = (50 \angle 0^\circ) / 20 = 2.5 \angle 0^\circ \text{ A}$$



شكل ١٢ - ٢٧

١٢-١٧ إذا كان الحمل المتصل بيننهايتين  $AB$  لشبكة

الكهربائية الموضحة في الشكل ١٢-٢٧

يتكون من مقاومة متغيرة  $R_L$  وممانعة مساوية  $X_C$

تغير قيمتها بين  $2\Omega$  و  $8\Omega$  ، فعين  $R_L$  و  $X_C$

التي ينتج عنها انتقال أكبر قدرة . احسب أكبر

قدرة  $P$  ممتصة لحمل .

إن جهد ثلثين بين الطرفين  $AB$  هو  $V' = \frac{50 \angle 45^\circ}{5 + j10} (2 + j10) = 45.6 \angle 60.3^\circ \text{ V}$  ومعاوقة الشبكة

الكهربائية الفعالة المتصلة بين النابتين  $AB$  هي  $Z' = 3(2 + j10)/(5 + j10) = 2.64 + j0.72 \Omega$

ويحدث أن تتقل أكبر قدرة في الدائرة المخططة عندما  $Z_L = Z'^* = 2.64 - j0.72 \Omega$  . وحيث أن الشرط المعطى في المسألة هو أن  $X_C$  تتغير قيمتها بين  $2\Omega$  و  $8\Omega$  ، إذن أقرب قيمة لـ  $X_C$  هي  $2\Omega$

$$R_L = |Z_g - jX_C| = |2.64 + j0.72 - j2| = |2.64 - j1.28| = 2.93 \text{ ohms}$$

والآن لدينا

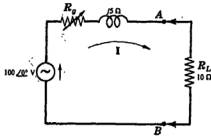
$$Z_T = Z' + Z_L = (2.64 + 2.93) + j(0.72 - 2) = 5.57 - j1.28 = 5.70 \angle -13^\circ \Omega$$

إذن

$$I = \frac{V'}{Z_T} = \frac{45.6 \angle 60.3^\circ}{5.70 \angle -13^\circ} = 8.0 \angle 73.3^\circ \text{ A} , \quad P = I^2 R_L = (8.0)^2 2.93 = 187.5 \text{ W}$$

١٢-١٨ في الدائرة الموضحة في الشكل ١٢ - ٢٨ تتغير

قيمة المقاومة  $R_g$  بين  $2\Omega$  و  $55\Omega$  .  
ما هي قيمة  $R_g$  التي ينتج عنها انتقال أكبر  
قدرة عبر الطرفين  $AB$  ؟



شكل ١٢ - ٢٨

بما أن مقاومة الحمل  $R_L$  في الدائرة  
المخططة ثابتة . إذن نظريات انتقال أكبر قدرة  
لا تطبق في هذه الحالة . ومن الواضح أن  
أكبر تيار ينتج عندما  $R_g$  تكون أقل  
ما يمكن .

بوضع  $R_g = 2\Omega$  . إذن

$$Z_T = (2 + j5 + 10) = 13 \angle 22.6^\circ \Omega$$

$$I = V/Z_T = 100 \angle 0^\circ / (13 \angle 22.6^\circ) = 7.7 \angle -22.6^\circ \text{ A} ,$$

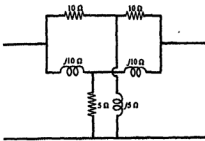
وأكبر قدرة هي

$$P = (7.7)^2 10 = 593 \text{ W}.$$

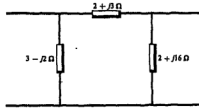
### مسائل اضافية

١٩-١٢ أوجد مجموعة المعاوقات المتصلة على شكل النجمة المكافئة لمجموعة المعاوقات المتصلة على شكل دلتا والموضحة في الشكل ١٢ - ٢٩ .

الجواب :  $(1 + j3) \Omega$ ,  $(3 - j1) \Omega$ ,  $(0.5 - j0.5) \Omega$



شكل ١٢ - ٣٠



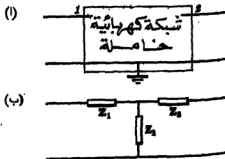
شكل ١٢ - ٢٩

٢٠-١٢ تتركب الشبكة الكهربائية الموضحة في الشكل ١٢-٣٠ من دائرتين متصلتين على التوازي كل منهما على شكل النجمة . أوجد المجموعة المكافئة لها بحيث تكون على شكل دلتا واحدة .

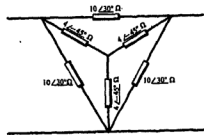
الجواب :  $(5 + j5) \Omega$ ,  $\infty$ ,  $(5 + j5) \Omega$

٢١-١٢ في الشكل ١٢-٣١ وصلت مجموعة دلتا المترنة والتي لها  $Z = 10 \angle 30^\circ \Omega$  على التوازي مع مجموعة النجمة المترنة والتي لها  $Z = 4 \angle 45^\circ \Omega$  . أوجد مجموعة النجمة المكافئة لها .

الجواب :  $Z = 2.29 \angle -3.5^\circ \Omega$



شكل ١٢ - ٣٢

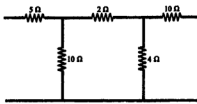


شكل ١٢ - ٣١

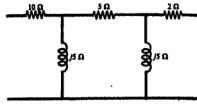
٢٢-١ بين أنه يمكن عموما إبدال الشبكة الكهربائية الحاملة ذات النهايات الثلاث والموضحة في الشكل ١٢ - ٢٢ (أ) بدائرة متصلة على شكل النجمة مثل الموضحة في الشكل ١٢-٢٢ (ب) ، حيث  $Z_1 = (\Delta_{11} - \Delta_{12})/\Delta_Y$  و  $Z_2 = \Delta_{12}/\Delta_Y$  و  $Z_3 = (\Delta_{22} - \Delta_{12})/\Delta_Y$  (تثير  $\Delta_Y$  والمعاملات المشتركة إلى معادلات جهد العقدة في الصيغة المصفوفية) .

٢٢-١ استخدم طرق المسألة ١٢ - ٢٢ وذلك لإبدال الشبكة الكهربائية الموضحة في الشكل ١٢ - ٢٣ بدائرة مكافئة متصلة على شكل النجمة .

الجواب :  $(12 + j1) \Omega, (-1 + j2) \Omega, (4 + j1) \Omega$



شكل ١٢ - ٢٣



شكل ١٢ - ٢٣

٢٤- أوجد الثلاثة معاوقات المتصلة على شكل النجمة والتي تكافئ الشبكة الكهربائية الموضحة في الشكل ١٢ - ٢٤

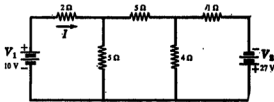
الجواب :  $6.25 \Omega, 2.5 \Omega, 10.5 \Omega$

٢٥- بالإشارة إلى الشبكة الكهربائية الموضحة في الشكل ١٢-٢٤ أوجد دائرة دلتا المكافئة لها .

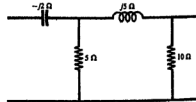
الجواب :  $10.25 \Omega, 43 \Omega, 17.2 \Omega$

٢٦- أوجد دائرة دلتا المكافئة للشبكة الكهربائية الموضحة في الشكل ١٢ - ٢٥ .

الجواب :  $(3 - j2) \Omega, (2 + j3) \Omega, (2 + j16) \Omega$



شكل ١٢ - ٢٦



شكل ١٢ - ٢٥

٢٧ - ١٢ باستخدام نظرية التراكب أوجد التيار المار في المقاومة  $2\Omega$  في الشبكة الكهربائية الموضحة في الشكل ٣٦-١٢ .

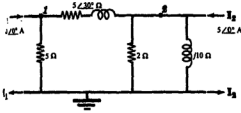
الجواب :  $I = 4.27 \text{ A}$

٢٨ - ١٢ في الشبكة الكهربائية الموضحة في الشكل ٣٦-١٢ إذا تغير مصدر الجهد  $V_2$  إلى  $8.93 \text{ V}$  وذلك مع احتيا النهاية الموجبة له إلى أعلى ، فأوجد باستخدام نظرية التراكب التيار المار في المقاومة  $2\Omega$  .

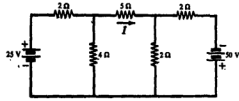
الجواب :  $I = 1.43 \text{ A}$

٢٩ - ١٢ أوجد في الشبكة الكهربائية الموضحة في الشكل ٣٧ - ١٢ التيار المار في المقاومة  $5\Omega$  نتيجة لكل مصدر من مصدري الجهد .

الجواب :  $2.27 \text{ A}, 3.41 \text{ A}$



شكل ١٢ - ٢٨



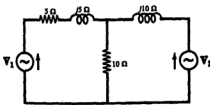
شكل ١٢ - ٢٧

٣٠ - ١٢ عين الشبكة الكهربائية الموضحة في الشكل ٣٨-١٢ مركبات جهد المقدة  $V_2$  الناتجة عن كل مصدر من مصادر

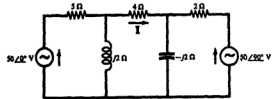
التيار . الجواب :  $8.48 \angle -2.8^\circ \text{ V}, 8.20 \angle 12.2^\circ \text{ V}$

٣١ - ١٢ في الشبكة الكهربائية الموضحة في الشكل ٣٩ - ١٢ . أوجد التيار المار في المقاومة  $4\Omega$  والناتج عن كل

الجواب . مصدر من مصدري الجهد . الجواب :  $3.24 \angle 60.95^\circ \text{ A}, 6.16 \angle -142.2^\circ \text{ A}$



شكل ١٢ - ٣٠



شكل ١٢ - ٣٩

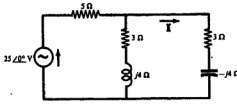
٣٢ - ١٢ إذا فرضنا في الشبكة الكهربائية الموضحة في الشكل ٤٠ - ١٢ أن مصدري الجهد يؤثر كل منهما في الدائرة على حدة . فإذا كان التياران الناتجان في المقاومة  $10\Omega$  متساويين . فاحس قيمة النسبة  $V_1/V_2$  ؟

الجواب :  $0.707 \angle 45^\circ$

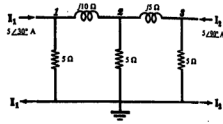


١٢-٢٣ أوجد في الشبكة الكهربائية الموضحة في الشكل ١٢ - ٤١ مركبات جهد المقدة  $V_2$  الناتجة عن كل مصدر من مصادر التيار  $I_1$  و  $I_2$  .  
الجواب :  $5.82 \angle -5.5^\circ V, 9.22 \angle 72.9^\circ V$

١٢-٢٤ في الشبكة الكهربائية الموضحة في الشكل ١٢ - ٤١ إذا تغير مصدر التيار  $I_2$  إلى  $3.16 \angle 191.6^\circ A$  فعبّر جهد المقدة  $V_2$  باستخدام نظرية التراكب .



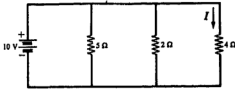
شكل ١٢ - ٤٢



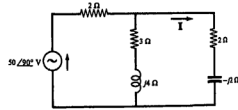
شكل ١٢ - ٤١

١٢-٢٥ في الشبكة الكهربائية الموضحة في الشكل ١٢-٢٣ أوجد التيار  $I$  المار في المقاومة  $4\Omega$  - 3 . طبق نظرية التبادل ثم قارن بين التيارين .  
الجواب :  $2.27 \angle 53.2^\circ A$

١٢-٢٦ في الشبكة الكهربائية الموضحة في الشكل ١٢-٢٣ أوجد التيار  $I$  المار في المقاومة  $2\Omega$  - 2 . طبق نظرية التبادل ثم قارن بين التيارين .  
الجواب :  $10.1 \angle 129.1^\circ A$



شكل ١٢ - ٤٤

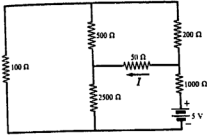


شكل ١٢ - ٤٣

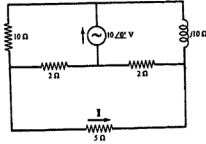
١٢-٢٧ في الشبكة الكهربائية الموضحة في الشكل ١٢ - ٤٤ أوجد التيار المار في المقاومة  $4\Omega$  طبق نظرية التبادل وقارن بين التيارين . ما هو التغير في التيار المار في الفرعين  $5\Omega$  و  $2\Omega$  ؟

الجواب :  $2.5 A$  ، بحد تطبيق نظرية التبادل نجد أن تيار الفرعين  $5\Omega$  و  $2\Omega$  يساوي صفراً . وكان التيار المار فيما قبل ذلك يساوي  $2A$  و  $5A$  على الترتيب .

٣٨-١٢ أوجد في الشبكة الكهربائية الموضحة في الشكل ١٢-٤٥ التيار المار في المقاومة  $5\Omega$  . طبق نظرية التبادل ثم قارن بين التيارين .  
الجواب :  $0.270 / 53.75^\circ \text{ A}$



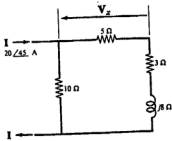
شكل ١٢ - ٤٦



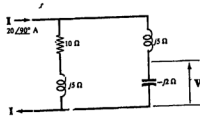
شكل ١٢ - ٤٥

٣٩-١٢ في الشبكة الكهربائية الموضحة في الشكل ١٢-٤٦ احسب التيار  $I$  المار في المقاومة  $50\Omega$  . حقق نظرية التبادل وذلك بتغيير موضع مصدر الجهد والتيار الناتج  $I$  .  
الجواب :  $1.32 \text{ m A}$

٤٠-١٢ في الدائرة الموضحة في الشكل ١٢-٤٧ عين الجهد  $V_x$  . ثم طبق نظرية التبادل وقارن بين الجهدين .  
الجواب :  $35 / -12.1^\circ \text{ V}$



شكل ١٢ - ٤٨

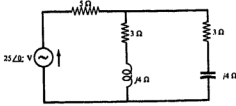


شكل ١٢ - ٤٧

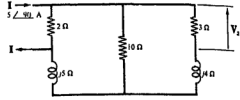
٤١-١٢ أوجد  $V_x$  في الدائرة الموضحة في الشكل ١٢-٤٨ ثم حقق نظرية التبادل .  
الجواب :  $50.8 / 21^\circ \text{ V}$

٤٢-١٢ أوجد الجهد  $V_x$  في الشبكة الكهربائية الموضحة في الشكل ١٢-٤٩ . غير موضع مصدر التيار والجهد  $V_x$  وحقق نظرية التبادل .

الجواب :  $2.53 / -162.3^\circ \text{ V}$



شكل ١٢ - ٥٠



شكل ١٢ - ٤٩

١١-٤٢ في الشبكة الكهربائية الموضحة في الشكل ١٢-٥٠ ابدل المقاومتين  $3 + j4\Omega$  و  $3 - j4\Omega$  المتصلتين على التوازي بمصدر جهد معادل . كاختبار أوجد التيار المار في المقاومة  $5\Omega$  قبل وبعد التحويل .

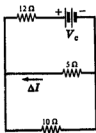
$$\text{الجواب : } V_p = 11.35 \angle 0^\circ \text{ V}, I = 2.73 \angle 0^\circ \text{ A}$$

١٠-٤٤ في الشبكة الكهربائية الموضحة في الشكل ١٢-٥٠ ابدل المقاومة  $5\Omega$  بمصدر جهد معادل ثم أوجد التيار الكلي الناتج عن المصدر  $25 \angle 0^\circ \text{ V}$  قبل وبعد التحويل .

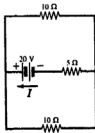
$$\text{الجواب : } V_p = 13.65 \angle 0^\circ \text{ V}, I = 2.73 \angle 0^\circ \text{ A}$$

١-٤٥ في الشبكة الكهربائية الموضحة في الشكل ١٢-٥١ ابدل كل مجموعة مقاومات متصلة على التوازي بمصدر جهد معادل ثم أحسب التيار الكلي الخارج من المصدر  $50 \text{ volt}$  .

$$\text{الجواب : } 11.35 \text{ V}, 4.55 \text{ V}, 3.41 \text{ A}$$

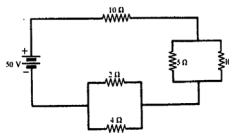


(ب)



(أ)

شكل ١٢ - ٥٢

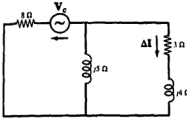


شكل ١٢ - ٥١

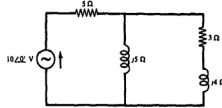
١٢-٤٩ في الشبكة الكهربائية الموضحة في الشكل ١٢-٥٢ (أ) يحتوي مصدر الجهد  $20 \text{ volt}$  على تيار  $I$  ، فإذا تغير التيار الخارج من المصدر إلى  $I'$  عندما تغيرت المقاومة  $10\Omega$  العلوية إلى  $12\Omega$  ، فأوجد التغير في التيار  $\Delta I$  ( $I' - I$ ) وذلك باستخدام مصدر الجهد المعادل كما هو موضح في الشكل ١٢-٥٢ (ب) .

$$\text{الجواب : } \Delta I = -0.087 \text{ A}$$

٤٧-١٢ إذا تغيرت المقاومة  $5\Omega$  في الشبكة الكهربائية الموضحة في الشكل ١٢-٥٣ إلى  $8\Omega$  فبين التغير  $\Delta I$  الناتج في التيار المار في المأوة  $3 + j4$  الجواب :  $0.271 / 159.5^\circ A$



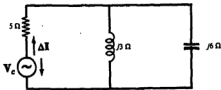
(ب)



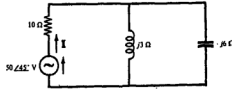
(أ)

شكل ١٢ - ٥٣

٤٨-١٢ يتدري المصدر  $50/45^\circ V$  في الشبكة الكهربائية الموضحة في الشكل ١٢-٥٤ على تيار  $I$  . فإذا تغيرت المقاومة  $10\Omega$  إلى  $5\Omega$  ، فأوجد  $V_c$  و  $\Delta I$  الموضحين في الشكل ١٢-٥٤ وذلك باستخدام نظرية التعادل . الجواب :  $21.45 / 166^\circ V, 2.74 / -36^\circ A$



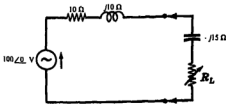
(ب)



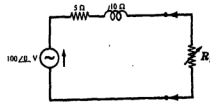
(أ)

شكل ١٢ - ٥٤

٤٩-١٢ في الدائرة الموضحة في الشكل ١٢-٥٥ هـ أوجد قيمة  $R_L$  التي ينتج عنها انتقال أكبر قدرة . احسب قيمة أكبر قدرة . الجواب :  $11.17\text{ ohms}, 309\text{ W}$



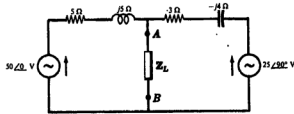
شكل ١٢ - ٥٦



شكل ١٢ - ٥٥

١٢-٥٠ إذا كان الحمل في الشبكة الكهربائية الموضحة في الشكل ١٢-٥٦ يتكون من مقاومة سمية ثابتة مقدارها  $15 \Omega$  ومقاومة متغيرة  $R_L$  . فأوجد ( أ ) : قيمة  $R_L$  التي ينتج عنها أكبر قدرة ، ( ب ) قيمة أكبر قدرة .  
الجواب : ( أ )  $R_L = 11.17 \Omega$  ( ب )  $236 W$

١٢-٥١ في الشبكة الكهربائية الموضحة في الشكل ١٢-٥٧ يؤثر مصدرا جهد على معاوقة الحمل المتصلة بالنهايتين  $AB$  . فإذا تغير كل من الممانعة ومقاومة الحمل - فما هي معاوقة الحمل  $Z_L$  التي تستقبل أكبر قدرة ؟  
الجواب :  $(4.23 + j1.15) \Omega, 5.68 W$



شكل ١٢ - ٥٧

## الفصل الثالث عشر

### الحث التبادلي

#### مقدمة :

تتكون الشبكات الكهربائية التي درست في الفصول السابقة من مسارات مغلقة أو شبكات فرعية وعقد . وبما أن كل مسارين مغلقين لهما عقد مشتركة وكل عقدتين مرتبطتين بعناصر خاملة أو فعالة ، فإنه يقال إن الشبكات الفرعية والمقد مرتبطة توصيلياً وقد أعطيت طرق لحل هذه الشبكات الكهربائية .

وفي هذا الفصل نحل نوعاً آخر من الارتباط يسمى الارتباط المغناطيسي . وعندما تأخذ في الاعتبار تفاعل مسارين مغلقين خلال مجال مغناطيسي بدلا من خلال عناصر مشتركة فإنه يقال إن المسارات المغلقة مرتبطة حثياً أو مغناطيسياً .

#### الحث الذاتي :

عندما يتغير التيار في دائرة كهربائية ، فإن الفيض المغناطيسي الممتد في الدائرة نفسها يتغير وينتج قوة دافعة كهربائية تأثيرية في الدائرة . وبفرض أن نفاذية الوسط ثابتة فإن القوة الدافعة الكهربائية التأثيرية تتناسب مع معدل تغير التيار ، أي أن

$$(1) \quad v_L = L \frac{di}{dt}$$

حيث يسمى ثابت التناسب  $L$  بالحث الذاتي للدائرة . ووحدة الحث الذاتي هي (H) henry وتعطى القوة الدافعة الكهربائية التأثيرية الناتجة في ملف عدد لفاته  $N$  بالمعادلة

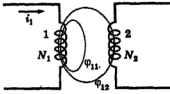
$$(2) \quad v_L = N \frac{d\phi}{dt}$$

حيث  $N d\phi$  هو الفيض الممتد في الدائرة . من المعادلتين (1) . (2) نحصل على

$$(3) \quad L \frac{di}{dt} = N \frac{d\phi}{dt}$$

$$(4) \quad L = N \frac{d\phi}{di}$$

ومن هنا نجد أن



شكل ١٣ - ١

### الحث المتبادلي :

اعتبر أن التيار  $i_1$  المار في الملف 1 في الشكل ١٣ - ١ يتغير مع الزمن . وعلى ذلك فإن التيار المتغير  $i_1$  ينتج عنه فيض مغناطيسي  $\Phi_{11}$  . جزء من هذا الفيض يمتد داخل الملف فقط ويسمى بالفيض المتسرب  $\Phi_{11}$  . أما الفيض الباقي  $\Phi_{21}$  فهو يمتد في الملف 2 كما هو موضح في الرسم . ويعطى الجهد التأثيري في الملف 2 بقانون فاراداي :

$$(٣) \quad v_2 = N_2 \frac{d\Phi_{12}}{dt}$$

بما أن  $\Phi_{12}$  تعتمد على التيار  $i_1$  فإن  $v_2$  يتناسب مع معدل تغير  $i_1$  ، أو

$$(٤) \quad v_2 = M \frac{di_1}{dt}$$

حيث يسمى ثابت التناسب  $M$  بالحث المتبادلي بين الملفين . ووحدة الحث المتبادلي هي نفس وحدة الحث الذاتي (H) . من المعادلتين (٣) ، (٤) نجد أن

$$v_2 = N_2 \frac{d\Phi_{12}}{dt} = M \frac{di_1}{dt}$$

$$(٥) \quad M = N_2 \frac{d\Phi_{12}}{di_1}$$

وفي حالة لف مجموعة من الملفات حول قلب حديدي واحد فإن العلاقة بين الفيض والتيار تكون علاقة غير خطية ويعطى الحث المتبادلي في هذه الحالة بالمعادلة (٥) . أما إذا كان له وسط الممتد في الملفات هو الهواء فإن العلاقة بين الفيض والتيار تكون علاقة خطية ويعطى الحث المتبادلي في هذه الحالة بالمعادلة

$$(٦) \quad M = \frac{N_2 \Phi_{12}}{i_1}$$

والرابط المتبادلي ذو جانبين ، أي أننا نحصل على نتائج مشابهة إذا مر تيار  $i_1$  يتغير مع الزمن في الملف 2 الموضح في الشكل ١٣ - ١ في هذه الحالة يكون الفيض الممتد هو  $\Phi_{21}$  و  $\Phi_{22}$  ويعطى الجهد التأثيري في الملف 1 بالمعادلة  $v_1 = M(di_2/dt)$  . (٦) على الصورة التالية على الترتيب .

$$(٧) \quad M = \frac{N_1 \Phi_{21}}{i_2} \quad M = \frac{N_1 d\Phi_{21}}{di_2}$$

### معامل الربط $k$ :

يعتمد الفيض المتدفق في الشكل ١٣ - ١ على المسافة الفاصلة بين محورَي الملفين وعلى اتجاهما وكذلك على نفاذية الوسط . ويسمى جزء الفيض الذي يمتد في الملفات من الفيض الكلي بمعامل الربط  $k$  . أي أن

$$(٨) \quad k = \frac{\Phi_{12}}{\Phi_1} = \frac{\Phi_{21}}{\Phi_2}$$

حيث  $\Phi_1 \leq \Phi_{12}$  و  $\Phi_2 \leq \Phi_{21}$  ، وأكبر قيمة لـ  $k$  تسارى الوحدة .

ويمكن الحصول على تعبير لـ  $M$  بدلالة الحثين الذاتيَّين  $L_1$  و  $L_2$  كما يلي :

بفرض المعادلة (٦) في المعادلة (٨) نحصل على

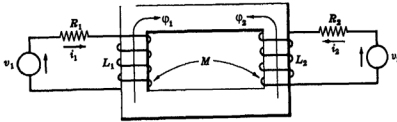
$$(٩) \quad M^2 = \left( \frac{N_2 \Phi_{12}}{i_1} \right) \left( \frac{N_1 \Phi_{21}}{i_2} \right) = \left( \frac{N_2 k \Phi_1}{i_1} \right) \left( \frac{N_1 k \Phi_2}{i_2} \right) = k^2 \left( \frac{N_1 \Phi_1}{i_1} \right) \left( \frac{N_2 \Phi_2}{i_2} \right)$$

بالتعويض عن  $N_1 \Phi_1 / i_1 = L_1$  و  $N_2 \Phi_2 / i_2 = L_2$  في (٩) نحصل على

$$M = k \sqrt{L_1 L_2} \quad \text{و} \quad M^2 = k^2 L_1 L_2$$

### تحليل الدوائر المترابطة :

لكي نوضح اتجاه الف وتأثيره على الجهود الحثية المتبادلية نرى في شكل ١٣ - ٢ ملفين ملفوفين على قلب مغناطيسي .



شكل ١٣ - ٢

حيث أن كل دائرة تحتوي على مصدر للجهد فإننا نختار تيارات الشبكة  $i_1$  و  $i_2$  في نفس اتجاه المصادر ثم نكتب معادلات الشبكة باستخدام قانون كيرشوف للجهد .

$$(١٠) \quad \begin{aligned} R_1 i_1 + L_1 \frac{di_1}{dt} \pm M \frac{di_2}{dt} &= v_1 \\ R_2 i_2 + L_2 \frac{di_2}{dt} \pm M \frac{di_1}{dt} &= v_2 \end{aligned}$$

وتعتمد قطبية جهود الحث المتبادل على اتجاه الف . ولتعيين الإشارة الصحيحة في المعادلة (١٠) نطبق قاعدة اليد اليمنى على كل ملف ، مع جعل الأصابع تلف في اتجاه التيار المقروء . وفي هذه الحالة يشير إبهام اليد اليمنى إلى اتجاه الفيض . وبالتالي يكون



الاتجاه الموجب للكيتين  $\Phi_1$  و  $\Phi_2$  كما هو مبين بالشكل . إذا كان الفيضان  $\Phi_1$  و  $\Phi_2$  الناتجان عن اتجاهات التيار الموجبة المفروضة يساعد كل منهما الآخر ، فإن إشارات الجهود الحثية المتبادلية تكون مثل إشارات الجهود الحثية الذاتية . وبالإشارة إلى الشكل ١٣ - ٢ نلاحظ أن اتجاه كل من  $\Phi_1$  و  $\Phi_2$  يماثل كل منهما الآخر . وبإعادة كتابة المعادلة (١٠) بالإشارات الصحيحة نحصل على .

$$\begin{aligned} R_1 i_1 + L_1 \frac{di_1}{dt} - M \frac{di_2}{dt} &= v_1 \\ R_2 i_2 + L_2 \frac{di_2}{dt} - M \frac{di_1}{dt} &= v_2 \end{aligned} \quad (١١)$$

وبفرض مصادر جيبية للتيار فإن مجموعة المعادلة (١١) في الحالة الجيبية المستقرة تصبح

$$\begin{aligned} (R_1 + j\omega L_1)I_1 - j\omega MI_2 &= V_1 \\ -j\omega MI_1 + (R_2 + j\omega L_2)I_2 &= V_2 \end{aligned} \quad (١٢)$$

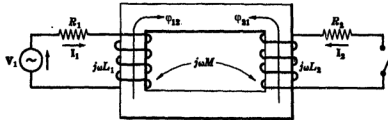
وبالرجوع إلى المجموعة العامة لمعادلتى تيار الشبكة الآتيتين ( الفصل التاسع ) نحصل على

$$\begin{aligned} Z_{11}I_1 \pm Z_{12}I_2 &= V_1 \\ \pm Z_{21}I_1 + Z_{22}I_2 &= V_2 \end{aligned} \quad (١٣)$$

ولقد وجدنا أن  $Z_{21} = Z_{12}$  هما المعاومتان المشتركتان لتيارى الشبكة  $I_1$  و  $I_2$  . والشبكات الفرعية مرتبطة توصيلياً وذلك لمروء التيارات في فرع مشترك . والآن لدينا للدائرة الموضحة في الشكل ١٣ - ٢ مجموعة معادلات متشابهة للمعادلات (١٣) ، وفي الأولى  $j\omega M$  تقابل  $Z_{21}$  و  $Z_{12}$  الموجودين في المعادلتين (١٣) . والشبكات الفرعية غير مرتبطة توصيلياً وذلك لأن التيارين ليس لهما معاوقات مشتركة . وعلى ذلك فالمعادلات تدل على عدم وجود ارتباط وفي هذه الحالات فإن الارتباط يسمى بالارتباط التبادلي أو الارتباط المغناطيسى .

### التيار الطبيعي :

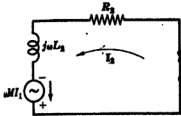
لقد درسنا في الفقرة السابقة دائرة تتكون من مسارين مغلقين مرتبطين تبادلياً يحتوي كل منهما على مصدر للجهد وذلك بعد فرض الاتجاهات الصحيحة للتيارات . ويلزمنا في نفس الوقت دراسة التيار الطبيعي الناتج في مسار مغلق لا يحتوي على جهود دافعة أو محركة . ويتحدد اتجاه هذا التيار بتطبيق قانون لينز .



شكل ١٣ - ٢

اعتبر الدائرة الموضحة في الشكل ١٣ - ٣ والتي فيها الشبكة الفرعية ١ هي فقط التي تحتوي على جهد محرك . نختار التيار  $I_1$  بحيث يتفق اتجاهه مع المصدر  $V_1$  ونطبق قاعدة اليد اليمنى لتعيين اتجاه الفيض  $\Phi_{12}$  . والآن فإن قانون لينز ينص على أن تطبيق الجهد التأثيري تكون بحيث إذا أكلنا الدائرة فإن التيار يمر خلال الملف في اتجاه يتحدد بحيث يكون الفيض الناتج معاكساً للفيض الأصل الناجم عن التيار  $I_1$  . وعلى هذا فعند إغلاق المفتاح في دائرة الشكل ١٣ - ٣ يكون اتجاه الفيض  $\Phi_{21}$  كما هو مبين في الشكل وذلك تبعاً لقانون لينز . والآن بتطبيق قاعدة اليد اليمنى مع جعل الإبهام يشير إلى اتجاه  $\Phi_{21}$  فإن الأصابع سوف تدور حول الملف 2 في اتجاه التيار الطبيعي . وتكون إذن معادلات تيار الشبكة هي

$$\begin{aligned} (R_1 + j\omega L_1)I_1 - j\omega M I_2 &= V_1 \\ -j\omega M I_1 + (R_2 + j\omega L_2)I_2 &= 0 \end{aligned} \quad (١٤)$$



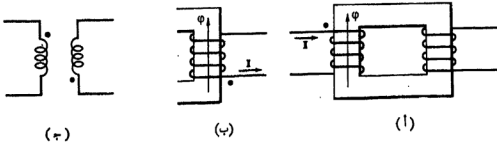
شكل ١٣ - ٤

وبما أن الشبكة الفرعية 2 لا تحتوي على جهد وبالتالي فإن التيار الطبيعي  $I_2$  ينتج عن الجهد التأثيري المتبادل ،  $(R_2 + j\omega L_2)$  ،  $I_2 = (j\omega M I_1)$  . وفي الشكل ١٣ - ٤ رسم هذا الجهد كجهد مصدر جهد . واتجاه هذا المصدر يجب أن يكون كما هو موضح بالرسم وذلك مسع فرض اتجاه موجب لتيار  $I_2$  . وعلى هذا « فإن القطبية اللحظية للجهد التأثيري المتبادل في الملف الثاني تكون موجبة عند الطرف الذي يترك عنده التيار الطبيعي الملف » .

### قاعدة النقطة للملفات المترابطة :

في حين أنه يمكن تمين القطبية النسبية للجهود التأثيرية المتبادلية برسم قلب الملفات الذي يوضح اتجاه الف ، فإن هذه الطريقة غير عملية . ولتبسيط الرسم التوضيحي الذي يمثل الدوائر المترابطة ، فإننا نميز رسم الملفات بنقطة كما هو موضح في الشكل ١٣ - ٥ (ج) . وذلك بوضع نقطة عند الأطراف التي لها نفس القطبية اللحظية على أساس التأثير المتبادل فقط . ولتطبيق نظام النقطة فإننا يجب أن نعرف عند أي طرف من الملف يجب وضع النقطة . وعلاوة على ذلك فإننا يجب أن نعين الإشارة اللازمة للجهد التأثيري المتبادل عند كتابة معادلات تيار الشبكة .

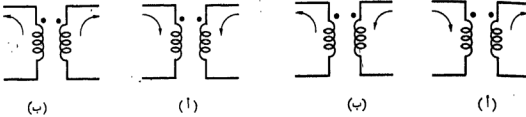
ولوضع النقطة على زوج من الملفات المترابطة ، فإننا نختار اتجاه تيار في ملف من الملفين ونضع نقطة عن الطرف الذي يدخل عنده التيار إلى الملف . ويكون الطرف ذو النقطة موجباً لحظياً بالنسبة إلى الطرف الآخر للملف . نطبق قاعدة اليد اليمنى لإيجاد الفيض المقابل كما هو موضح في الشكل ١٣ - ٥ (أ) . والآن فإنه تبعاً لقانون لينز فإن الفيض في الملف الثاني يجب أن يعاكس الفيض الأصل . انظر شكل ١٣ - ٥ (ب) .



شكل ١٣ - ٥

نستخدم قاعدة اليد اليمنى لإيجاد اتجاه التيار الطبيعي ، وحيث أن الجهد التأثيري المتبادل يكون موجبا عند الطرف الذي يترك منه التيار الطبيعي المثل ، فإننا نضع نقطة عند هذا الطرف كما هو موضح في الشكل ١٣- هـ (ب) . وباعطاء القطبية الصحيحة للملفات بواسطة النقط فإننا نحتاج إلى رسم قلب الملفات وبذلك يمكن رسم الملفات المترابطة كما في الشكل ١٣- هـ (ب) .

لتعيين إشارة الجهد التأثيري المتبادل فإننا نستخدم قاعدة النقطة التي تنص على أن :  $(\pm)$  عندما تدخل أو تخرج التيارات المفروضة إلى زوج من الملفات المترابطة عند الطرف الذي عنده النقطة فإن إشارات الحدود  $M$  تكون نفسها إشارات الحدود  $L$  ؛ (٢) إذا دخل أحد التيارات من الطرف الذي عنده النقطة بينما خرج الثاني من الطرف الذي عنده النقطة ؛ فإن إشارات الحدود  $M$  تكون معاكسة لإشارات الحدود  $L$  .



شكل ١٣- ٧

شكل ١٣- ٦

يوضح الشكل ١٣- ٦ حالتين فيما إشارات الحدود  $M$  و  $L$  متعاكسة . ويوضح الشكل ١٣- ٧ حالتين فيما الحدود  $L$  و  $M$  لها نفس الإشارات .

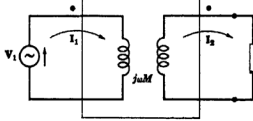
ولزيادة توضيح القطبية النسبية المتصلة بدائريتين مرتبطتين تبادلنا نمبر الدائرة الموصفة في الشكل ١٣- ٨ وفيها تم وضع النقط واختيار التيارات  $I_1$  و  $I_2$  كما هو موضح . وبما أن أحد التيارات يدخل عند الطرف الذي عنده النقطة ، فإن إشارة الحدود  $M$  تكون معاكسة لإشارة الحدود  $L$  . وتكون معادلات تيار الشبكة في الصيغة المصفوية لهذه الدائرة هي

$$(١٥) \begin{bmatrix} Z_{11} & -j\omega M \\ -j\omega M & Z_{22} \end{bmatrix} \begin{bmatrix} I_1 \\ I_2 \end{bmatrix} = \begin{bmatrix} V_1 \\ 0 \end{bmatrix}$$

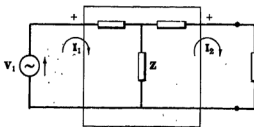
نعتبر الآن شبيكتين فرعيتين بسيطتين مترابطتين توصيليا كما هو موضح في الشكل ١٣- ٩ وفيها تم تعيين الأطراف الموجبة . إن معادلات تيار الشبكة في الصيغة المصفوية هي

$$(١٦) \begin{bmatrix} Z_{11} & -Z \\ -Z & Z_{22} \end{bmatrix} \begin{bmatrix} I_1 \\ I_2 \end{bmatrix} = \begin{bmatrix} V_1 \\ 0 \end{bmatrix}$$

وتظهر المعادلة المشتركة  $Z$  لتياري الشبكة بإشارة سالبة وذلك لأن التيارين  $I_1$  و  $I_2$  يمران في اتجاهين متعاكسين في الفرع الذي يحتوي على  $Z$  .



شكل ١٣- ٨



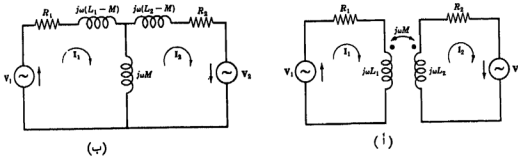
شكل ١٣- ٩

وعند تقطية الصناديق الموضحة في الشكلين ١٣-٨ ، ١٣-٩ فإن الدالرتين تظهران متطابقتان فيما عدا الترميز النقطي في إحدى الدالرتين والترميز بالإشارات في الأخرى . بمقارنة (١٥) و (١٦) فإن الإشارة السالبة للحد  $j\omega M$  تقابل الإشارة السالبة للمعاوقة  $Z$  .

### الدوائر المكافئة المرتبطة توصيلياً :

يمكن التحليل لإبدال الدائرة المترابطة بتدائياً بدائرة مكافئة مترابطة توصيلياً . نمبر الدائرة الموضحة في الشكل ١٣-١٠ (أ) ونختار اتجاهي التيارين  $I_1$  و  $I_2$  كما هو موضح في الشكل . فتكون معادلات تيار الشبكة في الصيغة المصفوفية هي

$$(١٧) \quad \begin{bmatrix} R_1 + j\omega L_1 & -j\omega M \\ -j\omega M & R_2 + j\omega L_2 \end{bmatrix} \begin{bmatrix} I_1 \\ I_2 \end{bmatrix} = \begin{bmatrix} V_1 \\ V_2 \end{bmatrix}$$



شكل ١٣-١٠

نفرس اتجاهات التيار في الشكل ١٣-١٠ (ب) هي نفسها في الشكل ١٣-١٠ (أ) . والتياران  $I_1$  و  $I_2$  يمران في الفرع المشترك في اتجاهين متعاكسين ، والمعاوقة المطلوبة هنا هي  $j\omega M$  . نجد في المعادلة (١٧) أن  $Z_{11} = R_1 + j\omega L_1$  . وبما أن تيار الشبكة  $I_1$  يمر في الفرع المشترك الذي معاوقته  $j\omega M$  فإننا يجب أن ندخل  $(-j\omega M)$  في المسار المغلق ونكتب

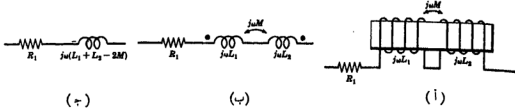
$$Z_{11} = R_1 + j\omega L_1 - j\omega M + j\omega M = R_1 + j\omega L_1$$

وبالمثل بالنسبة للمسار المغلق الثاني

$$Z_{22} = R_2 + j\omega L_2 - j\omega M + j\omega M = R_2 + j\omega L_2$$

وإذا كتبنا معادلات تيار الشبكة للدائرة الموضحة في الشكل ١٣-١٠ (ب) فإننا نحصل على مجموعة المعادلات (١٧) . وعلى ذلك فإن الدائرة المترابطة توصيلياً والموضحة في الشكل ١٣-١٠ (ب) تكافئ الدائرة المترابطة بتدائياً والموضحة في الشكل ١٣-١٠ (أ) .

والطريقة السابقة في التحليل لا تعطينا دائماً دائرة مكافئة يمكن تحقيقها فيزيائياً - وهذا صحيح عندما  $M > L_1$  أو  $M > L_2$  . لإبدال المثلثين المرتبطين بتدائياً والمتصلين على التوالي المبينين في الشكل ١٣-١١ (أ) فإننا نتبع الطريقة التالية . نطبق أولاً الطرق السابقة لنحصل على الترميز النقطي الموضح في الشكل ١٣-١١ (ب) نستبدل الآن الترميز النقطي المكافئ بدائرة توصيلية مكافئة كما في الشكل ١٣-١١ (ج) .



شكل ١١ - ١٣

ولتحليل الدائرة الموضحة في الشكل ١٣ - ١١ (أ) فإنه يلزمنا اعتبار فيض مغناطيسي لتحديد إشارات الجهود التأثيرية المتبادلية . أما في دائرة الشكل ١٣ - ١١ (ب) فإنه لا يلزمنا اعتبار أي فيض ولكن يلزمنا قاعدة النقطة . ويمكن كتابة المعادلات اللازمة لدائرة الشكل ١٣ - ١١ (ج) بالطريقة المعتادة بصرف النظر عن الفيض أو النقطة أو التأثير المتبادل . والدوائر الثلاث لها جميعاً نفس المعاوقة المركبة

$$Z = R_1 + j\omega(L_1 + L_2 - 2M)$$

### مسائل محلولة

١ - ١٣ ملف يتكون من ملفين مترابطين بحره تيار مستمر مقداره  $5 \text{ A}$  ، فإذا كان الفيض  $\Phi_{12}$  و  $\Phi_{21}$  المتقابلين هما  $0.2 \text{ mWb}$  و  $0.4 \text{ mWb}$  على الترتيب ، وكان  $N_2 = 1500$  و  $N_1 = 500$  ، فأوجد  $L_2$  و  $L_1$  و  $M$  و  $k$  .

الفيض الكلي هو :  $\Phi_i = \Phi_{11} + \Phi_{12} = 6 \times 10^{-4} \text{ webers}$  . إذن الحث الذاتي للملف الأول هو

$$L_1 = N_1 \Phi_i / I_1 = 500(6 \times 10^{-4}) / 5 = 0.06 \text{ H}$$

ومعامل الربط هو :  $k = \Phi_{12} / \Phi_i = 0.4 / 0.6 = 0.667$

والحث المتبادل هو :  $M = N_2 \Phi_{12} / I_1 = 1500(4 \times 10^{-4}) / 5 = 0.12 \text{ H}$

وبما أن  $M = k\sqrt{L_1 L_2}$  ،  $0.12 = 0.667\sqrt{0.06 L_2}$  ، فإن  $L_2 = 0.539 \text{ H}$  ،

١٣ - ٢ ملفان مترابطان هما  $L_1 = 0.8 \text{ H}$  و  $L_2 = 0.2 \text{ H}$  ومعامل الربط هما  $k = 0.9$  . أوجد الحث المتبادل  $M$  والنسبة بين عدد لفاتهما  $N_1 / N_2$  .

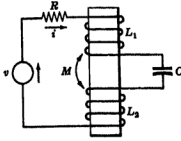
الحث المتبادل هو :  $M = k\sqrt{L_1 L_2} = 0.9\sqrt{0.8(0.2)} = 0.36 \text{ H}$

وباستخدام المعادلة  $M = N_2 \Phi_{12} / I_1$  ، والتعويض فيها عن  $\Phi_{12}$  بـ  $k\Phi_{11}$  ثم ضربها في  $N_1 / N_2$  نحصل على ،

$$N_1 / N_2 = k L_1 / M = 0.9(0.8) / 0.36 = 2 \quad \text{و} \quad M = k \frac{N_2}{N_1} \left( \frac{N_1 \Phi_{11}}{I_1} \right) \cdot k \frac{N_2}{N_1} L_1$$

١٣ - ٣ ملفان مترابطان جهما الذاتي على الترتيب هو  $L_1 = 0.5 \text{ H}$  و  $L_2 = 0.20 \text{ H}$  ومعامل الربط هما هو  $k = 0.5$  ، وعدد لفات الملف الثاني 1000 لفة . فإذا كان التيار المار في الملف الأول هو  $i_1 = 5 \sin 400t \text{ amperes}$  ، فمِن الجهد في الملف الثاني وكذلك أكبر قيمة للفيض المعطى بالملف الأول .

الجهد المتبادل هو  $M = k\sqrt{L_1 L_2} = 0.5\sqrt{0.05(0.20)} = 0.05 \text{ H}$ : إذن الجهد في الملف الثاني يعطى بالمعادلة  
 $N_2(d\phi_{12}/dt)$  فإن  $N_2(d\phi_{12}/dt)$  بالمعادلة أيضاً فيسمى  $M(di_1/dt) = 0.05 \frac{d}{dt}(5 \sin 400t) = 100 \cos 400t$   
 $100 \cos 400t \approx 1000(d\phi_{12}/dt)$   
 $\phi_{12} = 10^{-3} \int 100 \cos 400t dt = 0.25 \times 10^{-3} \sin 400t \text{ Wb}$   
 وأكبر قيمة للفيض  $\phi_{12}$  هي  $0.25 \text{ m Wb}$ ، إذن أكبر قيمة للفيض  $\phi_1$  هي :



شكل ١٣ - ١٢

$$\phi_{12 \max} = \frac{\phi_{12 \max}}{0.5} = \frac{0.25 \times 10^{-3}}{0.5} = 0.5 \text{ mWb}$$

١٣ - ١٢ طبق قانون كيرشوف الجهد على الدائرة المترابطة الموضحة في الشكل ١٣ - ١٢ ثم اكتب المعادلة في الصيغة الحظية .  
 ملاحظة اتجاه لف الملفات يتضح أن إشارات حدود  $M$  تماكس إشارات حدود  $L$  . ويلاحظ أيضاً أن الجهد التآثري المتبادل يظهر في كل ملف نتيجة لتيار  $i$  المار في الملف الآخر .

$$Ri + L_1 \frac{di}{dt} - M \frac{di}{dt} + \frac{1}{C} \int i dt + L_2 \frac{di}{dt} - M \frac{di}{dt} = v$$

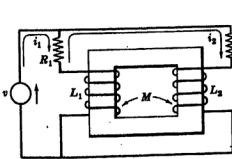
$$Ri + (L_1 + L_2 - 2M) \frac{di}{dt} + \frac{1}{C} \int i dt = v \quad \text{أو}$$

١٣ - ١٢ اكتب معادلات تيار الشبكة في الصيغة الحظية للدائرة المترابطة الموضحة في الشكل ١٣ - ١٢ .

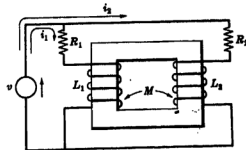
نختار تيار الشبكة  $i_1$  و  $i_2$  كما هو موضح بالرسم ونطبق قاعدة اليد اليمنى على كل ملف . حيث أن الفيضين يساعد كل منهما الآخر فإن إشارة حدود  $M$  هي نفسها إشارة حدود  $L$  . إذن

$$R_1 i_1 + L_1 \frac{di_1}{dt} + M \frac{di_2}{dt} = v$$

$$R_2 i_2 + L_2 \frac{di_2}{dt} + M \frac{di_1}{dt} = v$$



شكل ١٣ - ١٤



شكل ١٣ - ١٣

١٣- ٩ كرر المسألة ١٣- ٥ مع أخذ تيار الشبكة  $i_2$  كما هو موضح في الشكل ١٣- ١٤ .

بتطبيق قانون كيرشوف للجهود على المسار المغلق لتيار  $i_2$  فإن الجهود التأثيرية تكون موجبة . إذن

$$R_1(i_2 - i_1) + L_1 \frac{di_2}{dt}(i_2 - i_1) + M \frac{di_2}{dt} = v$$

$$R_1(i_2 - i_1) + R_2 i_2 + L_2 \frac{di_2}{dt} - M \frac{d}{dt}(i_2 - i_1) + L_1 \frac{d}{dt}(i_2 - i_1) - M \frac{di_2}{dt} = 0$$

١٣- ٧ ملفان متصلان على التوالي لهما حث مكافئ  $L_A$  . عندما كان التوصيل يقوى كل منهما الآخر وحث مكافئ  $L_B$  . عندما كان التوصيل يماكس كل منهما الآخر . أوجد الحث المتبادل  $M$  بدلالة  $L_A$  و  $L_B$  .

عندما كان التوصيل يقوى كل منهما الآخر فإن الحث المكافئ يعطى بالمعادلة

$$(١) \quad L_A = L_1 + L_2 + 2M$$

وعندما كان التوصيل يماكس كل منهما الآخر فأننا نحصل على

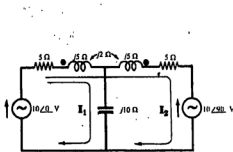
$$(٢) \quad L_B = L_1 + L_2 - 2M$$

ب طرح (٢) من (١) نجد أن

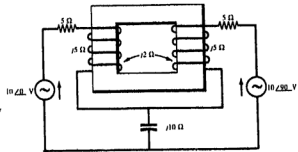
$$M = \frac{1}{2}(L_A - L_B) \quad \text{و} \quad L_A \cdots L_B = 4M$$

يشير هذا الحل إلى طريقة عملية لتعيين  $M$  وذلك بتوصيل الملفين بالطريقتين السابقتين وتعيين الحث المكافئ لهما عن طريق قنطرة تيار متردد . ويكون الحث الناتج هو ربع الفرق بين الحثين المكافئين .

١٣- ٨ أوجد الدائرة المكافئة بالترميز التقطعي للدائرة إمترابطة الموضحة في الشكل ١٣- ١٥ . أوجد الجهد على المقاومة  $10 \Omega$  - / وذلك باستخدام الدائرة المكافئة .



شكل ١٣- ١٦



شكل ١٣- ١٥

لوضع النقط على الدائرة نعتبر فقط الملفين واتجاه لهما . يتحرك التيار في أعلى الملف الذي على اليسار وعلى ذلك فإننا نضع نقطة عند هذا الطرف . ويكون اتجاه الفيض المقابل لهذا التيار في الجهة اليسرى من القلب إلى أسفل . من قانون لينز نجد أن اتجاه الفيض في الملف الذي على اليمين يجب أن يكون إلى أعلى . وتغطي قاعدة اليد اليمنى اتجاه التيار الطبيعي . وهذا التيار يترك الملف عند الطرف العلوي الذي يجب في هذه الحالة ترميزه بنقطة كما هو موضح في الشكل

وبالاختيار الموضوع لتيارين  $I_1$  و  $I_2$  فإن معادلات تيار الشبكة في الصيغة المصفوية تكون

$$\begin{bmatrix} 5 - j5 & 5 + j8 \\ 5 + j8 & 10 + j6 \end{bmatrix} \begin{bmatrix} I_1 \\ I_2 \end{bmatrix} = \begin{bmatrix} 10 \\ 10 - j10 \end{bmatrix}$$

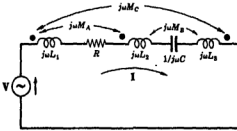
ومنها نجد أن

$$I_1 = \frac{\begin{vmatrix} 10 & 5 + j8 \\ 10 - j10 & 10 + j6 \end{vmatrix}}{\Delta_z} = 1.015 \angle 113.95^\circ \text{ A}$$

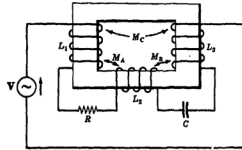
ويكون الجهد على الممانعة  $10 \Omega$  هو

$$V = I_1(-j10) = 10.15 \angle 23.95^\circ \text{ V}$$

١٣-٩ أوجد الدائرة المكافئة في الترميز النقطي للملفات المترابطة والموضحة في الشكل ١٣-١٧ ثم اكتب المعادلات المناظرة.



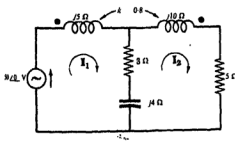
شكل ١٣-١٨



شكل ١٣-١٧

نضع النقط باستخدام طرق المسألة ١٣-٨ فنحصل على الدائرة الموضحة في الشكل ١٣-١٨ . ونطبق قانون كيرشوف للجهد على المسار المغلق الوحيد نجد أن

$$\left[ R + \frac{1}{j\omega C} + j\omega(L_1 + L_2 + L_3 + 2M_A - 2M_B - 2M_C) \right] I = V$$



شكل ١٣-١٩

١٣-١٠ في الشبكة الكهربائية المترابطة الموضحة في الشكل ١٣-١٩

أوجد الجهد على المقاومة  $5 \Omega$  وذلك بالنقط المسماة

في الرسم . ثم اكتب تعبيره بلف واحد وكرر المسألة .

نحسب الحث المتبادل من العلاقة

$$jX_m = jk\sqrt{X_{L1}X_{L2}} = j0.8\sqrt{5(10)} = j5.66\Omega$$

ثم نوجد تيار الشبكة  $I_2$  .

$$I_2 = \frac{\begin{vmatrix} 3 + j1 & 50 \\ -8 - j1.66 & 0 \end{vmatrix}}{\begin{vmatrix} 3 + j1 & -8 - j1.66 \\ -8 - j1.66 & 8 + j6 \end{vmatrix}} = \frac{171 \angle 29^\circ}{19.9 \angle 53.8^\circ} = 8.60 \angle 24.8^\circ \text{ A}$$



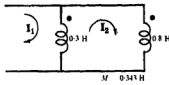
ويكون الجهد عبر المقاومة  $5 \Omega$  هو  $V_5 = I_2(5) = 43 \angle 24.8^\circ \text{ V}$

بتغيير قطبيه ملف واحد تتغير مصفوفه المعاوقة وينتج لدينا قيمة جديدة لتيار الشبكة  $I_2$ .

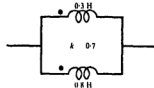
$$I_2 = \frac{\begin{vmatrix} 3 + j1 & 50 \\ -3 + j9.66 & 0 \end{vmatrix}}{\begin{vmatrix} 3 + j1 & -3 + j9.66 \\ -3 + j9.66 & 8 + j6 \end{vmatrix}} = \frac{505 \angle 72.7^\circ}{132 \angle 39.4^\circ} = 3.83 \angle 112.1^\circ \text{ A}$$

والجهد على المقاومة  $5 \Omega$  هو  $V_5 = I_2(5) = 19.15 \angle 112.1^\circ \text{ V}$

١١ - ١٢ أوجد الحث المكافئ للملفين  $L_1$  و  $L_2$  المتصلين على التوازي والموضحين في الشكل ١٣ - ٢٠ (أ)



(ب)



(أ)

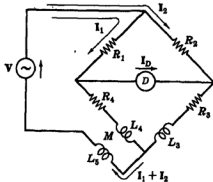
شكل ١٣ - ٢٠

الحث المتبادل هو  $M = k\sqrt{L_1 L_2} = 0.7\sqrt{0.3(0.8)} = 0.341 \text{ H}$  . اوضع الدائرة كما في الشكل ١٣ - ٢٠ (ب) وادخال تيارات الشبكة تجد أن

$$[Z] = \begin{bmatrix} j\omega 0.3 & j\omega 0.043 \\ j\omega 0.043 & j\omega 0.414 \end{bmatrix}$$

$$Z_{\text{input}} = \frac{\Delta_2}{\Delta_{11}} = \frac{j\omega 0.3(j\omega 0.414)}{j\omega 0.414} = j\omega 0.296 \Omega$$

والحث المكافئ للملفين المترابطين هو  $0.296 \text{ H}$ .



شكل ١٣ - ٢١

١٢ - ١٣ تستخدم قنطرة هيفيسيد في تعيين الحث المتبادل بين ملفين .

أوجد  $M$  بدلالة التوازي الأخرى للقنطرة عندما يكون تيار  $I_D$  يساوى صفراً .

نختار تيارى الشبكة  $I_1$  و  $I_2$  كما هو موضح في الرسم . إذا كان  $I_D = 0$  فإن الجهد على المقاومتين  $R_2$  و  $R_1$  لا بد أن يكون متساوياً :

$$(1) \quad I_1 R_1 = I_2 R_2$$

وبالمثل فإن الجهد على كل من  $(R_4 + j\omega L_4)$  و  $(R_3 + j\omega L_3)$  يكون أيضاً متساوياً . وعلى ذلك فإنه يظهر جهد تأثيرى متبادل عند  $L_4$  ويكون التيار في الملف الآخر  $L_5$  مساوياً للمجموع  $I_1 + I_2$ .

(٢)

$$I_1(R_4 + j\omega L_4) + j\omega M(I_1 + I_2) = I_2(R_3 + j\omega L_3)$$

بالتدوين في (٢) بالمعادلة  $I_2 = (R_1/R_2)I_1$  نجد أن

(٣)

$$I_1(R_4 + j\omega L_4 + j\omega M) + (R_1/R_2)I_1(j\omega M) = (R_1/R_2)I_1(R_3 + j\omega L_3)$$

وبمساواة الأجزاء الحقيقية والتخيلية في المعادلة (٣) نجد أن

$$M = \frac{R_1 L_3 - R_2 L_4}{R_1 + R_2} \quad j\omega \left( L_4 + M + \frac{R_1}{R_2} M \right) = j\omega \frac{R_1}{R_2} L_3 \quad \text{و} \quad R_4 R_2 = R_1 R_3$$

١٣-١ أبداً الشبكة الكهربائية المترابطة والموضحة في الشكل

١٣-٢ بدائرة ثقتين المكافئة بين الطرفين AB.

جهت ثقتين المكافئ  $V'$  هوجهه الدائرة المفتوحة

بين الطرفين AB. بانتيسار تيارى الشبكة  $I_1$  و  $I_2$

كا هو موضع في الشكل والحصول على  $I_2$  نجد أن

$$I_2 = \begin{vmatrix} 5 + j5 & 10 \\ -2 + j8 & 0 \end{vmatrix} / \begin{vmatrix} 5 + j5 & -2 + j8 \\ -2 + j8 & 6 + j5 \end{vmatrix}$$

$$= \frac{20 - j30}{10 + j67} = 0.533 \angle 137.8^\circ \text{ A}$$

والآن  $V' = V_{AB} = I_2(4) = 2.13 \angle 137.8^\circ \text{ V}$

ولتعيين معاوقة ثقتين المكافئة  $Z'$  اعتبر تيار الشبكة

الثالث  $I_3$  ثم أحسب المعاوقة  $Z_{\text{input}}$  بين الطرفين AB

وذلك مع وضع جميع المصادر الداخلية مساوية للصفر.

$$Z' = Z_{\text{input}} = \frac{\Delta_x}{\Delta_{88}} = \frac{\begin{vmatrix} 5 + j5 & -2 + j8 & 0 \\ -2 + j8 & 6 + j5 & -4 \\ 0 & -4 & 8 \end{vmatrix}}{\begin{vmatrix} 5 + j5 & -2 + j8 \\ -2 + j8 & 6 + j5 \end{vmatrix}}$$

$$\frac{j456}{10 - j67} = 6.74 \angle 8.5^\circ \Omega$$

والشكل ١٣-٢٣ يوضع دائرة ثقتين المكافئة.

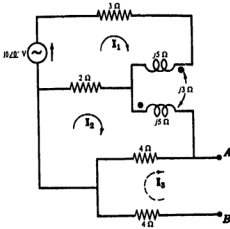
١٣-١٤ في دائرة الماديين المغلقين المرتبطين والموضحة في

الشكل ١٣-٢٤ بين أن الترميز النقطي ليس

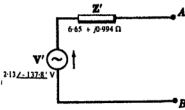
عزوديا طالما أن المسار المغلق الثاني مسار مخالف.

نختار تيارات الشبكة كما هو موضع في الشكل

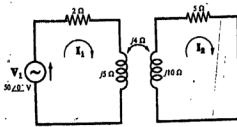
ثم نحل المعادلات على  $I_2$ .



شكل ١٣-٢٢



شكل ١٣-٢٣



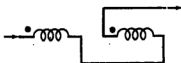
شكل ١٣-٢٤

$$I_2 = \frac{\begin{vmatrix} 2 + j5 & 50 \\ \pm j4 & 0 \end{vmatrix}}{\begin{vmatrix} 2 + j5 & \pm j4 \\ \pm j4 & 5 + j10 \end{vmatrix}}$$

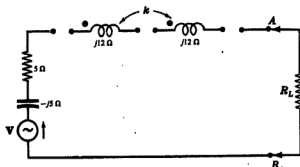
$$= \frac{-50(\pm j4)}{-24 + j45} = 3.92 / 61.9^\circ \pm 90^\circ \text{ A}$$

لا تتأثر قيمة  $\Delta$  بإشارة  $M$  ، وعلى ذلك فالتيار  $I_2$  له زاوية طور إما  $151.9^\circ$  أو  $-28.1^\circ$  . حيث أنه لا يوجد مصدر للجهد في المسار المغلق فإنه ليس ضرورياً معرفة قطبيه الجهد التأثيرى المتبادل . والمربوط في الجهد على معاوقات المسار المغلق يجب أن يكون متساوياً في المقدار ومختلفاً بزاوية طور مقدارها  $180^\circ$  ، ولا تتأثر القدرة في المعاوقة ، ومن الثابت أيضاً أن  $I_1$  مطابق لكلتا إشارتي التأثير المتبادل .

١٢-١٥ في الدائرة الموضحة في الشكل ١٣-٢٥ ، أوجد  $R_L$  التي ينتج عنها أكبر قدرة وذلك بعد الاختيار المناسب لتوصيل الملفين وأوجد  $k$  .



شكل ١٣-٢٦



شكل ١٣-٢٥

إن معاوقة الدائرة على يسار  $AB$  يجب أن تكون أقل ما يمكن . وبالتعبير عن معاوقة هذا الجزء في الدائرة نحصل على

$$Z = 5 - j5 + j12 + j12 \pm j2X_M = 5 + j19 \pm j2\sqrt{12(12)}\Omega$$

ولكي تكون قيمة المعاوقة أقل ما يمكن فإن الممانعة يجب أن تكون مساوية للمصفر . وعلى ذلك فإن الإشارة الصحيحة للحث المتبادل سالبة

$$k = 19/24 = 0.792 \quad j19 - 2k\sqrt{12(12)} = 0$$

والتوصيل الموضح في الشكل ١٣-٢٦ ينتج عنه إشارة سالبة للجهد التأثيرى المتبادل كما هو المطلوب .

إذن معاوقة الدائرة على يسار الطرفين  $AB$  هي مقاومة ثقبية قيمتها  $5\Omega$  ، وينتج لدينا أكبر قدرة عندما

$$R_L = R_p = 5 \text{ ohms}$$

١٢ - ١٣ الدائرة الموضحة في الشكل ١٣ - ٢٥ لها مقاومة حمل  $R_L = 10 \Omega$  ومصدر  $V = 50 \angle 0^\circ$  مع اعتبار الحمل توصيل الملفين وأن  $k$  تتغير من 0 إلى 1 أوجد مدى تغير القدرة المطاة لمقاومة الحمل .

باعتبار التوصيل الموضح في الشكل ١٣ - ٢٦ فإن الحث التبادلي يكون سالبا وتكون معاوقة الدائرة الكلية

بما فيها الحمل هي  $Z_T = 5 - j5 + j12 + j12 - j24k + 10 \Omega$  و بوضع  $k = 1$  ، إذن

$$Z_T = 15 - j5 = 15.8 \angle -18.45^\circ \Omega, I = \frac{V}{Z_T} = \frac{50 \angle 0^\circ}{15.8 \angle -18.45^\circ} = 3.16 \angle 18.45^\circ A$$

والقدرة في المقاومة  $10 \Omega$  هي  $P = P_R = (3.16)^2(10) = 100 W$

والآن بوضع  $k = 0$  ، إذن

$$Z_T = 15 + j19 = 24.2 \angle 51.7^\circ \Omega, I = 50 \angle 0^\circ / (24.2 \angle 51.7^\circ) = 2.06 \angle -51.7^\circ A$$

والقدرة في المقاومة  $10 \Omega$  هي  $(2.06)^2(10) = 42.4 \text{ watts}$  و عندما  $k = 0.792$  فإن  $P_{\max} = 111 W$

بتغير توصيل الملفين ينتج لدينا إشارة موجبة للحث التبادلي . إذن المعاوقة تصبح  $Z_T = 15 + j19 + jk24 \Omega$

بوضع  $K = 1$  ، إذن

$$Z_T = 15 + j43 = 45.6 \angle 70.8^\circ \Omega, I = 50 \angle 0^\circ / (45.6 \angle 70.8^\circ) = 1.095 \angle -70.8^\circ A$$

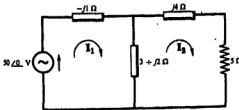
والقدرة المناظرة هي  $P = P_R = (1.095)^2(10) = 12 W$

وعلى ذلك فإنه من المتوقع أن تكون القدرة في المقاومة  $10 \Omega$  في المدى من  $12 W$  إلى  $100 W$  .

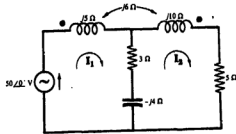
١٣ - ١٧ أوجد الدائرة المكافئة المرتبطة توصيليا للدائرة المرتبطة تبادليا والموضحة بالشكل ١٣ - ٢٧

نختار تيارى الشبكة  $I_1$  و  $I_2$  كما هو موضح ثم نكتب المعادلات في الصيغة المصفوفية .

$$\begin{bmatrix} 8 + j1 & -8 - j2 \\ -8 - j2 & 8 + j6 \end{bmatrix} \begin{bmatrix} I_1 \\ I_2 \end{bmatrix} = \begin{bmatrix} 50 \angle 0^\circ \\ 0 \end{bmatrix}$$



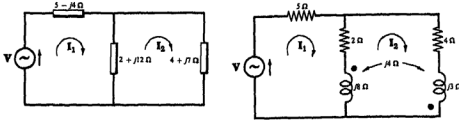
شكل ١٣ - ٢٨



شكل ١٣ - ٢٧

نختار تيارات الشبكة في الدائرة المرتبطة توصيلياً بنفس الاتجاه في الدائرة المرتبطة تبادلياً. من مصفوفة المعاوة نجد أن  $Z_{12} = -3 - j2 \Omega$  وحيث أن التيارين المارين في الفرع المشترك في اتجاهين متعاكسين فإن معاوة الفرع المطلوبة هي  $3 + j2 \Omega$ . والآن فإن المعاوة الذاتية للمسار الأول هي  $Z_{11} = 3 + j1 \Omega$ . وعلى ذلك فإننا نحتاج إلى معاوة  $j1 \Omega$  في هذا المسار المفلق. وبالمثل بما أن  $Z_{22} = 8 + j6 \Omega$  فإن المسار المفلق يحتاج إلى المعاوة  $5 + j4 \Omega$  وذلك بالإضافة إلى عناصر الفرع المشترك كما هو موضح في الشكل ١٣-٢٨.

١٢-١٨ أوجد الدائرة المكافئة المرتبطة توصيلياً للشبكة الكهربية المرتبطة تبادلياً والموصفة في الشكل ١٣-٢٩.



شكل ١٣ - ٢٨

شكل ١٣ - ٢٩

نختار تيارى الشبكة  $I_1$  و  $I_2$  ونكتب معادلات تيار الشبكة في الصيغة المصفوفية.

$$\begin{bmatrix} 7 + j8 & -2 - j12 \\ -2 - j12 & 6 + j19 \end{bmatrix} \begin{bmatrix} I_1 \\ I_2 \end{bmatrix} = \begin{bmatrix} V \\ 0 \end{bmatrix}$$

في الدائرة المرتبطة توصيلياً يمر تيارى الشبكة في الفرع المشترك في اتجاهين متعاكسين وحيث أن  $Z_{12}$  في مصفوفة المعاوة هي  $-2 - j12 \Omega$ ، فإن معاوة هذا الفرع يجب أن تكون  $2 + j12 \Omega$ . وبالمثل نجد من مصفوفة المعاوة أن  $Z_{11} = 7 + j8 \Omega$  و  $Z_{22} = 6 + j19 \Omega$  وعلى ذلك فإن المعاوقات الباقية في المسارين المفلقين 1 و 2 في الدائرة المكافئة هي على الترتيب.

$$Z_2 = (6 + j19) - (2 + j12) = 4 + j7 \Omega \quad , \quad Z_1 = (7 + j8) - (2 + j12) = 5 - j4 \Omega$$

والشكل ١٣-٣٠ يوضح الدائرة المكافئة المرتبطة توصيلياً.

### مسائل إضافية

١٣-١٩ ملفان معامل الربط لهما  $k = 0.85$  وعدد لفات الملف الأول 250 لفة. وعندما كان التيار في الملف الأول  $i_1 = 2A$  كان الفيض الكلي  $\phi_1$  يساوي  $0.3 \text{ mWb}$ . وعند انقاس التيار  $i_1$  خطياً إلى الصفر في  $2 \text{ ms}$  كان الجهد التآثيري في الملف الثاني يساوي  $63.75 \text{ V}$ ، أوجد  $L_1$  و  $M$  و  $N_2$  والجواب  $37.5 \text{ mH}$ ,  $150 \text{ mH}$ ,  $63.8 \text{ mH}$ ,  $500$

١٣-٢٠ ملفان مترابطان عدد لفاتهما  $N_1 = 100$  و  $N_2 = 800$  ومعامل الربط لهما هو  $0.85$ ، وعندما كان الملف الأول

مفتوحاً ومر تيار قيمته  $5A$  في الملف الثاني كان الفيض  $\phi_2$  يساوي  $0.35 \text{ mWb}$ ، أوجد  $L_1$  و  $L_2$  و  $M$

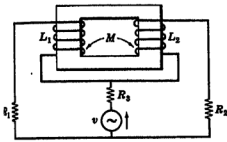
الجواب :  $0.875 \text{ mH}$ ,  $56 \text{ mH}$ ,  $5.95 \text{ mH}$

٢١-١٣ إذا كان الحث المكافئ للمئين متآثلين في حالة توصيلهما على التوالي بحيث يساعد كل منهما الآخر هو  $0.080 \text{ H}$  ، وفي حالة توصيلهما على التوالي بحيث يماكس كل منهما الآخر هو  $0.035 \text{ H}$  ، أوجد قيم  $L_1$  و  $L_2$  و  $M$  و  $K$  .  
الجواب :  $L_1 = 28.8 \text{ mH}$  ,  $L_2 = 28.8 \text{ mH}$  ,  $M = 11.25 \text{ mH}$  ,  $0.392$  .

٢٢-١٣ ملفان متآثلان هما  $L_1 = 0.02 \text{ H}$  و  $L_2 = 0.01 \text{ H}$  و  $k = 0.5$  . وصلا بأربع طرق مختلفة ؛ على التوالي ويساعد كل منهما الآخر ؛ على التوالي ويماكس كل منهما الآخر ؛ على التوازي بالتريتين المحتملين لاتجاه الملفت . أوجد القيم الأربع للحث المكافئ\* . الجواب :  $15.9 \text{ mH}$  ,  $44.1 \text{ mH}$  ,  $9.47 \text{ mH}$  ,  $3.39 \text{ mH}$  .

٢٣-١٣ ملفان متآثلان هما  $L = 0.02 \text{ H}$  ومعامل الربط هما  $k = 0.8$  . أوجد  $M$  وقيم الحث المكافئ\* عند توصيل الملفين على التوالي ويساعد كل منهما الآخر أو على التوالي ويماكس كل منهما الآخر . الجواب :  $16 \text{ mH}$  ,  $72 \text{ mH}$  ,  $8 \text{ mH}$  .

٢٤-١٣ ملفان متآثلان كسبة 4 إلى 1 ومعامل الربط هما  $k = 0.6$  . وعند توصيل هذين الملفين على التوالي بحيث يساعد كل منهما الآخر كان الحث المكافئ\* لهما هو  $44.4 \text{ mH}$  . أوجد  $L_1$  و  $L_2$  و  $M$  . الجواب :  $6 \text{ mH}$  ,  $24 \text{ mH}$  ,  $7.2 \text{ mH}$  .

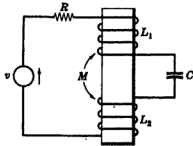


شكل ١٣ - ٣١

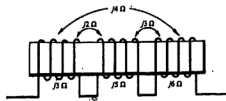
٢٥-١٣ ملفان متآثلان هما  $L_1 = 6.8 \text{ mH}$  و  $L_2 = 4.5 \text{ mH}$  . وصلا على التوالي بحيث يساعد كل منهما الآخر ثم وصلا على التوالي بحيث يماكس كل منهما الآخر . فإذا كان الحث المكافئ\* في الحالتين هو  $3 \text{ mH}$  و  $19.6 \text{ mH}$  . أوجد الترتيب أوجد  $M$  و  $k$  . الجواب :  $4.15 \text{ mH}$  ,  $0.75$  .

٢٦-١٣ اختر تيارات الشبكة للدائرة المترابطة الموضحة في الشكل ٣١-١٣ ثم اكتب المعادلات في الصيغة المظنية . أوجد الدائرة المكافئة في الترميز النقطة ثم اكتب معادلتها وقارن بين النتيجتين .

٢٧-١٣ ارسم الدائرة المكافئة بالترميز النقطة للملفات المترابطة والموضحة في الشكل ٣٢-١٣ . ثم أوجد الممانعة الحثية المكافئة لها . الجواب :  $12 \Omega$  .



شكل ١٣ - ٢٢

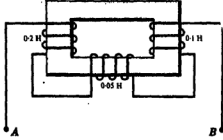


شكل ١٣ - ٢٢

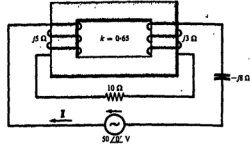
٢٨-١٣ أوجد الدائرة المكافئة بالترميز النقطة للمئين المترابطين الموضحين في الشكل ٣٣-١٣ و اكتب المعادلة في الصيغة المظنية .

٢٩-١٢ ارسم الدائرة المكافئة بالترميز النقطي للملفين المترابطين الموضحين في الشكل ٢٤-١٣ ثم أوجد التيار  $I$ .

الجواب :  $4.47 / 26.7^\circ \text{ A}$



شكل ١٣ - ٢٥

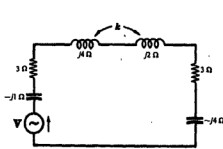


شكل ١٣ - ٢٤

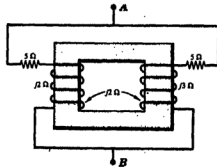
٣٥-١٢ أوجد الدائرة المكافئة بالترميز النقطي للملفات الثلاثة الموضحة في الشكل ٣٥-١٣ ، ثم أوجد الحث المكافئ لها عند الطرفين  $AB$ . اعتبر جميع معاملات الربط تساوى 0.5 . الجواب :  $0.239 \text{ H}$

٣١-١٢ أوجد الدائرة المكافئة بالترميز النقطي للدائرة المترابطة الموضحة في الشكل ٣٦-١٣ ، ثم أوجد المعاوقة المكافئة بين الطرفين  $AB$ . الجواب :  $2.54 + j2.26 \Omega$

٣٢-١٢ في الدائرة المترابطة الموضحة في الشكل ٣٦-١٣ أوجد المعاوقة المكافئة بعد عكس اتجاه لف ملف واحد . الجواب :  $2.53 + j0.238 \Omega$



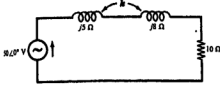
شكل ١٣ - ٣٧



شكل ١٣ - ٣٦

٣٣-١٢ أوجد قيمة  $k$  للدائرة المتصلة على التوالي والموضحة في الشكل ٣٧-١٣ ، ثم ضع النقط على الملفين المترابطين بحيث تكون الدائرة في حالة رنين على التوالي . الجواب :  $k = 0.177$

٣٤-١٢ أوجد قيمة  $k$  لدائرة التوالي الموضحة في الشكل ٣٨-١٣ ، ثم ضع النقط بحيث تكون الدائرة في حالة رنين على التوالي . الجواب :  $k = 0.112$



شكل ١٣ - ٣٩

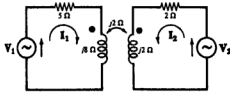


شكل ١٣ - ٣٨

١٣-٣٥ أوجد قيمة  $k$  للدائرة الموضحة في الشكل ١٣-٣٩. ثم ضع النقط بحيث تكون القدرة الخارجة من المصدر  $50\angle 0^\circ \text{ V}$  هي  $168 \text{ W}$  . الجواب :  $k = 0.475$

١٣-٣٩ في المسألة ١٣-٣٥ أوجد القدرة الخارجة من المصدر وذلك عند عكس النقط . استخدم قيمة  $k$  الموجودة في المسألة ١٣-٣٥ . الجواب :  $54.2 \text{ W}$

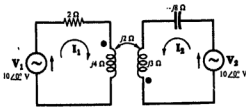
١٣-٣٧ أوجد نسبة الجهد  $V_2/V_1$  للدائرة المترابطة الموضحة في الشكل ١٣ - ٤٠ بحيث يكون التيار الناتج  $I_1$  يساوي صفراً . كرر نفس الشيء بحيث يكون التيار  $I_2$  يساوي صفراً . الجواب :  $1.414\angle -45^\circ, 0.212\angle 32^\circ$



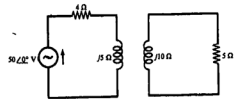
شكل ١٣ - ٤٠

١٣-٣٨ في المسألة ١٣-٣٧ أوجد الجهد الذي يظهر على المقاومة  $8\Omega$  عندما  $V_1 = 100\angle 0^\circ \text{ V}$  و  $I_1 = 0$  . الجواب :  $100\angle 0^\circ \text{ V}$  ( + عند النقطة )

١٣-٣٩ في الدائرة المترابطة الموضحة في الشكل ١٣-٤١ أوجد الممانعة الحثية التبادلية  $M$  إذا كانت القدرة في المقاومة  $5\Omega$  هي  $45.2 \text{ W}$  . الجواب :  $j4\Omega$



شكل ١٣ - ٤٢

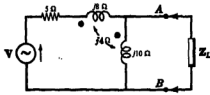


شكل ١٣ - ٤١

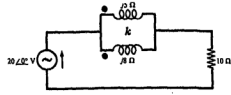
١٣-٤٠ في الدائرة المترابطة الموضحة في الشكل ١٣-٤٢ أوجد مركبي التيار  $I_2$  الناتجين عن المصدرين  $V_1$  و  $V_2$  . الجواب :  $0.77\angle 112.6^\circ \text{ A}, 1.72\angle 86^\circ \text{ A}$

١٣-٤١ عين قيمة  $k$  للدائرة المترابطة الموضحة في الشكل ١٣-٤٢ علماً بأن القدرة في المقاومة  $10\Omega$  هي  $32 \text{ W}$  . الجواب :  $0.791$





شكل ١٣ - ٤٤

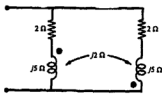


شكل ١٣ - ٤٣

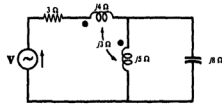
١٣-٤٧ الدائرة المترابطة الموضحة في الشكل ١٣ - ٤٤ ، أوجد معاوقة الحمل  $Z_L$  التي ينتج عنها انتقال أكبر قدرة عند الطرفين  $AB$  .  
الجواب :  $1.4 - j2.74 \Omega$

١٣-٤٣ للدائرة المترابطة الموضحة في الشكل ١٣-٤٥ ، أوجد المعاوقة الداخلة عند طرفي المصدر .  
الجواب :  $3 + j36.3 \Omega$

١٣-٤٤ في الدائرة الموضحة في الشكل ١٣-٤٥ ، أوجد الجهد على الممانعة  $j5 \Omega$  علماً بأن  $V = 50 \angle 45^\circ V$  .  
الجواب :  $25.2 \angle 49.74^\circ V$



شكل ١٣ - ٤٦

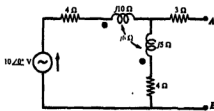


شكل ١٣ - ٤٥

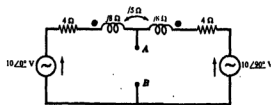
١٣-٤٥ أوجد المعاوقة المكافئة للدائرة المترابطة الموضحة في الشكل ١٣-٤٦ .  
الجواب :  $j1.5 \Omega$

١٣-٤٦ أوجد دائرة ثنتين المكافئة للدائرة المترابطة المخططة في الشكل ١٣-٤٧ وذلك عند الطرفين  $AB$  .  
الجواب :  $Z' = 2 + j6.5 \Omega, V' = 5 + j5 V$

١٣-٤٧ أوجد دائرة نورتن المكافئة للدائرة المترابطة الموضحة في الشكل ١٣-٤٧ وذلك عند الطرفين  $AB$  .  
الجواب :  $Z' = 2 + j6.5 \Omega, I' = 1.04 \angle -27.9^\circ A$



شكل ١٣ - ٤٨



شكل ١٣ - ٤٧

٤٨-١٣ أوجد دائرة ثنتين المكافئة للدائرة المترابطة الموضحة في الشكل ١٣-٤ وذلك عند الطرفين  $AB$ .

الجواب :  $Z' = 8.63 \angle 48.75^\circ \Omega$ ,  $V' = 4.84 \angle -34.7^\circ V$

٤٩-١٣ أوجد دائرة نورتن المكافئة للشبكة الكهربائية المترابطة الموضحة في الشكل ١٣-٤٨.

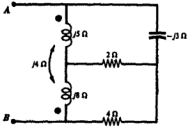
الجواب :

$Z' = 8.63 \angle 48.75^\circ \Omega$ ,  $I' = 0.560 \angle -83.4^\circ A$

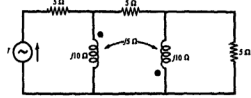
٥٠-١٣ للدائرة المترابطة الموضحة في الشكل ١٣-٤٩ أوجد الماوقة الداخلة عند طرفي مصدر الجهد  $V$

الجواب :

$6.22 + j4.65 \Omega$



شكل ١٣ - ٥٠



شكل ١٣ - ٤٩

٥١-١٣ أوجد الماوقة المكافئة عند الطرفين  $AB$  لشبكة الكهربائية المترابطة الموضحة في الشكل ١٣-٥١.

الجواب :

$7.06 + j3.22 \Omega$

## الفصل الرابع عشر

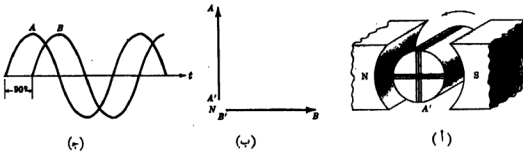
### الأنظمة المتعددة الأطوار

#### مقدمة :

يتكون النظام المتعدد الأطوار الذى يمد الأحبال المتصلة في الأفرع بالقدرة من جهدين متساويين أو أكثر بينها زوايا طور ثابتة . وفي النظام ذو الطورين لدينا جهدان متساويان يختلفان في الطور بزاوية  $90^\circ$  ، بينما في النظام ذو الأطوار الثلاثة تبلغ زاوية فرق الطور  $120^\circ$  . وفي التقويم المتعدد الأطوار تستخدم نظم من ستة أطوار أو أكثر وذلك للحصول على جهد مقوم قليل التموج ، والنظام الشائع الاستخدام في توليد وإرسال القدرة الكهربائية هو النظام ذو الأطوار الثلاثة .

#### النظام ذو الطورين :

ينتج عن دوران زوج الملفات المتعامدة المبينة في الشكل ١٤ - ١ (أ) في مجال مغناطيسي ثابت ، جهدان تأثيريان زاوية فرق الطور بينهما ثابتة وتساوى  $90^\circ$  . وإذا كان عدد القفات في الملفين متساو فإن الجهد المطاوع والجهد اللحظي يكون لهما نفس المقدار كما هو موضح في رسميهما شكل ١٤ - ١ (ب) و (ج) على الترتيب .



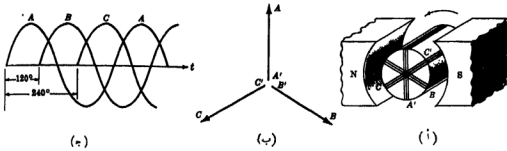
شكل ١٤ - ١ نظام ذو طورين

والشكل البياني للجهد المطاوع شكل ١٤ - ١ (ب) له  $V_{BN} = V_{\text{coll}} / 0^\circ$  كمحور إسناد وجهد  $V_{AN} = V_{\text{coll}} / 90^\circ$  وإذا وصل طرفاً  $A'$  و  $B'$  كفرع  $N$  ، فإن النظام ذا الطورين يتكون من الأفرع الثلاثة  $A$  و  $B$  و  $N$  فرق في الجهد بين الفرعين  $A$  و  $B$  يزداد عن جهد الفرع المتعاادل بمقدار  $\sqrt{2}$  ويمطى بالجمع .

$$V_{AB} = V_{AN} + V_{NB} = V_{\text{coll}} / 90^\circ + V_{\text{coll}} / 180^\circ = \sqrt{2} V_{\text{coll}} / 135^\circ$$

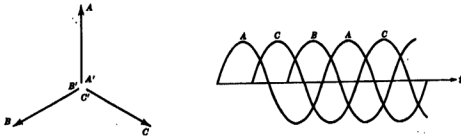
### نظام الأطوار الثلاثة :

الجهود التأثيرية الناتجة في الملفات الثلاثة المتساوية البعد عن بعضهما والمبينة في الشكل ١٤ - ٢ (أ) لها فرق طور مقداره  $120^\circ$ . ويصل الجهد في الملف  $A$  إلى نهاية العنقى أولاً ، ثم يتبعه جهد الملف  $B$  ثم  $C$  وذلك على حسب التتابع  $ABC$  وتتضح هذه المتابعة من الشكل المطاوع وذلك مع اعتبار الاتجاه الموجب للدوران في عكس حركة عقارب الساعة ، وعلى ذلك فإن الجهد المطاوع يمر بنقط ثابتة هي على الترتيب من اليسار  $A-B-C-A-B-C$  ، كما يتضح أيضاً من رسم الجهد اللحظي الموضح في الشكل ١٤ - ٢ (ج) حيث يصل الجهد للقيمة بنفس الترتيب .



شكل ١٤ - ٢ نظام الأطوار الثلاثة

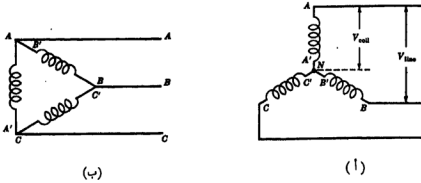
ينتج عن دوران الملفات في الاتجاه الماكس المتتابعة  $CBA$  المبينة في الشكل ١٤ - ٣ .



شكل ١٤ - ٣ المتتابعة  $CBA$

وبالرغم من أن نظرية عمل الآلة الموضحة في الشكل ١٤ - ٢ (أ) مبررة جيداً إلا أنه توجد عدة عوامل عملية تمنع استخدامها . والأجهزة العملية المستخدمة حالياً يطور فيها المجال بيناً بين الملفات الثلاثة الطورية ثابتة .

بتوصيل نهايات الملفات  $A'$  و  $B'$  و  $C'$  في الشكل ١٤ - ٢ (أ) تنتج جهود متصلة على شكل نجمة بينما بتوصيل  $A$  و  $B$  و  $C$  ؛  $A'$  و  $C'$  في الشكل ١٤ - ٢ (ب) تنتج عنه جهود مترددة متصلة على شكل دلتا .

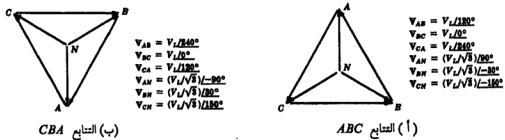


شكل ١٤ - ٤

في توصيلات النجمة يتساوى تيارات الملفات والأفرع والجهد بين فرعين يساوى ( $\sqrt{3}$  جهد الملف). أما في توصيلات دلتا فإنه يتساوى جهد الملفات والأفرع ولكن تيارات الملفات تساوى ( $1/\sqrt{3}$  تيار الفرع) أنظر المسألة ١٤ - ٢ .  
وفي كلا الاتصاليين فإن الأفرع A و B و C تمثل نظام جهد ذي ثلاثة أطوار . ونقطة التبادل في توصيلات النجمة هي نقطة التوصيل الأربعة للأطوار الثلاثة (نظام أربعة أسلاك) .

#### جهود نظام الأطوار الثلاثة :

باعتبار أحد الجهود كجهد اسناد بزاوية طور تساوى صفر يمكننا تعيين زوايا الطور للجهود الأخرى في هذا النظام . سنأخذ في هذا الفصل  $V_{BC}$  كجهد اسناد وبين المثلثان في الشكلين ١٤ - ٥ (أ) ، (ب) جميع الجهود في التتابعين ABC و CBA على الترتيب .

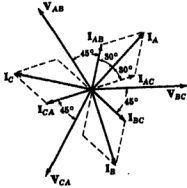


شكل ١٤ - ٥

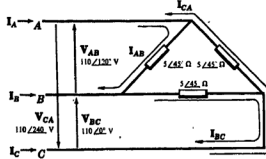
«نظام الجهود» هو الجهد بين أي زوج من الأفرع A و B أو B و C أو C و A في نظام الأسلاك الأربعة تكون قيمة جهد الفرع بالنسبة للجهد المتبادل هو  $1/\sqrt{3} \times$  جهد هذا الفرع . فلتا في نظام الأطوار الثلاثة وأربعة أسلاك بجهد 208 V يكون النظام CBA جهود أفرع 208 V وجهد الفرع للجهد المتبادل هو  $208/\sqrt{3}$  أو 120 V . وبالإشارة إلى الشكل ١٤ - ٥ (ب) يمكن تعيين زوايا الطور للجهود . وعلى ذلك فإن  $V_{BC} = 208/0^\circ$  V ،  $V_{AB} = 208/240^\circ$  V ،  $V_{CA} = 208/120^\circ$  V ،  $V_{AN} = 120/90^\circ$  V ،  $V_{BN} = 120/30^\circ$  V ،  $V_{CN} = 120/150^\circ$  V .

### اتزان أحمال نظام الأطوار الثلاثة :

**مثال ١ :** في نظام الأطوار الثلاثة بثلاثة أسلاك وجهد 110V وصلت المجموعة ABC بثلاث معاوقات متساوية  $5/\sqrt{3} \Omega$  متصلة على شكل دلتا . عين تيارات الأفرع  $I_A$  و  $I_B$  و  $I_C$  . ثم ادرس الشكل المطاور .



شكل ١٤ - ٧



شكل ١٤ - ٦

نرسم الدائرة ونؤثر عليها بالجهود كما في الشكل ١٤ - ٦ . يوضح الشكل الاتجاهات الموجبة لتيارات الأفرع والتيارات المطاورة . إذن :

$$\begin{aligned} I_{AB} &= \frac{V_{AB}}{Z} = \frac{110/120^\circ}{5/45^\circ} = 22/75^\circ = 5.7 + j21.2 \text{ A} \\ I_{BC} &= \frac{V_{BC}}{Z} = \frac{110/0^\circ}{5/45^\circ} = 22/-45^\circ = 15.55 - j15.55 \text{ A} \\ I_{CA} &= \frac{V_{CA}}{Z} = \frac{110/240^\circ}{5/45^\circ} = 22/195^\circ = -21.2 - j5.7 \text{ A} \end{aligned}$$

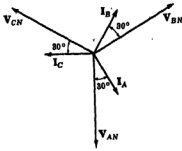
بتطبيق قانون كيرشوف للتيار عند كل ركن من أركان الأحمال ينتج ،

$$\begin{aligned} I_A &= I_{AB} + I_{AC} = 22/75^\circ - 22/195^\circ = 38.1/45^\circ \text{ A} \\ I_B &= I_{BA} + I_{BC} = -22/75^\circ + 22/-45^\circ = 38.1/-75^\circ \text{ A} \\ I_C &= I_{CA} + I_{CB} = 22/195^\circ - 22/-45^\circ = 38.1/165^\circ \text{ A} \end{aligned}$$

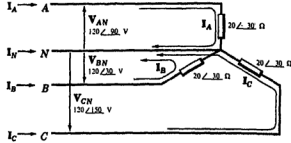
والرسم المطاور المبين في الشكل ١٤ - ٧ يوضح أن التيارات المترنة للأفرع هي 38.1A وإن زوايا الطور بينهما هي 120° .

في نظام اتزان الأحمال المتصلة على شكل دلتا يكون جهد الفرع مساوياً للجهد المطاور ويكون تيار الفرع مساوياً  $\sqrt{3}$  للتيار المطاور .

**مثال ٢ :** في نظام ثلاثة أطوار بأربعة أسلاك وجهد 208V وصلت المجموعة CBA بجمل متصل على شكل دلتا؛ معاوقاته  $20 \angle 30^\circ \Omega$  أوجد تيارات الأفرع . ثم ارسم الشكل المطاور .



شكل ١٤ - ٩



شكل ١٤ - ٨

نرسم الدائرة ونطبق جهود الأفرع بالنسبة للجهد المتبادل وذلك باستخدام الشكل ١٤ - ٥ (ب) . نختار تيارات الأفرع كما في الرسم ٨ - ١٤ حيث تعود كل التيارات خلال نقطة التبادل . إذن :

$$I_A = \frac{V_{AN}}{Z} = \frac{120 \angle -90^\circ}{20 \angle -30^\circ} = 6 \angle -60^\circ \text{ A}$$

$$I_B = \frac{V_{BN}}{Z} = \frac{120 \angle 80^\circ}{20 \angle -30^\circ} = 6 \angle 60^\circ \text{ A}$$

$$I_C = \frac{V_{CN}}{Z} = \frac{120 \angle 150^\circ}{20 \angle -30^\circ} = 6 \angle 180^\circ \text{ A}$$

وبفرض أن الاتجاه الموجب هو اتجاه التيار المتبادل إلى الحمل نحصل على :

$$I_N = -(I_A + I_B + I_C) = -(6 \angle -60^\circ + 6 \angle 60^\circ + 6 \angle 180^\circ) = 0$$

ويوضح الشكل المطاور ٩ - ١٤ تيارات الأفرع المترنة وفيه نجد أن كل تيار سابق لجهد الفرع المناظر بالنسبة للجهد المتبادل بزاوية المعاوق .

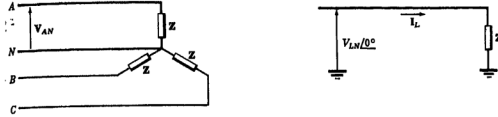
في نظام اتزان الأحمال المتصلة على شكل النجمة تتساوى تيارات الأفرع والتيارات المطاورة والتيار المتبادل يساوى صفراً ، وجهد النفر هو  $\sqrt{3} V_p$  أي أن :  $V_L = \sqrt{3} V_p$

### الدائرة ذات الفرع الواحد المكافئة للأحمال المترنة :

باستخدام تحويلات Y-Δ الموضحة في الفصل الثاني عشر نجد أن مجموعة من ثلاث معاوقات متساوية  $Z_\Delta$  متصلة على شكل دلتا تكافئ مجموعة من ثلاث معاوقات متساوية  $Z_Y$  متصلة على شكل النجمة ، حيث  $Z_Y = (1/3)Z_\Delta$  . وعلى ذلك فإنه يمكن إجراء مزيد من الحسابات المباشرة على دائرة النجمة لنظام الأحمال المترنة ذي الثلاثة أطوار بنوعية .

إن الدائرة المكافئة ذات الفرع الواحد هي دائرة بطور واحد الدائرة ذات الأطوار الثلاثة وأربعة أسلاك متصلة على شكل نجمة والموضحة في الشكل ١٤ - ١٠ ، فيها عدا أن الجهد المستخدم له قيمة جهد الفرع بالنسبة للجهد المتبادل وزاوية طور تساوى

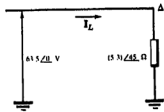
صفرًا . وتيار الفرع المحسوب لهذه الدائرة له زاوية طور بالنسبة لزاوية طور الجهد المساوية للصفر . وعلى ذلك فإن تيارات الأفرع الفعلية  $I_A$  و  $I_B$  و  $I_C$  تكون إما سابقة أو لاحقة لجهود الأفرع المناظرة لها بالنسبة للجهود المتعاكس بنفس زاوية الطور .



شكل ١٤ - ١٠ الدائرة المكافئة ذات الفرع الواحد

**مثال ٣ :** احسب تيارات الأفرع في المثال ١ ، باستخدام طريقة الدائرة المكافئة ذات الفرع الواحد .

إرسم الدائرة ذات الفرع الواحد وارمز بالرمز  $\Delta$  عند الحمل لتبين أن المعاوقات الفعلية كانت متصلة على شكل دلتا . المعاوقة المكافئة للمجموعة المتصلة على شكل النجمة هي .



شكل ١٤ - ١١

$$Z_Y = Z_{\Delta}/3 = (5/3)/45^{\circ} \Omega$$

وجهد الفرع بالنسبة للجهود المتعاكس هو

$$V_{LN} = V_L/\sqrt{3} = 110/\sqrt{3} = 63.5 \text{ V}$$

إذن تيار الفرع هو .

$$I_L = \frac{V_{LN}}{Z} = \frac{63.5/0^{\circ}}{(31.1)/45^{\circ}} = 38.1/-45^{\circ} \text{ A}$$

بما أن التيار لاحق للجهد بزاوية  $45^{\circ}$  ، فإن تيارات الأفرع  $I_A$  و  $I_B$  و  $I_C$  تكون لاحقة للجهود المناظرة لها  $V_{AN}$  و  $V_{BN}$  و  $V_{CN}$  بزاوية  $45^{\circ}$  . وقد حصلنا على الزوايا في هذه الجهود من المثلث  $ABC$  في الشكل ١٤ - ١٠ (أ) . ونلاحظ أن جهود الأفرع بالنسبة للجهود المتعاكس وتيارات الأفرع المناظرة لها .

$$\begin{aligned} V_{AN} &= 63.5/0^{\circ} \text{ V} & I_A &= 38.1/90^{\circ} - 45^{\circ} = 38.1/45^{\circ} \text{ A} \\ V_{BN} &= 63.5/-30^{\circ} \text{ V} & I_B &= 38.1/-30^{\circ} - 45^{\circ} = 38.1/-75^{\circ} \text{ A} \\ V_{CN} &= 63.5/-150^{\circ} \text{ V} & I_C &= 38.1/-150^{\circ} - 45^{\circ} = 38.1/-195^{\circ} \text{ A} \end{aligned}$$

وهذه التيارات مطابقة لتلك التي حصلنا عليها في المثال ١ . إذا كان المطلوب حساب التيارات المتوازنة في المعاوقات المتصلة على شكل دلتا فإنه يمكن إيجادها من العلاقة  $I_{\Delta} = I_Y/\sqrt{3} = 38.1/\sqrt{3} = 22 \text{ A}$  . ويمكن الحصول على زوايا الطور لهذه التيارات أولاً بوضع زوايا الطور لجهود الأفرع بالنسبة لبعضها ثم تعيين التيارات اللاحقة لها بزاوية  $45^{\circ}$  . أي أن



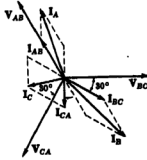
$$\begin{aligned} V_{AB} &= 110/\underline{120^\circ} \text{ V} & I_{AB} &= 22/\underline{120^\circ - 45^\circ} = 22/\underline{75^\circ} \text{ A} \\ V_{BC} &= 110/\underline{0^\circ} \text{ V} & I_{BC} &= 22/\underline{0^\circ - 45^\circ} = 22/\underline{-45^\circ} \text{ A} \\ V_{CA} &= 110/\underline{240^\circ} \text{ V} & I_{CA} &= 22/\underline{240^\circ - 45^\circ} = 22/\underline{195^\circ} \text{ A} \end{aligned}$$

#### الأحمال غير المتزنة المتصلة على شكل دلتا :

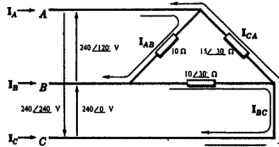
يتكون حل مجموعة الأحمال غير المتزنة المتصلة على شكل دلتا من حساب زوايا الطور للتيارات ثم تطبيق قانون كيرشوف لتيار على نقط الاتصال للحصول على تيارات الأفرع الثلاثة . وتيارات الأفرع في هذه الحالة ليست متساوية وليس لها زاوية اختلاف طور  $120^\circ$  بعكس الحالة التي فيها أحمال متزنة .

#### مثال ٤ :

نظام ذو ثلاثة أطوار بثلاثة أسلاك وجهد 240 V . فلذا وصلنا المجموعة ABC بأحمال على شكل دلتا بحيث .  
 $Z_{CA} = 15 \angle -30^\circ \Omega$  ،  $Z_{BC} = 10 \angle 30^\circ \Omega$  ،  $Z_{AB} = 10 \angle 0^\circ \Omega$   
 ورسم الشكل المطاور .



شكل ١٤ - ١٣



شكل ١٤ - ١٢

نصمم الدائرة الموضحة في الشكل ١٢ - ١٣ ، ونؤثر عليها بالجهود المطاورة . وعلى ذلك فإن التيارات المطاورة الموضحة في الرسم مستقلة وتعمل بالعلامات :

$$I_{AB} = \frac{V_{AB}}{Z_{AB}} = \frac{240 \angle 120^\circ}{10 \angle 0^\circ} = 24 \angle 120^\circ \text{ A}, I_{BC} = \frac{V_{BC}}{Z_{BC}} = 24 \angle -30^\circ \text{ A}, I_{CA} = \frac{V_{CA}}{Z_{CA}} = 16 \angle 270^\circ \text{ A}$$

نطبق قانون كيرشوف للتيار عند نقط اتصال الأحمال فينتج :

$$\begin{aligned} I_A &= I_{AB} + I_{AC} = 24/\underline{120^\circ} - 16/\underline{270^\circ} = 88.7/\underline{108.1^\circ} \text{ A} \\ I_B &= I_{BA} + I_{BC} = -24/\underline{120^\circ} + 24/\underline{-30^\circ} = 46.4/\underline{-45^\circ} \text{ A} \\ I_C &= I_{CA} + I_{CB} = 16/\underline{270^\circ} - 24/\underline{-30^\circ} = 21.2/\underline{190.9^\circ} \text{ A} \end{aligned}$$

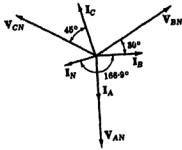
يوضح الشكل ١٣ - ١٤ الرسم المطاور المناظر .

### الأحمال غير المتزنة على شكل نجمة ، أربعة أسلاك :

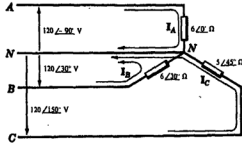
في نظام الأسلاك الأربعة عندما تكون الأحمال غير متزنة فإنه يمر تيار بنقطة التعادل ويظل الجهد عبر كل معاوقة حمل ثابتاً بنفس قيمة جهد الفرع بالنسبة لجهد التعادل . وتيارات الأفرع غير متساوية وليس لها زاوية طور  $120^\circ$

#### مثال ٥ :

نظام ذو ثلاثة أطوار بأربعة أسلاك وجهد  $208 \text{ V}$  . وصلت فيه المجموعة  $CBA$  بأحمال على شكل النجمة بحيث  $Z_A = 6 \angle 0^\circ \Omega$  و  $Z_B = 6 \angle 30^\circ \Omega$  و  $Z_C = 5 \angle 45^\circ \Omega$  أوجد تيارات الأفرع الثلاثة وتيار نقطة التعادل ، ارسم الشكل المطاور .



شكل ١٤ - ١٥



شكل ١٤ - ١٤

نقسم الدائرة كما هو موضح في الشكل ١٤ - ١٤ ، ونؤثر عليها بالجهد المطاور ونختار تيارات الأفرع كما هو موضح . وتكون التيارات مستقلة وتعمل بالمعادلات :

$$I_A = \frac{V_{AN}}{Z_A} = \frac{120 \angle 0^\circ}{6 \angle 0^\circ} = 20 \angle 0^\circ \text{ A}, I_B = \frac{V_{BN}}{Z_B} = 20 \angle 0^\circ \text{ A}, I_C = \frac{V_{CN}}{Z_C} = 24 \angle 105^\circ \text{ A}$$

والتيار المار بنقطة التعادل هو مجموع تيارات الأفرع  $I_A$  و  $I_B$  و  $I_C$  . وبفرض أن الاتجاه الموجب للتيار  $I_N$  هو في اتجاه الحمل فإن

$$I_N = -(I_A + I_B + I_C) = -(20 \angle 0^\circ + 20 \angle 0^\circ + 24 \angle 105^\circ) = 14.1 \angle 166.9^\circ \text{ A}$$

ويوضح الشكل ١٥ - ١٥ الرسم المطاور المناظر .

### الأحمال غير المتزنة على شكل نجمة ، ثلاث أسلاك :

عند اتصال ثلاثة أفرع نقط  $A$  و  $B$  و  $C$  بأحمال غير متزنة متصلة على شكل نجمة فإن جهد النقطة المشتركة بين معاوقات الأحمال الثلاثة لا يساوي الجهد المتعادل ويرمز لها بالرمز «  $O$  » بدلا من  $N$  . ويتغير الجهد عبر المعاوقات تغيراً كبيراً من قيمة جهد الفرع إلى قيمة الجهد المتعادل ، كما هو موضح في مثلث الجهد الذي يربط جميع الجهود في الدائرة . وإزاحة «  $O$  » عن  $V$  والمعروفة « بإزاحة الجهد المتعادل » لها أهمية خاصة .

مثال ٦ :

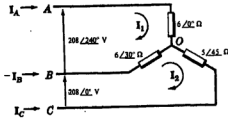
نظام ذو ثلاثة أطوار بثلاثة أسلاك وجهد 208V وصلت فيه المجموعة CBA بمعاوقات على شكل نجمة بحيث

$Z_A = 6 \angle 0^\circ \Omega$  و  $Z_B = 6 \angle 30^\circ \Omega$  و  $Z_C = 5 \angle 45^\circ \Omega$  . أوجد تيارات الأفرع

والجهود المطورة عبر كل معوقة : ارسم مثلث الجهد وأوجد إزاحة الجهد المتبادل  $V_{ON}$

نرسم الدائرة ونختار تيارى الشبكة  $I_1$  و  $I_2$

كما هو موضح فى الشكل ١٤ - ١٦ . نكتب المعادلات المصفوية للتيارين  $I_1$  و  $I_2$  كما يلى :



شكل ١٤ - ١٦

$$\begin{bmatrix} 6/0^\circ + 6/30^\circ & -6/30^\circ \\ -6/30^\circ & 6/30^\circ + 5/45^\circ \end{bmatrix} \begin{bmatrix} I_1 \\ I_2 \end{bmatrix} = \begin{bmatrix} 208/240^\circ \\ 208/0^\circ \end{bmatrix}$$

ومنهما نجد أن  $I_1 = 23.3 \angle 261.1^\circ \text{ A}$  ,  $I_2 = 26.5 \angle 63.4^\circ \text{ A}$

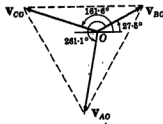
إذن تكون تيارات الأفرع  $I_A$  و  $I_B$  و  $I_C$  بالاتجاهات الموضحة هى

$$I_A = I_1 = 23.3 \angle 261.1^\circ \text{ A}$$

$$I_B = I_2 - I_1 = 26.5 \angle 63.4^\circ - 23.3 \angle 261.1^\circ = 15.45 \angle -2.5^\circ \text{ A}$$

$$I_C = -I_2 = 26.5 \angle 116.6^\circ \text{ A}$$

والآن تعطى الجهود عبر المعاوقات الثلاثة بحساب ضرب التيارات الحثلية فى المعاوقات المناظرة .



شكل ١٤ - ١٧

$$V_{AO} = I_A Z_A = 23.3 \angle 261.1^\circ (6 \angle 0^\circ) = 139.8 \angle 261.1^\circ \text{ V}$$

$$V_{BO} = I_B Z_B = 15.45 \angle -2.5^\circ (6 \angle 30^\circ) = 92.7 \angle 27.5^\circ \text{ V}$$

$$V_{CO} = I_C Z_C = 26.5 \angle 116.6^\circ (5 \angle 45^\circ) = 132.5 \angle 161.6^\circ \text{ V}$$

ويكون الشكل المطاور لهذه الجهود الثلاثة الموضح

فى الشكل ١٤ - ١٧ مثلثاً متساوى الأضلاع . فى الشكل

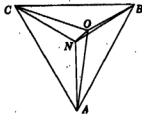
١٤ - ١٨ أعيد رسم هذا المثلث وأضيفت إليه نقطة التبادل

وذلك لتوضيح إزاحة الجهد المتبادل  $V_{ON}$  . ويمكن حساب

هذا الجهد باستخدام أى نقطة من النقاط الثلاثة  $A$  أو  $B$  أو  $C$

ثم اتباعها بالدليل المناسب لتكون ترميزاً زوجياً للدليل ،

وباستخدام النقطة  $A$  نحصل على



شكل ١٤ - ١٨

$$V_{ON} = V_{OA} + V_{AN} = -139.8 \angle 261.1^\circ + 120 \angle -90^\circ = 28.1 \angle 39.8^\circ \text{ V}$$

### طريقة إزاحة نقطة التعادل لأحمال غير متزنة على شكل نجمة ، ثلاثة أسلاك

حصلنا في المثال ٦ على إزاحة الجهد التعادل  $V_{ON}$  بدلالة جهود الأحمال . أما إذا عينا علاقة الجهد  $V_{ON}$  مستقلة عن جهود الأحمال فإن التيارات والجهد المطلوبة في المثال ٦ يمكن الحصول عليها مباشرة كما هو موضح في المثال ٧ .  
فحصول على إزاحة الجهد التعادل نكتب تيارات الأفرع بدلالة جهود الأحمال وساعتها .

$$(١) \quad I_A = V_{AO} Y_A, I_B = V_{BO} Y_B, I_C = V_{CO} Y_C$$

والآن بتطبيق قانون كيرشوف للتيار عند النقطة  $O$  في الشكل ١٩ - ١٤ نجد

$$(٢) \quad I_A + I_B + I_C = 0$$

أو

$$(٣) \quad V_{AO} Y_A + V_{BO} Y_B + V_{CO} Y_C = 0$$

وبالإشارة إلى الشكل ١٤ - ١٨ والتعبير عن الجهود  $V_{CO}$  و  $V_{BO}$  و  $V_{AO}$  بدلالة مركبتين كل منهما ، أي أن

$$(٤) \quad V_{AO} = V_{AN} + V_{NO} \quad V_{BO} = V_{BN} + V_{NO} \quad V_{CO} = V_{CN} + V_{NO}$$

وبالتعويض بالمعادلة (٤) في المعادلة (٣) نحصل على

$$(٥) \quad (V_{AN} + V_{NO}) Y_A + (V_{BN} + V_{NO}) Y_B + (V_{CN} + V_{NO}) Y_C = 0$$

ومنها نجد

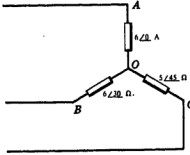
$$(٦) \quad V_{ON} = \frac{V_{AN} Y_A + V_{BN} Y_B + V_{CN} Y_C}{Y_A + Y_B + Y_C}$$

وقد حصلنا على الجهود  $V_{AN}$  و  $V_{BN}$  و  $V_{CN}$  في المعادلة (٦) من مثلث الشكل ١٤ - ٥ واستخدام المتناظرة المبطنة في المسألة . والمساكنات  $Y_A$  و  $Y_B$  و  $Y_C$  هي مقلوبات معاوقات الأحمال  $Z_A$  و  $Z_B$  و  $Z_C$  . وبما أن كل الحدود في المعادلة (٦) إما أنها مسطحة أو يمكن الحصول عليها مباشرة فإن إزاحة الجهد التعادل يمكن حسابها ثم استخدامها في تعيين تيارات الأفرع .

### مثال ٧ :

أوجد تيارات الأفرع والجهود على الأحمال في المثال ٦ باستخدام طريقة إزاحة نقطة التعادل .

بالإشارة إلى الشكل ١٤ - ٢٠ تكون معادلة إزاحة جهد التعادل هي :



شكل ١٤ - ٢٠

$$V_{ON} = \frac{V_{AN}Y_A + V_{BN}Y_B + V_{CN}Y_C}{Y_A + Y_B + Y_C}$$

حيث

$$\begin{aligned} Y_A &= 1/(6 \angle 0^\circ) = 0.1667 \angle 0^\circ \quad \therefore 0.1667 \text{ S} \\ Y_B &= 1/(6 \angle 30^\circ) = 0.1667 \angle -30^\circ = 0.1443 \dots \angle -0.0833 \text{ S} \\ Y_C &= 1/(5 \angle 45^\circ) = 0.20 \angle -45^\circ = 0.1414 \dots \angle -0.1414 \text{ S} \\ Y_A + Y_B + Y_C &= 0.4524 \dots \angle -0.2247 \text{ S} \\ &= 0.504 \angle -26.5^\circ \text{ S} \end{aligned}$$

$$V_{AN}Y_A = 120 \angle -90^\circ (0.1667 \angle 0^\circ) = 20 \angle -90^\circ = -j20 \text{ A}$$

$$V_{BN}Y_B = 120 \angle 30^\circ (0.1667 \angle -30^\circ) = 20 \angle 0^\circ = 20 \text{ A}$$

$$V_{CN}Y_C = 120 \angle 150^\circ (0.20 \angle -45^\circ) = 24 \angle 105^\circ = -6.2 + j23.2 \text{ A}$$

$$V_{AN}Y_A + V_{BN}Y_B + V_{CN}Y_C = 13.8 + j3.2 = 14.1 \angle 13.1^\circ \text{ A}$$

$$V_{ON} = 14.1 \angle 13.1^\circ / 0.504 \angle -26.5^\circ = 28.0 \angle 39.6^\circ \text{ V}$$

إذن

ونحصل على الجهود  $V_{AO}$  و  $V_{BO}$  و  $V_{CO}$  باستخدام  $V_{NO}$  وجهد الفرع الملائم بالنسبة للجهود المتبادل

$$V_{AO} = V_{AN} + V_{NO} = 120 \angle -90^\circ - 28.0 \angle 39.6^\circ = 139.5 \angle 261.1^\circ \text{ V}$$

$$V_{BO} = V_{BN} + V_{NO} = 120 \angle 30^\circ - 28.0 \angle 39.6^\circ = 92.5 \angle 27.1^\circ \text{ V}$$

$$V_{CO} = V_{CN} + V_{NO} = 120 \angle 150^\circ - 28.0 \angle 39.6^\circ = 132.5 \angle 161.45^\circ \text{ V}$$

ونحصل على تيارات الأفرع مباشرة من الجهود ومساحات الأحمال المناظرة لها .

$$I_A = V_{AO}Y_A = 139.5 \angle 261.1^\circ (0.1667 \angle 0^\circ) = 23.2 \angle 261.1^\circ \text{ A}$$

$$I_B = V_{BO}Y_B = 92.5 \angle 27.1^\circ (0.1667 \angle -30^\circ) = 15.4 \angle -2.9^\circ \text{ A}$$

$$I_C = V_{CO}Y_C = 132.5 \angle 161.45^\circ (0.20 \angle -45^\circ) = 26.5 \angle 116.45^\circ \text{ A}$$

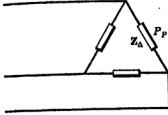
التيارات والجهود السابقة مطابقة تماماً لنتائج المثال ٦ .

### قدرة أحبال متزنة ذات ثلاثة أطوار :

بما أن الماوقات المطاوعة المتزنة المتصلة على شكل نجمة أو دلتا يمر بها تيارات متساوية فإن القدرة المطاوعة تكون ثلث القدرة الكلية . في الشكل ٢١ - ١ (أ) نجد أن الجهد على الماوقة ZA هو جهد الفرع وأن التيار تيار مغاور . والزاوية بين الجهد والتيار هي زاوية الماوقة . إذن القدرة المطاوعة هي

$$(٧) \quad P_P = V_L I_P \cos \theta$$

والقدرة الكلية هي



$$(٨) \quad P_T = 3 V_L I_P \cos \theta$$

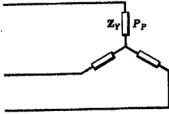
بما أن  $I_L = \sqrt{3} I_P$  إذن قدرة الأحمال المترنة المتصلة

على شكل دلتا هي

(١)

$$(٩) \quad P_T = \sqrt{3} V_L I_L \cos \theta$$

يمر في معلوقات الشكل ١٤ - ٢١ (ب) المتصلة على شكل نجمة ، تيارات الأفرع والجهد على  $Z_Y$  هو جهد مطاور . والزاوية بين هذا الجهد والتيار هي زاوية المعاوقة . إذن القدرة المطاوعة هي



$$(١٠) \quad P_P = V_P I_L \cos \theta$$

والقدرة الكلية هي

(ب)

$$(١١) \quad P_T = 3 V_P I_L \cos \theta$$

بما أن  $V_L = \sqrt{3} V_P$  إذن

شكل ١٤ - ٢١

$$(١٢) \quad P_T = \sqrt{3} V_L I_L \cos \theta$$

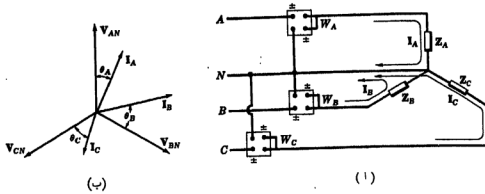
بما أن المادتين (٩) و (١٢) متطابقتان ، فإن القدرة الكلية في نظام الأحمال المترنة ذا الأطوار الثلاثة تعطى  $\sqrt{3} V_L I_L \cos \theta$  حيث  $\theta$  هي زاوية معاوقة الحمل أو هي زاوية المعاوقة المكافئة في حالة اتصال العديد من الأحمال المترنة لتكوين نفس النظام .

وبما أن القدرة الظاهرية « فولت - أمبير »  $S_T$  والقدرة الكلية المفاعلية  $Q_T$  متعلقتان بالقدرة الكلية  $P_T$  ( الفصل السابع ) . إذن فإنه في نظام الأحمال المترنة ذي الأطوار الثلاثة تعطى القدرة والقدرة المفاعلية بالمعادلات :

$$(١٣) \quad P_T = \sqrt{3} V_L I_L \cos \theta \quad S_T = \sqrt{3} V_L I_L \quad Q_T = \sqrt{3} V_L I_L \sin \theta$$

### الواتميتر والاحمال على شكل نجمة ، أربعة أسلاك :

الواتميتر هو جهاز به ملف لقراءة الجهد والتيار وعلى ذلك فإن انحرافه يتناسب مع  $VI \cos \theta$  حيث  $\theta$  هي الزاوية بين الجهد والتيار . ويحتاج نظام الاحمال المتصل على شكل نجمة وأربعة أسلاك للثلاثة واتميتر يوصل كل واحد منهما في فرع من الأفرع الثلاثة كما في الشكل ١٤ - ٢٢ (أ) .



شكل ١٤ - ٢٢

يفترض في الشكل المطاوع ١٤ - ٢٢ (ب) أن التيار في الطور A لاحق وتيارا الطورين B و C سابقان وزوايا الأطوار هي  $\theta_A$  و  $\theta_B$  و  $\theta_C$  على الترتيب . إذن قراءات الواتميتر هي

$$(١٤) \quad W_A = V_{AN} I_A \cos \alpha_A^{AN}, \quad W_B = V_{BN} I_B \cos \alpha_B^{BN}, \quad W_C = V_{CN} I_C \cos \alpha_C^{CN}$$

حيث تعبر  $\alpha_A^{AN}$  عن الزاوية بين  $V_{AN}$  و  $I_A$  . ويفرأ الواتميتر  $W_A$  القدرة في الطور A بينما يقرأ  $W_B$  و  $W_C$  القدرة في الطورين B و C على الترتيب . والقدرة الكلية هي

$$(١٥) \quad P_T = W_A + W_B + W_C$$

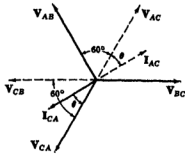
### الطريقة باستخدام اثنين من الواتميتر :

تسلي القدرة الكلية في نظام الأطوار الثلاثة وثلاثة أسلاك بمجموع قراءاتى جهازى الواتميتر المتصلين في أى فرعين مع توصيل على الجهد بهما بالفرع الثالث كما هو موضح في الشكل ١٤ - ٢٣ . وتكون قراءات الأجهزة هي

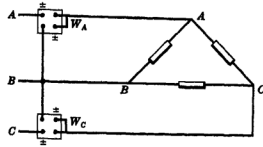
$$(١٦) \quad W_C = V_{CB} I_C \cos \alpha_C^{CB}, \quad W_A = V_{AB} I_A \cos \alpha_A^{AB}$$

بتطبيق قانون كيرشوف للتيار على نقطتي الاتصال A و C في الاحمال المتصلة على شكل دلتا نحصل على

$$(١٧) \quad I_C = I_{CA} + I_{CB} \quad \text{و} \quad I_A = I_{AB} + I_{AC}$$



شكل ١٤ - ٢٤



شكل ١٤ - ٢٣

والتعويض عن  $I_C$  و  $I_A$  من المعادلة (١٧) في المعادلة (١٦) نحصل على

$$(18) \quad \begin{aligned} W_A &= V_{AB} I_{AB} \cos \phi_{AB}^{AB} + V_{AB} I_{AC} \cos \phi_{AC}^{AB} \\ W_C &= V_{CB} I_{CA} \cos \phi_{CA}^{CB} + V_{CB} I_{CB} \cos \phi_{CB}^{CB} \end{aligned}$$

وتعبر الحدود  $V_{AB} I_{AB} \cos \phi_{AB}^{AB}$  ،  $V_{CB} I_{CB} \cos \phi_{CB}^{CB}$  مباشرة القدرة في الطورين  $AB$  و  $CB$  تعمل . والحدان الباقيان يحتويان على  $V_{AB} I_{AC} \cos \phi_{AC}^{AB}$  ،  $V_{CB} I_{CA} \cos \phi_{CA}^{CB}$  ، والذي يمكن كتابتهما الآن  $V_L I_{AC} \cos \phi$  حيث أن كلا من  $I_{AC}$  و  $V_{AB}$  هو جهد فروع و  $I_{CA}$  و  $V_{CB}$  هو جهد فروع و  $\phi$  زاوية  $V_{AC}$  بإزاحة  $\theta$  لاحق للجهد  $V_{AC}$  بإزاحة  $\theta$  .

من الشكل المطاور نجد أن

$$(19) \quad \phi_{CA}^{CB} = 60^\circ - \theta \quad \phi_{AC}^{AB} = 60^\circ + \theta$$

والآن بإضافة الحدين الباقيين في المعادلة (١٨) والتعويض بـ  $(60^\circ + \theta)$  و بـ  $(60^\circ - \theta)$  بدلا من  $\phi_{CA}^{CB}$  ،  $\phi_{AC}^{AB}$  على الترتيب نجد أن

$$(20) \quad V_L I_{AC} \cos (60^\circ + \theta) + V_L I_{AC} \cos (60^\circ - \theta)$$

وبما أن  $\cos(x \pm y) = \cos x \cos y \pm \sin x \sin y$  فإن

$$(21) \quad V_L I_{AC} (\cos 60^\circ \cos \theta - \sin 60^\circ \sin \theta + \cos 60^\circ \cos \theta + \sin 60^\circ \sin \theta)$$

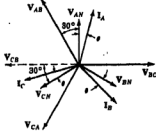
$$(22) \quad V_L I_{AC} \cos \theta \quad \text{أو}$$

وهي القدرة في الطور الباقي  $AC$  للأحمال . ونرى من هذا أن جهازين من الواتميتر يمكن أن يعبرا عن القدرة الكلية في الأحمال المتصلة على شكل دلتا . تترك طريقة استخدام جهازين من الواتميتر في حالة أحمال متصلة على شكل نجمة كنموذج للقارىء.

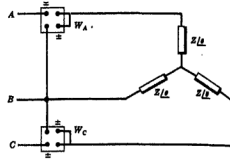


تطبيق طريقة الثنين من الواتميتر على أحمال متزنة :

لتوضيح تطبيق طريقة اثنين من الواتميتر على أحمال متزنة ، نعتبر الثلاثة معاوقات المتساوية المتصلة على شكل النجمة والموضحة في الشكل ١٤ - ٢٥ (أ) يوضح الشكل ١٤ - ٢٥ (ب) الشكل المطاوع للثنايع  $ABC$  بفرض أن التيار لاحق بزاوية طور مقدارها  $\theta$ .



(ب)



(أ)

شكل ١٤ - ٢٥

والآن يتوصل الجهازيين في الفرعين  $A$  و  $C$  فإن قراءتهما

$$(٢٣) \quad W_C = V_{CB} I_C \cos \phi_C^{CB} \quad , \quad W_A = V_{AB} I_A \cos \phi_A^{AB}$$

من الشكل المطاوع نجد أن

$$(٢٤) \quad \phi_C^{CB} = 30^\circ - \theta \quad \phi_A^{AB} = 30^\circ + \theta$$

بالتعويض من المعادلة (٢٤) في المعادلة (٢٣) نحصل على

$$(٢٥) \quad W_C = V_{CB} I_C \cos (30^\circ - \theta) \quad \text{و} \quad W_A = V_{AB} I_A \cos (30^\circ + \theta)$$

عند استخدام طريقة جهازين الواتميتر على أحمال متزنة فإن قراءات الجهازين هما  $V_L I_L \cos (30^\circ - \theta)$  و  $V_L I_L \cos (30^\circ + \theta)$ .

حيث  $\theta$  هي زاوية المعاوقة . ويمكن استخدام القراءتين للحصول على الزاوية  $\theta$ .

بكتابة معادلة  $W_1$  واستخدام جيب تمام مجموع زاويتين نحصل على

$$(٢٦) \quad W_1 = V_L I_L (\cos 30^\circ \cos \theta - \sin 30^\circ \sin \theta)$$

$$(٢٧) \quad W_2 = V_L I_L (\cos 30^\circ \cos \theta + \sin 30^\circ \sin \theta) \quad \text{وبالمثل}$$

وبمجموعهما هو  $W_1 + W_2 = \sqrt{3} V_L I_L \cos \theta$  والفرق بينهما هو  $W_2 - W_1 = V_L I_L \sin \theta$  وبذلك نجد أن

$$(٢٨) \quad \tan \theta = \sqrt{3} \left( \frac{W_2 - W_1}{W_1 + W_2} \right)$$

إذن ظل زاوية المعاودة  $Z$  يساوى  $\sqrt{3}$  × النسبة بين الفرق بين قراءات الجهازين إلى مجموع القراءتين . ويكون معرفة الأنفرع التى يوصل فيها الجهازين وكذلك مجموعة المتتابة فإنة لا يمكن التمييز بين  $\theta +$  و  $\theta -$  وعلى ذلك فتمت معرفة كل من المتتابة وموضعى الجهازين فإنه يمكن تثبيت الإشارة بالملاحظين التاليين . فنجد للمتتابة  $ABC$  :

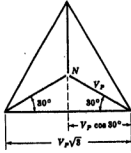
$$(٢٩) \quad \tan \theta = \sqrt{3} \frac{W_A - W_B}{W_A + W_B} = \sqrt{3} \frac{W_B - W_C}{W_B + W_C} = \sqrt{3} \frac{W_C - W_A}{W_C + W_A}$$

المتتابة  $CBA$

$$(٢٠) \quad \tan \theta = \sqrt{3} \frac{W_B - W_A}{W_B + W_A} = \sqrt{3} \frac{W_C - W_B}{W_C + W_B} = \sqrt{3} \frac{W_A - W_C}{W_A + W_C}$$

### مسائل محلولة

١٤ - ١ بين أن جهد الفرع  $V_L$  في نظام الأطوار الثلاثة يساوى  $\sqrt{3}$  جهد الفرع بالنسبة للجهد المتبادل  $V_p$ .



شكل ١٤ - ٢٦

مثل المثلث المتساوى الأضلاع الموضح في الشكل ١٤ - ٢٦ جهود الأطوار الثلاثة وفيه يتناسب طول الضلع مع جهد الفرع  $V_L$  ونقطة التعادل  $N$  في مركز المثلث .

المسقط الأتقى لجهد الفرع بالنسبة للجهد المتبادل هو  $V_p \cos 30^\circ$  أو  $V_p \sqrt{3}/2$  . وحيث أن القاعدة هي مجموع مسطعين فإنه ينتج أن :

$$V_L = 2(V_p \sqrt{3}/2) = \sqrt{3} V_p$$

١٤ - ٢ احسب تيار أقصى تحميل للملف في كل من النظامين دلنا والنجمة بفرض جهد ذى ثلاثة أطوار بمعدل 25 kVA وجهد 480 V .

في حالة توصيلات النجمة يكون تيار الفرع وتيار الملف لهما نفس القيمة ولنظام الثلاثة أطوار المتزن يكون

$$I_L = \frac{kVA}{\sqrt{3} V_L \times 10^{-3}} = \frac{25}{\sqrt{3}(480 \times 10^{-3})} = 30.1 \text{ A} \quad \text{و} \quad kVA = \sqrt{3} V_L I_L \times 10^{-3}$$

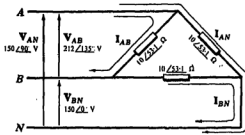
وفي حالة توصيلات - دلنا جهد متردد له نفس معدل kVA فإن تيار أقصى تحميل للفرع هو 30.1A .

$$I_{\text{eff}} = 30.1/\sqrt{3} = 17.35 \text{ A} \quad \text{إذن} \quad I_L/\sqrt{3} .$$

١٤ - ٣ نظام ذو طورين فيه جهد الفرع بالنسبة للجهد المتبادل 150 v ، يؤثر على أحمال متوزنة متصلة على شكل دلنا معاوتتها متساوية  $10/\sqrt{3} \Omega$  ، أوجد تيار الفرع والقدرة الكلية .

في حالة نظام ذي طورين فإن جهدي الفرع بالنسبة للجهود المتبادل لها زاوية فرق طور  $90^\circ$  . إذن إذا كان  $V_{BN}$  هو جهد الإسناد فإن  $V_{AN}$  يصنع زاوية  $90^\circ$  كما في الشكل ١٤-٢٧ . وجهد الفرع بالنسبة للفرع آخر يساوي  $\sqrt{2} \times$  جهد الفرع بالنسبة إلى الجهد المتبادل . إذن  $V_{AB} = \sqrt{2}(150) = 212 \text{ V}$

والتيارات المطاوعة هي :



شكل ١٤-٢٧

$$I_{AB} = \frac{V_{AB}}{Z} = \frac{212 \angle 135^\circ}{10 \angle 53.1^\circ} = 21.2 \angle 81.9^\circ \text{ A}$$

$$I_{AN} = \frac{V_{AN}}{Z} = \frac{150 \angle 90^\circ}{10 \angle 53.1^\circ} = 15.0 \angle 36.9^\circ \text{ A}$$

$$I_{BN} = \frac{V_{BN}}{Z} = \frac{150 \angle 0^\circ}{10 \angle 53.1^\circ} = 15.0 \angle -53.1^\circ \text{ A}$$

وتعطي تيارات الأفرع بدلالة التيارات المطاوعة بتطبيق قانون كيرشوف التيار على نقاط اتصال الأحمال في الشكل دلتا . وإذا فرضنا أن الاتجاه الموجب لهذه التيارات هو في الاتجاه إلى الأحمال ، إذن

$$I_A = I_{AN} + I_{AB} = 15.0 \angle 36.9^\circ + 21.2 \angle 81.9^\circ = 33.5 \angle 63.4^\circ \text{ A}$$

$$I_B = I_{BN} + I_{BA} = 15.0 \angle -53.1^\circ - 21.2 \angle 81.9^\circ = 33.6 \angle -79.7^\circ \text{ A}$$

$$I_N = I_{NA} + I_{NB} = 15.0 \angle 36.9^\circ - 15.0 \angle -53.1^\circ = 21.2 \angle 171.86^\circ \text{ A}$$

ونحصل على القدرة الكلية باستخدام القيمة الفعالة للتيار المار في معاوقة الحمل . إذن

$$P_{AB} = I_{AB}^2 R = (21.2)^2 6 = 2700 \text{ W}$$

$$P_{AN} = I_{AN}^2 R = (15.0)^2 6 = 1350 \text{ W}$$

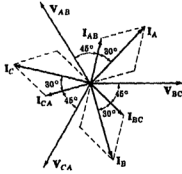
$$P_{BN} = I_{BN}^2 R = (15.0)^2 6 = 1350 \text{ W}$$

والقدرة الكلية هي = 5400 W

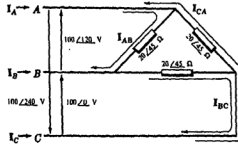
١- نظام ذو ثلاثة أطوار وثلاثة أسلاك وجهد 100 V يؤثر بالمجموعة ABC على أحمال متزنة متساوية على شكل دلتا معاوقتها  $20 \angle 45^\circ \Omega$  . عين تيارات الأفرع وارسم الشكل المطاوع .

تؤثر بمجموع الأفرع لمتناوبة ABC على الدائرة المطاة في الشكل ١٤-٢٨ . إذن التيارات المطاوعة المختارة هي :

$$I_{AB} = \frac{V_{AB}}{Z} = \frac{100 \angle 120^\circ}{20 \angle 45^\circ} = 5.0 \angle 75^\circ \text{ A}, I_{BC} = \frac{V_{BC}}{Z} = 5.0 \angle 45^\circ \text{ A}, I_{CA} = \frac{V_{CA}}{Z} = 5.0 \angle 195^\circ \text{ A}$$



شكل ٢٩ - ١٤



شكل ٢٨ - ١٤

نحصل على تيارات الأفرع كما في شكل الدائرة ، فلنأخذ تطبيق قانون كيرشوف للتيار عند كل نقطة اتصال للأحمال . إذن

$$\begin{aligned} I_A + I_{AB} + I_{AC} &= 5.0 \angle 75^\circ - 5.0 \angle 195^\circ = 8.66 \angle 45^\circ \text{ A} \\ I_B + I_{BA} + I_{BC} &= -5.0 \angle 75^\circ + 5.0 \angle -45^\circ = 8.66 \angle -75^\circ \text{ A} \\ I_C + I_{CA} + I_{CB} &= 5.0 \angle 195^\circ - 5.0 \angle -45^\circ = 8.66 \angle 165^\circ \text{ A} \end{aligned}$$

الشكل ٢٩ - ١٤ يوضح الرسم المطاور لتيارات الأفرع والتيارات المطاورة .

١٤ - ٥ أوجد قراءات الواتميتر وذلك عند تطبيق طريقة جهازى الواتميتر على دائرة المسألة ١٤ - ٤ .  
قراءات الواتميتر في حالة أحمال متزنة بثلاثة أطوار وثلاثة أسلاك هي :

$$(١) \quad W_1 = V_L I_L \cos(30^\circ - \theta) \quad \text{و} \quad W_2 = V_L I_L \cos(30^\circ + \theta)$$

حيث  $\theta$  هي زاوية معاوقة الحمل . لدينا من المسألة ١٤ - ٤ ،  $V_L = 100$  ،  $I_L = 8.66$  ، وزاوية الحمل هي  $45^\circ$  .  
بالتعويض بهذه القيم في المعادلة (١) نحصل على

$$W_1 = 100(8.66) \cos(30^\circ + 45^\circ) = 866 \cos 75^\circ = 224 \text{ W}$$

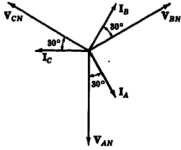
$$W_2 = 100(8.66) \cos(30^\circ - 45^\circ) = 866 \cos(-15^\circ) = 836 \text{ W}$$

$$P_T = W_1 + W_2 = 1060 \text{ W} \quad \text{والقدرة الكلية هي}$$

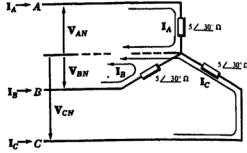
وكاختبار للنتيجة فإنه يمكننا حساب القدرة الكلية في أى معاوقات متزنة ذا ثلاثة أطوار من العلاقة :

$$P = \sqrt{3} V_L I_L \cos \theta = \sqrt{3} 100(8.66) \cos 45^\circ = 1060 \text{ W}$$

١٤ - ٦ وصلت ثلاثة معاوقات متساوية قيمة كل منها  $50 \angle 30^\circ \Omega$  . ومتصلة على شكل نجمة بالمجموعة CBA لثلاثة أطوار - ثلاثة أسلاك وجهد  $150 \text{ V}$  . أوجد تيارات الأفرع وارسم الشكل المطاور .



شكل ٣١ - ١٤



شكل ٣٠ - ١٤

يمكننا في نظام متزن ذي ثلاثة أسلاك على شكل نجمة إضافة نقطة التعادل كما في شكل ٣٠ - ١٤ . إذن بتطبيق جهد الفرع بالنسبة للجهد المتعادل الذي قيمته

$$V_{LN} = V_L / \sqrt{3} = 150 / \sqrt{3} = 86.6 \text{ V}$$

بنفس زاوية طور المتتابة CBA . والتيارات الأفرع هي :

$$I_A = \frac{V_{AN}}{Z} = \frac{86.6 \angle -90^\circ}{5 \angle 30^\circ} = 17.32 \angle -60^\circ \text{ A}, I_B = \frac{V_{BN}}{Z} = 17.32 \angle 60^\circ \text{ A}, I_C = \frac{V_{CN}}{Z} = 17.32 \angle 180^\circ \text{ A}$$

يوضح الرسم الماور ٣١ - ١٤ أن مجموعة تيارات الأفرع المتزنة سابقة لجهد الأفرع بالنسبة للجهد المتعادل بزاوية 30° ، وهي زاوية معاوقة الحمل .

١٤ - ٧ أوجد قرائن الواتميتر وذلك عند تطبيق طريقة جهازى الواتميتر على دائرة المسألة ١٤ - ٦ .  
في حالة أحمال متزنة ذي ثلاثة أطوار نجد أن

$$W_1 = V_L I_L \cos (30^\circ + \theta) = 150(17.32) \cos (30^\circ + 30^\circ) = 1300 \text{ W}$$

$$W_2 = V_L I_L \cos (30^\circ - \theta) = 150(17.32) \cos (30^\circ - 30^\circ) = 2600 \text{ W}$$

والقدرة الكلية هي  $P_T = W_1 + W_2 = 3900 \text{ W}$

وكذاختبار النتيجة يمكننا حساب القدرة المطاوعة  $P_p = I_L^2 R = (17.32)^2 \cdot 4.33 = 1300 \text{ W}$  ثم حساب القدرة الكلية

$$P_T = 3P_p = 3(1300) = 3900 \text{ W}$$

أو في حالة أحمال متزنة ذي ثلاثة أطوار فإن القدرة الكلية هي

$$P = \sqrt{3} V_L I_L \cos \theta = \sqrt{3}(150)(17.32) \cos (-30^\circ) = 3900 \text{ W}$$

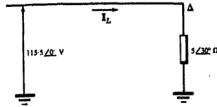
١٤ - ٨ وصلت ثلاث معاوقات متساوية قيمة كل منها  $15/30^\circ \Omega$  متصلة على شكل دلتا بمجموعة  $ABC$  لنظام ذو ثلاثة أطوار - ثلاثة أسلاك وجهه  $200\text{ V}$  . أوجد تيارات الأفرع باستخدام طريقة دائرة الفرع الواحد المكافئة .

بما أن الحمل متصل على شكل دلتا فإننا نحصل أولاً على المعاوقات المكافئة للعمل والمتصلة على شكل نجمة :

$$Z_Y = Z_\Delta/3 = 15/30^\circ/3 = 5/30^\circ \Omega$$

وقيمة جهد الفرع بالنسبة لجهد التعادل هي

$$V_{LN} = V_L/\sqrt{3} = 200/\sqrt{3} = 115.5\text{ V}$$



شكل ١٤ - ٣٢

والآن فإن الجهد المؤثر على دائرة الفرع الواحد المكافئ، الموضحة في الشكل ١٤ - ٣٢ هو  $115.5/0^\circ\text{ V}$  والتيار الناتج هو

$$I_L = \frac{V_{LN}}{Z} = \frac{115.5/0^\circ}{5/30^\circ} = 23.1/30^\circ\text{ A}$$

والموصول على تيارات الأفرع  $I_A$  و  $I_B$  و  $I_C$  فإننا نعين أولاً زاوية الطور في جهد الفرع المناظر بالنسبة لجهد المتبادل في المتتابة  $ABC$  . وبما أن زاوية طور  $V_{AN}$  هي  $90^\circ$  .

$$I_A = 23.1/90^\circ - 30^\circ = 23.1/60^\circ\text{ A} \text{ ، وبطريقة مماثلة نحصل على } I_B = 23.1/180^\circ\text{ A} \text{ ، } I_C = 23.1/30^\circ\text{ A}$$

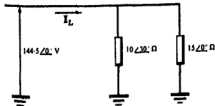
وترتبط تيارات المعاوقات المتصلة على شكل دلتا بتيارات الأفرع بالعلاقة  $I_L = \sqrt{3}I_p$  ومنها نجد أن

$$I_p = 23.1/\sqrt{3} = 13.3\text{ A}$$

وزاوية طور  $V_{AB}$  في المتتابة  $ABC$  هي  $120^\circ$  ، إذن  $I_{AB} = 13.3/120^\circ - 30^\circ = 13.3/90^\circ\text{ A}$  .

$$I_{BC} = 13.3/30^\circ\text{ A} \text{ ، } I_{CA} = 13.3/210^\circ\text{ A}$$

١٤ - ٩ وصلت مجموعتان إحداها متصلة على شكل نجمة وتتكون من ثلاث معاوقات متساوية قيمة كل منها  $10/30^\circ \Omega$  ، والثانية متصلة على شكل نجمة أيضاً وتتكون من ثلاث معاوقات متساوية قيمة كل منها  $5/0^\circ \Omega$  ، بنظام واحد ذي ثلاثة أطوار - ثلاثة أسلاك - وجهه  $250\text{ V}$  . أوجد القدرة الكلية



شكل ١٤ - ٣٣

بما أن كلتا المجموعتين متصلتين على شكل نجمة فإنه يمكن استبدال معاوقتهما المطاوعة مباشرة بدائرة مكافئة ذات فرع واحد كما في الشكل ١٤ - ٣٣ . والجهد المطلوب في دائرة الفرع الواحد المكافئة هو

$$V_{LN} = V_L/\sqrt{3} = 250/\sqrt{3} = 144.5\text{ V}$$

إذن التيار هو

$$I_L = \frac{144 \angle 50^\circ}{10 \angle 30^\circ} + \frac{144 \angle 50^\circ}{15 \angle 0^\circ}$$

$$= 14.45 \angle 30^\circ + 9.62 \angle 0^\circ = 23.2 \angle 18.1^\circ \text{ A}$$

في معادلة القدرة  $P = \sqrt{3} V_L I_L \cos \theta$  الزاوية  $\theta$  هي زاوية المعاوقة في حالة وجود مجموعة واحدة .

أما في حالة عدة مجموعات متصلة بنفس النظام فإن  $\theta$  هي زاوية معاوقة الحمل المكافئ . في حالة حساب التيار  $I_L$  فإننا اعتبرنا أن مجموع الأحمال ووجدنا أن التيار لاحق للجهد بزاوية  $18.1^\circ$  . وعلى هذا يتضح لنا أن المعاوقة المكافئة حثية ولها زاوية  $18.1^\circ$  . إذن

$$P = \sqrt{3} V_L I_L \cos \theta = \sqrt{3} 250 (23.2) \cos 18.1^\circ = 9530 \text{ W}$$

١٠ - ١٤ إذا أثرنا بالمجموعة  $ABC$  لنظام ذي ثلاثة أطوار - ثلاثة أسلاك وجهد  $208 \text{ V}$  على ثلاث معاوقات متساوية قيمة كل منها  $12 \angle 30^\circ \Omega$  متصلة على شكل دلتا وعلى ثلاث معاوقات متساوية قيمة كل منها  $5 \angle 45^\circ \Omega$  متصلة على شكل نجمة . فأوجد تيارات الأفرع والقدرة الكلية .

حيث أن المجموعة الأولى للأحمال متصلة على شكل دلتا فإننا نحصل على شكل نجمة المكافئ لها

$$Z_Y = Z_\Delta / 3 = 12 \angle 30^\circ / 3 = 4 \angle 30^\circ \Omega$$

وحيث أن جهد الفرع هو  $208 \text{ V}$  فإن جهد الفرع بالنسبة للجهد المتماثل هو  $208 / \sqrt{3} \text{ V}$  أو  $120 \text{ V}$  .

يوضح الشكل ١٤ - ٣٤ دائرة الفرع الواحد المكافئ وفيها معاوقتا الحمل هما  $4 \angle 30^\circ \Omega$  ،  $5 \angle 45^\circ \Omega$  ويمكن استبدال هاتين المعاوقتين بمعاوقة مكافئة هي

$$Z_{eq} = \frac{4 \angle 30^\circ (5 \angle 45^\circ)}{4 \angle 30^\circ + 5 \angle 45^\circ} = 2.24 \angle 36.6^\circ \Omega$$

إذن التيار هو

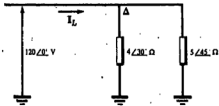
$$I_L = \frac{V_{LN}}{Z_{eq}} = \frac{120 \angle 0^\circ}{2.24 \angle 36.6^\circ} = 53.6 \angle 36.6^\circ \text{ A}$$

والجهد  $V_{AN}$  في المتابعة  $ABC$  له زاوية طور  $90^\circ$  وعلى هذا فإن

$$I_B = 53.6 \angle 36.6^\circ \text{ A} \quad \text{وبالمثل نجد أن} \quad I_A = 53.6 \angle 90^\circ \text{ A} \quad I_C = 53.6 \angle 186.6^\circ \text{ A}$$

القدرة الكلية هي

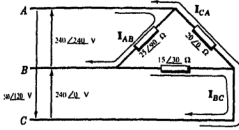
$$P = \sqrt{3} V_L I_L \cos \theta = \sqrt{3} 208 (53.6) \cos 36.6^\circ = 15500 \text{ W}$$



شكل ١٤ - ٣٤

١١-١٤ تؤثر المجموعة CBA لنظام ذي ثلاثة أطوار - ثلاثة أسلاك وجهد 240 V على أحمال متصلة على شكل دلتا فيها  $Z_{CA} = 20/\underline{0^\circ} \Omega$  ،  $Z_{BC} = 15/\underline{30^\circ} \Omega$  و  $Z_{AB} = 25/\underline{90^\circ} \Omega$  .

تؤثر بمجهود الأفرع لمتتالية CBA على الأحمال المتصلة على شكل دلتا والموضحة في الشكل ١٤-٣٥ ، ونختار التيارات المطاوعة كما هو موضح في الشكل . إذن



شكل ١٤-٣٥

$$I_{AB} = \frac{V_{AB}}{Z_{AB}} = \frac{240/\underline{240^\circ}}{25/\underline{90^\circ}} = 9.6/\underline{150^\circ} \text{ A}$$

$$I_{BC} = \frac{V_{BC}}{Z_{BC}} = \frac{240/\underline{0^\circ}}{15/\underline{30^\circ}} = 16.0/\underline{-30^\circ} \text{ A}$$

$$I_{CA} = \frac{V_{CA}}{Z_{CA}} = \frac{240/\underline{120^\circ}}{20/\underline{0^\circ}} = 12.0/\underline{120^\circ} \text{ A}$$

والآن نحسب تيارات الأفرع بدلالة التيارات المطاوعة

$$I_A = I_{AB} + I_{AC} = 9.6/\underline{150^\circ} - 12/\underline{120^\circ} = 6.06/\underline{247^\circ} \text{ A}$$

$$I_B = I_{BA} + I_{BC} = -9.6/\underline{150^\circ} + 16/\underline{-30^\circ} = 25.6/\underline{-30^\circ} \text{ A}$$

$$I_C = I_{CA} + I_{CB} = 12/\underline{120^\circ} - 16/\underline{-30^\circ} = 27.1/\underline{137.2^\circ} \text{ A}$$

وكما هو متوقع في حالة الأحمال غير المترنة فإن تيارات الأفرع غير متساوية .

ونحسب القدرة في كل طور كما يلي

$$\text{المقاومة } Z_{AB} = 25/\underline{90^\circ} = 0 + j25 \text{ ohms ، أي أن } R_{AB} = 0 \text{ و } I_{AB} = 9.6 \text{ A ، إذن}$$

$$P_{AB} = I_{AB}^2 R_{AB} = (9.6)^2(0) = 0$$

$$\text{المقاومة } Z_{BC} = 15/\underline{30^\circ} = 13 + j7.5 \text{ ohms ، أي أن } R_{BC} = 13 \Omega \text{ و } I_{BC} = 16 \text{ A ، إذن}$$

$$P_{BC} = I_{BC}^2 R_{BC} = (16)^2(13) = 3330 \text{ W}$$

$$\text{المقاومة } Z_{CA} = 20/\underline{0^\circ} = 20 + j0 \text{ ohms ، أي أن } R_{CA} = 20 \Omega \text{ و } I_{CA} = 12 \text{ A ، إذن}$$

$$P_{CA} = I_{CA}^2 R_{CA} = (12)^2(20) = 2880 \text{ W}$$

والقدرة الكلية هي مجموع القدرات المطاوعة ،

$$P_T = P_{AB} + P_{BC} + P_{CA} = 0 + 3330 + 2880 = 6210 \text{ W}$$



١٤ - ١٢ أوجد قراءات الواتميتر عند استخدام طريقة جهازى الواتميتر في دائرة المسألة ١٤ - ١١ إذا كان الجهازان متصلين في الفرعين (١)  $A$  و  $B$  ، (ب)  $A$  و  $C$  .

(١) في حالة توصيل الجهازين في الفرعين  $A$  و  $B$  فإن

$$W_B = V_{BC} I_B \cos \phi_{B-BC}^{BC} \quad (٢) \quad , \quad W_A = V_{AC} I_A \cos \phi_{A-AC}^{AC} \quad (١)$$

لدينا من المسألة ١٤ - ١١ ،  $V_{A'C'} = 240 \angle -60^\circ \text{ V}$  ،  $I_A = 6.06 \angle 247.7^\circ \text{ A}$  ، إذن الزاوية

$\phi_{A-AC}^{AC}$  هي الزاوية بين  $247.7^\circ$  و  $-60^\circ$  أو  $52.3^\circ$  . بالتعويض في (١) نجد أن

$$W_A = 240(6.06) \cos 52.3^\circ = 890 \text{ W}$$

لدينا أيضاً من المسألة ١١ - ١١ أن  $V_{B'C'} = 240 \angle 0^\circ \text{ V}$  ،  $I_B = 25.6 \angle -30^\circ \text{ A}$  ، إذن  $\phi_{B-BC}^{BC} = 30^\circ$  .

وبالتعويض في (٢) نجد أن

$$W_B = 240(25.6) \cos 30^\circ = 5320 \text{ W}$$

والقدرة الكلية هي  $P_T = W_A + W_B = 890 + 5320 = 6210 \text{ W}$

(ب) في حالة توصيل الجهازين في الفرعين  $A$  و  $C$  فإن

$$W_C = V_{CB} I_C \cos \phi_{C-CB}^{CB} \quad (٤) \quad , \quad W_A = V_{AB} I_A \cos \phi_{A-AB}^{AB} \quad (٣)$$

لدينا من المسألة ١٤ - ١١ أن  $V_{AB} = 240 \angle 240^\circ \text{ V}$  ، وبما أن  $I_A = 6.06 \angle 247.7^\circ \text{ A}$  ، إذن

$\phi_{A-AB}^{AB} = 7.7^\circ$  . وبالتعويض في (٣) نجد أن

$$W_A = 240(6.06) \cos 7.7^\circ = 1440 \text{ W}$$

وأيضاً  $V_{CB} = 240 \angle 180^\circ \text{ V}$  ،  $I_C = 27.1 \angle 132.2^\circ \text{ A}$  ، ومنها نجد أن  $\phi_{C-CB}^{CB} = 42.8^\circ$  .

وبالتعويض في (٤) نجد أن

$$W_C = 240(27.1) \cos 42.8^\circ = 4770 \text{ W}$$

والقدرة الكلية هي  $P_T = W_A + W_C = 1440 + 4770 = 6210 \text{ W}$

١٣ - ١٤ تؤثر المجموعة  $CBA$  لنظام ذي ثلاثة أطوار - أربعة أسلاك بجهد  $208\text{ V}$  على مجموعة أحمال متصلة

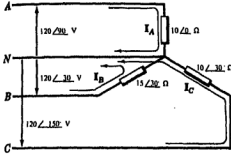
على شكل نجمة فيها  $Z_A = 10 \angle 0^\circ \text{ ohms}$

$Z_B = 15 \angle 30^\circ \text{ ohms}$

و  $Z_C = 10 \angle -30^\circ \text{ ohms}$  . أوجد تيارات

الأفرع والنتيجه المتبادل والقدرة الكلية .

بالتأثير بجهد الفرع بالنسبة للجهد المتبادل للمتناوبة  
على الدائرة الموضحة في الشكل ١٤ - ٣٦ ،  
وحساب تيارات الأفرع بفرض الاتجاه الموجب هو  
الاتجاه إلى الأحمال ، نجد أن



شكل ٣٦ - ١٤

$$I_A = V_{AN}/Z_A = (120 \angle 90^\circ)/(10 \angle 0^\circ) = 12 \angle 90^\circ \text{ A}$$

$$I_B = V_{BN}/Z_B = (120 \angle 30^\circ)/(15 \angle 30^\circ) = 8 \angle -60^\circ \text{ A}$$

$$I_C = V_{CN}/Z_C = (120 \angle 150^\circ)/(10 \angle -30^\circ) = 12 \angle 120^\circ \text{ A}$$

تحتوى نقطة التعادل على مجموع تيارات الأفرع المتساوية وبفرض أن الاتجاه الموجب هو الاتجاه إلى الأحمال فإن

$$I_N = -(I_A + I_B + I_C) = -(12 \angle 90^\circ + 8 \angle -60^\circ + 12 \angle 120^\circ) = 5.69 \angle -69.4^\circ \text{ A}$$

ويمر في المعسوفة  $Z_A = 10 + j0 \text{ ohms}$  التيار  $I_A = 12 \angle 90^\circ \text{ A}$  . القدرة في حمل هذا الطور هو

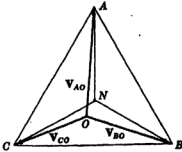
$$P_A = (12)^2(10) = 1440 \text{ W.}$$

والقدرة المتساوية هو  $P_B = (8)^2(13) = 832 \text{ W}$  . وبالمثل فإن  $Z_C = 8.66 - j5 \text{ ohms}$  .  $Z_C$  عتوى على

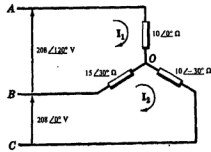
$$P_C = (12)^2(8.66) = 1247 \text{ W}$$

$$P_T = P_A + P_B + P_C = 1440 + 832 + 1247 = 3519 \text{ W}$$

١٤ - ١٤ إذا وصلت معاوقات المسألة ١٣ - ١٤ بالمجموعة  $ABC$  لثلاثة أطوار - ثلاثة أسلاك وجهد  $208\text{ V}$  . فأوجد تيارات الأفرع والجهد عبر المعاوقات .



٣٨ - ١٤



شكل ٣٧ - ١٤

توضع دائرة الشكل ١٤ - ٣٧ جهدي الفرعين  $V_{AB}$  و  $V_{BC}$  وبالاختيار الموضع لتيارى الشبكة  $I_1$  و  $I_2$  فإن الصيغة المصفوفية لمعادلات تيارى الشبكة هي

$$\begin{bmatrix} 10/0^\circ + 15/80^\circ & -15/80^\circ \\ -15/80^\circ & 15/80^\circ + 10/-80^\circ \end{bmatrix} \begin{bmatrix} I_1 \\ I_2 \end{bmatrix} = \begin{bmatrix} 208/120^\circ \\ 208/0^\circ \end{bmatrix}$$

ومنها نجد أن

$$I_1 = \frac{5210/90^\circ}{367.5/3.9^\circ} = 14.15/86.1^\circ \text{ A}$$

$$I_2 = \frac{3730/56.6^\circ}{367.5/3.9^\circ} = 10.15/52.7^\circ \text{ A}$$

وبمطى تيارات الأفرع بدلالة  $I_1$  و  $I_2$  بفرض أن الاتجاه الموجب هو الاتجاه إلى الاحمال بالمعادلات

$$I_A = I_1 = 14.15/86.1^\circ \text{ A}$$

$$I_B = I_2 - I_1 = 10.15/52.7^\circ - 14.15/86.1^\circ = 8.0/-49.5^\circ \text{ A}$$

$$I_C = -I_2 = 10.15/(52.7^\circ - 180^\circ) = 10.15/-127.3^\circ \text{ A}$$

والآن فإن الجهد على المارقات هو

$$V_{AO} = I_A Z_A = 14.15/86.1^\circ (10/0^\circ) = 141.5/86.1^\circ \text{ V}$$

$$V_{BO} = I_B Z_B = 8.0/-49.5^\circ (15/30^\circ) = 120/-19.5^\circ \text{ V}$$

$$V_{CO} = I_C Z_C = 10.15/-127.3^\circ (10/-30^\circ) = 101.5/-157.3^\circ \text{ V}$$

عند توصيل نهايات الجهود المطاوعة الثلاثة  $V_{AO}$  و  $V_{BO}$  و  $V_{CO}$  بخطوط مستقيمة ينتج لدينا مثلث المتشابهة  $ABC$  . إذن النقطة  $N$  يمكن إضائها إلى الشكل ١٤ - ٣٨ .

١٤ - ١٤ كرو حل المسألة ١٤ - ١٤ باستخدام طريقة إزاحة نقطة التبادل .

بحسب الجهد  $V_{ON}$  في طريقة إزاحة نقطة التبادل من العلاقة

$$V_{ON} = \frac{V_{AN} V_A + V_{BN} V_B + V_{CN} V_C}{V_A + V_B + V_C}$$

لدينا من المسألة ١٤ - ١٤  $V_A = 1/10 = 0.1 \text{ S}$  ,  $V_B = 1/(15/30^\circ) = 0.0577 - j0.033 \text{ S}$

و  $V_C = 1/(10/-30^\circ) = 0.0866 + j0.050 \text{ S}$  . إذن

$$V_A + V_B + V_C = 0.244 + j0.0167 = 0.244/3.93^\circ \text{ S}$$

$$V_{AN}Y_A = 120 \angle 90^\circ (0.1) = 12 \angle 90^\circ = j12 \text{ A}$$

$$V_{BN}Y_B = 120 \angle -30^\circ (0.0667 \angle -30^\circ) = 8.0 \angle -60^\circ = 4.0 - j6.93 \text{ A}$$

$$V_{CN}Y_C = 120 \angle -150^\circ (0.1 \angle 30^\circ) = 12 \angle -120^\circ = -6.0 - j10.4 \text{ A}$$

$$V_{AN}Y_A + V_{BN}Y_B + V_{CN}Y_C = -2.0 - j5.33 = 5.69 \angle 249.4^\circ \text{ A}$$

$$V_{ON} = (5.69 \angle 249.4^\circ) / (0.244 \angle 3.93^\circ) = 23.3 \angle 245.5^\circ = -9.66 - j21.2$$

وعلى هذا فإن

ويمكن التعبير عن معاوقات الحمل بدلالة جهد الفرع المناظر بالنسبة للجهد المتعاقل ، وذلك عن إزاحة الجهد المتعاقل بمقابل :

$$V_{AO} \approx V_{AN} + V_{NO} = 120 \angle 90^\circ + (9.66 + j21.2) = 141.2 \angle 86.08^\circ \text{ V}$$

$$V_{BO} \approx V_{BN} + V_{NO} = 120 \angle -30^\circ + (9.66 + j21.2) = 120 \angle -18.9^\circ \text{ V}$$

$$V_{CO} \approx V_{CN} + V_{NO} = 120 \angle -150^\circ + (9.66 + j21.2) = 102 \angle 202.4^\circ \text{ V}$$

ولاحصول على تيارات الأفرع فإننا تأخذ حاصل ضرب هذه الجهود في المساحات المناظرة

$$I_A = V_{AO}Y_A = 141.2 \angle 86.08^\circ (0.1 \angle 0^\circ) = 14.12 \angle 86.08^\circ \text{ A}$$

$$I_B = V_{BO}Y_B = 120 \angle -18.9^\circ (0.0667 \angle -30^\circ) = 8.0 \angle -48.9^\circ \text{ A}$$

$$I_C = V_{CO}Y_C = 102 \angle 202.4^\circ (0.1 \angle 30^\circ) = 10.2 \angle 232.4^\circ \text{ or } 10.2 \angle -127.6^\circ \text{ A}$$

والنتائج السابقة تطابق المسألة ١٤ - ١٤ وذلك في حدود الدقة التي تسمح بها المسطرة الحاسبة .

١٤ - ١٦ إذا حصلنا على القراءتين 1154 V ، 577 W عند استخدام طريقة جهازي زأنجيمير في أحمال مترية . فلوجد معاوقات الحمل المتصلة على شكل دلتا إذا كان جهد النظام 100 V .  
لدينا في حالة أحمال مترية بثلاثة أطوار

$$\tan \theta = \sqrt{3} \frac{W_1 - W_2}{W_1 + W_2} = \pm \sqrt{3} \frac{1154 - 577}{1154 + 577} = \pm 0.577$$

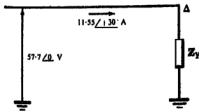
حيث  $\theta = \pm 30^\circ$  . ( لعدم معرفتنا كل من المتناحية وموضعي الجهازين فإنه لا يمكن تحديد الإشارة ولذلك فإننا نكتب  $\pm$  ) .

القدرة الكلية هي

$$P = \sqrt{3} V_L I_L \cos \theta$$

$$I_L = \frac{P}{\sqrt{3} V_L \cos \theta} = \frac{1731}{\sqrt{3}(100)(0.866)} = 11.55 \text{ A}$$

شكل ١٤ - ٢٩



نرسم دائرة الفرع الواحد المكافئة ونؤثر عليها بالجهود  $V = 57.7 \angle 0^\circ$  و  $100/\sqrt{3} \angle 0^\circ$  كما في الشكل ١٤-٣٩. وكل هذا فإن معاوقات الشكل النجمي هي .

$$Z_Y = \frac{V}{I} = \frac{57.7 \angle 0^\circ}{11.55 \angle +30^\circ} = 5.0 \angle -30^\circ \Omega$$

$$Z_A = 3Z_Y = 15 \angle -30^\circ \Omega$$

١٤-١٧ عند تطبيق طريقة جهازى واتمير على نظام ذى ثلاثة أطوار - ثلاثة أسلاك بجهد  $100 \text{ V}$  ومتتابة  $ABC$  كان

قراءات الجهازيين عندما كانا موصولين فى الفرعين  $B$  و  $C$  هما  $W_B = 836 \text{ W}$  و  $W_C = 224 \text{ W}$ .

أوجد المعاوقات المترنة الشكل دلتا .

بما أن كلا من المتتابة وموضعى الجهازيين معروف فإنه يمكن تحديد إشارة  $\theta$  . وكل هذا فإن

$$\theta = 45^\circ \quad \text{أو} \quad \tan \theta = \sqrt{3} \frac{W_B - W_C}{W_B + W_C} = \sqrt{3} \frac{836 - 224}{836 + 224} = 1$$

بما أن  $8.66 \text{ A}$  .  $\frac{1060}{\sqrt{3(100)(0.707)}} = \sqrt{3} I_L \cos \theta$  إذن فالدائرة المكافئة

ذات الفرع الواحد لها جهد  $57.7 \angle 0^\circ \text{ V}$  ومعاوقات الشكل النجمي هي

و  $Z_Y = V/I = (57.7 \angle 0^\circ)/(8.66 \angle -45^\circ) = 6.67 \angle 45^\circ \Omega$  ومعاوقات أحبال الشكل دلتا المطلوبة هي

$$Z_A = 3Z_Y = 20 \angle 45^\circ \Omega$$

١٤-١٨ وصلت وحدة تسخين  $1500 \text{ W}$  ذات ثلاثة أطوار وعامل القدرة لها يساوى الوحدة ومحرك تأثيرى  $5 \text{ hp}$  كفاءة أقصى تحمل له  $80\%$  وعامل القدرة له  $0.85$  بنظام واحد ذى ثلاثة أطوار - ثلاثة أسلاك وجهد  $208 \text{ V}$  . أوجد قيمة تيار الفرع لمعدل عطاء من المحرك قيمته  $5 \text{ hp}$  .

بما أن  $746 \text{ W} = 1 \text{ hp}$  فإن عطاء المحرك  $(5 \text{ hp})(746 \text{ W/hp}) = 3730 \text{ W}$  . إذن القدرة

$$3730/0.80 = 4662 \text{ W}$$
 الداخلة للمحرك هي

وحيث أن المحرك هو حمل متزن بثلاثة أطوار ، إذن

$$P = \sqrt{3} V_L I_L \cos \theta, 4662 = \sqrt{3}(208 I_L)(0.85), I_L = 15.25 \text{ A}$$

التيار المتطاور فى دائرة الفرع الواحد المكافئة للاحق للجهود بزاوية  $\theta$  حيث  $\cos^{-1} 0.85 = 31.7^\circ$

إذن تيار الفرع للمحرك هو  $I_L = 15.25 \angle -31.7^\circ \text{ A}$  .

$$P = \sqrt{3} V_L I_L \cos \theta \text{ where } \theta = 0^\circ \quad \text{لدينا الآن حمل التسخين}$$

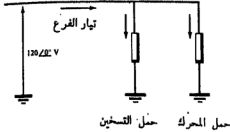
حيث  $\theta = 0^\circ$  وبالتعويض نجد أن

$$1500 = \sqrt{3}(208) I_L I_L = 4.16 \text{ A}, I_L = 4.16 \angle 0^\circ \text{ A}$$

والتيار الكلي للفرع هو المجموع المتأخر للتيار  
الحرك وحمل التسخين :

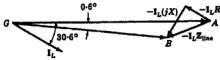
$$I_L = 15.25 \angle -31.7^\circ + 4.17 \angle 0^\circ = 18.9 \angle -25.1^\circ \text{ A}$$

وعلى هذا فإن التيار في كل فرع هو 18.9 A  
معادل 5 hp من المحرك التأثيري .

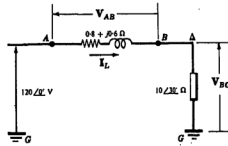


شكل ١٤ - ١٠

١٤ - ١٩ إذا وصلت ثلاث معاوقات متساوية قيمة كل منها  $30 \angle 30^\circ \Omega$  على شكل دلتا بنظام ذي ثلاثة أطوار - ثلاثة أسلاك وجهد 208 V و  $0.8 + j0.6$  فأوجد قيمة جهد الفرع عند كل حمل .



شكل ١٤ - ١٢



شكل ١٤ - ١١

الدائرة موضحة في الشكل ١٤ - ١١ مع شكل نجس ذي معاوقة مكافئة قدرها  $Z_A/3$  أو  $10 \angle 30^\circ \Omega$  ومعاوقة الفرع متصلة على التوالي مع الحمل ، أي أن

$$Z_{eq} = Z_{line} + Z_{load} = 0.8 + j0.6 + 8.66 + j5.0 = 9.46 + j5.6 = 11.0 \angle 30.6^\circ \Omega$$

إذن

$$I_L = \frac{V}{Z_{eq}} = \frac{120 \angle 0^\circ}{11.0 \angle 30.6^\circ} = 10.9 \angle -30.6^\circ \text{ A}$$

$$V_{BG} = I_L Z_{load} = 10.9 \angle -30.6^\circ (10 \angle 30^\circ) = 109 \angle -0.6^\circ \text{ V} \quad \text{وجهد الحمل هو}$$

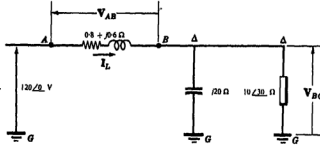
$$V_L = \sqrt{3}(109) = 189 \text{ V} \quad \text{وجهد الفرع المطلوب هو}$$

وعلى ذلك فإن جهد النظام 208 V يهبط إلى 189 V على الحمل نتيجة لوجود معاوقة في الفرع .

الشكل ١٤ - ٢ يوضح الرسم المطاور وفيه مربوط في جهد الفرع هو

$$V_{AG} = V_{AB} + V_{BG} \text{ و } V_{AB} = I_L Z_{line} = (10.9 \angle -30.6^\circ)(0.8 + j0.6) = 10.9 \angle 6.3^\circ \text{ V}$$

١٤ - ٢ أوجد في المسألة ١٤ - ١٩ جهد الفرع عند الحمل وذلك عند توصيل مجموعة من المكثفات بمانعتها  $f/60\Omega$  على التوازي مع الاحمال .



شكل ١٤ - ٢

في دائرة الفرع الواحد المكافئة الموضحة في الشكل ١٤ - ٢ يتصل كل من  $f/20\Omega$  و  $10\angle30^\circ\Omega$  على التوازي .

$$Z_p = \frac{10 \angle 30^\circ (-j20)}{(8.66 + j3) - j20} = 11.55 \angle 0^\circ \Omega$$

والمعاوقة  $Z_p$  متصلة على التوالي مع معاوقة الفرع . إذن

$$Z_{eq} = Z_{line} + Z_p = (0.8 + j0.6) + (11.55 \angle 0^\circ) = 12.35 \angle 2.78^\circ \Omega$$

والآن تيار الفرع هو

$$I_L = \frac{V}{Z_{eq}} = \frac{120 \angle 0^\circ}{12.35 \angle 2.78^\circ} = 9.73 \angle -2.78^\circ \text{ A}$$

، الجهد على الحمل هو

$$V_{BG} = I_L Z_p = (9.73 \angle -2.78^\circ)(11.55 \angle 0^\circ) = 112 \angle -2.78^\circ \text{ V}$$

وجهد الفرع المناظر هو  $V_L = \sqrt{3}(112) = 194 \text{ volts}$

وكما في الفصل السابع فإننا نلاحظ أن عامل القدرة قد تحسن بتوصيل مكثفات على التوازي مع الحمل وينتج من هذا مربوط في الجهد على معاوقة الفرع . وعلى هذا فإنه في هذه المسألة يهبط جهد النظام من 208 V إلى 194 V بدلا من 189 V كما في المسألة ١٤ - ١٩ .

مسائل إضافية

٢١ - ١ وصلت ثلاث معاوقات متساوية متصلة على شكل دلتا قيمة كل منها  $10 / 53.1^\circ \Omega$  بالمتتابة CBA لنظام ذي ثلاثة أطوار - ثلاثة أسلاك وجهد 240 V . أوجد تيارات الأفرع .

الجواب :  $41.6 \angle 96.9^\circ \text{ A}$  ,  $41.6 \angle 143.1^\circ \text{ A}$  ,  $41.6 \angle 23.1^\circ \text{ A}$

٢٢ - ١ وصلت ثلاثة معاوقات متساوية متصلة على شكل دلتا قيمة كل منها  $15.9 / 70^\circ \Omega$  بالمتتابة CBA لنظام ذي ثلاثة أطوار - ثلاثة أسلاك وجهد 100 V . أوجد تيارات الأفرع والقدرة الكلية .

الجواب :  $10.9 \angle 160^\circ \text{ A}$  ,  $10.9 \angle 40^\circ \text{ A}$  ,  $10.9 \angle 80^\circ \text{ A}$  ; 646 W

٢٣ - ١ وصلت ثلاث معاوقات متساوية متصلة على شكل دلتا قيمة كل منها  $42 / -35^\circ \Omega$  بالمتتابة ABC لنظام ذي ثلاثة أطوار - ثلاثة أسلاك وجهد 350 V . أوجد تيارات الأفرع والقدرة الكلية .

الجواب :  $14.4 \angle 125^\circ \text{ A}$  ,  $14.4 \angle 5^\circ \text{ A}$  ,  $14.4 \angle 115^\circ \text{ A}$  , 7130 W

٢٤ - ١ وصل حمل مزن على شكل النجمة معاوقاته  $6 / 45^\circ \Omega$  بالمتتابة CBA لنظام ذي ثلاثة أطوار - أربعة أسلاك وجهد 208 V . أوجد تيارات الأفرع بما في ذلك تيار نقطة التبادل .

الجواب :  $20 \angle 135^\circ \text{ A}$  ,  $20 \angle 15^\circ \text{ A}$  ,  $20 \angle 105^\circ \text{ A}$  وصفر

٢٥ - ١ وصل حمل مزن على شكل النجمة معاوقاته  $65 / -20^\circ \Omega$  بالمتتابة CBA لنظام ذو ثلاثة أطوار - ثلاثة أسلاك وجهد 480 V . أوجد تيارات الأفرع والقدرة الكلية .

الجواب :  $4.26 \angle 70^\circ \text{ A}$  ,  $4.26 \angle 50^\circ \text{ A}$  ,  $4.26 \angle 170^\circ \text{ A}$  ; 3320 W

٢٦ - ١ وصل محرك تأثيري 50 hp وكفاءة تحميله الكلية 85% وعامل القدرة له 0.8 بنظام ذي ثلاثة أطوار وجهد 480 V . أوجد معاوقات النجمة المكافئة التي يمكن إبدال المحرك بها .

الجواب :  $4.2 / 36.9^\circ \Omega$

٢٧ - ١ وصل محرك تأثيري 25 hp ذو ثلاثة أطوار كفاءة تحميله الكلية 82% وعامل القدرة له 0.75 بنظام جهد 208 V . أوجد معاوقات دلتا المكافئة التي يمكن إبدال المحرك بها ثم أوجد القراءتين اللتين تحصل عليهما باستخدام طريقة جهازى واتير .

الجواب :  $4.28 \angle 41.4^\circ \Omega$  ; 5.58 kW , 17.15 kW

٢٨ - ١ وصلت ثلاث معاوقات متساوية متصلة على شكل دلتا قيمة كل منها  $9 / -30^\circ \Omega$  ، وكذلك ثلاث معاوقات متساوية متصلة على شكل النجمة قيمة كل منها  $5 / 45^\circ \Omega$  ، بالمتتابة ABC لنظام ذي ثلاثة أطوار - ثلاثة أسلاك وجهد 480 V . أوجد قيمة الفرع والقدرة الكلية .

الجواب :  $119.2 \text{ A}$  و  $99 \text{ kW}$

٢٩ - ١ وصل حمل مزن على شكل دلتا معاوقاته  $27 / -25^\circ \Omega$  وحمل آخر مزن على شكل نجمة ومعاوقاته  $10 / -30^\circ \Omega$  بالمتتابة ABC لنظام ذي ثلاثة أطوار - ثلاثة أسلاك وجهد 208 V . أوجد تيارات الأفرع والقدرة في كل حمل .

الجواب :  $25.3 \angle 117.4^\circ \text{ A}$  ,  $25.3 \angle 2.6^\circ \text{ A}$  ,  $25.3 \angle 122.6^\circ \text{ A}$  ; 4340 W و 3740 W



١٤- ٣٠ نظام ذو ثلاثة أطوار بجهد  $100\text{ V}$  يغذى حمل متزن على شكل دلتا معاوقاته  $\Omega \angle 36.9^\circ - 10$  . وكذلك حمل متزن على شكل النتيجة معاوقاته  $\Omega \angle 53.1^\circ / 5$  . أوجد القدرة في كل حمل وقيمة التيار الفرعي الكلي .

الجواب :  $2400\text{ W}, 1200\text{ W}; 20.8\text{ A}$

١٤- ٣١ وصل حليين متزين كل نسبا على شكل دلتا ومعاوقتهما  $\Omega \angle 60^\circ - 20$  و  $\Omega \angle 45^\circ - 18$  على الترتيب بنظام ذي ثلاثة أطوار بجهد  $150\text{ V}$  . أوجد القدرة في كل حمل . الجواب :  $1690\text{ W}$  و  $2650\text{ W}$

١٤- ٣٢ نظام ذو ثلاثة أطوار - ثلاثة أسلاك وجهد  $173.2\text{ V}$  وصلت مجموعة  $CBA$  بثلاثة أحمال متزنة أشكال توصيلها ومعاوقاتها كما يلي : شكل نجمة معاوقاته  $\Omega \angle 0^\circ - 10$  وشكل دلتا معاوقاته  $\Omega \angle 90^\circ - 24$  وشكل دلتا ثالث معاوقاته مجهولة . أوجد هذه المعاوقة علماً بأن تيار الفرع  $A$  هو  $\text{A} \angle 138.1^\circ - 32.7$  وذلك بفرض أن الاتجاه الموجب هو الاتجاه إلى الحمل . الجواب :  $\Omega \angle 45^\circ - 18$

١٤- ٣٣ إذا كانت قراءات جهازى واتميتر المتصلين في الفرعين  $A$  و  $B$  لنظام  $CBA$  بجهد  $120\text{ V}$  هما  $1500\text{ W}$  و  $500\text{ W}$  على الترتيب . فأوجد معاوقة الحمل المتزن الذى على شكل دلتا . الجواب :  $\Omega \angle 41^\circ - 16.3$

١٤- ٣٤ إذا كانت قراءات جهازى واتميتر المتصلين في الفرعين  $A$  و  $B$  لنظام  $ABC$  بجهد  $173.2\text{ V}$  هما  $301\text{ W}$  و  $1327\text{ W}$  على الترتيب . فأوجد معاوقة الحمل المتزن الذى شكل نجمة . الجواب :  $\Omega \angle 70^\circ - 10$

١٤- ٣٥ أوجد قراءات جهازى الواتميتر المستعملين في نظام ذو ثلاثة أسلاك وجهد  $240\text{ V}$  ويؤثر على حمل متزن على شكل دلتا معاوقاته  $\Omega \angle 80^\circ - 20$  . الجواب :  $3210\text{ W}$  و  $1710\text{ W}$

١٤- ٣٦ وصل جهازا واتميتر في الفرعين  $B$  و  $C$  للنظام  $CBA$  - ثلاثة أسلاك وجهد  $173.2\text{ V}$  الذى يؤثر على حمل متزن . أوجد قراءات الجهازين علماً بأن تيار الفرع هو  $\text{A} \angle 41.9^\circ - 32.7$  . الجواب :  $5370\text{ W}$  و  $1170\text{ W}$

١٤- ٣٧ يغذى النظام  $CBA$  الذى بجهد  $100\text{ V}$  حمل متزن ومتصل فيه جهازا واتميتر في الفرعين  $A$  و  $B$  فإذا كان  $\text{A} \angle 40^\circ - 10.9$  هو تيار الفرع  $B$  فأوجد قراءات الواتميتر . الجواب :  $835\text{ W}$  و  $189\text{ W}$

١٤- ٣٨ وصل حمل على شكل دلتا معاوقاته  $\text{ohms} \angle 30^\circ - 10$  ،  $\text{ohms} \angle 0^\circ - 25$  ،  $\text{ohms} \angle 30^\circ - 20$  ،  $\text{ohms} \angle 30^\circ - 20$  بالنظام  $ABC$  فى الثلاثة أطوار - ثلاثة أسلاك وجهد  $500\text{ V}$  . أوجد تيارات الأفرع والقدرة الكلية . الجواب :  $42.4\text{ kW}$  ،  $\text{A} \angle 231.3^\circ - 32$  ،  $\text{A} \angle 68.2^\circ - 53.9$  ،  $\text{A} \angle 90^\circ - 75$

١٤- ٣٩ يتغذى حمل على شكل دلتا معاوقاته  $\text{ohms} \angle 0^\circ - 5$  ،  $\text{ohms} \angle 30^\circ - 4$  ،  $\text{ohms} \angle 30^\circ - 2$  من النظام  $ABC$  فى الثلاثة أطوار - ثلاثة أسلاك وجهد  $208\text{ V}$  . أوجد تيارات الأفرع وقراءات جهازى الواتميتر في الفرعين  $A$  و  $C$  . الجواب :  $13.7\text{ kW}$  ،  $11.25\text{ kW}$  ،  $\text{A} \angle 187.9^\circ - 54.6$  ،  $\text{A} \angle 43.3^\circ - 90.5$  ،  $\text{A} \angle 99.65^\circ - 70.5$

١٤- ٤٠ يتغذى حمل على شكل النتيجة معاوقاته  $\text{ohms} \angle 0^\circ - 3$  ،  $\text{ohms} \angle 0^\circ - 2$  ،  $\text{ohms} \angle 0^\circ - 2$  من النظام  $CBA$  فى ثلاثة أطوار - ثلاثة أسلاك وجهد  $100\text{ V}$  . أوجد تيارات الأفرع بما في ذلك تيار الفرع المتبادل بفرض أن الاتجاه الموجب هو الاتجاه إلى الحمل . الجواب :  $\text{A} \angle 65.3^\circ - 27.3$  ،  $\text{A} \angle 176.6^\circ - 25.8$  ،  $\text{A} \angle 26.3^\circ - 16$  ،  $\text{A} \angle 90^\circ - 19.25$

١٤-٤١ حمل على شكل النجمة ومعاوقته  $Z_A = 12 \angle 45^\circ \text{ ohms}$  و  $Z_B = 10 \angle 30^\circ \text{ ohms}$  و  $Z_C = 8 \angle 0^\circ \text{ ohms}$  متصل بنظام جهده 208 V وبه أربعة أسلاك . أوجد القدرة الكلية .

الجواب : 3898 W

١٤-٤٢ إذا كانت تيارات الأفرع في النظام ABC ذي الثلاثة أطوار - ثلاثة أسلاك وجهد 220 V هي

$$I_A = 43.5 \angle 116.6^\circ \text{ A} , I_B = 43.3 \angle -48^\circ \text{ A} , I_C = 11.39 \angle 218^\circ \text{ A} \text{ فأوجد قرائن جهازي}$$

الواحتمتر في الأفرع (أ) ، B و A ، (ب) B و C ، (ج) A و C .

الجواب : (أ) 6370 W و 5270 W ، (ب) 2330 W و 9310 W ، (ج) 1980 W و 9550 W

١٤-٤٣ إذا كانت تيارات الأفرع في النظام ABC ذي الثلاثة أطوار - ثلاثة أسلاك وجهد 440 V هي

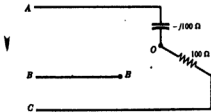
$$I_A = 19.72 \angle 90^\circ \text{ A} , I_B = 57.3 \angle -9.9^\circ \text{ A} , I_C = 57.3 \angle 189.9^\circ \text{ A} \text{ فأوجد قرائن جهازي}$$

الواحتمتر في الفرعين (أ) و B و A ، (ب) B و C .

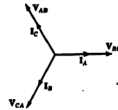
الجواب (أ) : 7.52 kW و 24.8 kW (ب) 16.15 kW و 16.15 kW

١٤-٤٤ يوضح الشكل الماطور ١٤-٤٤ تيارات الأفرع وجهود الأفرع بالنسبة لبعضها وذلك للنظام ABC ذي الثلاثة أطوار - ثلاثة أسلاك وجهد 346 V . فإذا كان تيار الفرع يساوي 10 A ، فأوجد معاوقة الحمل الذي على شكل النجمة والممتثل بهذا النظام .

الجواب :  $20 \angle 90^\circ \Omega$



شكل ١٤-٤٥



شكل ١٤-٤٦

١٤-٤٥ توصف دائرة الشكل ١٤-٤٥ بوجود معاوقة لانهاية ( دائرة مفتوحة ) متصلة في الطور B للحمل الذي على شكل نجمة . أوجد الجهد الماطور  $V_{OB}$  علماً بأن جهد النظام ABC هو 208 V . الجواب :  $284 \angle 150^\circ \text{ V}$

١٤-٤٦ حمل على شكل نجمة متصل بنظام ذي ثلاثة أطوار جهده الماطور 400 V فإذا كان الحد الأقصى لتيار في كل ملف هو 35 A ، (أ) فأوجد معدل القدرة kVA لهذه الآلة ؟ (ب) إذا كان النظام يمد الأفرع بتيار 20 A بمعدل قدرة 0.65 kVA لكل طور في الآلة ؟ . الجواب : 26.6 kVA و 5.08 kVA

١٤-٤٧ إذا كانت قيمة التيار في مجموع التيارات المترفة في الشكل الماطور ١٤-٤٦ هي 10 A وجهد الفرع هو 120 V . فأوجد القدرة الكلية والقدرة الظاهرية VA المناظرتين .

الجواب : 1.47 kW و 2.08 kVA

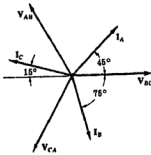
١٤-٤ وصل حمل على شكل نجمة معاوقات  $Z_A = 10 \angle 0^\circ \text{ ohms}$

و  $Z_B = 10 \angle 60^\circ \text{ ohms}$  و  $Z_C = 10 \angle -60^\circ \text{ ohms}$

بنظام  $ABC$  ذي ثلاثة أطوار - ثلاثة أسلاك وجهد  $200 \text{ V}$  ،

أوجد الجهود عبر معاوقات الحمل  $V_{AO}$  و  $V_{BO}$  و  $V_{CO}$

الجواب :  $173 \angle 90^\circ \text{ V}, 100 \angle 0^\circ \text{ V}, 100 \angle 180^\circ \text{ V}$



شكل ١٤-٤

١٤-٤ وصل حمل على شكل النجمة معاوقات  $Z_A = 10 \angle -60^\circ \text{ ohms}$

و  $Z_B = 10 \angle 0^\circ \text{ ohms}$  و  $Z_C = 10 \angle 60^\circ \text{ ohms}$

بنظام  $CBA$  ذي ثلاثة أطوار - ثلاثة أسلاك وجهد  $208 \text{ V}$

أوجد الجهود عبر معاوقات الحمل .

الجواب :  $208 \angle -120^\circ \text{ V}, 0, 208 \angle 180^\circ \text{ V}$

١٤-٥ يغذى نظام  $ABC$  ذو ثلاثة أسلاك وجهد  $480 \text{ V}$  حمل على شكل نجمة معاوقات  $Z_A = 10 \angle 0^\circ \Omega$

و  $Z_B = 5 \angle -30^\circ \Omega$  و  $Z_C = 5 \angle 30^\circ \Omega$  أوجد قراءتي الواتميتر في الفرعين  $A$  و  $B$  .

الجواب :  $8.92 \text{ kW}$  و  $29.6 \text{ kW}$

١٤-٥١ يغذى نظام  $CBA$  ذو ثلاثة أسلاك وجهد  $100 \text{ V}$  حمل على شكل نجمة معاوقات  $Z_A = 3 + j0 \text{ ohms}$

و  $Z_B = 2 + j3 \text{ ohms}$  و  $Z_C = 2 - j1 \text{ ohms}$  أوجد الجهود عبر معاوقات الحمل .

الجواب :  $31.6 \angle -67.9^\circ \text{ V}, 84.3 \angle 42.7^\circ \text{ V}, 68.6 \angle 123.8^\circ \text{ V}$

١٤-٥٢ يتصل نظام ذو ثلاثة أطوار - ثلاثة أسلاك وجهد  $240 \text{ V}$  بثلاث معاوقات متساوية على شكل نجمة قيمة كل منها  $15 \angle 60^\circ \Omega$  فإذا كانت معاوقة كل فرع بين المصدر والحمل هي  $2 + j1 \Omega$  فأوجد قيمة جهد الفرع عند الحمل .

الجواب :  $213 \text{ V}$

١٤-٥٣ كرر المسألة ١٤-٥٢ مع اعتبار أن معاوقات الحمل النجمية الشكل قيمة كل منها  $15 \angle -60^\circ \Omega$  ثم قارن بين

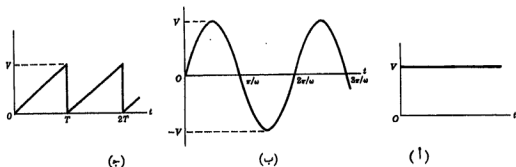
النتيجتين برسم الأشكال المطورة للجهود . الجواب :  $235 \text{ V}$

## الفصل الخامس عشر

### طريقة فوريير لتحليل الشكل الموجي

#### مقدمة :

اعتبرنا في الدوائر التي سبقت دراستها حالة الاستجابة المستقرة الناتجة عن إثارة لها شكل ثابت أو شكل جيبى . وفي مثل هذه الحالات يطبق تمثيل واحد للدوال المؤثرة عند جميع قيم الزمن ، مثال ذلك : لدينا المعادلة ، ثابت  $v = V_{\max} \sin \omega t$  في حالة التيار المستمر  $v = V_{\max} \sin \omega t$  في حالة التيار المتردد وذلك لجميع قيم  $t$  كما في الشكل ١٥-١ (أ) ، (ب) .



شكل ١٥ - ١

في الشكل ١٥-١ (ج) الشكل الموجي الدوري المسمى بمن المُنشَار وهو مثال لذلك النوع الموجي الذي يمكن وصفه بدالة وحيدة في فترة ما . وعلى ذلك فإن من المنشار يعبر عنه بالدالة  $f(t) = (V/T)t$  في الفترة الزمنية  $0 < t < T$  وبالدالة  $f(t) = (V/T)(t - T)$  في الفترة الزمنية  $T < t < 2T$  . وبالرغم من أن هذه المعادلات تصف الشكل الموجي بطريقة مرضية تدريجياً فإنها لا تسمح بتعيين استجابة الدائرة . والآن إذا أمكن التمييز عن الدالة الدورية بمجموع محدود أو غير محدود لدوال جيبية ، فإنه يمكن تعيين استجابات الشبكات الكهربائية الخطية لإثارة جيبية وذلك بتطبيق نظرية التراكب . وطريقة فوريير تعطينا حل مثل هذه المسائل .

#### متسلسلة فوريير التثنية :

أى شكل موجي دوري يحقق المعادلة  $f(t) = f(t + T)$  يمكن التمييز عنه بمتسلسلة فوريير طالما أن :

( ١ ) إذا كان الشكل الموجي غير متصل فإن عدد الانقطاعات في الزمن الدوري  $T$  محدود .

( ٢ ) له قيمة متوسطة محدودة في الزمن الدوري  $T$  .

( ٣ ) له عدد محدود من القيم العظمى الموجبة والسالبة .

عندما تتحقق هذه الشروط المسبقة بشرط ديشليت فإن متسلسلة فورييه تكون موجودة ويمكن كتابتها على الشكل التالي .

$$(1) \quad f(t) = \frac{1}{2}a_0 + a_1 \cos \omega t + a_2 \cos 2\omega t + a_3 \cos 3\omega t + \dots \\ + b_1 \sin \omega t + b_2 \sin 2\omega t + b_3 \sin 3\omega t + \dots$$

وتعين معاملات فورييه  $a$  و  $b$  لشكل موجي معطى عن طريق حساب التكاملات . ونحصل على معامل جيب التمام في التكامل بضرب طرفي المعادلة ( ١ ) في  $\cos n\omega t$  ثم إجراء التكامل على زمن دورى كامل . والزمن الدورى الأساسى  $2\pi/\omega$  هو زمن المتسلسلة النورى حيث أن كل حد في المتسلسلة له تردد عبارة عن مضاعفات صحيحة للتردد الأساسى .

$$(2) \quad \int_0^{2\pi/\omega} f(t) \cos n\omega t dt = \int_0^{2\pi/\omega} \frac{1}{2}a_0 \cos n\omega t dt + \int_0^{2\pi/\omega} a_1 \cos \omega t \cos n\omega t dt + \dots \\ + \int_0^{2\pi/\omega} a_n \cos^2 n\omega t dt + \dots + \int_0^{2\pi/\omega} b_1 \sin \omega t \cos n\omega t dt \\ + \int_0^{2\pi/\omega} b_2 \sin 2\omega t \cos n\omega t dt + \dots$$

وجميع التكاملات الممنوعة التى في الطرف الأيمن في المعادلة ( ٢ ) تساوى صفراً ما عدا التى قيمته  $\frac{\pi}{\omega} a_n$  . إذن

$$(3) \quad a_n = \frac{\omega}{\pi} \int_0^{2\pi/\omega} f(t) \cos n\omega t dt = \frac{2}{T} \int_0^T f(t) \cos n\omega t dt$$

ونحصل على معاملات الجيب في التكامل بضرب طرفي المعادلة ( ١ ) في  $\sin n\omega t$  ثم التكامل كما سبق .

$$(4) \quad b_n = \frac{\omega}{\pi} \int_0^{2\pi/\omega} f(t) \sin n\omega t dt = \frac{2}{T} \int_0^T f(t) \sin n\omega t dt$$

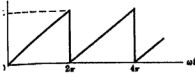
وهناك شكل آخر للتكاملات المحسوبة والتي لها متغير  $\omega t$  يناظر دورة  $2\pi$  radians وهو

$$(5) \quad a_n = \frac{1}{\pi} \int_0^{2\pi} f(t) \cos n\omega t d(\omega t)$$

$$(6) \quad b_n = \frac{1}{\pi} \int_0^{2\pi} f(t) \sin n\omega t d(\omega t)$$

ويجب أن نحوى حدود التكامل على دورة كاملة وليس من الضروري أن تكون من 0 إلى  $T$  أو من 0 إلى  $2\pi$  . وعلى ذلك فإنه يمكن إجراء التكامل من  $T/2 -$  إلى  $T/2 +$  أو من  $-\pi$  إلى  $+\pi$  أو على دورة كاملة تبسط التكامل . ونحصل على الثابت  $a_0$  من المعادلة ( ٣ ) أو المعادلة ( ٥ ) بوضع  $n=0$  ، وحيث أن  $\frac{1}{2}a_0$  هو القيمة المتوسطة للدالة فإنه يمكن تمثيلها عادة بفحص الشكل الموجي . ومتسلسلة المعاملات التى حصلنا عليها من حساب التكاملات تتقارب بانتظام إلى شكل الدالة عند جميع النقاط المتصلة وتتقارب إلى القيمة المتوسطة عند النقاط غير المتصلة .

### مثال ١ :



شكل ١٥ - ٢

أوجد متسلسلة فوريير للشكل الموجي الموضح في الشكل ١٥ - ٢ .  
الشكل الموجي متصل في الفترة  $0 < \omega t < 2\pi$  ويعطى بالمعادلة  
 $f(t) = (10/2\pi)\omega t$  ، وهي غير متصلة عند  $\omega t = n2\pi$  حيث  $n = 0, 1, 2, \dots$   
إن شروط دريشليت متحققة وعلى ذلك فإن معاملات فوريير يمكن حسابها باستخدام المعادلتين (٥) و (٦) وبالفحص نجد أن القيمة المتوسطة للدالة هي 5 وعلى ذلك فإن  $\frac{1}{2}a_0 = 5$  . والآن باستخدام المعادلة (٥) نجد أن .

$$a_n = \frac{1}{\pi} \int_0^{2\pi} \left(\frac{10}{2\pi}\right) \omega t \cos n\omega t d(\omega t) = \frac{10}{2\pi^2} \left[ \frac{\omega t}{n} \sin n\omega t + \frac{1}{n^2} \cos n\omega t \right]_0^{2\pi}$$

$$= \frac{10}{2\pi^2 n^2} (\cos n2\pi - \cos 0) = 0 \quad \text{وذلك لجميع } n \text{ الصحيحة.}$$

وعلى هذا فإن المتسلسلة لا تحتوي على حدود جيب تمام . وباستخدام المعادلة (٦) نحصل على

$$b_n = \frac{1}{\pi} \int_0^{2\pi} \left(\frac{10}{2\pi}\right) \omega t \sin n\omega t d(\omega t) = \frac{10}{2\pi^2} \left[ -\frac{\omega t}{n} \cos n\omega t + \frac{1}{n^2} \sin n\omega t \right]_0^{2\pi} = -\frac{10}{\pi n^2}$$

وباستخدام معاملات حدود الجيب والحد المتوسط فإن المتسلسلة هي

$$f(t) = 5 - \frac{10}{\pi} \sin \omega t - \frac{10}{2\pi} \sin 2\omega t - \frac{10}{3\pi} \sin 3\omega t - \dots = 5 - \frac{10}{\pi} \sum_{n=1}^{\infty} \frac{\sin n\omega t}{n}$$

يمكن تجميع حدود الجيب والجيب تمام التي لها نفس التردد في حد جيبى أو حد جيب تمام له زاوية طور . وينتج لدينا شكلان آخران للمتسلسلة :

$$(٧) \quad f(t) = \frac{1}{2}a_0 + \sum c_n \cos(n\omega t - \theta_n)$$

$$(٨) \quad f(t) = \frac{1}{2}a_0 + \sum c_n \sin(n\omega t + \varphi_n) \quad \text{و}$$

حيث  $\varphi_n = \tan^{-1}(a_n/b_n)$  ،  $c_n = \sqrt{a_n^2 + b_n^2}$  ،  $\theta_n = \tan^{-1}(b_n/a_n)$  هما سعة التردد وازاوية طور التردد ( $\varphi_n$  أو  $\theta_n$ ) .

### متسلسلة فوريير الأسية :

إذا عبرنا عن كل حد من حدود الجيب تمام في المتسلسلة ذات النسب المثلثية بقيمته الأسية المكافئة ينتج متسلسلة حدودها أسية على الشكل .

$$(٩) \quad f(t) = \frac{a_0}{2} + a_1 \left( \frac{e^{j\omega t} + e^{-j\omega t}}{2} \right) + a_2 \left( \frac{e^{j2\omega t} + e^{-j2\omega t}}{2} \right) + \dots$$

$$+ b_1 \left( \frac{e^{j\omega t} - e^{-j\omega t}}{2j} \right) + b_2 \left( \frac{e^{j2\omega t} - e^{-j2\omega t}}{2j} \right) + \dots$$

وبإعادة ترتيب الحدود

$$(10) \quad f(t) = \dots + \left(\frac{a_2}{2} - \frac{b_2}{2j}\right) e^{-j2\omega t} + \left(\frac{a_1}{2} - \frac{b_1}{2j}\right) e^{-j\omega t} \\ + \frac{a_0}{2} + \left(\frac{a_1}{2} + \frac{b_1}{2j}\right) e^{j\omega t} + \left(\frac{a_2}{2} + \frac{b_2}{2j}\right) e^{j2\omega t} + \dots$$

ونعرف الآن الثابت المركب  $A$  بالمعادلات

$$(11) \quad A_0 = \frac{1}{2}a_0, \quad A_n = \frac{1}{2}(a_n - jb_n), \quad A_{-n} = \frac{1}{2}(a_n + jb_n)$$

ويمكن إعادة كتابة المعادلة (١٠) على الصورة

$$(12) \quad f(t) = \{\dots + A_{-2}e^{-j2\omega t} + A_{-1}e^{-j\omega t} + A_0 + A_1e^{j\omega t} + A_2e^{j2\omega t} + \dots\}$$

ولإجراء التكامل للحصول على معاملات  $A_n$  فإننا نضرب طرفي المعادلة (١٢) في  $e^{-jn\omega t}$  ثم نكامل على دورة كاملة :

$$(13) \quad \int_0^{2\pi} f(t) e^{-jn\omega t} d(\omega t) = \dots + \int_0^{2\pi} A_{-2} e^{-j2\omega t} e^{-jn\omega t} d(\omega t) + \int_0^{2\pi} A_{-1} e^{-j\omega t} e^{-jn\omega t} d(\omega t) \\ + \int_0^{2\pi} A_0 e^{-jn\omega t} d(\omega t) + \int_0^{2\pi} A_1 e^{j\omega t} e^{-jn\omega t} d(\omega t) + \dots \\ + \int_0^{2\pi} A_n e^{jn\omega t} e^{-jn\omega t} d(\omega t) + \dots$$

وجميع التكاملات التي في الطرف الأيمن في المعادلة (١٣) تساوى صفراً ما عدا  $\int_0^{2\pi} A_n d(\omega t)$  التي قيمته  $2\pi A_n$  إذن

$$(14) \quad A_n = \frac{1}{2\pi} \int_0^{2\pi} f(t) e^{-jn\omega t} d(\omega t)$$

$$A_n = \frac{1}{T} \int_0^T f(t) e^{-jn\omega t} dt \quad \text{أو مع اعتبار } t \text{ كتغير}$$

وكا في حساب التكاملات للحصول على  $a_n$  و  $b_n$  ، فإن حدود التكامل في المعادلة (١٤) يجب أن تعطي أي دورة كاملة نهبل عملية التكامل ولا يشترط أن تكون من 0 إلى  $2\pi$  أو من 0 إلى  $T$  .

يمكن اشتقاق معاملات المتسلسلة ذات النسب المثلثية من معاملات المتسلسلة كما يلي :

أولا نضيف ثم نطرح التعبيرات الدالة على  $A_n$  و  $A_{-n}$  من المعادلة (١١) . إذن

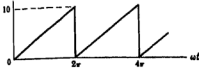
$$A_n + A_{-n} = \frac{1}{2}(a_n - jb_n + a_n + jb_n)$$

$$(15) \quad a_n = A_n + A_{-n} \quad \text{ونمّا نجد أن}$$

$$A_n - A_{-n} = \frac{1}{2}(a_n - jb_n - a_n - jb_n)$$

$$(16) \quad b_n = j(A_n - A_{-n}) \quad \text{أو}$$

## مثال ٢ :



شكل ١٥ - ٣

أوجد متسلسلة فوريير الأسية للشكل الموجي الموضح في الشكل ٣-١٥. استخدم معاملات هذه المتسلسلة الأسية لتحصل على  $a_n$  ،  $b_n$  المتسلسلة ذات النسب المثلثية ثم قارن بالمثل ١ .  
تعطى الدالة في الفترة  $0 < \omega t < 2\pi$  بالمعادلة  $f(t) = (10/2\pi)\omega t$  وبالفحص نلاحظ أن القيمة المتوسطة للدالة هي 5 . وبالتعميق عن  $f(t)$  في المعادلة (١٤) نحصل على المعاملات  $A_n$  .

$$A_n = \frac{1}{2\pi} \int_0^{2\pi} \left(\frac{10}{2\pi}\right) \omega t e^{-jnt} d(\omega t) = \frac{10}{(2\pi)^2} \left[ \frac{e^{-jnt}}{(-jn)} (-jnt - 1) \right]_0^{2\pi} = j \frac{10}{2\pi n}$$

وبادخال المعاملات  $A_n$  في المعادلة (١٢) ، تكون متسلسلة فوريير الأسية للشكل الموجي المبني هي

$$(١٧) \quad f(t) = \dots - j \frac{10}{4\pi} e^{-j2\omega t} - j \frac{10}{2\pi} e^{-j\omega t} + 5 + j \frac{10}{2\pi} e^{j\omega t} + j \frac{10}{4\pi} e^{j2\omega t} + \dots$$

ومعاملات حدود الجيب تمام في المتسلسلة المثلثية هي

$$a_n = A_n + A_{-n} = j \frac{10}{2\pi n} + j \frac{10}{2\pi(-n)} = 0$$

ومعاملات حدود الجيب هي

$$b_n = j(A_n - A_{-n}) = j \left( j \frac{10}{2\pi n} - j \frac{10}{2\pi(-n)} \right) = -\frac{10}{\pi n}$$

وعلى ذلك فإن المتسلسلة ذات النسب المثلثية لا تحتوي على حدود جيب تمام لأن  $a_n = 0$  لجميع قيم  $n$  ومعاملات الحد الجيبى هي  $10/(\pi n)$  . والقيمة المتوسطة هي 5 والمتسلسلة هي

$$f(t) = 5 - \frac{10}{\pi} \sin \omega t - \frac{10}{2\pi} \sin 2\omega t - \frac{10}{3\pi} \sin 3\omega t - \dots$$

وهي كما في المثال ١ .

## تمائل الشكل الموجي :

تحتوى المتسلسلة التي حصلنا عليها في المثال ١ على حدود جيبية بالإضافة إلى حد ثابت . وهناك أشكال موجية تحتوي فقط على حدود جيبية تمام ، وفي بعض الأحيان تحتوي المتسلسلة على ترددات فردية سواء كانت تحتوي المتسلسلة على حدود جيبية أو جيب تمامية أو الإثنين معاً . وهذا نتيجة لبعض أنواع التماثل الذي يتبع الشكل الموجي . وبمعرفة هذا التماثل فإنه يمكن اختصار الحسابات اللازمة لتحديد المتسلسلة . ولهذا الغرض فإنه من المهم كتابة التعريفات التالية :

١ - يقال إن الدالة  $f(x)$  زوجية إذا كان  $f(x) = f(-x)$  .

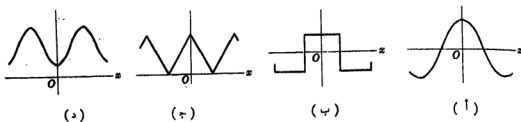
الدالة  $f(x) = 2 + x^2 + x^4$  هي مثال الدوال الزوجية وذلك لتساوى قيم الدالة عند  $x$  و  $-x$  . الجيب تمام دالة زوجية حيث يمكن التعبير عنها بمتسلسلة على الشكل .

$$\cos x = 1 - \frac{x^2}{2!} + \frac{x^4}{4!} - \frac{x^6}{6!} + \frac{x^8}{8!} - \dots$$



مجموع دالتين زوجيتين أو أكثر هو دالة زوجية ، وبإضافة حد ثابت فإن زوجية الدالة لا تزال قائمة .

يوضح الشكل ١٥-١ أشكال موجبة للدوال زوجية وهي متأللة بالنسبة للمحور الرأسى .



شكل ١٥ - ١

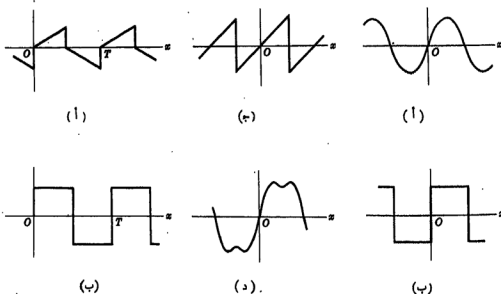
٢ - يقال إن الدالة  $f(x)$  فردية إذا كان  $f(-x) = -f(x)$  .

الدالة  $x^4, x^3, x, x^5$  هي مثال للدوال الفردية وذلك لأن قيم الدالة عند  $x$  ،  $-x$  لها إشارات معاكسة .  
والجيب دالة فردية حيث يمكن التعبير عنه على الشكل

$$\sin x = x - \frac{x^3}{3!} + \frac{x^5}{5!} - \frac{x^7}{7!} + \frac{x^9}{9!} - \dots$$

مجموع دالتين فرديتين أو أكثر هو دالة فردية ، ولكن إضافة حد ثابت يزيل فردية الدالة حيث  $f(x)$  لا تظل مساوية  $f(-x)$  . إن حاصل ضرب دالتين فرديتين هو دالة زوجية .

يمثل الشكل الموجبى الموضوع فى الشكل ١٥-٥ دوال فردية .

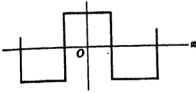


شكل ١٥ - ٦

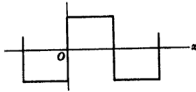
شكل ١٥ - ٥

٣- يقال إن الدالة الدورية  $f(x)$  لها تماثل نصف موجي إذا كان  $f(x) = -f(x + T/2)$  حيث  $T$  هو زمن الدورة . يوضح الشكل ١٥ - ٦ شكلين موجيين هما تماثل نصف موجي . وبمعركة نوع تماثل الشكل الموجي يمكن الوصول إلى الاستنتاجات التالية :

إذا كان الشكل الموجي زوجياً فإن جميع حدود المتسلسلة المناظرة له هي حدود جيب تمام مع احتمال وجود ثابت إذا كان الشكل الموجي قيمة متوسطة . وعلى ذلك فإننا لا نحتاج إلى حساب قيمة التكامل المصنوع على الماملات  $b_n$  حيث لا يوجد حدود جيبية . وإذا كان فردياً فإن المتسلسلة تحتوي على حدود جيبية فقط . والدالة يمكن أن تكون فردية فقط بعد حذف الثابت ، وفي هذه الحالة فإن متسلسلة فوريير المناظرة لها تحتوي على هذا الثابت بالإضافة إلى متسلسلة من الحدود الجيبية . إذا كان الشكل الموجي تماثل نصف موجي فإنه

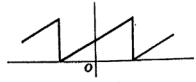


(أ)

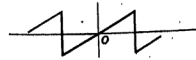


(ب)

شكل ١٥ - ٧



(أ)



(ب)

شكل ١٥ - ٨

يوجد في المتسلسلة ترددات فردية فقط . وهذه المتسلسلة تحتوي على حدود جيبية وجيب تمامية ما لم تكن الدالة فردية أو زوجية . وفي أي حالة فإن كلا من  $a_n$  و  $b_n$  يساوي صفراً عندما  $n = 2, 4, 6, \dots$  وذلك لأي شكل موجي له تماثل نصف موجي .

بعض الأشكال الموجية يمكن أن تكون فردية أو زوجية على حسب موضع المحور الرأسى . والموجة المربعة الموضحة في الشكل ١٥ - ٧ (أ) تحقق شرط الدالة الزوجية ، أى أن  $f(x) = f(-x)$  وينتج عن إزاحة المحور الرأسى إلى الموضع الموضح في الشكل ١٥ - ٧ (ب) دالة فردية حيث  $f(x) = -f(-x)$  . وإذا وضع المحور الرأسى عند أى نقطة غير التقاطعين الموضحين في الشكل ١٥ - ٧ فإن الموجة المربعة تصبح لا فردية ولا زوجية . وتحتوى متسلسلتها في هذه الحالة على حدود جيبية وجيب تمامية . وما . وعلى ذلك فإنه في تحليل الدوال الدورية يجب اختيار موضع مناسب للمحور الرأسى حتى ينتج لدينا دالة زوجية أو فردية وذلك طالما أن نوع الشكل الموجي يسمح بذلك .

إن إزاحة المحور الأفقى يمكن أن تبسط المتسلسلة التى تمثل الدالة . وكثا على ذلك فإن الشكل الموجي الموضح في الشكل ١٥ - ٨ (أ) لا يحقق شروط الدالة الفردية إلا إذا حلطنا القيمة المتوسطة كما هو موضح في الشكل ١٥ - ٨ (ب) . وعلى هذا فإن متسلسلته تحتوي على حد ثابت بالإضافة إلى جميع الحدود الجيبية .

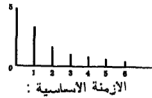
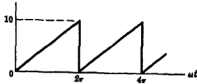
بما أن المتسلسلة الأسية المناظرة للجيب هي متسلسلة تخيلية تماماً والمتسلسلة الأسية المناظرة للجيب تمام هي متسلسلة حقيقية تماماً ، فإنه يمكن استخدام شروط التماثل السابقة لاختيار معاملات المتسلسلة الأسية . يحتوى الشكل الموجي الزوجى الرسمى على حدود جيب تمامية فقط وعلى ذلك فإن متسلسلة التلافية . وبالتالى معاملات فوريير الأسية يجب أن تكون أعداد حقيقية تماماً . وبالتالى فإن الدوال الفردية التى تتكون متسلسلتها التلافية من حدود جيبية تكون معاملات متسلسلتها الأسية تخيلية تماماً .

## الطيف الخطي :

يسمى الرسم الذى يوضح كلا من السمات التوافقية في الموجة بالطيف الخطي . وتتناقص الخطوط سريعاً للموجات التي تتقارب متسلسلتها بسرعة . والموجات غير المتصلة مثل سن المنشار والموجة المربعة لها أطراف تتناقص سماتها ببطء وذلك لأن متسلسلتها توافقيات عالية قوية . وعادة تكون لتراتددات العشرة الأولى قيم سمات ملحوظة بالمقارنة بالتردد الأساسي . وعلى العكس فإن متسلسلات الأكتكالم الموجية التي لا يوجد بها عدم اتصال والتي تمثل عادة بخط سلس تتقارب بسرعة إلى الدالة وتحتاج في هذه الحالة فقط إلى حدود قليلة لتمثيل الموجة . ويتضح هذا التقارب السريع من الطيف الخطي حيث تتناقص سمة الترددات بسرعة . وعلى ذلك فإن قيمة سمة التردد الخامس أو السادس تكون غير ملحوظة .

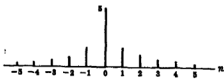
الترددات والطيف الخطي لأي موجة هما جزء من طبيعة الموجة نفسها لا يتغيران مهما تكن طريقة التحليل . وبإزاحة نقطة الأصل نحصل على متسلسلة نسب مثلية تختلف تماماً في ظاهرها ، أيضاً تتغير كثير . ماملات المتسلسلة الأسية بإزاحة نقطة الأصل ، ولكن يظهر دائماً نفس التردد في المتسلسلة وكذلك تظل سماتها التي تعطى بالمعادلة  $c_n = \sqrt{a_n^2 + b_n^2}$  أو  $c_n = |A_n| + |A_{-n}|$  ثابتة .

يوضح الشكل ١٥ - ٩ موجة من المنشار في المثال (١) وكذلك طيفها . وبما أنه يوجد حدود جيبيية فقط في المتسلسلة فإن التردد  $C_n$  تعطى مباشرة من  $b_n$  .



شكل ١٥ - ٩

يوضح الشكل ١٥ - ١٠ متسلسلة أسية ترددات حدودها  $n\omega$  و  $-n\omega$  (أنظر المعادلة ١٧) وكذلك طيفها . والسمة الفعلية لتردد معين هو مجموع سمتين إحداهما عند  $n\omega$  والأخرى عند  $-n\omega$  . ونجد في الطيف الموضح في الشكل ١٥ - ١٠ خطوط سماتها  $10/4\pi$  عند  $n = -2$  و  $n = +2$  . وبجمعهما نحصل على  $10/2\pi$  وهي السمة الفعلية لهذا التردد وهي تتفق مع الطيف الموضح في الشكل ١٥ - ٩ .



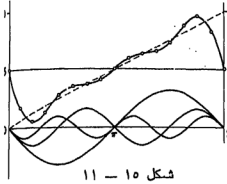
شكل ١٥ - ١٠

## تركيب الشكل الموجي :

تركيب الشكل الموجي هو جمع الأجزاء التي يتكون منها الشكل الكلي . وهو في تحليل فوريير عبارة عن جمع حدود المتسلسلة ذات النسب المثلية ، وعادة تكون الأربعة أو الخمسة الحدود الأولى . وبعد تركيب الموجة فإنه يمكن الطالب أن يفتنع أن متسلسلة فوريير تعبر في الواقع عن الموجة الدورية التي حصل عليها .

والمتسلسلة المثلية لموجة من المنشار في المثال (١) . والتي لها سمة عظمى 10 هي

$$f(t) = 5 - \frac{10}{\pi} \sin \omega t - \frac{10}{2\pi} \sin 2\omega t - \frac{10}{3\pi} \sin 3\omega t - \dots$$



شكل ١٠ - ١١

وفي الشكل ١٠ - ١١ رسمت هذه الحدود الأربعة بالإضافة إلى مجموعها وبالرغم من أن النتيجة ليست موجية سن منشار تماماً فإنه من الواضح أنه بالإضافة حدود أخرى فإن الرسم يقترب من من المنشار . بما أن هذه الموجة غير متصلة عند عدة نقاط فإن متسلسلتها لا تتقارب بسرعة وبالتالي فإن استخدام أربعة حدود لتركيب الشكل الموجي لا ينتج عنه نتيجة سليمة تماماً . وسمة الحد التالى الذى تردده  $4\omega$  هي  $10/4\pi$  لها قيمة محسوسة بالنسبة للسمة الأساسية  $10/\pi$  . وكل حد يضاف فى تركيب الشكل الموجي يقلل من عدم الانتظام الناتج وبذلك يتحسن تقريب الشكل الموجي الأساسى . وهذا ما كنا نعيه عند قولنا سابقاً إن « المتسلسلة تتقارب إلى الدالة عند جميع نقاط الاتصال وتتقارب إلى القيمة المتوسطة عند تلك نقاط عدم الاتصال » . ينفع من الشكل ١٠ - ١١ عند النقط 0 و  $2\pi$  أن القيمة 5 تظل كما هي وذلك لأن جميع الحدود الجيبية تساوى صفراً عند هاتين النقطتين ، وهى نقط عدم الاتصال ، وقيمة الدالة عندما تقترب من جهة اليسار هي 10 وعندما تقترب من جهة اليمين 0 وقيمتها المتوسطة هي 5 .

### القدرة والقيمة الفعالة :

ينتج عن تيار على شكل موجة دورية غير جيبية ومار فى مقاومة قدرة تعين بالقيمة الفعالة أو جذر متوسط مربع القيمة ( rms ) للموجة . وقد وجدنا فى الفصل الثانى أن القيمة الفعالة لدالة على الشكل

$$f(t) = \frac{1}{2}a_0 + a_1 \cos \omega t + a_2 \cos 2\omega t + \dots + b_1 \sin \omega t + b_2 \sin 2\omega t + \dots$$

هى

$$(18) \quad F_{rms} = \sqrt{\left(\frac{1}{2}a_0\right)^2 + \frac{1}{2}a_1^2 + \frac{1}{2}a_2^2 + \dots + \frac{1}{2}b_1^2 + \frac{1}{2}b_2^2 + \dots}$$

وبالتصير عن سعة التردد بالمعادلة  $c_n = \sqrt{a_n^2 + b_n^2}$  وكاتب  $c_0$  لمتوسط القيمة ، نجد من المعادلة (١٨) أن

$$F_{rms} = \sqrt{c_0^2 + \frac{1}{2}c_1^2 + \frac{1}{2}c_2^2 + \frac{1}{2}c_3^2 + \dots}$$

وباعتبار شبكة كهربائية خطية يؤثر عليها جهد دورى ، يمكننا أن نتوقع أن التيار الناتج يحوى على نفس الحدود الترددية كما فى الجهد . ولكن بسمات توافقية تختلف قيمها النسبية وذلك لتغير المعاوقة مع  $\omega$  . ومن المحتمل عدم ظهور بعض الترددات فى التيار حيث أنه فى حالة الرنين على التوازي ينتج معاوقة غير محدودة . وعموماً يمكننا كتابة

$$(19) \quad i = I_0 + \sum I_n \sin(n\omega t + \psi_n) \quad \text{و} \quad v = V_0 + \sum V_n \sin(n\omega t + \phi_n)$$

والقيم الفعالة المناظرة هى

$$(20) \quad I_{rms} = \sqrt{I_0^2 + \frac{1}{2}I_1^2 + \frac{1}{2}I_2^2 + \dots} \quad \text{و} \quad V_{rms} = \sqrt{V_0^2 + \frac{1}{2}V_1^2 + \frac{1}{2}V_2^2 + \dots}$$

والقدرة المتوسطة  $P$  تنتج من تكامل القدرة الحظية التى تعطى بحاصل الضرب  $vi$  .

$$(21) \quad p = vi = [V_0 + \sum V_n \sin(n\omega t + \phi_n)][I_0 + \sum I_n \sin(n\omega t + \psi_n)]$$

بما أن كلا من  $i$  و  $v$  لهما دورة  $T$  فإن حاصل ضربيهما له جدد صحيح من دوراتهما  $T$  . ( وإذا كان الجهد المؤثر دالة جيبية واحدة فإن حاصل الضرب  $vi$  له دورة تساوي نصف دورة موجة الجهد ) . ومتوسط القدرة هو

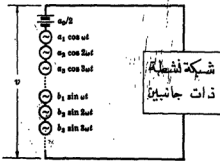
$$(٢٢) \quad P = \frac{1}{T} \int_0^T [V_0 + \sum V_n \sin(n\omega t + \phi_n)] [I_0 + \sum I_n \sin(n\omega t + \psi_n)] dt$$

واختبار الحدود الممكنة في حاصل ضرب المتسلسلتين اللاهاتيين يوضح أنهما يحتويان على الأنواع : حاصل ضرب التانين ، حاصل ضرب الثابت والدالة الجيبية ، حاصل ضرب تانين جيبيتين بترددين مختلفين ، مربع دالة جيبية . ونجد بعد التكامل أن حاصل ضرب التانين لايزال  $V_0 I_0$  ويظهر مربع الدالة الجيبية بالخفود المطبقة على الصورة  $(V_n I_n / 2) \cos(\phi_n - \psi_n)$  بينما تتحول جميع المضارب بعد التكامل على الدورة  $T$  إلى الصفر . إذن متوسط القدرة هو

$$(٢٣) \quad P = V_0 I_0 + \frac{1}{2} V_1 I_1 \cos \theta_1 + \frac{1}{2} V_2 I_2 \cos \theta_2 + \frac{1}{2} V_3 I_3 \cos \theta_3 + \dots$$

حيث  $\theta_n = (\phi_n - \psi_n)$  هي زاوية المعاوقة المكافئة للشبكة الكهربائية عند التردد  $n\omega$  rad/sec ،  $I_n$  و  $V_n$  القيمتان العظميان لدالتى الجهد والتيار الجيبيتين . نجد في دوائر التيار المتردد وحيدة التردد أن متوسط القدرة هو  $P = VI \cos \theta$  وهي محتواة في المعادلة (٢٣) حيث  $V$  هي القيمة الفعالة للجهد  $V = V_{\max}/\sqrt{2}$  و  $I = I_{\max}/\sqrt{2}$  أى أن  $P = \frac{1}{2} V_{\max} I_{\max} \cos \theta$  . القدرة في دوائر التيار المستمر البسيطة هي  $VI$  وهي محتواة في المعادلة (٢٣) بنقد  $V_0 I_0$  . وعلى ذلك فإن معادلة القدرة (٢٣) هي معادلة عامة تماماً وتحتوى على التيار المستمر والتيار المتردد وحيد التردد وأيضاً على أمواج دورية غير جيبية . ونلاحظ أيضاً في المعادلة (٢٣) أنه لا يوجد أى إسهام في متوسط القدرة من الجهد والتيار المختلفين في التردد وعلى ذلك فإنه بالنسبة للقدرة يؤثر كل تردد على حدة .

### تطبيقات على تحليل الدوائر :

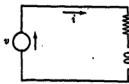


شكل ١٥ - ١٢

لقد أقررنا فيما سبق أنه يمكننا تطبيق حدود متسلسلة الجهد على شبكة نظية للحصول على الحدود الترددية المناظرة لمتسلسلة التيار . وقد حصلنا على هذه النتيجة من التراكب . وعلى هذا فإننا نعتبر كل حد في متسلسلة فوريير يمثل جهداً ناتجاً عن مصدر واحد كما في الشكل ١٥ - ١٢ . والآن نستخدم المعاوقة المكافئة للشبكة الكهربائية عند كل ذبذبة تردد  $n\omega$  لحساب التيار عند ذلك التردد . مجموع هذه الاستجابات الفردية هي الاستجابة الكلية  $i$  على شكل متسلسلة والناتجة عن الجهد المؤثر .

### مثال ٣ :

دائرة  $RL$  على التوالي فيها  $R = 5 \Omega$  و  $L = 0.02 H$  يؤثر عليها جهد  $v = 100 + 50 \sin \omega t + 25 \sin 3\omega t$  volts حيث  $\omega = 500$  rad/sec . أوجد التيار والقدرة المتوسطة .



شكل ١٥ - ١٣

نحسب المعاوقة المكافئة عند كل ذبذبة . وبذلك نحصل على التيارات المناظرة .  $I_0 = V_0/R = 100/5 = 20 A$  و  $Z = 5 \Omega$  فإن  $\omega = 0$  عند

$$Z_1 = 5 + j(0.02)(500) = 5 + j10 \Omega \quad \text{عند } \omega = 500 \text{ rad/sec}$$

$$i_1 = \frac{V_{1 \max}}{|Z_1|} \sin(\omega t - \theta_1) = \frac{60}{11.18} \sin(\omega t - 68.4^\circ) = 4.48 \sin(\omega t - 68.4^\circ) \text{ amperes}$$

$$Z_3 = 5 + j30 \Omega \quad \text{عند } 3\omega = 1500 \text{ rad/sec}$$

$$i_3 = \frac{V_{3 \max}}{|Z_3|} \sin(3\omega t - \theta_3) = \frac{25}{30.4} \sin(3\omega t - 80.54^\circ) = 0.823 \sin(3\omega t - 80.54^\circ) \text{ amperes}$$

ومجموع التيارات التوافقية هو الاستجابة الكلية المطلوبة

$$i = 20 + 4.48 \sin(\omega t - 63.4^\circ) + 0.823 \sin(3\omega t - 80.54^\circ) \text{ amperes}$$

والقيمة الفعالة لهذا التيار هي

$$I_{\text{rms}} = \sqrt{20^2 + 4.48^2/2 + 0.823^2/2} = \sqrt{410.6} = 20.25 \text{ A}$$

والقدرة الناتجة عنها في المقاومة  $5 \Omega$  هي

$$P = I_{\text{rms}}^2 R = (410.6)5 = 2053 \text{ W}$$

وكاعتبار النتيجة فإننا نحسب متوسط القدرة الكلية بحساب القدرة الناتجة عن كل تردد ثم جمعها فينتج أن

$$P = I_{\text{rms}}^2 R = 100(20) = 2000 \text{ W} \quad \text{عند } \omega = 0$$

$$P = \frac{1}{2} V_1 I_1 \cos \theta_1 = \frac{1}{2} (50)(4.48) \cos 63.4^\circ = 50.1 \text{ W} \quad \text{عند } \omega = 500 \text{ rad/sec}$$

$$P = \frac{1}{2} V_3 I_3 \cos \theta_3 = \frac{1}{2} (25)(0.823) \cos 80.54^\circ = 1.69 \text{ W} \quad \text{عند } 3\omega = 1500 \text{ rad/sec}$$

$$P_T = 2000 + 50.1 + 1.69 = 2052 \text{ W} \quad \text{إذن}$$

### طريقة أخرى :

متسلسلة الجهد المؤثر على المقاومة هي

$$V_R = Ri = 100 + 22.4 \sin(\omega t - 63.4^\circ) + 4.11 \sin(3\omega t - 80.54^\circ) \text{ volts}$$

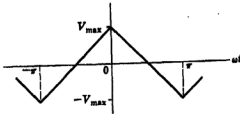
$$V_R = \sqrt{100^2 + \frac{1}{2}(22.4)^2 + \frac{1}{2}(4.11)^2} = \sqrt{10,259} = 101.3 \text{ V}$$

$$P = V_R^2/R = (101.3)^2/5 = 2052 \text{ W} \quad \text{إذن القدرة المعطاة بالمصدر هي}$$

وبنفس الطريقة تستخدم متسلسلة فوريير الأسية فيما عدا أن معاوقة الدائرة يعبر عنها عادة بمقدور في  $m\Omega$  . ويمكن حساب معاملات متسلسلة التيار  $I_n$  من النسبة  $V_n/Z_n$  كما هو موضح في مثال (٤) التالي .

### مثال ٤ :

يؤثر جهد على شكل الموجة المثلثية الموضحة في الشكل ١٥ - ١٤ على مكثف في سعة  $C$  farads .  
عين التيار الناتج .



شكل ١٥ - ١٤

دالة الجهد في الفترة  $-\pi < \omega t < 0$  هي

$$v = V_{max} + (2V_{max}/\pi)\omega t$$

وفي الفترة  $0 < \omega t < \pi$  هي

$$v = V_{max} - (2V_{max}/\pi)\omega t$$

إذن يمكن تعيين معادلات المتسلسلة الأسية بحساب التكامل

$$A_n = \frac{1}{2\pi} \int_{-\pi}^0 [V_{max} + (2V_{max}/\pi)\omega t] e^{-j n \omega t} d(\omega t) \\ + \frac{1}{2\pi} \int_0^{\pi} [V_{max} - (2V_{max}/\pi)\omega t] e^{-j n \omega t} d(\omega t)$$

ومنه نجد أن  $A_n = \frac{4V_{max}}{\pi^2 n^2}$  لجميع القيم الفردية  $n$  و  $A_n = 0$  لجميع قيم  $n$  الزوجية .

ومعاوقة الدائرة  $Z = 1/\omega C$  يمكن التعبير عنها كدالة في  $n$  أي أن  $Z_n = 1/n\omega C$  . والآن لدينا

$$I_n = \frac{V_n}{Z_n} = \frac{4V_{max}}{\pi^2 n^2} (j n \omega C) = j \left( \frac{4V_{max} \omega C}{\pi^2 n} \right)$$

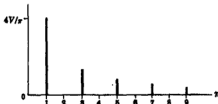
ومتسلسلة التيار هي

$$i = \sum \frac{e^{j n \omega t}}{n} \left( \frac{4V_{max} \omega C}{\pi^2} \right)$$

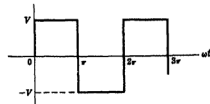
يمكن للمتسلسلة أن تقترب إلى الشكل المثلثي وبالتالي تبين لنا تركيب الشكل الموجي للتيار . وعلى ذلك فإن هذه المتسلسلة لها نفس الشكل الناتج في المسألة ١٥ - ٨ حيث المعامل  $A_n = -(2V/\pi n)$  لقيم  $n$  الفردية فقط . والإشارة السالبة هنا تعني أن موجة هذا التيار هي سالب الموجة المربعة في المسألة ١٥ - ٨ وأن قيمتها العظمى هي  $(2V_{max}\omega C)/\pi$  .

### مسائل محلولة

١٥ - ١ أوجد متسلسلة فوريير ذات النسب المثلثية للموجة المربعة الموضحة في الشكل ١٥ - ٢٥ وارسم الطيف الخطي لها .



شكل ١٥ - ١٦



شكل ١٥ - ١٥

في الفترة  $0 < \omega t < \pi$  نجد أن  $f(t) = V$  وفي الفترة  $\pi < \omega t < 2\pi$  نجد أن  $f(t) = -V$ .  
والقيمة المتوسطة للموجة تساوي صفراً ؛ إذن  $a_0/2 = 0$  . ونحصل على معاملات الجيب تمام بكتابة التكاملات التي  
يجب حسابها مع إدخال الدوال كما يلي :

$$a_n = \frac{1}{\pi} \left\{ \int_0^{\pi} V \cos n\omega t d(\omega t) + \int_{\pi}^{2\pi} (-V) \cos n\omega t d(\omega t) \right\} = \frac{V}{\pi} \left\{ \left[ \frac{1}{n} \sin n\omega t \right]_0^{\pi} - \left[ \frac{1}{n} \sin n\omega t \right]_{\pi}^{2\pi} \right\}$$

$$= 0$$

جميع قيم  $n$  .

وعلى هذا فالمتسلسلة لا تحتوي على حدود جيب تمام . وباتباع نفس الطريقة مع التكاملات التي يجب حسابها للحدود  
الجيبية نجد أن

$$b_n = \frac{1}{\pi} \left\{ \int_0^{\pi} V \sin n\omega t d(\omega t) + \int_{\pi}^{2\pi} (-V) \sin n\omega t d(\omega t) \right\}$$

$$= \frac{V}{\pi} \left\{ \left[ -\frac{1}{n} \cos n\omega t \right]_0^{\pi} + \left[ \frac{1}{n} \cos n\omega t \right]_{\pi}^{2\pi} \right\}$$

$$= \frac{V}{\pi n} (-\cos n\pi + \cos 0 + \cos n2\pi - \cos n\pi) = \frac{2V}{\pi n} (1 - \cos n\pi)$$

إذن  $b_n = 4V/\pi n$  عندما  $n = 1, 2, 5, \dots$  و  $b_n = 0$  عندما  $n = 2, 4, 6, \dots$  ومتسلسلة الموجة  
المربعة هي

$$f(t) = \frac{4V}{\pi} \sin \omega t + \frac{4V}{3\pi} \sin 3\omega t + \frac{4V}{5\pi} \sin 5\omega t + \dots$$

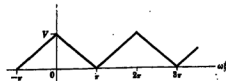
ويوضح الشكل ١٥ - ١٦ الطيف الخطي لهذه المتسلسلة . وتحتوي المتسلسلة على حدود جيبية بترددات فردية فقط وهي  
التي يمكن استخدامها في اختيار تماثل الشكل الموجي .

وبما أن موجة الشكل ١٥ - ١٥ فردية فإن متسلسلتها تحتوي على حدود جيبية فقط وبما أن لها أيضاً تماثل موجي فإنها  
تحتوي على ترددات فردية فقط .

١٥ - ٧ أوجد متسلسلة فوريير ذات السب الثالثة للموجة المثلثية الموضحة في الشكل ١٥ - ١٧ . وارسم طيفها الخطي .



شكل ١٥ - ١٨



شكل ١٥ - ١٧



الموجة دالة زوجية لأن  $f(t) = f(-t)$  ، وإذا أزلنا القيمة المتوسطة  $V/2$  فإنه يكون لها أيضاً تماثل نصف موجي ، أى أن  $f(t) = -f(t + T/2)$  . وفي الفترة  $-\pi < \omega t < 0$  فإن  $f(t) = V - (V/\pi)\omega t$  . وفي الفترة  $0 < \omega t < \pi$  فإن  $f(t) = V + (V/\pi)\omega t$  . وبما أن الشكل الموجي الزوجي محتوي على حدود جيب تمام فقط فإن  $b_n = 0$  لجميع قيم  $n$  الصحيحة .

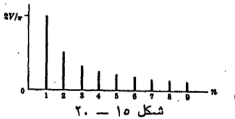
$$\begin{aligned} a_n &= \frac{1}{\pi} \int_{-\pi}^0 [V + (V/\pi)\omega t] \cos n\omega t d(\omega t) + \frac{1}{\pi} \int_0^{\pi} [V - (V/\pi)\omega t] \cos n\omega t d(\omega t) \\ &= \frac{V}{\pi} \left\{ \int_{-\pi}^0 \cos n\omega t d(\omega t) + \int_{-\pi}^0 \frac{\omega t}{\pi} \cos n\omega t d(\omega t) - \int_0^{\pi} \frac{\omega t}{\pi} \cos n\omega t d(\omega t) \right\} \\ &= \frac{V}{\pi^2} \left\{ \left[ \frac{1}{n^2} \cos n\omega t + \frac{\omega t}{n} \sin n\omega t \right]_{-\pi}^0 - \left[ \frac{1}{n^2} \cos n\omega t + \frac{\omega t}{n} \sin n\omega t \right]_0^{\pi} \right\} \\ &= \frac{V}{\pi^2 n^2} (\cos 0 - \cos(-n\pi) - \cos n\pi + \cos 0) = \frac{2V}{\pi^2 n^2} (1 - \cos n\pi) \end{aligned}$$

وكما نتوقع من التماثل النصف موجي فإن المتسلسلة تحتوي فقط على حدود فردية حيث  $a_n = 0$  عندما  $n = 2, 4, 6, \dots$  . وعندما  $n = 1, 3, 5, \dots$  فإن  $a_n = 4V/\pi^2 n^2$  . إذن متسلسلة فوريير المطلوبة هي

$$f(t) = \frac{V}{2} + \frac{4V}{\pi^2} \cos \omega t + \frac{4V}{(3\pi)^2} \cos 3\omega t + \frac{4V}{(5\pi)^2} \cos 5\omega t + \dots$$

وتقل الماملات بمعدل  $1/n^2$  ، وعلى هذا فإن تقارب المتسلسلة أسرع من تلك التي في المسألة ١٥ - ١ . وتظهر هذه الحقيقة من الطيف الخطي الموضح في الشكل ١٥ - ٨ .

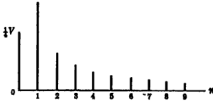
٣ - أوجد متسلسلة فوريير ذات النسب المثلثية لموجة سن المنشار الموضحة في الشكل ١٥ - ١٩ وارسم طيفها .



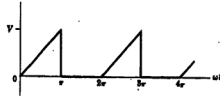
وتتناقص الحدود بمعدل  $1/n$  وعلى ذلك فالمتسلسلة تتقارب ببطء كما هو موضح بالطيف في الشكل ١٥ - ٢٠ . وباستثناء إزاحة نقطة أصل المحاور والحد المتوسط فإن هذا الشكل الموجي هو نفسه الموجود في المثال (١) . قارن الطيف الخطي في الشكل ١٥ - ٩ بما في الشكل ١٥ - ٢٠ ولاحظ التشابه الموجود .

١٥ - ٤ أوجد متسلسلة فوريير ذات النسب المثلثية للشكل الموجي الموضح في الشكل ١٥ - ٢١ وارسم الطيف .

في الفترة  $0 < \omega t < \pi$  نجد أن  $f(t) = (V/\pi)\omega t$  وفي الفترة  $\pi < \omega t < 2\pi$  نجد أن  $f(t) = 0$  . وبما أن الموجة لا هي زوجية ولا فردية فالمتسلسلة يجب أن تحتوي على حدود جيبية وحدود جيب تامة معاً . وفي الفترة من 0 إلى  $\pi$  نحصل على



شكل ١٥ - ٢٢



شكل ١٥ - ٢١

$$a_n = \frac{1}{\pi} \int_0^\pi (V/\pi)\omega t \cos n\omega t d(\omega t) = \frac{V}{\pi^2} \left[ \frac{1}{n^2} \cos n\omega t + \frac{\omega t}{n} \sin n\omega t \right]_0^\pi = \frac{V}{\pi^2 n^2} (\cos n\pi - 1)$$

عندما  $n$  زوجية فإن  $(\cos n\pi - 1) = 0$  و  $a_n = 0$  . وعندما  $n$  فردية فإن  $a_n = -2V/(\pi^2 n^2)$  ومعاملات  $b_n$  هي

$$b_n = \frac{1}{\pi} \int_0^\pi (V/\pi)\omega t \sin n\omega t d(\omega t) = \frac{V}{\pi^2} \left[ \frac{1}{n^2} \sin n\omega t - \frac{\omega t}{n} \cos n\omega t \right]_0^\pi = -\frac{V}{\pi^2 n^2} (\cos n\pi)$$

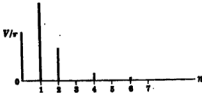
وتتناوب الإشارات حيث  $b_n = -V/\pi n$  لقيم  $n$  الزوجية و  $b_n = +V/\pi n$  لقيم  $n$  الفردية ومتسلسلة فوريير المطلوبة هي

$$f(t) = \frac{V}{4} - \frac{2V}{\pi^2} \cos \omega t - \frac{2V}{(8\pi)^2} \cos 8\omega t - \frac{2V}{(6\pi)^2} \cos 6\omega t - \dots$$

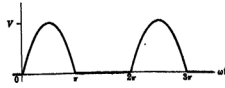
$$+ \frac{V}{\pi} \sin \omega t - \frac{V}{2\pi} \sin 2\omega t + \frac{V}{8\pi} \sin 8\omega t - \dots$$

وتعطي سمات الترددات الزوجية مباشرة بمعاملات  $b_n$  ، وذلك لعدم وجود حدود جيب تامة زوجية . وعلى ذلك فإنه يجب استخدام  $c_n = \sqrt{a_n^2 + b_n^2}$  لحساب سمات الترددات الفردية. إذن  $c_1 = \sqrt{(2V/\pi^2)^2 + (V/\pi)^2}$  وبالمثل  $c_3 = V(0.109)$  و  $c_5 = V(0.064)$  . ويوضح الشكل ١٥ - ٢٢ الطيف الخطي .

١٥ - ٥ أوجد متسلسلة فوريير ذات النسب المثلثية للدالة الجيبية المقومة تقوياً نصف موجياً والموضحة في الشكل ١٥ - ٢٣ وارسم الطيف .



شكل ١٥ - ٢٤



شكل ١٥ - ٢٣

لاتين المرجوة أى تماثل ولذلك فإننا نتوقع أن تتوى المتسلسلة على حدود جيئية وجيب تمامية مما . بما أنه لا يمكن الحصول على القيمة المتوسطة بالافحص فإننا نحسب  $a_0$  لحد  $a_0/2$  في المتسلسلة

$$a_0 = \frac{1}{\pi} \int_0^{\pi} V \sin wt \, d(wt) = \frac{V}{\pi} [-\cos wt]_0^{\pi} = \frac{2V}{\pi}$$

ثم نعين بعد ذلك  $a_n$  :

$$\begin{aligned} a_n &= \frac{1}{\pi} \int_0^{\pi} V \sin wt \cos nat \, d(wt) \\ &= \frac{V}{\pi} \left[ \frac{-n \sin wt \sin nat - \cos nat \cos wt}{-n^2 + 1} \right]_0^{\pi} = \frac{V}{\pi(1-n^2)} (\cos n\pi + 1) \end{aligned}$$

عندما  $n$  زوجية فإن:  $a_n = 2V/\pi(1-n^2)$  ، وعندما  $n$  فردية فإن  $a_n = 0$  ، وحيث أن هذا التعبير غير محدد عندما  $n = 1$  ، إذن فإننا يجب أن نكامل على حدة للحصول على  $a_1$  .

$$a_1 = \frac{1}{\pi} \int_0^{\pi} V \sin wt \cos wt \, d(wt) = \frac{V}{\pi} \int_0^{\pi} \frac{1}{2} \sin 2wt \, d(wt) = 0$$

والآن نحسب  $b_n$  :

$$b_n = \frac{1}{\pi} \int_0^{\pi} V \sin wt \sin nat \, d(wt) = \frac{V}{\pi} \left[ \frac{n \sin wt \cos nat - \sin nat \cos wt}{-n^2 + 1} \right]_0^{\pi} = 0$$

ونجد هنا أيضاً أن هذا التعبير غير محدد عندما  $n = 1$  وعلى ذلك فإن  $b_1$  نحسب على حدة .

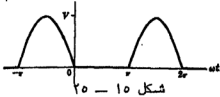
$$b_1 = \frac{1}{\pi} \int_0^{\pi} V \sin^2 wt \, d(wt) = \frac{V}{\pi} \left[ \frac{wt}{2} - \frac{\sin 2wt}{4} \right]_0^{\pi} = \frac{V}{2}$$

ومتسلسلة فوريير المطلوبة هي

$$f(t) = \frac{V}{\pi} \left\{ 1 + \frac{\pi}{2} \sin wt - \frac{2}{3} \cos 2wt - \frac{2}{15} \cos 4wt - \frac{2}{35} \cos 6wt - \dots \right\}$$

والطيف في الشكل ١٥ - ٢٤ يبين الحد الأساسى القوى في المتسلسلة وكذلك سمات الترددات الأعلى التى تتناقص سريعاً .

٢٥-١ أوجد متسلسلة فوريير ذات النسب المثلثية للموجة الجيبية المقومة تقوياً نصف موجي والموضحة في الشكل ١٥-٢٥ ؛ حيث أزيح المحور الرأسى عن موضعه في المسألة ١٥-٥ .



الدالة معرفة في الفترة  $-\pi < \omega t < 0$  بالعلاقة  $f(t) = -V \sin \omega t$  . والقيمة المتوسطة هي نفسها كما في المسألة ١٥-٥ ، أى أن  $a_0 = 2V/\pi$  ولدينا لمعاملات  $a_n$  .

$$a_n = \frac{1}{\pi} \int_{-\pi}^0 (-V \sin \omega t) \cos n\omega t d(\omega t) = \frac{V}{\pi(1-n^2)}(1 + \cos n\pi)$$

وعندما  $n$  زوجية فإن  $a_n = 2V/\pi(1 - \pi^2)$  وعندما  $n$  فردية فإن  $a_n = 0$  فيما عدا  $n = 1$  حيث يجب اختيارها على حدة .

$$a_1 = \frac{1}{\pi} \int_{-\pi}^0 (-V \sin \omega t) \cos \omega t d(\omega t) = 0$$

ولدينا المعاملات  $b_n$

$$b_n = \frac{1}{\pi} \int_{-\pi}^0 (-V \sin \omega t) \sin n\omega t d(\omega t) = 0$$

ولكن مرة أخرى نجد أن هذا التعبير غير محدد عندما  $n = 1$  ، وعلى هذا فإننا نحسب  $b_1$  على حدة

$$b_1 = \frac{1}{\pi} \int_{-\pi}^0 (-V) \sin^2 \omega t d(\omega t) = -\frac{V}{2}$$

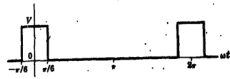
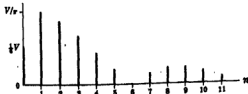
إذن المتسلسلة هي

$$f(t) = \frac{V}{\pi} \left\{ 1 - \frac{\pi}{2} \sin \omega t - \frac{2}{8} \cos 2\omega t - \frac{2}{18} \cos 4\omega t - \frac{2}{36} \cos 6\omega t - \dots \right\}$$

وهذه المتسلسلة متطابقة مع متسلسلة المسألة ١٥-٥ فيما عدا الحد الأساسى الذى له إشارة سالبة في هذه المتسلسلة . ومن الواضح أن الطيف مطابق لما في الشكل ١٥-٢٤ .

٢٥-٧ أوجد متسلسلة فوريير المثلثية لنقطة المستطيلة الموضحة في الشكل ١٥-٢٦ وارسم الطيف .

يوضع نقطة أصل المحاور كما في الشكل تكون الموجة زوجية وبذلك فإن المتسلسلة تحتوي على حدود جيب تامة فقط بالإضافة إلى حد ثابت . وتستخدم الدورة من  $-\pi$  إلى  $+\pi$  في حساب قيم التكاملات وقيمة الدالة تساوى صفراً فيما عدا في الفترة من  $-\pi/6$  إلى  $+\pi/6$  .





ويوضح الطيف في الشكل ١٥ - ٢٩ سمات لذبذبات موجية وسالبة معا . ويجمع القيم عند  $n$  و  $-n$  ينتج السمة المرسومة للمتسلسلة ذات النسب المثلثية في الشكل ١٥ - ١٦ . معاملات الجيب تمام في المتسلسلة المثلثية هي

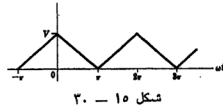
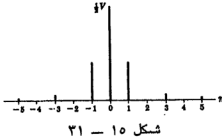
$$a_n = A_n + A_{-n} = -j \frac{2V}{n\pi} + \left( -j \frac{2V}{(-n\pi)} \right) = 0$$

$$b_n = j[A_n - A_{-n}] = j \left[ -j \frac{2V}{n\pi} + j \frac{2V}{(-n\pi)} \right] = \frac{4V}{n\pi}$$

لقيم  $n$  الفردية فقط .

وهذا يتفق مع معاملات المتسلسلة المثلثية التي حصلنا عليها في المسألة ١٥ - ١ .

١٥ - ٩ أوجد متسلسلة فوريير الأسية للموجة المثلثية الموضحة في الشكل ١٥ - ٣٠ وارسم الطيف .



يوجد في الفترة  $0 < \omega t < \pi$  أن  $f(t) = V + (V/\pi)\omega t$  وفي الفترة  $0 < \omega t < \pi$  أن  $f(t) = V - (V/\pi)\omega t$  والموجة زوجية وعلى ذلك فإن معاملات  $A_n$  حقيقية تماماً . والقيمة المتوسطة بالفحص هي  $V/2$  .

$$\begin{aligned} A_n &= \frac{1}{2\pi} \left\{ \int_{-\pi}^0 [V + (V/\pi)\omega t] e^{-j n \omega t} d(\omega t) + \int_0^{\pi} [V - (V/\pi)\omega t] e^{-j n \omega t} d(\omega t) \right\} \\ &= \frac{V}{2\pi^2} \left\{ \int_{-\pi}^0 \omega t e^{-j n \omega t} d(\omega t) + \int_0^{\pi} (-\omega t) e^{-j n \omega t} d(\omega t) + \int_{-\pi}^{\pi} V e^{-j n \omega t} d(\omega t) \right\} \\ &= \frac{V}{2\pi^2} \left\{ \left[ \frac{e^{-j n \omega t}}{(-j n)^2} (-j n \omega t - 1) \right]_{-\pi}^0 - \left[ \frac{e^{-j n \omega t}}{(-j n)^2} (-j n \omega t - 1) \right]_0^{\pi} \right\} = \frac{V}{\pi^2 n^2} [1 - e^{j n \pi}] \end{aligned}$$

ونجد لقيم  $n$  الزوجية أن  $e^{j n \pi} = +1$  ولقيم  $n$  الفردية أن  $e^{j n \pi} = -1$  . إذن فالمتسلسلة هي

$$f(t) = \dots + \frac{2V}{(-3\pi)^2} e^{-j 3 \omega t} + \frac{2V}{(-\pi)^2} e^{-j \omega t} + \frac{V}{2} + \frac{2V}{(\pi)^2} e^{j \omega t} + \frac{2V}{(3\pi)^2} e^{j 3 \omega t} + \dots$$

والطيف موضح في الشكل ١٥ - ٣١ بخطين عند  $n$  و  $-n$  وعند إضافتهما نحصل على نفس السمة في طيف الشكل ١٥ - ١٨ .

ومعاملات المتسلسلة المثلثية هي ولقيم  $n$  الفردية فقط .

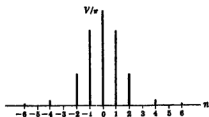
$$a_n = A_n + A_{-n} = \frac{2V}{\pi^2 n^2} + \frac{2V}{\pi^2 (-n)^2} = \frac{4V}{\pi^2 n^2}$$

$$b_n = j[A_n - A_{-n}] = j \left[ \frac{2V}{\pi^2 n^2} - \frac{2V}{\pi^2 (-n)^2} \right] = 0$$

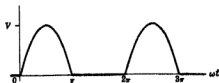
وهذه المعاملات تتفق مع نتيجة المسألة ١٥ - ٢ .

١٥-١٠ أوجد متسلسلة فوريير الأسية للموجة الجيبية المقومة تقوياً بنصف موجي، والموضحة في الشكل ١٥-٣٢.

نجد في الفترة  $0 < \omega t < \pi$  أن  $f(t) = V \sin \omega t$  ونجد في الفترة من  $\pi$  إلى  $2\pi$  أن  $f(t) = 0$  إذن



شكل ١٥ - ٣٣



شكل ١٥ - ٣٢

$$\begin{aligned} A_n &= \frac{1}{2\pi} \int_0^\pi V \sin \omega t e^{-jn\omega t} d(\omega t) \\ &= \frac{V}{2\pi} \left[ \frac{e^{-jn\omega t}}{(1-n^2)} (-jn \sin \omega t - \cos \omega t) \right]_0^\pi = \frac{V}{2\pi(1-n^2)} (e^{-jn\pi} + 1) \end{aligned}$$

ونجد لقيم  $n$  الزوجية أن  $A_n = V/\pi(1-n^2)$  ولقيم  $n$  الفردية أن  $A_n = 0$  . وعلى ذلك فعندما  $n = +1$  فإن تعبير  $A_n$  يصبح غير محدد . يمكن تطبيق قاعدة لوبيتال ، أي أننا نفاضل بسط ومقام الكمية

$$A_1 = \lim_{n \rightarrow 1} \frac{V}{2\pi(1-n^2)} (e^{-jn\pi} + 1)$$

$$A_1 = -j(V/4)$$

والقيمة المتوسطة هي

$$A_0 = \frac{1}{2\pi} \int_0^\pi V \sin \omega t d(\omega t) = \frac{V}{2\pi} [-\cos \omega t]_0^\pi = \frac{V}{\pi}$$

إذن متسلسلة فوريير الأسية هي

$$f(t) = \dots - \frac{V}{16\pi} e^{-j4\omega t} - \frac{V}{8\pi} e^{-j2\omega t} + j\frac{V}{4} e^{-j\omega t} + \frac{V}{\pi} - j\frac{V}{4} e^{j\omega t} - \frac{V}{8\pi} e^{j2\omega t} - \frac{V}{16\pi} e^{j4\omega t} - \dots$$

من المهم ملاحظة أنه يوجد ماملان تحليلان فقط في المتسلسلة عند  $n = \pm 1$  وأن الحد الجبري الوحيد في المتسلسلة الخالية في المسألة ١٥-٦ له معامل  $|A_1| = j(V/4)$  .

ويوضح الطيف الخطي في الشكل ١٥-٣٣ السمات الترددية للموجة وهنا يجب مقارنتها بالشكل ١٥-٣٤ .

١٥-١١ أوجد القدرة المتوسطة في المقاومة  $R = 10 \Omega$  علماً بأن التيار هو

$$i = 10 \sin \omega t + 5 \sin 3\omega t + 2 \sin 5\omega t \text{ amperes.}$$

القيمة الفعالة للتيار هي  $I = \sqrt{\frac{1}{2}(10^2 + 5^2 + 2^2)} = \sqrt{64.5} = 8.03 \text{ A}$  . إذن القدرة المتوسطة هي

$$P = PR = (8.03)^2 10 = 654 \text{ W}$$

### طريقة أخرى :

القدرة الكلية هي مجموع قدرات الترددات المختلفة وتعطى بالعلاقة  $\frac{1}{2} V_{max} I_{max} \cos \theta$  . ولكن زاوية الطور بين الجهد عبر المعاوقة والتيار هي  $\theta_R = 0$  وذلك لكل الترددات . إذن

$$v_R - Ri = 100 \sin \omega t + 50 \sin 3\omega t + 20 \sin 5\omega t \text{ volts}$$

$$P = \frac{1}{2}(10)(100) + \frac{1}{2}(5)(50) + \frac{1}{2}(2)(20) = 645 \text{ W.}$$

١٥-١٢ أوجد القدرة المتوسطة المغطاة لشبكة كهربائية علما بأن الجهد والتيار الناتج يعطيان بالمعادلتين .

$$v = 50 + 50 \sin 5 \times 10^4 t + 30 \sin 10^4 t + 20 \sin 2 \times 10^4 t \text{ volts}$$

$$i = 11.2 \sin(5 \times 10^4 t + 63.4^\circ) + 10.6 \sin(10^4 t + 45^\circ) + 8.97 \sin(2 \times 10^4 t + 26.6^\circ) \text{ amperes}$$

متوسط القدرة الكلية هي مجموع القدرة الناتجة عن كل تردد .

$$P = \frac{1}{2}(50)(11.2) \cos 63.4^\circ + \frac{1}{2}(30)(10.6) \cos 45^\circ + \frac{1}{2}(20)(8.97) \cos 26.6^\circ = 317.7 \text{ W}$$

١٥-١٣ أوجد ثابت دائرة التوالى المكونة من عنصرين علما بأن الجهد المؤثر والتيار الناتج هما نفسهما المطيان في المسألة ١٥-٢ .

نجد في متسلسلة الجهد حدا ثابتا مقداره 50 ولكن لا يقابله حد في متسلسلة التيار ، وهذا يعنى أن أحد العنصرين مكثف . وبما أنه توجد قدرة ممتصة للدائرة فإن العنصر الآخر يجب أن يكون مقاومة .

$$I = \sqrt{\frac{1}{2}(11.2)^2 + \frac{1}{2}(10.6)^2 + \frac{1}{2}(8.97)^2} = 12.6 \text{ A}$$

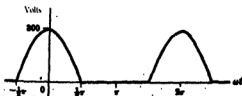
$$R = P/I^2 = 317.7/159.2 = 2 \text{ ohms} \text{ ومنها } P = I^2 R$$

عند  $\omega = 5 \times 10^3 \text{ rad/sec}$  نجد أن  $|Z| = V_{max}/I_{max} = 50/11.2 = 4.47 \Omega$  . وبما أن

$$|Z| = \sqrt{R^2 + X_C^2}, X_C = \sqrt{(4.47)^2 - 4} = 4 \Omega$$

$$C = 1/(\omega X_C) = 1/(4 \times 5 \times 10^3) = 50 \mu F \text{ و } X_C = 1/(\omega C)$$

وعلى هذا فإن دائرة التوالى تتكون من عنصرين أحدهما مقاومة قيمتها  $2 \Omega$  والآخر مكثف سعته  $50 \mu F$  .



شكل ١٥ - ٢٤

١٥-١٤ تكرر موجة الجهد الموضحة في الشكل ١٥-٢٤ على

دائرة توالى تتكون من  $R=2000 \Omega$  و  $L=10 \text{ H}$  .

استخدم متسلسلة فوريير ذات النسب المثالية لتحصل

على الجهد عبر المعاوقة . ارسم الطيف الخطى للجهد

المؤثر  $v_R$  لتبين تأثير الحث على الترددات .

$$\omega = 377 \text{ rad/sec}$$



القيمة المتوسطة للجهد المؤثر هي  $V_{\max}/\pi$  ، كما في المسألة ١٥-٥ . والدالة الموجية زوجية وعلى ذلك فالمسلسلة تحتوي فقط على حدود جيب تمام بمعاملات يمكن الحصول عليها بحساب التكامل التالى .

$$a_n = \frac{1}{\pi} \int_{-\pi/2}^{\pi/2} 300 \cos \omega t \cos n\omega t d(\omega t) = \frac{600}{\pi(1-n^2)} \cos n\pi/2$$

$\cos n\pi/2$  له قيمة 1 — عندما  $n = 2, 6, 10, \dots$  و  $n + 1$  عندما  $n = 4, 8, 12, \dots$  وعندما تكون  $n$  فردية فإن  $\cos n\pi/2 = 0$  . وعلى هذا فمتى  $n = 1$  يكون التعبير السابق غير محدد ويجب حساب قيمته على حدة .

$$a_1 = \frac{1}{\pi} \int_{-\pi/2}^{\pi/2} 300 \cos^2 \omega t d(\omega t) = \frac{300}{\pi} \left[ \frac{\omega t}{2} + \frac{\sin 2\omega t}{4} \right]_{-\pi/2}^{\pi/2} = \frac{300}{2}$$

وعلى هذا فالمسلسلة الجهد تكون على الشكل

$$v = \frac{300}{\pi} \left\{ 1 + \frac{\pi}{2} \cos \omega t + \frac{2}{3} \cos 2\omega t - \frac{2}{15} \cos 4\omega t + \frac{2}{85} \cos 6\omega t - \dots \right\} \text{ volts}$$

$n$	$n\omega$	$R$	$n\omega L$	$ Z $	$\theta$
0	0	2 k	0	2 k	0°
1	377	2 k	3.77 k	4.26 k	62°
2	754	2 k	7.54 k	7.78 k	75.1°
4	1508	2 k	15.08 k	15.2 k	82.45°
6	2262	2 k	22.62 k	22.6 k	84.92°

المقاومة الكلية للدائرة المتصلة على التوالي هي  $Z = R + jn\omega L$  . وتجب عند كل تردد في معادلة الجهد . ويوضح الجدول المرفق النتائج المحسوبة .

تحتوى متسلسلة التيار على حدود لها معاملات تساوى المعاملات الموجودة في متسلسلة الجهد مقسومة على  $Z$  وحدود التيار المناظرة لاحقة بزاوية مقدارها  $\theta$  .

$$n = 0, I_0 = \frac{300/\pi}{2 \text{ k}} \text{ amperes;}$$

$$n = 1, I_1 = \frac{300/2}{4.26 \text{ k}} \cos(\omega t - 62^\circ) \text{ amperes;}$$

$$n = 2, I_2 = \frac{600/3\pi}{7.78 \text{ k}} \cos(2\omega t - 75.1^\circ) \text{ amperes; etc.}$$

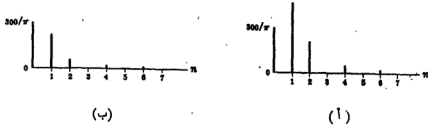
إذن متسلسلة التيار هي

$$i = \frac{300}{2 \text{ k} \pi} + \frac{300}{(2)4.26 \text{ k}} \cos(\omega t - 62^\circ) + \frac{600}{3\pi(7.78 \text{ k})} \cos(2\omega t - 75.1^\circ) \\ - \frac{600}{15\pi(15.2 \text{ k})} \cos(4\omega t - 82.45^\circ) + \frac{600}{35\pi(22.6 \text{ k})} \cos(6\omega t - 84.92^\circ) - \dots \text{ amperes}$$

والجهد عبر المقاومة 2 k هو  $i(2 \text{ k})$  أو

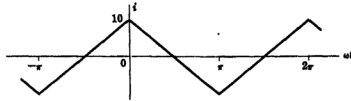
$$v_R = 95.5 + 70.4 \cos(\omega t - 62^\circ) + 16.4 \cos(2\omega t - 75.1^\circ) \\ - 1.67 \cos(4\omega t - 82.45^\circ) + 0.483 \cos(6\omega t - 84.92^\circ) - \dots \text{ volts}$$

ونرى بوضوح من الشكل ١٥-٣٥ كيف أن السعة الترددية لطيف الجهد المؤثر  $v_R$  قد قلت بفعل الحث  $10\text{ H}$  المتصل على التوالي .



شكل ١٥ - ٣٥

١٥-١٥ إذا كان التيار المار في الحث  $L = 0.01\text{ H}$  له شكل موجي معطى في الشكل ١٥-٣٦ فأوجد المتسلسلة ذات النسب المتناظرة للجهد  $v_L$  والجهد عبر الحث  $v_R$   $\omega = 500\text{ rad/sec}$



شكل ١٥ - ٣٦

التيمة المتوسطة للتيار تساوي صفراً والشكل الموجي زوجي . وعلى هذا فإن المتسلسلة تحتوي فقط على حدود جيب تمام . ونجد في الفترة  $-\pi < \omega t < 0$  ، أن  $i = 10 + (20/\pi)\omega t$  وفي الفترة  $0 < \omega t < \pi$  أن  $i = 10 - (20/\pi)\omega t$  .

$$a_n = \frac{1}{\pi} \left\{ \int_{-\pi}^0 [10 + (20/\pi)\omega t] \cos n\omega t d(\omega t) + \int_0^{\pi} [10 - (20/\pi)\omega t] \cos n\omega t d(\omega t) \right\}$$

$$= \frac{40}{\pi^2 n^2} (1 - \cos n\pi) = \frac{80}{\pi^2 n^2}$$

وذلك لقيم  $n$  الفردية فقط .

إذاً متسلسلة التيار هي

$$i = \frac{80}{\pi^2} \left\{ \cos \omega t + \frac{1}{9} \cos 3\omega t + \frac{1}{25} \cos 5\omega t + \frac{1}{49} \cos 7\omega t + \dots \right\}$$

والجهد عبر الحث هو

$$v_L = L \frac{di}{dt} = 0.01 \left( \frac{80}{\pi^2} \right) \frac{d}{dt} (\cos \omega t + \frac{1}{9} \cos 3\omega t + \frac{1}{25} \cos 5\omega t + \dots)$$

$$= \frac{400}{\pi^2} \left\{ -\sin \omega t - \frac{1}{3} \sin 3\omega t - \frac{1}{5} \sin 5\omega t - \frac{1}{7} \sin 7\omega t - \dots \right\} \text{ volts}$$

ويمكن الحصول على الشكل الموجي بالتراكب ، ولكن هذه المتسلسلة تختلف عن مثيلتها في المسألة ١٥ - ١٠ بإشارة سالبة . وعلى هذا فإن  $V_L$  موجة مربعة ، وسالب الشكل الموجي معطى في الشكل ١٥ - ١٥ .

### مسائل إضافية

١٦ - ١٥ ركب الشكل الموجي لمتسلسلة فوريير التالية .

$$f(t) = \frac{8V}{\pi^2} (\sin \omega t - \frac{1}{9} \sin 3\omega t + \frac{1}{25} \sin 5\omega t - \frac{1}{49} \sin 7\omega t + \dots)$$

١٧ - ١٥ ركب الشكل الموجي لمتسلسلة فوريير .

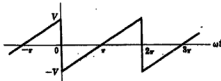
$$f(t) = 5 - \frac{40}{\pi^2} (\cos \omega t + \frac{1}{9} \cos 3\omega t + \frac{1}{25} \cos 5\omega t + \dots) \\ + \frac{20}{\pi} (\sin \omega t - \frac{1}{3} \sin 2\omega t + \frac{1}{5} \sin 3\omega t - \frac{1}{7} \sin 4\omega t + \dots)$$

١٨ - ١٥ ركب الشكل الموجي لمتسلسلة فوريير المعطاة .

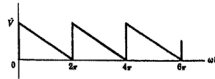
$$f(t) = V \left\{ \frac{1}{2\pi} - \frac{1}{\pi} \cos \omega t - \frac{1}{8\pi} \cos 2\omega t + \frac{1}{2\pi} \cos 3\omega t - \frac{1}{16\pi} \cos 4\omega t - \frac{1}{6\pi} \cos 5\omega t \right. \\ \left. + \dots + \frac{1}{4} \sin \omega t - \frac{2}{3\pi} \sin 2\omega t + \frac{4}{18\pi} \sin 4\omega t - \dots \right\}$$

١٩ - ١٥ أوجد متسلسلة فوريير ذات النصف المتتالية لموجة سن المنشار الموضحة في الشكل ١٥ - ٣٧ وارسم الطيف الخلفي .  
قارن بالمثال ( ١ ) .

$$f(t) = \frac{V}{2} + \frac{V}{\pi} (\sin \omega t + \frac{1}{3} \sin 2\omega t + \frac{1}{5} \sin 3\omega t + \dots)$$



شكل ١٥ - ٣٨



شكل ١٥ - ٣٧

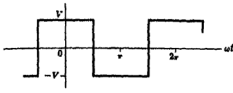
٢٠ - ١٥ أوجد متسلسلة فوريير الثنائية لموجة سن المنشار الموضحة في الشكل ١٥ - ٣٨ وارسم الطيف ، قارن بنتيجة المسألة ١٥ - ٣٠ .

$$f(t) = \frac{-2V}{\pi} (\sin \omega t + \frac{1}{3} \sin 2\omega t + \frac{1}{5} \sin 3\omega t + \frac{1}{7} \sin 4\omega t + \dots)$$

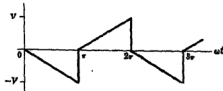
٢٩-١٥ أوجد متسلسلة فوريير ذات النسب المثلثية لشكل الموجي الموضح في الشكل ٣٩-١٥ وارسم الطيف الخطي .

$$f(t) = \frac{4V}{\pi^2} \left\{ \cos \omega t + \frac{1}{9} \cos 3\omega t + \frac{1}{25} \cos 5\omega t + \dots \right\} \quad \text{الجواب :}$$

$$- \frac{2V}{\pi} \left\{ \sin \omega t + \frac{1}{3} \sin 3\omega t + \frac{1}{5} \sin 5\omega t + \dots \right\}$$



شكل ١٥ - ٣٩



شكل ١٥ - ٣٩

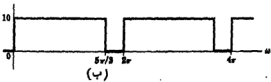
٢٢-١٥ أوجد متسلسلة فوريير المثلثية للموجة المربعة الموضحة في الشكل ٤٠-١٥ وارسم الطيف الخطي . قارن بنتيجة المسألة ١-١٥.

$$f(t) = \frac{4V}{\pi} \left\{ \cos \omega t - \frac{1}{3} \cos 3\omega t + \frac{1}{5} \cos 5\omega t - \frac{1}{7} \cos 7\omega t + \dots \right\} \quad \text{الجواب :}$$

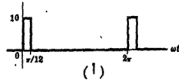
٢٣-١٥ أوجد متسلسلة فوريير ذات النسب المثلثية للشكل الموجي الموضح في الشكل ٤١-١٥ (أ)، (ب). ارسم طيف كل منهما مع المقارنة .

$$f_1(t) = \frac{5}{12} + \sum_{n=1}^{\infty} \left\{ \frac{10}{n\pi} \left( \sin \frac{n\pi}{12} \right) \cos n\omega t + \frac{10}{n\pi} \left( 1 - \cos \frac{n\pi}{12} \right) \sin n\omega t \right\} \quad \text{الجواب :}$$

$$f_2(t) = \frac{50}{6} + \sum_{n=1}^{\infty} \left\{ \frac{10}{n\pi} \left( \sin \frac{n5\pi}{8} \right) \cos n\omega t + \frac{10}{n\pi} \left( 1 - \cos \frac{n5\pi}{8} \right) \sin n\omega t \right\}$$



(ب)

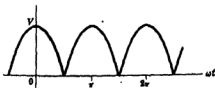


(أ)

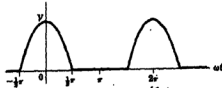
شكل ١٥ - ٤١

٢٤-١٥ أوجد متسلسلة فوريير ذات النسب المثلثية للموجة الجيبية المقومة نصف تقويم والموضحة في الشكل ٤٢-١٥ وارسم الطيف الخطي . قارن الإجابة بنتيجتي المسألتين ١٥-١٥ و ٦-١٥ .

$$f(t) = \frac{V}{\pi} \left\{ 1 + \frac{\pi}{2} \cos \omega t + \frac{2}{3} \cos 2\omega t - \frac{2}{15} \cos 4\omega t + \frac{2}{35} \cos 6\omega t - \dots \right\} \quad \text{الجواب :}$$



شكل ١٥ - ٤٢



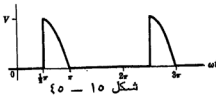
شكل ١٥ - ٤٢

٢٥-١٥ أوجد متسلسلة فوريير ذات النسب المثلثية للموجة المربعة تقوياً كاملاً والموضحة في الشكل ٤٣-١٥ وارسم الطيف .

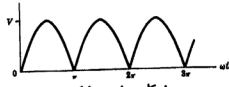
الجواب : 
$$f(t) = \frac{2V}{\pi} \left\{ 1 + \frac{2}{3} \cos 2\omega t - \frac{2}{15} \cos 4\omega t + \frac{2}{35} \cos 6\omega t - \dots \right\}$$

٢٦-١٥ الشكل الموجي الموضح في الشكل ٤٤-١٥ مشابه لما في المسألة ٢٥-١٥ ولكن مع تغيير في موضع نقطة الأصل . أوجد متسلسلة فوريير وقارن بين النتيجةين .

الجواب : 
$$f(t) = \frac{2V}{\pi} (1 - \frac{2}{3} \cos 2\omega t - \frac{2}{15} \cos 4\omega t - \frac{2}{35} \cos 6\omega t - \dots)$$



شكل ١٥ - ٤٣



شكل ١٥ - ٤٤

٢٧-١٥ أوجد متسلسلة فوريير ذات النسب المثلثية للشكل الموجي الموضحة في الشكل ٤٥-١٥ .

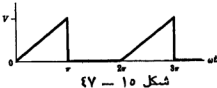
الجواب : 
$$f(t) = \frac{V}{2\pi} - \frac{V}{2\pi} \cos \omega t + \sum_{n=2}^{\infty} \frac{V}{\pi(1-n^2)} (\cos n\pi + n \sin n\pi/2) \cos n\omega t$$
  

$$+ \frac{V}{4} \sin \omega t + \sum_{n=2}^{\infty} \left[ \frac{-nV \cos n\pi/2}{\pi(1-n^2)} \right] \sin n\omega t$$

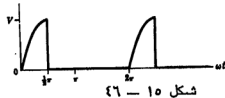
٢٨-١٥ أوجد متسلسلة فوريير المثلثية للشكل الموجي الموضح في الشكل ٤٦-١٥ . أضف هذه المتسلسلة لمتسلسلة المسألة ٢٧-١٥ ثم قارن المجموع بالمتسلسلة التي حصلنا عليها في المسألة ٥-١٥ .

الجواب : 
$$f(t) = \frac{V}{2\pi} + \frac{V}{2\pi} \cos \omega t + \sum_{n=2}^{\infty} \frac{V[n \sin n\pi/2 - 1]}{\pi(n^2 - 1)} \cos n\omega t$$
  

$$+ \frac{V}{4} \sin \omega t + \sum_{n=2}^{\infty} \frac{Vn \cos n\pi/2}{\pi(1 - n^2)} \sin n\omega t$$



شكل ١٥ - ٤٦



شكل ١٥ - ٤٧

٢٩-١٥ أوجد متسلسلة فوريير الأسية للشكل الموجي الموضح في الشكل ٤٧-١٥ . وارسم الطيف الخطي . حول المعاملات التي حصلت عليها هنا إلى معاملات متسلسلة ذات نسب مثلثية ، ثم اكتب المتسلسلة المثلثية وقارنها بنتيجة المسألة ٤-١٥ .

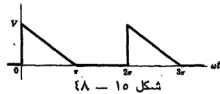
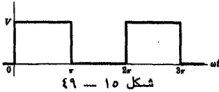
الجواب : 
$$f(t) = V \left\{ \dots - \left( \frac{1}{8\pi^2} - j\frac{1}{8\pi} \right) e^{-j2\omega t} - j\frac{1}{4\pi} e^{-j\omega t} - \left( \frac{1}{\pi^2} - j\frac{1}{2\pi} \right) e^{-j\omega t} + \frac{1}{4} \right.$$
  

$$\left. - \left( \frac{1}{\pi^2} + j\frac{1}{2\pi} \right) e^{j\omega t} + j\frac{1}{4\pi} e^{j2\omega t} - \left( \frac{1}{8\pi^2} + j\frac{1}{8\pi} \right) e^{j2\omega t} - \dots \right\}$$

٣٠-١٥ أوجد متسلسلة فوريير الأسية للشكل الموجي الموضح في الشكل ١٥-٨ وارسم الطيف الخلفي .

الجواب :

$$f(t) = V \left\{ \dots + \left( \frac{1}{8\pi^2} + j\frac{1}{6\pi} \right) e^{-j3\omega t} + j\frac{1}{4\pi} e^{-j2\omega t} + \left( \frac{1}{\pi^2} + j\frac{1}{2\pi} \right) e^{-j\omega t} + \frac{1}{4} \right. \\ \left. + \left( \frac{1}{\pi^2} - j\frac{1}{2\pi} \right) e^{j\omega t} - j\frac{1}{4\pi} e^{j2\omega t} + \left( \frac{1}{8\pi^2} - j\frac{1}{6\pi} \right) e^{j3\omega t} + \dots \right\}$$

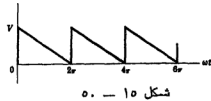
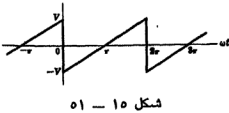


٣١-١٥ أوجد متسلسلة فوريير الأسية للشكل الموجي الموضح في الشكل ١٥-٩ وارسم الطيف الخلفي . أصف متسلسلي المسالتين ٢٩-١٥ ، ٣٠-١٥ إلى بعضهما وقارن المجموع بالمتسلسلة التي حصلت عليها هنا .

$$f(t) = V \left\{ \dots + j\frac{1}{8\pi} e^{-j3\omega t} + j\frac{1}{\pi} e^{-j\omega t} + \frac{1}{2} - j\frac{1}{\pi} e^{j\omega t} - j\frac{1}{8\pi} e^{j3\omega t} - \dots \right\}$$

٣٢-١٥ أوجد متسلسلة فوريير الأسية لشكل من المنشار الموجي والموضح في الشكل ١٥-١٠ وارسم الطيف . حول المعاملات التي حصلت عليها هنا إلى معاملات متسلسلة ذات نسب مثلية ، ثم اكتب المتسلسلة المثلية وقارن النتيجة بالمتسلسلة التي حصلنا عليها في المسألة ١٥-١٩ .

$$f(t) = V \left\{ \dots + j\frac{1}{4\pi} e^{-j2\omega t} + j\frac{1}{2\pi} e^{-j\omega t} + \frac{1}{2} - j\frac{1}{2\pi} e^{j\omega t} - j\frac{1}{4\pi} e^{j2\omega t} - \dots \right\}$$



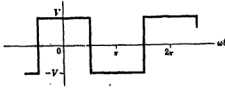
٣٣-١٥ أوجد متسلسلة فوريير الأسية للشكل الموجي الموضح في الشكل ١٥-١١ وارسم الطيف . حول معاملات المتسلسلة المثلية التي حصلت عليها في المسألة ١٥-٢٠ إلى معاملات متسلسلة أسية ثم قارنها بمعاملات المتسلسلة التي حصلت عليها هنا .

$$f(t) = V \left\{ \dots - j\frac{1}{2\pi} e^{-j2\omega t} - j\frac{1}{\pi} e^{-j\omega t} + \frac{1}{\pi} e^{j\omega t} + j\frac{1}{2\pi} e^{j2\omega t} + \dots \right\}$$

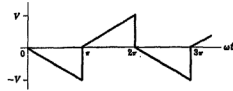
٣٤-١٥ أوجد متسلسلة فوريير الأسية للشكل الموجي الموضح في الشكل ١٥-٥٢. وارسم الطيف. حول المعاملات إلى معاملات متسلسلة مثلثية ثم اكتب المتسلسلة المثلثية وقارنها بتلك التي حصلت عليها في المسألة ١٥-٢١.

الجواب :

$$f(t) = V \left\{ \dots + \left( \frac{2}{9\pi^2} - j\frac{1}{3\pi} \right) e^{-j3\omega t} + \left( \frac{2}{\pi^2} - j\frac{1}{\pi} \right) e^{-j\omega t} \right. \\ \left. + \left( \frac{2}{\pi^2} + j\frac{1}{\pi} \right) e^{j\omega t} + \left( \frac{2}{9\pi^2} + j\frac{1}{3\pi} \right) e^{j3\omega t} + \dots \right\}$$



شكل ١٥ - ٥٣



شكل ١٥ - ٥٢

٣٥-١٥ أوجد متسلسلة فوريير الأسية للموجة المربعة الموضحة في الشكل ١٥-٥٣. ثم ارسم الطيف الخطي. حول معاملات متسلسلة المسألة ١٥-٢٢ المثلثية إلى معاملات متسلسلة أسية وقارن بمعاملات النتيجة التي حصلت عليها هنا.

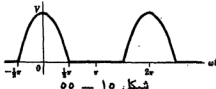
الجواب .

$$f(t) = \frac{2V}{\pi} (\dots + \frac{1}{3} e^{-j3\omega t} - \frac{1}{3} e^{-j\omega t} + e^{-j\omega t} + e^{j\omega t} - \frac{1}{3} e^{j\omega t} + \frac{1}{3} e^{j3\omega t} - \dots)$$

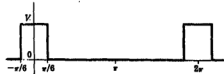
٣٦-١٥ أوجد متسلسلة فوريير الأسية للشكل الموجي الموضح في الشكل ١٥-٥٤ وارسم الطيف الخطي.

الجواب :

$$f(t) = \dots - \frac{V}{2\pi} \sin\left(\frac{-2\pi}{6}\right) e^{-j2\omega t} - \frac{V}{\pi} \sin\left(\frac{-\pi}{6}\right) e^{-j\omega t} + \frac{V}{6} \\ + \frac{V}{\pi} \sin\left(\frac{\pi}{6}\right) e^{j\omega t} + \frac{V}{2\pi} \sin\left(\frac{2\pi}{6}\right) e^{j2\omega t} + \dots$$



شكل ١٥ - ٥٥



شكل ١٥ - ٥٤

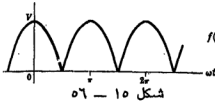
٣٧-١٥ أوجد متسلسلة فوريير الأسية للموجة الجيبية المقومة نصف تقوم والموضحة في الشكل ١٥-٥٥. حول هذه المعاملات إلى معاملات متسلسلة مثلثية ، ثم اكتب المتسلسلة المثلثية وقارنها بنتيجة المسألة ١٥-٢٤.

الجواب :

$$f(t) = \dots - \frac{V}{16\pi} e^{-j4\omega t} + \frac{V}{8\pi} e^{-j2\omega t} + \frac{V}{4} e^{-j\omega t} + \frac{V}{\pi} \\ + \frac{V}{4} e^{j\omega t} + \frac{V}{8\pi} e^{j2\omega t} - \frac{V}{16\pi} e^{j4\omega t} + \dots$$

٣٨-١٥ أوجد متسلسلة فوريير الأسية للموجة الجيبية المقومة

نصف تقويم والموضحة في الشكل ١٥-٥٦ وأرسم الطيف الخطى .



$$f(t) = \dots - \frac{2V}{16\pi} e^{-j4\omega t} + \frac{2V}{8\pi} e^{-j2\omega t} + \frac{2V}{\pi} + \frac{2V}{8\pi} e^{j2\omega t} - \frac{2V}{16\pi} e^{j4\omega t} + \dots$$

٣٩-١٥ أوجد القيمة الفعالة لمجهد والقيمة الفعالة لتيار والقدرة المتوسطة للشبكة الكهربائية الخاملة علما بأن الجهد المؤثر  $v = 200 + 100 \cos(500t - 30^\circ) + 75 \cos(1500t - 60^\circ)$  volts و التيار الناتج هو

$$i = 3.53 \cos(500t + 75^\circ) + 3.35 \cos(1500t + 78.45^\circ) \text{ amperes.}$$

٤٠-١٥ إذا أثرنا بالمجهد  $v = 50 + 25 \sin 500t + 10 \sin 1500t + 5 \sin 2500t$  volts بين طرفى شبكة كهربائية خاملة وكان التيار الناتج هو

$$i = 5 + 2.23 \sin(500t - 26.6^\circ) + 0.566 \sin(1500t - 56.3^\circ) + 0.186 \sin(2500t - 68.2^\circ) \text{ amperes}$$

فأوجد القيمة الفعالة لمجهد والقيمة الفعالة لتيار والقدرة المتوسطة .

$$\text{الجواب : } 53.6 \text{ V, } 5.25 \text{ A, } 276.5 \text{ W}$$

٤١-١٥ دائرة توالى تتكون من ثلاثة عناصر  $R = 5 \Omega$  و  $L = 5 \text{ mH}$  و  $C = 50 \mu\text{F}$  يؤثر عليها مجهد  $v = 150 \sin 1000t + 100 \sin 2000t + 75 \sin 3000t$  volts. أوجد القيمة الفعالة للتيار والقدرة المتوسطة في الدائرة . أرسم الطيف الخطى لكل من الجهد والتيار ثم لاحظ تأثير الرنين على التوالى .

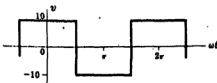
$$\text{الجواب : } 1374 \text{ W, } 16.58 \text{ A}$$

٤٢-١٥ دائرة توالى تتكون من عنصرين  $R = 10 \Omega$  و  $L = 0.02 \text{ H}$  يمر بها تيار  $i = 2 \sin 300t + 3 \sin 100t$  500t amperes. أوجد القيمة الفعالة لمجهد المؤثر والقدرة المتوسطة .

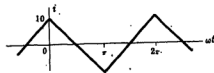
$$\text{الجواب : } 48 \text{ V, } 190 \text{ W}$$

٤٣-١٥ حث نى قيمته  $L = 0.01 \text{ H}$  تمر فيه موجة التيار المثلثية الموضحة في الشكل ١٥-٥٧ حيث  $\omega = 500 \text{ rad/s}$  أوجد متسلسلة فوريير الأسية لتيار ثم أوجد متسلسلة الجهد عبر الحث  $v_L$ . قارن الإجابة بنتيجة المسألة ١٥-٨.

$$\text{الجواب : } v_L = \frac{200}{\pi^2} (\dots - \frac{1}{4} e^{-j4\omega t} - \frac{1}{9} e^{-j2\omega t} + \frac{1}{4} e^{j2\omega t} + \frac{1}{9} e^{j4\omega t} + \dots) \text{ volts}$$



شكل ١٥-٥٨

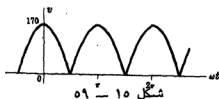


شكل ١٥-٥٧



١٥- ٤٤ حث نق قيمته  $L = 0.01 \text{ H}$  يؤثر عليه جهد شكله الموجي موضح في الشكل ١٥- ٥٨ حيث  $\omega = 200 \text{ rad/sec}$ . أوجد متسلسلة التيار المثلية وحقق الشكل الموجي للتيار .

الجواب :  $i = \frac{20}{\pi} (\sin \omega t - \frac{1}{3} \sin 3\omega t + \frac{1}{5} \sin 5\omega t - \frac{1}{7} \sin 7\omega t + \dots)$  amperes



شكل ١٥ - ٥٩

١٥- ٤٥ يوضح الشكل ١٥- ٥٩ موجة جيبية مقومة نصف تقويم وهي تمثل الجهد الذى يؤثر بين طرفى الدائرة  $LC$ . القيمة المظلى للجهد هي  $170 \text{ V}$  و  $\omega = 377 \text{ rad/sec}$ . استخدم متسلسلة فوريير المثلية لإيجاد الجهد عبر الحث والمكثف. ارسم الطيف الخطي لكل منهما .

١٥- ٤٦ دائرة تتكون من ثلاثة عناصر ؛  $R = 5 \Omega$  متصلة على التوالي مع مجموعة  $L$  و  $C$  متصليان على التوازي .

عند  $\omega = 500 \text{ rad/sec}$  كانتا الممانتين المناظرين هما  $2\Omega / f$  و  $8 \Omega / f$  . أوجد التيار الكلى علماً بأن الجهد

المؤثر يعطى بالمعادلة  $v = 50 \sin 500t + 10 \sin 1000t$  volts

الجواب :  $i = 10 \cdot 3.53 \sin (500t - 28.1^\circ)$  amperes

## الفصل السادس عشر

### الحالات العابرة للتوائر

#### مقدمة :

عندما تتحول دائرة كهربائية من حالة إلى حالة أخرى بواسطة تغيير في الجهد المؤثر أو في أحد عناصر الدائرة ، فإنه توجد فترة تحول تتغير خلالها قيم تيارات الأفرع والمهبط في قيم الجهود من قيمها في الحالة الأولى إلى الحالة الجديدة . وبعد فترة التحول هذه والتي تسمى « فترة عابرة » فإنه يقال إن الدوائر في الحالة المستقرة .

ينتج عن تطبيق قانون كيرشوف للجهد على دائرة تحتوي على عناصر خازنة للطاقة معادلة تفاضلية تحل بإحدى الطرق العديدة الممكنة . وهذا الحل يتكون من جزئين «الدالة المتجهة » و« الحل الخاص » . في معادلات تحليل الدوائر الكهربائية تقول الدالة المتجهة دائماً إلى الصفر سريعاً في فترة زمنية صغيرة نسبية وهي تمثل جزء « الانتقال » في الحل . والحل الخاص هو استجابة الحالة المستقرة والذي كان موضوع دراستنا في الفصول السابقة . وعموماً فإن طرق الحصول على الحل الخاص في هذا الفصل طويلة ومعقدة وغير مباشرة مثل الطرق المستخدمة سابقاً . ومع ذلك ، فن خلال تطبيق هذه الطرق فإننا نحصل على المدى الفيزيائي لاستجابة الحالة المستقرة كجزء من الاستجابة الكلية .

### الحالات العابرة للتيار المستمر

#### دائرة $RL$ في حالة عابرة :

يلتزم على دائرة  $RL$  المتصلة على التوالي والموضحة في الشكل ١٦-١ ، جهد ثابت  $V$  وذلك عند غلق المفتاح . وينتج عن تطبيق قانون كيرشوف للجهد المعادلة التفاضلية التالية

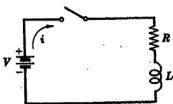
$$(1) \quad Ri + L \frac{di}{dt} = V$$

وبإعادة ترتيب الحدود واستخدام الترميز بالمؤثرات حيث  $D = d/dt$  فإن

$$(2) \quad \left(D + \frac{R}{L}\right)i = \frac{V}{L}$$

المعادلة (٢) هي معادلة تفاضلية خطية من الرتبة الأولى على الشكل

$$(3) \quad \frac{dy}{dx} + ay = R \quad \text{or} \quad (D-a)y = R$$



شكل ١٦ - ١

حيث  $D = d/dx$  و  $a$  ثابت و  $R$  ربما تكون دالة في  $x$  ولكن ليست دالة في  $t$  . ويتكون الحل الكامل للمعادلة (٢) من الدالة المتتممة والحل الخاص ، أى أن

$$y = y_c + y_p = ce^{ax} + e^{ax} \int e^{-ax} R dx \quad (٤)$$

حيث  $c$  ثابت اختياري يمين بمعرفة الشروط الابتدائية . باستخدام (٤) يكون حل المعادلة (٢) هو

$$i = ce^{-(R/L)t} + e^{-(R/L)t} \int e^{(R/L)t} \left( \frac{V}{L} \right) dt = ce^{-(R/L)t} + \frac{V}{R} \quad (٥)$$

لتعيين  $c$  ، نضع  $t = 0$  في المعادلة (٥) ونموض بالتيار الابتدائي  $i_0$  بدلا من  $i$  . هذا التيار الابتدائي هو التيار المار

مباشرة بعد غلق المفتاح . ويوجد لحد علاقات بين الجهد والتيار هما  $v = L \frac{di}{dt}$  و  $i = \frac{1}{L} \int v dt$

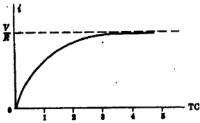
والعلاقة الثانية تؤكد لنا أنه طالما يوجد جهد مؤثر فإن التيار المار في الحث يجب أن يكون دالة متصلة . وحيث أن التيار يساوى صفراً عندما  $t = 0$  فإنه يجب أيضاً أن يساوى صفراً عندما  $t = 0 +$  . وبالتعميوض في المعادلة (٥) نحصل عل

$$c = -V/R \quad \text{أو} \quad i_0 = 0 = c(1) + V/R \quad (٦)$$

وبالتعميوض عن قيمة  $c$  هذه في المعادلة (٥) ينتج أن

$$i = -\frac{V}{R} e^{-(R/L)t} + \frac{V}{R} = \frac{V}{R} (1 - e^{-(R/L)t}) \quad (٧)$$

يعرف هذا النوع من المعادلات بالارتفاع الأسى كما هو موضح في الشكل ١٦-٢ . يوضح الرسم الفترة العابرة التي يتغير خلالها التيار من قيمته الابتدائية المساوية للصفر إلى قيمته النهائية في الحالة المستقرة  $V/R$



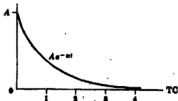
شكل ١٦ - ٢

ثابت الزمن  $TC$  لدالة مثل التي في المعادلة (٧) هو الزمن الذى يكون عنده أس  $e$  مساوياً للوحدة . وعمل هذا فإن ثابت الزمن لدائرة  $RL$  حالة عابرة هو  $TC = L/R$  seconds . عند  $1 TC$  فإن السكية التي بين القوسين في المعادلة (٧) تأخذ القيمة  $0.632 = (1 - 0.368) = (1 - e^{-1})$  عند هذا الزمن يكون التيار مساوياً  $63.2\%$  من قيمته النهائية . وبالمثل عند  $2 TC$  فإن  $0.865 = (1 - 0.135) = (1 - e^{-2})$  ويكون التيار مساوياً  $86.5\%$  من قيمته النهائية . وبعد  $5 TC$  ينتهى تيار الفترة العابرة عموماً إلى الحالة النهائية ، وبسهولة نأخذ ثابت الزمن كوحدة في رسم معادلة التيار (٧) .

كثال آخر نأخذ الاضمحلال الأسى الموضح في الشكل ١٦-٣ والممثل بالمعادلة

$$f(t) = Ae^{-at} \quad (٨)$$

وثابت الزمن هو أيضاً الزمن الذى يكون عنده أس  $e$  مساوياً



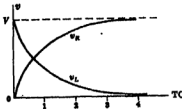
شكل ١٦ - ٣

الوحدة ، أى أن  $TC = 1/a$  . عند  $1 TC$  فإن  $e^{-1} = 0.368$  وتضمحل الدالة إلى  $36.8\%$  من قيمتها الابتدائية  $A$  . وعند  $2 TC$  فإن  $e^{-2} = 0.135$  والدالة تساوى  $13.5\%$  من  $A$  . وعند  $5 TC$  تعتبر الحالة العابرة حالة نهائية .  
نحصل على فروق الجهد العابرة على عنصرى دائرة  $RL$  من معادلة التيار . وعلى ذلك فالجهد عبر المقاومة هو :

$$(٩) \quad v_R = Ri = V(1 - e^{-(R/L)t})$$

والجهد عبر الحث هو

$$(١٠) \quad v_L = L \frac{di}{dt} = L \frac{d}{dt} \left\{ \frac{V}{R} (1 - e^{-(R/L)t}) \right\} = V e^{-(R/L)t}$$



إن الجهد العابر على المقاومة له ارتفاع أسى بنفس ثابت الزمن .  
التيار يبدأ بالجهد عبر الحث يمانى اضمحلالاً أسياً ولكن بنفس ثابت الزمن .  
ويجموع  $v_R$  و  $v_L$  يحقق قانون كيرشوف أثناء فترة العبور . انظر الشكل ١٦ - ٤

شكل ١٦ - ٤

$$(١١) \quad v_R + v_L = V(1 - e^{-(R/L)t}) + V e^{-(R/L)t} = V$$

تعطى القدرة اللحظية في أى عنصر في الدائرة بمحاصل ضرب الجهد في التيار وعلى هذا فإن القدرة في المقاومة هي

$$(١٢) \quad p_R = v_R i = V(1 - e^{-(R/L)t}) \frac{V}{R} (1 - e^{-(R/L)t}) = \frac{V^2}{R} (1 - 2e^{-(R/L)t} + e^{-2(R/L)t})$$

والقدرة في الحث هي

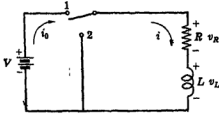
$$(١٣) \quad p_L = v_L i = V e^{-(R/L)t} \frac{V}{R} (1 - e^{-(R/L)t}) = \frac{V^2}{R} (e^{-(R/L)t} - e^{-2(R/L)t})$$

إذن القدرة الكلية هي

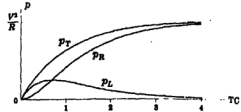
$$(١٤) \quad p_T = p_R + p_L = \frac{V^2}{R} (1 - e^{-(R/L)t})$$

يوضح الشكل ١٦ - ٥ دوال القدرة الثلاث حيث تأخذ  $p_T$  و  $p_R$  في الحالة المستقرة القيمة  $V^2/R$  أو  $I^2 R$  ، حيث  $I$  هو تيار الحالة المستقرة . وتأخذ القدرة في الحث في فترة العبور أو الانتقال قيمة ابتدائية وقيمة نهائية مساويتين للصفر . وهذه القدرة هي الدالة على اختزان الطاقة في المجال المغناطيسى الملف . ولتوضيح ذلك فإننا نكامل  $p_L$  من 0 إلى  $\infty$  .

$$(١٥) \quad W = \int_0^{\infty} \frac{V^2}{R} (e^{-(R/L)t} - e^{-2(R/L)t}) dt = \frac{V^2}{R} \left[ -\frac{L}{R} e^{-(R/L)t} + \frac{L}{2R} e^{-2(R/L)t} \right]_0^{\infty} \\ = \frac{1}{2} \frac{V^2}{R} \left( \frac{L}{R} \right) = \frac{1}{2} L I^2 \text{ joules}$$



شكل ١٦ - ٦



شكل ١٦ - ٥

تحتوى دائرة  $RL$  الموضحة في الشكل ١٦ - ٦ على تيار ابتدائي  $i_0 = V/R$  . عند  $t = 0$  يكون المفتاح في الموضع 2 وبذلك تفصل المصدر وفي نفس الوقت تعمل دائرة مغلقة على فرع  $R$  و  $L$  المتصلين على التوالي . وبطبيق قانون كيرشوف للجهد على الدائرة الخالية من المصدر تنتج المعادلة

$$(16) \quad \left(D + \frac{R}{L}\right)i = 0 \quad \text{أو} \quad L \frac{di}{dt} + Ri = 0$$

وحلها هو

$$(17) \quad i = ce^{-(R/L)t}$$

عند  $t = 0$  يكون التيار الابتدائي هو  $i_0 = V/R$  . وبالتعويض في المعادلة (١٧) عن  $c = V/R$  فإن معادلة التيار تصبح

$$(18) \quad i = \frac{V}{R} e^{-(R/L)t}$$

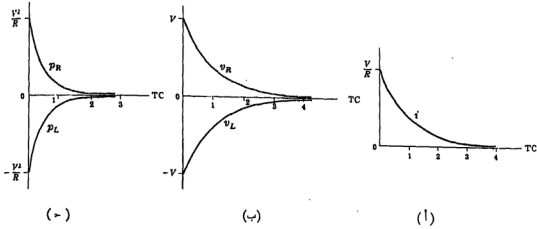
يوضح الشكل ١٦ - ٧ (أ) هذا الاضمحلال الأسي . والجهدان المتناظران عبر المقاومة والحث هما

$$(19) \quad v_L = L \frac{di}{dt} = -V e^{-(R/L)t} \quad \text{و} \quad v_R = Ri = V e^{-(R/L)t}$$

كما هو موضح في الشكل ١٦ - ٧ (ب) ، ويحقق المجموع  $v_R + v_L$  قانون كيرشوف حيث يكون الجهد المؤثر مساوياً

الصفر عندما يكون المفتاح في الموضع 2 . يوضح الشكل ١٦ - ٧ (ج) القدرتين البطيئتين .

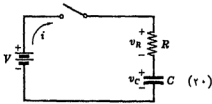
و  $p_L = -\frac{V^2}{R} e^{-2(R/L)t}$  إذا كانتنا  $p_L$  من 0 إلى  $\infty$  فإننا نجد أن الطاقة المنطلقة مساوية تماماً لطاقة التي اختزنت في المجال المغناطيسي خلال فترة العبور أو الانتقال السابقة هي  $\frac{1}{2} L I^2$  . وتنتقل هذه الطاقة خلال اضمحلال فترة الانتقال إلى المقاومة .



شكل ١٦ - ٧

### دائرة RC في الحالة العابرة :

بتطبيق قانون كيرشوف للجهد على دائرة RC المتصلة على التوالي والموضحة في الشكل ٨ - ١٦ نكتب المعادلة التفاضلية التالية



شكل ١٦ - ٨

$$\frac{1}{C} \int i dt + Ri = V$$

وبعد إجراء التفاضل ينتج

$$(21) \quad \left(D + \frac{1}{RC}\right)i = 0 \quad \text{أو} \quad \frac{di}{dt} + R \frac{di}{dt} = 0$$

ويتكون حل المعادلة المتجانسة هذه من الدالة المتسمة فقط وذلك لأن الحل الخاص يساوى صفراً . أي أن

$$(22) \quad i = ce^{-t/RC}$$

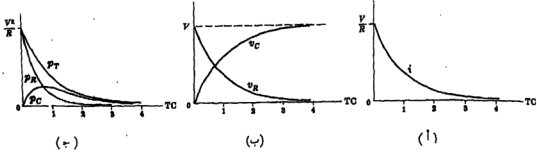
لتعيين الثابت C نلاحظ أنه عندما  $t = 0$  فإن المعادلة (٢٠) تصبح  $Ri_0 = V$  أو  $i_0 = V/R$  . ولأن بالتمويض عن قيمة  $i_0$  في المعادلة (٢٢) نحصل على  $c = V/R$  وذلك عندما  $t = 0$  . إذن

$$(23) \quad i = \frac{V}{R} e^{-t/RC}$$

المعادلة (٢٣) هي على شكل اضمحلال أسي كما هو موضح في الشكل ١٦ - (أ) .

يوضح الشكل ١٦ - (ب) جهتي العبور أو الانتقال المناظرين

$$(24) \quad v_c = \frac{1}{C} \int i dt = V(1 - e^{-t/RC}) \quad \text{و} \quad v_R = Ri = Ve^{-t/RC}$$



شكل ١٦ - ٩

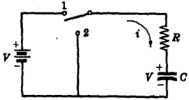
ويوضح الشكل ١٦-٩ (ج) القدرتين المثلثيتين .

$$(٢٥) \quad p_C = v_C i = \frac{V^2}{R} (e^{-t/RC} - e^{-2t/RC}) \quad , \quad p_R = v_R i = \frac{V^2}{R} e^{-2t/RC}$$

وتعتبر القدرة  $p_C$  في فترة العبور بقيمتها الابتدائية والنهائية المساوية للصفر عن الطاقة المخزونة في المجال الكهربائي المكثف وذلك بجهد ثابت عبر طرفيه . ويتحقق هذا من تكامل  $p_R$  من 0 إلى  $\infty$

$$(٢٦) \quad \mathcal{E} = \int_0^{\infty} \frac{V^2}{R} (e^{-t/RC} - e^{-2t/RC}) dt = \frac{1}{2} CV^2$$

عندما يكون المفتاح في الموضع 1 في دائرة RC على التوالي الموضحة في الشكل ١٦-١٠ . تكون لدينا الحالة المستقرة ، وعندما  $t = 0$  يتحرك موضع المفتاح إلى 2 . وعند هذا الموضع للمفتاح تكون معادلة الدائرة هي .



شكل ١٦ - ١٠

$$(٢٧) \quad \left(D + \frac{1}{RC}\right)i = 0 \quad , \quad \frac{1}{C} \int i dt + Ri = 0$$

والحل هو

$$(٢٨) \quad i = ce^{-t/RC}$$

لتعيين الثابت  $c$  نضع  $t = 0$  في المعادلة (٢٨) ونعوض بقيمة التيار الابتدائية  $i_0$  . وحيث أن المكثف يشحن إلى جهد  $V$  بالقطبية الموضحة في الرسم ، فإن التيار الابتدائي يكون مساوياً للتيار  $i$  ، أي أن  $i_0 = -V/R$  . إذن  $c = -V/R$  ومعادلة التيار هي

$$(٢٩) \quad i = -\frac{V}{R} e^{-t/RC}$$

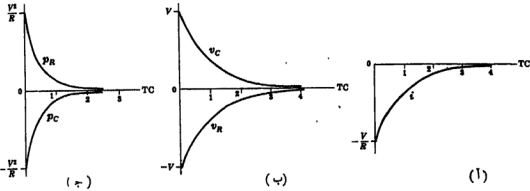
ويوضح الشكل ١٦-١١ (أ) اضمحلال فترة العبور . وجهنا العبور لمنحصرى الدائرة المناظرين هما

$$(٢٠) \quad v_C = \frac{1}{C} \int i dt = V e^{-t/RC} \quad \text{و} \quad v_R = Ri = -V e^{-t/RC}$$

كما هو موضح في الشكل ١١-١٦ (ب) . لاحظ أن  $v_R + v_C = 0$  يتحقق قانون كيرشوف وذلك لعدم وجود جهد مؤثر عندما يكون المفتاح في الموضع 2 . وقد رآنا العبور هما .

$$(٢١) \quad p_C = v_C i = -\frac{V^2}{R} e^{-2t/RC} \quad \text{و} \quad p_R = v_R i = \frac{V^2}{R} e^{-2t/RC}$$

كما هو موضح في الشكل ١١-١٦ (ج) . لا يوجد مصدر للدالة على  $p_R$  لكنه من الواضح أن الطاقة المخزونة في المكثف تنتقل إلى المقاومة أثناء فترة العبور . ويترك القارئ إثبات أن تكامل  $p_C$  بالحد من 0 إلى  $\infty$  يساوي  $\frac{1}{2} CV^2$  .



شكل ١٦ - ١١

### الشحنة في حالة عابرة للدائرة RC

يكون من المناسب في بعض الأحيان معرفة المعادلة الدالة على الشحنة  $q$  في دائرة RC على التوالي في حالة عابرة . ذلك لأن العلاقة بين التيار والشحنة هي  $i = dq/dt$  ونحصل على التيار إذن عند الحاجة إليه بواسطة التفاضل .

في الشكل ١٢-١٦ يضمن المكثف بالقطبية الموضحة ؛ حيث أن اتجاه  $q$  هو نفسه اتجاه  $i$  الموضح في الشكل ١٦-٨ . ونكتب معادلة التيار الأساسية .

$$(٢٢) \quad \frac{1}{C} \int i dt + Ri = V$$

بإستخدام الشحنة الأساسية والتمريض عن  $dq/dt$  بالتيار  $i$  .

شكل ١٦ - ١٢

إذن

$$(٢٣) \quad \left(D + \frac{1}{RC}\right)q = \frac{V}{R} \quad \text{أو} \quad \frac{q}{C} + R \frac{dq}{dt} = V$$



باستخدام الطريقة المستخمة في الحصول على المعادلة (٥) يكون الحل هو

$$q = ce^{-t/RC} + CV \quad (٣٤)$$

عند  $t = 0$  تكون الشحنة الأساسية على المكثف هي  $q_0 = 0$

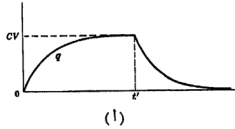
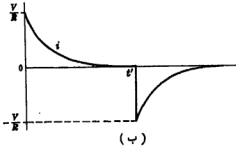
$$c = -CV \text{ أو } q_0 = 0 = c(1) + CV \quad (٣٥)$$

وبالتعويض عن قيمة  $c$  هذه في المعادلة (٣٤) نحصل على

$$q = CV(1 - e^{-t/RC}) \quad (٣٦)$$

والشحنة العابرة ذات ارتفاع أقصى وقيمها النهائية هي  $CV$ . وعلى ذلك فإنه بتحليل دائرة اضمحلال كالموضحة في الشكل ١٦-١٠ على أساس الشحنة فإنه ينتج لدينا شحنة اضمحلال من القيمة  $CV$  حسب المعادلة .

$$q = CVe^{-t/RC}$$

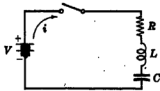


شكل ١٦ - ١٣

يوضح الشكل ١٦-١٣ (أ) دالة الشحنة في حالة الارتفاع والاضمحلال ، كما يوضح الشكل ١٦-١٣ (ب) دالة التيار المناظرين . وحيث أن الشحنة يجب أن تكون دالة متصلة فإن  $q = CV$  عندما  $t' (-)$  و  $t' (+)$  بينما  $t = 0$  عند  $t' (-)$  ويساوي  $V/R$  عند  $t' (+)$  .

### دائرة RLC في الحالة العابرة :

ينتج عن تطبيق قانون كيرشوف جهد على دائرة RLC على التوالي والموضحة في الشكل ١٦-١٤ المعادلة التفاضلية التالية .



$$Ri + L \frac{di}{dt} + \frac{1}{C} \int i dt = V \quad (٣٨)$$

وبالتفاضل نحصل على .

شكل ١٦ - ١٤

$$(٣٩) \quad \left(D^2 + \frac{R}{L}D + \frac{1}{LC}\right)i = 0 \quad \text{أو} \quad L \frac{d^2i}{dt^2} + R \frac{di}{dt} + \frac{i}{C} = 0$$

وهذه المعادلة التفاضلية الخطية والتي من الرتبة الأولى هي من النوع المتجانس وحلها الخاص يساوى صفرا . يمكن أن تأخذ المعادلة المتصلة ثلاث صور مختلفة تعتمد على القيم النسبية لكل من  $R$  و  $L$  و  $C$  . إن معاملات المعادلة المميزة

$$D^2 + (R/L)D + 1/LC = 0$$

ثابتة وجنرا المعادلة هما .

$$(٤٠) \quad D_2 = \frac{-R/L - \sqrt{(R/L)^2 - 4/LC}}{2}, \quad D_1 = \frac{-R/L + \sqrt{(R/L)^2 - 4/LC}}{2}$$

$$\text{نضع } \beta = \sqrt{(R/2L)^2 - 1/LC}, \quad \alpha = -R/2L$$

$$(٤١) \quad D_2 = \alpha - \beta, \quad D_1 = \alpha + \beta$$

والمقدار الموجود تحت الجذر  $\beta$  يمكن أن يكون موجبا أو صفرا أو سالبا ولذلك فإن الحل يكون أما زائده المضادة أو حرج المضادة أو ناقص المضادة (متطلب).

**الحالة ١ :**  $(R/2L)^2 > 1/LC$  : الجذران  $D_1$  و  $D_2$  حقيقيان وغير متساويان وينتج عنهما حالة زيادة المضادة . إذن المعادلة (٣٩) يمكن أن تكتب في صيغة حاصل ضرب .

$$(٤٢) \quad [D - (\alpha + \beta)][D - (\alpha - \beta)]i = 0$$

والتيار هو

$$(٤٣) \quad i = e^{\alpha t}(c_1 e^{\beta t} + c_2 e^{-\beta t}) \quad \text{أو} \quad i = c_1 e^{(\alpha + \beta)t} + c_2 e^{(\alpha - \beta)t}$$

**الحالة ٢ :**  $(R/2L)^2 = 1/LC$  : الجذران  $D_1$  و  $D_2$  متساويان والحل هو حالة التضاؤل الحرج وتكتب المعادلة (٣٩) في صيغة حاصل ضرب .

$$(٤٤)$$

$$(D - \alpha)(D - \alpha)i = 0$$

والحل هو

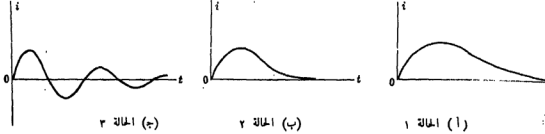
$$(٤٥) \quad i = e^{\alpha t}(c_1 + c_2 t)$$

**الحالة ٣ :**  $(R/2L)^2 < 1/LC$  : الجذران  $D_1$  و  $D_2$  مترافقان مركبان والحل هو حالة التضاؤل الناقص أو المتطلب وتعريف  $\beta = \sqrt{1/LC - (R/2L)^2}$  مع ترك  $\alpha$  بتمريفها السابق فإن المعادلة باستخدام المؤثرات تكتب على صيغة حاصل ضرب .

$$(٤٦) \quad [D - (\alpha + j\beta)][D - (\alpha - j\beta)]i = 0$$

$$(٤٧) \quad i = e^{\alpha t}(c_1 \cos \beta t + c_2 \sin \beta t) \quad \text{والحل هو}$$

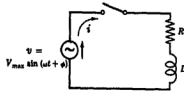
يحتوى التيار في كل الحالات على العامل  $e^{-\alpha t}$  وحيث أن  $\alpha = R/2L$  فإن قيمة التيار النهائية تساوى صفراً ، وهذا يؤكد أن الدالة المتخمة تنفسحل في وقت قصير نسبياً . في الشكل ١٦-١٥ رسمت الحالات الثلاث عندما كانت القيمة الابتدائية مساوية للصفر والبل الأساسى موجبا .



شكل ١٦ - ١٥

### التيارات المترددة العابرة

#### التيارات الجيبية العابرة في دائرة $RL$



شكل ١٦ - ١٦

يؤثر على دائرة  $RL$  الموصفة في الشكل ١٦-١٦ عند غلق المفتاح جهد جيبى . يمكن لدالة الجهد أن تؤثر عند أية نقطة في الفترة من لحظة غلق المفتاح ، وعلى هذا فإن زاوية الطور  $\phi$  تأخذ القيم من  $0 \rightarrow 2\pi$  rad/sec ويتلخ من تطبيق قانون كيروشوف للجهد المعادلة التالية

$$(48) \quad \left(D + \frac{R}{L}\right)i = \frac{V_{\max}}{L} \sin(\omega t + \phi) \quad \text{أو} \quad Ri + L \frac{di}{dt} = V_{\max} \sin(\omega t + \phi)$$

والدالة المتخمة هي  $i_c = ce^{-(R/L)t}$  والحل الخاص هو

$$i_p = e^{-(R/L)t} \int e^{(R/L)t} \frac{V_{\max}}{L} \sin(\omega t + \phi) dt = \frac{V_{\max}}{\sqrt{R^2 + \omega^2 L^2}} \sin(\omega t + \phi - \tan^{-1} \omega L/R)$$

(49)

$$i = i_c + i_p = ce^{-(R/L)t} + \frac{V_{\max}}{\sqrt{R^2 + \omega^2 L^2}} \sin(\omega t + \phi - \tan^{-1} \omega L/R) \quad \text{والحل التام هو}$$

وبمنح الحدث أى تغيير فجائى في التيار وحيث أنه قبل غلق المفتاح كان التيار مساوياً للصفر أى أن  $i_0 = 0$  . إذن عند

$$c = \frac{-V_{\max}}{\sqrt{R^2 + \omega^2 L^2}} \sin(\phi - \tan^{-1} \omega L/R) \quad \text{و} \quad i_0 = 0 = c(1) + \frac{V_{\max}}{\sqrt{R^2 + \omega^2 L^2}} \sin(\phi - \tan^{-1} \omega L/R)$$

(50)

وبالتعويض في (49) فإن التيار يكون

$$i = e^{-(R/L)t} \left[ \frac{-V_{\max}}{\sqrt{R^2 + \omega^2 L^2}} \sin(\phi - \tan^{-1} \omega L/R) \right] + \frac{V_{\max}}{\sqrt{R^2 + \omega^2 L^2}} \sin(\omega t + \phi - \tan^{-1} \omega L/R)$$

يحتوي الجزء الأول من المعادلة (٥٠) على العامل  $e^{-(R/L)t}$  الذى تساوى قيمته الصفر فى فترة زمنية قصيرة نسبيا . والتعبير الموجود بين القوسين هو ببساطة ثابت معقد إلى حد ما . وتعتمد قيمة هذا الثابت على الزمن فى دورة  $\phi$  الذى ينفق عنده المفتاح . وإذا كان  $\phi - \tan^{-1} \omega L/R = n\pi$  حيث  $n = 0, 1, 2, 3, \dots$  فإن التيار يساوى صفرا ويذهب التيار مباشرة إلى الحالة المستقرة . وإذا كان  $\phi - \tan^{-1} \omega L/R = (1 + 2n)\pi/2$  فإن تيار العبور يكون عند قيمته العظمى الممكنة .

الجزء الثانى من المعادلة (٥٠) هو التيار فى الحالة المستقرة وهو لاحق للجهود المؤثر بالزاوية  $\tan^{-1} \omega L/R$  وهذا الحل الخاص الذى حصلنا عليه عن طريق التكامل يمكن الحصول عليه بطريقة المعاملات غير المحددة .

والطريقة صالحة عندما تكون الدالة المؤثرة دالة جيبية أو جيب تمامية أو أسية ، وذلك لأن التفاضل المتكرر لهذه الدوال ينتج عنه نفس مجموعة الدوال . ولتطبيق هذه الطريقة على المعادلة (٤٨) حيث الطرف الأيمن يساوى  $V_{\max} \sin(\omega t + \phi)$  فإننا نقرض تيارا خاصا .

$$(٥١) \quad i_p = A \cos(\omega t + \phi) + B \sin(\omega t + \phi)$$

حيث  $A$  و  $B$  ثابتان . إذن المشتقة الأولى هى

$$(٥٢) \quad i_p' = -A\omega \sin(\omega t + \phi) + B\omega \cos(\omega t + \phi)$$

وبالتعويض عن  $i_p$  و  $i_p'$  فى المعادلة (٤٨) نحصل على

$$(٥٣) \quad \begin{aligned} & (-A\omega \sin(\omega t + \phi) + B\omega \cos(\omega t + \phi)) \\ & + \frac{R}{L} \{A \cos(\omega t + \phi) + B \sin(\omega t + \phi)\} = \frac{V_{\max}}{L} \sin(\omega t + \phi) \end{aligned}$$

وبتجميع معاملات الحدود المتشابهة ينتج .

$$(٥٤) \quad (-A\omega + BR/L) \sin(\omega t + \phi) + (B\omega + AR/L) \cos(\omega t + \phi) = \frac{V_{\max}}{L} \sin(\omega t + \phi)$$

والآن بمساواة معاملات الحدود المتشابهة ينتج معادلتين فى  $A$  و  $B$  .

$$(٥٥) \quad B\omega + AR/L = 0 \quad , \quad -A\omega + BR/L = V_{\max}/L$$

ومنهما نجد أن

$$(٥٦) \quad B = \frac{RV_{\max}}{R^2 + \omega^2 L^2} \quad , \quad A = \frac{-\omega LV_{\max}}{R^2 + \omega^2 L^2}$$

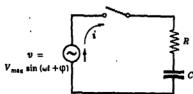
وبالتعويض عن قيمتى  $A$  و  $B$  فى المعادلة (٥١) يكون التيار الخاص هو

$$(٥٧) \quad i_p = \frac{-\omega LV_{\max}}{R^2 + \omega^2 L^2} \cos(\omega t + \phi) + \frac{RV_{\max}}{R^2 + \omega^2 L^2} \sin(\omega t + \phi)$$

$$(٥٨) \quad i_p = \frac{V_{\max}}{\sqrt{R^2 + \omega^2 L^2}} \sin(\omega t + \phi - \tan^{-1} \omega L/R) \quad , \quad \text{أو}$$

وهو نفس الحل الخاص الذى حصلنا عليه بالتكامل .

## التيارات العابرة الحبيبية في دائرة RC



شكل ١٦ - ١٧

يؤثر جهد حبيبي على الدائرة RC الموضحة في الشكل ١٦-١٧ وذلك عند غلق المفتاح . وينتج من تطبيق قانون كيرشوف للجهد على الدائرة المعادلة التالية .

$$(٥٩) \quad Ri + \frac{1}{C} \int i dt = V_{\max} \sin(\omega t + \phi)$$

وبالتفاضل واستخدام الترميز بالمؤثرات نحصل على

$$(٦٠) \quad \left(D + \frac{1}{RC}\right)i = \frac{\omega V_{\max}}{R} \cos(\omega t + \phi)$$

والدالة المتخمة هي

$$(٦١) \quad i_c = ce^{-t/RC}$$

والحل الخاص الذي نحصل عليه عن طريق التكامل أو طريق المعاملات غير المحددة هو

$$(٦٢) \quad i_p = \frac{V_{\max}}{\sqrt{R^2 + (1/\omega C)^2}} \sin(\omega t + \phi + \tan^{-1} 1/\omega CR)$$

إذن الحل التام هو

$$(٦٣) \quad i = ce^{-t/RC} + \frac{V_{\max}}{\sqrt{R^2 + (1/\omega C)^2}} \sin(\omega t + \phi + \tan^{-1} 1/\omega CR)$$

لتعيين الثابت c نضع  $t = 0$  في المعادلة (٥٩) ، فيكون التيار الابتدائي هو  $i_0 = \frac{V_{\max}}{R} \sin \phi$  وبالتدوين بهذه القيمة في المعادلة (٦٣) مع وضع  $t = 0$  نحصل على

$$(٦٤) \quad \frac{V_{\max}}{R} \sin \phi = c(1) + \frac{V_{\max}}{\sqrt{R^2 + (1/\omega C)^2}} \sin(\phi + \tan^{-1} 1/\omega CR)$$

$$(٦٥) \quad c = \frac{V_{\max}}{R} \sin \phi - \frac{V_{\max}}{\sqrt{R^2 + (1/\omega C)^2}} \sin(\phi + \tan^{-1} 1/\omega CR) \quad \text{أو}$$

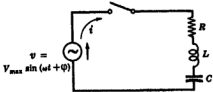
بالتدوين عن c من (٦٥) و (٦٣) ينتج التيار التام

$$(٦٦) \quad i = e^{-t/RC} \left[ \frac{V_{\max}}{R} \sin \phi - \frac{V_{\max}}{\sqrt{R^2 + (1/\omega C)^2}} \sin(\phi + \tan^{-1} 1/\omega CR) \right] + \frac{V_{\max}}{\sqrt{R^2 + (1/\omega C)^2}} \sin(\omega t + \phi + \tan^{-1} 1/\omega CR)$$

والحد الأول هو تيار العبور المسموح به معامل  $e^{-t/RC}$  . والقيمة الداخلية والتي بين قوسين هي كمية ثابتة . والحد الثاني هو تيار الحالة المستقرة وهو سابق للجهد المؤثر بزواوية  $\tan^{-1} 1/\omega CR$  .

### التيارات العابرة الجيبية في دائرة RLC

يؤثر على دائرة التوالي RLC الموضحة في الشكل ١٦ - ١٨ جهد جبري وذلك عند غلق المفتاح . والمعادلة الناتجة هي



شكل ١٦ - ١٨

$$Ri + L \frac{di}{dt} + \frac{1}{C} \int i dt = V_{\max} \sin(\omega t + \phi) \quad (٦٧)$$

وبالتفاضل واستخدام الترميز بالمؤثرات نحصل على

$$(٦٨) \quad \left( D^2 + \frac{R}{L}D + \frac{1}{LC} \right) i = \frac{\omega V_{\max}}{L} \cos(\omega t + \phi)$$

نحصل على الحل الخاص بطريقة المعاملات غير المحددة كما يلي . نفرض أولاً  $i_p = A \cos(\omega t + \phi) + B \sin(\omega t + \phi)$  ثم نحسب  $i_p'$  ثم نموض عن  $i_p'$  في المعادلة (٦٧) . ونحصل على قيم  $A$  و  $B$  . بمساواة معاملات الحدود المشابهة كما فعلنا سابقاً في حالة تيار الانتقال (أو العبور) الجبري لدائرة RL . وبالتعبير عن النتيجة بدالة جيبية واحدة يكون الحل الخاص هو

$$(٦٩) \quad i_p = \frac{V_{\max}}{\sqrt{R^2 + (1/\omega C - \omega L)^2}} \sin\left(\omega t + \phi + \tan^{-1} \frac{(1/\omega C - \omega L)}{R}\right)$$

والدالة المتضمنة مطابقة لما في حالة دائرة التوالي RLC بتيار مستمر مستقر السابق دراسته ، حيث كانت النتيجة تضاولاً زائداً أو تضاولاً حرجياً أو تضاولاً متناهيلاً حسب قيم  $R$  و  $L$  و  $C$  .

**الحالة ١ :**  $(R/2L)^2 = 1/LC$  الجذران حقيقيان وغير متساويين وتنتج بذلك حالة تضاؤل زائدة .

$$\beta = \sqrt{(R/2L)^2 - 1/LC} \quad \text{حيث} \quad \alpha = -R/2L \quad D_1 = \alpha + \beta \quad \text{و} \quad D_2 = \alpha - \beta$$

والحل التام هو

$$(٧٠) \quad i = e^{\alpha t}(c_1 e^{\beta t} + c_2 e^{-\beta t}) + \frac{V_{\max}}{\sqrt{R^2 + (1/\omega C - \omega L)^2}} \sin\left(\omega t + \phi + \tan^{-1} \frac{(1/\omega C - \omega L)}{R}\right)$$

**الحالة ٢ :**  $(R/2L)^2 > 1/LC$  . الجذران حقيقيان ومتساويان وتنتج بذلك حالة تضاؤل حرج ، والتيار

التام هو

$$(٧١) \quad i = e^{\alpha t}(c_1 + c_2 t) + \frac{V_{\max}}{\sqrt{R^2 + (1/\omega C - \omega L)^2}} \sin\left(\omega t + \phi + \tan^{-1} \frac{(1/\omega C - \omega L)}{R}\right)$$

الحالة ٣ :  $1/LC < (R/2L)^2$  الجدران مترافقان مركبان وتنتج عن ذلك حالة التذبذب والتيار التام هو (٧٢)

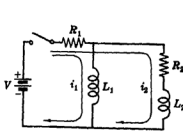
$$i = e^{\alpha t} (c_1 \cos \beta t + c_2 \sin \beta t) + \frac{V_{max}}{\sqrt{R^2 + (1/\omega C - \omega L)^2}} \sin(\omega t + \phi + \tan^{-1} \frac{(1/\omega C - \omega L)}{R})$$

$$\text{حيث } \beta = \sqrt{1/LC - (R/2L)^2}$$

يتطابق الحل الخاص لكل المعادلات (٧٠) و (٧١) و (٧٢) بيئياً بخلاف تيار العبور المعطى بالمعادلة المتتمة في كل حالة . فلما في الحالة ٣ يحتمل تيار العبور على مجموعة دوال جيبية ترددها  $\beta$  rad/sec ، وهذا التردد يختلف عموماً عن تردد الحل الخاص  $\omega$  . وبالتالي لا يمكن استنتاج ظهور تيار خلال فترة العبور ، وعادة ما يأخذ شكل غير منتظم تماماً . وبمجرد أن يصبح تيار العبور مساوياً للصفر بفعل عامل الاضمحلال ، فإن التيار يصبح إذن سابقاً أو لاحقاً للجهود المؤثر تبعاً للقيم النسبية للمسامات  $1/\omega C$  و  $\omega L$  بزاوية  $\tan^{-1} (1/\omega C - \omega L)/R$

### تيارات الانتقال لشبكتين فرعيتين

ينتج عن تطبيق قانون كيرشوف للجهود على شبكتين فرعيتين للشبكة الكهربائية الموضحة في الشكل ١٦ - ١٩ المعادلتان التفاضليتان الآتيتان :



شكل ١٦ - ١٩

$$\begin{aligned} R_1 i_1 + L_1 \frac{di_1}{dt} + R_2 i_2 &= V \\ R_1 i_1 + (R_1 + R_2) i_2 + L_2 \frac{di_2}{dt} &= V \end{aligned} \quad (٧٣)$$

باستخدام الرتين بالمؤثرات وإعادة الترتيب نحصل على

$$\begin{aligned} (D + R_1/L_1) i_1 + (R_1/L_1) i_2 &= V/L_1 \\ (R_1/L_2) i_1 + \left( D + \frac{R_1 + R_2}{L_2} \right) i_2 &= V/L_2 \end{aligned}$$

$$\begin{bmatrix} D + R_1/L_1 & R_1/L_1 \\ R_1/L_2 & D + \frac{R_1 + R_2}{L_2} \end{bmatrix} \begin{bmatrix} i_1 \\ i_2 \end{bmatrix} = \begin{bmatrix} V/L_1 \\ V/L_2 \end{bmatrix} \quad \text{أ}$$

(٧٤)

والحصول على معادلة في  $i_2$  لانتدبد على  $i_1$  فإننا نستخدم المحددات ونكتب

$$\begin{vmatrix} D + R_1/L_1 & R_1/L_1 \\ R_1/L_2 & D + \frac{R_1 + R_2}{L_2} \end{vmatrix} i_1 = \begin{vmatrix} V/L_1 & R_1/L_1 \\ V/L_2 & D + \frac{R_1 + R_2}{L_2} \end{vmatrix} \quad (٧٥)$$

لذلك محددة الطرف الأيسر وترتيبها على حسب قوى  $D$  التنازلية . ويظهر الحد  $D(V/L_2)$  في مفكوك محدد الطرف الأيمن ، ولكن حيث أن  $D = d/dt$  و  $D = d/dt$  ثابت فإن قيمة هذا الحد تساوى صفراً .

$$\left[ D^2 + \left( \frac{R_1 L_1 + R_2 L_1 + R_1 L_2}{L_1 L_2} \right) D + \frac{R_1 R_2}{L_1 L_2} \right] i_1 = V R_2 / L_1 L_2 \quad (٧٦)$$

والمعادلة المميزة هي على الصيغة  $D^2 + AD + B = 0$  وحيث أنه في هذه الحالة  $A^2 - 4B > 0$  لجميع قيم ثوابت الدائرة (فيها عدداً الحالة التي يكون فيها  $L_1$  أو  $L_2$  مساوياً للصفر) فالمعادلة المتخمة هي على الصورة المطاة في المعادلة (٤٣). حيث أن الدالة المؤثرة ثابتة فإن الحل الخاص هو الثابت الذي يحقق المعادلة

$$(v_v) \quad i_{sp} = V/R_1 \quad \text{أو} \quad \left( \frac{R_1 R_2}{L_1 L_2} \right) i_{sp} = V R_2 / L_1 L_2$$

والآن بتطبيق نفس الطرق على  $i_2$  نحصل على

$$(v_8) \quad \begin{vmatrix} D + R_1/L_1 & R_1/L_1 \\ R_1/L_2 & D + \frac{R_1 + R_2}{L_2} \end{vmatrix} i_2 = \begin{vmatrix} D + R_1/L_1 & V/L_1 \\ R_1/L_2 & V/L_2 \end{vmatrix}$$

وبعد فك المحدتين نحصل على

$$\left[ D^2 + \left( \frac{R_1 L_1 + R_2 L_1 + R_1 L_2}{L_1 L_2} \right) D + \frac{R_1 R_2}{L_1 L_2} \right] i_2 = 0$$

والمعادلة المميزة هي نفسها كما في المعادلة (٧٦) ، وبالتالي فإن الدوال المتخمة متطابقة . وحيث أن المعادلة من النوع المتجانس فإن الحل الخاص للتيار  $i_2$  يساوى صفرأ .

وبدراسة الدائرة نجد أن هذا متوقع تماماً ، ذلك لأنه في الحالة المستقرة يعمل  $L_1$  كدائرة مغلقة على الفرع  $R_2 L_2$  وبذلك يحمل التيار بعيداً عن هذا الفرع .

المقاومة  $R_2$  هي المقاومة النهائية في الحالة المستقرة وينتج عن ذلك أن  $i_1 = V/R_1$  كما في المعادلة (٧٧) .

### مسائل محلولة

١-١٦ دائرة  $RL$  على التوالي تتكون من  $R = 50 \Omega$  ،  $L = 10 \text{ H}$  ، يؤثر عليها جهد ثابت  $V = 100 \text{ V}$  عندما

$t = 0$  وذلك عند غلق المفتاح - أوجد (أ) معادلات كل من  $i$  و  $v_R$  و  $v_L$  ، (ب) التيار عندما  $t = 0.5 \text{ Seconds}$

(ج) الزمن الذي عنده  $v_R = v_L$  .

(أ) المعادلة التفاضلية للتيار المعطى هي

$$(1) \quad (D + 5)i = 10 \quad \text{أو} \quad 50i + 10 \frac{di}{dt} = 100$$

والحل التام هو

$$(2) \quad i = i_s + i_n = ce^{-5t} + 2$$



عند  $t = 0$  نجد أن  $i_0 = 0$  أى أن  $i = c(1) + 2$  أو  $c = -2$  . إذن

$$i = 2(1 - e^{-5t}) \text{ amperes}$$

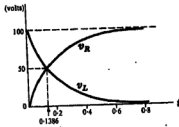
ويوضح الشكل ١٦ - ٢٠ (أ) هذه العلاقة .

والجهود المنظران عبر عنصري الدائرة هما

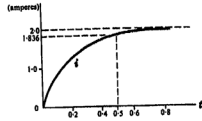
$$v_L = L \frac{di}{dt} = 100e^{-5t} \text{ volts} \quad \text{و} \quad v_R = Ri = 100(1 - e^{-5t}) \text{ volts}$$

(ب)

ويوضح الشكل ١٦ - ٢٠ (ب) هاتين العلاقتين



(ب)



(أ)

شكل ١٦ - ٢٠

(ب) نفصح للمادة (٣)  $t = 0.5$  Seconds فنحصل عل  $i = 2(1 - e^{-5(0.5)}) = 2(1 - 0.082) = 1.836 \text{ A}$ .

(ج) عندما  $v_L = v_R$  فإن كلا منهما يجب أن يساوى  $50 \text{ V}$  ، وحيث أن الجهد المؤثر يساوى  $100$  فإننا نفصح

أيامن  $v_R$  أو  $v_L$  يساوى  $50 \text{ V}$  ثم نحل المعادلة للحصول عل  $t$ ، من المعادلة (٤)  $v_L = 50 = 100e^{-5t} \text{ volts}$

إذن  $0.5 = e^{-5t}$  أو  $5t = 0.693$  و  $t = 0.1386 \text{ s}$

١٦ - ٢ بالإشارة إلى المسألة ١٦ - ١ أوجد معادلتى  $p_R$  و  $p_L$  ثم بين أن القدرة فى الحث تدير عن الطاقة المخزونة فى المجال المغناطيسى فى الحالة المستقرة .

باستخدام التيار والجهد الذى حصلنا عليهما فى المسألة ١٦ - ١ فإن معادلات القدرة اللحظية تكون

$$p_R = v_R i = 100(1 - e^{-5t}) 2(1 - e^{-5t}) = 200(1 - 2e^{-5t} + e^{-10t}) \text{ watts}$$

$$p_L = v_L i = 100e^{-5t} 2(1 - e^{-5t}) = 200(e^{-5t} - e^{-10t}) \text{ watts}$$

$$p_T = p_R + p_L = 200(1 - e^{-10t}) \text{ watts}$$

والطاقة المخزونة فى الحالة المستقرة هى  $W = \frac{1}{2}LI^2 = \frac{1}{2}(10)(2)^2 = 20 \text{ joules}$ .

و تكامل  $p_L$  من  $t = 0$  إلى  $t = \infty$  هو  $W = \int_0^{\infty} 200(e^{-5t} - e^{-10t}) dt = 20 \text{ joules}$ .

١٦-٣ في دائرة التوالي الموضحة في الشكل ١٦-٢١ إذا أغلق المفتاح إلى الموضع 1 عندما كانت  $t = 0$  وبذلك يؤثر مصدر مقدار  $100 \text{ V}$  على الفرع  $RL$  ، وعندما كانت  $t = 500 \mu\text{s}$  يتحرك المفتاح إلى الموضع 2 . فأوجد معادلي التيار في كلتا الفترتين وارسم تيار العبور .

عندما كان المفتاح في الموضع 1 فإن المعادلة هي

$$(1) \quad 100i + 0.2 \frac{di}{dt} = 100 \quad (D + 500)i = 500$$

والتيار الناتج هو :

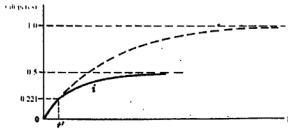
$$(2) \quad i = c_1 e^{-500t} + 1.0 \text{ amperes}$$

وعندما  $t = 0$  كانت  $i = 0$  وب تطبيق الشرط الابتدائي على المعادلة (٢) نجد أن  $0 = c_1(1) + 1.0$  أو  $c_1 = -1.0$  إذن التيار هو

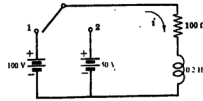
$$(3) \quad i = 1.0(1 - e^{-500t}) \text{ amperes}$$

والآن عند زمن قدرة  $500 \mu\text{ sec}$  فإن التيار يكون

$$(4) \quad i = 1.0(1 - e^{-500(500 \times 10^{-6})}) = 1.0(1 - 0.779) = 0.221 \text{ A}$$



شكل ١٦ - ٢٢



شكل ١٦ - ٢١

عندما يكون المفتاح في الموضع 2 فإن الجهد المؤثر يكون  $50 \text{ V}$  بنفس قطبية المصدر  $100 \text{ V}$  وتكون المعادلة هي

$$(5) \quad 100i + 0.2 \frac{di}{dt} = 50 \quad (D + 500)i = 250$$

وبها نحصل على

$$(6) \quad i = c_2 e^{-500(t-t')} + 0.5 \text{ amperes}$$

حيث  $t' = 500 \mu s$  . والآن بوضع  $t = t'$  في المادة (٦) فإن التيار يكون  $0.221 \text{ A}$  كما في المادة (٤).

$$c_3 = -0.279 \quad i = 0.221 = c_3(1) + 0.5$$

وعندما  $t < t'$  فإن

$$(٧) \quad i = -0.279e^{-500(t-t')} + 0.5 \text{ amperes}$$

وتطبق المادة (٣) في الفترة  $0 < t < t'$  وفي هذه الحالة فإن تيار العبور الموضح بالنقط في الشكل ١٦-٢٢ يقترب من قيمته في الحالة المستقرة وهي  $1.0$  . عند  $t'$  يكون التيار  $0.221 \text{ A}$  والمفتاح في الموضع 2 وفي هذه الحالة تطبق المادة (٧) عندما  $t < t'$  والقيمة النهائية للتيار في هذه الحالة تساوي  $0.5 \text{ A}$  كما هو موضح .

١٦-٤ كرر المسألة ١٦-٣ مع عكس قطبية المصدر  $50 \text{ V}$  .

الجزء الأول من تيار العبور عندما كان المفتاح في الموضع (1) هو نفسه الذي حصلنا عليه في المسألة ١٦-٣ :  $i = 1.0(1 - e^{-500t})$  و  $i = 0.221 \text{ A}$  عندما  $t = 500 \mu s$  .

وبعكس قطبية المصدر  $50 \text{ V}$  تنتج المادة التالية

$$(١) \quad 100i + 0.2 \frac{di}{dt} = -50 \quad \text{أو} \quad (D + 500)i = -250$$

وحلها هو

$$(٢) \quad i = c e^{-500(t-t')} - 0.5 \text{ amperes}$$

والآن عندما  $t = t'$  فإن التيار يكون  $0.221 \text{ A}$

وبالتعويض في المادة (٢) نجد أن

$$c = 0.721 \text{ أو } 0.221 = c(1) - 0.5$$

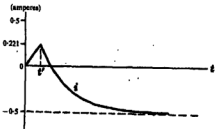
إذن معادلة التيار عندما  $t > t'$  هي

$$i = 0.721 e^{-500(t-t')} - 0.5 \text{ amperes}$$

ويوضح الشكل ١٦-٢٣ تيار العبور بقيمته

النهائية  $0.5 \text{ A}$  — ذلك لأن اتجاه المصدر  $50 \text{ V}$  عكس

الاتجاه الموجب المفروض للتيار  $i$  .



شكل ١٦-٢٣

١٦-٥ دائرة توالى تتكون من  $R$  و  $C$  فيها  $R = 5000 \Omega$  و  $C = 20 \mu F$  يؤثر عليها جهد ثابت  $V = 100 \text{ V}$

عند  $t = 0$  والمكثف لا يحمل شحنة ابتدائية . أوجد معادلات  $i$  و  $v_R$  و  $v_C$  .

عند غلق المفتاح تكون المعادلة هي

$$(١) \quad 5000i + \frac{1}{20 \times 10^{-6}} \int i dt = 100$$

وبالتفاضل واستخدام رموز المؤثرات نحصل على

$$(٢) \quad i = 0.02e^{-10t} \quad \text{وحلها هو} \quad (D+10)i = 0$$

بوضع  $t = 0$  في المعادلة (١) نحصل على التيار الابتدائي  $i_0 = 100/5000 = 0.02 \text{ A}$  وبالتفويض بهذه القيمة في المعادلة (٢) نحصل على  $c = 0.02$ . إذن معادلة التيار هي

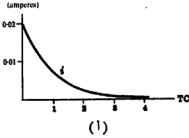
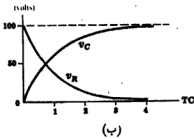
$$(٣) \quad i = 0.02 e^{-10t} \text{ amperes}$$

وجهدا العبور عبر عنصري الدائرة هما

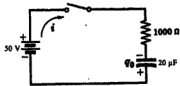
$$v_R = Ri = 5000(0.02 e^{-10t}) = 100 e^{-10t} \text{ volts}$$

$$v_C = \frac{1}{C} \int i dt = \frac{1}{20 \times 10^{-6}} \int 0.02 e^{-10t} dt = 100(1 - e^{-10t}) \text{ volts}$$

بوضع الشكل ١٦-٢٤ تيار وجهدى العبور. في الحالة المستقرة:  $v_C = 100 \text{ V}$ ,  $v_R = 0$



شكل ١٦ - ٢٤



شكل ١٦ - ٢٥

١٦-٢٤ إذا كان على المكثف  $20 \mu F$  في دائرة  $RC$  الموصلة في الشكل ١٦-٢٥ شحنة ابتدائية  $q_0 = 500 \mu \text{ Coulombs}$  وذلك بالقطبية الموصلة في الرسم. وعند  $t = 0$  أغلق المفتاح وبالتالي أترنا بالمجهد الثابت  $V = 50 \text{ V}$  فأوجد تيار العبور.

عند غلق المفتاح تكون المعادلة هي

$$(١) \quad (D+50)i = 0 \quad \text{أو} \quad 1000i + \frac{1}{20 \times 10^{-6}} \int i dt = 50$$

والحل هو

(٢)

$$i = e^{-50t} \text{ amperes}$$

والآن فإن المصدر 50 V يحرك تياراً في الاتجاه الموضح بالرسم وينتج عن ذلك شحنة موجبة على ألواح المكثف .  
ينتج عن الشحنة الأساسية على المكثف  $q_0$  جهد مقداره  $q_0/C = (500 \times 10^{-9})/(20 \times 10^{-9}) = 25 \text{ volts}$   
وهو أيضاً يرسل تياراً في اتجاه  $i$  كما هو موضح وعلى هذا عندما  $t = 0$  فإن التيار الأساسي يكون  
 $i_0 = (V + q_0/C)/R = (50 + 25)/1000 = 0.075 \text{ A}$   
إذن  $i = 0.075e^{-50t} \text{ amperes}$  وبالتعميق في المعادلة (٢) نجد أن  $c = 0.075$

١٦-٧ كرر المسألة ١٦-٦ باستخدام الشحنة كأساس للعبور .

معادلة الشحنة الأساسية هي

$$(1) \quad (D + 50)q = 0.05 \text{ أو } 1000 \frac{dq}{dt} + \frac{q}{20 \times 10^{-9}} = 50$$

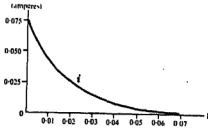
وحلها هو

(٢)

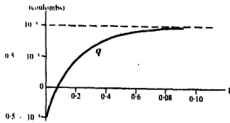
$$q = e^{-50t} + 10^{-3} \text{ coulombs}$$

عند  $t = 0$  يكون على المكثف شحنة موجبة مقدارها  $0.5 \times 10^{-3} \text{ coulombs}$  على ألواح السفل .  
قطبية الشحنة المترسة أثناء فترة العبور موجبة على ألواح العلوى . إذن بوضع  $q_0 = -0.5 \times 10^{-3}$   
و  $t = 0$  في المعادلة (٢) نجد أن  $c = -1.5 \times 10^{-3}$  إذن  $c = -1.5 \times 10^{-3} + 10^{-3}$  ومعادلة  
تيار العبور هي  $i = dq/dt = 0.075e^{-50t} \text{ amperes}$

يبين منحنى العبور الموضح في الشكل ١٦-٢٦ (أ) أنه يوجد على ألواح السفل للمكثف شحنة أساسية موجبة مقدارها  $0.5 \times 10^{-3} \text{ coulombs}$  وشحنة نهائية مقدارها  $1.0 \times 10^{-3} \text{ coulombs}$  بقطبية موجبة على ألواح العلوى . يوضح الشكل ١٦-٢٦ (ب) تيار العبور  $i = dq/dt$  .

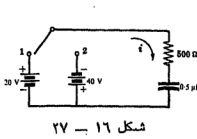


(ب)



(أ)

شكل ١٦ - ٢٦



شكل ١٦ - ٢٧

٨-١٦ في دائرة  $RC$  الموضحة في الشكل ١٦-٢٧ أطلق المفتاح عند الموضع 1 عندما كانت  $t = 0$  وبعد  $1\text{ TC}$  تحرك إلى الموضع 2. أوجد تيار العبور التام .  
عندما كان المفتاح في الموضع 1 فإن حل المعادلة التفاضلية التي نحصل عليها بتطبيق قانون كيرشوف للجهد على الدائرة هو

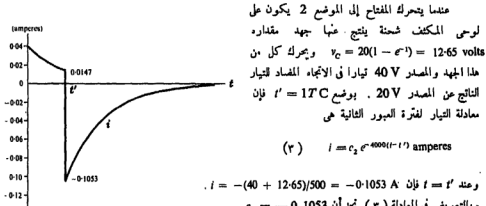
(١)

$$i = c_1 e^{-t/RC} = c_1 e^{-4000t} \text{ amperes}$$

عند  $t = 0$  نجد أن  $i_0 = V/R = 20/500 = 0.04\text{ A}$  . وبالتعويض في المعادلة (١) نحصل على  $c_1 = 0.04$  والتيار في الفترة  $0 < t < 1\text{ TC}$  هو

$$i = 0.04 e^{-4000t} \text{ amperes}$$

ويستمر هذا العبور إلى  $1\text{ TC} = RC = 500(0.5 \times 10^{-6}) = 250\text{ microseconds}$  . وعند هذه النقطة فإن قيمة التيار تكون  $i = 0.04e^{-1} = 0.0147\text{ A}$  .



شكل ١٦ - ٢٨

عندما يتحرك المفتاح إلى الموضع 2 يكون على لوصى المكثف شحنة ينتج عنها جهد مقداره  $v_c = 20(1 - e^{-1}) = 12.65\text{ volts}$  ويحرك كل من هذا الجهد والمصدر  $40\text{ V}$  تيارا في الاتجاه المضاد لتيار الناتج عن المصدر  $20\text{ V}$  . بوضع  $t' = 1\text{ TC}$  فإن معادلة التيار لفترة العبور الثانية هي

$$(٢) \quad i = c_2 e^{-4000(t-t')} \text{ amperes}$$

وعند  $t = t'$  فإن  $i = -(40 + 12.65)/500 = -0.1053\text{ A}$  . وبالتعويض في المعادلة (٢) نجد أن  $c_2 = -0.1053$  والتيار هو

$$(٤) \quad i = -0.1053 e^{-4000(t-t')} \text{ amperes}$$

ويوضح الشكل ١٦-٢٨ تيار العبور التام . وعند  $1\text{ TC}$  يكون للتيار نهاية صفرية قيمتها  $-0.1053\text{ A}$  .

٩-١٦ أوجد شحنة العبور في المسألة ٨-١٦ ثم قاضلها لتحصل على التيار .

معادلة الشحنة الأساسية عندما كان المفتاح في الموضع 1 هي

(١)

$$(D + 4000)q = 0.04 \quad \text{أو} \quad 500 \frac{dq}{dt} + \frac{q}{0.5 \times 10^{-6}} = 20$$

والحل هو

$$(٢) \quad q = c_1 e^{-4000t} + 10 \times 10^{-6} \text{ coulombs}$$

عند  $t = 0$  فإن  $q_0 = 0$  وتطبيق هذا الشرط الابتدائي على المعادلة (٢) نحصل على  $c_1 = -10 \times 10^{-6}$  وعلى هذا فإن

$$(٣) \quad q = 10 \times 10^{-6} (1 - e^{-4000t}) \text{ coulombs}$$

وتطبق هذه المعادلة في الفترة  $0 < t < t'$  حيث  $t' = 1 \text{ TC}$ . وعند  $t' = 1 \text{ TC}$  تكون الشحنة على المكثف هي

$$q = 10 \times 10^{-6} (1 - e^{-1}) = 6.32 \times 10^{-6} \text{ coulombs}$$

عندما يكون المفتاح في الموضع 2 تكون المادة المتفاعلة هي

$$(٤) \quad (D + 4000)q = -0.08 \text{ أو } 500 \frac{dq}{dt} + \frac{q}{0.5 \times 10^{-6}} = -40$$

وحلها هو

$$(٥) \quad q = c_2 e^{-4000(t-t')} - 20 \times 10^{-6} \text{ coulombs}$$

والآن نعين  $c_2$  بالتعويض عن قيمة  $q$  عند  $t' = 1 \text{ TC}$  ونوضح  $t = 1 \text{ TC}$  وذلك في المعادلة (٥). إن

$$\text{إذن } c_2 = 26.32 \times 10^{-6} \text{ أو } 6.32 \times 10^{-6} = c_2(1) - 20 \times 10^{-6}$$

$$(٦) \quad q = 26.32 \times 10^{-6} e^{-4000(t-t')} - 20 \times 10^{-6} \text{ coulombs}$$

ويوضح الرسم ١٦-٢٩ شحنة العبور التامة.

ونحصل على تيار العبور المناظر بتفاضل المعادلتين (٣)،

(٦). وعلى هذا فإنه في الفترة  $0 < t < t'$  يكون

التيار هو

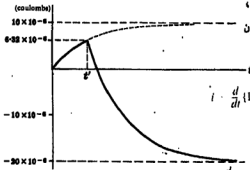
$$i = \frac{dq}{dt} (10 \times 10^{-6} (1 - e^{-4000t})) = 0.04 e^{-4000t} \text{ amperes}$$

وعندما  $t > t'$  فإن

$$i = \frac{dq}{dt} (26.32 \times 10^{-6} e^{-4000(t-t')} - 20 \times 10^{-6}) = -0.1053 e^{-4000(t-t')} \text{ amperes}$$

شكل ١٦ - ٢٩

وهي نفس النتيجة التي حصلنا عليها بالمعادلتين (٢)، (٤) في المسألة ٨-١٦.



١٠-١٦ دائرة توالى تتكون من  $R = 3000 \Omega$  و  $L = 10 \text{ H}$  و  $C = 200 \mu\text{F}$  فيها . يؤثر عليها جهد ثابت  $V = 50 \text{ V}$  عند  $t = 0$  . أوجد تيار العبور والقيمة العظمى لتيار علماً بأنه لا توجد شحنة ابتدائية على المكثف .

بعد غلق المفتاح تكون المعادلة هي

$$(1) \quad (D^2 + 300D + 500)i = 0 \quad \text{أو} \quad 3000i + 10 \frac{di}{dt} + \frac{1}{200 \times 10^{-6}} \int i dt = 50$$

وجلدا المعادلة المميزة هما  $D_1 = -298.3$  و  $D_2 = -1.67$

$$(2) \quad i = c_1 e^{-1.67t} + c_2 e^{-298.3t} \text{ amperes}$$

ولحساب قيمتي  $c_1$  و  $c_2$  فإننا نستخدم الشروط الابتدائية . حيث أن دائرة التوالى تحتوي على حث فإن دالة التيار يجب أن تكون متصلة . وحيث أن  $t = 0$  عند  $t = 0$  فإن  $i$  أيضاً يساوى صفراً عند  $t = 0$  . إذن من المعادلة (١) نجد أن  $50 = 10 \frac{di}{dt} + 3000i$  ، والآن بكتابة المعادلة (٢) عند  $t = 0$  نجد أن :  $(1) \quad c_1 + c_2 = 0$  أو  $c_2 = -c_1$  . بوضع  $t = 0$  في المشتقة الأولى للمعادلة (٢) وبالتعويض عن  $\frac{di}{dt} = 5$  نحصل على  $5 = -1.67c_1 - 298.3c_2$  ، وبحل المعادلتين الآتيتين المتعلقين بالثوابت نحصل على  $c_1 = 0.0168$  و  $c_2 = -0.0168$  إذن

$$(3) \quad i = 0.0168 e^{-1.67t} - 0.0168 e^{-298.3t} \text{ amperes}$$

لنحصل على القيمة العظمى لتيار نضع  $di/dt$  مساوية للصفر ثم نحل المعادلة للحصول على  $t$

$$0 = (0.0168)(-1.67)e^{-1.67t} - (0.0168)(-298.3)e^{-298.3t} \quad \text{أو} \quad t = 0.0175 \text{ s}$$

وبالتعويض عن قيمة  $t$  هذه في المعادلة (٣) نحصل على **0.0161A** .

١١-١٦ دائرة توالى تتكون من  $R = 50 \Omega$  و  $L = 0.1 \text{ H}$  و  $C = 50 \mu\text{F}$  فيها . يؤثر عليها جهد ثابت  $V = 100 \text{ V}$  عند  $t = 0$  . أوجد تيار العبور بفرض أن الشحنة الابتدائية على المكثف تساوى صفراً .

عند غلق المفتاح نحصل على المعادلة التفاضلية الآتية :

$$(1) \quad (D^2 + 500D + 4 \times 10^4)i = 0 \quad \text{أو} \quad 50i + 0.1 \frac{di}{dt} + \frac{1}{50 \times 10^{-6}} \int i dt = 100$$

وجلدا المعادلة المميزة هما  $D_1 = -250 + j371$  و  $D_2 = -250 - j371$  ، والتيار هو

$$(2) \quad i = e^{-250t} (c_1 \cos 371t + c_2 \sin 371t) \text{ amperes}$$

والتيار يساوى صفراً عند  $t = 0$  . إذن من المعادلة (٢) نجد أن  $i_0 = 0 = (1)(c_1 \cos 0 + c_2 \sin 0)$  ،  $C_1 = 0$  ، والآن تصبح المعادلة (٢) على الصورة



(٣)

$$i = e^{-250t} c_2 \sin 371t \text{ amperes}$$

بتفاضل المعادلة (٣) نجد أن

(٤)

$$di/dt = c_2 \{e^{-250t} (371) \cos 371t + e^{-250t} (-250) \sin 371t\}$$

عند  $t = 0$  نجد من المعادلة (١) :  $100 = (di/dt) = 0.1$  أو  $1000 = di/dt$  ، وبالتعويض في المعادلة (٤) عند  $t = 0$  نجد أن  $1000 = c_2 371 \cos 0$  و  $c_2 = 2.7$  . إذن التيار المطلوب هو

$$i = e^{-250t} (2.7 \sin 371t) \text{ amperes.}$$

١٦-١٧ دائرة توالى تتكون من  $RL$  فيها  $R = 50 \Omega$  و  $L = 0.2 \text{ H}$  يؤثر عليها مصدر جهد جيبي  $v = 150 \sin (500t + \phi) \text{ volts}$  عند الزمن الذى كانت عنده  $\phi = 0$  . أوجد التيار التام .

عند غلق المفتاح تكون المعادلة التفاضلية هى

(١)

$$(D + 250)i = 750 \sin 500t \quad \text{أو} \quad 50i + 0.2 \frac{di}{dt} = 150 \sin 500t$$

والدالة المتكاملة هى  $i_c = c e^{-250t}$ 

لإيجاد الحل الخاص نستخدم طريقة المعاملات غير المحدودة ونفرض تياراً خاصاً

(٢)

$$i_p = A \cos 500t + B \sin 500t$$

إذن

(٣)

$$i_p' = -500A \sin 500t + 500B \cos 500t$$

وبالتعويض عن  $i$  و  $i'$  في المعادلة (١) نحصل على

$$(-500A \sin 500t + 500B \cos 500t) + 250(A \cos 500t + B \sin 500t) = 750 \sin 500t$$

بمساواة معاملات  $\sin 500t$  ومعاملات  $\cos 500t$  نحصل على

(٤)

$$500B + 250A = 0 \quad \text{و} \quad -500A + 250B = 750$$

وبحل هاتين المعادلتين الآتيتين نجد أن  $A = -1.2$  و  $B = 0.6$  . إذن

(٥)

$$i_p = -1.2 \cos 500t + 0.6 \sin 500t = 1.34 \sin (500t - 63.4^\circ) \text{ amperes}$$

والتيار التام هو

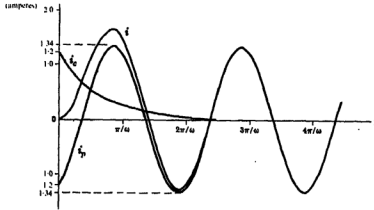
(٦)

$$i = c e^{-250t} + 1.34 \sin (500t - 63.4^\circ) \text{ amperes}$$

وعند  $t = 0$  نجد أن  $i = 0$  و  $i = 1.2$  ، إذن

$$(v) \quad i = 1.2 e^{-250t} + 1.34 \sin(500t - 63.4^\circ) \text{ amperes}$$

يوضح الشكل ١٦ - ٣٠ :  $i_c$  و  $i_p$  ومجموعهما  $i$  بعد انتهاء فترة العبور (تقريباً) عندما  $t = 5 \text{ TC}$  . يكون التيار جيئياً ولاحقاً للجهد المؤثر بزاوية  $\theta \approx \tan^{-1} \omega L/R \approx 63.4^\circ$  .



شكل ١٦ - ٣٠

١٦ - ١٣ عند أي زاوية  $\phi$  يجب غلق المفتاح في الدائرة الموصلة في المسألة ١٦ - ١٢ حتى يلعب التيار مباشرة إلى الحالة المستقرة بدون فترة عبور ؟

إذا كانت  $\phi = 0$  فلنأخذ من المعادلة (٦) في المسألة ١٦ - ١٢

$$i = e e^{-250t} + 1.34 \sin(500t + \phi - 63.4^\circ) \text{ amperes}$$

عند  $t = 0$  نجد أن  $0 = e(1) + 1.34 \sin(\phi - 63.4^\circ)$  ، والآن تكون فترة العبور مساوية للصفر إذا كان الثابت

$$e = 0 \text{ و يحدث هذا عندما } \phi = (63.4^\circ + n 180^\circ) \text{ حيث } n = 0, 1, 2, \dots$$

١٦ - ١٤ دائرة توالى تتكون من  $RC$  فيها  $R = 100 \Omega$  و  $C = 25 \mu F$  . يؤثر عليها مصدر جهد جيوى  $v = 250 \sin(500t + \phi)$  volts ، عند الزمن الذى كانت عنده  $\phi = 0^\circ$  . أوجد التيار بفرض أنه لا توجد شحنة ابتدائية على المكثف .

عند غلق المفتاح تكون المعادلة التفاضلية للدائرة هي

$$(1) \quad (D + 400)i = 1250 \cos 500t \text{ أو } 100t + \frac{1}{25 \times 10^{-6}} \int i dt = 250 \sin 500t$$

$$i_p = e e^{-400t} \text{ هي والدالة المتخمة هي}$$

لإيجاد التيار الخامس نضع الطرف الأيمن في معادلة المؤثرات مساوياً للجزء الحقيقى للكتبة  $1250 e^{j500t}$  وبفرض أن التيار الخامس هو

(٢)

$$i_p = K e^{500t} \text{ amperes}$$

إذن

(٣)

$$i_p = 500 K e^{500t} \text{ amperes}$$

وبالتعويض عن قيمتي  $i$  و  $i'$  في المعادلة (١) نحصل عل

(٤)

$$500 K e^{500t} + 400(K e^{500t}) = 1250 e^{500t}$$

ومن هنا نجد أن  $K = 1.955 / -51.3^\circ$ . نعوّض بقيمة  $K$  هذه في المعادلة (٢)، ولكن حيث أن الجهد

المحرك يساوي الجزء الحقيقي للقيمة  $1250 e^{500t}$  فإن التيار الفعلي يساوي الجزء الحقيقي للمعادلة (٢)

و  $i_p = 1.955 \cos(500t - 51.3^\circ)$  والتيار التام هو

(٥)

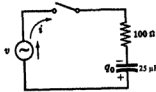
$$i = e^{-400t} - 1.955 \cos(500t - 51.3^\circ) \text{ amperes}$$

عند  $t = 0$  تصبح المعادلة (١)  $100i = 250 \sin 0$  أو  $i = 0$ . والآن باستخدام المعادلة (٥)

عند  $t = 0$  نجد أن  $c = -1.22$  إذن

$$i = -1.22 e^{-400t} + 1.955 \cos(500t - 51.3^\circ) = -1.22 e^{-400t} + 1.955 \sin(500t + 38.7^\circ) \text{ amperes}$$

١٦-١٥ في دائرة RC الموضحة في الشكل ١٦-٣١ يؤثر مصدر



شكل ١٦-٣١

جهد جيبى  $v = 250 \sin(500t + \phi)$  volts وذلك

بمقل المفتاح عند الزمن الذي كانت عنده  $\phi = 45^\circ$ . فإذا

كانت هناك شحنة ابتدائية على المكثف مقدارها

$q_0 = 5000 \times 10^{-6} \text{ coulombs}$  بالمعطية الموضحة

في الرسم فأوجد التيار التام.

الدائرة والجهد الجيبى هما نفسهما الموجودان في المسألة ١٦-١٤ فيما عدا أن  $\phi = 45^\circ$ . إذن فالمعادلة التفاضلية

في صيغة المؤثرات هي

(١)

$$(D + 400)i = 1250 \cos(500t + 45^\circ)$$

والدالة المتتمية هي نفسها كما في المسألة ١٦-١٤. والتيار الخاص مزاح بزاوية  $45^\circ$ ، أي أن:

إذن التيار التام هو  $i_p = 1.955 \sin(500t + 83.7^\circ)$

(٢)

$$i = e^{-400t} + 1.955 \sin(500t + 83.7^\circ) \text{ amperes}$$

عند  $t = 0$  يوجد مصدران للجهد يرسلان تياراً. الجهد المكافئ للمكثف المشحون هو:

$v = 250 \sin 45^\circ \dots 176.7 \text{ volts}$ . والمصدر له جهد لحظي  $V = q/C = (5000 \times 10^{-9})/(25 \times 10^{-9}) = 200 \text{ volts}$  ونبحص دائرة يتبين نجد أن كلا الجهدين لها نفس القطبية ومن ذلك فإن التيار الابتدائي هو  $i_0 = (200 + 176.7)/100 = 3.77 \text{ A}$  و الآن استخدام المعادلة (٢) مع وضع  $t = 0$  عند  $t = 0$  نجد أن  $c = 1.83$  والتيار المطلوب هو  $i = 1.83 e^{-400t} + 1.955 \sin(500t + 83.7^\circ) \text{ amperes}$

١٦-١ يؤثر على دائرة التوصل المكونة من  $RLC$

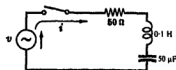
والموضحة في شكل ١٦-٣٢ مصدر جهد جيبى

فإذا أغلق  $v = 100 \sin(1000t + \phi) \text{ volts}$

المفتاح عند الزمن الذى كانت فيه  $\phi = 90^\circ$

فأوجد التيار بفرض أن الشحنة الابتدائية على

المكثف تساوى صفراً.



شكل ١٦ - ٣٢

بعد غلق المفتاح نكتب معادلة الدائرة على الصورة

$$50i + 0.1 \frac{di}{dt} + \frac{1}{50 \times 10^{-6}} \int i dt = 100 \sin(1000t + 90^\circ)$$

(١)

$$(D_2 + 500D + 2 \times 10^5)i = 10^6 \cos(1000t + 90^\circ)$$

ونجربا المعادلة المميزة هما :

$$D_2 = -250 - j371 \text{ و } D_1 = -250 + j371$$

التيار المتصور هو :

$$i_p = e^{-250t} (c_1 \cos 371t + c_2 \sin 371t)$$

والتيار الخاص الذى نحصل عليه باستخدام طريقة المسألة ١٦-١٤ هو :

$$i_p = 1.06 \sin(1000t + 32^\circ)$$

إذاً فالتيار التام هو :

(٢)

$$i = e^{-250t} (c_1 \cos 371t + c_2 \sin 371t) + 1.06 \sin(1000t + 32^\circ) \text{ amperes}$$

من المعادلة (١) عند  $t = 0$  نجد أن  $i_0 = 0$  و  $di/dt = 1000$  وبالتعويض في المعادلة (٢) نحصل على

$c_1 = -0.562$  . والآن بتفاضل المعادلة (٢) نحصل على :

$$\begin{aligned} \frac{di}{dt} &= e^{-250t} (-371c_1 \sin 371t + 371c_2 \cos 371t) \\ (r) \quad &+ (c_1 \cos 371t + c_2 \sin 371t)(-250 e^{-250t}) + 1.06(1000) \cos(1000t + 32^\circ) \\ &\text{وبالتعويض عن } t = 0 \text{ و } c_1 = -0.562 \text{ و } di/dt = 1000 \text{ في المعادلة (r) ، نجد أن } c_2 = -0.104 \\ &\text{والآن تصبح المعادلة (v) على الصورة :} \end{aligned}$$

$$i = e^{-250t} (-0.562 \cos 371t - 0.104 \sin 371t) + 1.06 \sin(1000t + 32^\circ) \text{ amperes}$$

١٦-١٧ دائرة توالى تتكون من  $RLC$  فيها  $R = 100 \Omega$  و  $L = 0.1 \text{ H}$  و  $C = 50 \mu\text{F}$  يؤثر عليها مصدر جهد جيبى :  $v = 100 \sin(1000t + \phi)$  volts فإذا أُلغى المفتاح عندما كانت  $\phi = 90^\circ$  ، فأوجد التيار بفرض أن الشحنة الابتدائية على المكثف تساوى صفراً .

عند غلق المفتاح تكون معادلة الدائرة هى :

$$100i + 0.1 \frac{di}{dt} + \frac{1}{50 \times 10^{-6}} \int i dt = 100 \sin(1000t + 90^\circ)$$

$$(1) \quad (D_1 + 1000D + 2 \times 10^6)t = 10^6 \cos(1000t + 90^\circ)$$

وجنرنا المعادلة المميزة هما  $D_1 = -276.5$  و  $D_2 = -723.5$

والدالة المتبعة هى :  $i = c_1 e^{-276.5t} + c_2 e^{-723.5t} + i_p$  ، والحل الخاص الذى نحصل عليه بالطريقة المستخدمة فى المسألة ١٦-١٤ هو :  $i_p = 0.781 \sin(1000t + 51.4^\circ)$  ، إذن التيار التام هو :

$$(r) \quad i = c_1 e^{-276.5t} + c_2 e^{-723.5t} + 0.781 \sin(1000t + 51.4^\circ) \text{ amperes}$$

لتعيين الثابتين  $c_1$  و  $c_2$  فإننا نحسب  $i$  و  $di/dt$  عند  $t = 0$  فى المعادلة (١) . وبالتعويض بالنتيجة  $i_0 = 0$  و  $di/dt = 1000$  فى المعادلة (r) ، نحصل على :

$$(r) \quad c_1 + c_2 = -0.610 \text{ أو } i_0 = 0 = c_1(1) + c_2(1) + 0.781 \sin 51.4^\circ$$

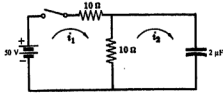
وبتفاضل المعادلة (r) والتعويض عن  $t = 0$  و  $di/dt = 1000$  نجد أن :

$$(s) \quad 276.5c_1 + 723.5c_2 = -513 \text{ أو } di/dt = 1000 = -276.5c_1 - 723.5c_2 + 781 \cos 51.4^\circ$$

وبحل المعادلتين الآتيتين (r) و (s) نجد أن  $c_1 = 0.161$  و  $c_2 = -0.771$

إذن :

$$i = 0.161 e^{-276.5t} - 0.771 e^{-723.5t} + 0.781 \sin(1000t + 51.4^\circ) \text{ amperes}$$



شكل ١٦ - ٣٣

١٦-١٨ في الشبكتين الفرعيتين للشبكة الكهربائية الموضحة

في الشكل ١٦-١٣ أطلق المفتاح عند  $t = 0$  أوجد تيار الشبكتين العابرين  $i_1$  و  $i_2$  الموضحين في الشكل وجهد العبور  $v_C$  على المكثف .  
ب تطبيق قانون كيرشوف الجهد على المسارين المتلقين نحصل على

$$(١) \quad 2Di_1 = Di_2 \text{ أو } 20i_1 - 10i_2 = 50$$

$$(٢) \quad -Di_1 + (D + 5 \times 10^4)i_2 = 0 \quad , \quad i_1 - 10i_1 + 10i_2 + \frac{1}{2 \times 10^{-6}} \int i_2 dt = 0$$

ونجد من المعادلة (١) أن  $Di_1 = \frac{1}{2}Di_2$  وبالتعويض بها في المعادلة (٢) نحصل على :

$$(٣) \quad (D + 10^4)i_2 = 0 \quad \text{أو} \quad (\frac{1}{2}Di_2) + (D + 5 \times 10^4)i_2 = 0$$

وبما أن المعادلة (٣) متجانسة فإن حلها يحتوي فقط على الحالة المتنامية .

إذن :

$$i_2 = c e^{-10^4 t} \text{ amperes}$$

وبوضع  $t = 0$  في المعادلة (٢) نجد أن  $10i_1 + 10i_2 = 0$  أو  $i_1 = -i_2$  . إذن المعادلة (١) عند  $t = 0$  تصبح  $20i_1 - 10i_2 = 50$  أو  $i_1 = i_2 = 5$  . وبالتعويض عن قيمة  $i_2$  في المعادلة (٤) نجد أن  $c = 5$  إذن :

$$(٥) \quad i_2 = 5 e^{-10^4 t} \text{ amperes}$$

والآن نحصل على تيار العبور  $i_1$  بالتعويض من (٥) في المعادلة (١) .

إذن :

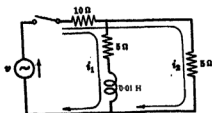
$$i_1 = 2.5 + 2.5 e^{-10^4 t} \text{ amperes} \quad \text{و} \quad 20i_1 - 10(5 e^{-10^4 t}) = 50$$

ونحصل على جهد العبور  $v_C$  عبر المكثف بتكامل تيار الشبكة الفرعية  $i_2$  .

$$v_C = \frac{1}{C} \int i_2 dt = \frac{1}{2 \times 10^{-6}} \int 5 e^{-10^4 t} dt = 25(1 - e^{-10^4 t}) \text{ volts}$$

١٦-١٩ في الشبكتين الفرعيتين الموضحتين في الشكل ١٦-٣٤ أطلق المفتاح عند  $t = 0$  وكان مصدر الجهد  $v = 150 \sin 1000t$  volts . أوجد تيار الشبكتين  $i_1$  و  $i_2$  المظيان في الشكل .

ينتج من تطبيق قانون كيرشوف على المسارين  
الموضحين أن :



شكل ١٦ - ٣

$$10i_2 + 15i_1 + 0.01 \frac{di_1}{dt} = 150 \sin 1000t$$

أو

$$(1) \quad (D + 1500)i_1 + 1000i_2 = 15,000 \sin 1000t$$

$$(2) \quad 15i_2 + 10i_1 = 150 \sin 1000t$$

(٣)

من المعادلة (٢) نجد أن :  $i_2 = 10 \sin 1000t - \frac{2}{3}i_1$  amperes

وبالتعويض في المعادلة (١) نحصل على المعادلة التفاضلية :

(٤)

$$(D + 833)i_1 = 5000 \sin 1000t$$

والحل التام الذي نحصل عليه باستخدام طريقة المسألة ١٦ - ١٤ هو

(٥)

$$i_1 = e^{-833t} + 3.84 \sin (1000t - 50.2^\circ) \text{ amperes}$$

والآن بالتعويض عن  $i_1$  في المعادلة (٣) نجد

$$i_2 = -\frac{2}{3}e^{-833t} - 2.56 \sin (1000t - 50.2^\circ) + 10 \sin 1000t$$

(٦)

$$= -\frac{2}{3}e^{-833t} + 8.58 \sin (1000t + 13.25^\circ) \text{ amperes}$$

تيار الشبكية  $i_1$  يمر خلال الملف وعلى ذلك فإنه يساوى صفراً عند  $t = 0$  . وبالتعويض في المعادلة (٥) نجد :

$$0 = e^{-833t} + 3.84 \sin (-50.2^\circ) \quad \text{و} \quad e^{-833t} = 2.95 \quad \text{إذن لمعادلتنا تيارى الشبكتين هما :}$$

$$i_2 = -1.97 e^{-833t} + 8.58 \sin (1000t + 13.25^\circ) \text{ amperes} \quad \text{و} \quad i_1 = 2.95 e^{-833t} + 3.84 \sin (1000t - 50.2^\circ) \text{ amperes}$$

### مسائل إضافية

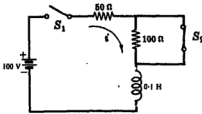
١٦ - ٢٠ في دائرة التوالي المكونة من  $RL$  والموضحة في الشكل

١٦ - ٢٥ ، ألق المفتاح  $S_1$  عند  $t = 0$  وبعد

4ms فتح المفتاح  $S_2$  . أوجد التيار في الفترتين

$0 < t < t'$  و  $t' < 4$  ms حيث  $t' = 4$  ms الجواب :

$$i = 2(1 - e^{-500t}) \text{ amperes, } i = 1.06 e^{-1500(t-t')} - 0.667 \text{ amperes}$$



شكل ١٦ - ٢٥

١٦ - ٢١ يؤثر جهد ثابت على دائرة نوال  $RL$  وذلك بنقل

المفتاح . وكان الجهد عبر  $L$  هو 25volts عند

$t = 0$  وهبط إلى 5V عند  $t = 25$  ms . فإذا

كان  $L = 2$  H فاحس قيمة  $R$  ؟

الجواب :  $128.8 \Omega$

١٦ - ٢٢ في الدائرة الموضحة في الشكل ١٦ - ٢٦ ألق المفتاح  $S_1$  عند  $t = 0$  وفتح المفتاح  $S_2$  عند

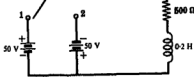
$t = 0.2$  sec . أوجد معادلة التيار العابر لمائتين الفترتين .

$$\text{الجواب : } i = 10(1 - e^{-10t}) \text{ amperes, } i = 6.97 e^{-500(t-t')} + 1.67 \text{ amperes}$$

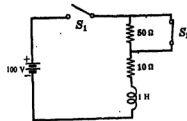
١٦ - ٢٣ في الدائرة الموضحة في الشكل ١٦ - ٢٧ ألق المفتاح إلى الموضع 1 عند  $t = 0$  ، ثم تحرك إلى الموضع 2

بعد 1ms . أوجد الزمن الذي يغير عنده التيار اتجاهه ويصبح مساوياً للصفر .

الجواب : 1.261 ms



شكل ١٦ - ٢٧



شكل ١٦ - ٣٦

١٦ - ٢٤ في الدائرة الموضحة في الشكل ١٦ - ٣٨ ألق المفتاح إلى الموضع 1 لوقت كاف للوصول إلى حالة الاستقرار

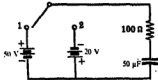
في التيار . وعندما تحرك المفتاح إلى الموضع 2 كان هناك تيار عابر يمر في المقاومة  $50 \Omega$  لفترة زمنية قصيرة .

أوجد الطاقة المستنفدة في المقاومة خلال فترة العبور هذه .

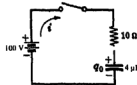
الجواب : 8 joules



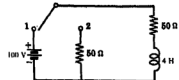
٢٥-١٦ يوجد على مكثف دائرة  $RC$  الموضحة في الشكل ١٦-٣٩ شحنة ابتدائية  $q_0 = 800 \times 10^{-6} \text{ coulombs}$  بالقطبية الموضحة في الرسم . أوجد كلا من تيار وشحنة العود الناتجتين عند غلق المفتاح .  
الجواب :  $10^{-6} \text{ coulombs}$  ،  $q = 400(1 + e^{-2.5 \times 10^4 t})$  amperes,  $i = 10e^{-2.5 \times 10^4 t}$



شكل ١٦ - ٤٠



شكل ١٦ - ٣٩



شكل ١٦ - ٣٨

٢٩-١٦ وصل مكثف  $2 \mu F$  وعليه شحنة ابتدائية  $q_0 = 100 \times 10^{-6} \text{ coulombs}$  عبر طرفي المقاومة  $100 \Omega$  عند  $t = 0$  . أوجد الزمن الذي يهبط فيه الجهد العابر عبر المقاومة من 40 إلى 10 V .  
الجواب :  $277.4 \mu s$

٢٧-١٦ في الدائرة الموضحة في الشكل ١٦-٤٠ أغلق المفتاح إلى الموضع 1 عند  $t = 0$  ثم تحرك إلى الموضع 2 بعد  $1 \text{ TC}$  . أوجد تمييزين التيار العابر في الفترتين  $0 < t' < 1$  و  $t' < 1$  .  
الجواب :  $0.516e^{-2000t-1/3}$  amperes,  $i = 0.5e^{-500t}$  amperes.

٢٨-١٦ بالإشارة إلى المسألة ١٦-٢٧ ، حل المعادلة التفاضلية على أساس الشحنة . من دوال الشحنة العابرة أوجد تمييزين للتيار ثم قارن النتائج .

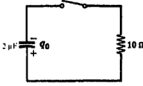
٢٩-١٦ في الدائرة الموضحة في الشكل ١٦-٤١ وضع المفتاح في الموضع 1 لفترة زمنية كافية الوصول إلى حالة الاستقرار ثم تحرك بعد ذلك إلى الموضع 2 . يمر تيار عابر عند تحريك المفتاح إلى الموضع 2 وينتج عن ذلك استنفاد طاقة في المقاومين . أوجد هذه الطاقة وقارنها بالطاقة المخزنة في المكثف بعد تحريك المفتاح .  
الجواب :  $0.20 \text{ joules}$

٣٠-١٦ في الدائرة الموضحة في الشكل ١٦-٤٢ كان على المكثف  $C_1$  شحنة ابتدائية  $q_0 = 300 \times 10^{-6} \text{ coulombs}$  . فإذا أغلق المفتاح عند  $t = 0$  فأوجد التيار العابر والشحنة العابرة والجهد النهائي على المكثف  $C_1$  .

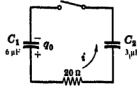
الجواب :  $33.3 \text{ V}$  ،  $q = 200(1 + 0.5e^{-2.5 \times 10^4 t}) \times 10^{-6} \text{ coulombs}$  ,  $i = 2.5e^{-2.5 \times 10^4 t}$  amperes.

٣١-١٦ بالإشارة إلى المسألة ١٦-٣٠ ، أوجد الجهود العابرة  $V_{C1}$  و  $V_{C2}$  و  $V_R$  ثم بين أن مجموعهم يساوي صفرًا .  
الجواب :

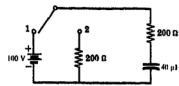
$$v_{C1} = 33.3 + 16.7e^{-2.5 \times 10^4 t} \text{ volts}, v_{C2} = 33.3(1 - e^{-2.5 \times 10^4 t}) \text{ volts}, v_R = -50e^{-2.5 \times 10^4 t} \text{ volts}$$



شكل ١٦ - ٣١



شكل ١٦ - ٣٢



شكل ١٦ - ٣٣

١٦-٣٢ في دائرة التوالى  $RC$  الموضحة في الشكل ١٦-٣١ كان عل المكثف شحنة ابتدائية  $q_0$  وأغلق المفتاح عند  $t = 0$ . أوجد  $q_0$  علماً بأن قدرة العبور في المقاومة هي  $p_R = 360e^{-10t}$  watts

الجواب :  $120 \times 10^{-6}$  coulombs

١٦-٣٣ دائرة توالى تتكون من  $RLC$  فيها  $R = 200 \Omega$  و  $L = 0.1 \text{ H}$  و  $C = 100 \mu\text{F}$ . يؤثر عليها جهد ثابت  $V = 200 \text{ volts}$  عند  $t = 0$ . أوجد التيار بفرض أنه لا توجد شحنة ابتدائية على المكثف.

الجواب :  $i = 1.055e^{-32t} - 1.055e^{-194t}$  amperes

١٦-٣٤ دائرة توالى تتكون من  $RLC$  فيها  $R = 200 \Omega$  و  $L = 0.1 \text{ H}$  ، فإذا اختيرت قيمة سعة المكثف بحيث تصبح الدائرة في حالة تقاضل خرج ، فأوجد قيمة  $C$  المطلوبة .

الجواب :  $10 \mu\text{F}$

١٦-٣٥ أوجد الذبذبة الطبيعية لدائرة التوالى  $RLC$  التي فيها  $R = 200 \Omega$  و  $L = 0.1 \text{ H}$  و  $C = 5 \mu\text{F}$  .

الجواب :  $1000 \text{ rad/s}$

١٦-٣٦ دائرة توالى تتكون من  $RLC$  فيها  $R = 5 \Omega$  و  $L = 0.1 \text{ H}$  و  $C = 500 \mu\text{F}$  يؤثر عليها جهد ثابت  $V = 10 \text{ volts}$  عند  $t = 0$ . أوجد التيار العابر الناتج .

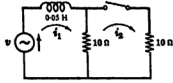
الجواب :  $i = 0.72 e^{-25t} \sin 139t$  amperes

١٦-٣٧ دائرة توالى تتكون من  $RL$  فيها  $R = 300 \Omega$  و  $L = 1.0 \text{ H}$  يؤثر عليها جهد جيبى  $v = 100 \cos(100t + \phi)$  volts . فإذا أغلق المفتاح عندما كانت  $\phi = 45^\circ$  ، فأوجد التيار العابر الناتج .

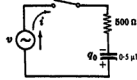
الجواب :  $i = -0.282e^{-300t} + 0.316 \cos(100t + 26.6^\circ)$  amperes

١٦-٣٨ تعمل دائرة  $RL$  الموضحة في الشكل ١٦-٣٨ في حالة جيبية والمفتاح في الموضع 1. فإذا تحرك المفتاح إلى الموضع 2 عندما كان مصدر الجهد  $v = 100 \cos(100t + 45^\circ)$  volts . فأوجد التيار العابر وارسم آخر نصف دورة في الحالة المستقرة مع الفترة العابرة لتوضيح العبور .

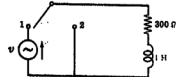
الجواب :  $i = 0.282e^{-300t}$  amperes



شكل ١٦ - ٤٦



شكل ١٦ - ٤٥



شكل ١٦ - ٤٤

١٦-٣٩ في دائرة التوالى المكونة من  $RC$  والموضحة في الشكل ١٦-٤٥ كان على المكثف شحنة ابتدائية

$q_0 = 25 \times 10^{-6}$  coulombs بالتقطعية الموضحة في الرسم . فإذا أثر جهد جوى

is volts is  $v = 100 \sin(1000t + \phi)$  على الدائرة عند الزمن الذى كانت عنده  $\phi = 30^\circ$  ، فأوجد التيار العابر .

الجواب :  $i = 0.1535 e^{-4 \times 10^4 t} + 0.0484 \sin(1000t + 106^\circ)$  amperes

١٦-٤٥ بالإشارة إلى المسألة ١٦-٣٩ ، ماهى الشحنة الابتدائية التى يجب تواجدها على المكثف بحيث يلعب التيار مباشرة

إلى الحالة المستقرة بدون فترة عابرة وذلك عند غلق المفتاح ؟

الجواب :  $13.37 \times 10^{-6}$  coulombs + عند الأوح المملوء .

١٦-٤٩ بين أن لدائرة التوالى  $RLC$  ذات المصدر  $v = V_{max} \sin(\omega t + \phi)$  حل خاص لمعادلتها التفاضلية

يعطى بالعلاقة

$$i_p = \frac{V_{max}}{\sqrt{R^2 + (1/\omega C - \omega L)^2}} \sin(\omega t + \phi + \tan^{-1} \frac{(1/\omega C - \omega L)}{R})$$

١٦-٤٢ دائرة توالى تتكون من  $RLC$  فيها  $R = 5 \Omega$  و  $L = 0.1 \text{ H}$  و  $C = 500 \mu\text{F}$  . يؤثر عليها جهد جوى

volts  $v = 100 \sin(250t + \phi)$  عند الزمن الذى كانت عنده  $\phi = 0^\circ$  . أوجد التيار الناتج .

الجواب :  $i = e^{28t} (5.42 \cos 139t - 1.89 \sin 139t) + 5.65 \sin(250t - 73.6^\circ)$  amperes

١٦-٤٣ دائرة توالى تتكون من  $RLC$  فيها  $R = 200 \Omega$  و  $L = 0.5 \text{ H}$  و  $C = 100 \mu\text{F}$  . يؤثر عليها جهد

جوى volts  $v = 300 \sin(500t + \phi)$  . فإذا أغلق المفتاح عندما كانت  $\phi = 30^\circ$  ، فأوجد التيار الناتج .

الجواب :  $i = 0.517 e^{-341.4t} - 0.197 e^{-38.4t} + 0.983 \sin(500t - 19^\circ)$  amperes

١٦-٤٤ دائرة توالى تتكون من  $RLC$  فيها  $R = 50 \Omega$  و  $L = 0.1 \text{ H}$  و  $C = 50 \mu\text{F}$  . يؤثر عليها جهد جوى

volts  $v = 100 \sin(500t + \phi)$  . فإذا أغلق المفتاح عندما كانت  $\phi = 45^\circ$  ، فأوجد التيار الناتج .

الجواب :  $i = e^{-250t} (-1.09 \cos 371t - 1.025 \sin 371t) + 1.96 \sin(500t + 33.7^\circ)$  amperes

١٦-٤٥ في الشبكة الكهربائية المكونة من شبكتين فرعيتين والموضحة في الشكل ١٦-٤٦ يعطى مصدر الجهد في الشبكة ١

بالعلاقة  $v = 100 \sin(200t + \phi)$  volts. أوجد تيارى البور  $i_1$  و  $i_2$  في الشبكيين إذا أغلق المفتاح عندما

كانت  $\phi = 0$ .

الجواب :

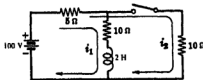
$i_1 = 3.01e^{-100t} + 8.96 \sin(200t - 63.4^\circ)$  amperes,  $i_2 = 1.505e^{-100t} + 4.48 \sin(200t - 63.4^\circ)$  amperes  
١٦-٤٦ أوجد في الشبكيين الفرعيتين الموضحتين في الشكل ١٦-٤٧ تيارى الشبكيين  $i_1$  و  $i_2$  عندما ينفق المفتاح عند

$t = 0$ .

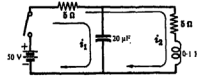
الجواب :  $i_1 = 0.101e^{-100t} + 9.899e^{-9950t}$  amperes,  $i_2 = -5.05e^{-100t} + 5 + 0.05e^{-9950t}$  amperes

١٧-٤٧ إذا أغلق المفتاح في الشبكيين الفرعيتين الموضحتين في الشكل ١٦-٤٨ عند  $t = 0$  فأوجد التيارين الناتجين  $i_1$  و  $i_2$ .

الجواب :  $i_1 = 1.67e^{-6.07t} + 5$  amperes,  $i_2 = -0.555e^{-6.07t} + 5$  amperes



شكل ١٦ - ٤٨



شكل ١٦ - ٤٧

## الفصل السابع عشر

### دراسة الظواهر العابرة بطريقة تحويل لابلاس

#### مقدمة :

حللنا في الفصل السادس عشر التيارات العابرة في الدوائر الكهربائية التي تحتوي على عناصر مخازنة للطاقة . وقد نتج عن تطبيق قوانين كيرشوف على هذه الدوائر معادلة تفاضلية أو أكثر بدلالة الزمن ، وذلك حسب تركيب الدائرة . وقد حلت هذه المعادلات بالطرق التقليدية . ولكن هذه الطرق في حالات كثيرة تكون غير مرضية وعلى ذلك فإننا ندخل في هذا الفصل طريقة أخرى تسمى طريقة تحويل لابلاس ، وهي تمكننا من حل المعادلات التفاضلية بطريقة أكثر مباشرة ، وعلاوة على ذلك فإن بعض الدوال غير المنتظمة لا يمكن حلها بسهولة بالطرق التقليدية بينما تعطينا طريقة لابلاس حلا لهذه المسائل .

يحتوي هذا الفصل فقط على التطبيقات الأساسية لطريقة تحويل لابلاس . وقد تركنا جانباً اشتقاق الصيغ الرياضية والتطبيقات الأكثر تعقيداً ويمكن الرجوع إليها في المراجع المختصة بتحليل فترات العبور .

تحويل لابلاس :

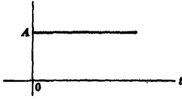
إذا كانت  $f(t)$  دالة من الزمن  $t$  ومعرفة لجميع قيم  $t > 0$  فإن تحويل لابلاس للدالة  $f(t)$  يرمز له بالرمز  $\mathcal{L}[f(t)]$  ويعرف بـ

$$(١) \quad \mathcal{L}[f(t)] = F(s) = \int_0^{\infty} f(t) e^{-st} dt$$

حيث يمكن أن يكون البارامتر  $s$  حقيقياً أو مركباً . ونفرض في تطبيقات الدوائر الكهربائية أن  $s = \sigma + j\omega$  . ويحول المؤثر  $\mathcal{L}[f(t)]$  الدالة  $f(t)$  بدلالة الزمن إلى دالة  $F(s)$  بدلالة اللبديية المركبة أو ببساطة بدلالة  $s$  . وعلى هذا فإن الدالتين  $f(t)$  و  $F(s)$  يكونان زوجاً من البدائل أو المتحولات . ويوجد جداول واسعة الانتشار تحتوي على هذه الأزواج . والمتحولات المبينة في الجداول ١٧ - ١ كافية للفرص المطلوب في هذا الفصل . والشرط الكافي لوجود تحويل لابلاس هو أن الدالة  $f(t)$  يجب أن تكون (أ) قطعة متصلة ، (ب) ذات رتبة أمية . تكون الدالة  $f(t)$  مركبات رتبة أمية إذا كان  $|f(t)| < Ae^{\alpha t}$  لجميع قيم  $t > t_0$  حيث كل من  $A$  و  $t_0$  ثوابت موجبة . عندما تتحقق هذه الشروط فإن تكامل التحويل المباشر يكون مقارباً لجميع قيم  $\sigma > \alpha$  وتكون  $F(s)$  موجودة . وجميع الدوال المستخدمة في تحليل الدوائر الكهربائية تحقق الشرطين (أ) ، (ب) .

### مثال ١ :

تسمى الدالة الموضحة في الشكل ١٧ - ١ بدالة سلمية وتعرف  
بـ  $f(t) = A$  ،  $t > 0$  : أوجد تحويلات لابلاس المناظرة .



شكل ١٧ - ١

ب تطبيق المعادلة (١) على الدائرة  $f(t) = A$  نجد أن

$$\mathcal{L}[A] = \int_0^{\infty} A e^{-st} dt = \left[ -\frac{A}{s} e^{-st} \right]_0^{\infty} = \frac{A}{s}$$

### مثال ٢ :

أوجد تحويل لابلاس لدالة  $f(t) = e^{-at}$  حيث  $a$  ثابت .

$$\mathcal{L}[e^{-at}] = \int_0^{\infty} e^{-at} e^{-st} dt = \int_0^{\infty} e^{-(a+s)t} dt = \left[ -\frac{1}{(a+s)} e^{-(a+s)t} \right]_0^{\infty} = \frac{1}{s+a}$$

### مثال ٣ :

أوجد تحويل لابلاس للدالة  $f(t) = \sin \omega t$

$$\mathcal{L}[\sin \omega t] = \int_0^{\infty} \sin \omega t e^{-st} dt = \left[ \frac{-s(\sin \omega t) e^{-st} - e^{-st} \cos \omega t}{s^2 + \omega^2} \right]_0^{\infty} = \frac{\omega}{s^2 + \omega^2}$$

### مثال ٤ :

أوجد تحويل لابلاس للمشتقة  $df/dt$

$$\mathcal{L}[df/dt] = \int_0^{\infty} (df/dt) e^{-st} dt$$

باستخدام التكامل بالتجزئ ،  $u = e^{-st}$  ،  $dv = df$  ،  $v = f$  حيث  $\int u dv = uv - \int v du$  إذن .

$$\mathcal{L}[df/dt] = \left[ e^{-st} f \right]_0^{\infty} - \int_0^{\infty} f(-se^{-st}) dt = -f(0+) + s \int_0^{\infty} f e^{-st} dt = -f(0+) + s \mathcal{F}(s)$$

حيث  $f(0+)$  هي قيمة الدالة عند الاقتراب من 0 من ناحية اليمين ، أى أن قيمة الدالة عند  $t = (0+)$  .

### مثال ٥ :

أوجد تحويل لابلاس للتكامل  $\int_0^t f(t) dt$

$$\mathcal{L}\left[\int_0^t f(t) dt\right] = \int_0^{\infty} \int_0^t f(t) dt e^{-st} dt$$

باستخدام التكامل بالتجزئ مع وضع  $dv = e^{-st} dt$  و  $u = \int f(t) dt$  إذن

$$\begin{aligned} \mathcal{L}\left[\int f(t) dt\right] &= \left[\int f(t) dt \left(-\frac{1}{s} e^{-st}\right)\right]_0^{\infty} - \int_0^{\infty} \left(-\frac{1}{s} e^{-st}\right) f(t) dt \\ &= \frac{1}{s} \int f(t) dt \Big|_{0+} + \frac{1}{s} F(s) \end{aligned}$$

حيث  $\int f(t) dt \Big|_{0+}$  هي قيمة التكامل عند  $0+$  وتكتب أيضاً  $f^{-1}(0+)$ . إذن تحويل لابلاس لتكامل هو

$$\mathcal{L}\left[\int f(t) dt\right] = \frac{1}{s} F(s) + \frac{1}{s} f^{-1}(0+)$$

ويظهر زوج التحويل أو البدائل التي حصلنا عليه في هذا المثال في الجدول ١٧ - ١.

### تطبيقات على تحليل الدوائر :

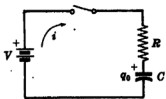
في دائرة التوال  $RC$  الموسعة في الشكل ١٧ - ٢ توجد شحنة ابتدائية  $q_0$  على المكثف بالنظرية الموسعة في الرسم . عند غلق المفتاح يؤثر مصدر الجهد الثابت  $V$  على الدائرة وتكون المعادلة التفاضلية للدائرة هي :

$$Ri + \frac{1}{C} \int i dt = V \quad (٢)$$

ونستخدم  $I(s)$  لتمثيل عن التيار في نطاق  $s$  ونأخذ تحويل لابلاس لكل حد في المعادلة (٢)

$$\mathcal{L}[Ri] + \mathcal{L}\left[\frac{1}{C} \int i dt\right] = \mathcal{L}[V] \quad (٢)$$

$$RI(s) + \frac{I(s)}{Cs} + \frac{f^{-1}(0+)}{Cs} = \frac{V}{s} \quad (٤)$$



شكل ١٧ - ٢

لدينا الآن  $f^{-1}(0+) = \int i dt \Big|_{0+} = q(0+)$  الشحنة الابتدائية  $q_0$  موجبة على اللوح العلوي للمكثف وهي نفس قطبية الشحنة المترسبة بالمصدر  $V$ . إذن الإشارة موجبة . وبالتعويض عن  $q_0$  في المعادلة (٤) نحصل على

$$RI(s) + \frac{I(s)}{Cs} + \frac{q_0}{Cs} = \frac{V}{s} \quad (٥)$$

وبإعادة ترتيب الحدود وأخذ  $I(s)$  مشترك .

جدول ١٧ - ١

نحويلات لابلاس

	$f(t)$	$F(s)$
1.	$A \quad t \geq 0$	$\frac{A}{s}$
2.	$At \quad t \geq 0$	$\frac{A}{s^2}$
3.	$e^{-at}$	$\frac{1}{s+a}$
4.	$te^{-at}$	$\frac{1}{(s+a)^2}$
5.	$\sin \omega t$	$\frac{\omega}{s^2 + \omega^2}$
6.	$\cos \omega t$	$\frac{s}{s^2 + \omega^2}$
7.	$\sin(\omega t + \theta)$	$\frac{s \sin \theta + \omega \cos \theta}{s^2 + \omega^2}$
8.	$\cos(\omega t + \theta)$	$\frac{s \cos \theta - \omega \sin \theta}{s^2 + \omega^2}$
9.	$e^{-at} \sin \omega t$	$\frac{\omega}{(s+a)^2 + \omega^2}$
10.	$e^{-at} \cos \omega t$	$\frac{(s+a)}{(s+a)^2 + \omega^2}$
11.	$\sinh \omega t$	$\frac{\omega}{s^2 - \omega^2}$
12.	$\cosh \omega t$	$\frac{s}{s^2 - \omega^2}$
13.	$df/dt$	$sF(s) - f(0+)$
14.	$\int f(t) dt$	$\frac{F(s)}{s} + \frac{f^{-1}(0+)}{s}$
15.	$f(t - t_1)$	$e^{-t_1 s} F(s)$
16.	$f_1(t) + f_2(t)$	$F_1(s) + F_2(s)$



$$(٦) \quad I(s) \left( R + \frac{1}{Cs} \right) = \frac{V}{s} - \frac{q_0}{Cs}$$

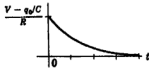
$$(٧) \quad I(s) = \frac{1}{s} (V - q_0/C) \frac{1}{(R + 1/sC)} = \frac{V - q_0/C}{R} \frac{1}{(s + 1/RC)}$$

المعادلة (٧) التي في نطاق  $s$  معادلة منشرة التيار  $i$  في نطاق الزمن. وبالتالي فإن عملية تحويل  $F(s)$  إلى  $f(t)$  تسمى معكوس تحويل لابلاس، ويرمز لها بالرمز  $\mathcal{L}^{-1}[F(s)] = f(t)$ . بالإشارة إلى الجدول ١٧ - ١ نلاحظ أن  $F(s)$  لتحويل الزوج 3 تكافئ الحد  $1/(s + 1/RC)$  في المعادلة (٧). إذن من تعريف معكوس تحويل لابلاس ومن الجدول نحصل على :

$$(٨) \quad \mathcal{L}^{-1}[I(s)] = i = \left( \frac{V - q_0/C}{R} \right) \mathcal{L}^{-1} \left[ \frac{1}{s + 1/RC} \right] = \frac{V - q_0/C}{R} e^{-t/RC}$$

المعادلة (٨) هي التيار العابر في نطاق الزمن الذي ينتج عن غلق مفتاح دائرة  $RC$  التي تحتوي على شحنة ابتدائية  $q_0$  على المكثف. وقد أدخلت الشروط الابتدائية في المعادلة (٥) في نطاق  $s$ ، وبالتالي عند أخذ معكوس التحويل فإن المعادلة الناتجة تكون محتوية على الثوابت.

لاحظ أنه بالطريقة الجبرية التي استخدمت في كتابة المعادلتين (٦) و (٧) أمكن تحويل الدالة إلى صيغة موجودة في الجدول وعلى ذلك نتحدا من الحصول على تحويل لابلاس المعاكس. يوضح الشكل ١٧ - ٣ الدالة الزمنية بالتيار الابتدائي  $(V - q_0/C)/R$ ، وإذا كان  $q_0/C = V$  فإنه لا يوجد فترة عبور ذلك لأن الشحنة الابتدائية على المكثف يكون جهدها المكافئ مساوياً للجهود المؤثر  $V$ . وإذا كانت قطبية  $q_0$  معكوسة فإن إشارة  $q_0/C$  تتغير وينتج عن ذلك تيار ابتدائي كبير نسبياً.



شكل ١٧ - ٣

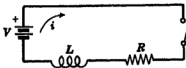
يؤثر على دائرة  $RL$  الموضحة في الشكل ١٧ - ٤ مصدر جهد ثابت  $V$  عند غلق المفتاح. ينتج من تطبيق قانون كيرشوف بعد غلق المفتاح المعادلة التالية :

$$(٩) \quad Ri + L \frac{di}{dt} = V$$

والآن بتطبيق تحويل لابلاس مباشرة على كل حد نحصل على :

$$(١٠) \quad \mathcal{L}[Ri] + \mathcal{L} \left[ L \frac{di}{dt} \right] = \mathcal{L}[V]$$

$$(١١) \quad RI(s) + sLI(s) - Li(0+) = V/s$$



شكل ١٧ - ٤

التيار الابتدائي  $i(0+)$  في دائرة الثوابت  $RL$  والذي كان لها تيار مساو للصفر قبل غلق المفتاح يساوى أيضاً صفرًا عند  $t = 0+$  . بالتوفيق عن  $i(0+) = 0$  في المعادلة (١١) نحصل على :

$$(12) \quad I(s)(R + sL) = V/s$$

$$(13) \quad I(s) = \frac{V}{s} \frac{1}{(R + sL)} = \frac{V}{L} \left( \frac{1}{s} \right) \frac{1}{(s + R/L)}$$

لا تظهر دالة المعادلة (١٣) في الجدول ١٧ - ١ ، ولكن إذا أمكن تغييرها إلى الصيغة  $A/s + B/(s + R/L)$  فإنه يمكن استخدام تحويل الزوج 3 و 1 في جزئى هذه الصيغة ، ويبنى الزوج 16 أن الدالة الزمنية الكلية هي مجموع الدالتين الزميتين ، أى أن  $\mathcal{L}^{-1}[F_1(s) + F_2(s)] = f_1(t) + f_2(t)$  . للحصول على المجموع المطلوب فإننا نضع الطرف الأيمن للمعادلة (١٣) باستثناء الثابت  $V/L$  مساوياً لمجموع كسرين كما يلي :

$$(14) \quad \frac{1}{s(s + R/L)} = \frac{A}{s} + \frac{B}{(s + R/L)} = \frac{A(s + R/L) + Bs}{s(s + R/L)}$$

والآن من البسط نحصل على المعادلة التالية في  $s$  :

$$(15) \quad 1 = (A + B)s + AR/L$$

بمساواة معاملات  $s$  ذات القوة المتساوية نحصل على :

$$(16) \quad A + B = 0, \quad A = L/R, \quad B = -L/R$$

باستخدام الكسور الجزئية الموفقة واختيار  $A$  و  $B$  المعينين سابقاً فإن المعادلة (١٣) تصبح :

$$(17) \quad I(s) = \frac{V}{L} \left( \frac{L/R}{s} + \frac{-L/R}{s + R/L} \right) = \frac{V}{R} \left( \frac{1}{s} - \frac{1}{s + R/L} \right)$$

بتطبيق التحويلين 1 و 3 في الجدول ١٧ - ١ نحصل على تعبير مبركوس التحويل التالي .

إذن :

$$(18) \quad \mathcal{L}^{-1}[I(s)] = i = \frac{V}{R} \left\{ \mathcal{L}^{-1} \left[ \frac{1}{s} \right] - \mathcal{L}^{-1} \left[ \frac{1}{s + R/L} \right] \right\}$$

$$(19) \quad i = \frac{V}{R} (1 - e^{-(R/L)t})$$

المعادلة (١٩) هي المعادلة الأسية المتعادلة وقيمة التيار في الحالة المستقرة هي  $V/R$  .

## طرق الفك :

عادة ما نحتاج إلى فك خارج القسمة في تحليل النواثر الكهربائية إلى مجموع عدة كسور وذلك للحصول على معكوس تحويلات لابلاس . وذلك لأن التيار في نطاق  $s$  عادة ما يكون نسبة بين كثيرتي حدود في  $s$

$$(٢٠) \quad I(s) = P(s)/Q(s)$$

حيث درجة  $Q(s)$  أعلى من  $P(s)$  . والمعادلة (١٤) توضح مثالا لفك خارج القسمة .

نختبر الآن طريقة فك الكسور الجزئية لحالات مختلفة كذلك التي نتحدث في فك خارج قسمة كثيرتي حدود . توجد طريقة أخرى نوردتها فيما يلى تسمى صيغة مفكوك هيثيسيد وينتج من تطبيقاتها طرق مختلفة لحساب معكوس تحويل لابلاس لخارج قسمة كثيرتي حدود .

## ١ - طريقة مفكوك الكسور الجزئية :

يمكن كتابة المعادلة (٢٠) كمجموع كسور مقام كل منها هو أحد عوامل  $Q(s)$  وبسطها ثابت . ولفك خارج القسمة  $P(s)/Q(s)$  فإننا يجب أن نعتبر جذور  $Q(s)$  . وهذه إما أن تكون حقيقية أو مركبة ولذلك فإنه ينتج لدينا ثلاث حالات .

الحالة ١ - جذور  $Q(s)$  حقيقية وغير متساوية .

اعتبر أن التيار في نطاق  $s$  يعطى بالصيغة التالية :

$$(٢١) \quad I(s) = \frac{P(s)}{Q(s)} = \frac{s-1}{s^2+3s+2}$$

بتحليل  $Q(s)$  فإنه يمكن كتابة المعادلة (٢١) على الصورة :

$$(٢٢) \quad I(s) = \frac{s-1}{(s+2)(s+1)} = \frac{A}{s+2} + \frac{B}{s+1}$$

وعندما  $s = -1$  و  $s = -2$  فإن التعبير يصبح غير محدد ويقال أنه يوجد أقطاب بسيطة عند هذه القيم لـ  $s$  ويعطى معامل القطب البسيط  $s = s_0$  بالعلاقة  $\lim_{s \rightarrow s_0} (s - s_0) I(s) = s - s_0$  . وعلى ذلك فلتعيين المعامل لقرب كلا طرفي المعادلة (٢٢) في  $(s+2)$  :

$$(٢٣) \quad \frac{s-1}{(s+2)(s+1)} (s+2) = A + \frac{B}{(s+1)} (s+2)$$

بالتعويض عن  $s = -2$  نجد أن :

$$A = \frac{s-1}{s+1} \Big|_{s=-2} = 3$$

بالفعل :

$$B = \left. \frac{s-1}{s+2} \right|_{s=-1} = -2$$

بالتعويض بهذه القيم في المعادلة (٢٢) يكون التيار في نطاق  $s$  هو

$$(٢٤) \quad I(s) = \frac{8}{s+2} + \frac{-2}{s+1}$$

مكوس تحويل لابلاس لـ  $I(s)$  الذي نحصل عليه من الجدول ١٧ - ١ هو :

$$i = 3e^{-2t} - 2e^{-t}$$

**طريقة أخرى :** بضرب طرفي المعادلة (٢٢) في  $(s+2)(s+1)$  نحصل على :

$$s-1 = A(s+1) + B(s+2) = (A+B)s + A+2B$$

والآن بمساواة معاملات  $s$  ذات القوى المتساوية نجد أن  $A+B=1$  و  $A+2B=-1$  إذن  $A=3$  و  $B=-2$  وهي نفس القيم التي حصلنا عليها سابقاً . هذه الطريقة الأخرى تؤدي إلى معادلات آتية يجب حلها للحصول على المعاملات المطلوبة ، بينما تؤدي الطريقة الأولى إلى معادلة بسيطة مستقلة لكل معامل .

**الحالة ٢ :** جلدور  $Q(s)$  حقيقية ومتساوية .

اعتبر أن التيار في نطاق  $s$  يعطى بالمعادلة :

$$(٢٥) \quad I(s) = \frac{P(s)}{Q(s)} = \frac{1}{s(s^2+6s+9)} = \frac{1}{s(s+3)^2}$$

إذن :

$$(٢٦) \quad \frac{1}{s(s+3)^2} = \frac{A}{s} + \frac{B}{s+3} + \frac{C}{(s+3)^2}$$

بضرب طرفي المعادلة (٢٦) في  $s$  ووضع  $s$  تساوى صفراً

$$A = \left. \frac{1}{(s+3)^2} \right|_{s=0} = \frac{1}{9}$$

وفي حالة الجلدور المتكررة فإن معاملات الصيغة التريينية تعطى بالعلاقة :  $I(s)(s-s_0)^2|_{s=s_0}$  إذن :

$$C = \left. \frac{1}{s} \right|_{s=-3} = -\frac{1}{3}$$

ومعامل الحد الأعلى الموافق يعطى بالعلاقة :  $\frac{d}{ds} [I(s)(s-s_0)^2] \Big|_{s=s_0}$  إذن :

$$B = \frac{d}{ds} \left( \frac{1}{s} \right) \Big|_{s=-3} = -\frac{1}{s^2} \Big|_{s=-3} = -\frac{1}{9}$$

وبالتعويض بهذه القيم في المعادلة (٢٦) فإن التيار في نطاق  $s$  يكون :

$$(٢٧) \quad I(s) = \frac{\frac{1}{2}}{s} - \frac{\frac{1}{3}}{s+3} - \frac{\frac{1}{9}}{(s+3)^2}$$

ومعكوس تحويل لابلاس هو :  $i = \frac{1}{2} - \frac{1}{3}e^{-3t} - \frac{1}{9}te^{-3t}$

**طريقة أخرى :** بفرض طرق المعادلة (٢٦) في  $s(s+3)^2$  نحصل على :

$$1 = A(s+3)^2 + Bs(s+3) + Cs = (A+B)s^2 + (6A+3B+C)s + 9A$$

وبمساواة معاملات  $s$  ذات القوى المتساوية نجد أن  $A+B=0$  و  $6A+3B+C=0$  و  $9A=1$  ، إذن  $A=1/9$  ،  $B=-1/3$  ،  $C=-1/9$  ، وهي نفس النتائج التي حصلنا عليها سابقاً .

**الحالة ٣ :** جذور  $Q(s)$  مركبة :

اعتبر أن التيار في نطاق  $s$  يعطى بالعلاقة :

$$(٢٨) \quad I(s) = \frac{P(s)}{Q(s)} = \frac{1}{s^2 + 4s + 5} = \frac{1}{(s+2+j)(s+2-j)}$$

بما أن  $Q(s)$  لها جذور مترافقة فإن الثوابت في بسط الكسور الجزئية هي أيضاً مترافقة مركبة .

إذن :

$$(٢٩) \quad \frac{1}{(s+2+j)(s+2-j)} = \frac{A}{s+2+j} + \frac{A^*}{s+2-j}$$

بفرض طرق المعادلة (٢٩) في  $(s+2+j)$  ووضع  $s = -2-j$  نحصل على :

$$A^* = -j\frac{1}{2} \text{ و } A = \frac{1}{s+2-j} \Big|_{s=-2-j} = j\frac{1}{2}$$

وبالتعويض بهذه القيم في المعادلة (٢٩) يكون التيار في نطاق  $s$  هو

$$(٢٠) \quad I(s) = \frac{j\frac{1}{2}}{s+2+j} + \frac{-j\frac{1}{2}}{s+2-j}$$

ومعكوس لابلاس هو :  $i = e^{-2t} \sin t$

**طريقة أخرى :** بفرض طرفي المعادلة (٢٩) في  $(s+2+j)(s+2-j)$  نحصل على :

$$1 = A(s+2-j) + A^*(s+2+j)$$

وبمساواة معاملات  $s$  ذات القوى المتساوية نجد أن  $A + A^* = 0$  و  $A(2-j) + A^*(2+j) = 1$  ،

$$\text{إذن : } A = -\frac{j}{4} \text{ و } A^* = \frac{j}{4}$$

## ٢ — صيغة مفكوك هيفيسيد :

نص صيغة مفكوك هيفيسيد على أن معكوس تحويل لابلاس لخارج القسمة  $I(s) = P(s)/Q(s)$  يعطى بالملاحة :

$$(٣١) \quad \mathcal{L}^{-1} \left[ \frac{P(s)}{Q(s)} \right] = \sum_{k=1}^n \frac{P(a_k)}{Q'(a_k)} e^{a_k t}$$

حيث  $a_k$  هي جذور  $Q(s)$   $n$  المتميزة .

نطبق الآن صيغة مفكوك هيفيسيد على التيار بدلالة  $s$  المعطى في الحالة السابقة :

$$(٣٢) \quad I(s) = \frac{P(s)}{Q(s)} = \frac{s-1}{s^2+3s+2} = \frac{s-1}{(s+2)(s+1)}$$

لدينا الآن  $P(s) = s-1$  و  $Q(s) = s^2+3s+2$  و  $O'(s) = 2s+3$  والجذران هما  $a_1 = -2$  و  $a_2 = -1$  إذن من المعادلة (٣١) نجد أن :

$$i = \mathcal{L}^{-1} \left[ \frac{P(s)}{Q(s)} \right] = \frac{P(-2)}{Q'(-2)} e^{-2t} + \frac{P(-1)}{Q'(-1)} e^{-t} = \frac{-3}{-1} e^{-2t} + \frac{-2}{1} e^{-t} = 3e^{-2t} - 2e^{-t}$$

## نظرية القيمة الابتدائية :

١٠٠ المثال :

$$(٣٣) \quad \mathcal{L}[df/dt] = \int_0^{\infty} (df/dt) e^{-st} dt = sF(s) - f(0+)$$

بأخذ النهاية المعادلة (٣٣) عندما  $s \rightarrow \infty$  نحصل على :

$$(٣٤) \quad \lim_{s \rightarrow \infty} \int_0^{\infty} (df/dt) e^{-st} dt = \lim_{s \rightarrow \infty} (sF(s) - f(0+))$$

يحتوى التكامل على  $e^{-st}$  الذى يقترب من الصفر عندما  $s \rightarrow \infty$  . إذن :

$$(٣٥) \quad \lim_{s \rightarrow \infty} (sF(s) - f(0+)) = 0$$

بما أن  $f(0+)$  ثابتة فإنه يمكننا كتابة (٣٥) على الصورة :

$$(٣٦) \quad f(0+) = \lim_{s \rightarrow \infty} (sF(s))$$

المعادلة (٣٦) هي نص نظرية القيمة الابتدائية . وعلى هذا فإنه يمكننا إيجاد القيمة الابتدائية لدالة الزمن  $f(t)$  بغرب الدالة المتناظرة في نطاق  $F(s)$  في  $s$  وأخذ النهاية عندما  $s \rightarrow \infty$  .

### مثال ٦ :

في دائرة  $RC$  الموضحة في الشكل ١٧-٢ إذا كان التيار بدلالة  $s$  هو  $I(s) = \frac{V - q_0/C}{R} \left( \frac{1}{(s + 1/RC)} \right)$  [ أنظر المعادلة (٧) ] فحين التيار الابتدائي  $i(0+)$  باستخدام نظرية القيمة الابتدائية .

من المعادلة (٣٦) نجد أن :

$$i(0+) = \lim_{s \rightarrow \infty} \left\{ \frac{V - q_0/C}{R} \left( \frac{s}{(s + 1/RC)} \right) \right\} = \frac{V - q_0/C}{R}$$

وهذه النتيجة موضحة في الشكل ١٧-٣ .

### نظرية القيمة النهائية :

لدينا من المثال ٤

$$(٣٧) \quad \mathcal{L}[df/dt] = \int_0^{\infty} (df/dt)e^{-st} dt = sF(s) - f(0+)$$

وبأخذ النهاية للمعادلة (٣٧) عندما  $s \rightarrow 0$  نحصل على :

$$(٣٨) \quad \lim_{s \rightarrow 0} \int_0^{\infty} (df/dt)e^{-st} dt = \lim_{s \rightarrow 0} (sF(s) - f(0+))$$

وبما أن :

$$\lim_{s \rightarrow 0} \int_0^{\infty} (df/dt)e^{-st} dt = \int_0^{\infty} df = f(\infty) - f(0)$$

$$\lim_{s \rightarrow 0} f(0+) = f(0+)$$

فإن المعادلة (٣٨) تصبح :

$$f(\infty) - f(0) = -f(0+) + \lim_{s \rightarrow 0} (s F(s))$$

أو

$$(٤٠) \quad f(\infty) = \lim_{s \rightarrow 0} (s F(s))$$

المعادلة (٤٠) هي نص نظرية القيمة النهائية . وبالتشابه مع التطبيق لنظرية القيمة الابتدائية يمكننا إيجاد القيمة النهائية لدالة الزمن  $f(t)$  بضرب الدالة المناظرة بدلالة  $s$  أى  $F(s)$  في  $s$  وأخذ النهاية عندما  $s \rightarrow 0$  . ومع ذلك فإن المعادلة (٤٠) تطبق فقط عندما تكون جميع جُذور مقام  $F(s)$  لها أجزاء حقيقية سالبة . وهذا الشرط يستبعد الدوال الجيبية لأن الدالة الجيبية محددة في مالا نهائية .

**مثال ٧ :**

في دائرة  $RL$  الموضحة في شكل ١٧-٤ إذا كان التيار في نطاق  $s$  هو  $I(s) = \frac{V}{R} \left\{ \frac{1}{s} - \frac{1}{s + R/L} \right\}$  [ أنظر المعادلة (١٧) ] فحين القيمة النهائية للتيار .

من المعادلة (٤٠) نجد أن :

$$i(\infty) = \lim_{s \rightarrow 0} \frac{V}{R} \left\{ \frac{s}{s} - \frac{s}{s + R/L} \right\} = V/R$$

**دوائر نطاق  $s$  :**

معادلة دائرة التوالى  $RLC$  الموضحة في الشكل ١٧-٥ هي :

$$(٤١) \quad Ri + L \frac{di}{dt} + \frac{1}{C} \int i dt = v$$

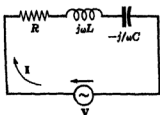
وقد حلت هذه المعادلة التكاملية - التفاضلية في الفصل السادس عشر بالطرق التقليدية .

في الحالة الجيبية المستقرة يكون لعناصر الدائرة الثلاثة  $R$  و  $L$  و  $C$  معاملات مركبة تعطى بدلالة  $\omega$  ، وتعرف بـ  $R$  و  $j\omega L$  و  $1/j\omega C$  على الترتيب . وعلى هذا فإن معادلة الدائرة تتحول من نطاق الزمن إلى نطاق الدبذبة ، وبهذا التحويل تصبح الجهود والتيارات مطاوعة . والآن فإن معادلة دائرة التوالى  $RLC$  الموضحة في الشكل ١٧-٦ هي :

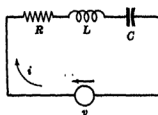
$$(٤٢) \quad RI + j\omega LI + (1/j\omega C)I = V$$



والميزة التي نحصل عليها من هذا التحويل هي أنه يمكن معالجة المعادلة المحولة جبرياً للحصول على التيار المطاوع  $I$  . والمربوط في الجهود المختلفة هي ببساطة حاصل ضرب التيار المطاوع في معاوقة عنصر الدائرة .

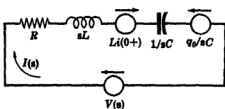


شكل ١٧ - ٦



شكل ١٧ - ٥

ينتج من طريقة تحويل لابلاس لتحويل المربوط في الجهد  $Ri$  في نطاق الزمن إلى  $RI(s)$  في نطاق  $s$  . وبالمثل فإن الجهد عبر  $sLI(s) - Li(0+)$  يصبح  $L(di/dt)$  والجهد عبر مكثف ما



شكل ١٧ - ٧

$$\frac{1}{sC}I(s) + \frac{q_0}{sC} \text{ يصبح } \frac{1}{C} \int i dt$$

إذن معادلة دائرة التوالى الموضحة في الشكل ١٧ - ٧ تكون :

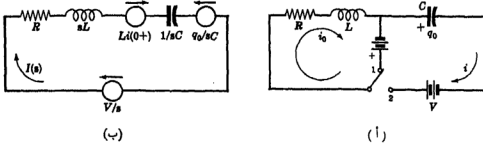
$$(٤٣) \quad RI(s) + sLI(s) - Li(0+) + \frac{1}{sC}I(s) + \frac{q_0}{sC} = V(s)$$

أ،

$$(٤٤) \quad I(s)(R + sL + 1/sC) = V(s) - q_0/sC + Li(0+)$$

في المعادلة (٤٤) ،  $R + sL + 1/sC$  هي المعاوقة  $Z(s)$  في نطاق  $s$  ؛ وهي النسبة بين الإثارة إلى الاستجابة . تأخذ  $Z(s)$  نفس شكل المعاوقة المركبة فعالة الجيبية المستقرة ،  $R + j\omega L + 1/j\omega C$  . ويمكن تطبيق معادلات طريقة كل من تيار الشبكة وجهة المقدة في التحليل ببساطة على الدوائر بدلالة  $s$  طالما أن الإشارات السليمة قد استخدمت في حدى الشرط الابتدائي  $Li(0+)$  و  $q_0/sC$  .

استعمل الدائرة الموضحة في الشكل ١٧ - ٨ (أ) والتي يمر فيها تيار ابتدائي  $i_0$  بينما كان المفتاح في الموضع 1 . عند  $t = 0$  يتحرك المفتاح إلى الموضع 2 وبذلك يدخل إلى الدائرة مصدر جهد ثابت  $V$  ومكثف ذات شحنة ابتدائية  $q_0$  . ولقد اختير الاتجاه الموجب للتيار المقروء في اتجاه عقارب الساعة ، كما هو موضح بالرسم .



شكل ١٧ - ٨

الآن يحول المصدر الثابت إلى  $V/s$  والتيار الناتج إلى  $I(s)$  كما هو موضح في الشكل ١٧ - ٨ (ب). حدود الشرط الابتدائي الآن هي مصادر اتجاهها كما هو موضح وتكون المعادلة المناظرة مطابقة للمعادلة  $i(0+)$ . ولتتبع ابتدائي  $i_0$  في عكس الاتجاه أو شحنة  $q_0$  بإشارة معاكسة فإن إشارات الحدين  $L i(0+)$  و  $q_0/sC$  تتغير بالتالي. والأشلة الآتية توضح كيف أن المعادلات في نطاق  $s$  مشابهة للمعادلات المطاوعة التي سبق علاجها في هذا الكتاب. وجميع نظريات الشبكات الكهربائية التي تطبق على الحالة الجيبية المستقرة لها ما يقابلها في نطاق  $s$ .

### مثال ٨ :

في الشبكة الكهربائية ذات الشبكتين الفرعيتين والموضحة في الشكل ١٧ - ٩ ، اختير تيار الشبكة بدلالة  $s$  كما هو موضح في الرسم. فإذا أغلق المفتاح عند  $t = 0$  فأوجد معادلتين  $I_1(s)$  و  $I_2(s)$ .

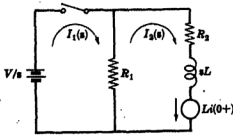
عند غلق المفتاح يؤثر المصدر  $V/s$  على الشبكة الكهربائية وتكون معادلتا تيار الشبكة هما :

$$R_1 I_1(s) - R_1 I_2(s) = V/s$$

$$(R_1 + R_2 + sL) I_2(s) - R_1 I_1(s) = L i(0+)$$

وبما أن التيار الابتدائي في الملف يساوى صفراً فإن المعادلات في الصيغة المصفوفية تكون

$$\begin{bmatrix} R_1 & -R_1 \\ -R_1 & R_1 + R_2 + sL \end{bmatrix} \begin{bmatrix} I_1(s) \\ I_2(s) \end{bmatrix} = \begin{bmatrix} V/s \\ 0 \end{bmatrix}$$



شكل ١٧ - ٩

والآن نحصل على معادلي  $I_1(s)$  و  $I_2(s)$  المستقلين إما بالتمويض أو بطريقة المحددات ، والمادلتان الناتجتان هما :

$$I_2(s) = \frac{V}{s} \frac{1}{(R_2 + sL)} \quad , \quad I_1(s) = \frac{V}{s} \left[ \frac{R_1 + R_2 + sL}{R_1(R_2 + sL)} \right]$$

### مثال ٩ :

اكتب معادلة جهد العقدة في نطاق  $s$  للشبكة الكهربائية الموضحة في الشكل ١٧ - ١١ .

نختار العقدة 1 وعقدة الإسناد كما هو موضح في الرسم وعند غلق المفتاح تكون معادلة العقدة هي :

$$\frac{V_1(s) - V/s - L i(0+)}{sL} + \frac{V_1(s)}{R_1} + \frac{V_1(s)}{R_2} = 0$$

أو

$$(1/sL + 1/R_1 + 1/R_2) V_1(s) = \frac{V/s + L i(0+)}{sL}$$

شكل ١٧ - ١٠

وبما أن التيار الابتدائي في الملف يساوي صفراً ، إذن فالمعادلة لجهد العقدة  $V_1(s)$  هي

$$V_1(s) = \frac{V}{s} \left( \frac{R_1 R_2}{R_1 R_2 + sL R_2 + sL R_1} \right)$$

### مثال ١٠ :

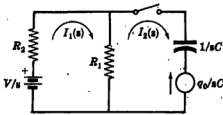
اكتب معادلات تيار الشبكة في نطاق  $s$  للشبكة الكهربائية الموضحة في الشكل ١٧ - ١١ علماً بأنه يوجد على المكثف شحنة ابتدائية  $q_0$  عند الزمن الذي أغلق عنده المفتاح .  
نختار تيارات الشبكة كما هو موضح في الرسم .  
بتطبيق قانون كير شوف على المسارين المغلقين ينتج :

$$(R_1 + R_2) I_1(s) - R_1 I_2(s) = V/s$$

و

$$(R_1 + 1/sC) I_2(s) - R_1 I_1(s) = -q_0/sC$$

شكل ١٧ - ١١



وبكتابة هاتين المادلتين في الصيغة المصفوفية نحصل على :

$$\begin{bmatrix} R_1 + R_2 & -R_1 \\ -R_1 & R_1 + 1/sC \end{bmatrix} \begin{bmatrix} I_1(s) \\ I_2(s) \end{bmatrix} = \begin{bmatrix} V/s \\ -q_0/sC \end{bmatrix}$$

### مسائل محلولة

١٧-١ أوجد تحويل لابلاس للدالة  $e^{-at} \cos \omega t$  حيث  $a$  ثابت .

نطبق المعادلة المعروفة  $\mathcal{L}[f(t)] = \int_0^{\infty} f(t)e^{-st} dt$  على الدالة المطلوبة نحصل على :

$$\begin{aligned} \mathcal{L}[e^{-at} \cos \omega t] &= \int_0^{\infty} \cos \omega t e^{-(s+a)t} dt \\ &= \left[ \frac{-(s+a) \cos \omega t e^{-(s+a)t} + e^{-(s+a)t} \omega \sin \omega t}{(s+a)^2 + \omega^2} \right]_0^{\infty} \\ &= \frac{s+a}{(s+a)^2 + \omega^2} \end{aligned}$$

١٧-٢ إذا كان  $\mathcal{L}[f(t)] = F(s)$  فبين أن  $\mathcal{L}[e^{-at} f(t)] = F(s+a)$ . طبق هذه النتيجة على المسألة ١٧-١ .

لدينا من التعريف أن :  $\mathcal{L}[f(t)] = \int_0^{\infty} f(t)e^{-st} dt = F(s)$  . إذن

$$(١) \quad \mathcal{L}[e^{-at} f(t)] = \int_0^{\infty} e^{-at} [f(t)e^{-st}] dt = \int_0^{\infty} f(t)e^{-(s+a)t} dt = F(s+a)$$

وحيث أن  $\mathcal{L}[\cos \omega t] = \frac{s}{s^2 + \omega^2}$  ، (أنظر الجدول ١٧-١) ، ينتج من (١) أن

$$\mathcal{L}[e^{-at} \cos \omega t] = \frac{s+a}{(s+a)^2 + \omega^2} \quad , \quad \text{كما تبين في المسألة ١٧-١ .}$$

١٧-٣ أوجد تحويل لابلاس للدالة  $f(t) = 1 - e^{-at}$  حيث  $a$  ثابت

لدينا

$$\begin{aligned} \mathcal{L}[1 - e^{-at}] &= \int_0^{\infty} (1 - e^{-at})e^{-st} dt = \int_0^{\infty} e^{-st} dt - \int_0^{\infty} e^{-(s+a)t} dt \\ &= \left[ -\frac{1}{s} e^{-st} + \frac{1}{s+a} e^{-(s+a)t} \right]_0^{\infty} = \frac{1}{s} - \frac{1}{s+a} = \frac{a}{s(s+a)} \end{aligned}$$

$$\mathcal{L}^{-1} \left[ \frac{1}{s(s^2 - a^2)} \right] \quad \text{أوجد} \quad 17 - 4$$

باستخدام طريقة الكسور الجزئية

$$\frac{1}{s(s^2 - a^2)} = \frac{A}{s} + \frac{B}{s + a} + \frac{C}{s - a}$$

والمعاملات هي :

$$A = \frac{1}{s^2 - a^2} \Big|_{s=0} = -\frac{1}{a^2} \quad B = \frac{1}{s(s-a)} \Big|_{s=-a} = \frac{1}{2a^2} \quad C = \frac{1}{s(s+a)} \Big|_{s=a} = \frac{1}{2a^2}$$

$$\mathcal{L}^{-1} \left[ \frac{1}{s(s^2 - a^2)} \right] = \mathcal{L}^{-1} \left[ \frac{-1/a^2}{s} \right] + \mathcal{L}^{-1} \left[ \frac{1/2a^2}{s+a} \right] + \mathcal{L}^{-1} \left[ \frac{1/2a^2}{s-a} \right]$$

والدالة الزمنية المناظرة موجودة في الجدول ١٧ - ١

$$\begin{aligned} \mathcal{L}^{-1} \left[ \frac{1}{s(s^2 - a^2)} \right] &= -\frac{1}{a^2} + \frac{1}{2a^2} e^{-at} + \frac{1}{2a^2} e^{at} \\ &= -\frac{1}{a^2} + \frac{1}{a^2} \left( \frac{e^{at} + e^{-at}}{2} \right) = \frac{1}{a^2} (\cosh at - 1) \end{aligned}$$

$$\mathcal{L}^{-1} \left[ \frac{s+1}{s(s^2 + 4s + 4)} \right] \quad \text{أوجد} \quad 17 - 5$$

باستخدام طريقة الكسور الجزئية نحصل عل

$$\frac{s+1}{s(s+2)^2} = \frac{A}{s} + \frac{B}{s+2} + \frac{C}{(s+2)^2}$$

$$C = \frac{s+1}{s} \Big|_{s=-2} = \frac{1}{2} \quad \text{و} \quad A = \frac{s+1}{(s+2)^2} \Big|_{s=0} = \frac{1}{4}$$

ومعاملات الحدود التربيعية هي

$$B = \frac{d}{ds} \left[ \frac{s+1}{s} \right] \Big|_{s=-2} = -\frac{1}{s^2} \Big|_{s=-2} = -\frac{1}{4}$$

$$\mathcal{L}^{-1} \left[ \frac{s+1}{s(s^2 + 4s + 4)} \right] = \mathcal{L}^{-1} \left[ \frac{\frac{1}{4}}{s} \right] + \mathcal{L}^{-1} \left[ \frac{-\frac{1}{4}}{s+2} \right] + \mathcal{L}^{-1} \left[ \frac{\frac{1}{2}}{(s+2)^2} \right]$$

والدالة الزمنية المناظرة موجودة في الجدول ١٧ - ١

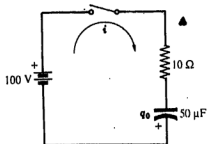
$$\mathcal{L}^{-1} \left[ \frac{s+1}{s(s^2 + 4s + 4)} \right] = \frac{1}{4} - \frac{1}{4} e^{-2t} + \frac{1}{2} t e^{-2t}$$

١٧-١٢ في دائرة التوالي المكونة من  $RC$  والموضحة في الشكل ١٧-١٢

كان على المكثف شحنة ابتدائية  $q_0 = 2500 \times 10^{-6} \text{ coulombs}$

وعند  $t = 0$  أغلق المفتاح وأمر جهد ثابت  $V = 100 \text{ volts}$

على الدائرة . استخدم تحويل لابلاس لتحصل على التيار .



شكل ١٧-١٢

إن معادلة الدائرة المطقة في نطاق الزمن بعد غلق المفتاح هي

$$Ri + \frac{1}{C} \int i dt = V$$

$$10i + \frac{1}{50 \times 10^{-6}} \int i dt = 100$$

وبأخذ تحويل لابلاس لحدود المعادلة (١) نحصل على المعادلة في نطاق  $s$

$$(2) \quad 10I(s) + \frac{I(s)}{50 \times 10^{-6} s} + \frac{q_0}{50 \times 10^{-6} s} = \frac{100}{s}$$

وقطبية  $q_0$  الموضحة في الرسم تماكس قطبية الشحنة التي يربسها المصدر على المكثف ، إذن المعادلة في نطاق  $s$  هي

$$(3) \quad 10I(s) + \frac{I(s)}{50 \times 10^{-6} s} - \frac{2500 \times 10^{-6}}{50 \times 10^{-6} s} = \frac{100}{s}$$

$$(4) \quad I(s) \left\{ \frac{10s + 2 \times 10^4}{s} \right\} = \frac{150}{s} \quad \text{وبإعادة ترتيب الحدود}$$

$$(5) \quad I(s) = \frac{15}{s + 2 \times 10^3}$$

ونحصل على البالة الزمنية الآن بأخذ مكموس تحويل لابلاس للمعادلة (٥)

$$i = \mathcal{L}^{-1} \left[ \frac{15}{s + 2 \times 10^3} \right] = 15e^{-2 \times 10^3 t} \text{ amperes}$$

إذا كانت الشحنة الابتدائية  $q_0$  موجبة على ألوح الملوى للمكثف . تكون إشارة  $q_0/sC$  في المعادلة (٣)

موجبة . إذن يصبح الطرف الأيمن في المعادلة (٤)  $50/s$  ، وعلى ذلك يتولد التيار المأبر  $5e^{-2 \times 10^3 t} \text{ amperes}$  .

١٧-٧ في دائرة  $RL$  الموضحة في الشكل ١٧-١٣ وضع المفتاح في الموضع 1 لفترة زمنية كافية للوصول إلى شروط الحالة

المستقرة ، وعند  $t = 0$  تحرك المفتاح إلى الموضع 2 . أوجد التيار الناتج .

نفرض أن اتجاه التيار كما هو موضحاً في الرسم . إذن

$$i_0 = -50/25 = -2 \text{ A}$$

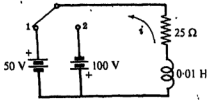
والمعادلة بدلالة الزمن هي

$$(1) \quad 25i + 0.01(di/dt) = 100$$

وبأخذ تحويل لابلاس للمعادلة (١)

$$(2) \quad 25 I(s) + 0.01sI(s) - 0.01 I(0+) = 100/s$$

وبالتعويض عن  $I(0+)$  نجد



شكل ١٣ - ١٧

$$(3) \quad 25 I(s) + 0.01s I(s) + 0.01(2) = 100/s$$

$$(4) \quad I(s) = \frac{100}{s(0.01s + 25)} = \frac{0.04}{0.01s + 25} = \frac{10^4}{s(s + 2500)} = \frac{2}{s} - \frac{2}{s + 2500}$$

وبفك  $\frac{10^4}{s(s + 2500)}$  في المعادلة (٤) بطريقة الكسور الجزئية

$$(5) \quad \frac{10^4}{s(s + 2500)} = \frac{A}{s} + \frac{B}{s + 2500}$$

$$B = \frac{10^4}{s + 2500} \Big|_{s = -2500} = -4 \quad \text{و} \quad A = \frac{10^4}{s + 2500} \Big|_{s = 0} = 4 \quad \text{إذن}$$

وبالتعويض بهذه القيم في المعادلة (٤) ينتج

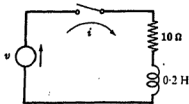
$$(6) \quad I(s) = \frac{4}{s} - \frac{4}{s + 2500} = \frac{2}{s} - \frac{6}{s + 2500}$$

وبأخذ معكوس تحويل لابلاس للمعادلة (٦) ، نحصل على  $4 - 6e^{-2500t}$  amperes

٨ - ١٧ إذا أثر على دائرة التوالي  $RL$  الموضحة في الشكل ١٤ - ١٧ جهد

أسي يعطى بالعلاقة  $v = 50e^{100t}$  volts . وذلك بفعل المفتاح

عند  $t = 0$  فأوجد التيار الناتج .



شكل ١٤ - ١٧

$$(1) \quad Ri + L(di/dt) = v$$

وتأخذ هذه المعادلة في نطاق  $s$  الشكل

$$(2) \quad RI(s) + sLI(s) - LI(0+) = V(s)$$

بالتعويض عن ثوابت الدائرة والمصدر بمد تحويله إلى  $V(s) = 50/(s + 100)$  في المادة (٢) نجد

$$(٢) \quad I(s) = \frac{250}{(s+100)(s+50)} \quad \text{أو} \quad 10 I(s) + s(-2) I(s) = \frac{50}{s+100}$$

بإستخدام صيغة مفكوك هيثميد  $\mathcal{L}^{-1} \left[ \frac{P(s)}{Q(s)} \right] = \sum_{n=1,2} \frac{P(a_n)}{Q'(a_n)}$  مع

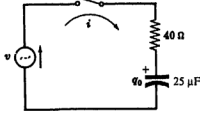
حيث  $P(s) = 250$  و  $Q(s) = s^2 + 150s + 5000$  و  $Q'(s) = 2s + 150$  و  $a_1 = -100$  و  $a_2 = -50$  . إذن

$$i = \mathcal{L}^{-1} [I(s)] = \frac{250}{-50} e^{-100t} + \frac{250}{50} e^{-50t} = -5e^{-100t} + 5e^{-50t} \text{ amperes}$$

٩-١ يؤثر على دائرة التوال  $RC$  الموجسة في الشكل ١٥-١ مصدر

جهد جبري  $v = 180 \sin(2000t + \phi)$  volt فإذا كان على المكثف شحنة ابتدائية  $q_0 = 1250 + 10^{-6}$  coulombs بالقلمية الموجسة في الرسم . فبين التيار علماً بأن المفتاح أغلق عند الزمن الذي كانت عنده  $\phi = 90^\circ$  .

معادلة الدائرة بدلالة الزمن هي



شكل ١٥-١

$$(١) \quad 40i + \frac{1}{25 \times 10^{-6}} \int i dt = 180 \sin(2000t + 90^\circ)$$

وننتج من تحويل لابلاس للمعادلة (١) معادلة في نطاق  $s$

$$(٢) \quad 40 I(s) + \frac{1}{25 \times 10^{-6} s} I(s) + \frac{q_0}{25 \times 10^{-6} s} = 180 \left\{ \frac{s \sin 90^\circ + 2000 \cos 90^\circ}{s^2 + 4 \times 10^4} \right\}$$

وبالتعويض عن الشحنة  $q_0$  في المعادلة (٢) ينتج

$$(٣) \quad 40 I(s) + \frac{4 \times 10^4}{s} I(s) + \frac{1250 \times 10^{-6}}{25 \times 10^{-6} s} = \frac{180 s}{s^2 + 4 \times 10^4} \quad \text{أو}$$

$$I(s) = \frac{4.5 s^2}{(s^2 + 4 \times 10^4)(s + 10^3)} - \frac{1.25}{s + 10^3}$$

وبتطبيق صيغة مفكوك هيثميد على الحد  $\frac{4.5 s^2}{(s^2 + 4 \times 10^4)(s + 10^3)}$  في المعادلة (٤) ، نحصل على  $4.5 s^2$  .  $P(s)$

و  $Q(s) = s^3 + 10^3 s^2 + 4 \times 10^4 s + 4 \times 10^7$  و  $Q'(s) = 3s^2 + 2 \times 10^3 s + 4 \times 10^4$  . إذن  $a_1 = -j2 \times 10^2$  و  $a_2 = j2 \times 10^2$  و  $a_3 = 10^3$  .

$$(٤) \quad i = \frac{P(-j2 \times 10^2)}{Q'(-j2 \times 10^2)} e^{-j2 \times 10^2 t} + \frac{P(j2 \times 10^2)}{Q'(j2 \times 10^2)} e^{j2 \times 10^2 t} + \frac{P(10^3)}{Q'(10^3)} e^{-10^3 t} = 1.25 e^{-10^3 t} \text{ amperes}$$

$$+ (1.8 - j0.9) e^{-j2 \times 10^2 t} + (1.8 + j0.9) e^{j2 \times 10^2 t} = 0.35 e^{-10^3 t} \text{ amperes}$$

$$+ 1.8 \sin 2000t + 3.6 \cos 2000t = 0.35 e^{-10^3 t} \text{ amperes}$$

$$4.02 \sin(2000t + 116.6^\circ) + 0.35 e^{-10^3 t} \text{ amperes}$$



عند  $t = 0$  يعطى التيار بقسمة الجهد الحثلي المكون من جهد المصدر وجهد المكثف المشحون على المقاومة إذن

$$i_0 = \left( 180 \sin 90^\circ - \frac{1250 \times 10^{-6}}{25 \times 10^{-6}} \right) / 40 = 3.25 \text{ A}$$

ونحصل على نفس النتيجة إذا وضعنا  $\phi = 0$  في المعادلة (٤)

١٧-١٠ في دائرة التوالي  $RL$  الموضحة في الشكل ١٧-١٦ يعطى مصدر

الجهد الجبري بالعلاقة  $v = 100 \sin(500t + \phi)$  volts

عين التيار الناتج إذا أطلق المفتاح عندما كانت  $\phi = 0$ .

المعادلة العامة في نطاق  $s$  لدائرة  $RL$  على التوالي هي

$$(١) \quad R I(s) + s L I(s) - L i(0^-) = V(s)$$

وتحويل المصدر عند  $\phi = 0$  هو  $V(s) = \frac{500(100)}{s^2 + (500)^2}$

وحيث أنه لا يوجد تيار ابتدائي في الملف؛  $L i(0^-) = 0$

بالتعويض عن ثوابت الدائرة في المعادلة (١)

$$(٢) \quad I(s) = \frac{5 \times 10^6}{(s^2 + 25 \times 10^4)(s + 500)} \quad \text{و} \quad 5 I(s) + 0.01 s I(s) = \frac{5 \times 10^4}{s^2 + 25 \times 10^4}$$

وبذلك (٢) باستخدام الكسور الجزئية

$$(٣) \quad I(s) = 5 \left( \frac{-1+j}{s+j500} \right) + 5 \left( \frac{-1-j}{s-j500} \right) + \frac{10}{s+600}$$

ويكون معكوس لابلاس للمعادلة (٣) هو

$$i = 10 \sin 500t - 10 \cos 500t + 10e^{-500t} = 10e^{-500t} + 14.14 \sin(500t - \pi/4) \text{ amperes}$$

١٧-١١ في المسألة ١٧-١٠ ، بكتابة حالة الجهد

$$(١) \quad v = 100e^{j500t} \text{ volts}$$

تكون قد أدخلنا حد جيب تمام في مصدر الجهد. عين تيار الدائرة في المسألة ١٧-١٠ باستخدام المعادلة (١).

عندما  $v = 100e^{j500t}$  فإن  $V(s) = 100/(s - j500)$  والمعادلة في نطاق  $s$  هي

$$(٢) \quad I(s) = 10^4/(s - j500)(s + 500) \quad \text{و} \quad 5 I(s) + 0.01 s I(s) = 100/(s - j500)$$

وباستخدام الكسور الجزئية نجد

$$(٣) \quad I(s) = \frac{10 - j10}{s - j500} + \frac{-10 + j10}{s + 500}$$

والآن بأخذ معكوس تحويل لابلاس للمعادلة (٣) ، تكون دالة التيار الزمنية المناظرة هي

$$= (10 - j10)e^{j500t} + (-10 + j10)e^{-500t} \text{ amperes}$$

$$= 14.14e^{j(500t - \pi/4)} + (-10 + j10)e^{-500t} \text{ amperes}$$

$$= 14.14(\cos(500t - \pi/4) + j \sin(500t - \pi/4)) + (-10 + j10)e^{-500t} \text{ amperes.}$$

وحيث أن مصدر الجهد في المسألة ١٧-١٠ يتجوى فقط على الجزء التحليل للمعادلة (٤) .

$$i = 14.14 \sin(500t - \pi/4) : 10e^{-500t} \text{ amperes}$$

١٧-١٧ إذا كان في دائرة التوالي  $RLC$  الموضحة في الشكل ١٧-١٧ .

لا يوجد شحنة ابتدائية على المكثف . وأغلق المفتاح عند  $t = 0$  .  
فبين التيار الناتج .

معادلة الدائرة بدلالة الزمن هي

$$(1) \quad Ri + L \frac{di}{dt} + \frac{1}{C} \int i dt = V$$

وينتج من تحويل لابلاس لحاود المعادلة (١) معادلة في نطاق  $s$  هي

$$17-17 \quad (2) \quad R I(s) + sL I(s) - L i(0+) + \frac{1}{sC} I(s) + \frac{q_0}{sC} = \frac{V}{s}$$

ونجد من الشروط الابتدائية أن  $0 = L i(0+) , q_0/sC = 0$  . وبالتعميم عن ثوابت الدائرة في المعادلة (٢) نحصل على

$$(3) \quad 2 I(s) + 1s I(s) + \frac{1}{0.5s} I(s) = \frac{50}{s}$$

$$(4) \quad I(s) = \frac{50}{s^2 + 2s + 2} = \frac{50}{(s+1+j)(s+1-j)} \quad \text{أو}$$

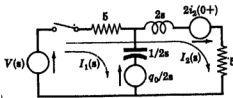
وبفك المعادلة (٤) بطريقة الكسور الجزئية نجد أن

$$(5) \quad I(s) = \frac{j25}{(s+1+j)} - \frac{j25}{(s+1-j)}$$

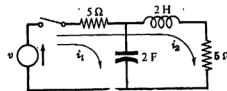
وينتج من معكوس تحويل لابلاس للمعادلة (٥) التيار بدلالة الزمن

$$i = j25(e^{(-1-j)t} - e^{(-1+j)t}) = 50e^{-t} \sin t \text{ amperes}$$

١٧-١٣ في الشريكتين الفرعيتين للشبكة الكهربائية الموضحة في الشكل ١٧-١٨ ، اختيرا تيارا الشبكة كما هو موضح في الرسم . اكتب معادلات نطاق  $s$  في الصيغة المصفوفية ثم معمم الدائرة المناظرة .



شكل ١٧-١٨



شكل ١٧-١٨

اكتب مجموعة المعادلات بدلالة الزمن

$$(1) \quad 10i_2 + 2(di_2/dt) + 5i_1 = v \quad \text{و} \quad 5i_1 + \frac{1}{2} \int i_1 dt + 5i_2 = v$$

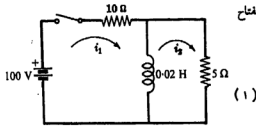
نأخذ تحويل لابلاس للمعادلة (١) لنحصل على المعادلات المتناظرة في نطاق  $s$

$$(٢) \quad 5I_1(s) + \frac{1}{2s}I_1(s) + \frac{q_0}{2s} + 5I_2(s) = V(s) \quad 10I_2(s) + 2sI_2(s) - 2i_2(0+) + 5I_1(s) = V(s)$$

عند كتابة معادلات نطاق  $s$  في الصيغة المصفوفية فإنه يمكن تمثيل الدائرة في نطاق  $s$  بنفس مصفوفات  $Z(s)$  و  $I(s)$  و  $V(s)$  (أنظر الشكل ١٧ - ١٩)

$$\begin{bmatrix} 5 + 1/2s & 5 \\ 5 & 10 + 2s \end{bmatrix} \begin{bmatrix} I_1(s) \\ I_2(s) \end{bmatrix} = \begin{bmatrix} V(s) - q_0/2s \\ V(s) + 2i_2(0+) \end{bmatrix}$$

١٧ - ١٩ في الشيكيتين الفرعيتين للشبكة الكهربائية الموضحة في الشكل ١٧ - ٢٠ ، أوجد التيارين الناتجين عند غلق المفتاح



شكل ١٧ - ٢٠

المعادلات بدلالة الزمن للشبكة الكهربائية هي

$$\begin{aligned} 10i_1 + 0.02 \frac{di_1}{dt} - 0.02 \frac{di_2}{dt} &= 100 \\ 0.02 \frac{di_2}{dt} + 5i_2 - 0.02 \frac{di_1}{dt} &= 0 \end{aligned}$$

بأخذ تحويل المجموعة (١) ،

$$(٢) \quad (10 + 0.02s)I_1(s) - 0.02I_2(s) = 100/s \quad (5 + 0.02s)I_2(s) - 0.02sI_1(s) = 0$$

من المعادلة الثانية في المجموعة (٢) ، نجد أن

$$(٣) \quad I_2(s) = I_1(s) \left( \frac{s}{s + 250} \right)$$

وبالتعويض بها في معادلة نطاق  $s$  الأولى نحصل على

$$(٤) \quad (10 + 0.02s)I_1(s) - 0.02s \left\{ I_1(s) \left( \frac{s}{s + 250} \right) \right\} = \frac{100}{s}$$

$$(٥) \quad I_1(s) = 6.67 \left\{ \frac{s + 250}{s(s + 166.7)} \right\} \quad \text{أو}$$

والآن بتطبيق طريقة الكسور الجزئية على المعادلة (٥) ، نجد

$$(٦) \quad i_1 = 10 - 3.33e^{-166.7t} \text{ amperes} \quad I_1(s) = \frac{10}{s} - \frac{3.33}{s + 166.7}$$

وأيضاً بالتعويض بالمعادلة (٥) في المعادلة (٣) نحصل على المعادلة في نطاق  $s$

$$(٧) \quad i_2 = 6.67e^{-166.7t} \text{ amperes} \quad I_2(s) = 6.67 \left\{ \frac{s + 250}{s(s + 166.7)} \right\} \frac{s}{s + 250} = 6.67 \left( \frac{1}{s + 166.7} \right)$$

١٥ - ١٧ طبق نظريتي القيمة الابتدائية والنهائية على معادلتى نطاق  $s$  ،  $I_1(s)$  و  $I_2(s)$  في المسألة ١٧ - ١٤ .

إن معادلتى نطاق  $s$  من المسألة ١٧ - ١٤ هما

$$I_2(s) = 6.67 \left( \frac{1}{s + 166.7} \right) \quad I_1(s) = 6.67 \left\{ \frac{s + 250}{s(s + 166.7)} \right\}$$

والآن نحل القيمة الابتدائية لتيار  $i_1$  بالملافة

$$i_1(0) = \lim_{s \rightarrow \infty} [s I_1(s)] = \lim_{s \rightarrow \infty} \left[ 6.67 \left( \frac{s + 250}{s + 166.7} \right) \right] = 6.67 \text{ A}$$

والقيمة النهائية بالملافة

$$i_1(\infty) = \lim_{s \rightarrow 0} [s I_1(s)] = \lim_{s \rightarrow 0} \left[ 6.67 \left( \frac{s + 250}{s + 166.7} \right) \right] = 6.67(250/166.7) = 10 \text{ A}$$

والقيمة الابتدائية لتيار  $i_2$  هي

$$i_2(0) = \lim_{s \rightarrow \infty} [s I_2(s)] = \lim_{s \rightarrow \infty} \left[ 6.67 \left( \frac{s}{s + 166.7} \right) \right] = 6.67 \text{ A}$$

والقيمة النهائية هي

$$i_2(\infty) = \lim_{s \rightarrow 0} [s I_2(s)] = \lim_{s \rightarrow 0} \left[ 6.67 \left( \frac{s}{s + 166.7} \right) \right] = 0$$

إن فحص دائرة الشكل ١٧ - ٢٠ يحقق كلا من القيم الابتدائية والنهائية السابقة . عند لحظة غلق المفتاح تكون معاوقة الحث لانهائية ويكون التيار  $i_1 = i_2 = 100/(10 + 5) = 6.67 \text{ A}$ . إذن في الحالة المستقرة يظهر الحث كدائرة مغلقة ، إذن  $i_2 = 10 \text{ A}$  و  $i_1 = 0$ .

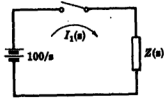
١٦ - ١٧ بالإشارة إلى دائرة الشكل ١٧ - ٢٠ ، أوجد المعاوقة المكافئة للشبكة الكهربائية وصمم الدائرة باستخدام هذه المعاوقة .

في نطاق  $s$  تكون معاوقة الحث  $0.02 \text{ H}$  هي  $Z(s) = 0.02s$  والتي يمكن معالجتها تماماً مثل  $j\omega L$  في الحالة المستقرة الجيبية . وكل ذلك فإن المعاوقة المكافئة للشبكة الكهربائية عند النظر إليها من المصدر تكون

$$(١) \quad Z(s) = 10 + \frac{0.02s(5)}{0.02s + 5} = \frac{0.3s + 50}{0.02s + 5} = 15 \frac{s + 166.7}{s + 250}$$

ويوضح الشكل ١٧ - ٢١ الدائرة المحتوية على المعاوقة المكافئة.

والتيار هو



$$I_1(s) = \frac{V(s)}{Z(s)} = \frac{100}{s} \left\{ \frac{s + 250}{15(s + 166.7)} \right\} = 6.67 \left\{ \frac{s + 250}{s(s + 166.7)} \right\}$$

وهذا التعبير مطابق للمعادلة (٥) في المسألة ١٧ - ١٢ ، وعلى ذلك

فالدالة الزمنية هي  $i_1 = 10 - 3.33e^{-166.7t}$  amperes

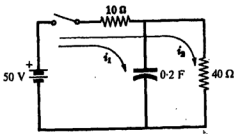
شكل ٢١ - ١٧

١٧ - ١٧ في الشبكتين الفرعيتين للشبكة الكهربائية الموضحة

في الشكل ١٧ - ٢٢ لا يوجد شحنة ابتدائية على المكثف .

أوجد تيارى الشبكتين الناتجين عند غلق المفتاح عند  $t = 0$ .

معادلة الدائرة بدلالة الزمن هي



$$(١) \quad 10i_1 + \frac{1}{0.2} \int i_1 dt + 10i_2 = 50$$

$$50i_2 + 10i_1 = 50$$

شكل ٢٢ - ١٧

والمعادلتان المناظرتان في نطاق  $s$  هما

$$(٢) \quad 10 I_1(s) + \frac{1}{0.2s} I_1(s) + 10 I_2(s) = 50/s \quad 50 I_2(s) + 10 I_1(s) = 50/s$$

وفي الصيغة المصفوفية هما

$$\begin{bmatrix} 10 + 1/0.2s & 10 \\ 10 & 50 \end{bmatrix} \begin{bmatrix} I_1(s) \\ I_2(s) \end{bmatrix} = \begin{bmatrix} 50/s \\ 50/s \end{bmatrix}$$

$$I_1 = 5e^{-0.625t} \text{ amperes} \quad \text{و} \quad I_2(s) = 5/(s + 0.625)$$

لإيجاد  $i_2$  نموض عن قيمة  $i_1$  في المعادلة الثانية لمعادلتى نطاق الزمن (١) .

$$i_2 = 1 - e^{-0.625t} \text{ amperes} \quad \text{و} \quad 50i_2 + 10(5e^{-0.625t}) = 50$$

١٧ - ١٨ بالإشارة إلى المسألة ١٧ - ١٧ أوجد المماوطة المكافئة في نطاق  $s$  للشبكة الكهربائية وعين التيار الكلي ثم أوجد تيارى الفرعين وذلك باستخدام قاعدة تقسيم التيار .

المماوطة المكافئة في نطاق  $s$  هي

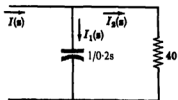
$$(١) \quad Z(s) = 10 + \frac{40(1/0.2s)}{40 + 1/0.2s} = \frac{80s + 50}{8s + 1} = 10 \frac{s + 5/8}{s + 1/8}$$

ويوضح الشكل ١٧ - ٢٣ الدائرة المكافئة ، والتيار الناتج هو :

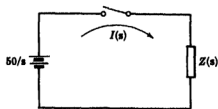
$$(٢) \quad I(s) = \frac{V(s)}{Z(s)} = \frac{50}{s} \left\{ \frac{s + 1/8}{10(s + 5/8)} \right\} = 5 \frac{s + 1/8}{s(s + 5/8)}$$

وبالتعبير عن المعادلة (٢) بصيغة كسور جزئية نجد :

$$I = 1 + 4e^{-8t/5} \text{ amperes} \quad \text{و} \quad \text{منها نجد أن} \quad I(s) = \frac{1}{s} + \frac{4}{s + 5/8}$$



شكل ١٧ - ٢٤

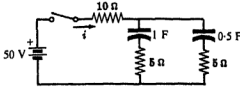


شكل ١٧ - ٢٣

والآن يمكن الحصول على تيارى الفرعين  $I_1(s)$  و  $I_2(s)$  باستخدام قاعدة تقسيم التيار . وبالإشارة إلى الشكل ١٧ - ٢٤ نجد لدينا

$$I_1(s) = I(s) \left( \frac{40}{40 + 1/0.2s} \right) = \frac{5}{s + 5/8} \text{ and } i_1 = 5e^{-0.625t} \text{ amperes}$$

$$I_2(s) = I(s) \left( \frac{1/0.2s}{40 + 1/0.2s} \right) = \frac{1}{s} - \frac{1}{s + 5/8} \text{ and } i_2 = 1 - e^{-0.625t} \text{ amperes}$$



شكل ٢٥ - ١٧

١٧ - ١٩ في الشبكة الكهربائية الموضحة في الشكل ١٧ - ٢٥

أفانق المتاح عند  $t = 0$  وكان لا يوجد شحنة ابتدائية على أى من المكثفين أوجد التيار الناتج ، كما هو موضح في الرسم .

يوجد للشبكة الكهربائية ممانعة مكافئة في نطاق  $s$

$$(١) \quad Z(s) = 10 + \frac{(5 + 1/s)(5 + 1/0.5s)}{(10 + 1/s + 1/0.5s)} = \frac{125s^2 + 45s + 2}{s(10s + 3)}$$

والتيار هو :

$$(٢) \quad I(s) = \frac{V(s)}{Z(s)} = \frac{50}{s} \cdot \frac{s(10s + 3)}{(125s^2 + 45s + 2)} = \frac{4(s + 0.3)}{(s + 0.308)(s + 0.052)}$$

وبالتعويض عن التيار في نطاق  $s$  بدلالة كسور جزئية نجد :

$$i = \frac{1}{8} e^{-0.308t} + \frac{31}{8} e^{-0.052t} \text{ amperes} \quad \text{و} \quad I(s) = \frac{1/8}{s + 0.308} + \frac{31/8}{s + 0.052}$$

١٧ - ٢٠ طبق نظرية القيمة الابتدائية والنهائية على التيار في نطاق  $s$  في المسألة ١٧ - ١٩ .

$$\text{بما أن :} \quad I(s) = \frac{1/8}{s + 0.308} + \frac{31/8}{s + 0.052} \quad \text{فإن التيار الابتدائي هو}$$

$$i(0) = \lim_{s \rightarrow \infty} [s I(s)] = \lim_{s \rightarrow \infty} \left[ \frac{1}{8} \left( \frac{s}{s + 0.308} \right) + \frac{31}{8} \left( \frac{s}{s + 0.052} \right) \right] = 4 \text{ A}$$

والتيار النهائي هو

$$i(\infty) = \lim_{s \rightarrow 0} [s I(s)] = \lim_{s \rightarrow 0} \left[ \frac{1}{8} \left( \frac{s}{s + 0.308} \right) + \frac{31}{8} \left( \frac{s}{s + 0.052} \right) \right] = 0$$

يفحص الدائرة المطابقة الشكل ١٧ - ٢٠ يتبين لنا أن المقاومة الكلية للدائرة في البداية هي  $12.5 = 10 + 5(5/10)$

وعلى هذا فإن :  $I(0) = 50/12.5 = 4 \text{ A}$  وفي الحالة المستقرة يكون كل من المكثفين قد شحن لجهد مكافئ يساوي  $50 \text{ volts}$  والتيار يساوي صفراً .

### مسائل إضافية

١٧ - ٢١ أوجد تحويل لابلاس لكل دالة مما يأتي :

$$f(t) = \cosh \omega t \quad (أ) \quad f(t) = e^{-\alpha t} \sin \omega t \quad (ج) \quad f(t) = At \quad (١)$$

$$f(t) = e^{-\alpha t} \sinh \omega t \quad (د) \quad f(t) = \sinh \omega t \quad (٢) \quad f(t) = te^{-\alpha t} \quad (ب)$$

$$(١) - (أ) \quad \text{أنظر الجدول ١٧ - ١.} \quad (د) \quad (٢) \quad \frac{\omega}{(s + \alpha)^2 - \omega^2} \quad (ف)$$

٢٢-٢٧ أوجد معكوس تحويل لابلاس لكل دالة ما يأتي :

$$F(s) = \frac{3}{s(s^2 + 6s + 9)} \quad (د) \quad F(s) = \frac{5}{(s+2)(s+1)} \quad (أ)$$

$$F(s) = \frac{2s}{(s^2 + 4)(s+5)} \quad (ج) \quad F(s) = \frac{s+5}{s^2 + 2s + 5} \quad (هـ) \quad F(s) = \frac{1}{s^2 + 7s + 12} \quad (ب)$$

$$F(s) = \frac{2s+4}{s^2 + 4s + 13} \quad (ز) \quad F(s) = \frac{5s}{s^2 + 3s + 2} \quad (ح)$$

$$\frac{1}{10} \cos 2t + \frac{1}{10} \sin 2t - \frac{1}{10} e^{-5t} \quad (ذ) \quad \frac{1}{2} - \frac{1}{2} e^{-3t} - t e^{-3t} \quad (د) \quad 2e^{-2t} - e^{-t} \quad (أ) : \therefore$$

$$e^{-t} (\cos 2t + 2 \sin 2t) \quad (هـ) \quad e^{-3t} - e^{-4t} \quad (ب)$$

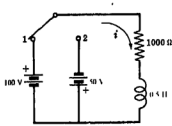
$$2e^{-2t} \cos 8t \quad (ز) \quad 10e^{-2t} - 5e^{-t} \quad (ج)$$

٢٣-١٧ دائرة تتكون من  $RL$  فيها  $R = 10 \Omega$  و  $L = 0.2 H$  يؤثر عليها جهد ثابت  $V = 50 \text{ volts}$  عند  $t = 0$ .

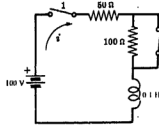
أوجد التيار الناتج باستخدام طريقة تحويل لابلاس . الجواب :  $i = 5e^{-50t} \text{ amperes}$

٢٤-١٧ في دائرة التوالي  $RL$  الموضحة في الشكل ١٧-٢٦ كان المفتاح عند الموضع 1 لفترة كافية للوصول إلى الحالة المستقرة ثم تحرك المفتاح إلى الموضع 2 عند  $t = 0$  . أوجد التيار .

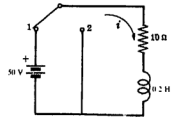
الجواب :  $i = 5e^{-50t} \text{ amperes}$



شكل ١٧-٢٨



شكل ١٧-٢٧



شكل ١٧-٢٦

٢٥-١٧ في الدائرة الموضحة في الشكل ١٧-٢٧ ، أغلق المفتاح 1 عند  $t = 0$  ثم عند  $t = t' = 4 \text{ m sec}$  فتح المفتاح 2 . أوجد التيار العابر في الفترتين  $0 < t < t'$  و  $t' < t$  .

الجواب :  $i = 2(1 - e^{-500t}) \text{ amperes}$  ,  $i = 1.06e^{-1500(t-t')} - 0.667 \text{ amperes}$

٢٦-١٧ في دائرة التوالي  $RL$  الموضحة في الشكل ١٧-٢٨ أغلق المفتاح إلى الموضع 1 عند  $t = 0$  وعند  $t = t' = 50 \mu \text{ sec}$  تحرك المفتاح إلى الموضع 2 . أوجد التيار العابر في الفترتين  $0 < t < t'$  و  $t' < t$  .

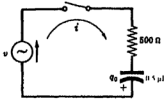
الجواب :  $i = 0.1(1 - e^{-2000t}) \text{ amperes}$  ,  $i = 0.06e^{-2000(t-t')} - 0.05 \text{ amperes}$

٢٧-١٧ دائرة توالى  $RC$  فيها  $R = 10 \Omega$  و  $C = 4 \mu F$  لها شحنة ابتدائية  $q_0 = 800 \times 10^{-6} \text{ coulombs}$  على المكثف عند الزمن الذي أغلق عنده المفتاح ، فإذا أثرنا عليها بجهد ثابت  $V = 100 \text{ volts}$  فأوجد التيار العابر الناتج إذا كانت الشحنة (أ) لها نفس قطبية الشحنة التي يولدها المصدر . (ب) لها قطبية معاكسة .

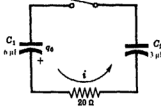
الجواب : (أ)  $i = -10e^{-25 \times 10^3 t} \text{ amperes}$  و (ب)  $i = 30e^{-25 \times 10^3 t} \text{ amperes}$

١٧-٢٨ دائرة توالى  $RC$  فيها  $R = 1000 \Omega$  و  $C = 20 \mu F$  لها شحنة ابتدائية  $q_0$  على المكثف عند الزمن الذى أغلق عنده المفتاح ، فإذا أثرنا عليها بجهد ثابت  $V = 50$  ، وكان التيار الناتج هو  $i = 0.075e^{-500t}$  amperes فأوجد الشحنة  $q_0$  وعين قطبيتها .  
الجواب :  $500 \cdot 10^{-6}$  coulombs ، بقطبية عكس قطبية الشحنة التى يولدها المصدر .

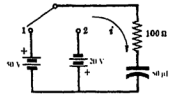
١٧-٢٩ فى دائرة  $RC$  الموضحة فى الشكل ١٧-٢٩ أغلق المفتاح إلى الموضع 1 عند  $t = 0$  وعند  $t = t' = 1$  TC تمر كالمفتاح إلى الموضع 2 . أوجد التيار العابر فى الفترتين  $0 < t' < t$  و  $t > t'$  .  
الجواب :  $i = 0.5e^{-200t}$  amperes ،  $i = 0.516e^{-200(t-t')}$  amperes



شكل ١٧-٣١



شكل ١٧-٣٠



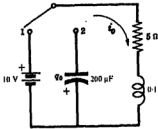
شكل ١٧-٢٩

١٧-٣٠ فى الدوائر الموضحة فى الشكل ١٧-٣٠ ، كان على المكثف  $C_1$  شحنة ابتدائية  $q_0 = 300 \cdot 10^{-6}$  coulombs عند الزمن الذى أغلق عنده المفتاح . أوجد التيار العابر الناتج .  
الجواب :  $i = 2.5e^{-2.5 \times 10^4 t}$  amperes

١٧-٣١ دائرة التوالى  $RC$  الموضحة فى الشكل ١٧-٣١ كانت الشحنة الابتدائية على المكثف  $q_0 = 25 \cdot 10^{-6}$  coulombs والجهد الجيبى المؤثر  $v = 100 \sin(1000t + \phi)$  volts . أوجد التيار العابر الناتج إذا أغلق المفتاح عند الزمن الذى كانت عنده  $\phi = 30^\circ$  .  
الجواب :  $i = 0.1535e^{-4000t} + 0.0484 \sin(1000t + 106)$  amperes

١٧-٣٢ دائرة توالى  $RLC$  فيها  $R = 5 \Omega$  و  $L = 0.1$  H و  $C = 500 \mu F$  يؤثر عليها جهد ثابت  $V = 10$  volts عند  $t = 0$  . أوجد التيار الناتج .  
الجواب :  $i = 0.72e^{-25t} \sin 139t$  amperes

١٧-٣٣ فى دائرة التوالى  $RLC$  الموضحة فى الشكل ١٧-٣٣ كانت الشحنة الابتدائية على المكثف  $q_0 = 1$  mC وظل المفتاح فى الموضع 1 لمدة تكفى للوصول إلى الحالة المستقرة . أوجد التيار العابر الذى ينتج عندما يتحرك المفتاح من الموضع 1 إلى الموضع 2 عند  $t = 0$  .  
الجواب :  $i = e^{-222t} (2 \cos 222t + 0.45 \sin 222t)$  amperes



شكل ١٧-٣٢

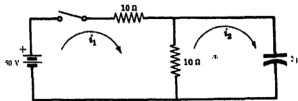
١٧-٣٤ دائرة توالى  $RLC$  فيها  $R = 5 \Omega$  و  $L = 0.2$  H و  $C = 1$  F يؤثر عليها مصدر جهد  $v = 10e^{-100t}$  volts عند  $t = 0$  . أوجد التيار الناتج .  
الجواب :  $i = -0.666e^{-100t} + 0.670e^{-24.8t} - 0.004e^{-0.2t}$  amperes



٣٥-١٧ دائرة توال  $RLC$  فيها  $R = 200\Omega$  و  $L = 0.5H$  و  $C = 100\mu F$  لها مصدر جهد جيبى  $v = 300 \sin(500t + \phi)$  volts . فإذا أغلق المفتاح عند الزمن الذى كانت عنده  $\phi = 30^\circ$  فأوجد التيار المأبر الناتج .  
الجواب :  $i = 0.517e^{-241.4t} - 0.197e^{-28.4t} + 0.983 \sin(500t - 19)$  amperes

٣٦-١٧ دائرة توال  $RLC$  لها  $R = 5\Omega$  و  $L = 0.1H$  و  $C = 500\mu F$  لها مصدر جهد جيبى  $v = 100 \sin(250t + \phi)$  volts . فإذا أغلق المفتاح عند الزمن الذى كانت عنده  $\phi = 0^\circ$  فأوجد التيار الناتج .  
الجواب :  $i = e^{-25t} (5.42 \cos 139t + 1.89 \sin 139t) + 5.65 \sin(250t - 73.6^\circ)$  amperes

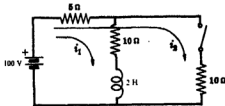
٣٧-١٧ فى الشيكيتين الفرعيتين الشبكة الكهربائية الموضحة فى الشكل ١٧-٣٣ اخترت التيارات كما فى الرسم . اكتب المعادلات بدلالة الزمن ثم حولها إلى المعادلات المناظرة فى نطاق  $s$  ثم أوجد التيارين المأبرين  $i_1$  و  $i_2$   
الجواب :  $i_1 = 2.5(1 + e^{-10^3 t})$  amperes,  $i_2 = 5e^{-10^3 t}$  amperes



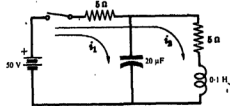
شكل ١٧-٣٣

٣٨-١٧ أوجد فى الشيكيتين الفرعيتين الشبكة الكهربائية الموضحة فى الشكل ١٧-٣٤ التيارين  $i_1$  و  $i_2$  اللذانيتين عند غلق المفتاح عند  $t = 0$  .

الجواب :  $i_1 = 0.101e^{-100t} + 9.899e^{-9950t}$  amperes,  $i_2 = 5.05e^{-100t} - 5.005e^{-9950t}$  amperes



شكل ١٧-٣٥



شكل ١٧-٣٤

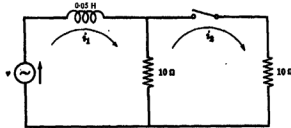
٣٩-١٧ فى الشبكة الكهربائية الموضحة فى الشكل ١٧-٣٥ يمرر مصدر الجهد 100 volts تيارا متصلا فى المسار المألق الأول . فإذا أغلق المفتاح عند  $t = 0$  وبذلك تتصل المقاومة  $10\Omega$  عل التوازى مع الفرع الذى يتكون من عنصرين حل التوالى هما  $R = 10\Omega$  و  $L = 2H$  . فأوجد التيارين الناتجين .

الجواب :  $i_1 = 1.67e^{-6.67t} + 5$  amperes,  $i_2 = -0.555e^{-6.67t} + 5$  amperes

١٧ - ٤٠ يؤثر على الشبكتين الفرعيتين الشبكة الكهربائية الموضحة في الشكل ١٧ - ٣٦ . مصدر جهد جيبي  $v = 100 \sin(200t + \phi)$  volts فإذا أغلق المفتاح عند  $t = 0$  وكانت الزاوية  $\phi = 0$  وبذلك تتصل المقاومة  $10 \Omega$  الثانية على التوازي مع المقاومة الأولى . فأوجد تيارى الشبكة الناتجين بالاتجاه الموضح في الرسم .

الجواب :

$$i_1 = 3.01e^{-100t} + 8.96 \sin(200t - 63.4^\circ) \text{ amperes}, i_2 = 1.505e^{-100t} + 4.48 \sin(200t - 63.4^\circ) \text{ amperes}$$



شكل ١٧ - ٣٦

## GLOSSARY قائمة بالمصطلحات

### Chapter 1

### الفصل الاول :

Parameter	بارامتر - متغير
S.I. System	نظام مترى دولى
Dimensional Constant	ثابت ابعاد
Permeability Constant	ثابت لغاذية
Coulomb's Law	قانون كولوم
Permittivity Constant	ثابت السماحية
Electromotive Force (emf)	قوة دافعة كهربية
Generator	مولد
Power	قدرة
Periodic Function	دالة دورية
Period	دورة
Energy	طاقة
Resistor	مقاوم
Inductance	حث
Capacitor	مكثف
Pure	نقى
Resistance	مقاومة
Coil	ملف
Self Inductance	حث ذاتى
Capacitance	سعة
Kirchhoff's Law	قانون كيرشوف
Network	شبكة كهربائية
Instantaneous	لحظى
Square Wave	دالة مربعة
Sawtooth Function	دالة سن منشار
Waveform	شكل موجى
Discontinuous	غير متصل
Sinusoidal Function	دالة جيبية

## Chapter 2

## الفصل الثاني :

Average Value	قيمة متوسطة
Effective Value	قيمة فعالة
Infinite	غير منتهى
Power Series	متسلسلة قوى
Root Mean Square Value	جذر متوسط مربع قيمة
Form Factor	عامل الشكل
Half Cycle Average	متوسط نصف الدورة
Independent Variable	متغير مطلق
Triangular Wave	موجة مثلثة الشكل
Half-Wave Rectification	تقويم نصف موجي
Full-Wave Rectification	تقويم موجي كامل
Delayed	معوقة
Graphical Solution	حل تخطيطي
Amplitude	سعة
Harmonic	توافقي
Fundamental Harmonic	توافقي أساسي
Rise Time	زمن الارتفاع
Radian	زاوية نصف قطرية
Phase	طور

## Chapter 3

## الفصل الثالث :

Sinusoidal Current	تيار جيبى
Integrodifferential Equation	معادلة تكاملية تفاضلية
Transient Current	تيار عابر
Steady Current	تيار مطرد أو مستقر
Impedance	معاوقة
Phase Angle	زاوية الطور
Displacement	إزاحة
Lead	سابق
Lag	لاحق
Resonance	رنين
Frequency	تذبذبة
Parallel	توازي
Reactance	عائمة

## Chapter 4

## الفصل الرابع :

Complex Numbers	أعداد مركبة
Real Numbers	أعداد حقيقية
Rational Numbers	أعداد جزئية
Irrational Numbers	أعداد صماء
Real Number Line	خط العدد الحقيقي
Imaginary	تخيل
Imaginary Number Line	خط العدد التخيل
Polar Representation	تمثيل قطبي
Modulus	مقياس
Argument	الإزاحة الزاوية
Stienmetz	شكل شتينميتز
Rectangular Form	صيغة إحداثيات متعامدة
Trigonometric Form	صيغة حساب مثلثات
Conjugate	مترافق
Binomial	ذات حدين
Numerator	بسط
Denominator	مقام
Slide Rule	مسطرة حاسبة
Cursor	الجزء المنزلق
Hairline	خط شعري

## Chapter 5

## الفصل الخامس :

Phasor Notation	ترميز طورى (أو مطاوع)
Waveform	شكل موجي
Periodic	دوري
Fourier Method	طريقة فوريير
Euler's Formula	صيغة إيولر
Particular Solution	حل خاص
Polar Form	شكل قطبي
Angular Velocity	سرعة زاوية
Exponential Function	دالة أسية
Shift Angle	زاوية تزحزح
Time Domain	مجال الزمن

Ohm's Law	قانون أوم
Frequency Domain	مجال التردد
Subscript	رمز سفلي ( دليل )
Locus	محل هندسي

## Chapter 6

## الفصل السادس :

Admittance	معاذمة
Reciprocal	معكوس
Conductance	مواسلة
Susceptance	تقيلية
Polarity	القطبية
Active Circuit	دائرة فعالة ( نقطة )
Bridge	قنطرة

## Chapter 7

## الفصل السابع :

Power	قدرة
Power Factor	عامل القدرة
Alternator	مولد التيار المتردد
Passive	خامل ( غير فعال )
Network	شبكة
Instantaneous Power	قدرة لحظية
Energy	طاقة
Apparent Power	قدرة ظاهريّة
Reactive Power	قدرة مفاعليّة
Quadrature	مركبة عمودية أو مركبة تربيعية
Load	حمل
Synchronous Motor	محرك تزامني
Line Current	تيار الخط

## Chapter 8

## الفصل الثامن :

Quality Factor	عامل الجودة
Band Width	إتساع التردد
Phase Shifting Circuit	دائرة تغيير الطور

## Chapter 9

## الفصل التاسع :

Mesh	شبكة
Network Tree	هيكل الشبكة الكهربائية
Link Branch	فرع اتصال
Junction	نقطة اتصال
Matrix	مصفوفة
Inversion	تماكس
Determinant	محددة
Square Matrix	مصفوفة مربعة
Row	صف
Column	عمود
Sequence	متتالية
Permutation	تبديل
Minors	مجموعات
Cofactor	عامل مشترك
Cramer's Rule	قاعدة كرامر
Driving Point Impedance	نقطة المارورة المحركة
Transfer Impedance	مدادوة الانتقال
Hay Bridge	قنطرة هاي
Owen Bridge	قنطرة أون
Voltage Transfer Function	دالة انتقال الجهد

## Chapter 10

## الفصل العاشر :

Node	عقدة
Node Voltage Method	طريقة جهد العقدة
Junction	نقطة اتصال
Reference Node	عقدة الاسناد
Self Admittance	مساحعة ذاتية
Mutual Admittance	مساحعة تبادلية
Transfer Admittance	مساحعة انتقال
Wien Bridge	قنطرة فين

## Chapter 11

## الفصل الحادي عشر :

Thevenin's Theorem	نظرية ثفين
Norton's Theorem	نظرية نورتن
Linear Network	شبكة خطية

## Chapter 12

## الفصل الثاني عشر :

Delta	دلتا
Star	نجمة
Superposition Theorem	نظرية التراكب
Bilateral Network	شبكة ذات جانبيين
Reciprocity Theorem	نظرية التبادل
Excitation	إثارة
Response	استجابة
Compensation Theorem	نظرية التعادل (أو المعادلة)
Substitution Theorem	نظرية التعميف
Dependent Source	مصدر غير مستقل
Potentiometer	مقياس الجهد
Maximum Power Transfer Theorem	نظريات انتقال أكبر قدرة
First Derivative	مشتقة تفاضلية أولى

## Chapter 13

## الفصل الثالث عشر :

Mutual Inductance	حث تبادلي
Self Inductance	حث ذاتي
Flux	فيض
Magnetic Flux	فيض مغناطيسي
Induced e.m.f.	قوة دافعة كهربائية تأثيرية
Leakage	تسرب
Faraday's Law	قانون فاراداي
Lenz's Law	قانون لينز
Heaviside Bridge	جسر هيفيسايد

## Chapter 14

## الفصل الرابع عشر :

Polyphase	متعددة الأطوار
Ripple	تموج
Phasor	مطاور
Line Current	تيار الفرع
Phasor Diagram	شكل طوري
Wattmeter	الواتميتر
Line Voltage	جهد الفرع
Efficiency	كفاءة
Out Put	مطء



## Chapter 15

## الفصل الخامس عشر :

Fourier Method	طريقة فوريير
Singular Function	دالة وحيدة
Finite	محدود
Harmonic	تردد
Frequency	ذيلية
Trigonometric Series	متسلسلة مثلثية
Discontinuous	غير متصل
Dirichlet Conditions	شروط ديرخليت
Converge	تتقارب
Exponential Series	متسلسلة أسية
Even Function	دالة زوجية
Odd Function	دالة فردية
Half - Wave Symmetry	تماثل نصف الموجة
Line Spectrum	طيف خطي
Waveform Synthesis	تركيب الشكل الموجي
Effective Value	القيمة الفعالة
Root Mean Square Value	جذر متوسط مربع القيمة
Pulse	نبضة
L'Hospital's Rule	قاعدة لوبيتال

## Chapter 16

## الفصل السادس عشر :

Transient Interval	فترة عابرة
Complementary Function	دالة متتمة
Particular Solution	حل خاص
Operator	مؤثر
Order	رتبة
Exponential Rise	ارتفاع أسّي
Time Constant	ثابت الزمن
Decay	اضمحلال
Short Circuit	دائرة مغلقة
Homogeneous Equation	معادلة متجانسة
Characteristic Equation	معادلة مميزة
Overdamped	زائد المضادة
Critical Damped	مضادة حرجية
Underdamp	ناقص المضادة

Slope	ميل
Complete Solution	حل تمام
Method of Undetermined Coefficients	طريقة المعاملات غير المحدودة
Simultaneous differential equations	معادلات تفاضلية أنية

## Chapter 17

## الفصل السابع عشر :

Laplace Transform	متحول ( بتيل ) لابلاس
Time Domain	بدلالة الزمن
Step Function	دالة سلمية
Integration By Parts	تكامل بالتجزئ
Partial Fraction	الكسور الجزئية
Expansion Methods	طرق الفك
Quotient	خارج القسمة
Polynomial	كثيرة حدود
Degree	درجة
Heaviside Formula	صيغة هيفيسيد
Simple Poles	أقطاب بسيطة
Distinct	متميزة
Initial Value Theorem	نظرية القيمة الابتدائية
Final Value Theorem	نظرية القيمة النهائية

## فهرس أبجدي

٢٧٩،٢٧٧	طريقة جهاز واتمير	(١)	اتجاهات المصادر
٢٨٠،٢٦٥	طوران	١٩٣،٤	اتجاه الف
٢٦٩	فرع واحد مكاني	٢٤٧،٢٤٦	اتجاه تيارات الشبكة
٢٧٩،٢٧٧،٢٧٥	قدرة	١٤٤	اتزان ثلاثة أطوار
٢٦٦	متتابة	٢٦٨	أحمال على شكل دلتا
٢٦٨،٢٦٧	متعادل	٢٦٨	أحمال على شكل نجمة
٤٤٣	أوم	٢٦٩	طريقة جهاز واتمير
	(ب)	٢٧٧	لسدرة
١	يسروتون	٢٧٦	اتساع الشريط
١٢٣	بيان الحمل الهندسي	١٢٢	اتصال
١٢٥	تيسار	٣٤٨،٣٤٧	تيار عبر سعة
١٢٤	عناصر متغيرة على التوالي	٣٤٥،٣٤٤	تيار في حث
١٢٥	عناصر متغيرة على التوازي		أحمال ذو ثلاثة أطوار غير متزنة
	(ت)	٢٧١	توصيلات دلتا
	تحويل	٢٧٢	نجمة ، أربعة أسلاك
٢١٦،٢١٥	دلتا إلى نجمة	٢٧٣،٢٧٢	نجمة ، ثلاثة أسلاك
٨٠	مساحة - معاولة		أعداد
١٩٣،١٩٢	مصادر	٤٨	تحويلة
٢١٦،٢١٥	نجمة إلى دلتا	٤٨	حقيقية
٣٦٦،٣٦٣	تحويلات لابلاس	٤٨	مركبة
٣٣٧	تذبذب ، في فترات العيود	٤٨	الكترون
٢٤٦،٢٤٤	ترابط مغناطيسي	٢٤١	الكترون
٨٠	تقليبة	١	أمير
٨٠	تقليبة حثية	٢٢٠	انتقال أكبر قدرة
٣٠٢،٢٢	تمائل	٢٦٥	أنظمة متعددة الأطوار
٣٠٤،٢٢	تمائل نصف موجي	٢٦٩	أربعة أسلاك
٣٥٥،٣٥٠،٢٦	توافقات	٢٦٨	توصيلات دلتا
	توصيلات دلتا	٢٦٦،٢٦٥	توليد
٢٦٩،٢٦٨	تيارات في	٢٦٩	تيار الفرع
٢٦٨	حمل متزن	٢٦٦	ثلاثة أسلاك
٢٧٢،٢٧١	غير متزن	٢٦٦	ثلاثة أطوار
٢٧٥	لسدرة	٣١	سنة أطوار

٥٢	جسور	٢	تيار
٣٣٦	أعداد مركبة	٨٠٤٧٨	تيار اله
٣٦٨٠٣٣٦	تساوى	٢	تعريف اتجاه
٣٦٨٠٣٣٦	حقيقة	٧٨	دائرة توازى
٣٦٩٠٣٣٦	غير متساوية	٧٧٠٣٤	دائرة توازى
٣٦٩٠٣٣٦	مترافقة مركبة	٣٢٨	عابر
٣٦٩٠٣٣٦	مكسرة	١٢٥	محل هندسى
٨	جزء تقطع له	١٩٤	مصدر
٧٩	عدد مركب	١٤٧	مصنوعة
٦١	مساحة مركبة	٦٥	مطاور
	معاوقة مركبة	٣٦٥	نطاق
	جمع اله	١٩٤	نورتن المكافئ
٥٠	أعداد المركبة	٢٦٩	تيارات أفرع ( أطوار متعددة )
٧٨٠٧١٠٤٠٠٧٤٤	تيارات	١٤٣	تيارات مسارات مغلقة
٧٧٠٧٣٠٧١٤٤	جهود		( أنظر أيضا تيار شبكة )
٧٧	معاوقات	٣٢	تيارات وجهود جيبيه
٢١	ج م م ( قيمة فعالة )	١٤٣	تيار شبكة
٢١	تعريف	١٤٧	صيفة مصفوية
٣٠٦	للتسلسلة فورير	١٤٤٠١٤٣	معادلات
٢	جهده	٢٤٧	تيار طبيعى
٧٧	ارتفاع فى	٢٦٩	تيار طبيعى ( متعدد الأطوار )
٢٤٤	تأثيرى		تيار متردد
١٩٢	ثقيبن المكافئ	٣٣٧	عابر
١٨١٠١٦١	دالة اتصال	٢٦٥	نظام ثلاثة أطوار
١٧٠	عقدة	٢٦٥	نظام ذو طورين
٢٦٧٠٢٦٦	فرع	٦	تيار مستعير
٢٦٨	مطاور	٣٢٨	تيار مستعير عابر
٧٧٠٤	هبوط فى	٣٣٢	دائرة مقاومة ومكثف
٤٤٢	جول	٣٣٥	دائرة مقاومة ومكثف وملف
		٣٢٨	دائرة مقاومة وملف

(ج)

٣٢٩٠٣٢٨٠٦١٠٤	حالة مستقرة
٣٣٧٠٣٢	حالة مستقرة جيبيه
٤٠٣	حث
٢٤٤	تبادل
١٠	توصيل على التوازى
١٠٠٩	توصيل على التوالى
٣٣٠٤٣	طاقة مخزونة فى

(ث)

٣٢٩	ثابت الزمن
٢٦٥	ثلاثة أطوار

(ج)

جلد متوسط مربع القيمة

٣٠٤٣٠٢	دوال زوجية	٢٤٥	حث معامل تبادل
٢٦٣	سلمية	٢٤٤	حث تبادل
٣٠٤٣٠٢	فردية	٢٤٨	ترميز نقطى
٣٢٨	متتممة	٢٤٦	تساوى M 12 و M 12
٧٨٠٣٥٠٦	دوائر توازى	٢٥١	توصيل على التوازى
١١٨	أصغر قيمة لتيار	٢٥١،٢٥٠	توصيل على التوالى
١١٨	أكبر قيمة لمعاوقة	٢٤٦	قطبية الجهد
١١٨	رلين	٣٢٨	حل خاص
١٢٥	محل هندسى		
٨٠٠٧٩	مساحة		(د)
٨٠٠٧٨	معاوقة		
٨٠	مواصلة	١٨١،١٦١	دالة انتقال الجهد
١٠٥٠١٠٤٠١٠٣	قدرة وعامل قدرة		دالة جيبية
١٢٢	قيمة عامل جودة	٢٤	تقويم نصف موجى
٣٤٠٦٠٤	دوائر توالى	٢٤	تقويم موجى كامل
٧٧٠٣٤	تيار	٢٣	ج م م قيمة
١١٨	رلين	٢٩٨،٢٢	دورة
١٣٤٠١٢٣	محل هندسى لمعاوقة	٢٣،٢٢	قيمة فعالة
٦٢٠٦١	معاوقة	٢٣	قيمة متوسطة
٨١٠٣٧	مقاومة ومكثف	٢٤	قيمة متوسطة لنصف دورة
٧٧٠٣٨	مقاومة ومكثف وملف	٣٦٣	دالة سلمية
٨١٠٣٦	مقاومة وملف	٣٢٨	دالة متممة
٢٥٠٠٢٤٤	دوائر مترابطة		ذائرة
٢٤٤	فيض تبادل	٧٩٠٧٨	توازى
٢٤٤	فيض متسرب	٧٧	توالى
٢٩٨٠٢١	دورة	٢٦٨	لثلاثة أطوار
	دورى	٤٠٣	لثوابت
٢٩٨٠٢١	دوال	١١٧	رلين
٢١	شكل موجى	٢٦٥	طوران
		٤٠٣	عناصر
	(ذ)	٢٤٤	مترابطة
	ذبيذبة	٨١٠٣٣	مقاومة
١٢٢	التساع فريط	٨١٠٣٣	مقاومة ومكثف
١١٨	رلين توازى	٨١٠٣٤	مقاومة وملف
١١٧	رلين توالى	٣٧٤	نطاق S
٣٤٠	طبيعية	٢٦٩	دائرة ذات فرع واحد مكافئة
٣٥٥	طيف ( طيف عطى )	٢٥٥٠٢٠٧٠١٦٦٠٩٠	دائرة كمنطرة
١٢٢	عالية ، منتصف القدرة		دوال
		٢٩٨٠٢١	دورية .

٢٣٤	شحنة عابرة	١٢٢	دبذبة منخفضة ، منتصف القدرة
٣٢٨	شروط أساسية للفترات العابرة	٦٥	نطاق
٢٩٩	شروط ريشيت	( ر )	
	شكل موجى		ولين
٢٩٨	تحليل فورير	١١٩٠١١٨	دائرة توازى
٣٠٥	تركيب	١١٧	دائرة توالى
٣٠٢٠٢٢	تمائل	( ز )	
٣٠٣	جمع	٦٥٠٣٣	زاوية ، سابقة أو لاحقة
٢١	ج م م القيمة	( س )	
٢١	قيمة لعالة		
٢١	قيمة متوسطة ، دورية	٦٤	سرعة زاوية
	( ص )	٤٤٣	سمة
	صيفة أسية :	١٣٠١٢	اتصال عل التوازى
٤٩	لكيات مركبة	١٣٠١٢	اتصال عل التوالى
٣٠٠	للتسلسلة فورير	٣٣٤٠٣	علاقة الشحن بالتيار
٦١٠٤٩	صيفة ايلر	٨٠	سيمتر
٤٩	صيفة قطبية لكيات مركبة	( فـ )	
	( ط )	٢١٣٠٩٦	شيكات غير فعالة
			شبكة
١٢١٠٢	طاقة	١٤٥	السرع
	طرق فك	٢١٧٠٢١٦	ذات جانبيين
٣٦٩	كسور جزئية	١٩٢	غطية
٣٧٢	هيفيسيد	١٤٣	طريقة تيار الشبيكة
٢٧٤	طريقة ازاحة لنقطة التعادل	١٧٠	طريقة جهد المقدة
	طسور	١٥٣٠٩٦	غير فعالة
١٣٥	دائرة تغيير	١٩٤٠١٩٢	فعالة
٣٣٧٠٦٤٠٣٣	زاوية	١٤٩	محددات ، استخدامهما ق
٨١٠٦٥٠٦٤٠٣٣	سابق أو لاحق	١٤٣	مسارات مفلقة
٨١٠٦٥٠٦٤	فرق	١٩٨٠١٩٧	مصادر تيارات ثابتة
٢٦٦	متناوبة ( متعدد الأطوار )	١٥٢	مصفوفة المعاولة
٣٣٥	طيف عطى	١٤٣	معادلة كيرشوف
	( ٢ )	٢٦٣	مكافئة لنجبة أو دلتا
		٢١٣٠١٩٢	نظريات
٢٦٣	عابر ، تيار متردد	١٧١٠١٧٠٠١٤٥	نقط اتصال
٣٠٧٠٣٣٩	دائرة مقاومة ومكثف	١٤٥	هيكل
٣٧٥٠٣٤٠	دائرة مقاومة ومكثف وملف	٥٠	هتنبينتر ، صيفة عدد مركب
٣٦٧٠٣٣٧	دائرة مقاومة وملف	٤٠١	شحنة

١٥٣٠٦٦	قانون أوم	٣٦٣	عابر طريقة لابلاس
٢٤٤	قانون فاراداي	٣٢٨	عابر ، تيار مستمر
٢٤٧	قانون لسنز	٣٣٢	دائرة مقاومة ومكثف
٩٦٤٢١٤٤٢	لدوة	٣٣٥	دائرة مقاومة ومكثف وملف
٣٠٨٤٣٠٦	توافقية	٣٢٨	دائرة مقاومة وملف
١٠٤	دائرة توازي	٢٤٦	عامل الربط
١٠١	دائرة توالي	٢٢	عامل الشكل
٩٩٤٩٨	ظاهرة	١٢١	عامل جودة
٣٠٦	غير جيبية	١٢١	تعريف
٩٦٤٧	خطية	١٢١	دائرة مقاومة ومكثف
٢٧٥	متعدد الأطوار	١٢١	دائرة مقاومة ومكثف وملف
٩٠٠٩٦٠٢	متوسط	١٢١	دائرة مقاومة وملف
٩٩	مثلث	٩٨٤٩٧	عامل كسامة
٩٨	مفاعلية	١٠١	تحسين
٣٠٦	قدرة متوسطة	١٠١	تصحیح
١٩٣٤٨٩٤٨٨٤٢	قطبية الجهد	١٠٠٤٩٩	زاوية
٢٥٥	لقطرة هينيد	٩٩	سابق
	لم خطية	٩٩	لاحق
٩٤٨٤٦٤٢	لتيار والجهد	١٤٩	عامل مشترك
٩٦٤٨٤٢	للقدر	٤٨	عدد تمثيل
٢١	قيمة لمالة		مقدرة
٢٤	لدالة جيبية	١٧٠	أساسية ( أو نقطة اتصال )
٣٠٦	للتسلسلة فورير	١٧٠	استاد
٢١	قيمة متوسطة	١٧٠	جهد
٢١	لدالة دورية	١٧٠	معادلات
٣٠٠٤٢١	لدالة غير جيبية	٢١٦٠٣	عناصر دائرة خطية
٢٢	لنصف دورة موجة جيبية		(ف)
	(ك)	٤-٣	فاراد
			لرر
	كبات مركبة	٧٩٤٣٥	تيارات
٤٩	ازاحة زاوية	١٢٣	متغير
٥٣	تحويل	٤٤٢	فولت
٥٠	جمع	٢٤٤	لفس متررب
٤٩	صيفة أحداتيات متعامدة لـ		(د)
٤٩	صيفة أسية لـ	١٥١	قاعدة كرامسر
٤٩	صيفة حساب مثلثات لـ	٢٤٨	قاعدة نقطة ، ملفات مترابطة
٥٠	صيفة شتينيز لـ	٧٨٤٧٧٤٣٥٤٤	قانون كيرشوف

	صیفة قطیة لـ	٥٠	مسطرة حاسبة
٥٢	ضرب	٥١	استخدامها
٥	لمبة	٥١	مصادر ثابتة
	لوحاریتم	٥٢	مصنود
١٩٤	مقیاس	٥٠	تیار
١٩٢	کولسوم	٣٠١	جهد
٣٠٧			غیر جبری
٦١			مركب
١٩٦-١٩٧			مکائی
١٤٧	لاحق		مصفوفة
١٤٧	تیار	٣٩٠٣٤	جمع
١٤٧	زاوية طور	٣٩٠٣٤	رتبة الـ
١٤٨	عامل السدرة	٩٨	ضرب
١٤٩			مربعة
١٧٢			مساحة
١٥٣			معاولة
٣٢٨	متتابعة ، متعدد الأطوار	٢٧٦	معادلات تفاضلية
٣٢٨	متجهات	٦٤٠٦٣	معادلات تفاضلية خطية
٣٢٨	مترافق عدد مركب	٥٠	معادلات متجانسة
٣٣٢	جذور	٣٣٧	معادلة مميزة
٣٣٦	متسلسلة جيب تمامية ، حجم القيمة	٢٢	معاوقات السرعة
٢٨٥٠٢٨٤	متسلسلة لوريير ،		معاولة
٣٣	في صيغة أسية	٣٠٠	انتقال
٢١٨٠١٥٤	في صيغة نسب مثلثية	٢٩٨	يسان
٦٢	متسلسلة ماکلورین	٣٥	تقنين المكالفة
١٩٢	متوسط قيمة نصف دورة	٢٢	دائرة توازی
٧٩٠٧٨	جبال كهربائی	٣٣٤٠٣	دائرة توالی
٧٧	جبال مغناطیسی	٣٣١٠٣	محمل هندسی
١٢٣	محدد	١٤٩	مركبة
٦١	محددات	١٤٩	مصفوفة
١٥٣	مساحة	٨٠	مكالنسة
٧٧	انتقالیة	١٧٤	نقطة حركة (داخلة)
١٥٣	يسان	١١٨٠١١٧	معاولة عظمی
١٤٠٠١١٨	داخلة	١٧٤	مقاسوم
٣	دائرة توازی	٨١٠٨٠	مقاومة
٦١٠٤٠٣	دائرة توالی	٨٣	مقیاس ، عدد مركب
٤٩	مصفوفة	١٧٢	مكالنسة
٨٠٠٧٩	مستوى مساحة	١٢٤	دوائر
٧٩	مستوى معاولة	١٢٤	مساحة



٤٨	نظام عدد مركب	٧٧	مكائنة معاوضة
	نظرية	٣	مكثف
٢١٧	التبادل	٣٣٤٠١٣	طاقة مخزونة في
٣٠٧٠٢١٦	الترائب		ملفات
٢١٨	التعويض	١٢١	عامل جودة
٢١٣	الشبكة الكهربائية	٢٤٥	فيض عمود
٣٧٢	القيمة الابتدائية		ممانعة
٣٧٣	القيمة النهائية	٦٢٠٤٠	حثة
٢١٨	المعادلة	٦٢	سعوقة
١٩٢	تقنين	٨٠	مواصلة
١٩٤	نورتن	٢٢	موجة من منشار
٣	لغاذية	٢٤	فصالة
١٢٢	نقط منتصف القدرة	٢٤	فعالة
١٧٠٠١٤٥٠٧٨	نقطة اتصال في شبكة	٢٩٩	فورير
	نقطة حركة	٢٤	متوسط
١٧٤	مساحة	٣١٥٠٣٠٩٠٢٦	موجة مربعة
١٥٣	معاوضة	٢٦٦٠٢٦٥	مولد ، متعدد الأطوار

(٥)

(٥)

٤٤٣	فوري	٢١٦٠٢١٥	نجمية - دلتا ، تحويلات
١٤٥	هيكل الشبكة الكهربائية		نطاق
		٦٥	ذبذبة
		٣٦٤	ذبذبة مركبة
		٦٥	زمن
٤٤٢	وات	٣٧٣٠٣٦٤	S
٢٧٧	واتميتر ، طريقة جهازى	٢٧٢٠٢٦٩٠٢٦٦	نظام ثلاثة أطوار - أربعة أسلاك
٢٤٤	وايسر	٤٨	نظام عدد حقيقي

(و)

رقم الإيداع ٨٩/٥٢٠٦



TROTT	التبريد وتكييف الهواء
ELGERD	• نظرية أنظمة الطاقة الكهربائية مقدمة
HAYY	• الكهرومغناطيسيات الهندسية
ZEMANSKY	• الحرارة والديناميكا الحرارية
DAUGHERTY	• ميكانيكا الموائع ونظائرها الهندسية
SHELLEY	• الميكانيكا الهندسية
SHELLEY	• الميكانيكا الهندسية
DOBRIK	• مقدمة في الاستكشاف الجيوفيزيائي
FIRTH	• تكنولوجيا الرسم الهندسي
BROWN	• الهندسة الميكانيكية نظرية الصناعة والدراسات المتقدمة
MOBBIS	• الإلكترونيات في خدمة التطبيقات الكهربائية
WOOLFARD	• الإلكترونيات المتكاملة
WOOLFARD	• أجهزة الحاسبات الدقيقة لظلة الهندسة والفنون
TORHEIM	• المبادئ الرقمية شوم
WILSON	• تكنولوجيا الإلكترونيات شوم
EDMINSTER	• الدوائر الكهربائية شوم
NASAR	• الماكينات الكهربائية والكهروميكانيكيات شوم
ABDUL	• الديناميكا الحرارية شوم
GILES	• ميكانيكا الموائع والفيديو ليكا شوم
NASH	• مقاومة المواد شوم